



# วารสาร มทร.อีสาน

ฉบับวิทยาศาสตร์และเทคโนโลยี

ISSN 1906-215X

ปีที่ 11 ฉบับที่ 3 กันยายน - ธันวาคม 2561



วารสาร มทร.อีสาน ได้รับการประเมินคุณภาพให้อยู่ในฐานข้อมูลของ  
ศูนย์ต้นน้ำการอ้างอิงวารสารไทย (TCI) กลุ่มที่ 1

# วารสาร มทร.อีสาน

# RMUTI JOURNAL

## มหาวิทยาลัยเทคโนโลยีราชมงคลอีสาน

### Rajamangala University of Technology Isan (RMUTI)

#### วัตถุประสงค์

1. เพื่อเป็นสื่อกลางในการแลกเปลี่ยนองค์ความรู้ด้านวิชาการ ด้านงานวิจัย และสิ่งประดิษฐ์ระหว่างนักวิชาการ และนักวิจัยกับผู้ที่สนใจทั่วไป

2. เพื่อเผยแพร่องค์ความรู้ทางวิชาการ ผลงานวิจัย และสิ่งประดิษฐ์ของนักวิชาการและนักวิจัยสู่สาธารณะ ทั้งในประเทศและต่างประเทศ

สาระ สาร มทร.อีสาน เน้นบทความทางด้านวิทยาศาสตร์และเทคโนโลยี ในสาขาวิชาดังต่อไปนี้

1. สาขาวิชาวิศวกรรมศาสตร์

2. สาขาวิชาเกษตรศาสตร์

3. สาขาวิชาสาขาวิชาการวิทยาศาสตร์และเทคโนโลยี

เป็นสาขาวิชานักศึกษาแนวความคิด ทฤษฎีและกฎหมายที่ทางวิทยาศาสตร์ ตั้งแต่ระดับอนุบาล ระดับไม่เลกูลไปจนถึงทั้งจักรวาล ปฏิกริยาทางเคมี ระหว่างอะตอนและไม่เลกูล อันเข้มข้นอย่างลึกซึ้งของลิ่มมีชีวิต และวัฒนาการของลิ่มมีชีวิต รวมถึงแนวความคิดพื้นฐานทางวิทยาศาสตร์และเทคโนโลยีที่มีความสำคัญและมีส่วนเกี่ยวข้องต่อการดำเนินชีวิตในปัจจุบัน ตลอดจนศึกษาถึงประดิษฐ์ของการถูกเอียงที่สำคัญๆ เกี่ยวกับพรหมเดคนแห่งความรู้ ระหว่างวิทยาศาสตร์และเทคโนโลยีกับลักษณะ และสิ่งแวดล้อม

#### เจ้าของ

สถาบันวิจัยและพัฒนา

มหาวิทยาลัยเทคโนโลยีราชมงคลอีสาน

744 ถนนราษฎร์ ต.ในเมือง อ.เมือง จ.นครราชสีมา 30000

โทรศัพท์ 0 - 4423 - 3063 โทรสาร 0 - 4423 - 3064

E-mail : rmuti.journal@gmail.com

#### พิมพ์เผยแพร่ปีละ 3 ฉบับ

ฉบับที่ 1 ประจำเดือนมกราคม - เดือนเมษายน

ฉบับที่ 2 ประจำเดือนพฤษภาคม - เดือนลิงหาคม

ฉบับที่ 3 ประจำเดือนกันยายน - เดือนธันวาคม

ทั้งนี้ ตั้งแต่ ปีที่ 8 ฉบับที่ 1 ประจำเดือนมกราคม - เดือนเมษายน 2558 เป็นต้นไป

#### ลิขสิทธิ์

ต้นฉบับที่ได้รับการตีพิมพ์ ถือเป็นลิขสิทธิ์ของ วารสาร มทร.อีสาน และบทความในวารสารเป็นแนวคิดของผู้แต่ง มิใช่เป็นความคิดของคณะกรรมการจัดทำวารสาร และมิใช่เป็นความรับผิดชอบของมหาวิทยาลัยเทคโนโลยีราชมงคลอีสาน

#### พิมพ์ที่

บริษัท สมบูรณ์การพิมพ์ จำกัด

โทรศัพท์ 044 - 954222 - 6

จำนวนพิมพ์ 120 เล่ม เดือนธันวาคม 2561

**วารสาร มทร.อีสาน**  
**RMUTI JOURNAL**

**ที่ปรึกษาของบรรณาธิการ**

ผู้ช่วยศาสตราจารย์ ดร.วิโรจน์ ลิ้มไขแสง  
อธิการบดีมหาวิทยาลัยเทคโนโลยีราชมงคลอีสาน

ดร.อนิวรรต ทาสุข

ผู้อำนวยการสถาบันวิจัยและพัฒนา มหาวิทยาลัยเทคโนโลยีราชมงคลอีสาน

รองศาสตราจารย์ ดร.วีรชัย พุทธวงศ์

ประธานหลักสูตรนิติวิทยาศาสตร์ มหาวิทยาลัยเกษตรศาสตร์

**กองบรรณาธิการ**

ศาสตราจารย์กิตติคุณ อร่วง	เปรมปรีดี	จุฬาลงกรณ์มหาวิทยาลัย
ศาสตราจารย์เกียรติคุณ ดร.พิรศักดิ์	ศรีนิเวศน์	มหาวิทยาลัยเกษตรศาสตร์
ศาสตราจารย์ ดร.ณรงค์ฤทธิ์	สมบัติสมภพ	มหาวิทยาลัยเทคโนโลยีพระจอมเกล้าธนบุรี
ศาสตราจารย์ ดร.ทวนทอง	จุฑากेतุ	มหาวิทยาลัยอุบลราชธานี
ศาสตราจารย์ ดร.ปาร์เมค	ชุดima	จุฬาลงกรณ์มหาวิทยาลัย
ศาสตราจารย์ ดร.เบี่ยมศักดิ์	เมนะเควด	จุฬาลงกรณ์มหาวิทยาลัย
ศาสตราจารย์ ดร.พิเชษฐ์	ลิ้มสุวรรณ	มหาวิทยาลัยเทคโนโลยีพระจอมเกล้าธนบุรี
ศาสตราจารย์ ดร.ไฟศาล	เหล่าสุวรรณ	มหาวิทยาลัยหาดใหญ่
ศาสตราจารย์ ดร.เมธा	วรรณพัฒน์	มหาวิทยาลัยขอนแก่น
ศาสตราจารย์ ดร.วินัย	ประلمพ์กาญจน์	มหาวิทยาลัยวลัยลักษณ์
ศาสตราจารย์ ดร.ศุภชัย	ปฤทุมนาคุณ	มหาวิทยาลัยขอนแก่น
ศาสตราจารย์ ดร.ลำเรือง	จักรใจ	มหาวิทยาลัยเทคโนโลยีพระจอมเกล้าธนบุรี
ศาสตราจารย์ ดร.สมชาติ	โภษภรณฤทธิ์	มหาวิทยาลัยเทคโนโลยีพระจอมเกล้าธนบุรี
ศาสตราจารย์ ดร.สุทธอรักษ์	เบญจกุล	มหาวิทยาลัยสงขลานครินทร์
ศาสตราจารย์ ดร.สุชาติ	ลิ่มกตัญญู	มหาวิทยาลัยสงขลานครินทร์
ศาสตราจารย์ ดร.อรอนงค์	นัยวิกุล	มหาวิทยาลัยเกษตรศาสตร์
รองศาสตราจารย์ ดร.กนกกร	อินทรพิเชฐ	มหาวิทยาลัยเทคโนโลยีสุรนารี
รองศาสตราจารย์ ดร.กนต์ธร	ชำนิประสาสน์	มหาวิทยาลัยเทคโนโลยีสุรนารี
รองศาสตราจารย์ ดร.คงศักดิ์	ราศุทอง	มหาวิทยาลัยขอนแก่น
รองศาสตราจารย์ ดร.เจษฎา	ราเรบุญ	มหาวิทยาลัยเทคโนโลยีพระจอมเกล้าพระนครเหนือ
รองศาสตราจารย์ ดร.ณรงค์ศักดิ์	ธรรมโขติ	มหาวิทยาลัยเทคโนโลยีราชมงคลอีสาน
รองศาสตราจารย์ ดร.ตะวัน	สุขน้อย	สถาบันเทคโนโลยีพระจอมเกล้าเจ้าคุณทหารลาดกระบัง
รองศาสตราจารย์ ดร.นิรัช	สุคลลังษ์	มหาวิทยาลัยเกรียง
รองศาสตราจารย์ ดร.บัณฑิต	กฤตาคม	มหาวิทยาลัยเทคโนโลยีราชมงคลอีสาน

## กองบรรณาธิการ (ต่อ)

รองศาสตราจารย์ ดร.ปราโมทย์	แพงคำ	มหาวิทยาลัยเทคโนโลยีสุรนารี
รองศาสตราจารย์ ดร.ปรีชา	กอเจริญ	วิทยาลัยเทคโนโลยีจิตรลดา
รองศาสตราจารย์ ดร.มนัส	ชัยจันทร์	มหาวิทยาลัยวัฒลักษณ์
รองศาสตราจารย์ ดร.รัตติกร	ยิ่มนิรัตน์	สถาบันวิทยลิรเมธี
รองศาสตราจารย์ ดร.คุกชัย	ลิงห์บุศย์	มหาวิทยาลัยมหาสารคาม
รองศาสตราจารย์ ดร.สรายุธ	เดชะปัญญา	มหาวิทยาลัยนูรพา
รองศาสตราจารย์ ดร.สนั่น	การค้า	มหาวิทยาลัยเทคโนโลยีราชมงคลลีลาภรณ์
รองศาสตราจารย์ ดร.สมพงษ์	คุลย์จินดาขนาพร	มหาวิทยาลัยขอนแก่น
รองศาสตราจารย์ ดร.สมพร	ไชยะ	94/7 หมู่บ้านวนาแลนด์ ซอย 5 ถนนสุวนิทวงศ์ อำเภอเมือง จังหวัดฉะเชิงเทรา 24000
รองศาสตราจารย์ ดร.สิทธิชัย	แสงอาทิตย์	มหาวิทยาลัยเทคโนโลยีสุรนารี
รองศาสตราจารย์ ดร.อาทิตย์	อัครสุขี	มหาวิทยาลัยเทคโนโลยีราชมงคลลีลาภรณ์
รองศาสตราจารย์ กัญจนा	ตันสุวรรณรัตน์	มหาวิทยาลัยเทคโนโลยีราชมงคลลีลาภรณ์
รองศาสตราจารย์ อุดมศักดิ์	สาริบุตร	สถาบันเทคโนโลยีพระจอมเกล้าเจ้าคุณทหารลาดกระบัง
ผู้ช่วยศาสตราจารย์ ดร.ไกรสิทธิ์	วสุเพ็ญ	มหาวิทยาลัยเทคโนโลยีราชมงคลลีลาภรณ์
ผู้ช่วยศาสตราจารย์ ดร.เกียรติสุดา	สมนา	มหาวิทยาลัยเทคโนโลยีราชมงคลลีลาภรณ์
ผู้ช่วยศาสตราจารย์ ดร.จักษดา	รำรุ่งวุฒิ	มหาวิทยาลัยเทคโนโลยีราชมงคลลีลาภรณ์
ผู้ช่วยศาสตราจารย์ ดร.ไมซิค	ศรีภูธร	มหาวิทยาลัยเทคโนโลยีราชมงคลลีลาภรณ์
ผู้ช่วยศาสตราจารย์ ดร.รัฐพล	สมนา	มหาวิทยาลัยเทคโนโลยีราชมงคลลีลาภรณ์
ผู้ช่วยศาสตราจารย์ ดร.วิชิต	สุทธิพร	มหาวิทยาลัยเทคโนโลยีราชมงคลลีลาภรณ์
ผู้ช่วยศาสตราจารย์ ดร.ศศิพันธ์	วงศ์สุทธิราวาล	มหาวิทยาลัยเทคโนโลยีราชมงคลลีลาภรณ์
ผู้ช่วยศาสตราจารย์ ดร.สำเนว์	เสาวกุล	มหาวิทยาลัยเทคโนโลยีราชมงคลลีลาภรณ์
ผู้ช่วยศาสตราจารย์ ดร.สุจิตรา	อุ่นเรือน	มหาวิทยาลัยเทคโนโลยีราชมงคลลีลาภรณ์
ดร.จารุพงษ์	บรรเทา	มหาวิทยาลัยเทคโนโลยีราชมงคลลีลาภรณ์
ดร.ชาครวิท	นวลจิมพลี	มหาวิทยาลัยเทคโนโลยีราชมงคลลีลาภรณ์
ดร.ชนิดา	เยรัมย์	มหาวิทยาลัยเทคโนโลยีราชมงคลลีลาภรณ์
ดร.ณรงค์ศักดิ์	โยชา	มหาวิทยาลัยเทคโนโลยีราชมงคลลีลาภรณ์
ดร.เยาวพา	ความหมั่น	มหาวิทยาลัยเทคโนโลยีราชมงคลลีลาภรณ์
ดร.สุกัญญา	คำหล้า	มหาวิทยาลัยเทคโนโลยีราชมงคลลีลาภรณ์
ดร.เดือนเพญ	วงศ์ลอน	มหาวิทยาลัยเทคโนโลยีราชมงคลลีลาภรณ์
นายปริญ	นาชัยลิทธิ์	มหาวิทยาลัยเทคโนโลยีราชมงคลลีลาภรณ์

## บรรณาธิการ

ผู้ช่วยศาสตราจารย์ ดร.วรรณรีบ วงศ์ไตรรัตน์

รองผู้อำนวยการฝ่ายบริหารงานทั่วไป

สถาบันวิจัยและพัฒนา มหาวิทยาลัยเทคโนโลยีราชมงคลอีสาน

### ฝ่ายจัดการและธุรการ

นางสาวรัตนากรณ์

ทมีเงิน

มหาวิทยาลัยเทคโนโลยีราชมงคลอีสาน

นางสาวสุภากรณ์

พิมสุคะ

มหาวิทยาลัยเทคโนโลยีราชมงคลอีสาน

นางสาวอรุณรักษ์

ดีราชรัมย์

มหาวิทยาลัยเทคโนโลยีราชมงคลอีสาน

## สารบัญ

### บทความวิจัย

การเปรียบเทียบประสิทธิภาพเชลล์แสงอาทิตย์ชนิดสีเหลืองไวแสงเมื่อใช้สีข้อมธรรมชาติ สกัดจากไฟลและดอกอัญชัน	1
ສາທາລະນະລັດ ປະຊາທິປະໄຕ ເອກະພາບ ປະຊາທິປະໄຕ	
ການຕຽບສ່ວນສະພາດຄອນກຣີຕ້ວຍຄືນເຮົາທີ່ ມັງກອນ ສະຫະ ວິວະນາຈ່າງ, ຊະນະບັນ ວິຂາລັຍ ແລະ ວິວະພັນໜ້າ ພົມພິມລ	17
ການປັບປຸດໃຫ້ພໍາຈາກຂົມວາລັດເມີນໂດຍໃໝ່ເທິກໂນໂລຢີແກ້ສີປີເກະັນ ເຈັນສັກດີ ເອກນູຽຮນະວັນນີ້	32
ການພັດທະນາຮັບຕິດຕາມດວງອາທິດຍີແບບສອງແກນດ້ວຍວິທີກາຮາກກາຫາຄ່າທີ່ເໜາະສົມ ເຕືອນແຮມ ແພ່ງເກື່າວ, ເອກວັງ ຂະອຸ່ນເອີຍດ, ອາທິດຍີ ທັກທານ, ເອກຊັ້ນ ເອັນເລັ້ນ ແລະ ລອງກຣິນ ຈັນທົງອີຣາຊ ພລຂອງອຸນຫກຸມໃນກາທໍາແທ້ຕ່ອດຕາກກາທໍາແທ້ ຄຸນພາຫທາງກາຍກາພແລະສົມບັດກາທໍາຕ້ານ ອນນູ້ລົດສະຫະອົງດອກໂສນ	57
ວິຈິຕາ ເທິງທະຮຸກລ, ຫ້າຍືນ ຈິරສົດຕອນຸສຣົນ, ນັ້ງຈົດົາ ເອີມນິລ ແລະ ຂີຣູາ ເທິງທະຮຸກລ ພລຂອງກາເປັນແປລັງອຸນຫກຸມໃນຮອບວັນຕ່ອກເຈົ້າຕົບໂຕແລະກາຜລິຫອກຊືນ Pir ຂອງເຊື້ອແບກທີ່ເຮີຍ Vibrio parahaemolyticus ສາຍພັນຈຸກ້ອໂຮກ Acute Hepatopancreatic Necrosis Disease (AHPND)	70
ນ້ອຍ ຈິරພົງສອຮຸກລ, ອຣົນີ່າ ວັດນາກຣິນ, ພົມພັນຈຸກ້ອ ແພຣກທອງ ແລະ ກິດຕິຫນມ້ ອຸເທະພັນຈຸກ້ອ ຮະບນເທົ່າຮັກການສູງຫາຍໃນຜູ້ປ່ວຍສູງອາຍຸ	89
ຈັກກຸ່າ ໂບທອງ, ອົ້າຝັ້ນ ທ່ານະຮະເດີນ, ຈິນດາ ດົງເຈົ້າ, ຄິວິກາ ພຸດົມືຄົນ ແລະ ສຸພັດຮາ ພຸດົມເນວັດຕົນ ການກຳຈັດຄວາມໜຸ່ນແລະປັບປານສາຮຄາວບອນອິນທີ່ລະລາຍໃນນ້ຳພົວຕິນຂອງຮະບນກາຜລິປະປາ ເທິກບາລຕາລສຸມ ຈັງຫວັດອຸບລາຮອນ້າ	101
ອມຮັດນີ້ ວິ່ງໝົກລົມ	
ການປະມານຄ່າຂອງເຂັ້ມແຂງນລອຍທັງທຶນໃນລຳນັ້ນພຸງດ້ວຍຂໍ້ມູນກາຕຽວຈັກຝັນທີ່ໂລກ ປະວິທີ່ ອ່ວງອາຮີ່, ພົມພັນຈຸກ້ອ ທິດິຍາ ວິ່ງໝົດົາ ແລະ ນັ້ງພັ້ນ ບັວທອງຈັນທີ່ ສົມບັດທາງກາຍກາພຂອງພ້າຍກເດີນມິນຄຣ	117
ຈຸ່າທາມາສ ຂຸນໄຂຍກາຮ, ສາກ ຊລສາກ ແລະ ວັດນາພລ ມົງຄລວຕນາລີທີ່	
ການປະມານຄ່າຂອງເຂັ້ມແຂງນລອຍທັງທຶນໃນລຳນັ້ນພຸງດ້ວຍຂໍ້ມູນກາຕຽວຈັກຝັນທີ່ໂລກ ປະວິທີ່ ອ່ວງອາຮີ່, ພົມພັນຈຸກ້ອ ທິດິຍາ ວິ່ງໝົດົາ ແລະ ນັ້ງພັ້ນ ບັວທອງຈັນທີ່ ຂໍ້ມູນທີ່ມີຄຸງກາລ	144
ກຸຖາພາຣ ພົມພັນຈຸກ້ອ	
ບົທຄວາມວິ່າການ	
ການພັດທະນາເຄຮ່ອງຈຸກ້າງຂົມວາພ: ການປັບປຸດໃຫ້ພໍາຈາກຂົມວາພ ເປັນພົມພັນຈຸກ້ອທີ່ມີຄຸງກາລ	165
ອາທິດຍີ ອັກລູ້, ນິກາວຽຣນ ເປັນກລາງ, ພົມພັນຈຸກ້ອ ກິຈຄິຣີ, ວິດາວຽຣນ ຕາມກລາງ ແລະ ຮູດິພຣ ວັນກຸລ	

## Table of Contents

### Research Articles

<b>Comparison of Dye-Sensitized Solar Cells Performance using Natural Dye Sensitizer Extracted from <i>Zingiber cassumunar</i> and <i>Clitoria ternatea</i></b>	<b>1</b>
Sataporn Komhom	
<b>Concrete Pavement Monitoring with Ground Penetrating Radar</b>	<b>17</b>
Narongchai Wiwattanachang, Chanarop Vichalai and Veerapong Pongpinimol	
<b>Biomass Pellets Electrical Power Generation System by Using Gasification Technology</b>	<b>32</b>
Jensak Ekburanawat	
<b>The Development of a Dual-Axis Solar Tracking System Using the Optimization Method</b>	<b>43</b>
Duanraem Phaengkieo, Accarat Chaoumead, Arthit Thatthan, Eakkachai Engseng, and Arongkorn Jantiras	
<b>Effect of Drying Temperatures on Drying Rate, Physical and Antioxidative Properties of <i>Sesbania javanica</i> Mig. Flowers</b>	<b>57</b>
Wijitra Liaotrakoon, Thayinee Jirasatitanusorn, Nattida Aemnin, and Vachiraya Liaotrakoon	
<b>Effect of Diurnal Temperature Change on Growth and Pir Toxin Production of <i>Vibrio parahaemolyticus</i> Causing Acute Hepatopancreatic Necrosis Disease (AHPND)</b>	<b>70</b>
Nion Chirapongsatonkul, Onnicha Rattanaporn, Pongpan Pragthong, and Kittichon U-taynapun	
<b>Getting Lost Monitoring System for the Elderly Patients</b>	<b>89</b>
Jakkrit Bobtong, Ifsan Manraden, Jinda Kongcharoen, Siwipa Pruittikanee, and Supattra Puttinaovarat	
<b>Removal of Turbidity and Dissolved Organic Carbon in Surface Water of Water Treatment Plant of Tansum Municipality, Ubon Ratchathani</b>	<b>101</b>
Amornrat Wongklom	
<b>Estimation of Total Suspended Solids in Pung River using Global Precipitation Measurement Data</b>	<b>117</b>
Prawit Uang-aree, Chadaporn Phommasaka Na Sakonnakhon, Thithiya Wongseeda, and Nattapach Buathongjant	
<b>Physical Properties of Yok Denim Nakhon Fabric</b>	<b>130</b>
Jutamat Khunchaikan, Sakorn Chonsakorn, and Rattanaphol Mongkholtattanasit	
<b>Comparison of the Efficiency of Forecasting Techniques for Univariate Models with Seasonal Data</b>	<b>144</b>
Krittaporn Phucharasupa	
<b>Academic Articles</b>	
<b>Development of the Bio-Based Economy: Conversion of Rice, Sugar Cane and Oil Palm Residues to Value-Added Products</b>	<b>165</b>
Artit Ausavasukhi, Nipawan Pengklang, Phattraphorn Kjjsiri, Ratchadawan Tamklang, and Titiporn Wattanakul	



การเปรียบเทียบประสิทธิภาพเซลล์แสงอาทิตย์ชนิดลีเย้มไวแสงเมื่อใช้ลีเย้มธรรมชาติสกัดจากไฟลและดอกอัญชัน

### Comparison of Dye-Sensitized Solar Cells Performance using Natural Dye Sensitizer Extracted from *Zingiber cassumunar* and *Clitoria ternatea*

สถาพร คำห้อม<sup>1\*</sup>

Received: December, 2017; Accepted: June, 2018

#### บทคัดย่อ

งานวิจัยนี้ศึกษาการใช้ลีเย้มธรรมชาติสกัดจากไฟลและดอกอัญชัน เพื่อใช้เป็นลีเย้มไวแสงสำหรับเซลล์แสงอาทิตย์ชนิดลีเย้มไวแสง ผลการวิเคราะห์พบว่าลีเย้มธรรมชาตินอนุภาคของไฟเทเนียมได้ออกไซด์สามารถคลุกเคล็นและในช่วงที่มองเห็นได้ที่ความยาวคลื่นรังสีทาง 400 – 800 นาโนเมตร การเปรียบเทียบประสิทธิภาพทางเคมีไฟฟ้าเชิงแสงของลีเย้มทั้งสองชนิดด้วยเงื่อนไขของค่า pH ในการสกัดคงที่เท่ากับ 7 โดยเปลี่ยนแปลงมวลที่ใช้สกัดต่อปริมาตรตัวทำละลายดังแต่ร้อยละ 1 3 5 7 9 11 15 และ 20 โดยมวลต่อปริมาตร พบร่วมกับค่ากำลังไฟฟ้าสูงสุดของเซลล์แสงอาทิตย์เมื่อใช้ลีเย้มทั้งสองชนิดเริ่มเข้าสู่ค่าคงที่ด้วยการสกัดที่ร้อยละ 11 โดยมวลต่อปริมาตร การใช้ลีเย้มสกัดจากไฟลให้ค่ากำลังไฟฟ้าสูงสุด 1.493 ไมโครวัตต์ต่อตารางเซนติเมตร ด้วยการสกัดที่ร้อยละ 15 โดยมวลต่อปริมาตร ในขณะที่ลีเย้มสกัดจากดอกอัญชันให้ค่ากำลังไฟฟ้าสูงสุด 0.684 ไมโครวัตต์ต่อตารางเซนติเมตร ด้วยการสกัดที่ร้อยละ 5 โดยมวลต่อปริมาตรจากนั้นเมื่อกำหนดค่าร้อยละ 11 โดยมวลต่อปริมาตรให้คงที่ โดยเปลี่ยนแปลงค่า pH ในการสกัดเท่ากับ 2.4 4.3 7.0 9.4 และ 11.0 พบร่วมกับค่ากำลังไฟฟ้าสูงสุดของเซลล์แสงอาทิตย์ที่ใช้ลีเย้มสกัดจากไฟลและ

<sup>1</sup> Department of Chemical and Materials Engineering, College of Engineering, Rangsit University, Pathumthani

\* Corresponding Author E - mail Address: sataporn.k@rsu.ac.th

ดอกอัญชันมีค่ากำลังไฟฟ้าสูงสุดเท่ากับ 1.444 และ 0.700 ในครัวต์ต่อตารางเซนติเมตร ที่ค่า pH ในการสักด้าก 7 และ 4.3 ทึ้งสองเงื่อนไขแสดงผลขัดเจนว่าการใช้ลีอ้อมสักด้ากไฟลให้ประสิทธิภาพทางเคมีไฟฟ้าเขิงแสงที่ดีกว่าลีอ้อมสักด้ากดอกอัญชัน

**คำสำคัญ :** เชลล์แสงอาทิตย์นิดลีอ้อมไว้แสง; ลีอ้อมธรรมชาติ; ค่ากำลังไฟฟ้าสูงสุด

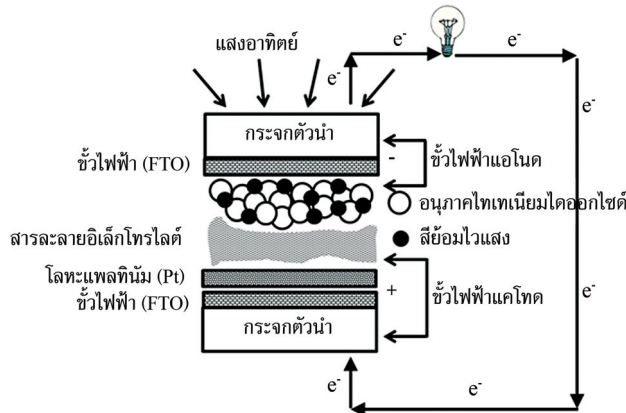
## Abstract

This research investigated the use of natural dye sensitizer extracted from *Zingiber cassumunar* and *Clitoria ternatea* for dye-sensitized solar cells (DSCs). The results showed that natural dye sensitizer on TiO<sub>2</sub> absorbed visible light in a region with peak between 400 and 800 nm. Photoelectrochemical properties of two natural dye sensitizers were compared in the extraction conditions at constant pH of 7, with the varying of extraction mass per volume of solvent: 1, 3, 5, 7, 9, 11, 15, and 20 %w/v. It was found that the highest maximum power of DSCs of both natural dye sensitizers reached to the constant when using of 11 %w/v. Dye sensitizer from *Zingiber cassumunar* showed the highest maximum power of 1.493  $\mu$ W/cm<sup>2</sup> at 15 %w/v while dye sensitizer from *Clitoria ternatea* showed the highest maximum power of 0.684  $\mu$ W/cm<sup>2</sup> at 5 %w/v. The following experiment at constant of 11 %w/v, with the varying of extraction pH values: 2.4, 4.3, 7.0, 9.4, and 11.0. It was found that the highest maximum power of DSCs using both natural dye sensitizers of 1.444 and 0.700  $\mu$ W/cm<sup>2</sup> at extraction pH 7.0 and 4.3, respectively. From both conditions, the photoelectrochemical properties of DSCs with dye sensitizer from *Zingiber cassumunar* were found to be apparently higher than that of *Clitoria ternatea*.

**Keywords:** Dye-Sensitized Solar Cells; Natural Dye Sensitizer; Maximum Power

## บทนำ

เชลล์แสงอาทิตย์ได้มีการพัฒนาอย่างมากในช่วงหลายปีที่ผ่านมา เชลล์แสงอาทิตย์นิดลีอ้อมไว้แสง คือแนวคิดใหม่ที่กำลังได้รับความสนใจ เนื่องจากมีความเป็นมิตรต่อสิ่งแวดล้อมและใช้ต้นทุนการผลิตต่ำ รูปที่ 1 แสดงส่วนประกอบของเชลล์แสงอาทิตย์นิดลีอ้อมไว้แสง การประกอบเชลล์ทำโดยใช้กระเจกเคลือบดีบุกօอกไซด์เจือด้วยฟลูออไรด์จำนวน 2 ชั้นประกอบกัน ชั้นท่าหน้าที่เป็นชั้วโลหะนำไฟฟ้าไปร่องแสง ชั้วแอโนดหรืออาจเรียกว่า ชั้วไฟฟ้าทำงาน (Working Electrode) คือกระเจกด้านรับแสงและเคลือบอนุภาคไทเทเนียมไดออกไซด์ที่มีรูพรุนขนาดเล็กจำนวนมากคุณภาพดีไม่เกลอกของลีอ้อมไว้แสงจนอิ่มตัว ชั้วแค็โพดหรืออาจเรียกว่า ชั้วไฟฟ้าตรงข้าม (Counter Electrode) คือกระเจกด้านที่เคลือบด้วยชั้นของคาร์บอนหรือโลหะแพลทินัมเพื่อใช้ร่างปฏิกิริยาเรียดออกซ์ของสารละลายอิเล็กโทรไลต์ เช่น ไอโอดีด (I<sup>-</sup>) และไตรไอโอดีดไออ่อน (I<sub>3</sub><sup>-</sup>) [1] - [2]



รูปที่ 1 ล่วนประกอบของเซลล์แสงอาทิตย์ชนิดลีย้อมไว้แสง

ปัจจัยของลีย้อมล่ำผลต่อการคุณภาพแสงแล้วเปลี่ยนพลังงานแสงเป็นพลังงานไฟฟ้า ซึ่งมีความสำคัญต่อประสิทธิภาพของเซลล์แสงอาทิตย์ชนิดลีย้อมไว้แสง การใช้ลีย้อมลังเคราะห์ของสารประกอบบูรุที่เนียมคุณชั้บนอนุภาคไบทเนียมไดออกไซด์แสดงประสิทธิภาพได้สูงสุดเท่ากับ 11 - 12 % [3] - [4] อย่างไรก็ตามเมื่อพิจารณาต้นทุนการผลิตที่สูงเพรเวการใช้โลหะมีคราภูในลีย้อมลังเคราะห์ทำให้ยังคงเป็นข้อเสียที่น่าจะพัฒนาต่อไป ด้วยเหตุผลนี้การใช้ลีย้อมธรรมชาติจึงมีความน่าสนใจในการแก้ปัญหาด้านต้นทุนงานวิจัยการใช้ลีย้อมธรรมชาติเป็นลีย้อมไว้แสงได้มีการพัฒนามาอย่างต่อเนื่อง จากที่ผ่านมาพบว่าเซลล์แสงอาทิตย์สามารถแสดงประสิทธิภาพได้สูงถึง 9.8 % [5] ในส่วนข้อโต้แย้งเกี่ยวกับความยุ่งยากของการสักดิลีย้อมธรรมชาติและปริมาณของการสักดิได้ค่าบัญคงเป็นเรื่องที่ต้องพิจารณา แต่ด้วยแหล่งของวัตถุน้ำที่มีความหลากหลายและข้อดี เช่น ความไม่เป็นพิษและเป็นมิตรต่อสภาพแวดล้อม ยังคงเป็นสิ่งเด็ดขาดให้มีการทำวิจัยอยู่เป็นจำนวนมาก นักวิจัยพยายามค้นหาและพัฒนาลีย้อมไว้แสงจากลีย้อมธรรมชาติกันอย่างต่อเนื่อง สารประกอบภายในลีย้อมธรรมชาติ เช่น แอนโโนไซด์านิน เคอร์คูมิน แคโรทิน แทนนิน และคลอโรฟิลล์ ในพืชหลายชนิดได้ถูกศึกษาถึงการล่ำผลต่อประสิทธิภาพของเซลล์แสงอาทิตย์เมื่อถูกใช้เป็นลีย้อมไว้แสง [6] - [9] โดยทั่วไปแอนโโนไซด์านินถูกพบได้ในผล ดอก และใบของพืช สามารถตอบสนองต่อสีที่หลากหลายในช่วงสีแดงถึงสีน้ำเงิน หมู่carotenoidและไฮดรอกซิลของโมเลกุลแอนโโนไซด์านินสามารถยึดติดกับพื้นผิวรูพรุนของไบทเนียมไดออกไซด์ได้ ทำให้ช่วยล่ำเสริมการถ่ายเทอิเล็กตรอนจากโมเลกุลของแอนโโนไซด์านินไปยังแกนการนำกระแส (Conduction Band) ของไบทเนียมไดออกไซด์ [10] ตัวอย่างงานวิจัยที่ผ่านมาได้ศึกษาการใช้ลีย้อมธรรมชาติที่สักดิจากเปลือกของพริกไม้คอกพุดในสกุลพุดดง การวิเคราะห์ได้พบหมู่ฟังก์ชันในลีย้อมที่เป็นสารประกอบแอนโโนไซด์านิน ซึ่งเมื่อใช้เป็นลีย้อมไว้แสงแล้วสามารถแสดงประสิทธิภาพทางไฟฟ้าได้เป็นที่น่าพอใจ [11] ด้วยความหลากหลายของวัตถุน้ำที่ในการสักดิลีย้อมธรรมชาติตัดบีทก่ำว่ามากขึ้น ทำให้แม้ในต่างประเทศยังคงมีการศึกษาถึงการสักดิลีย้อมธรรมชาติจากพืชพื้นเมือง ผลการทดสอบประสิทธิภาพทางเคมีไฟฟ้าเชิงแสงพบว่าสารตัวอ่อนเป็นลีย้อมไว้แสงในเซลล์แสงอาทิตย์ได้ [12] นอกจากนี้ยังมีงานวิจัยการใช้ลีย้อมธรรมชาติสักดิจากว่านทางจะระเข้และกระบongเพชรเป็นลีย้อมไว้แสง ผลการวิเคราะห์การคุณภาพแสงด้วยวิธีวิวิฟูเรียร์ทรานส์ฟอร์ม อินฟราเรด สเปกโทرمิเตอร์ (Fourier Transform Infrared Spectrometer, FT-IR) พบร่องสร้างของคลอโรฟิลล์

และแอนโทไชyanin ที่สามารถช่วยในการคัดชั้นในไฟเทเนียมได้มาก โครงสร้างของคลอร์ฟิล์สีเขียวที่ดีกว่าในการใช้เป็นลีดสี้อมไว้แสง [13] ในแนวคิดที่น่าสนใจคือ การเปรียบเทียบโครงสร้างของเควอร์คูมินกับโครงสร้างของแอนโทไชyanin จะล่วงผลต่อการใช้งานเป็นลีดสี้อมไว้แสงอย่างไร งานวิจัยที่ผ่านมาของลาระประกอบเควอร์คูมินได้แสดงการคัดกลืนแสงที่มองเห็นในช่วงความยาวคลื่น 420 - 580 นาโนเมตร และยังมีงานวิจัยอื่นที่เกี่ยวข้องได้ศึกษาการสกัดลีดสี้อมธรรมชาติจากเหง้าของขมิ้นเพื่อใช้เป็นลีดสี้อมไว้แสงในเชลล์แสงอาทิตย์ [14]

ด้วยเหตุที่ไม่เลกุลของเควอร์คูมินและแอนโทไชyanin มีอยู่มากในไฟล์และดอกอัญชัน ทำให้สามารถใช้เป็นลีดสี้อมไว้แสง งานวิจัยนี้ออกแบบการใช้ลีดสี้อมไว้แสงแล้ว ยังได้ทำการเปรียบเทียบประสิทธิภาพของลีดสี้อมธรรมชาติที่ไม่เลกุลของเควอร์คูมินและแอนโทไชyanin ซึ่งได้ทำการสกัดจากไฟล์และดอกอัญชัน ภายใต้เงื่อนไขการสกัดที่เปลี่ยนแปลงค่าร้อยละโดยมวลต่อปริมาตรและค่า pH ที่ใช้ในการสกัด

## วิธีดำเนินการทดลอง

### 1. การเตรียมลีดสี้อมไว้แสงจากลีดสี้อมธรรมชาติ

ลีดสี้อมธรรมชาติสกัดจากไฟล์และดอกอัญชันโดยใช้ตัวทำละลายเมทานอล มีขั้นตอนดังนี้

ขั้นที่ 1 ล้างตัวถุนด้วยน้ำให้สะอาดแล้วอบแห้งที่อุณหภูมิ 50 องศาเซลเซียส

ขั้นที่ 2 บดตัวถุนที่อบแห้งแล้วทำให้เป็นผง

ขั้นที่ 3 นำผงตัวถุนใส่ในเมทานอลปริมาตร 100 มิลลิลิตร ทำการสกัดที่อุณหภูมิ 50 องศาเซลเซียส เป็นเวลา 30 นาที

ขั้นที่ 4 ทำการกรองและเก็บสารละลายน้ำในสภาวะทึบแสง การสกัดมีการเปลี่ยนแปลงตัวแปร 2 ตัวคือ

- เปลี่ยนแปลงค่ามวลที่ใช้ในการสกัดตั้งแต่ร้อยละ 1 3 5 7 9 11 15 และ 20 โดยมวลต่อปริมาตร

- เปลี่ยนแปลงค่า pH ในการสกัดเท่ากับ 2.4 4.3 7 9.4 และ 11 โดยใช้สารละลายน้ำ 0.1 มोลาริตี ของสารละลายน้ำไฮดรอกไซด์

### 2. การเตรียมเชลล์แสงอาทิตย์ชนิดลีดสี้อมไว้แสง

ทำการล้างตัวถุนด้วยน้ำให้สะอาดแล้วอบแห้งที่อุณหภูมิ 50 องศาเซลเซียส จนกว่าจะแห้ง แล้วนำไปต้มในน้ำเดือด 10 นาที

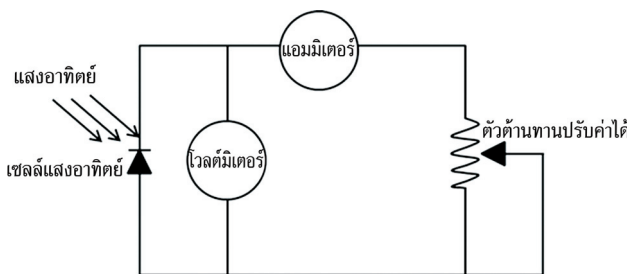
- แผ่นข้าวไฟฟ้าลบ เริ่มจากการเตรียมครีมสารละลายน้ำในไฟเทเนียมได้อกไซด์ โดยผสมอนุภาคไฟเทเนียมได้อกไซด์ กระดาษซิติก พอลิเอทิลีนไกลคอล และสารลดแรงตึงผิว Triton X-100 เข้าด้วยกัน จากนั้นใช้วิธีการคอกเตอร์เบลด (Doctor-Blade) ทำพิล์มน้ำของไฟเทเนียมได้อกไซด์บนกระดาษทึบแสง ซึ่งจะได้ขนาดของพิล์มน้ำที่สม่ำเสมอ มีขนาดพื้นที่ 1 ตารางเซนติเมตร

- แผ่นข้าวไฟฟ้าลบ เตรียมโดยทำพิล์มน้ำของครีมแพลงก์ตอนบนกระดาษทึบแสงโดยใช้วิธีการคอกเตอร์เบลด เช่นเดียวกัน

3. สารละลายนิ่งไนโตรเจน ไดร์ฟายมูฟฟ์ ไอโอดีฟลูอิดฟลูอิเดียม ไอโอดีฟลูอิเดียมกันแล้วละลายในเอทิลีนไกลคอล แผ่นข้าไฟฟ้าลับและข้าไฟฟ้าบวกจะถูกนำไปให้ความร้อนที่อุณหภูมิ 80 องศาเซลเซียส เป็นเวลา 10 นาที หลังจากนั้นจะให้ความร้อนที่อุณหภูมิสูง 450 องศาเซลเซียส เป็นเวลา 30 นาที เมื่อตั้งไว้จนเย็นตัวแล้ว นำกระจุกฟิล์มไทด์เทเนียมโดยอุ่นให้ดิบจุ่มในสารละลายน้ำที่อุณหภูมิ 60 องศาเซลเซียส เป็นเวลา 24 ชั่วโมง จากนั้นนำขึ้นมาล้างด้วยเอทานอลแล้วอบให้แห้งที่อุณหภูมิ 60 องศาเซลเซียส เป็นเวลา 10 นาที ขั้นตอนสุดท้ายคือการนำมาระบบกับกระจุกฟิล์มแพลทินัมโดยสอดแผ่นไขรินไว้ตรงกลางแล้วทำการหยอดสารละลายนิ่งไนโตรเจนลงไประหว่างแผ่นข้าไฟฟ้าทั้งสอง

### 3. การวัดประสิทธิภาพทางเคมีไฟฟ้าเชิงแสง

การคุณภาพลีนแสงของลีดอมธรรมชาติคุณภาพบันทึกฟิล์มไทด์เทเนียมโดยอุ่นให้ดิบแสดงผลวิเคราะห์โดยเครื่องยูวี เทอร์โม (UV-Thermo) การคำนวณค่ากำลังไฟฟ้าสูงสุดและค่าพิลแฟคเตอร์แสดงผลวิเคราะห์โดยการสร้างกราฟความสัมพันธ์ของกระแสไฟฟ้าและแรงดันไฟฟ้าของเซลล์แสงอาทิตย์ วิธีการต่อวงจรประกอบด้วย เซลล์แสงอาทิตย์ แอมมิเตอร์ โวลต์มิเตอร์ และตัวต้านทานปรับค่าได้ ดังรูปที่ 2 การทดลองใช้แหล่งกำเนิดแสงสีขาวขนาด 100 มิลลิวัตต์ต่อตารางเซนติเมตร จากเครื่องจำลองแสงอาทิตย์ (Solar Simulator) ขนาด 300 วัตต์ บันทึกผลโดยเครื่องวัดและบันทึกค่าไฟฟ้า (Voltage Recorder VR-71)



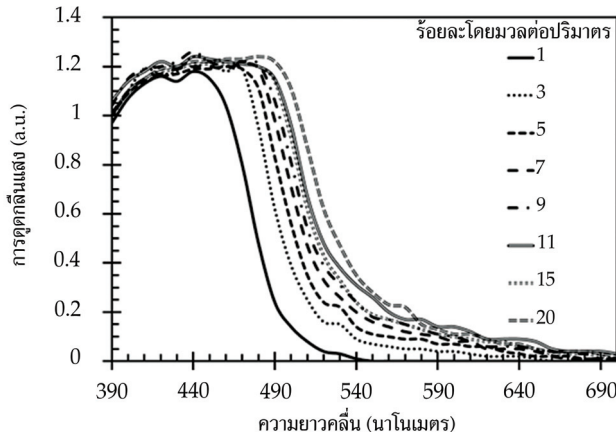
รูปที่ 2 การต่อวงจรเพื่อวัดกระแสไฟฟ้าและแรงดันไฟฟ้าของเซลล์แสงอาทิตย์

## ผลการทดลองและวิจารณ์

### 1. การคุณภาพลีนแสงของลีดอมไวแสง

ลีดอมธรรมชาติสักด้วยไฟฟ้าแสดงเส้นสเปกตรัมการคุณภาพลีนแสงดังรูปที่ 3 เส้นสเปกตรัมแสดงตำแหน่งการคุณภาพลีนแสงในช่วงความยาวคลื่นไกลเคียงกันและมีค่าสูงสุดที่ความยาวคลื่นประมาณ 490 นาโนเมตร โดยอยู่ในช่วงของการมองเห็นซึ่งจะมีความยาวคลื่นระหว่าง 380 – 780 นาโนเมตร เส้นสเปกตรัมมีการขยายความสูงและความกว้างของความยาวคลื่นเมื่อมีการเพิ่มขึ้นของร้อยละโดยมวลต่อปริมาตรของการสักด้วยน้ำมันขยายน้ำได้สูงสุดเมื่อใช้การสักด้วยร้อนละ 20 โดยมวลต่อปริมาตร เมื่อเปรียบเทียบกับงานวิจัยการสักด้วยลีดอมธรรมชาติจากพลไม้ เช่น แบล็คเบอร์รี่ บลูเบอร์รี่ เชอร์รี่ ราสเบอร์รี่ และสตรอว์เบอร์รี่ ซึ่งมีส่วนประกอบหลักเป็นแอนโพรไนนินท์ทั้งหมด โดยความแตกต่างของส่วนประกอบของแอนโพรไนนินในผลไม้แต่ละชนิดเมื่อถูกวิเคราะห์ค่าการคุณภาพลีนแสงพบว่าเส้นสเปกตรัมมีรูปร่าง

ที่เหมือนกันและมีความแตกต่างกันเล็กน้อยในความสูงและความกว้างของค่าความยาวคลื่น [15] ผลของงานวิจัยดังกล่าวมีลักษณะคล้ายกันกับกรณีของไฟลในงานวิจัยนี้ อย่างไรก็ตามความสามารถการคุ้กคืนแสงในช่วงที่กว้างจะส่งผลคือต่อการนำไปใช้งานเป็นสีข้อมวลแสง

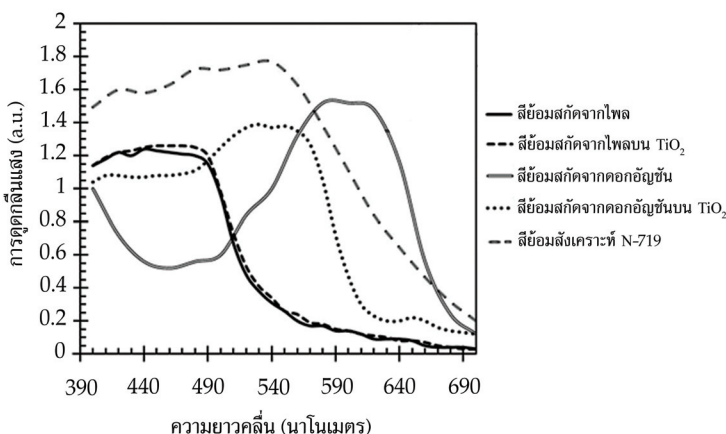


รูปที่ 3 เส้นสเปกตรัมการคุ้กคืนแสงของสีข้อมลสักด้ากไฟลเมื่อเปลี่ยนแปลงร้อยละโดยมวลต่อปริมาตรของการสักด้า

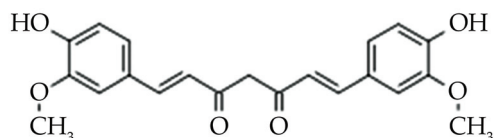
การเปรียบเทียบเส้นสเปกตรัมการคุ้กคืนแสงของสีข้อมลสักด้ากไฟลและดอกอัญชัน และคงดั้งรูปที่ 4 พบร่วมกันและหลังการคุ้กซับบนไฟแทนเนียมไดออกไซด์มีตำแหน่งการคุ้กคืนแสงในช่วงความยาวคลื่นระหว่าง 390 - 490 นาโนเมตร ในขณะเดียวกันสีข้อมลสักด้ากไฟล มีสเปกตรัมการคุ้กคืนแสงบ่งบอกถึงความแตกต่างของสารประกอบในสีข้อมลทั้งสองชนิด และสีข้อมลสักด้ากไฟลมีสเปกตรัมการคุ้กคืนแสงที่กว้างกว่าสีข้อมลสักด้ากดอกอัญชัน และร่วมกับสีข้อมลสักด้ากไฟล มีการคุ้กคืนแสงในช่วงที่มองเห็นได้ [16]

โดยทั่วไปรังควัตถุของพืชในสีข้อมธรรมชาติที่พบส่วนใหญ่เชิงสารประกอบใช้เป็นสีข้อมไวแสงได้มีอยู่ 4 กลุ่ม 1) คลอโรฟิลล์ (Chlorophyll) 2) พลาโวนอยด์ (Flavonoids) 3) แอนโทไซยานิน (Anthocyanins) 4) แคโรทีนอยด์ (Carotenoids) ความแตกต่างทางโครงสร้างของรังควัตถุทั้ง 4 ชนิด ทำให้ปราภูมิเป็นสีต่าง ๆ และมีความยาวคลื่นของ การคุ้กคืนแสงที่ต่างกันด้วย จากรายงานวิจัยที่ผ่านมา พบว่าคลอโรฟิลล์เป็นรังควัตถุสำคัญที่ให้สีเขียว ให้ความยาวคลื่นของ การคุ้กคืนแสงส่วนใหญ่ที่ค่าประมาณ 600 nm ขึ้นไป ส่วนพลาโวนอยด์เป็นรังควัตถุที่สามารถเปลี่ยนโครงสร้างได้มากมาย ความยาวคลื่นของ การคุ้กคืนแสงส่วนใหญ่มีค่าประมาณ 400 nm ในขณะที่แอนโทไซยานินเป็นรังควัตถุที่สำคัญมาก อีกชนิดหนึ่งเมื่อมองกับคลอโรฟิลล์ โดยส่วนใหญ่ปราภูมิเป็นสีน้ำเงิน มีความยาวคลื่นของ การคุ้กคืนแสงประมาณ 520 - 650 nm และชนิดสุดท้ายแคโรทีนอยด์เป็นรังควัตถุที่อาจปราภูมิเป็นสีแดง สีส้ม หรือสีเหลืองและมีความยาวคลื่นของ การคุ้กคืนแสงประมาณ 400 - 520 nm [17] เมื่อเปรียบเทียบกับงานวิจัยฉบับนี้พบว่ามีความเป็นไปได้ที่สีข้อมลสักด้ากดอกอัญชันจะมีรังควัตถุแอนโทไซยานินเป็นองค์ประกอบส่วนใหญ่ในสีข้อม เพราะมีความลอดคล้องของสีและค่าการคุ้กคืนแสง ส่วนในกรณีของ

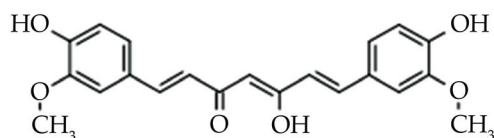
ลีย์ออมสกัดจากไฟล์มค่าความยาวคลื่นของการดูดกลืนแสงใกล้เคียงกับรังควัตถุแคโรทีโนยด์ แต่ไฟล์จัดเป็นพืชในตระกูลเดียวกับขมิ้นชันที่ให้รังควัตถุลำดับเป็นเครอร์คูมิน (Curcumin) ซึ่งให้ค่าการดูดกลืนแสงที่ความยาวคลื่นใกล้เคียงกับรังควัตถุแคโรทีโนยด์ ดังนั้นลักษณะของลีย์ออมสกัดจากไฟล์จะให้สารประกอบของเครอร์คูมิน ซึ่งคือกลุ่มของฟีโนอล (Phenol) ธรรมชาติตี่ที่ตอบสนองต่อสีเหลือง แม้ว่าเครอร์คูมินจะมีโครงสร้างหลายรูป แต่รูปแบบอีนอล (Enol) ในสถานะของแข็งและสารละลายจะมีผลีรภาพทางความร้อนและทางเคมีเป็นอย่างมาก แสดงดังรูปที่ 5 สารนี้จะแสดงความยาวคลื่นของการดูดกลืนแสงในช่วงที่กว้างระหว่าง 420 - 580 นาโนเมตร [16]



รูปที่ 4 เส้นสูงแสดงการดูดกลืนแสงของลีย์ออมสกัดจากไฟล์และดอกอัญชันเปรียบเทียบกับลีย์ออมสังเคราะห์ N-719



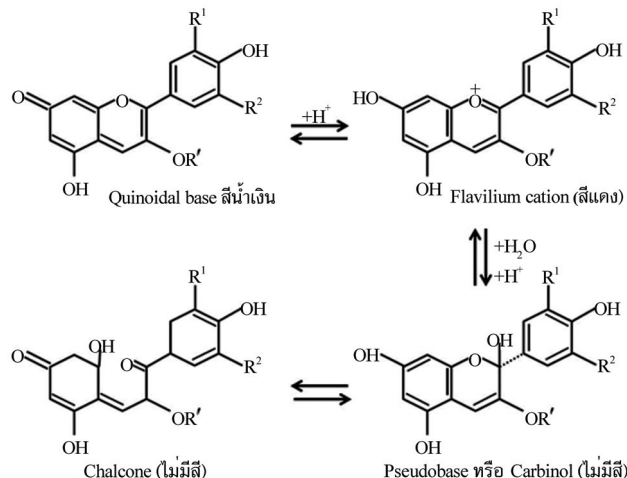
(ก) รูปแบบคีโต (1, 3-Diketo Form)



(ข) รูปแบบอีนอล (Enol Form)

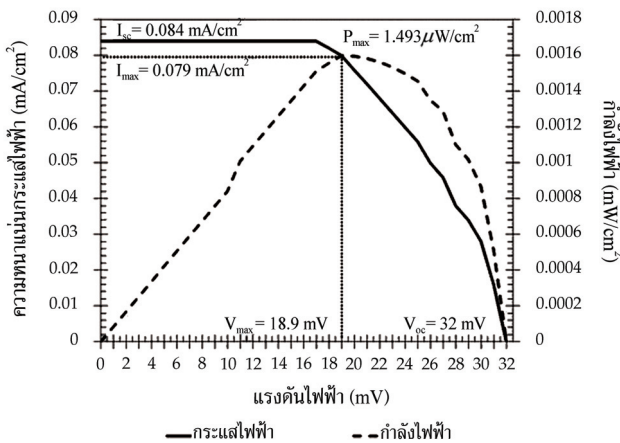
รูปที่ 5 โครงสร้างทางเคมีของเครอร์คูมิน

ในกรณีของลีย์ออมสกัดจากตอกอัญชันที่มีล่วงประกอบของแอนโธไซยาโนน ซึ่งเป็นสารประกอบที่สามารถพบรได้ในเนื้อเยื่อของพืชชั้นสูง ได้แก่ ใน ลำต้น ราก ดอก และผล เป็นสีที่ลະลายน้ำได้และอาจปรากฏเป็นสีแดง ม่วง หรือน้ำเงิน ขึ้นอยู่กับโครงสร้างพื้นฐานและค่า pH ของสารละลาย

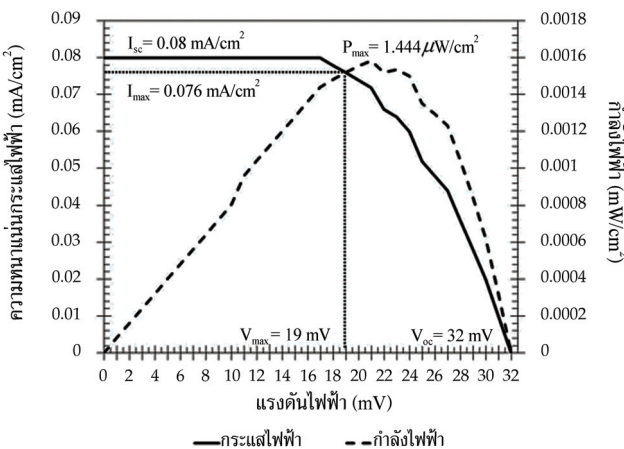


### รูปที่ 6 การเปลี่ยนรูปของแอนโトイไซานินในสภาวะค่า pH ที่ต่างกัน

การดูดซับทางเคมีของลีดองสกัดจากไฟลและดอกอัญชันเกี่ยวข้องกับโครงสร้างทางเคมีของสารประกอบเครอร์คูมินและแอนโトイไซานิน ด้วยเหตุผลว่ากลไกการดูดซับทางเคมีเกิดขึ้นจากการควบแน่นของโปรตอนของแอลกอฮอล์ด้วยหมู่ไฮดรอกซิลบนพื้นผิวโครงสร้างต้นนาโนเมตรของไฟเทเนียม ได้ออกไซด์ [19] ลีดองสกัดจากไฟลที่ดูดซับบนอนุภาคของไฟเทเนียมได้ออกไซด์ยังคงมีสเปกตรัมการดูดกลืนแสงที่กว้าง และกว่าลีดองมีการดูดซับได้ดีและมีความแข็งแรงของการดูดซับ ทำให้ส่งเสริมอันตรกิริยานพื้นผิวของพิล์มไฟเทเนียมได้ออกไซด์ [20] นอกจากนี้สเปกตรัมการดูดกลืนแสงของลีดองสกัดจากไฟลที่ดูดซับบนไฟเทเนียมได้ออกไซด์มีการเลื่อนตำแหน่งเล็กน้อยในทิศทางของความยาวคลื่นที่สูงขึ้น ในขณะที่ลีดองสกัดจากดอกอัญชันมีแนวโน้มการเลื่อนตำแหน่งของความยาวคลื่นในทิศทางตรงกันข้าม การเลื่อนตำแหน่งของสเปกตรัมการดูดกลืนแสงที่เกิดขึ้นนี้แสดงถึงอันตรกิริยาระหว่างลีดองและพื้นผิวของไฟเทเนียมได้ออกไซด์ที่แสดงอำนาจทางไฟฟ้าเป็นประจุบวก เกี่ยวข้องกับพันธะเคมีในรูปแบบ C-O-Ti [10] นั่นอาจเป็นไปได้ว่าอันตรกิริยาของลีดองสกัดจากไฟลแข็งแรงกว่าลีดองสกัดจากดอกอัญชัน เพราะผลโดยตรงของการยึดติดระหว่างโมเลกุลลีดองสกัดจากไฟลพื้นผิวไฟเทเนียมได้ออกไซด์ที่มีประสิทธิภาพมากกว่าทำให้ช่วยส่งเสริมการดูดกลืนแสงโดยอนุภาคไฟเทเนียมได้ออกไซด์ [12] ในอีกเหตุผลหนึ่งที่เป็นไปได้คือโครงสร้างของแอนโトイไซานินในลีดองสกัดจากดอกอัญชันมีหลายรูปแบบ จึงทำให้เกิดการซัดซ้ำของความไม่เป็นระเบียบกับพื้นผิวไฟเทเนียมได้ออกไซด์ จึงทำให้ลดประสิทธิภาพการเคลื่อนย้ายอิเล็กตรอนจากโมเลกุลลีดองไปยังแบบการนำกระแสของไฟเทเนียมได้ออกไซด์ [21]



(ก) ทำการสักดิ้นร้อยละ 15 โดยมวลต่อปริมาตร และค่า pH เท่ากับ 7

(ข) ทำการสักดิ้นร้อยละ 11 โดยมวลต่อปริมาตร และค่า pH เท่ากับ 9.4  
รูปที่ 7 กราฟ กระแส แรงดัน และกำลังไฟฟ้า ของเซลล์แสงอาทิตย์ที่ใช้ลิ่ย้อมสักดิ้นจากไพล

## 2. ประสิทธิภาพทางเคมีไฟฟ้าที่เหนี่ยวนำด้วยแสงของเซลล์แสงอาทิตย์

รูปที่ 7 แสดงกราฟความล้มเหลวระหว่าง กระแส แรงดัน และกำลังไฟฟ้า ของเซลล์แสงอาทิตย์ที่ใช้ลิ่ย้อมสักดิ้นจากไพลและดอกอัญชัน กราฟแสดงการทดสอบทางเคมีไฟฟ้าที่เหนี่ยวนำด้วยแสงและผลการคำนวณแสดงดังตารางที่ 1 ประกอบด้วย ค่ากระแสไฟฟ้าขณะลักษณะจزر ( $I_{SC}$ ) ค่าแรงดันไฟฟ้าขณะเปิดวงจร ( $V_{OC}$ ) ค่ากำลังไฟฟ้าสูงสุด ( $P_{max}$ ) และค่าไฟลแฟคเตอร์ (Fill Factor, FF) การศึกษาผลของมวลที่ใช้สักดิ้นแสดงผลว่า การใช้ลิ่ย้อมสักดิ้นจากไพลที่เงื่อนไขการสักดิ้นร้อยละ 15 โดยมวลต่อปริมาตรภายในเซลล์แสงอาทิตย์ แสดงค่ากระแสไฟฟ้าขณะลักษณะจزرเท่ากับ 0.084 มิลลิแอมเปรต่อตารางเซนติเมตร ค่าแรงดันไฟฟ้าขณะเปิดวงจรเท่ากับ 32 มิลลิโวลต์ ค่ากำลังไฟฟ้าสูงสุด 1.493 ไมโครวัตต์ต่อตารางเซนติเมตร และค่าไฟลแฟคเตอร์ 55.54 %

ในกรณีของการใช้สีอ้อมสักด้ากดอกอัญชัน สภาวะที่ดีที่สุดให้ค่ากำลังไฟฟ้าสูงสุด 0.684 ไมโครวัตต์ ต่อตารางเซนติเมตร ที่เงื่อนไขการสักด้วยละ 5 โดยมวลต่อปริมาตร ภายน้ำค่า pH เท่ากับ 7 ในส่วนของการศึกษาผลของค่า pH ที่ใช้ในการสักด้วยสีอ้อมต่อประสิทธิภาพในการใช้เป็นสีอ้อมไว้แสงสำหรับเซลล์แสงอาทิตย์ ได้กำหนดเงื่อนไขการสักด้วยละ 11 โดยมวลต่อปริมาตรให้คงที่สำหรับไฟลและดอกอัญชัน ที่ใช้สักด้า พนว่าค่า pH ใน การสักด้วย 9.4 คือสภาวะที่ดีที่สุดสำหรับการสักด้วยสีอ้อมจากไฟล และคงค่ากระแสไฟฟ้าขณะลัดวงจรเท่ากับ 0.08 มิลลิแอม培ร์ต่อตารางเซนติเมตร ค่าแรงดันไฟฟ้าขณะเปิดวงจรเท่ากับ 32 มิลลิโวลต์ ค่ากำลังไฟฟ้าสูงสุด 1.444 ไมโครวัตต์ต่อตารางเซนติเมตร และค่าไฟลแฟคเตอร์ 56.41 % ในกรณีของการสักด้วยสีอ้อมจากดอกอัญชัน สภาวะที่ดีที่สุดคือ ค่า pH ใน การสักด้วย 4.3 ให้ค่ากำลังไฟฟ้าสูงสุด 0.700 ไมโครวัตต์ต่อตารางเซนติเมตร ผลการทดลองของตัวแปรมวล และค่า pH ที่ใช้สักด้านี้ สามารถกล่าวได้ว่าเซลล์แสงอาทิตย์ชนิดสีอ้อมไว้แสงที่ใช้สีอ้อมธรรมชาติสักด้ากไฟล เป็นสีอ้อมไว้แสงที่ประดิษฐ์ทางไฟฟ้าที่ดีกว่าการใช้สีอ้อมธรรมชาติสักด้ากดอกอัญชัน แต่เมื่อเปรียบเทียบกับการใช้สีอ้อมลังเคราะห์ N-719 ยังมีประสิทธิภาพทางไฟฟ้าที่ต่ำกว่าอย่างชัดเจน

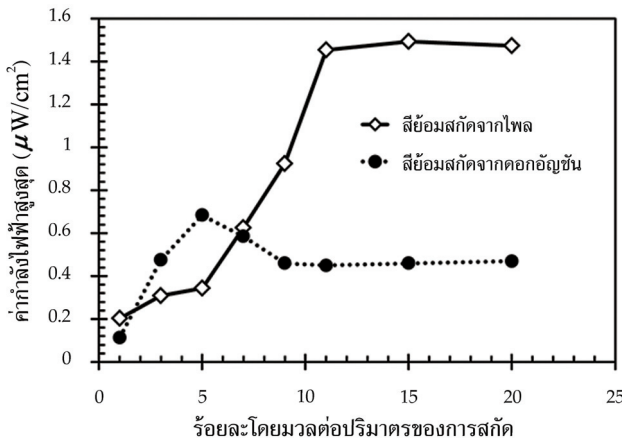
ผลการทดลองที่ช่วยสนับสนุนความสามารถพิจารณาจากการฟูรูปที่ 4 เเล่นสเปกตรัมการคูดกลืน แสงของสีอ้อมลังเคราะห์จะมีความกว้างที่ขัดเจนมากที่สุด ด้วยเหตุผลว่าในโครงสร้างโมเลกุลของสีอ้อมลังเคราะห์แสดงหมู่ฟังก์ชันของกรุคาร์บออกซิลิกที่ส่วนปลาย ซึ่งสามารถสนับสนุนความมีสีสีริภพ และความเป็นคู่แรงกระทำทางอิเล็กทรอนิกส์ที่สูงระหว่างสีอ้อมและพื้นผิวของสารกึ่งตัวนำ นั่นคือการมีพันธะที่ช่วยส่งผ่านอิเล็กตรอนจากโน้มเกลือสีอ้อมในชั้นกรุตุนไปยังพิล์มของไฟเทเนียมโดยออกไซด์ [10] เหตุผลนี้บ่งบอกว่าอันตรายร้ายห่วงสีอ้อมกับชั้นพิล์มของไฟเทเนียมโดยออกไซด์มีความสำคัญในการส่งเสริมค่ากำลังไฟฟ้าสูงสุดของเซลล์แสงอาทิตย์

#### ตารางที่ 1 ค่าทางไฟฟ้าของเซลล์แสงอาทิตย์ที่ใช้สีอ้อมสักด้ากไฟลและดอกอัญชันเป็นสีอ้อมไว้แสง

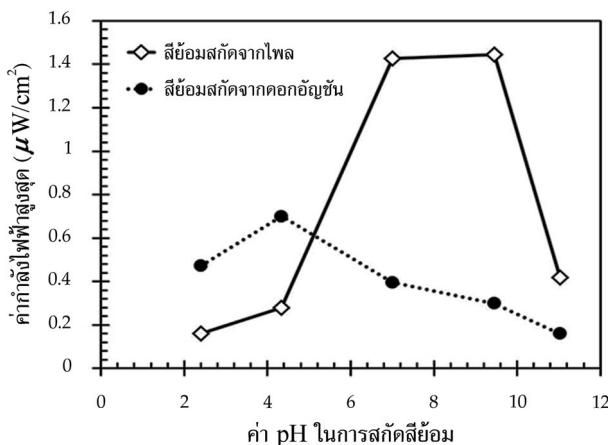
ชนิดของสีอ้อมธรรมชาติ (เงื่อนไขในการสักด)	$I_{sc}$ (mA/cm <sup>2</sup> )	$V_{oc}$ (mV)	$P_{max}$ ( $\mu$ W/cm <sup>2</sup> )	FF (%)
สีอ้อมสักด้ากดอกอัญชัน (ร้อยละ 5 โดยมวลต่อปริมาตร, ค่า pH = 7)	0.004	222	0.684	77.03
สีอ้อมสักด้ากไฟล (ร้อยละ 15 โดยมวลต่อปริมาตร, ค่า pH = 7)	0.084	32	1.493	55.54
สีอ้อมสักด้ากดอกอัญชัน (ร้อยละ 11 โดยมวลต่อปริมาตร, ค่า pH = 4.3)	0.01	172	0.700	40.69
สีอ้อมสักด้ากไฟล (ร้อยละ 11 โดยมวลต่อปริมาตร, ค่า pH = 9.4)	0.08	32	1.444	56.41
สีอ้อมลังเคราะห์ N-719	1.666	148	145	58.81

รูปที่ 8 (ก) แสดงความล้มเหลวห่วงค่ากำลังไฟฟ้าสูงสุดของเซลล์แสงอาทิตย์ที่ใช้สีอ้อมสักด้ากจากไฟลและดอกอัญชันโดยใช้ร้อยละโดยมวลต่อปริมาตรของการสักด้ากต่างกัน ในกรณีของไฟลพบว่า ในช่วงแรกค่ากำลังไฟฟ้าสูงสุดจะปรับตัวลงกับร้อยละโดยมวลต่อปริมาตรของการสักด้ากและจะเริ่มคงที่เมื่อใช้การสักด้ากที่ร้อยละ 11 โดยมวลต่อปริมาตรเป็นต้นไป สำหรับกรณีของดอกอัญชันจะมีการปรับตัวลง

ตรงในช่วงแรกเช่นกัน แต่ในช่วงหลังค่ากำลังไฟฟ้าสูงสุดจะมีค่าลดลงเล็กน้อยและเริ่มคงที่เมื่อใช้การสักด้ที่ร้อยละ 9 โดยมวลต่อปริมาตรเป็นต้นไป



(ก) ใช้ร้อยละโดยมวลต่อปริมาตรของการสักต่างกัน (กำหนดค่า pH ใน การสักคงที่ = 7)



(ข) ใช้ค่า pH ใน การสักต่างกัน (กำหนดร้อยละ 11 โดยมวลต่อปริมาตรคงที่)  
รูปที่ 8 ค่ากำลังไฟฟ้าสูงสุดของเซลล์แสงอาทิตย์ที่ใช้ลืมสักด้จากไฟลและออกอัญชัน

รูปที่ 8 (ข) แสดงความล้มพันธ์ระหว่างค่ากำลังไฟฟ้าสูงสุดของเซลล์แสงอาทิตย์ที่ใช้ลืมสักด้จากไฟลและออกอัญชันโดยใช้ค่า pH ใน การสักต่างกัน ค่ากำลังไฟฟ้าสูงสุดจากการใช้ลืมสักด้จากไฟลจะเพิ่มขึ้นเมื่อค่า pH เพิ่มจาก 2.4 - 9.4 แต่หลังจากค่า pH มากกว่า 9.4 ค่ากำลังไฟฟ้าสูงสุดจะมีค่าลดลง หมายความว่าการสักด้ลืมมอร์มชาติจากไฟลภายใต้ค่า pH 7 - 9.4 ส่งผลต่อประสิทธิภาพของลืมที่ดีขึ้นในการนำไปใช้ ในส่วนของการใช้ลืมสักด้จากออกอัญชันจะให้ค่ากำลังไฟฟ้าสูงสุดมีแนวโน้มลดลงเมื่อค่า pH ใน การสักมากกว่า 4.3

เป็นที่ทราบกันดีว่าการค้นหาหรือการศึกษาสีข้อมธรรมชาติเพื่อใช้เป็นสีข้อมไวแสงยังคงมีงานวิจัยอย่างต่อเนื่อง เพื่อการหาความเหมาะสมของแหล่งวัตถุคุณสำหรับการสกัดสีข้อมเพื่อการใช้งาน ในพื้นที่หนึ่ง ๆ จากการศึกษาข้อมูลของงานวิจัยต่าง ๆ พบงานวิจัยของ Hamadanian, M. et al. ได้เปรียบเทียบการใช้สีข้อมธรรมชาติจากพืช 9 ชนิด เป็นสีข้อมไวแสง ซึ่งเป็นการเปรียบเทียบวัตถุทั้ง 9 ชนิดในพืชชนิดต่าง ๆ ที่มีผลต่อค่าทางไฟฟ้า ผลที่ได้พบว่า พืช *Consolida Ajacis* ที่มีรังวัตถุทั้ง *Delphinidin* ให้ประสิทธิภาพทางเคมีไฟฟ้าเข้มแสงที่ดีที่สุดจากพืชทั้งหมด 9 ชนิด โดยให้ค่ากระแสไฟฟ้า ขณะลักษณะเด่นที่สูงกว่ากับ 1.68 มิลลิแอม培ร์ต่อตารางเซนติเมตร ค่าแรงดันไฟฟ้าขณะเปิดดวงอาทิตย์เท่ากับ 0.55 โวลต์ และค่าพิลแฟคเตอร์ 65 % จากการเปรียบเทียบสัดส่วนของค่ากระแสไฟฟ้าขณะลักษณะเด่นที่สูงกว่าสีข้อมลักษณะเดียวกันกับการเปรียบเทียบสัดส่วนของค่ากระแสไฟฟ้าขณะลักษณะเด่นที่สูงกว่ากับ *N719* คิดเป็น 10.94 % [22] ในลักษณะเดียวกันกับการเปรียบเทียบสัดส่วนของค่ากระแสไฟฟ้าขณะลักษณะเด่นที่สูงกว่ากับ *N719* ให้ค่า 1.666 มิลลิแอม培ร์ต่อตารางเซนติเมตร คิดเป็นสัดส่วน 4.8 % แม้จะมีค่าน้อยกว่ากรณีของสีข้อมลักษณะเดียวกันกับ *Consolida Ajacis* แต่ก็ให้ค่าสัดส่วนที่สูงกว่าเมื่อเปรียบเทียบกับพืชอื่น 8 ชนิด ของงานวิจัย Hamadanian, M. et al. อย่างไรก็ตามปัจจัยที่สามารถสร้างความแตกต่างของค่าทางไฟฟ้า มีความเป็นไปได้หลายปัจจัย เช่น การเก็บรักษาสีข้อมธรรมชาติ [23] การเลือกใช้สารละลายอิเล็กโทรไลต์และวิธีการเตรียม [17] การกระจายตัวและความหนาของชั้นอนุภาคน้ำยาในเทเนียมโดยออกไซด์บัณฑุรัตน์ [24] แม้ว่าค่าทางไฟฟ้าของเซลล์แสงอาทิตย์ชนิดสีข้อมไวแสงในงานวิจัยนี้อาจไม่ได้เป็นค่าที่สูงมากเมื่อเทียบกับงานวิจัยที่ทำในพื้นที่อื่น ๆ แต่ก็นับว่าเป็นการได้มาขององค์ความรู้ในบริเวณพื้นที่ได้พื้นที่หนึ่งของประเทศไทยที่มีความเหมาะสมในการเลือกใช้วัตถุคุณไฟฟ้าในการสกัดสีข้อมธรรมชาติ

### 3. การวิเคราะห์ปัจจัยที่ส่งผลต่อค่ากำลังไฟฟ้าสูงสุด

จากรูปที่ 2 ในกรณีของสีข้อมลักษณะเดียวกันกับไฟฟ้า การเพิ่มขึ้นของค่าวัตถุโดยมวลต่อปริมาตรของการสกัดตั้งแต่ 1 - 9 ล่งผลอย่างชัดเจนต่อการเพิ่มความกว้างของเล็บสเปกตรัมการคูดกลืนแสง ลิ่นน้ำคือตัวแปรหนึ่งที่มีผลต่อการเพิ่มขึ้นของค่ากำลังไฟฟ้าสูงสุด แต่ในช่วงค่าวัตถุโดยมวลต่อปริมาตรของการสกัด 11 - 20 พนการขยายความกว้างของเล็บสเปกตรัมเพียงเล็กน้อย ซึ่งก็ล่งผลทำให้ค่ากำลังไฟฟ้าสูงสุดแตกต่างกันเพียงเล็กน้อย ในส่วนของค่ากำลังไฟฟ้าสูงสุดจากการใช้สีข้อมลักษณะเดียวกันกับอัญชัน มีแนวโน้มเช่นเดียวกัน จึงสามารถบอกได้ว่ามวลของพืชที่ใช้ในการสกัดสีข้อมีค่าจำกัดค่าหนึ่งที่จะให้ค่ากำลังไฟฟ้าสูงสุด ปรากฏตั้งรูปที่ 9

จากรูปที่ 3 เล็บสเปกตรัมการคูดกลืนแสงของสีข้อมลักษณะเดียวกันกับไฟฟ้าที่คูดซับบนไบทเนียมโดยออกไซด์ มีการเลื่อนตำแหน่งทางด้านบวกและเล็บสเปกตรัมมีลักษณะความยาวคลื่นที่กว้าง แต่ในกรณีของสีข้อมลักษณะเดียวกันกับไฟฟ้าที่ใช้ในร่องก้นข้าม ลักษณะที่เกิดขึ้นนี้แสดงว่าในกรณีของสีข้อมลักษณะเดียวกันกับไฟฟ้าที่ใช้ในร่องก้นข้ามมีความกว้างของชั้นอนุภาคน้ำยาในเทเนียมโดยออกไซด์ [10] จึงล่งผลให้ค่ากำลังไฟฟ้าสูงสุดมีค่าสูงขึ้น นอกจากนี้สีข้อมธรรมชาติสกัดจากดอกอัญชันมีตำแหน่งของเล็บสเปกตรัมที่ความยาวคลื่นสูงกว่า ซึ่งล่งผลกระทบทำให้ความหนาแน่นของกระแสลดลงได้ [25]

โดยทั่วไปการสกัดสีข้อมธรรมชาติภายใต้การใช้ตัวทำละลายแอลกอฮอล์ เช่น เอทานอล หรือเมทานอล จะมีค่า pH ใน การสกัดอยู่ในช่วง 4 - 7 การบรรบวนระบบด้วยกรดหรือเบสจะส่งผลต่อสารประกอบของสีข้อมธรรมชาติที่สกัดได้ ซึ่งแน่นอนว่าส่งผลต่อประสิทธิภาพของเซลล์แสงอาทิตย์อย่างแน่นอน [26] จากรูปที่ 10 พนว่าค่ากำลังไฟฟ้าสูงสุดของเซลล์แสงอาทิตย์มีค่าสูงสุดที่ค่า pH

ในการสกัดเท晦ะสมค่าหนึ่ง ผลลัพธ์นี้มีแนวโน้มที่เหมือนกันของลีดี้อ้มสกัดจากไฟลและดอกอัญชันในกรณีของการใช้ลีดี้อ้มสกัดจากดอกอัญชัน เชลล์แสงอาทิตย์จะให้ค่ากำลังไฟฟ้าสูงสุดที่ค่า pH ในการสกัดเท่ากับ 4.3 สามารถอธิบายได้ว่า เกี่ยวข้องกับความเสถียรภาพและรูปแบบของแอนโทไซยานินที่เกิดขึ้นในสารละลายที่สภาวะค่า pH ต่าง ๆ กัน จากข้อมูลการศึกษาพบว่าแอนโทไซยานินจะมีความเสถียรที่สุดในสภาวะของกรดและรูปแบบของ Quinonoidal Base สามารถดูดกลืนแสงได้ดีที่สุดในสภาวะที่เป็นกรด pH 4 - 6 โดยสภาวะนี้จะปรากวัสดุไม่ว่างแดงและมีความยาวคลื่นของการดูดกลืนแสงสูงสุดในช่วง 525 - 550 นาโนเมตร ดังนั้นจึงมีความสอดคล้องกับผลที่ได้จากการวิจัยนี้ในลักษณะลีดี้อ้มสกัดจากดอกอัญชันที่ได้รับแสงเพ็กตรัมการดูดกลืนแสงที่แสดงไว้ดังรูปที่ 4 อย่างไรก็ตามในสารละลายที่ค่า pH ไม่ได้อยู่ในช่วง 4 - 6 อาจเกิดรูปแบบของแอนโทไซยานินที่ไม่ได้ส่งเสริมค่ากำลังไฟฟ้าสูงสุด จึงทำให้มีค่าลดต่ำลงได้ปรากวัสดุรูปที่ 8 (ช) เมื่อเปรียบเทียบกับสารประกอบเครื่องคูมินจากลีดี้อ้มสกัดจากไฟลพบว่าเครื่องคูมินส่งเสริมค่ากำลังไฟฟ้าสูงสุดมากกว่าแอนโทไซยานิน เหตุผลที่เป็นไปได้คือการขยายการคงจุลเกตของหมู่อะโรมาติก (Aromatic Groups) และอีนอลของเครื่องคูมิน ซึ่งทำให้สารประกอบมีการดูดกลืนแสงที่ความยาวคลื่นสูงขึ้นในช่วงแสงที่มองเห็นได้ นอกจากนี้การมีหมู่ฟีนิล (Phenyl Groups) ที่ส่วนปลายโดยมีหมู่เมทอกซ์ (Methoxy) และไฮdroxyl (Hydroxyl Groups) ในตำแหน่งที่ 3 และ 4 จะส่งผลให้เกิดปรากวัสดุการณ์เลื่อนตำแหน่งของความยาวคลื่นสูงสุดของแสงเพ็กตรัมการดูดกลืนแสงไปทางความยาวคลื่นสูงขึ้น (Bathochromic Shift) สิ่งนี้คือผลที่เกิดขึ้นจากลักษณะเด่นของสารประกอบเครื่องคูมิน [27] แต่เมื่อค่า pH ในการสกัดเป็นเบสจะส่งผลต่อเสถียรภาพของเครื่องคูมินจึงทำให้ค่ากำลังไฟฟ้าสูงสุดมีค่าลดลง แม้ว่าการสร้างสภาวะกรดจะช่วยเพิ่มความมีเสถียรภาพได้แต่ก็ขึ้นอยู่กับชนิดของกรดที่ใช้ด้วยเช่นกัน ซึ่งงานวิจัยนี้ใช้กรดไฮโดรคลอริกที่อาจส่งผลต่อสถานะพื้นผิวของไฟเเทเนียมได้หากใช้ด้วยเกิดเป็นความบกพร่องที่พื้นผิว ทำให้การทำงานประสานร่วมกันกับลีดี้อ้มมีประสิทธิภาพลดลงนั่นหมายความว่าการส่งผ่านอิเล็กตรอนระหว่างกันจะทำได้ไม่ดีเท่าที่ควร เหตุนี้จึงส่งผลต่อการลดลงของค่ากระแสไฟฟ้าและกำลังไฟฟ้าสูงสุด [28]

ถึงแม้ว่าเชลล์แสงอาทิตย์ชนิดลีดี้อ้มไวแสงจากลีดี้อ้มธรรมชาติจะมีข้อดีในหลายด้าน เช่น การใช้ดันทุนการผลิตต่อ การมีความยืดหยุ่นในการออกแบบ และมีทางเลือกของการใช้วัสดุที่หลากหลาย แต่ก็ยังพบข้อด้อยที่ต้องพัฒนาอยู่อีกหลายด้านเช่นกัน หนึ่งในนั้นคือเรื่องความคงตัวของเชลล์ ซึ่งไม่ได้ถูกแสดงไว้ในงานวิจัยนี้ อย่างไรก็ตามจากการวิจัยที่ผ่านมาพบว่า มีความพยายามในการพัฒนาความคงตัวของเชลล์แสงอาทิตย์ชนิดลีดี้อ้มไวแสงโดยทำการศึกษาในหลาย ๆ ด้าน เช่น โครงสร้างโมเลกุลลีดี้อ้ม ชนิดตัวทำละลายที่ใช้สกัดลีดี้อ้ม อุณหภูมิการสกัดลีดี้อ้ม อันตรกิริยาระหว่างลีดี้อ้มกับอนุภาคราโนโลเจน ได้แก่ ตัวทำละลายในสารละลายอิเล็กโทรไลต์ และข้าไฟฟ้าแพลทินัม เป็นต้น เพื่อค้นหาแนวทางที่จะช่วยรักษาประสิทธิภาพของเชลล์แสงอาทิตย์ให้ทำงานได้ยาวนานขึ้น [17]

## สรุปผลการทดลอง

การใช้ลีดี้อ้มสกัดจากไฟลเป็นลีดี้อ้มไวแสงในเชลล์แสงอาทิตย์ชนิดลีดี้อ้มไวแสงให้ประสิทธิภาพทางไฟฟ้าที่ดีกว่าการใช้ลีดี้อ้มสกัดจากดอกอัญชัน เหตุผลนั้นน่าสนใจ สารประกอบเครื่องคูมินในลีดี้อ้มสกัดจากไฟลแสดงแสงเพ็กตรัมการดูดกลืนแสงในช่วงความยาวคลื่นที่กว้าง เนื่องจากการมีองค์จุลเกตในโครงสร้างนอกจากนี้ยังมีอันตรกิริยา กับอนุภาคราโนโลเจน ได้แก่ ตัวทำละลายในสารละลายอิเล็กโทรไลต์ ได้แก่ ด้วยเหตุนี้จึงให้ค่ากำลังไฟฟ้าที่สูงกว่า

เงื่อนไขของการสักด้าที่เหมาะสมในการเตรียมลีดสี้อมลีดจากไฟลเป็นไปได้ 2 แนวทาง คือ

1. ร้อยละ 11 - 15 โดยมวลต่อปริมาตร ที่ค่า pH ใน การสักด้าคงที่เท่ากับ 7
2. ร้อยละ 11 โดยมวลต่อปริมาตร ที่ค่า pH ใน การสักด้าอยู่ในช่วง 7 - 9 จากการเปรียบเทียบลีดสี้อมลีดจากไฟลและดอกอัญชันในงานวิจัยนี้ โดยการศึกษาถึงสารประกอบในโครงสร้างของลีดสี้อมสามารถสร้างความเข้าใจเพื่อการเลือกใช้ลีดสี้อมธรรมชาติเป็นลีดสี้อมไว้แสงได้อย่างเหมาะสมต่อไปในอนาคต

## References

- [1] Papageorgiou, N., Maier, W. F., and Grätzel, M. (1997). An Iodine/Triiodide Reduction Electrocatalyst for Aqueous and Organic Media. **Journal of The Electrochemical Society**. Vol. 144, Issue 3, pp. 876-884. DOI: 10.1149/1.1837502
- [2] Papageorgiou, N. (2004). Counter-Electrode Function in Nanocrystalline Photoelectrochemical Cell Configurations. **Coordination Chemistry Reviews**. Vol. 248, Issue 13-14, pp. 1421-1446. DOI: 10.1016/j.ccr.2004.03.028
- [3] Chiba, Y., Islam, A., Watanabe, Y., Komiya, R., Koide, N., and Han, L.Y. (2006). Dye-Sensitized Solar Cells with Conversion Efficiency of 11.1 %. **Japanese Journal of Applied Physics**. Vol. 45, Issue 25, pp. L638-L640. DOI: 10.1143/JJAP.45.L638
- [4] Buscaino, R., Baiocchi, C., Barolo, C., Medana, C., Grätzel, M., Nazeeruddin, Md. K., and Viscardi, G. (2008). A Mass Spectrometric Analysis of Sensitizer Solution Used for Dye-Sensitized Solar Cell. **Inorganica Chimica Acta**. Vol. 361, Issue 3, pp. 798-805. DOI: 10.1016/j.ica.2007.07.016
- [5] Zhang, G., Bala, H., Cheng, Y., Shi, D., Lv, X., Yu, Q., and Wang, P. (2009). High Efficiency and Stable Dye-Sensitized Solar Cells with an Organic Chromophore Featuring a Binary  $\pi$ -Conjugated Spacer. **Chemical Communications**. Issue 16, pp. 2198-2200. DOI: 10.1039/b822325d
- [6] Espinosa, R., Zumeta, I., Santana, J. L., Martínez-Luzardo, F., González, B., Docteur, S., and Vigil, E. (2005). Nanocrystalline TiO<sub>2</sub> Photosensitized with Natural Polymers with Enhanced Efficiency from 400 to 600 nm. **Solar Energy Materials and Solar Cells**. Vol. 85, Issue 3, pp. 359-369
- [7] Kumara, G. R. A., Kaneko, S., Okuya, M., Onwona-Agyeman, B., Konno, A., and Tennakone, K. (2006). Shiso Leaf Pigments for Dye-Sensitized Solid-State Solar Cell. **Solar Energy Materials and Solar Cells**. Vol. 90, Issue 9, pp. 1220-1226. DOI: 10.1016/j.solmat.2005.07.007
- [8] Furukawa, S., Iino, H., Iwamoto, T., Kukita, K. and Yamauchi, S. (2009). Characteristics of Dye-Sensitized Solar Cells Using Natural Dye. **Thin Solid Films**. Vol. 518, No. 2, pp. 526-529
- [9] Gómez-Ortíz, N. M., Vázquez-Maldonado, I. A., Pérez-Espadas, A. R., Mena-Rejón, G. J., Azamar-Barrios, J. A., and Oskam, G. (2010). Dye-Sensitized Solar Cells with Natural Dyes Extracted from Achiole Seeds. **Solar Energy Materials and Solar Cells**. Vol. 94, Issue 1, pp. 40-44. DOI: 10.1016/j.solmat.2009.05.013

- [10] Hao, S., Wu, J., Huang, Y., and Lin, J. (2006). Natural Dyes as Photosensitizers for Dye-Sensitized Solar Cell. **Solar Energy**. Vol. 80, Issue 2, pp. 209-214. DOI: 10.1016/j.solener.2005.05.009
- [11] Nishantha, M. R., Yapa, Y. P. Y. P., and Perera, V. P. S. (2012). Sensitization of PhotoelectroChemical Solar Cells with a Natural Dye Extracted from Kopsia Flavida Fruit. In **Proceedings of the 28<sup>th</sup> Technical Sessions**. March 2012, Kelaniya, Sri Lanka, Institute of Physics - Sri Lanka. pp. 54-58
- [12] Mozaffari, S. A., Saeidi, M., and Rahamanian, R. (2015). Photoelectric Characterization of Fabricated Dye-Sensitized Solar Cell Using Dye Extracted from Red Siahkooti Fruit as Natural Sensitizer. **Spectrochimica Acta Part A: Molecular and Biomolecular Spectroscopy**. Vol. 142, pp. 226-231. DOI: 10.1016/j.saa.2015.02.003
- [13] Ganta, D., Jara, J., and Villanueva, R. (2017). Dye-Sensitized Solar Cells Using Aloe Vera and Cladode of Cactus Extracts as Natural Sensitzers. **Chemical Physics Letters**. Vol. 679, pp. 97-101. DOI: 10.1016/j.cplett.2017.04.094
- [14] Ganesh, T., Kim, J. H., Yoon, S. J., Lee, S., Lee, W., Mane, R. S., Han, J. W., and Han, S. H. (2009). Dye Anchored ZnO Nanoparticles: The Positive and Negative Photoluminescence Quenching Effects. **Journal of Applied Physics**. Vol. 106, Issue 8, DOI: 10.1063/1.3245398
- [15] Teoli, F., Lucioli, S., Nota, P., Frattarelli, A., Matteocci, F., Carlo, A.Di and Caboni, E. (2016). Role of pH and Pigment Concentration for Natural Dye-Sensitized Solar Cells Treated with Anthocyanin Extracts of Common Fruits. **Journal of Photochemistry and Photobiology A: Chemistry**. Vol. 316, pp. 24-30
- [16] Kolev, T. M., Velcheva, E. A., Stamboliyska, B. A., and Spiteller, M. (2005). DFT and Experimental Studies of the Structure and Vibrational Spectra of Curcumin. **International Journal of Quantum Chemistry**. Vol. 102, Issue 6, pp. 1069-1079
- [17] Shalini, S., Balasundara prabhu, R., Prasanna, S., Mallick, Tapas K., and Senthilarasu, S. (2015). Review on Natural Dye Sensitized Solar Cells: Operation, Materials and Methods. **Renewable and Sustainable Energy Reviews**. Vol. 51, Issue C, pp. 1306-1325. DOI: 10.1016/j.rser.2015.07.052
- [18] Lopes, T. J., Yaginuma, S. R., Novy Quadri, M. G., and Bastos Quadri, M. (2011). Evaluation of Red Cabbage Anthocyanins After Partial Purification on Clay. **Brazilian Archives of Biology and Technology**. Vol. 54, No. 6, pp.1349-1356. DOI: 10.1590/S1516-89132011000600022
- [19] Meng, S., Ren, J., and E. Kaxiras, E. (2008). Natural Dyes Adsorbed on TiO<sub>2</sub> Nanowire for Photovoltaic Applications: Enhanced Light Absorption and Ultrafast Electron Injection. **Nano Letters**. Vol. 8, No. 10, pp. 3266-3272. DOI: 10.1021/nl801644d
- [20] Ma, T., Inoue, K., Noma, H., Yao, K., and Abe, E. (2002). Effect of Functional Group on Photochemical Properties and Photosensitization of TiO<sub>2</sub> Electrode Sensitized by Porphyrin Derivatives. **Journal of Photochemistry and Photobiology A: Chemistry**. Vol. 152, Issue 1-3, pp. 207-212. DOI: 10.1016/S1010-6030(02)00025-4

- [21] Wongcharee, K., Meeyoo, V., and Chavadej, S. (2007). Dye-Sensitized Solar Cell Using Natural Dyes Extracted from Rosella and Blue Pea Flowers. **Solar Energy Materials and Solar Cells.** Vol. 91, No. 7, pp. 566-571
- [22] Hamadanian, M., Safaei-Ghom, J., Hosseinpour, M., and Masoomi, R. (2014). Uses of New Natural Dye Photosensitizers in Fabrication of High Potential Dye-Sensitized Solar Cells (DSSCs). **Materials Science in Semiconductor Processing.** Vol. 27, pp. 733-739. DOI: 10.1016/j.mssp.2014.08.017
- [23] Hossain, Md. K., Pervez, M. F., Mia, M. N. H., Mortuza, A. A., Rahaman, M. S., Karim, M. R., Islam, J. M. M., Ahmed, F., and Khan, M. A. (2017). Effect of Dye Extracting Solvents and Sensitization Time on Photovoltaic Performance of Natural Dye Sensitized Solar Cells. **Results in Physics.** Vol. 7, pp. 1516-1523. DOI: 10.1016/j.rinp.2017.04.011
- [24] Rajab, F. M. (2015). Effect of Solvent, Dye-Loading Time, and Dye Choice on the Performance of Dye-Sensitized Solar Cells. **Journal of Nanomaterials.** Vol. 2016, p. 8. DOI: 10.1155/2016/3703167
- [25] Narayan, M. and Raturi, A. (2011). Investigation of Some Common Fijian Flower Dyes as Photosensitizers for Dye Sensitized Solar Cellsabstract. **Applied Solar Energy.** Vol. 47, No. 2, pp. 112-117. DOI: 10.3103/S0003701X11020149
- [26] Zhou, H., Wu, L., Gao, Y., and Ma, T. (2011). Dye-Sensitized Solar Cells using 20 Natural Dyes as Sensitizers. **Journal of Photochemistry and Photobiology A: Chemistry.** Vol. 219, Issue 2-3, pp. 188-194. DOI: 10.1016/j.jphotochem.2011.02.008
- [27] Crivello, J. V. and Bulut, U. (2005). Curcumin: A Naturally Occurring Long-Wavelength Photosensitizer for Diaryliodonium Salts. **Journal of Polymer Science Part A: Polymer Chemistry.** Vol. 43, No. 21, pp. 5217-5231. DOI: 10.1002/pola.21017
- [28] Hao, S., Wu, J., Fan, L., Huang, Y., Lin, J., and Wei, Y. (2004). The Influence of Acid Treatment of TiO<sub>2</sub> Porous Film Electrode on Photoelectric Performance of Dye-Sensitized Solar Cell. **Solar Energy.** Vol. 76, pp. 745-750



### การตรวจสอบสภาพถนนคอนกรีตด้วยคลื่นเรคาร์ด

## Concrete Pavement Monitoring with Ground Penetrating Radar

ณรงค์ชัย วิวัฒนาช่าง<sup>1\*</sup> ชนะรบ วิชาลัย<sup>1</sup> และวีระพงษ์ พจนพิมล<sup>1</sup>

Received: February, 2018; Accepted: May, 2018

### บทคัดย่อ

การทรุดตัวของถนนอันเนื่องจากโครงสร้างที่ก่อสร้างด้วยคอนกรีต นับเป็นสาเหตุหลักที่ก่อให้เกิดความเสียหายต่อทางหลวงในประเทศไทย โครงสร้างที่เกิดขึ้นจะขยายตัวเป็นวงกว้างและสร้างความเสียหายต่อพื้นที่ให้มากขึ้นต่อไปได้ การตรวจสอบนับเป็นปัจจัยสำคัญในการบำรุงรักษาโครงสร้างถนน ซึ่ง Ground Penetrating Radar (GPR) เป็นเครื่องมือที่ทำงานได้รวดเร็วและไม่ก่อให้เกิดความเสียหายต่อพื้นที่ทางราษฎรนำไปสู่การพัฒนาและตอบสนองแผนการบำรุงรักษาทางหลวงได้

การศึกษานี้ได้สร้างแบบจำลองการสำรวจด้วย GPR จากโมเดลโปรแกรมคอมพิวเตอร์ เพื่อประเมินในการออกแบบค่าตัวแปรต่าง ๆ ที่จำเป็นต่อการวิเคราะห์ผลรวมถึงการสร้างแบบจำลองผิวทางคอนกรีต การทดลองใช้เครื่อง GPR ใน การสำรวจแบบจำลองและบนทางหลวงจริง ผลการศึกษาแสดงให้เห็นว่า ค่าความถี่ 900 MHz เป็นย่านที่เหมาะสมที่สุด ทั้งการจำลองการสำรวจที่ได้จากโมเดลทางคณิตศาสตร์และการวัดค่าจากแบบจำลองที่ได้ทำขึ้น สำหรับการทดลองจริงในภาคสนามพบว่า วิธีสำรวจด้วยคลื่นเรคาร์ดสามารถตรวจพบโครงสร้างทางสถาปัตย์และยืนยันถึงสภาพที่สมบูรณ์ภายหลังการอุดช่องโหวนแล้ว

คำสำคัญ : การสำรวจด้วยคลื่นเรคาร์ด; การทรุดตัว; วิธีการอุดช่องโหวน; แบบจำลอง

<sup>1</sup> Faculty of Engineering and Architecture, Rajamangala University of Technology Suvarnabhumi

\* Corresponding Author E - mail Address: narongchaiwiwat@gmail.com

## Abstract

Pavement subsidences in Thailand have often damaged due to voids beneath the concrete pavement, which are likely prone to more widespread sub pavement erosion and further void development, making their early detection an important aspect of highway maintenance and remediation. As a fast and non-destructive testing tool, Ground Penetrating Radar (GPR) can provide valuable information for the development of road repair and maintenance programs.

This study, GPR forward modeling of concrete pavement model was constructed to test parameters that affected to GPR data collection in the field. Study results indicated that a frequency of 900 MHz is suitable for void detection in both GPR forward modeling and concrete pavement model results. Real data collection in the field using 900 MHz antenna before and after repaired by sub-sealing method also showed significant of sub-base structure improvement at repaired locations.

**Keywords:** Ground Penetrating Radar; Settlement; Sub-Sealing; Modeling

## บทนำ

Ground Penetrating Radar (GPR) เป็นวิธีการสำรวจทางด้านวิศวกรรมธรณีฟิสิกส์โดยการใช้คลื่นแม่เหล็กไฟฟ้า (Electromagnetic Waves) ในการตรวจสอบสภาพใต้พื้นดินระดับดิน แสดงให้เห็นถึงผลลัพธ์ที่ได้จากการสำรวจที่ให้ความละเอียดสูง วิธีการสำรวจด้วยเครื่องมือ GPR เป็นวิธีที่นับว่าประสบผลสำเร็จอย่างกว้างขวางในการประยุกต์ใช้งานเพื่อการจัดทำแผนที่โครงสร้างทางธรณีวิทยา ตลอดจนการตรวจสอบการอุดช่องโหวนให้แผ่นคอนกรีตโดยกรรมทางหลวง [1] เครื่องมือ GPR เป็นเครื่องมือที่ทรงประสิทธิภาพในการใช้งานเพื่อสำรวจใต้พื้นดินอย่างละเอียด และยังใช้งานในกระบวนการควบคุมคุณภาพในงานวิศวกรรมการก่อสร้าง ซึ่งเป็นวิธีการสำรวจที่สามารถทำได้โดยรวดเร็วและไม่ทำลายวัสดุที่ทดสอบ

ระบบการทำงานของเครื่องมือ GPR ประกอบด้วย ส่วนควบคุมที่มีหน่วยความจำและการแสดงผล และส่วนที่ใช้ส่งและรับสัญญาณคลื่น โดยประสิทธิภาพของชุดเครื่องมือจะขึ้นอยู่กับความถี่ กำลังส่ง และการป้องกันคลื่นรบกวนจากภายนอก สายอากาศที่ใช้ในเครื่องมือ GPR เป็นแบบ dipole ประกอบด้วยฉนวนคู่ที่เป็นโลหะ การส่งคลื่นแม่เหล็กไฟฟ้าคลื่นความถี่อยู่ระหว่าง 50 MHz - 2.5 GHz โดยความลึกการสำรวจจะแปรผกผันกับความถี่ที่ส่งออกมาจากสายอากาศซึ่งมีความลึกการสำรวจตั้งแต่ 0.25 - 50.0 ม. การกระจายตัวของคลื่นไม่เพียงแต่แผ่รัศมีลงในวัสดุชั้นใต้ผิวดินเท่านั้น แต่สามารถส่งพลังงานบางส่วนไปในอากาศได้อีกด้วย ซึ่งรัศมีของคลื่นแม่เหล็กไฟฟ้าอาจรบกวนเครื่องมืออื่นๆ สารและสัญญาณโทรคมนาคมบริเวณใกล้เคียงได้ แต่ทั้งนี้ ประสิทธิภาพของเครื่องมือสำรวจ GPR ยังขึ้นอยู่กับคุณสมบัติการนำไฟฟ้าตลอดจนค่าความชื้นในชั้นดินอีกด้วย ดังแสดงไว้ในตารางที่ 1

การศึกษาในครั้งนี้มีที่มาจากการความเสียหายที่เกิดขึ้นกับถนนคอนกรีต โดยส่วนใหญ่มักจะตรวจพบได้เมื่อมีความเสียหายเกิดขึ้นแล้ว หากมีการตรวจสอบพบได้ถึงโพรงที่เกิดขึ้นก่อนที่จะเกิดความเสียหายขึ้น กับพื้นถนนจะสามารถลดค่าใช้จ่ายในการซ่อมแซมถนนได้ อีกทั้งในขั้นตอนการซ่อมแซมไม่สามารถระบุได้ถึงการเติมเต็มของน้ำปูนที่อัดฉีดลงไป ดังนั้นการศึกษานี้มีวัตถุประสงค์เพื่อศึกษาประสิทธิภาพและความถูกต้องในการตรวจสอบโพรงและชั้นวัสดุคุณภาพด้วยเครื่องมือ GPR โดยมีการจำลองผลการสำรวจ (Simulation) ด้วยโปรแกรมคอมพิวเตอร์ และการสำรวจในภาคสนามบนถนนหลวงที่มีพิษทางเป็นคอนกรีตก่ออันและหลังการซ่อมแซมถนนด้วยวิธีการอัดฉีดน้ำปูนเพื่อตรวจสอบการเติมเต็มของน้ำปูน ให้พื้นถนนคอนกรีต

### ตารางที่ 1 ปัจจัยหลักของประสิทธิภาพระบบ GPR [2]

Wave properties	High frequency	Low frequency
Wave length	Short	Long
Attenuation	High	Low
Resolution	High	Low
Depth of Investigation	Shallow	Deep

### ทฤษฎี

#### 1. ทฤษฎีการกระจายตัวของคลื่นแม่เหล็กไฟฟ้าในวัสดุใต้ดิน

หลักการทำงานของ GPR จะส่งคลื่นแม่เหล็กไฟฟ้า (Electromagnetic Waves) ความถี่สูง พลังงานที่ส่งออกมาจากเครื่องสูญผิวดินจะสะท้อนกลับมาที่ตัวรับสัญญาณเมื่อพบรากурсที่เกิดขึ้น (รูปที่ 1) ความสัมพันธ์ระหว่างค่าคงที่ไดอิเล็กทริก (Dielectric) และความเร็วของคลื่นแม่เหล็กไฟฟ้า ดังสมการที่ (1)

$$v = \frac{c}{\sqrt{\epsilon_r}} \quad (1)$$

เมื่อ

$v$  คือ ความเร็วของคลื่นแม่เหล็กไฟฟ้า (เมตร/วินาที)

$c$  คือ ความเร็วคงที่ของแสงเท่ากับ  $3 \times 10^8$  (เมตร/วินาที)

$\epsilon_r$  คือ ค่าคงที่ไดอิเล็กทริกของวัสดุนั้น ๆ

เมื่อเครื่องมือ GPR ส่งคลื่นแม่เหล็กไฟฟ้าจากตัวส่งสัญญาณ (Transmitter, Tx) ซึ่งอยู่บนผิวดินและสัญญาณถูกรับโดยตัวรับสัญญาณ (Receiver, Rx) ซึ่งวางอยู่บนผิวดินเข่นกัน คลื่นสัญญาณที่ถูกส่งไปได้ผิวดินและสัญญาณนั้นจะถูกสะท้อนกลับโดยวัตถุขั้นต่าง ๆ ที่อยู่ใต้ผิวดิน (รูปที่ 1) สัญญาณที่รับได้จะถูกบันทึกลงในคอมพิวเตอร์ โดยสามารถหา ค่าความลึกของชั้นวัสดุที่เป็นตัว支撑 บนคลื่น ( $d$ ) ตามสมการที่ (2)

$$d = \frac{c}{\sqrt{\epsilon_r}} \times \frac{\tau}{2} \quad (2)$$

เมื่อ  $\tau$  คือ เวลาที่ใช้ในการเดินทางของคลื่นไปและกลับ (วินาที)

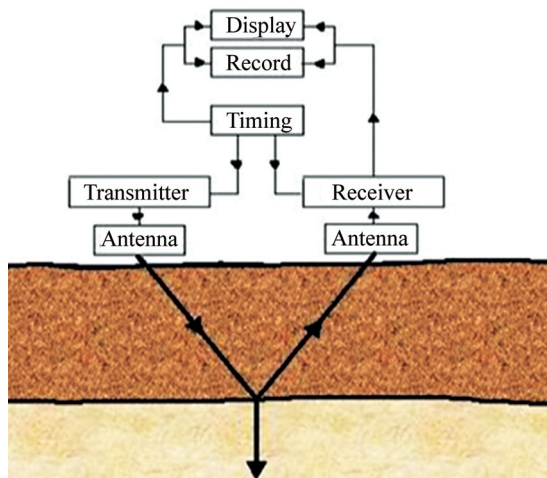
การสะท้อนกลับของคลื่นจะเกิดขึ้นเมื่อคลื่นแม่เหล็กไฟฟ้าเคลื่อนที่ผ่านวัสดุที่มีค่าคงที่ไดอิเล็กทริกที่ต่างกัน โดยเฉพาะวัสดุที่เป็นโลหะมีค่าคงที่ไดอิเล็กทริกที่สูง ดังนั้นวัสดุที่เป็นโลหะได ๆ ที่ถูกฝังอยู่ใต้ดิน อาทิ เช่น ห่อโลหะหรือสายไฟฟ้า อาจถูกตรวจพบได้โดยง่ายกว่าปกติ โดยสามารถอธิบายด้วยค่าสัมประสิทธิ์การสะท้อนกลับของคลื่น กล่าวคือวัสดุสองชนิดที่มีค่าคงที่ไดอิเล็กทริกที่แตกต่างกัน คือ มีค่า  $\epsilon_1$  และ  $\epsilon_2$  สามารถหาค่าสัมประสิทธิ์การสะท้อนของลัญญาณ ( $\Gamma$ ) ได้จากความสัมพันธ์ดังสมการที่ (3)

$$\Gamma = \frac{\sqrt{\epsilon_2} - \sqrt{\epsilon_1}}{\sqrt{\epsilon_2} + \sqrt{\epsilon_1}} \quad (3)$$

เมื่อ

$\Gamma$  คือ ค่าสัมประสิทธิ์การสะท้อนกลับของวัสดุ

$\epsilon_3$  คือ ค่าคงที่ไดอิเล็กทริกของวัสดุ  $n$



รูปที่ 1 การทำงานของระบบ GPR (<https://www.slideshare.net>)

ดังนั้น การสะท้อนกลับของคลื่นจากวัสดุที่มีคุณสมบัติเป็นโลหะ สามารถตรวจพบได้ง่ายเนื่องจากโลหะมีค่าคงที่ไดอิเล็กทริกสูง และในปี ค.ศ. 1980 ได้มีการเผยแพร่ความสัมพันธ์ระหว่างส่วนประกอบของน้ำในดินและค่าคงที่ไดอิเล็กทริกจากสมการที่ (4) โดย Topp, G. C. et al. [3] สามารถช่วยให้เข้าใจถึงการเปลี่ยนแปลงของปริมาณน้ำในชั้นวัสดุใต้ดินที่มีผลต่อการสะท้อนของคลื่นแม่เหล็กไฟฟ้าได้ดังนี้

$$\theta = -0.0503 + 0.0292\epsilon_r - 5.5 \times 10^{-4}\epsilon_r^2 + 4.3 \times 10^{-6}\epsilon_r^3 \quad (4)$$

โดยที่

$$\theta \quad \text{คือ} \quad \text{ค่าร้อยละของส่วนประกอบของน้ำในดิน}$$

$$\varepsilon_r \quad \text{คือ} \quad \text{ค่าคงที่ไดอิเล็กทริกของวัสดุ}$$

เนื่องด้วยเครื่องมือ GPR มีการส่งกระ加以คลื่นอยู่ในย่านความถี่เดียวกับความถี่ที่ใช้ในการสื่อสาร และความถี่ที่ใช้ในการแพร่ภาพโทรทัศน์ ดังนั้นประสิทธิภาพของเครื่องมือการสำรวจจะถูกจำกัดกำลังส่ง ที่ควบคุมด้วยกฎหมายและทำการป้องกันการส่งคลื่นรบกวนด้วยวัสดุซับคลื่น ดังนั้นเครื่องมือสำรวจ ที่มีจำหน่าย จะสามารถเลือกใช้ความถี่ที่เหมาะสมกับระดับความลึกการสำรวจเป็นหลัก ตารางที่ 2 แสดง ความถี่ของสายอากาศของบริษัทผู้ผลิตเครื่องมือ GPR ที่แนะนำการใช้งานสายอากาศและระดับความลึก ในการสำรวจ

ตารางที่ 2 ความถี่ของสายอากาศที่เหมาะสมกับการใช้งานด้านต่าง ๆ [4]

<b>Center Frequency</b>	<b>Depth of Penetration</b>	<b>Typical Applications</b>
2600 MHz	0 - 12 in (0.4 m)	Concrete Evaluation
2000 MHz	0 - 12 in (0.4 m)	Concrete Evaluation
1600 MHz	0 - 18 in (0.5 m)	Concrete Evaluation
900 MHz	0 - 3 ft (0 - 1 m)	Concrete Evaluation, Void Detection
400 MHz	0 - 12 ft (0 - 4 m)	Utility, Engineering, Environmental, Void Detection
270 MHz	0 - 18 ft (0 - 6 m)	Utility, Engineering, Geotechnical
200 MHz	0 - 30 ft (0 - 9 m)	Geotechnical, Engineering, Environmental
100 MHz	5 - 50 ft (2 - 15 m)	Geotechnical, Engineering, Mining
15 - 80 MHz	0 - 150 ft (0 - 50 m)	Geotechnical, Geological

อย่างไรก็ตาม ความลึกการสำรวจที่ได้ยังขึ้นอยู่กับค่าความชื้นและค่าการเหนี่ยวนำไฟฟ้าของชั้นดิน เนื่องด้วย GPR เป็นการสำรวจด้วยคลื่นแม่เหล็กไฟฟ้า ดังนั้นพื้นที่ที่ทำการสำรวจยังเป็นอีกหนึ่งปัจจัย ที่ต้องพิจารณาในการสำรวจ

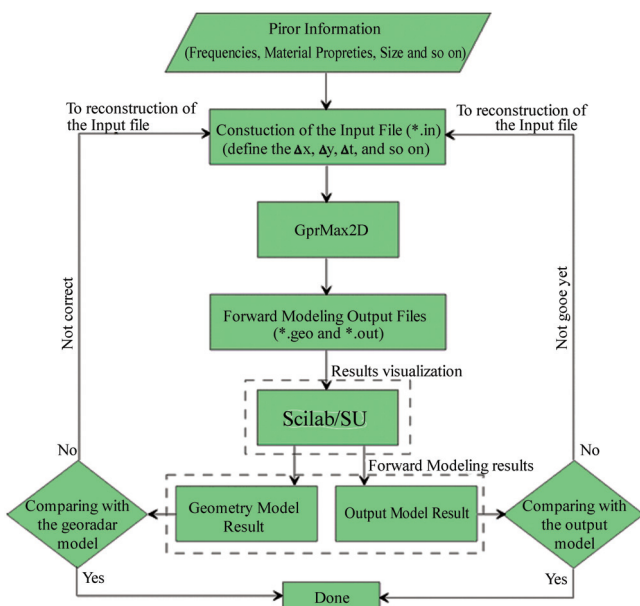
ผลการทดลองด้วยเครื่อง GPR จะแสดงเป็นรูปภาพโดยมีลักษณะเป็นโนนเสี้่่ต่าง ๆ ซึ่งลีที่แตกต่างกัน แสดงถึงความสูงของยอดคลื่น (Amplitude) ที่แตกต่างกัน ซึ่งเป็นผลโดยตรงจากค่าล้มประสิทธิ์ การสะท้อนของชั้นวัสดุ ตามสมการที่ (3)

### วิธีดำเนินการวิจัย

วิธีดำเนินการวิจัย สามารถแบ่งออกได้เป็น 5 ขั้นตอน อธิบายได้ดังนี้

### 1. การจำลองผลการสำรวจ

การจำลองผลการสำรวจโดยใช้โปรแกรมคอมพิวเตอร์ เป็นวิธีการที่เป็นประโยชน์ในการออกแบบค่าตัวแปรต่าง ๆ ที่ใช้ในการเก็บข้อมูล เพื่อที่จะให้เหมาะสมที่สุดในการค้นหาโครงสร้างใต้ผิว表层 สามารถอธิบายถึงวิธีการปฏิบัติงานในการจำลองผลการสำรวจ GPR โดยแบบจำลองที่ทำการสำรวจต้องกำหนดขนาดและรูปตัดตามแนวความลึก ตลอดจนค่าคงที่ไดอิเล็กทริกของวัสดุ แต่ละชนิดลงในแบบจำลอง (ตารางที่ 3) และทำการประมวลผลด้วยโปรแกรม GprMax2D ซึ่งเป็นการจำลองคลื่นแม่เหล็กไฟฟ้าที่ใช้ในการจำลองการสำรวจด้วยเครื่องมือ GPR โดยมีพื้นฐานการประมวลผลเชิงตัวเลขแบบวิธีการ Finite-Difference แบบ Time-Domain พัฒนาโดย Antonis, G. [5] ผลลัพธ์ที่ได้สามารถสร้างเป็นภาพได้จากโปรแกรมไซแล็บ (Scilab) ตามกระบวนการ ดังรูปที่ 2 เนื่องจาก Scilab เป็นโปรแกรมที่มีความเหมาะสมในการนำมาสร้างแบบจำลองทางคณิตศาสตร์และการทำซิมูเลชัน (Simulation) ของระบบ



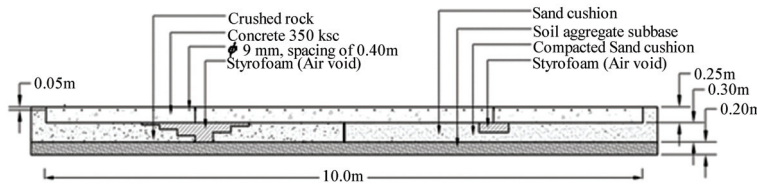
รูปที่ 2 ขั้นตอนการจำลองผลการสำรวจ

การศึกษาครั้งนี้ได้ทำการสร้างแบบจำลองผิวทางบนคอนกรีตด้วยโปรแกรมคอมพิวเตอร์ หนา 0.25 ม. กำหนดให้ต่าแน่นที่ติดตั้งฉนวนสไตรโโฟม (Styrofoam) คือโครงสร้างที่อยู่ใต้ผิวทาง แนวการสำรวจประกอบด้วย แบบจำลองแนวสำรวจที่ 1 (รูปที่ 3 (ก)) มีชั้นวัสดุรองพื้นทางเป็นพินคลุกบดอัด ทรายบดอัด และแบบจำลองแนวสำรวจที่ 2 (รูปที่ 3 (ข)) มีชั้นวัสดุรองพื้นทางเป็นทรายบดอัดเพียงอย่างเดียว ค่าตัวแปรทางกายภาพ (ตารางที่ 3) ใช้ความถี่ 1.5 GHz, 900 MHz และ 400 MHz ตามลำดับ

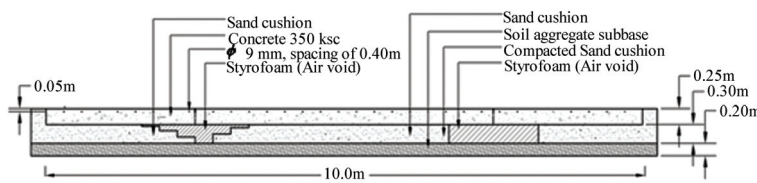
### 2. การก่อสร้างแบบจำลองผิวทางบนคอนกรีตและชั้นรองพื้นทางตัวอย่าง

การก่อสร้างแบบจำลองบนตัวอย่างทดสอบ (รูปที่ 3) กำหนดให้คอนกรีตชั้นผิวทางมีกำลังอัด (Compressive Strength) เท่ากับ 350 กก./ตร.ซม. ต่าแน่นโครงสร้างที่อยู่ใต้ผิวทาง มีทั้งแบบชั้นบันไดและแบบสี่เหลี่ยมผืนผ้าที่มีขนาดต่างกัน ติดตั้งแนบด้วยฉนวนสไตรโโฟม สำหรับชั้นรองพื้นทาง

จะแบ่งออกเป็น 2 ประเภท คือ ชั้นรองพื้นทางทิ่นคุณภาพดี และชั้นรองพื้นทางทรายbad อีก สำหรับส่วนเพิ่มเติมอื่น ได้ติดตั้งแผ่นไยธรอน (Geo-Textile) พลาสติกรองพื้นคอนกรีต แผ่นลังกระถังลึ่มมุ่งเหล็กเสริมคอนกรีต และตะแกรงเหล็ก จากนั้นจึงดำเนินการหล่อคอนกรีตให้เป็นไปตามรูปแบบที่กำหนด



(ก) แบบจำลองแนวสำรวจที่ 1



(ข) แบบจำลองแนวสำรวจที่ 2

รูปที่ 3 แบบจำลองผิวทางถนนคอนกรีตและชั้นรองพื้นทาง

### 3. การวัดค่าแบบจำลองด้วยเครื่องมือ GPR

การวัดค่าแบบจำลองด้วยเครื่องมือ GPR เป็นไปตามมาตรฐาน ASTM D4748-98 [6] โดยใช้ชุดสายอากาศความถี่ 1.5 GHz, 900 MHz และ 400 MHz ตามลำดับ เริ่มทำการสำรวจบนแบบจำลอง (Geo-Model) ด้วยเครื่องมือ GPR ภายในเวลา 28 วัน ซึ่งเป็นเวลาที่ค่อนกรีตมีกำลังอัดคงที่ตามการออกแบบในขั้นตอน [7] ค่าตัวแปรต่าง ๆ ที่เป็นค่าคงที่ ได้อิเล็กทริกของวัสดุสำหรับการประมวลผลในระบบคอมพิวเตอร์ แสดงไว้ในตารางที่ 3

ตารางที่ 3 ค่าคงที่ได้อิเล็กทริกสำหรับแบบจำลอง [5], [8]

Materials	Dielectric constant
Air/Styrofoam	1/1.03
Concrete	6
Sand	3
Crushed rock	10
Rebar steel	10,000
Soil aggregate	12
Weathered clay	50

#### ตารางที่ 4 ค่าตัวแปรที่ใช้ในการเก็บข้อมูลของเครื่อง GPR

Parameters / Frequency	400 MHz	900 MHz	1.5 GHz
Tx-Rx (mm)	25	25	53
Sample/trace	1024	1024	1024
Bit/sample	16	16	16
Trace length (ns)	12	12	12
Transmission rate (KHz)	100	100	100
Trace/ meter	100	100	100
Meter/mark	1	1	1
Dielectric constant	4.5	4.5	4.5
Band pass filter (MHz)	100 - 800	225 - 2500	400 - 3000

#### 4. การสำรวจด้วย GPR ในสถานที่จริง

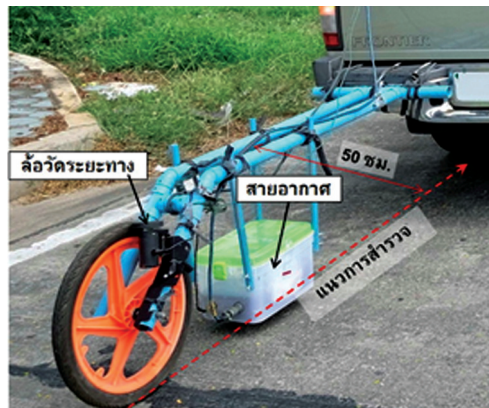
เมื่อได้ข้อมูลทั้งหมดจากการสำรวจผ่านแบบจำลองแล้ว ขั้นตอนต่อไปจึงเริ่มดำเนินการสำรวจในสถานที่จริง บนทางหลวงหมายเลข 321 หลักกิโลเมตรที่ 28+000 ถึง 28+300 ซึ่งการสำรวจด้านชัยสุค ผิวทางถนนคอนกรีตหนา 0.25 ม. ใช้รายทabyเป็นขั้นรองผิวทางและรองพื้นทางด้วยวัสดุคัดเลือกตามมาตรฐาน

การสำรวจภาคสนามใช้เครื่องมือ GPR พร้อมระบบวัดระยะทางอัตโนมัติและสายอากาศความถี่ 900 MHz (เป็นค่าความถี่ที่ดีที่สุดจากการวัดค่าแบบจำลองด้วยเครื่องมือ GPR ในข้อ 3. โดยได้ทำการประยุกต์ในการติดตั้งเครื่องมือการสำรวจเข้ากับรถยก (รูปที่ 4) ความเร็วของรถที่ใช้ในการสำรวจไม่เกิน 20 กม./ชม. โดยกำหนดให้แนวการสำรวจนานกับขอบทางด้านซ้าย ในระยะห่าง 50 ชม. ซึ่งเป็นแนวร่องล้อรถบรรทุกที่เกิดความเสียหายลุյสุด ตามรูปแบบการสำรวจด้วยเครื่องมือ GPR ของกรมทางหลวง [1]

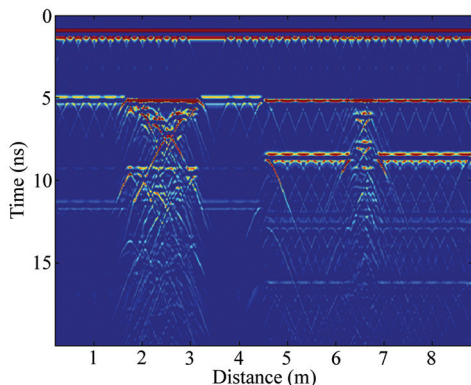
#### 5. การวิเคราะห์และการแปลผลข้อมูล

ข้อมูลที่ได้จากการสำรวจด้วยเครื่องมือ GPR จะได้รับการประมวลผลโดยใช้โปรแกรม Seismic Unix [9] โดยการใช้ฟังก์ชันการประมวลผลต่าง ๆ เพื่อทำให้ผลการสำรวจที่ได้มีความชัดเจนเพิ่มขึ้น โดยผลการสำรวจด้วยเครื่อง GPR จะแสดงเป็นรูปภาพโดยมีลักษณะเป็นโถนลีเช้มและอ่อนลับกันซึ่งเกิดจากการระนาบเย็บริเวณยอดคลื่นและห้องคลื่น ความเข้มของลีจะปรับตั้งกับขนาดความสูงของยอดคลื่นที่เกิดจากค่าสัมประสิทธิ์คลื่นสะท้อน

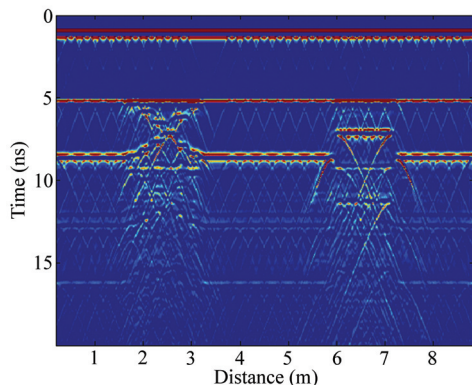
ผลลัพธ์ที่ได้จากการจำลองผลการสำรวจ GPR สามารถแปลความหมายได้โดยการพิจารณาจากรูปแบบการสะท้อนกลับของคลื่นที่แสดงในจอแสดงผล (Radargrams) ซึ่งวัตถุที่อยู่ใต้ดินจะแสดงผลการสะท้อนกลับของคลื่น โดยวัตถุกลมหรือวัตถุขนาดเล็กจะแสดงให้เห็นได้ในรูปแบบพาราโบลา จากการศึกษาในครั้งนี้สามารถพบการสะท้อนของขอบชั้นวัสดุ ความสนใจต่อผลการสำรวจกลับของคลื่นจากรูปทรงของโครงสร้าง ชั้นของวัสดุในแบบจำลอง และเหล็กเสริมคอนกรีตที่สอดคล้องกับรูปแบบของการสำรวจรายคลื่นแม่เหล็กไฟฟ้า [10]



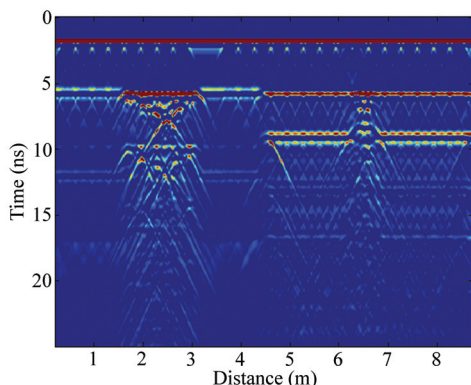
รูปที่ 4 การประยุกต์ในการติดตั้งเครื่องมือการสำรวจเข้ากับรถยนต์



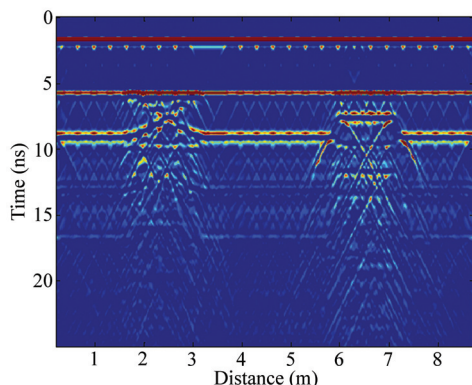
(ก) แนวสำรวจ No.1 ความถี่ 1.5 GHz



(ข) แนวสำรวจ No.2 ความถี่ 1.5 GHz

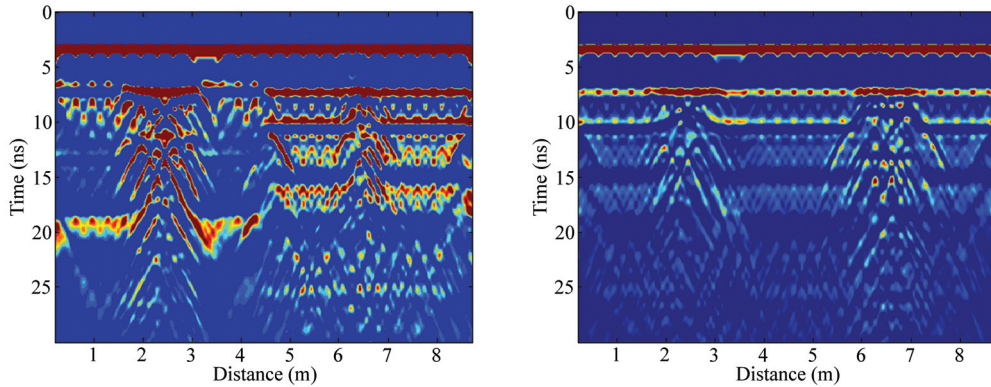


(ก) แนวสำรวจ No.1 ความถี่ 900 MHz



(ข) แนวสำรวจ No.2 ความถี่ 900 MHz

รูปที่ 5 จำลองผลการสำรวจด้วย GPR ด้วยโปรแกรมคอมพิวเตอร์



(จ) แนวสำรวจ No.1 ความถี่ 400 MHz  
 (ฉ) แนวสำรวจ No.2 ความถี่ 400 MHz  
 รูปที่ 5 จำลองผลการสำรวจด้วย GPR ด้วยโปรแกรมคอมพิวเตอร์ (ต่อ)

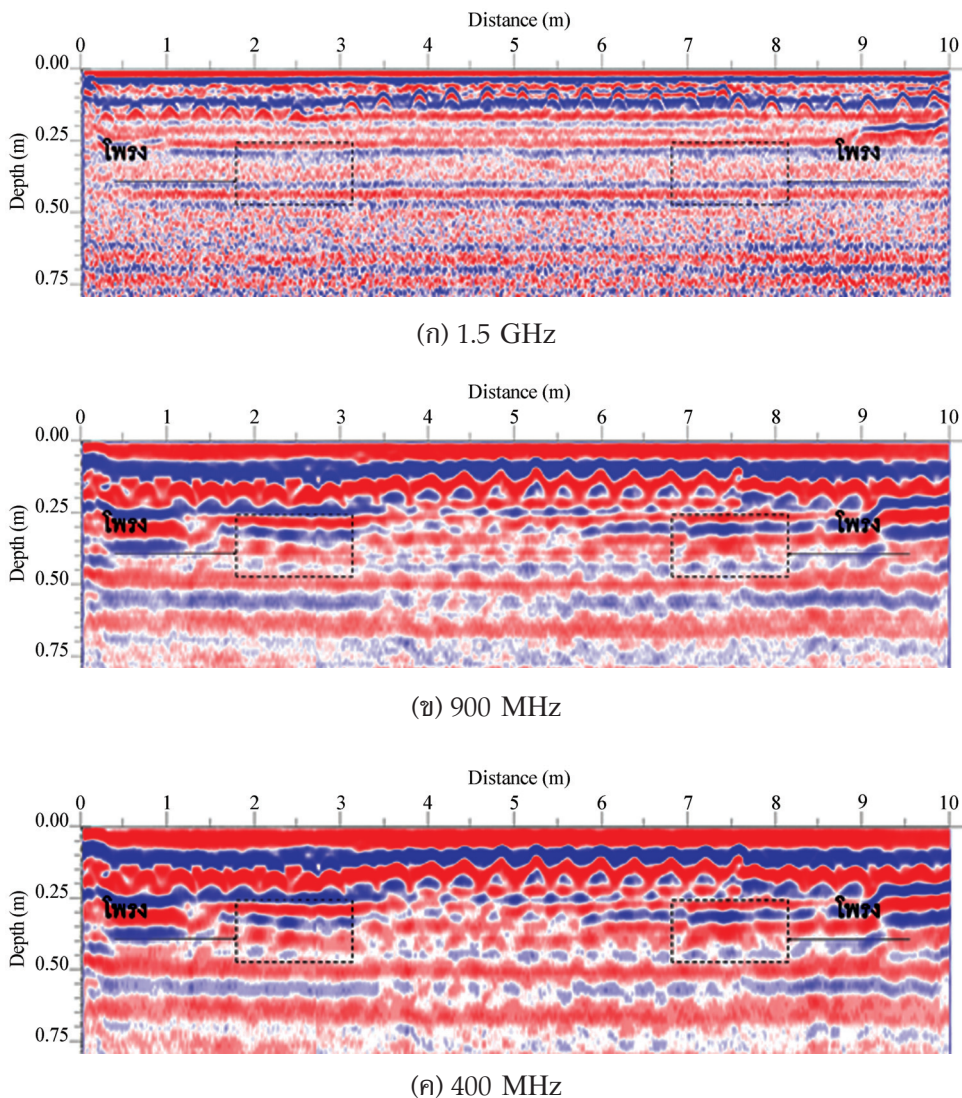
## ผลการศึกษา

ผลการศึกษาจากแบบจำลองด้วยโปรแกรมคอมพิวเตอร์ ดังรูปที่ 5 แสดงให้เห็นถึงผลลัพธ์ของการสำรวจด้วยเครื่องมือ GPR ที่ใช้คลื่นความถี่ 1.5 GHz, 900 MHz และ 400 MHz ตามลำดับ โดยมีลักษณะการสะท้อนของคลื่นเป็นบริเวณผิวรอยต่อของชั้นวัสดุและมีความเข้มของการสะท้อนเป็นไปตามค่าความแตกต่างของค่าคงที่ไดอิเล็กทริก โดยเฉพาะการสะท้อนของเหล็กเสริมคอนกรีตที่แสดงเป็นรูปพาราโบลาได้อย่างชัดเจน

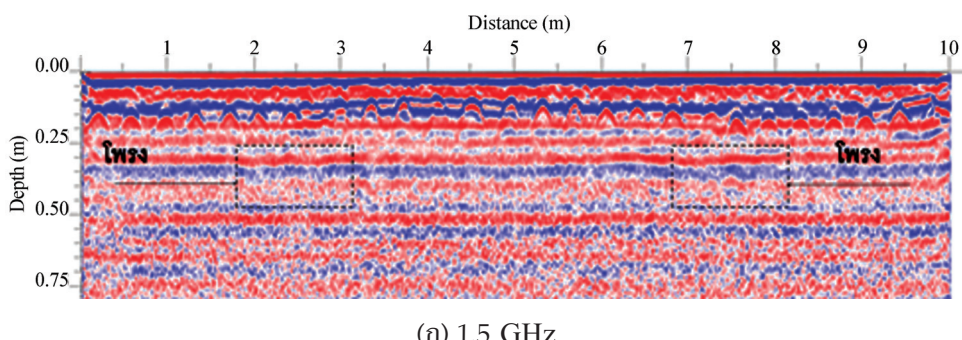
เนื่องจากคุณสมบัติการสะท้อนคลื่นที่ขึ้นอยู่กับค่าความต่างของค่าไดอิเล็กทริกของแต่ละวัสดุ กล่าวคือ เมื่อพื้นถนนคอนกรีตมีค่าคงที่ไดอิเล็กทริกเท่ากับ 6 ในบริเวณที่มีวัสดุรองพื้นหินคลุก (Crushed Rock) มีค่าความแตกต่างของค่าคงที่ไดอิเล็กทริกเท่ากับ (6 : 10) ส่วนในบริเวณที่มีวัสดุรองพื้นเป็นทรายบดอัด (Sand Cushion) มีค่าความแตกต่างของค่าคงที่ไดอิเล็กทริกเท่ากับ (6 : 3) จึงทำให้การสะท้อนในบริเวณที่มีวัสดุรองพื้นเป็นหินคลุกชัดเจนกว่าในบริเวณที่มีวัสดุรองพื้นเป็นทรายบดอัด

ผลการจำลองสำรวจแสดงการสะท้อนของคลื่น เริ่มจากการสำรวจด้วยคลื่นความถี่ 1.5 GHz ดังรูปที่ 5 (ก) - (ข) สามารถแสดงให้เห็นถึงรูปทรงการสะท้อนกลับของคลื่นอันเกิดขึ้นจากโครงสร้าง แต่ลัญญาณการสะท้อนกลับที่แสดงมีความเข้มน้อย หากพิจารณาถึงการนำไปใช้ในการสำรวจจริงคาดว่า ลัญญาณจะถูกลดลงอย่างมาก จากการดูดซับโดยชั้นดิน แม้ลัญญาณเคลื่อนที่ผ่านวัตถุตัวนำของชั้นวัสดุต่างๆ ได้ดีจะทำให้ไม่สามารถตรวจพบโครงสร้างที่ล้ำชั้นได้

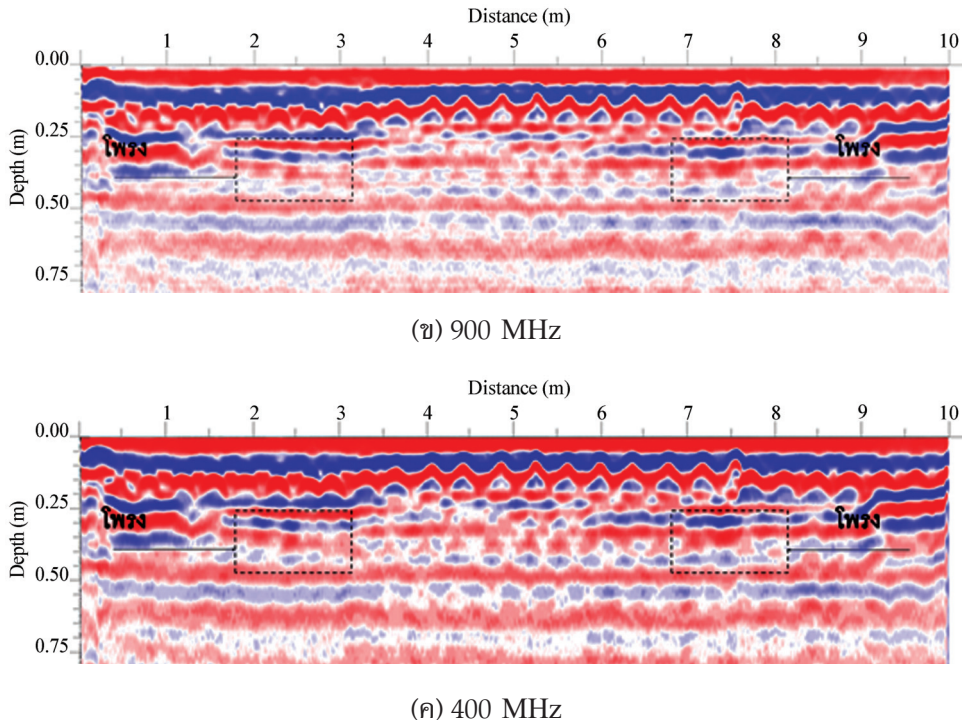
การจำลองผลการสำรวจโดยใช้ความถี่เท่ากับ 900 MHz ให้ผลการสำรวจที่ดีที่สุดสำหรับการตรวจสอบโครงสร้างทางราษฎร จากรูปที่ 5 (ค) - (ง) โดยสามารถแสดงการสะท้อนกลับของรูปร่างโครงสร้างที่ได้รับขึ้นอย่างชัดเจน ซึ่งสามารถจำแนกได้ถึงรูปทรงการสะท้อนกลับของแต่ละชั้นของโครงสร้างได้เป็นอย่างดี และจากรูปที่ 5 (จ) - (ฉ) ที่ใช้ความถี่ที่มีความยาวคลื่นมากที่สุดคือ 400 MHz ผลลัพธ์ที่ได้ไม่ชัดเจน ความถี่นี้ไม่สามารถแสดงให้เห็นถึงโครงสร้างเหล็กในส่วนปลายทั้งสองของโครงสร้างแบบขั้นบันได



รูปที่ 6 ผลการสำรวจ GPR ตามแนวการสำรวจที่ 1 ของแบบจำลองถนนตัวอย่าง



รูปที่ 7 ผลการสำรวจ GPR ตามแนวการสำรวจที่ 2 ของแบบจำลองถนนตัวอย่าง



รูปที่ 7 ผลการสำรวจ GPR ตามแนวสำรวจที่ 2 ของแบบจำลองถนนตัวอย่าง (ต่อ)

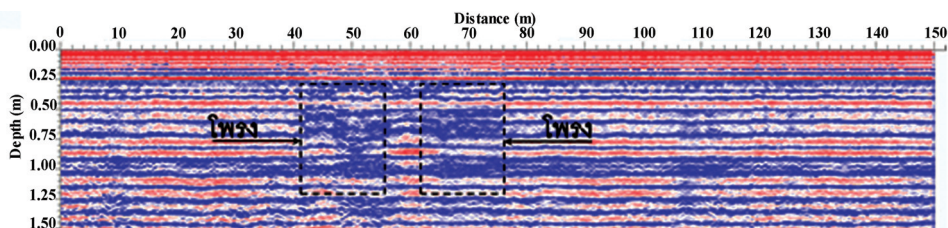
ผลการสำรวจ GPR ของแบบจำลองถนนตัวอย่างที่ได้ทำการเก็บข้อมูลภายหลังการก่อสร้างขึ้น ผิวทางคอนกรีตเป็นระยะเวลา 28 วัน พบร่วมกับผลการสำรวจด้วยสายอากาศความถี่ 1.5 GHz ไม่สามารถแสดงให้เห็นหรือยกที่จะระบุได้ถึงโพรงอากาศได้แต่นั่นพื้นถนนที่สร้างไว้ได้ ดังรูปที่ 6 และ 7

ผลการสำรวจ GPR ด้วยสายอากาศความถี่ 900 MHz และ 400 MHz สามารถแสดงให้เห็นถึงโพรงอากาศได้แต่นั่นพื้นถนนที่สร้างไว้ไม่ชัดเจนทั้งสองความถี่ เนื่องจากความชื้นที่มีอยู่ในชั้นวัสดุทำให้เกิดการลดตอนของสัญญาณลงไปจนไม่สามารถสะท้อนกลับขึ้นมาได้ จากผลการสำรวจหากไม่ทราบตำแหน่งที่แน่นอนของโพรงแล้ว ยังเป็นการยากในการระบุตำแหน่งและขนาดของโพรงที่ตรวจพบได้

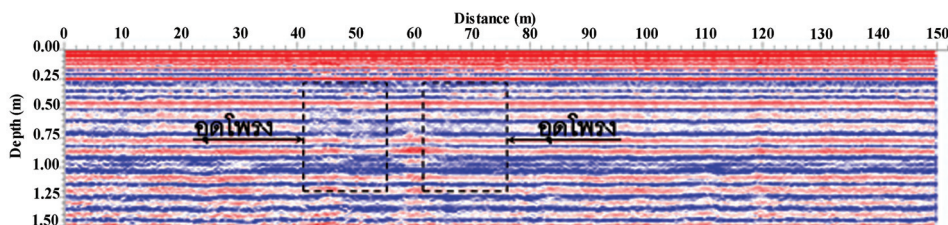
การสำรวจด้วยเครื่องมือ GPR แบบเคลื่อนที่ได้ ดังรูปที่ 4 บนทางหลวงหมายเลข 321 ผลการสำรวจโพรงอากาศได้ผิวจราจรก่อนและหลังการก่อสร้าง 28 วัน เมื่อพิจารณาจากรูปที่ 8 ตามหลักการสะท้อนคลื่นที่แปรผันตามค่าความแตกต่างกันของค่าคงที่ไดอิเล็กทริกของชั้นวัสดุ พบร่วมกับโพรงอากาศเกิดขึ้นได้ผิวจราจรคอนกรีต (ต่ำกว่า 25 ซม.) และเป็นลักษณะ - พ้าที่ตำแหน่ง 10 40 - 55 65 - 75 110 และ 125 เมตร ตามลำดับ โดยเฉพาะตำแหน่งในกรอบเส้นประ ซึ่งแสดงให้เห็นว่าพื้นที่ได้ผิวคอนกรีตเกิดโพรงอากาศมากกว่าผิวทางคอนกรีต ดังรูปที่ 8(ก)

ภายหลังการอัดฉีดน้ำปูนด้วยวิธี Sub-Sealing (มาตรฐานกรมทางหลวง ทล-ม. 327/2543) เพื่อให้น้ำปูนเข้าไปอุดโพรงอากาศที่อยู่ใต้ผิวทางจราจร หลังจากนั้นต้องใช้เครื่อง GPR ในการตรวจสอบถึงการเติมเต็มโพรงได้พื้นผิวจราจรและประมาณผล ดังรูปที่ 8 (ข) พบร่วมกับร่องดักกล่าวมีความเข้มมากขึ้น เป็นปกติ เนื่องจากการแทนที่ของน้ำปูนทำให้ชั้นที่เป็นโพรงมีค่าคงที่ไดอิเล็กทริกเพิ่มขึ้น ดังนั้นจากการ

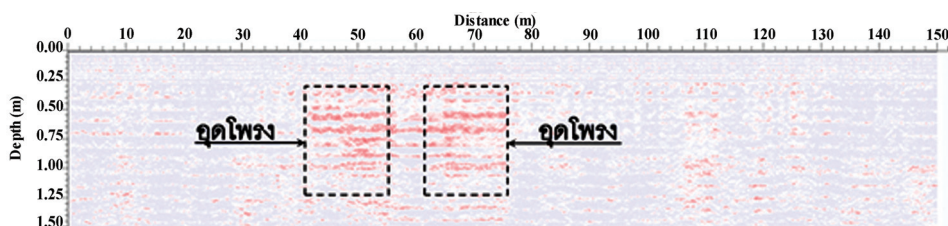
สำรวจแสดงให้เห็นว่าบ้านที่ซ่อมด้วยวิธี Sub-Sealing สามารถเข้าไปแทนที่ช่องว่างในโครงอาคารได้ผ่านทางได้อย่างเต็มที่ เป็นการแก้ไขปรับปรุงแผ่นคอนกรีตที่เสียหายเพียงบางส่วน จากการเกิดโครงหรือช่องว่างได้แผ่นคอนกรีตได้ในราคาน้ำหนักโดยไม่จำเป็นต้องทุบหรือแผ่นคอนกรีตเดิมออก สุดท้ายคือ รูปที่ 8 (ค) และแสดงให้เห็นถึงความแตกต่างระหว่างก่อนซ่อมและหลังซ่อมด้วยวิธีหักลบ (Subtract) ซึ่งจุดที่บ้านเข้าไปแทนช่องว่างของอาคารจะปรากฏเป็นลีเซ็ม



(ก) ตำแหน่งโครงสร้างก่อตั้งพื้นที่ ก่อนดำเนินการซ่อม



(ข) การอุดโครงสร้าง ภายหลังการซ่อมด้วยวิธี Sub-Sealing

(ค) ความแตกต่าง ระหว่างรูป (ก) และ (ข) ภายหลังการอุดช่องโครงสร้างแล้ว  
รูปที่ 8 ผลการสำรวจโครงสร้างด้วยเครื่องมือ GPR ในสถานที่จริง

## อภิปรายผล

การจำลองผลการสำรวจโครงสร้างด้วยวิธี GPR ด้วยความถี่ที่แตกต่างกันคือ 1.5 GHz, 900 MHz และ 400 MHz ทำให้ทราบถึงความเหมาะสมในการเลือกใช้ย่านความถี่ที่นำไปสู่การแปลผลที่ดีที่สุด ซึ่งในแต่ละพื้นที่ผู้ดำเนินการสำรวจอาจต้องทำการปรับจูนความถี่ที่เหมาะสมสำหรับงานนั้น ๆ สำหรับการศึกษานี้ ความถี่ 900 MHz สามารถให้ผลการสำรวจชัดเจนที่สุด สำหรับความถี่ 1.5 GHz มีลักษณะการสะท้อนกลับที่มีความเข้มต่ำเกินไปการแสดงผลไม่ชัดเจน และความถี่ 400 MHz ไม่สามารถตรวจพบโครงสร้างเดิมในส่วนของโครงสร้างที่มีรูปร่างแบบขั้นบันไดได้

แม้ในขั้นตอนการก่อสร้างแบบจำลองถนนตัวอย่างได้ทำการปูรองพื้นด้วยแผ่นพลาสติกก่อน การเทพื้นคอนกรีตยังไม่สามารถควบคุมความชื้นของวัสดุคุณทางในถนนคอนกรีตได้ ซึ่งความชื้นล่วงหนึ่ง เกิดจากความชื้นที่สะสมตัวอยู่ลึกลงไปได้ดินที่ซึมเข้ามาสะสมตัวอยู่ใต้แผ่นพลาสติกตลอดจนการรั่วซึม ของแผ่นพลาสติก จึงทำให้ผลการสำรวจที่ได้มีขัดเจน แต่ยังพอที่จะระบุได้ถึงตำแหน่งของโพรงที่ลรังไว้อย่างไรก็ตาม หากไม่ทราบตำแหน่งที่แน่นอนของโพรงแล้ว ยังเป็นการยากที่จะระบุได้ถึงจุดที่เป็นโพรง

การสำรวจด้วยเครื่องมือ GPR ในสถานที่จริงสามารถแสดงให้เห็นถึงสภาพของผิวน้ำจราจรและ พื้นท่างก่อนและหลังการซ่อมด้วยวิธี Sub-Sealing โดยการศึกษานี้นำเสนอเฉพาะกรณีศึกษาบริเวณของ โพรงอากาศและสภาพภายในหลังการซ่อมที่ขัดเจนเพื่อเป็นแนวทางในการใช้เครื่องมือ GPR เท่านั้น โดยมิได้หมายรวมถึงภาพตัดตลอดเส้นทางการสำรวจ

## สรุปผล

การดำเนินการวิจัยและศึกษาเพื่อหาวิธีตรวจสอบโพรงได้ผิวน้ำจราจรคอนกรีตเพื่อประโยชน์ในการวิเคราะห์และ หาวิธีในการซ่อมบำรุงผิวน้ำจราจร หรือแม้กระทั่งการตรวจสอบภายในหลังจากการซ่อมบำรุงผ่านไปแล้วก็ตาม พบว่า

1. การจำลองผลการสำรวจ พบร่องคลื่นทั้งสามย่านความถี่ที่ใช้ในการทดลอง สามารถแสดงให้เห็น การสะท้อนของวัสดุทั้งหมดที่อยู่ในแบบจำลองได้เป็นอย่างดี โดยเฉพาะเหล็กเสริมคอนกรีตและรอยต่อ ในแต่ละชั้นของวัสดุที่มีความแตกต่างกัน

2. โปรแกรม GprMax ที่ใช้ในการจำลองนี้ไม่ได้มีการจำลองการคูดชักคลื่นด้วย ดังนั้นผลที่ได้ จึงสามารถแสดงได้ถึงชั้นวัสดุได้แต่อย่างชัดเจนซึ่งแตกต่างจากความจริง โดยคลื่นแม่เหล็กไฟฟ้าจะมีการ ถูกคูดชักและสูญเสียในระหว่างการเดินทางผ่านชั้นวัสดุต่าง ๆ

3. การก่อสร้างถนนคอนกรีตตัวอย่างยกที่จะควบคุมความชื้นได้แผ่นพื้นคอนกรีตจึงทำให้ ผลการสำรวจของทุกตัวอย่างความถี่ที่ทำการเก็บข้อมูลหลังจากการก่อสร้างเสร็จแล้ว 28 วัน ไม่ชัดเจน ยกที่จะระบุตำแหน่งของโพรงอากาศและรอยต่อของชั้นวัสดุได้ต่างจากแบบจำลองที่ได้จากการจำลอง ผลการสำรวจด้วยโปรแกรมคอมพิวเตอร์ที่สามารถแยกชั้นวัสดุได้อย่างชัดเจน

4. การสำรวจในภาคสนามได้ทำการสำรวจก่อนและหลังการอัดฉีดน้ำปูนแล้ว 28 วัน พบร่วง มีการแทรกตัวของน้ำปูนเข้าสู่ชั้นวัสดุคุณทาง โดยพิจารณาได้จากการเปลี่ยนไปของลีนในผลการสำรวจ ซึ่งเป็นผลมาจากการค่าล้มประลิทธิ์การสะท้อนที่เพิ่มขึ้น

5. วิธีการสำรวจด้วยเครื่อง GPR นับเป็นวิธีที่สะดวกรวดเร็ว ประหยัดงบประมาณ และให้ผล เป็นที่น่าเชื่อถือได้ สามารถตรวจสอบโพรงได้อย่างละเอียดถูกต้อง ทั้งนี้ต้องขึ้นอยู่กับเทคนิค และวิธีการดำเนินงานของผู้ใช้เครื่องมือด้วยเช่นกัน

จากจุดเด่นของวิธีการสำรวจด้วยเครื่อง GPR ดังที่ได้สรุปในเบื้องต้น สามารถนำไปศึกษาพัฒนาระบบ ความเสียหายที่เกิดขึ้นกับพื้นท่างในระยะยาวได้ แต่อย่างไรก็ตามเครื่องมือ GPR ยังมีข้อจำกัด ด้านกำลังส่งที่ถูกจำกัดเพื่อป้องกันการระบบการสื่อสารภายนอก ตลอดจนความถี่ที่ใช้งานกล่าว คือ เครื่องมือ GPR สามารถตรวจพบการสะท้อนของชั้นวัสดุที่แตกต่างกันได้เมื่อชั้นวัสดุนั้นมีความหนามากกว่า ครึ่งหนึ่งของความยาวคลื่นที่ใช้

ในด้านความลึกของการสำรวจขึ้นอยู่กับความถี่ที่เลือกใช้งาน ตลอดจนความชื้นในชั้นวัสดุ ที่เป็นตัวแปรสำคัญที่ทำให้เกิดการลดthonของสัญญาณที่ทำให้ความลึกการสำรวจที่ได้ลดลง โดยเฉพาะพื้นถนนคอนกรีตที่อยู่ในบริเวณกรุงเทพและปริมณฑลที่ต้องอยู่บนคินเนียวย่ออ่อนที่มีความชื้นในดินสูง

## References

- [1] Bancha, F., Vijitachara, S., Saree, S., Sakechai, A., and Pornchai, S. (2004). **Measurement of Cavity Filling Under Concrete Slabs by GPR and FWD**. Report No. 211. Bureau of Road Research and Development. Department of Highways. Ministry of Transport. Thailand. (In Thai)
- [2] Sato, M. (2005). **Short Course Lecture Note on GPR and Its Application to Environmental Study**. Lecture note of the Short course on Ground Penetration Radar and Electric Imaging for Solving Engineering Problem. AIT Bangkok, Thailand. 7-9 November 2005. Asian Institute of Technology. Thailand.
- [3] Topp, G. C., Davis, J. L., and Annan, A. P. (1980). Electromagnetic Determination of Soil Water Content: Measurement in Coaxial Transmission Line. **Water Resources**. Vol. 16, pp. 574-582. DOI: 10.1029/WR016i003p00574
- [4] GSSI. (2017). **Antennas Manual**. Geophysical Survey Systems, Inc. Access (4 April 2018). Available (<http://www.geophysical.com>)
- [5] Antonis, G. (2006). **GprMax2D/3D simulator Version 2.0**. Access (20 November 2017). Available (<http://www.gprmax.com/code/UserGuideV2.pdf>)
- [6] ASTM D4748-98. (2002). **Standard Test Method for Determining Thickness of Bound Pavement Layers Using Short-Pulse Radar**. Annual Book of ASTM Standards 2002, Section 04: Construction Soil and Rock (I). American Society for Testing and Materials. Vol. 04.08.
- [7] Wiwattanachang, N., Giao, P. H., and Vichalai, C. (2015). Crack Detection in Fiber Concrete by Electrical Imaging Methods. **The 4<sup>th</sup> International Symposium on the Fusion science and Technologies (ISFT2015)**. RUS. Pra Nakhon Si Ayutthaya, Thailand.
- [8] Chatterjee, R. (1989). **Antenna Theory and Practice**. 2<sup>nd</sup> ed. New Age International Inc.
- [9] CWP/SU. (2011). Seismic Un\*x Release No. 43. An open source software package for seismic research and processing. **Center for Wave Phenomena**. Colorado School of Mines. Access (22 November 2017). Available (<http://www.cwp.mines.edu/cwpcodes>)
- [10] SEGJ. (2004). Application of geophysical methods to engineering and environmental problems. **Society of Exploration Geophysicists of Japan**. Japan.



ระบบผลิตไฟฟ้าจากชีวมวลอัดเม็ดโดยใช้เทคโนโลยีแก๊สซิฟิเคชัน

## Biomass Pellets Electrical Power Generation System by Using Gasification Technology

เจนศักดิ์ เอกบูรณ์วัฒน์<sup>\*</sup>

Received: May, 2018; Accepted: June, 2018

### บทคัดย่อ

งานวิจัยนี้เป็นการพัฒนาระบบผลิตไฟฟ้าจากชีวมวลอัดเม็ดโดยใช้เทคโนโลยีแก๊สซิฟิเคชัน ระบบที่สร้างขึ้น ประกอบด้วย ชุดสกรูลำเลียงเชือเพลิงเข้าสู่เตาแก๊สชีไฟเออร์ モเตอร์สร้างแรงดันลมเทือนเพื่อไอ้แก๊สปุ่มหัวเรืองการเกิดไฟของเชือเพลิงภายในเตาแก๊สชีไฟเออร์ และระบบควบคุมอุปกรณ์ไฟฟ้าต่าง ๆ เพื่อให้ระบบเกิดความปลอดภัยและง่ายต่อการใช้งาน ระบบที่สร้างขึ้นนี้ผลิตโปรดิวเซอร์แก๊สได้อย่างต่อเนื่อง เพราะสามารถเติมเชือเพลิงเข้าระบบได้โดยไม่ต้องหยุดการทำงาน เชือเพลิงที่ระบบใช้เป็นชีวมวลอัดเม็ด ที่มีขนาดเล็ก ง่ายต่อการลำเลียงเข้าเตา ให้พลังงานสูงและมีความชื้นต่ำ การทดสอบระบบทำการเผาชีวมวลอัดเม็ดในเตาแก๊สชีไฟเออร์เพื่อผลิตโปรดิวเซอร์แก๊ส ใช้ชีวมวลอัดเม็ดปริมาตร 20 ลิตร สามารถผลิตโปรดิวเซอร์แก๊สได้ประมาณ 40 นาที การสั่นขยายเตาทุก ๆ 10 นาที สามารถแก้ปัญหาการเกิดไฟของเชือเพลิงในเตาได้ เมื่อเชือเพลิงใกล้หมดสามารถป้อนเชือเพลิงชุดใหม่เข้าเตาแก๊สชีไฟเออร์โดยไม่ต้องหยุดการทำงาน ระบบจึงสามารถจ่ายโปรดิวเซอร์แก๊สให้กับเครื่องยนต์ต้นกำลังของเครื่องกำเนิดไฟฟ้าได้อย่างต่อเนื่อง โดยเครื่องกำเนิดไฟฟ้าสามารถจ่ายกำลังไฟฟ้าได้สูงสุดที่ 590 วัตต์

คำสำคัญ : ระบบผลิตไฟฟ้า; เชือเพลิงชีวมวลอัดเม็ด; แก๊สซิฟิเคชัน; โปรดิวเซอร์แก๊ส;

<sup>1</sup> Faculty of Engineering, Rajamangala University of Technology Rattanakosin, Salaya, Nakhon Pathom

\* Corresponding Author E - mail Address: jensak.eak@rmutr.ac.th

## Abstract

This research is a development of the biomass pellets power generation system by using gasification technology. This system consisted of a screws conveyer transporting fuel into the gasifier stove. Motor vibration to deal with the cavity of fuel that occurs inside the gasifier stove and control cabinets in the system for ease of use and to ensure safety. The system can produce producer gas continuously because they can refuel without stopping the system. The experiment use biomass pellets to testing system because it's easy to transport fuel into gasifier stove. High energy and low humidity. The experiment is burning biomass pellets in a gasifier stove to produce producer gas. Used 20-liter biomass pellet can produce producer gas for about 40 minutes. The cavity of fuel sole by vibrate the stove every 10 minutes. When fuel is exhausted, new fuel is fed into the gasifier by screw conveyor. The system is able to continuously supply producer gas to the generator engine. The generator can supply a maximum power of 590 watts to load.

**Keywords:** Power Generation; Biomass Pellet; Gasification; Producer Gas

## บทนำ

ในปัจจุบันความต้องการใช้พลังงานไฟฟ้าภายในประเทศไทยเพิ่มสูงขึ้นทุกปีตามอัตราการเติบโตของเศรษฐกิจ ในขณะที่ความต้องการใช้พลังงานไฟฟ้าเพิ่มขึ้นนั้นพื้นที่ชั้นบทลายแห้งในประเทศไทยยังไม่มีพลังงานไฟฟ้าใช้ ในปัจจุบันพื้นที่ชั้นบทที่ยังไม่มีไฟฟ้าการผลิตไฟฟ้าอาจใช้เครื่องกำเนิดไฟฟ้าขนาดเล็กที่ใช้พลังงานจากน้ำมัน หรือพลังงานจากน้ำ เช่น ลำธารหรือน้ำตก ทั้งนี้ขึ้นอยู่กับสภาพภูมิประเทศ การใช้พลังงานทดแทน เช่น แสงอาทิตย์หรือพลังงานลมก็เป็นอีกทางเลือกหนึ่ง แต่มีข้อจำกัดในเรื่องของช่วงเวลาการใช้งาน ประเทศไทยเป็นประเทศเกษตรกรรมและมีเศษวัสดุเหลือจากการเกษตรมากมาย ซึ่งชีวมวลเหล่านี้เป็นพลังงานทดแทน (Renewable Energy) ที่สามารถนำมาเพื่อให้ความร้อนได้โดยตรง เมื่อประруปเชื้อเพลิงเหล่านี้ห้อยในรูปของเชื้อเพลิงชีวมวลอัดเม็ดจะทำให้ปริมาณความร้อนของชีวมวลสูงมากและสูงขึ้น ลดปริมาณของเชื้อเพลิง และสามารถนำไปใช้ประโยชน์ได้หลากหลายมากขึ้น [1]



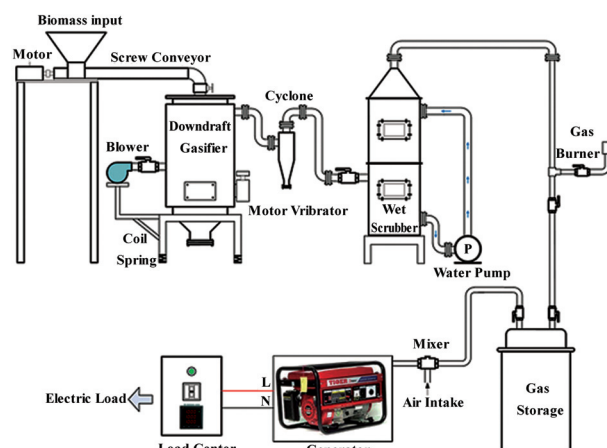
รูปที่ 1 เชื้อเพลิงชีวมวลอัดเม็ด

เชื้อเพลิงชีวมวลอัดเม็ด (Wood Pellets) [2] เป็นเชื้อเพลิงชีวมวลที่มีความหนาแน่นสูงจึงมีประสิทธิภาพการเผาไหม้ดีกว่าชีวมวลทั่วไป และยังผลิตได้จากวัสดุที่หลากหลาย เช่น เงามันสำปะหลัง ข้าวโพด เปเลือกยุคคาลิปตัล เศษวัสดุไม้แปรรูปจากการทำเฟอร์นิเจอร์ ไม้ยืนต้นตาย รวมถึงกิ่งไม้ที่ได้จากการตัดแต่งอีกด้วย ลักษณะทางกายภาพของชีวมวลอัดเม็ดแสดงดังรูปที่ 1

การผลิตเชื้อเพลิงชีวมวลอัดเม็ดจะนำชีวมวลมาผ่านกระบวนการย่อยและลดความชื้น แล้วนำมาอัดเป็นแท่ง มีขนาดเล็กกว่าคุณย์กลาง 8 - 10 มิลลิเมตร ความยาว 20 - 50 มิลลิเมตร จากนั้นจึงนำไปลดอุณหภูมิ โดยรักษาความชื้นให้อยู่ระหว่างร้อยละ 8 - 15 จึงทำให้ได้ค่าความร้อนสูง เหมาะกับการนำไปใช้งาน เป็นเชื้อเพลิงสำหรับเครื่องกำเนิดไอน้ำ (Boiler) และยังใช้ในเตาเผาสำหรับอุตสาหกรรมต่าง ๆ ทำให้ได้เปรียบ เชื้อเพลิงชีวมวลประเภทอื่นทั้งในด้านพื้นที่จัดเก็บ และด้านการขนส่งระยะทางไกล ชีวมวลอัดเม็ดมีค่าความหนาแน่นสูงถึง 600 - 650 กิโลกรัมต่อลูกบาศก์เมตร มีค่าความร้อน 6,000 - 6,500 กิโลแคลอรี่ต่อ กิโลกรัม ทำให้มีการเผาไหม้ได้อย่างสมบูรณ์ จึงสามารถลดการปลดปล่อยก๊าซคาร์บอนไดออกไซด์ ซึ่งเป็นหนึ่งในกําชเรือนกระจกต้นเหตุของสภาวะโลกร้อนได้ [3] - [4] แนวคิดของงานวิจัยนี้คือการนำเชื้อเพลิงชีวมวลอัดเม็ดมาเปลี่ยนรูปจากเชื้อเพลิงแข็งให้อยู่ในรูปของแก๊สเชื้อเพลิง (Producer Gas) โดยใช้กระบวนการแก๊สชีพิเคนชัน แล้วนำไปต่อเครื่องแก๊สที่ผลิตได้ไปใช้เดินเครื่องยนต์ตันกำลังสำหรับการใช้พลังงานไฟฟ้า วัตถุประสงค์ของงานวิจัยนี้คือสร้างระบบผลิตไฟฟ้าจากเชื้อเพลิงชีวมวลอัดเม็ด ด้วยเทคโนโลยีแก๊สชีพิเคนชันขนาดเล็ก และหาวิธีการป้อนเชื้อเพลิงชีวมวลอัดเม็ดเข้าสู่เตาแก๊สชีพิเօร์ อย่างต่อเนื่องโดยไม่ต้องหยุดการทำงานของเตาเพื่อให้ระบบสามารถผลิตไฟฟ้าได้อย่างต่อเนื่อง [5] - [6]

## วิธีดำเนินการวิจัย

งานวิจัยนี้ได้ออกแบบสร้างและทดสอบระบบผลิตไฟฟ้าจากชีวมวลอัดเม็ดโดยใช้เทคโนโลยีแก๊สชีพิเคนชัน ที่ประกอบด้วย เตาแก๊สชีพิเօร์แบบอากาศไหลลง ระบบลำเลียงเชื้อเพลิงอัดเม็ด ระบบสั่นสะเทือน เพื่อสร้างแรงเสียดฟ้าให้เชื้อเพลิงไม่ก่อตัวเป็นไฟฟ้า สามารถผลิตไฟฟ้าได้อย่างต่อเนื่อง ระบบทำความสะอาดแก๊ส ระบบกักเก็บแก๊ส และเครื่องกำเนิดไฟฟ้า แผนภาพรวมของระบบแสดงดังรูปที่ 2



รูปที่ 2 แผนภาพรวมของระบบ

### กระบวนการผลิตโปรดิวเชอร์แก๊ส

การเปลี่ยนเชื้อเพลิงชีวมวลให้เป็นโปรดิวเชอร์แก๊สจะใช้กระบวนการแก๊สชิฟิเกชัน ซึ่งในงานวิจัยนี้ เลือกใช้เตาแก๊สชิฟิเออร์แบบอากาศไหลลง (Down Draft) เพราะเตานิดนี้สามารถผลิตแก๊สที่ไม่มีลิ่งประปันอุกมานกนัก ปกติโปรดิวเชอร์แก๊สที่ได้มีความร้อนสูง ต้องทำความสะอาดและลดอุณหภูมิลง ให้อยู่ในระดับที่เหมาะสมกับการใช้งานของเครื่องยนต์ จึงจำเป็นต้องกำจัดฝุ่นขนาดใหญ่ออกโดยใช้ไฮโคลน และกำจัดฝุ่นละอองขนาดเล็กออกครั้งพร้อมลดความร้อนลงด้วยกระบวนการตักจับด้วยการสเปรย์น้ำ ในเครื่องพ่นจับแบบเปียก (Wet Scrubber) และกรองด้วยตัวกรองก้อนล่งเข้าผสมกับอากาศให้ได้ลัดล่วง เพื่อป้อนเข้าเครื่องยนต์ต้นกำลังของเครื่องกำเนิดไฟฟ้าต่อไป [7] - [8]

### การออกแบบระบบลำเลียงเชื้อเพลิงชีวมวลอัดเม็ด

ระบบลำเลียงเชื้อเพลิงชีวมวลอัดเม็ดเข้าเตาใช้การทำงานของกลไกแบบสกรูลำเลียง (Screw Conveyor) ชุดสกรูแบบนี้เหมาะสมสำหรับใช้ขนถ่ายวัสดุที่มีลักษณะเป็นผงหรือเม็ด สามารถใช้งานได้ทั้งในแนวราบหรือแนวลาดเอียง สร้างได้ง่ายเพราะมีส่วนประกอบเพียง 3 ชิ้น คือ รางตัวถัง เกลียว สกรูชนถ่าย และตัวตันกำลังขับเคลื่อน ในงานวิจัยนี้ใช้สกรูลำเลียงแบบระนาบ มีความสูงจากพื้นถึงถังรับเชื้อเพลิง 275 เซนติเมตร ความยาวของชุดสกรู 97 เซนติเมตร ความกว้าง 12 เซนติเมตร และความกว้างของถังรับเชื้อเพลิง 50 เซนติเมตร โดยติดตั้งตัวตันกำลังเป็นมุมต่อเรือร์เกียร์ ขนาด 1/4 แรงม้า

### การออกแบบระบบกำจัดการเกิดไฟของเชื้อเพลิง

เนื่องจากเชื้อเพลิงชีวมวลอัดเม็ดมีลักษณะเป็นแท่งขนาดเล็ก เมื่อใส่ลงในเตาแก๊สชิฟิเออร์ จะทำให้เชื้อเพลิงเกิดการเกาะตัวกันและเมื่อเกิดการเผาไหม้เชื้อเพลิงในส่วนห้องเผาไหม้จะกลอยเป็นขี้แล้ว ตกลงด้านล่าง แต่เนื่องจากเชื้อเพลิงที่เกาะตัวกันแน่นจึงทำให้เกิดไฟของเชื้อเพลิงขึ้นภายในเตาทำให้โปรดิวเชอร์แก๊สที่เกิดขึ้นไม่มีความต่อเนื่อง ล่งผลให้ไม่สามารถเดินเครื่องกำเนิดไฟฟ้าได้อย่างราบรื่น และต่อเนื่อง จึงจำเป็นต้องกำจัดการเกิดไฟของเชื้อเพลิงโดยการออกแบบให้เตาสามารถสั่นสะเทือนได้ตามเวลาที่ตั้งไว้ดังรูปที่ 3 โดยมีส่วนประกอบดังต่อไปนี้



(ก) ชุดสร้างแรงสั่นสะเทือน (ข) การติดตั้งชุดสร้างแรงสั่นสะเทือน (ค) ติดตั้งขาเตาแบบสปริง  
รูปที่ 3 การติดตั้งชุดสร้างแรงสั่นสะเทือน

1. ชุดสร้างแรงสั่นสะเทือน ใช้มอเตอร์หนี่ยวนำขนาด 1 แรงม้า ติดตั้งกับลูกเบี้ยวที่แกนของ มอเตอร์ เมื่อสั่งให้มอเตอร์หมุนจะเกิดแรงสั่นสะเทือนเขย่าให้เชื้อเพลิงไหลลงไม่ก่อตัวเป็นไฟ ถ้าทิ้งยัง ทำให้ขี้แล้วกลงจากห้องเผาไหม้ลงสู่ส่วนเก็บขี้แล้วอีกด้วย

2. ขาเตาแก๊สชิฟิเออร์แบบสปริง การออกแบบและสร้างล่วนขาของเตาแก๊สชิฟิเออร์ ที่สามารถ รองรับการสั่นสะเทือนของเตาได้ดี จะใช้ขาแบบสปริงรองรับน้ำหนักของเตา เพื่อทำให้เตาแก๊สชิฟิเออร์

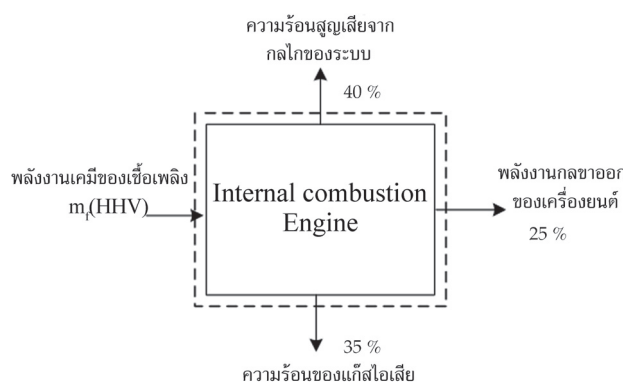
เกิดการเขย่าในลักษณะขึ้นลงเมื่อได้รับแรงสั่นสะเทือนจากชุดสร้างแรงสั่นสะเทือน การใช้ขาสปริงแบบนี้ จะทำให้การสั่นของเตาเพิ่มมากขึ้นกว่าการติดตั้งเตาแบบยึดแน่นกับพื้น

3. การเชื่อมต่ออุปกรณ์ด้วยข้อต่อแบบอ่อน เนื่องจากมีการสร้างแรงสั่นสะเทือนที่ตัวเตาแก๊สชีฟเฟอร์ จึงต้องใช้ข้อต่อแบบอ่อนติดตั้งเชื่อมต่อกับส่วนประกอบอื่นที่ติดกับเตา เนื่องจากต้องทำการเขย่าเตาให้เกิดการสั่นสะเทือนหากติดตั้งอุปกรณ์ส่วนอื่นแบบยึดแน่นกับตัวเตาอาจทำให้เกิดการชำรุดเสียหาย และเกิดการร้าวไหลของแก๊สได้



รูปที่ 4 ภาพรวมของระบบผลิตไฟฟ้าที่สร้างขึ้น

จากรูปที่ 4 อุปกรณ์ที่ปรากฏตามหมายเลขอรูป คือ (1) ตู้คอนโทรล (2) พัดลมใบลเวอร์ (3) ลูกปืนสำหรับการฉีดเชื้อเพลิง (4) วาล์วปิดกันแก๊สย้อนกลับ (5) เตาแก๊สชีฟเฟอร์ (6) มอเตอร์สั่นสะเทือน (7) ไชโคลน (8) หัวจุดทดลองแก๊ส (9) เครื่องพ่นจันแบบเปียก (10) ปั๊มน้ำ และ (11) ถังเก็บแก๊ส



รูปที่ 5 สมมติฐานประพิธิภาพการใช้พลังงานของเครื่องยนต์

ปริมาณเชื้อเพลิงชีวมวลอัดเม็ดที่ระบบต้องการ [9]

ความต้องการเชื้อเพลิงของเครื่องยนต์ล้นด้าป่วยในสามารถพิจารณาได้จากรูปที่ 5 ซึ่งโดยปกติแล้ว เครื่องยนต์ประเภทนี้จะมีประสิทธิภาพในการแปลงพลังงานจากเชื้อเพลิงเป็นพลังงานกลได้ร้อยละ 25

ที่เหลือจะสูญเสียเป็นพลังงานความร้อนในตัวเครื่องยนต์ร้อยละ 40 และสูญเสียเป็นแก๊สร้อนในรูปไฮเดรต์ ร้อยละ 35 ดังนั้นจากสมการสมดุลพลังงานจึงสามารถหาพลังงานเคมีของเชื้อเพลิงได้ดังสมการที่ (1)

$$m_f HHV = \text{Heat loss to body}(40\%) + \text{Exhaust heat}(35\%) + \text{Mechanical}(25\%) \quad (1)$$

ซึ่งเมื่อกำหนดให้พลังงานกลที่ต้องขับเครื่องกำเนิดไฟฟ้ามีค่า 2.2 kW และทำให้ค่าพลังงานเคมีของเชื้อเพลิงที่เครื่องยนต์ต้องการมีค่าดังสมการที่ (2)

$$m_f HHV = \frac{2.2}{0.25} = 8.8 kW = 31.68 MJ / hr \quad (2)$$

ค่า  $HHV$  เป็นค่าความร้อนสูงของเชื้อเพลิง (High Heating Value) สามารถคำนวณได้โดยอาศัยสมการของดูลองค์ (Dulong's formula) ดังนี้

$$HHV = 4.185 \times \left[ 8,080(C) + 34,200 \left( H - \frac{O}{8} \right) + 2,500(S) \right] kJ / kg \quad (3)$$

ซึ่งค่าที่ได้ขึ้นอยู่กับวัสดุที่ใช้เป็นเชื้อเพลิง พบว่าค่า  $HHV$  ของโปรดิวเซอร์แก๊สที่ได้จากเชื้อเพลิงชีมวล มีค่าประมาณ  $4,133 - 4,624 \text{ kJ/kg}$  ดังนั้นจากค่าความต้องการเชื้อเพลิงของเครื่องยนต์ต้นกำลังดังกล่าวจะได้ค่าอัตราการไหลเขิงปริมาณของโปรดิวเซอร์แก๊ส ที่เครื่องยนต์ต้องการเท่ากับสมการที่ (4)

$$m_f = \frac{31.68}{4.133} = 7.665 kg / hr \quad (4)$$

### ขั้นตอนการทดลอง

การเริ่มเดินระบบผลิตไฟฟ้าจากชีมวลอัดเม็ดโดยใช้เทคโนโลยีแก๊สซิฟิเคชัน สามารถทำได้ตามขั้นตอนดังต่อไปนี้

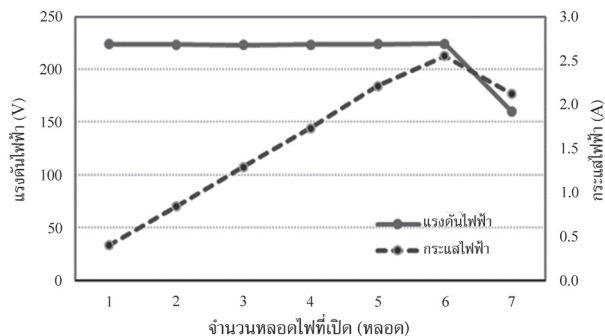
1. นำเชื้อเพลิงชีมวลอัดเม็ดใส่ลงในเตาแก๊สซิไฟฟ้อร์ทางช่องเติมเชื้อเพลิงด้านบน
2. จุดไฟให้เชื้อเพลิงติดแล้วปิดฝ่าเตาด้านหน้า (รูปที่ 6) เปิดพัดลมเพื่อเติมอากาศเข้าห้องเผาไหม้ของเตาแก๊สซิไฟฟ้อร์
3. เมื่ออุณหภูมิของเตาสูงขึ้นจะเกิดปฏิกิริยาไฟโรไรซิสทำให้เกิดโปรดิวเซอร์แก๊สที่ติดไฟได้ แก๊สจะไหลผ่านไซโคลนและเวทสครับเบอร์เพื่อแยกฝุ่นละอองออก
4. ทดสอบว่าแก๊สติดไฟหรือไม่ (รูปที่ 6) หากแก๊สติดไฟได้แล้วเปิด瓦ล์วให้โปรดิวเซอร์แก๊สไหลเข้าสู่ถังเก็บแก๊ส
5. เมื่อได้แก๊สปริมาณมากพอ เปิด瓦ล์วให้โปรดิวเซอร์แก๊สไหลเข้าสู่เครื่องยนต์ต้นกำลังของเครื่องกำเนิดไฟฟ้าและสตาร์ทเครื่องยนต์เพื่อผลิตไฟฟ้า
6. จ่ายไฟฟ้าที่ผลิตขึ้นให้กับโหลดหลอดอินแคนเดลเซนต์ และวัดปริมาณต่าง ๆ ทางไฟฟ้าที่เกิดขึ้นพร้อมบันทึกผลการทดลอง



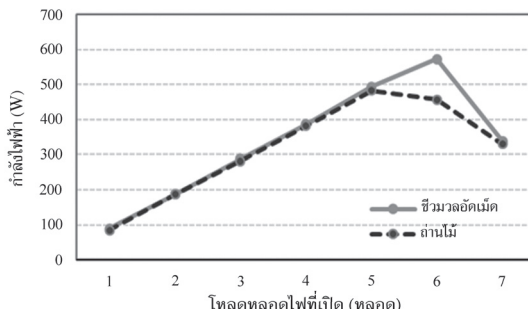
รูปที่ 6 การจุดเตาแก๊สชีฟฟอเรอร์เพื่อเริ่มต้นผลิตแก๊สและการจุดทดสอบว่าแก๊สติดไฟหรือไม่

### ผลการวิจัย

ทดลองเดินเครื่องระบบผลิตพลังงานไฟฟ้าขนาด 2.2 กิโลวัตต์ โดยใช้พลังงานจากเชื้อเพลิงชีวมวลอัดเม็ด เพื่อหาค่ากำลังไฟฟ้าสูงสุดที่เครื่องกำเนิดไฟฟ้าสามารถจ่ายไฟหลอดได้ จากการทดลองใช้ไฟหลอดเป็นหลอดอินแคนเดสเซนต์ขนาด 100 วัตต์ ต่อขนาดกันโดยมีสวิตซ์ปิด - เปิด ควบคุมให้สามารถเพิ่มจำนวนการขานานกันของหลอดได้ ทำการเดินระบบผลิตไฟฟ้าแล้วเริ่มจ่ายพลังงานไฟฟ้าให้หลอดไฟ 1 หลอด จนบันทึกค่ากระแส แรงดัน และกำลังไฟฟ้า หลังจากนั้นเพิ่มจำนวนหลอดไฟขึ้นอีกรังสัล 1 หลอด ทำซ้ำเดิมจนเครื่องกำเนิดไฟฟ้าไม่สามารถจ่ายพลังงานเพิ่มได้ (เครื่องดับ) ข้อมูลที่บันทึกได้แสดงดังรูปที่ 7

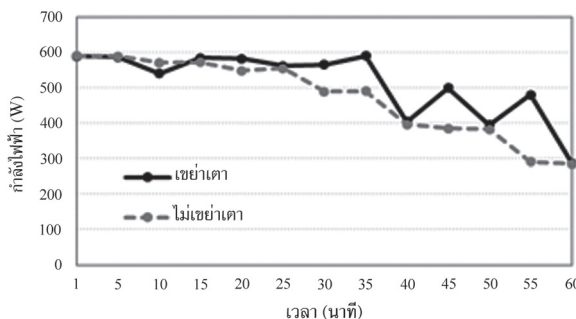


รูปที่ 7 แรงดันและกระแสไฟฟ้าที่ระบบผลิตได้จากเชื้อเพลิงชีวมวลอัดเม็ด



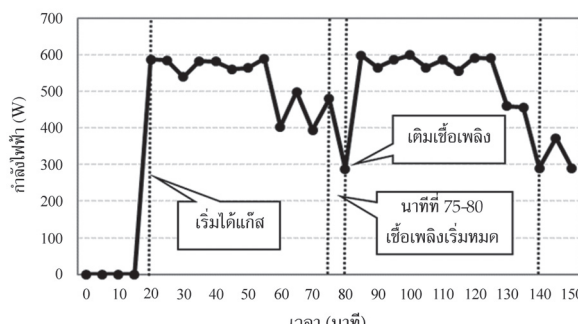
รูปที่ 8 กำลังไฟฟ้าที่ระบบผลิตได้จากเชื้อเพลิงชีวมวลอัดเม็ดและถ่านไม้

พิจารณากราฟกำลังไฟฟ้ารูปที่ 8 พบว่าการใช้ช่วงมวลอัดเม็ดเป็นเชื้อเพลิงนั้นระบบสามารถผลิตพลังงานไฟฟ้าได้มากกว่าไฟฟ้าที่หยอดในเครื่องเผาไหม้ แต่ต้องมีการหยอดช่วงมวลอัดเม็ดอยู่ต่อเนื่อง ทำให้ต้องหยอดไฟฟ้าอย่างต่อเนื่อง แต่เมื่อหยอดช่วงมวลอัดเม็ดเสร็จแล้ว ไฟฟ้าจะลดลงอย่างรวดเร็ว ทำให้ต้องหยอดไฟฟ้าอีกครั้ง ทำให้ไฟฟ้าคงอยู่ได้ประมาณ 30 นาที หลังจากนั้นต้องหยอดไฟฟ้าอีกครั้ง ทำให้ไฟฟ้าคงอยู่ได้อีก 30 นาที ซึ่งเป็นวงจรที่ต้องซ้ำซากไปเรื่อยๆ จนกว่าไฟฟ้าจะหมด



รูปที่ 9 การเปรียบเทียบกำลังไฟฟ้าที่ระบบผลิตได้แบบเขย่าเตาและไม่เขย่าเตา

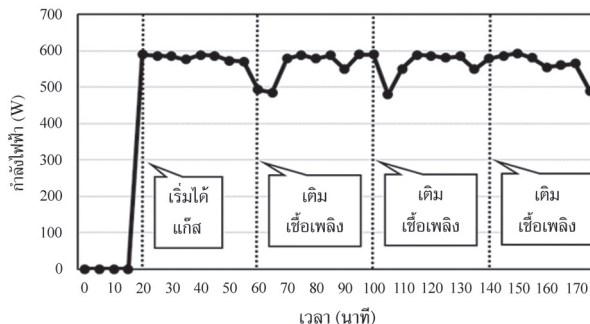
การทดสอบชุดสร้างแรงดันสั่นสะเทือนว่าใช้แก๊สปัญหาการเกิดไฟฟ้าโดยเดิมเชื้อเพลิงเพียงครั้งเดียวเป็นเวลา 60 นาที ทำการทดลอง 2 แบบ คือ แบบเปิดชุดสร้างแรงดันสั่นสะเทือนทุก 5 นาที และแบบไม่เปิดชุดสร้างแรงดันสั่นสะเทือน นำผลการทดลองที่ได้มาเปรียบเทียบกับดังรูปที่ 9 พบว่าการเขย่าเตาทุก 5 นาที สามารถลดปัญหาการเกิดไฟฟ้าโดยเดิมเชื้อเพลิงได้ ทำให้ระบบสามารถผลิตกำลังไฟฟ้าได้มากขึ้น



รูปที่ 10 กำลังไฟฟ้าที่ระบบผลิตได้เมื่อเติมเชื้อเพลิงช่วงเวลาทุก 60 นาที

การทดสอบหาอัตราการป้อนเชื้อเพลิงช่วงมวลอัดเม็ดที่ทำให้เครื่องกำเนิดไฟฟ้าเดินเครื่อง จำกัดได้อย่างต่อเนื่องได้ทำการทดสอบระบบผลิตไฟฟ้าโดยเดิมเชื้อเพลิงปริมาณ 20 ลิตร ใช้เวลาประมาณ 15 นาที ความเข้มของไฟฟ้าจะอยู่ในระดับที่สามารถสตาร์ทเครื่องยนต์ต้นกำลังได้ หลังจากนั้นเริ่มจ่ายกำลังไฟฟ้าให้หอด บันทึกค่ากำลังไฟฟ้าทุก 5 นาที เมื่อเวลาผ่านไป 60 นาที จึงทำการเติมเชื้อเพลิง

เข้าระบบอีกรั้ง เมื่อพิจารณาค่ากำลังไฟฟ้าที่บันทึกได้ตามรูปที่ 10 จะเห็นว่ากำลังไฟฟ้าที่ระบบผลิตได้จะเริ่มลดลงในช่วงนาทีที่ 75 - 80 เนื่องจากเชื้อเพลิงได้เผาไหม้ใกล้หมด และเมื่อเติมเชื้อเพลิงเข้าระบบอีกรั้งในปริมาณเท่าเดิมค่ากำลังไฟฟ้าจึงกลับมาเพิ่มขึ้นอีกรั้ง จากรูปที่ 11 เมื่อทำการทดลองขึ้นโดยปรับเวลาการเติมเชื้อเพลิงให้เร็วขึ้นเป็นทุก 40 นาที ระบบสามารถผลิตกำลังไฟฟ้าอยู่ในช่วงประมาณ 480 - 590 วัตต์ ได้ตลอดเวลาและสามารถผลิตกำลังไฟฟ้าได้อย่างต่อเนื่อง อัตราการใช้เชื้อเพลิงของระบบอยู่ที่ประมาณ 20 ลิตรต่อชั่วโมง



รูปที่ 11 กำลังไฟฟ้าที่ระบบผลิตได้มีอัตราเติมเชื้อเพลิงชีวมวลทุก 40 นาที

## อภิปรายผลการวิจัย

การทดลองผลิตไฟฟ้าด้วยระบบผลิตไฟฟ้าจากชีวมวลอัดเม็ดโดยใช้เทคโนโลยีแก๊สชีพิเคนน ผลการทดลองที่ได้สามารถสรุปได้เป็นข้อ ๆ ดังต่อไปนี้

1. เชื้อเพลิงชีวมวลอัดเม็ดมีความหนาแน่นสูงมากจึงสามารถให้พลังงานได้มากกว่าเชื้อเพลิงถ่านไม้ที่มีความหนาแน่นต่ำกว่า

2. หากทำให้เชื้อเพลิงชีวมวลอัดเม็ดมีความชื้นต่ำโดยการตากแดดก่อนการใช้งานจะช่วยให้เชื้อเพลิงชีวมวลอัดเม็ดมีประสิทธิภาพในการเผาไหม้ได้สูงมากยิ่งขึ้น

3. รูปทรงของเชื้อเพลิงชีวมวลอัดเม็ดที่เป็นรูปทรงกระบอกขนาดเล็กค่อนข้างเท่ากันทุกชิ้น จึงสามารถที่นำเข้าระบบการลำเลียงเชื้อเพลิงแบบสกรูลำเลียงได้ และสามารถสร้างความต่อเนื่องในการผลิตแก๊สได้อย่างมีประสิทธิภาพ

4. ระบบลำเลียงเชื้อเพลิงสามารถกำหนดปริมาณการป้อนเชื้อเพลิงเข้าเตาแก๊สชีฟเฟอร์ได้อย่างแน่นอนตามระยะเวลาที่ต้องการ

5. การสั่นเชี่ยงจากชุดมอเตอร์สร้างแรงสั่นสะเทือนสามารถจัดการกับปัญหาการเกิดไฟร่องของเชื้อเพลิงภายในเตาแก๊สชีฟเฟอร์ได้อย่างดี

จึงสรุปได้ว่า การผลิตพลังงานไฟฟ้าด้วยเทคโนโลยีแก๊สชีพิเคนนที่ใช้ชีวมวลอัดเม็ดเป็นเชื้อเพลิง เป็นกระบวนการผลิตไฟฟ้าทางเลือกใหม่ ระบบที่สร้างขึ้นนี้สามารถผลิตไฟฟ้าได้ต่อเนื่องโดยค่ากำลังไฟฟ้าสูงสุดที่ผลิตได้คือ 590 W

## บทสรุป

เชื้อเพลิงชีวมวลอัดเม็ดสามารถใช้ผลิตโปรดิวเซอร์แก๊สได้ด้วยกระบวนการแก๊สชิฟิเคชันได้ดี แต่เชื้อเพลิงชีวมวลอัดเม็ดนั้นเกิดความชื้นได้ง่ายหากมีการเก็บรักษาที่ไม่เหมาะสม การนำเข้าเชื้อเพลิงไปตากแดดเพื่อลดความชื้นก่อนการใช้งานก็เป็นวิธีการแก้ปัญหาร่องความชื้นที่ดีวิธีหนึ่ง เมื่อระบบใช้งานไปได้ระยะหนึ่ง จะเกิดการสะสมของน้ำมันดิน (Tar) ภายในท่อแก๊สจึงควรทำการถอดท่อล้างเลี้ยงแก๊สมาทำความสะอาดเป็นระยะ ระบบที่สร้างขึ้นทำการทดสอบความเข้มของแก๊สได้ยาก เพราะที่หัวจุดทดสอบอยู่ในท่อแล่งจึงควรสร้างอุปกรณ์ป้องกันลมเพื่อจ่ายต่อการจุดทดสอบความเข้มของแก๊ส เนื่องจากการเก็บโปรดิวเซอร์แก๊สโดยใช้ถังเก็บแก๊สที่สร้างขึ้นจากถังพลาสติกขนาด 200 ลิตร 3 ถังต่ออนุกรรมกันทำให้มีพื้นที่ในการจัดเก็บน้อย และมีความดันของแก๊สเท่ากับความดันบรรยายกาศ ทำให้การป้อนโปรดิวเซอร์แก๊สเข้าเครื่องยนต์ต้นกำลังของเครื่องกำเนิดไฟฟ้าทำได้ไม่เพียงพอ กับความต้องการของเครื่องยนต์ จึงทำให้เครื่องกำเนิดไฟฟ้าไม่สามารถทำงานได้อย่างเต็มประสิทธิภาพ ดังนั้นหากปรับปรุงโดยเพิ่มขนาดของถังเก็บโปรดิวเซอร์แก๊สให้ใหญ่ขึ้นและใช้ปั๊มไฮดรอลิกแก๊สให้มีความดันมากขึ้นก็จะสามารถเพิ่มประสิทธิภาพในการผลิตไฟฟ้าให้กับเครื่องกำเนิดไฟฟ้าได้มากขึ้น

## กิตติกรรมประกาศ

ผู้วิจัยขอขอบคุณ มหาวิทยาลัยเทคโนโลยีราชมงคลรัตนโกสินทร์ ที่ได้ให้การสนับสนุนงบประมาณในการทำวิจัยเรื่องนี้จากงบประมาณเงินแผ่นดิน ประจำปี พ.ศ. 2560 ทำให้งานวิจัยนี้ดำเนินการสำเร็จลุล่วงไปได้ด้วยดี

## References

- [1] Porn, M., Loy, J., and Pitoon, T. (2005). **Production of Fuel Solid from Rice-Straw and Maize-Cob.** Independent Study. Master of Science, Narasuan University.
- [2] Biomass pellets Optimize the combustion. (2013). Reduce Transportation Costs. **Journal of Energy Policy.** Vol. 102, (October-December 2013) (in Thai)
- [3] Wood pellets (2015). **Biomass Pellets.** Access (20 February 2015). Available (<http://www.sahacogen.com>)
- [4] Biomass Energy (2015). **Biomass.** Access (20 February 2015). Available (<http://www.espthailand.com>)
- [5] Gas Transformation. (2010). **What is Syngas.** Access (20 February 2015). Available (<http://biofuel.org.uk/what-is-syngas.html>)
- [6] Ministry of Energy. (2016). **Practical Training Handbook of Renewable Energy.** Biomass Gasification (Theoretical part) February, 2016

- [7] Jensak, E., Chaiyan T., and Nath J. (2010). The Potential of Cassava Biomass in Matter of Gas Production for Electrical Power Generation. **The 20<sup>th</sup> Thaksin University Conference**. 16-18 September 2010. Hatyai Songkla. (in Thai)
- [8] Songkot, P., Jirapong, T., Teeramate, P., Umnart, B., and Jensak, E. (2014) Biomass Electrical Power Generation System by Using Gasification Technology. **The 7<sup>th</sup> Thailand Renewable Energy for Community Association Conference**. 12-14 November 2014, RMUTR. (in Thai)
- [9] Jensak, E. and Nath J. (2010). Feasibility Study of Electrical Generation from Wet Cassava Pulp by using Gasification Technology. **The 6<sup>th</sup> Conference on Energy Network of Thailand (ENETT 6<sup>th</sup>)**. 5-7 May 2010 SWU, Petchburi. (in Thai)



## การพัฒนาระบบติดตามดวงอาทิตย์แบบสองแกนด้วยวิธีการการหาค่าที่เหมาะสม The Development of a Dual-Axis Solar Tracking System Using the Optimization Method

เดือนแรม แพ่งเกี้ยว<sup>1\*</sup> เอกรัฐ ชาญอุ่มເອີຍ<sup>1</sup> อาทิตย์ หัตหาน<sup>1</sup> เอกชัย เอึงເສັ້ນ<sup>1</sup> และอลองกรณ์ จันทร์ธิราช<sup>1</sup>

Received: May, 2018; Accepted: June, 2018

### บทคัดย่อ

บทความวิจัยนี้นำเสนอการพัฒนาระบบติดตามดวงอาทิตย์แบบสองแกนด้วยวิธีการเปรียบเทียบความเข้มของแสงอาทิตย์แบบ 4 จุด ซึ่งค่าความเข้มแสงอาทิตย์สูงสุดถูกนำไปคำนวณทางทิศทางของดวงอาทิตย์ ด้วยสมการหาค่าความเหมาะสม เพื่อปรับมวลผลลัษณญาณความคุณการทำงานของมอเตอร์ตามเบื้องตนให้ด้วยไมโครคอนโทรเลอร์รากูลเอวาร์ (AVR) ทำให้ระบบสามารถติดตามดวงอาทิตย์ในตำแหน่งที่มีความเข้มแสงมากที่สุดได้อย่างแม่นยำและผลิตพลังงานไฟฟ้าได้เพิ่มมากขึ้น ในงานวิจัยนี้ประยุกต์ใช้ระบบติดตามดวงอาทิตย์แบบสองแกนร่วมกับแพงเซลล์แสงอาทิตย์ขนาดกำลังไฟฟ้า 5 วัตต์ พิกัดแรงดันไฟฟ้า 21.5 โวลต์ โดยเปรียบเทียบค่าพลังงานไฟฟ้าระหว่างแพงเซลล์แสงอาทิตย์ระบบเดิมกับแพงเซลล์แสงอาทิตย์ระบบติดตามดวงอาทิตย์แบบสองแกน จากผลการวิจัยพบว่า ระบบติดตามดวงอาทิตย์แบบสองแกนมีค่าแรงดันไฟฟ้าเพิ่มขึ้น 4.28 % ค่ากระแสไฟฟ้าเพิ่มขึ้น 44.04 % และค่ากำลังไฟฟ้าเพิ่มขึ้น 47.24 % เมื่อเปรียบเทียบ กับแพงเซลล์แสงอาทิตย์แบบไม่เคลื่อนที่ จากผลการดำเนินงานแสดงให้เห็นว่าระบบติดตามดวงอาทิตย์ที่พัฒนาขึ้นเมื่อประยุกต์ใช้ร่วมกับแพงเซลล์แสงอาทิตย์สามารถเพิ่มประสิทธิภาพการผลิตพลังงานไฟฟ้าได้ นอกจากนั้นระบบติดตามดังกล่าวสามารถนำไปประยุกต์ใช้กับอุปกรณ์อื่น ๆ ได้อีกหลากหลาย

คำสำคัญ : ระบบติดตามดวงอาทิตย์; ประสิทธิภาพทางพลังงาน; เซลล์แสงอาทิตย์; วิธีการหาค่าที่เหมาะสม

<sup>1</sup> Faculty of Engineering, Rajamangala University of Technology Lanna, Phitsanulok

\* Corresponding Author E - mail Address: duanraemp@gmail.com

## Abstract

This paper presents the development of a dual-axis solar tracking system with four-point of light intensity comparison method. The maximum of light intensity is used to calculate direction of the sun with the optimization equation. The data of light intensity is processed to control the motor by the AVR microcontroller. Dual-axis solar tracking system will track the sun in highest light position precisely and produce the maximum power. In this research, a dual-axis solar tracking system applied with 5 watts 21.5 volt photovoltaic module, which compares the electrical energy values between a solar panel fixed installation modules and the proposed modules. As for the experiment results, it was found that the dual-axis solar tracking system increased the voltage by 4.28 %, the electric current increased by 44.04 % and electric power increased by 47.24 % compared with a solar panel fixed installation modules. The result showed that the developed dual-axis solar tracking system can increase efficiency of the electrical energy. Moreover, the developed tracking system can be applied to other devices as well.

**Keywords:** Solar Tracking System; Energy Efficiency; Photovoltaic Module; The Optimization Method

## บทนำ

ระบบติดตามดวงอาทิตย์เป็นระบบที่นำมาใช้สำหรับนำพลังงานแสงอาทิตย์มาใช้ประโยชน์ทั้งในรูปความร้อน หรือการผลิตพลังงานไฟฟ้าเพื่อให้ได้ประสิทธิภาพสูงสุด โดยระบบติดตามดวงอาทิตย์สำหรับการผลิต พลังงานไฟฟ้าด้วยอุปกรณ์รับพลังงานแสงอาทิตย์ถูกพัฒนาอย่างต่อเนื่อง ซึ่งมีวิธีการที่แตกต่างกัน [1] อาทิ ระบบติดตามดวงอาทิตย์แบบพาลซีฟ (Passive Controlled Unit) เป็นระบบที่ใช้หลักการเปลี่ยนแปลง สถานะของเหลวและการถ่ายเทมวลของเหลวเป็นแรงยกแพงเซลล์แสงอาทิตย์ (Photovoltaic Module) ให้เคลื่อนที่ตามตำแหน่งของดวงอาทิตย์ ข้อดีของระบบคือ ไม่ใช้พลังงานไฟฟ้าหรืออุปกรณ์อิเล็กทรอนิกส์ ในการควบคุมการเคลื่อนที่ของแพงเซลล์แสงอาทิตย์ ต้องการการบำรุงรักษาน้อยเมื่อเทียบกับระบบติดตาม ดวงอาทิตย์ระบบอื่น แต่ระบบดังกล่าวมีความแม่นยำค่อนข้างต่ำ ต่อมาก็มีการพัฒนาวิธีการควบคุมระบบ ติดตามดวงอาทิตย์แบบใช้ไมโครโปรเซสเซอร์ (Microprocessor Controlled Unit) เป็นระบบที่ใช้สมการ ทางคณิตศาสตร์คำนวณตำแหน่งและใช้ไมโครโปรเซสเซอร์ควบคุมการติดตามตำแหน่งของดวงอาทิตย์ ข้อดีของระบบคือ มีความแม่นยำค่อนข้างสูง แต่ระบบมีความยุ่งยากและ การสร้างระบบมีค่าใช้จ่ายสูง และในปัจจุบันมีการใช้อุปกรณ์ตรวจจับแสงร่วมกับวงจรควบคุมระบบติดตามดวงอาทิตย์ (Electro Optically Controlled Unit) ซึ่งใช้อุปกรณ์ตรวจจับรังสีหรือค่าความเข้มแสงที่ไวต่อการเปลี่ยนแปลงของระดับ ความเข้มแสง เช่น โฟโตไดโอด (Photo Diode) โฟโตกรานชิลสเตอร์หรือตัวต้านทานแปรค่าตามแสง (Light Independent Resistor, LDR) เป็นต้น ข้อดีของวิธีการติดตามดวงอาทิตย์ของระบบนี้คือ มีความแม่นยำสูงและความแม่นยำของการติดตามดวงอาทิตย์ขึ้นอยู่กับค่าความเข้มแสง ซึ่งนักวิจัยหลายท่าน

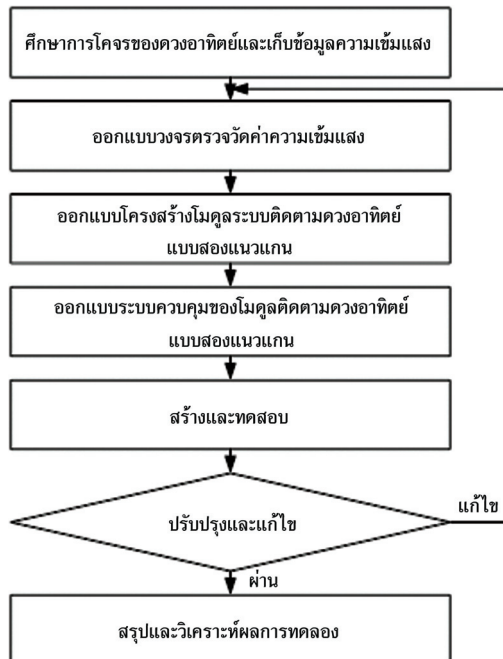
นำเสนอหลักการควบคุมการติดตามดวงอาทิตย์โดยใช้อุปกรณ์ดังกล่าวที่แตกต่างกัน เช่น การควบคุมระบบติดตามดวงอาทิตย์ด้วยการปรับมุมองค์ของแผงเซลล์แสงอาทิตย์ [2] - [3] การควบคุมทิศทางของระบบติดตามดวงอาทิตย์ด้วยเวลาที่ใช้ในการเปลี่ยนแปลงมุมของแผงเซลล์แสงอาทิตย์ [4] เป็นต้น อย่างไรก็ตามระบบติดตามดวงอาทิตย์อาจไม่จำเป็นต้องติดตามดวงอาทิตย์ตลอดเวลา เนื่องจากการติดตามดวงอาทิตย์ในบางช่วงเวลาส่งผลดีต่อค่าพลังงานมากกว่า เช่น การนำไปประยุกต์ใช้กับการผลิตพลังงานไฟฟ้าด้วยแผงเซลล์แสงอาทิตย์

ปัจจุบันเทคโนโลยีการผลิตไฟฟ้าด้วยพลังงานแสงอาทิตย์ที่สามารถนำมาใช้ได้อย่างมีประสิทธิภาพ มีส่องชนิด คือ การใช้แผงเซลล์แสงอาทิตย์ผลิตไฟฟ้า (Photovoltaic) และการใช้ระบบรวมแสงอาทิตย์ เพื่อผลิตไฟฟ้า (Concentrating Solar Power) เนื่องจากประเทศไทยตั้งอยู่ริมทะเลน้ำที่ 6 - 10 องศาเหนือ แสงอาทิตย์ตัดกราบทพื้นโลกเฉลี่ยประมาณ 4 - 5 กิโลวัตต์ต่อชั่วโมงต่อตารางเมตรต่อวัน ซึ่งหากสามารถปรับพื้นที่รับแสงให้ติดตามแสงอาทิตย์ได้ตลอดเวลาจะสามารถรับแสงได้เพิ่มขึ้นอีกประมาณ 1.3 - 1.5 เท่า [5] - [6] การใช้แผงเซลล์แสงอาทิตย์ซึ่งเป็นอุปกรณ์ที่แปลงพลังงานแสงอาทิตย์ให้เป็นกำลังไฟฟ้านั้นยังมีประสิทธิภาพค่อนข้างดี คือ ร้อยละ 5 - 17 เนื่องจากการติดตั้งแผงเซลล์แสงอาทิตย์ ล้วนใหญ่ยังเป็นแบบดั้งเดิมคือ แบบไม่เคลื่อนที่ตามดวงอาทิตย์หรือการเคลื่อนที่ตามดวงอาทิตย์แบบแกนเดียว [7] ใน การติดตามการเคลื่อนที่ของดวงอาทิตย์นั้นจำเป็นต้องมีระบบติดตามการเคลื่อนที่เพื่อให้แผงเซลล์แสงอาทิตย์สามารถติดตามการเคลื่อนที่หรือการโคลจรของดวงอาทิตย์ได้อย่างแม่นยำ และสามารถแปลงพลังงานแสงอาทิตย์เป็นกำลังไฟฟ้าให้เกิดประสิทธิภาพสูงสุด [8] - [10] นักวิจัยหลายท่าน จึงให้ความสนใจการพัฒนาระบบติดตามดวงอาทิตย์โดยใช้วิธีการที่แตกต่างกัน อาทิ ถนนทรัพ พรหมวัฒนกัตตี และเอกชัย ตีคริ [11] นำเสนอระบบติดตามดวงอาทิตย์แบบสองแนวแกนโดยใช้หลักการบังเข้าของจำกัน ซึ่งผลการทดลองพบว่า ผลตอบสนองทางเวลาของระบบอยู่ที่ 35 องศาต่อวินาที และมีค่าความคลาดเคลื่อน เฉลี่ย 2.5 องศา ซึ่งค่าความคลาดเคลื่อนดังกล่าวเกิดจากปริมาณแสง การวางแผนตำแหน่งของโพโต voltaic และความคลาดเคลื่อนของเพื่องหด จากนั้นมีการพัฒนากลไกเคลื่อนแผงเซลล์แสงอาทิตย์ให้สามารถเคลื่อนที่ตามแสงอาทิตย์ได้ด้วยโนมัติ โดยใช้ระบบไมโครคอนโทรลเลอร์สั่งให้ชุดควบคุมการขับเคลื่อนทำงาน ผลการศึกษาพบว่า แผงเซลล์แสงอาทิตย์ที่เคลื่อนที่ตามแสงอาทิตย์ให้พลังงานไฟฟ้าเฉลี่ยมากกว่า แผงที่ วางคงที่ในแนวอนร้อยละ 13 [12] นอกจากนั้นมีการนำเสนอการพัฒนาระบบติดตามการเคลื่อนที่ของดวงอาทิตย์ต้นทุนต่ำ โดย กระทรวง สถิติกุล และภกัญญา บุญประกอบ [13] ซึ่งใช้วิธีการคำนวณตำแหน่ง ของดวงอาทิตย์ด้วยสมการเพื่อควบคุมการเคลื่อนที่ โดยใช้เข็มเชอร์วัดความเข้มเพื่อปรับตำแหน่งลงกฎว่า สามารถซึ่ดตำแหน่งดวงอาทิตย์ได้อย่างแม่นยำและมีความผิดพลาดไม่เกิน 1 องศา ระบบดังกล่าวควบคุมการทำงานและสั่งงานด้วยบอร์ดไมโครคอนโทรลเลอร์

ดังนั้น จากปัญหาดังกล่าวผู้วิจัยจึงมีแนวคิดในการออกแบบและพัฒนาระบบติดตามดวงอาทิตย์แบบสองแนวแกนด้วยวิธีการหาค่าที่เหมาะสมด้วยการเปรียบเทียบความเข้มของแสงอาทิตย์แบบ 4 จุด ซึ่งค่าความเข้มแสงอาทิตย์สูงสุดจะถูกนำไปคำนวณทิศทางของดวงอาทิตย์ด้วยสมการหาค่าความเหมาะสม เพื่อประเมินผลลัพธ์คุณภาพควบคุมการทำงานของมอเตอร์ตามเงื่อนไขด้วยไมโครคอนโทรลเลอร์ กระแสเอวีอาร์ (AVR) ทำให้ระบบสามารถติดตามดวงอาทิตย์ในตำแหน่งที่มีความเข้มแสงมากที่สุด ได้อย่างแม่นยำและผลิตพลังงานไฟฟ้าได้สูงสุด

## วิธีดำเนินการวิจัย

การพัฒนาระบบติดตามความคงอาทิตย์แบบสองแgnแบบสองแgnแบ่งขั้นตอนการดำเนินงานออกเป็น 3 ส่วนหลัก ได้แก่ การเก็บข้อมูลความเข้มแสงเพื่อออกรูปแบบตรวจวัดค่าความเข้มแสง การออกแบบโครงสร้างไมค์ล ระบบติดตามความคงอาทิตย์แบบสองแgn และการออกแบบระบบควบคุมไมค์ลติดตามความคงอาทิตย์แบบสองแgn แสดงขั้นตอนการดำเนินการวิจัยดังรูปที่ 1 และแสดงรายละเอียดขั้นตอนการดำเนินงานดังนี้



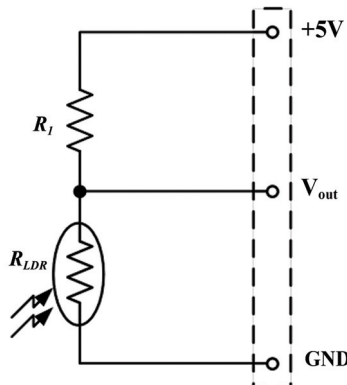
รูปที่ 1 ขั้นตอนการดำเนินการวิจัย

### วงจรตรวจจับค่าความเข้มแสง

การออกแบบระบบติดตามความคงอาทิตย์แบบสองแgnใช้หลักการเปรียบเทียบค่าความเข้มของแสงอาทิตย์แบบ 4 ชุด ซึ่งค่าความเข้มแสงอาทิตย์สูงสุดถูกนำไปคำนวณหาค่าที่คงของความคงอาทิตย์ด้วยสมการหาค่าความเหมาะสม โดยประยุกต์ใช้ LDR สำหรับตรวจจับค่าความเข้มแสง ซึ่ง LDR ไวต่อแสงในช่วงคลื่น 400 - 1,000 นาโนเมตร ค่าดังกล่าวครอบคลุมช่วงคลื่นที่ไวต่อตามนิยม (400 - 700 นาโนเมตร) หมายรวมถึง LDR ไวต่อแสงอาทิตย์และแสงจากหลอดไฟหรือหลอดเรืองแสง เนื่องจากการนำเซ็นเซอร์ที่เป็นปริมาณทางฟิสิกส์เปลี่ยนเป็นความต้านทานมาใช้งานกับไมโครคอนโทรลเลอร์จำเป็นต้องแปลงสัญญาณจากแอนอล็อกเป็นสัญญาณดิจิทัล และจากคุณสมบัติของ LDR เมื่อต่อเข้ากับตัวต้านทาน  $R_1$  ในลักษณะวงจรแบบแรบบิทรูปที่ 2 ซึ่งสามารถคำนวณค่าแรงดันไฟฟ้าเอาร์พุตได้ด้วยสมการที่ (1) ดังนั้น เมื่อค่าความต้านทานของ LDR มีค่ามาก เนื่องจากมีแสงตกกระทบบันอย่างทำให้แรงดันที่ขา  $V_{out}$  มีค่าต่ำ และเมื่อค่าความต้านทานของ LDR มีค่าน้อย เนื่องจากมีแสงตกกระทบมากทำให้แรงดันที่ขา  $V_{out}$  มีค่าสูง คุณสมบัติของตัวต้านทานแปรค่าตามแสงและดังรูปที่ 3

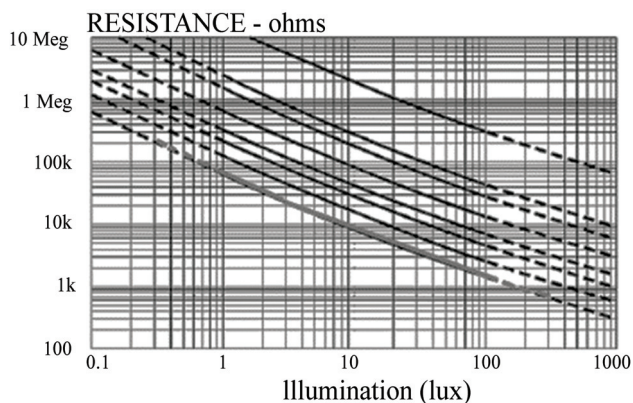
$$V_{output} = \left( \frac{R_{LDR}}{R_1 + R_{LDR}} \right) \times V_s \quad (1)$$

เมื่อ

 $V_{output}$  คือ ค่าแรงดันที่ขาเอต์พุต (โวลต์) $R_{LDR}$  คือ ค่าความต้านทานของ LDR (โอห์ม) $R_1$  คือ ค่าความต้านทาน (โอห์ม) $V_s$  คือ ค่าแรงดันที่แหล่งจ่ายมีค่าคงที่เท่ากับ 5 โวลต์

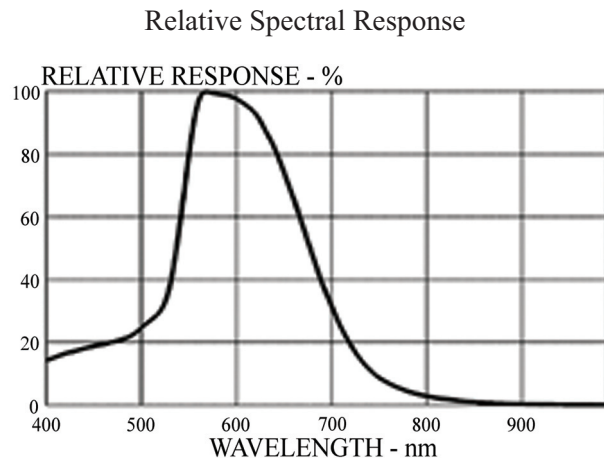
รูปที่ 2 วงจรตรวจวัดความเข้มแสงอาทิตย์

### Resistance vs. Illumination



(ก) ความสัมพันธ์ของค่าความต้านทานต่อความสว่าง

รูปที่ 3 กราฟคุณสมบัติของตัวต้านทานแปรค่าตามแสง [14]



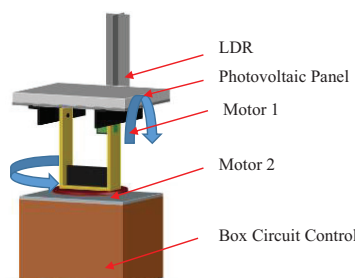
(ข) การตอบสนองต่อความยาวคลื่นแสง

รูปที่ 3 กราฟคุณสมบัติของตัวต้านทานแปรค่าตามแสง [14] (ต่อ)

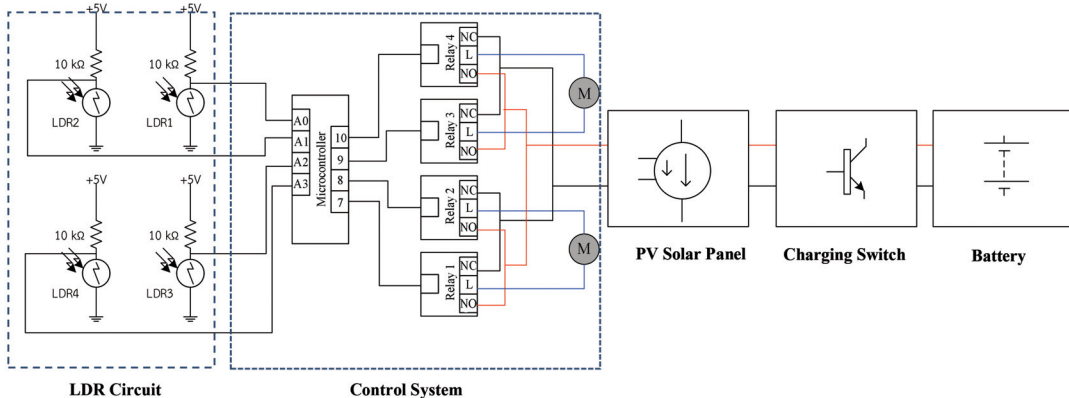
#### การออกแบบโครงสร้างโมดูลระบบติดตามดวงอาทิตย์แบบส่องแนวแกน

การออกแบบโครงสร้างโมดูลระบบติดตามดวงอาทิตย์แบบส่องแนวแกนประยุกต์ใช้ร่วมกับแผงเซลล์แสงอาทิตย์ชนิดโมโนซิลิโคน (Mono Crystalline Silicon Solar Cell) ขนาดกำลังไฟฟ้า 5 วัตต์ แรงดันพิกัด 21.5 โวลต์ กระแส 0.29 แอมเปอร์ แสดงแบบจำลองสามมิติ (3-D model) ดังรูปที่ 4 ซึ่งมีลักษณะประกอบที่สำคัญ ได้แก่ LDR แผงเซลล์แสงอาทิตย์ เชอร์โวโมเตอร์ และวงจรควบคุมการทำงานของระบบติดตามดวงอาทิตย์ งานวิจัยนี้ใช้ LDR ทั้งหมด 4 จุด สำหรับเป็นอินพุตควบคู่ความเข้มแสงอาทิตย์ ข้อมูลอินพุตดังกล่าวถูกประมวลผลด้วยไมโครคอนโทรลเลอร์ระดับ AVR ด้วยสมการเปรียบเทียบค่าความเข้มแสงของ LDR ทั้ง 4 จุด เพื่อควบคุมการทำงานของมอเตอร์ในแนวแกน X และแนวแกน Y ค่าพลังงานจากแผงเซลล์แสงอาทิตย์เข้าสู่อุปกรณ์ควบคุมการชาร์จเพื่อชาร์จพลังงานไฟฟ้าเข้าสู่แบตเตอรี่ และคงดังกล่าวโดยแกรมรูปที่ 5

เมื่อพิจารณาความแตกต่างด้านดันทุนของระบบติดตามดวงอาทิตย์แบบส่องแนวแกนที่พัฒนาขึ้นพบว่า ดันทุนด้านอุปกรณ์เพิ่มขึ้น 680 บาท เมื่อเปรียบเทียบกับโมดูลแบบเดิม เนื่องจากมีการเพิ่มอุปกรณ์ LDR เชอร์โวโมเตอร์ และวงจรควบคุมการทำงาน



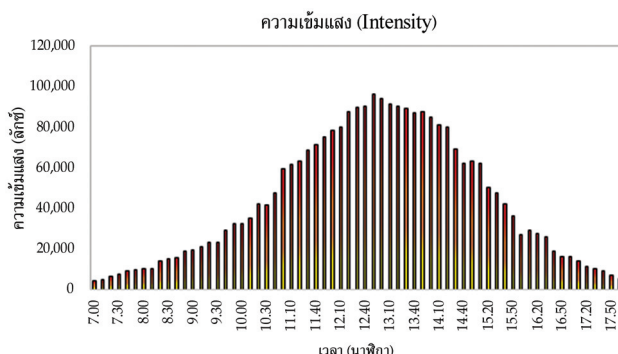
รูปที่ 4 โมดูลสามมิติ (3-D Model) ของระบบติดตามดวงอาทิตย์แบบส่องแนวแกน



รูปที่ 5 บล็อกไซด์แกรมของระบบติดตามความสว่างอาทิตย์แบบสองแนวแกน

#### การออกแบบระบบควบคุมของโมดูลติดตามความสว่างอาทิตย์แบบสองแนวแกน

การตรวจวัดค่าความเข้มแสงอาทิตย์ทำการตรวจวัด ณ มหาวิทยาลัยเทคโนโลยีราชมงคลล้านนา พิษณุโลก เก็บข้อมูลทั้งหมด 7 วัน วันละ 11 ชั่วโมง เริ่มตั้งแต่เวลา 07.00 – 18.00 น. ซึ่งทำการตรวจวัดทุก ๆ 10 นาที และคงผลการตรวจวัดค่าความเข้มแสงคงรูปที่ 6 จากข้อมูลดังกล่าวพบว่า ค่าความเข้มแสงสูงสุดมีค่าเท่ากับ 96,067 ลักซ์ ที่เวลา 12.50 น. ค่าต่ำสุดเท่ากับ 4,197 ลักซ์ ที่เวลา 07.00 น. และมีค่าเฉลี่ยเท่ากับ 43,400 ลักซ์ ซึ่งข้อมูลดังกล่าวถูกนำมาใช้กำหนดค่าอินพุตสำหรับการสร้างระบบติดตามความสว่างอาทิตย์แบบสองแนวแกนและเงื่อนไขการทำงานของระบบ



รูปที่ 6 การตรวจวัดความเข้มแสงในแต่ละช่วงเวลา

การออกแบบระบบติดตามความสว่างอาทิตย์กำหนดอินพุตของระบบ คือ LDR1, LDR2, LDR3 และ LDR4 ซึ่งทำการล่าสุดข้อมูลแบบติดต่อให้แก่ AVR Microcontroller จากนั้นระบบทำการประมวลผลตามเงื่อนไขค่าความเข้มแสงที่ (2) – (5) และล่าสุดเอาต์พุตเพื่อควบคุมมอเตอร์ เพื่อให้ระบบสามารถติดตามตำแหน่งของความสว่างอาทิตย์ที่ให้มาเพียงชั่วโมงสูงสุด

$$V_{up} = \frac{(V_{LDR1} + V_{LDR2})}{2} \quad (2)$$

$$V_{down} = \frac{(V_{LDR3} + V_{LDR4})}{2} \quad (3)$$

$$V_{left} = \frac{(V_{LDR1} + V_{LDR3})}{2} \quad (4)$$

$$V_{right} = \frac{(V_{LDR2} + V_{LDR4})}{2} \quad (5)$$

จากสมการที่ (2) - (5) สามารถหาผลต่างสำหรับความคุณมอเตอร์ 1 และมอเตอร์ 2 ได้ดังสมการที่ (6) และ (7)

$$M_1 = V_{up} - V_{down} = \left( \frac{V_{LDR1} + V_{LDR2}}{2} \right) - \left( \frac{V_{LDR3} + V_{LDR4}}{2} \right) \quad (6)$$

$$M_2 = V_{left} - V_{right} = \left( \frac{V_{LDR1} + V_{LDR3}}{2} \right) - \left( \frac{V_{LDR2} + V_{LDR4}}{2} \right) \quad (7)$$

โดยที่

$V_{up}$  คือ ค่าเฉลี่ยของแรงดันสำหรับความคุณมอเตอร์ 1 ในทิศทางตามเข็มนาฬิกา

$V_{down}$  คือ ค่าเฉลี่ยของแรงดันสำหรับความคุณมอเตอร์ 1 ในทิศทางทวนเข็มนาฬิกา

$V_{left}$  คือ ค่าเฉลี่ยของแรงดันสำหรับความคุณมอเตอร์ 2 ในทิศทางตามเข็มนาฬิกา

$V_{right}$  คือ ค่าเฉลี่ยของแรงดันสำหรับความคุณมอเตอร์ 2 ในทิศทางทวนเข็มนาฬิกา

$V_{LDR1}$  คือ ค่าแรงดันของ LDR1

$V_{LDR2}$  คือ ค่าแรงดันของ LDR2

$V_{LDR3}$  คือ ค่าแรงดันของ LDR3

$V_{LDR4}$  คือ ค่าแรงดันของ LDR4

ผังงานระบบบิดตามความอาทิตย์แบบสองแนวแกนแสดงดังรูปที่ 7 และสามารถอธิบายขั้นตอนการทำงานของระบบความคุณได้ดังนี้

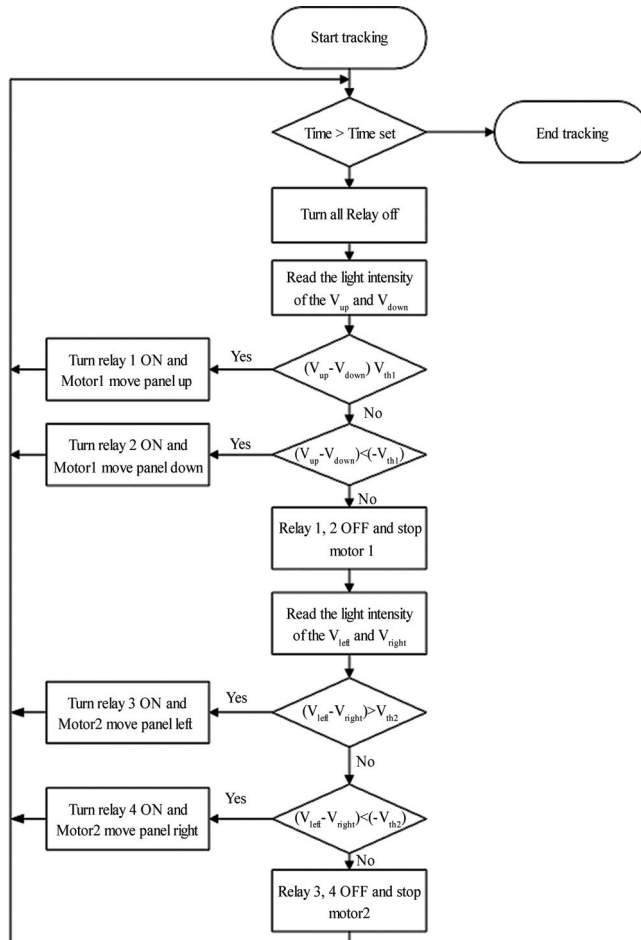
ขั้นตอนที่ 1 เริ่มต้นระบบตรวจสอบเวลา โดยกำหนดเวลาที่ระบบทำงานต้องน้อยกว่าเวลา 18.00 น.

ขั้นตอนที่ 2 กำหนดค่าเริ่มต้นให้รีเลย์ทุกตัวอยู่ในสภาวะปิด

ขั้นตอนที่ 3 ระบบรับค่าความเข้มแสงของ  $LDR_{up}$  และ  $LDR_{down}$  นำมาเปรียบเทียบความแตกต่างของ  $LDR_{up}$  และ  $LDR_{down}$  กับค่าที่กำหนด ( $V_{th1}$ ) หากค่าความแตกต่างดังกล่าวมีค่ามากกว่าค่าที่กำหนดระบบล็อคให้มอเตอร์ 1 ทำงานในทิศทางตามเข็ม และหากมีค่าน้อยกว่าค่าที่กำหนด มอเตอร์ 1 ทำงานในทิศทางตรงข้าม และมอเตอร์ 1 หยุดการทำงานเมื่อไม่เกิดค่าความแตกต่างเกินกว่าค่าที่กำหนด

ขั้นตอนที่ 4 ระบบรับค่าความเข้มแสงของ  $LDR_{left}$  และ  $LDR_{right}$  นำมาเปรียบเทียบความแตกต่างของ  $LDR_{left}$  และ  $LDR_{right}$  กับค่าที่กำหนด ( $V_{th2}$ ) หากค่าความแตกต่างดังกล่าวมีค่ามากกว่าค่าที่กำหนดระบบล็อคให้มอเตอร์ 2 ทำงานในทิศทางตามเข็ม และหากมีค่าน้อยกว่าค่าที่กำหนด มอเตอร์ 2 ทำงานในทิศทางตรงข้าม และมอเตอร์ 2 หยุดการทำงานเมื่อไม่เกิดค่าความแตกต่างเกินกว่าค่าที่กำหนด

ขั้นตอนที่ 5 ระบบติดตามความอุ่นของที่ติดตั้งทำงานจนกว่าจะมีเวลาปัจจุบันมากกว่าเวลาที่กำหนด และหยุดการทำงานของระบบ เมื่อเวลาปัจจุบันมากกว่าเวลาที่กำหนด



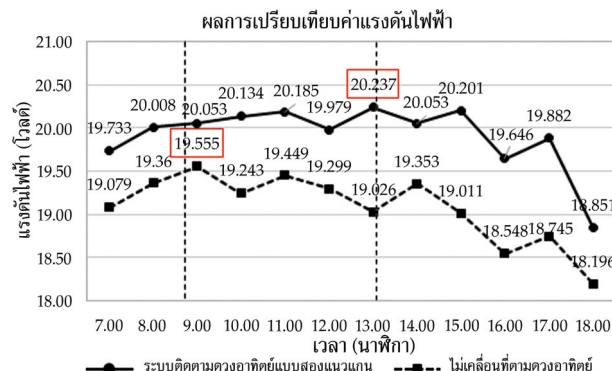
รูปที่ 7 ผังงานระบบติดตามความอุ่นแบบสองแนวแกน

### ผลการวิจัยและอภิปรายผลการวิจัย

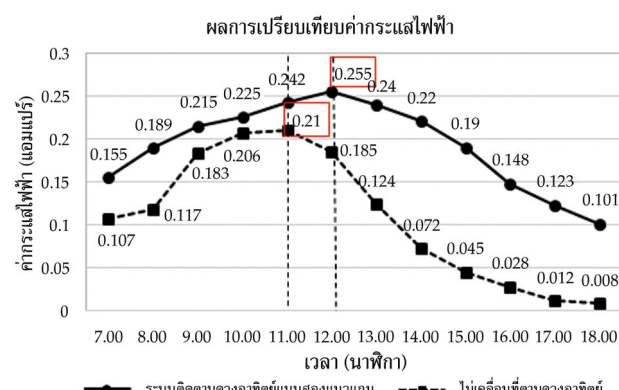
จากการออกแบบระบบติดตามความอุ่นแบบสองแนวแกนด้วยวิธีการเปรียบเทียบความเข้มของแสงอุ่นแบบ 4 จุด ทำการประยุกต์ใช้ร่วมกับแผงเซลล์แสงอาทิตย์ขนาด 5 วัตต์ 21.5 โวลต์ และคงโมดูลคงรูปที่ 8 โดยผลการเปรียบเทียบค่าพลังงาน ได้แก่ แรงดันไฟฟ้า กระแสไฟฟ้า กำลังไฟฟ้า และค่าพลังงานสะสม ตั้งแต่เวลา 07.00 – 18.00 น. ของโมดูลแผงเซลล์แสงอาทิตย์แบบไม่ติดตามความอุ่นและโมดูลระบบติดตามความอุ่นแบบสองแนวแกนแสดงผลการเปรียบเทียบดังรูปที่ 9



รูปที่ 8 โมดูลระบบติดตามความคงอาทิตย์แบบส่องแgnประยุกต์ใช้ร่วมกับแผงเซลล์แสงอาทิตย์

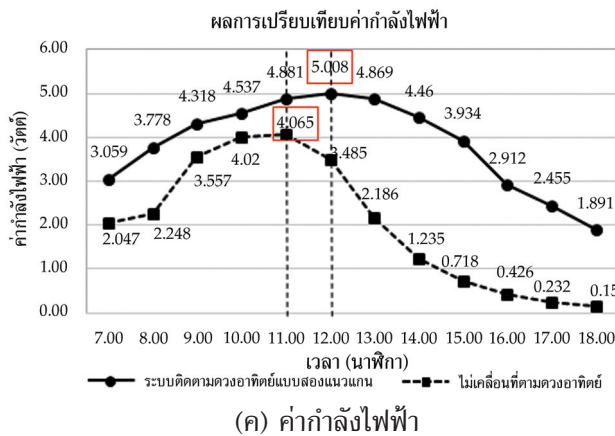


(ก) ค่าแรงดันไฟฟ้า



(ข) ค่ากระแสไฟฟ้า

รูปที่ 9 การเปรียบเทียบค่าในแต่ละช่วงเวลาของโมดูลแบบไม่เคลื่อนที่ตามความคงอาทิตย์และระบบติดตามความคงอาทิตย์แบบส่องแgn



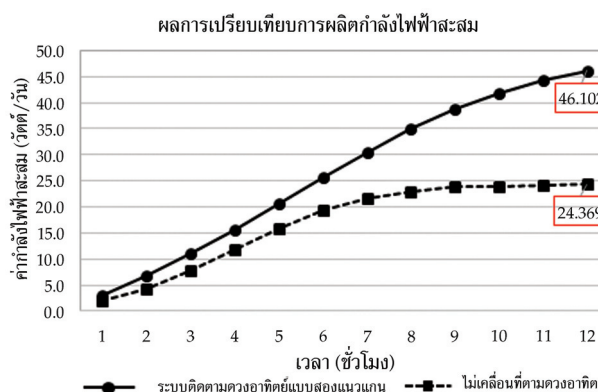
(ค) ค่ากำลังไฟฟ้า

รูปที่ 9 การเปรียบเทียบค่าในแต่ละช่วงเวลาของโมดูลแบบไม่เคลื่อนที่ตามความอาทิตย์และระบบติดตามความอาทิตย์แบบสองแนวแกน (ต่อ)

จากผลการเปรียบเทียบค่าแรงดันไฟฟ้าในแต่ละช่วงเวลาของโมดูลแบบไม่เคลื่อนที่ตามความอาทิตย์และโมดูลระบบติดตามความอาทิตย์แบบสองแนวแกนดังรูปที่ 9 (ก) พบว่าค่าแรงดันไฟฟ้าสูงสุดของโมดูลแบบไม่เคลื่อนที่ตามความอาทิตย์มีค่าเท่ากับ 19.555 โวลต์ ที่ช่วงเวลา 09.00 น. และค่าแรงดันไฟฟ้าสูงสุดของโมดูลระบบติดตามความอาทิตย์แบบสองแนวแกนมีค่าเท่ากับ 20.237 โวลต์ ที่ช่วงเวลา 13.00 น. ผลการเปรียบเทียบค่ากระแสไฟฟ้าในแต่ละช่วงเวลาของโมดูลแบบไม่เคลื่อนที่ตามความอาทิตย์และโมดูลระบบติดตามความอาทิตย์แบบสองแนวแกนดังรูปที่ 9 (ข) พบว่าค่ากระแสไฟฟ้าสูงสุดของโมดูลแบบไม่เคลื่อนที่ตามความอาทิตย์มีค่าเท่ากับ 0.21 แอมป์ร์ ที่ช่วงเวลา 11.00 น. และกระแสไฟฟ้าสูงสุดของโมดูลระบบติดตามความอาทิตย์แบบสองแนวแกนมีค่าเท่ากับ 0.255 แอมป์ร์ ที่ช่วงเวลา 12.00 น. ค่ากระแสไฟฟ้าของโมดูลที่พัฒนาขึ้นมีค่าใกล้เคียงกันตั้งแต่ช่วงเวลา 09.00 – 14.00 น. กล่าวคือ มีช่วงเวลาภายนอกกว่าโมดูลแบบไม่ติดตามความอาทิตย์ และจากผลการเปรียบเทียบค่ากำลังไฟฟ้าในแต่ละช่วงเวลาของโมดูลแบบไม่เคลื่อนที่ตามความอาทิตย์และโมดูลระบบติดตามความอาทิตย์แบบสองแนวแกนมีค่าเท่ากับ 4.065 วัตต์ ที่ช่วงเวลา 11.00 น. และค่ากำลังไฟฟ้าสูงสุดของโมดูลระบบติดตามความอาทิตย์แบบสองแนวแกนมีค่าเท่ากับ 5.008 วัตต์ ที่ช่วงเวลา 12.00 น. ค่ากำลังไฟฟ้าของโมดูลที่พัฒนาขึ้นมีค่าใกล้เคียงกันตั้งแต่ช่วงเวลา 09.00 – 14.00 น. สอดคล้องกับค่าปริมาณความเข้มแสงและมีช่วงเวลาภายนอกกว่าโมดูลแบบไม่ติดตามความอาทิตย์ เนื่องจากสามารถผลิตค่ากำลังไฟฟ้าสูงสุดได้เพียงบางช่วงเวลาเท่านั้น

ผลการเปรียบเทียบค่าพลังงานไฟฟ้าระหว่างโมดูลแบบไม่เคลื่อนที่ตามความอาทิตย์และโมดูลระบบติดตามความอาทิตย์แบบสองแนวแกน ซึ่งประยุกต์ใช้ร่วมกับแพนเซลล์แสงอาทิตย์ชนิดโนนิลิค่อนขนาดกำลังไฟฟ้า 5 วัตต์ แรงดันพิภพ 21.5 โวลต์ กระแส 0.29 แอมป์ร์ แสดงผลการเปรียบเทียบค่าพลังงานเฉลี่ยตั้งตารางที่ 1 ซึ่งโมดูลระบบติดตามความอาทิตย์แบบสองแนวแกน ขณะทำการทดสอบ มีค่าเฉลี่ยของแรงดันไฟฟ้า กระแสไฟฟ้า และกำลังไฟฟ้าสูงกว่า โมดูลแบบไม่เคลื่อนที่ตามความอาทิตย์โดยค่าแรงดันไฟฟ้าเฉลี่ยของโมดูลระบบติดตามความอาทิตย์แบบสองแนวแกนมีค่าเท่ากับ 19.889 โวลต์ กระแสไฟฟ้าเฉลี่ยมีค่าเท่ากับ 0.193 แอมป์ร์ และกำลังไฟฟ้าเฉลี่ยมีค่าเท่ากับ 3.850 วัตต์ และค่าแรงดัน

ไฟฟ้าเฉลี่ยของโมดูลแบบไม่เคลื่อนที่ตามคงอาทิตย์มีค่าเท่ากับ 19.072 โวลต์ กระแสไฟฟ้าเฉลี่ยมีค่าเท่ากับ 0.108 แอมเปอร์ และกำลังไฟฟ้าเฉลี่ยมีค่าเท่ากับ 2.031 วัตต์ ซึ่งคิดเป็นค่าความแตกต่างของแรงดันไฟฟ้าเฉลี่ย กระแสไฟฟ้าเฉลี่ย และกำลังไฟฟ้าเฉลี่ยได้เท่ากับ 0.817 โวลต์ 0.085 แอมเปอร์ และ 1.819 วัตต์ ตามลำดับ และคิดเป็นผลต่างจากค่าแรงดันไฟฟ้าเฉลี่ย กระแสไฟฟ้าเฉลี่ย และกำลังไฟฟ้าเฉลี่ยได้ 4.10 44.04 และ 47.24 เปอร์เซ็นต์ อีกทั้งค่าพลังงานสะสมตลอดทั้งวันซึ่งงานวิจัยนี้ทำการทดสอบ 11 ชั่วโมง พบร่วมโมดูลระบบติดตามคงอาทิตย์แบบสองแกนสามารถผลิตพลังงานได้มากกว่าโมดูลแบบไม่เคลื่อนที่ตามคงอาทิตย์ถึง 21.733 วัตต์ คิดเป็นผลต่างได้ 47.14 เปอร์เซ็นต์ และดังรูปที่ 10



รูปที่ 10 การเปรียบเทียบค่าพลังงานไฟฟ้าสะสมของโมดูลแบบไม่เคลื่อนที่ตามคงอาทิตย์และระบบติดตามคงอาทิตย์แบบสองแกน

ตารางที่ 1 ผลการเปรียบเทียบพลังงานไฟฟ้าระหว่างโมดูลแบบไม่เคลื่อนที่ตามคงอาทิตย์และระบบติดตามคงอาทิตย์แบบสองแกนประยุกต์ใช้กับแผงเซลล์แสงอาทิตย์ขนาดกำลังไฟฟ้า 5 วัตต์ แรงดันพิกัด 21.5 โวลต์ กระแส 0.29 แอมเปอร์

พารามิเตอร์ (หน่วย)	โมดูลแบบไม่เคลื่อนที่ ตามคงอาทิตย์	โมดูลระบบติดตาม แบบสองแกน	
		คงอาทิตย์	ค่าความแตกต่าง
แรงดันไฟฟ้าเฉลี่ย (โวลต์)	19.072	19.889	0.817 (ผลต่าง 4.28 %)
กระแสไฟฟ้าเฉลี่ย (แอมเปอร์)	0.108	0.193	0.085 (ผลต่าง 44.04 %)
กำลังไฟฟ้าเฉลี่ย (วัตต์)	2.031	3.850	1.819 (ผลต่าง 47.24 %)
พลังงานไฟฟ้าสะสม (วัตต์/วัน)	24.369	46.102	21.733 (ผลต่าง 47.14 %)

### สรุปผลการวิจัย

ผลการพัฒนาระบบติดตามคงอาทิตย์แบบสองแกนด้วยวิธีการเปรียบเทียบความเข้มของแสงอาทิตย์เพื่อนำไปคำนวณหาทิศทางของคงอาทิตย์ด้วยสมการหาราคาค่าความเหมาะสม และทำให้ระบบสามารถติดตาม

ความอาทิตย์ในตำแหน่งที่มีความเข้มแสงมากที่สุดได้อย่างแม่นยำและผลิตพลังงานไฟฟ้าได้เพิ่มมากขึ้น ซึ่งประยุกต์ใช้ระบบติดตามดวงอาทิตย์แบบสองแนวแกนร่วมกับแพงเซลล์แสงอาทิตย์ขนาด 5 วัตต์ 21.5 โวลต์ โดยเปรียบเทียบค่าพลังงานไฟฟ้าระหว่างแพงเซลล์แสงอาทิตย์ระบบเดิมกับแพงเซลล์แสงอาทิตย์ระบบติดตามดวงอาทิตย์แบบสองแนวแกน จากผลการวิจัยพบว่า ค่าพลังงานไฟฟ้าของเซลล์แสงอาทิตย์แบบไม่เคลื่อนที่มีค่าแรงดันไฟฟ้าเฉลี่ยเท่ากับ 19.072 โวลต์ กระแสไฟฟ้าเฉลี่ยเท่ากับ 0.108 แอม培ร์ และกำลังไฟฟ้าเฉลี่ยเท่ากับ 2.031 วัตต์ และระบบติดตามดวงอาทิตย์แบบสองแนวแกนสามารถผลิตแรงดันไฟฟ้าเฉลี่ยเท่ากับ 19.889 โวลต์ กระแสไฟฟ้าเฉลี่ยเท่ากับ 0.193 แอม培ร์ และกำลังไฟฟ้าเฉลี่ยเท่ากับ 3.850 วัตต์ ซึ่งเมื่อเปรียบเทียบค่าแรงดันไฟฟ้า กระแสไฟฟ้า และกำลังไฟฟ้าของระบบติดตามดวงอาทิตย์ที่พัฒนาขึ้นพบว่า ค่าแรงดันไฟฟ้าเพิ่มขึ้น 4.28 % ค่ากระแสไฟฟ้าเพิ่มขึ้น 44.04 % และค่ากำลังไฟฟ้าเพิ่มขึ้น 47.24 % เมื่อเปรียบเทียบกับแพงเซลล์แสงอาทิตย์แบบไม่เคลื่อนที่ จากผลการดำเนินงานแสดงให้เห็นว่าระบบติดตามดวงอาทิตย์ที่พัฒนาขึ้นมีประสิทธิภาพการผลิตพลังงานไฟฟ้าได้ นอกจากนั้นระบบติดตามดังกล่าวสามารถนำไปประยุกต์ใช้กับอุปกรณ์อื่น ๆ ได้อีกหลากหลาย

## กิตติกรรมประกาศ

คณะผู้วิจัยขอขอบคุณการสนับสนุนทางด้านวัสดุ อุปกรณ์การวิจัย พื้นที่ทำการวิจัย จากคณະวิศกรรมศาสตร์ มหาวิทยาลัยเทคโนโลยีราชมงคลล้านนา พิษณุโลก

## References

- [1] P. Roth, A. Georgiev and H. Boudinov. (2004). Design and Construction of a System for Sun-tracking. **Renewable Energy**. Vol. 29, No. 3, pp. 393-402. DOI: 10.1016/S0960-1481(03)00196-4
- [2] B. Khadidja, K. Dris, A. Boubeker and S. Noureddine. (2014). Optimisation of a Solar Tracker System for Photovoltaic Power Plants in Saharian region, Example of Ouargla. **Energy Procedia**. Vol. 50, pp. 610-618
- [3] Chow, L. S. and Abiera, M. (2013). Optimization of Solar Panel with Solar Tracking and Data Logging. **IEEE Student Conference on Research and Development (SCoReD)**. 16 -17 December 2013. Putrajaya, Malaysia. pp. 15-19. DOI: 10.1109/SCoReD.2013.7002532
- [4] C. Alexandru. (2013). Design and Optimization of a Monoaxial Tracking System for Photovoltaic Modules. **Journal of Solar Energy**. Vol. 2013, p. 6. DOI: 10.1155/2013/586302
- [5] Department of Alternative Energy Development and Efficiency Ministry of Energy. (2015). **Solar Energy**. Annual Report 2015 Department of Alternative Energy Department and Efficiency. Access (12 April 2018). Available ([http://www.dede.go.th/ewt\\_news.php?nid=774&filename=index](http://www.dede.go.th/ewt_news.php?nid=774&filename=index))

- [6] Department of Alternative Energy Development and Efficiency Ministry of Energy. (2014). **Solar System.** Summary of Solar Energy Systems by Department of Alternative Energy Development and Efficiency. Access (12 April 2018). Available (<http://www.dede.go.th>)
- [7] Sadeque, F. and Ahsan, Md. Q. (2014). Design and Implementation of a Single-Axis Automatic Solar Tracking System. **GUB Journal of Science and Engineering.** Vol. 1, Issue 1, pp. 1-5
- [8] C. Alexandru. (2014). A Comparative Analysis Between the Tracking Solutions Implemented on a Photovoltaic String. **Journal of Renewable and Sustainable Energy.** Vol. 6, Issue 5, pp. 1-17. DOI: 10.1063/1.4899078
- [9] I. Stamatescu, G. Stamatescu, N. Arghira, I. Făgărăan and S. S. Iliescu. (2014). Fuzzy Decision Support System for Solar Tracking Optimization. **12<sup>th</sup> International Conference on Development and Application Systems.** Suceava, Romania, May 15-17. pp. 16-20
- [10] J. Zhao and Z. Liand and T. Ai. (2015). Research on Optimization of Output Characteristics of Solar Power System Based on Novel Incremental Conductance Method. **8<sup>th</sup> International Symposium on Computational Intelligence and Design (ISCID).** 12 May 2016. Hangzhou, China. pp. 138-142. DOI: 10.1109/ISCID.2015.230
- [11] P. Thanapat and D. Akekachai. (2007). **The Sun Tracking System Using a CPLD-based Position Sensor.** Access (12 April 2018). Available (<https://www.researchgate.net/publication/283291092>)
- [12] Somphop, P. (2015). Automation Control Solarcell. **Princess of Naradhiwats University Journal.** Vol. 7, No. 1, pp. 81-91
- [13] Korntham, S. and Apinya, B. (2013). The Development of A Low-cost Solar Tracking System for Renewable Energy Applications. **Bulletin of Applied Science.** Vol. 2, No. 2, pp. 90-99
- [14] Adafruit. (2018). **Photocells and Measuring Light.** Access (12 April 2018). Available (<https://learn.adafruit.com/photocells/measuring-light>)



ผลของอุณหภูมิในการทำแห้งต่ออัตราการทำแห้ง คุณภาพทางกายภาพ และสมบัติการต้านอนุมูลอิสระของดอกโสน

### Effect of Drying Temperatures on Drying Rate, Physical and Antioxidative Properties of *Sesbania javanica* Mig. Flowers

วิจิตรา เหลี่ยวตระกูล<sup>1\*</sup> ฐานินี จิรสถิตอนุสรณ์<sup>1</sup> ณัฐธิดา เอี่ยมนิล<sup>1</sup> และวชิรญา เหลี่ยวตระกูล<sup>1</sup>

Received: May, 2018; Accepted: June, 2018

#### บทคัดย่อ

งานวิจัยนี้วัดคุณภาพคงทนเพื่อศึกษาผลของอุณหภูมิในการทำแห้งด้วยเตาอบลมร้อนที่อุณหภูมิ 50 60 และ 70 องศาเซลเซียส ต่ออัตราการทำแห้ง คุณภาพทางกายภาพ และสมบัติการต้านอนุมูลอิสระของดอกโสน (*Sesbania javanica* Miq.) ในดอกโสนสมรรษ์ประกอบพืโนลิก และแทนนิน รวมทั้งมีฤทธิ์ในการเป็นสารต้านอนุมูลอิสระ เมื่อทำแห้งดอกโสนที่อุณหภูมิจาก 50 เป็น 70 องศาเซลเซียส ทำให้อัตราการทำแห้งเพิ่มขึ้นจาก 0.023 กรัม/นาที เป็น 0.049 กรัม/นาที แต่ปริมาณความชื้น ปริมาณน้ำอิสระ ค่าความลว่าง ( $L^*$ ) ค่าสีแดง (a\*) และค่าสีเหลือง (b\*) ของดอกโสนลดลง ( $p < 0.05$ ) ดอกโสนอบแห้งมีปริมาณพืโนลิกทั้งหมดคงเหลือร้อยละ 17 - 24 เมื่อเทียบกับดอกโสนสด โดยดอกโสนที่ทำแห้งที่อุณหภูมิ 70 องศาเซลเซียส มีปริมาณสารออกฤทธิ์ทางชีวภาพ และฤทธิ์การต้านอนุมูลอิสระมากที่สุด ( $p < 0.05$ ) โดยมีปริมาณพืโนลิกทั้งหมด 366.89 มิลลิกรัมสมมูลย์ของกรดแกลลิก และปริมาณแทนนิน 714.29 มิลลิกรัมสมมูลย์ของกรดแทนนิกต่อดอกโสน 100 กรัม (น้ำหนักฐานแห้ง) รองลงมาคือ ดอกโสนที่ทำแห้งที่อุณหภูมิ 60 และ 50 องศาเซลเซียส ดังนั้น ดอกโสนมีคุณภาพในการพัฒนาเป็นผลิตภัณฑ์อาหารเพื่อสุขภาพ เนื่องจากมีสารออกฤทธิ์ทางชีวภาพ และมีฤทธิ์ในการเป็นสารต้านอนุมูลอิสระสูง

คำสำคัญ : ดอกโสน; อัตราการทำแห้ง; พืโนลิก; กิจกรรมการต้านอนุมูลอิสระ

<sup>1</sup> Faculty of Agricultural Technology and Agro-Industry, Rajamangala University of Technology Suvarnabhumi, Huntra, Phra Nakhon Si Ayutthaya

\* Corresponding Author E-mail Address: L\_wijitra@hotmail.com

## Abstract

This research aims to study the effect of drying temperatures (50, 60 and 70 °C) on drying rate, physical and antioxidative properties of hot-air dried *Sesbania javanica* (Miq.) flowers. The fresh *Sesbania* flowers contained phenolic compounds, tannin, and antioxidative properties. When the drying temperature rose from 50 to 70 °C, drying rate increased from 0.023 to 0.049 g/ min, whereas the moisture content, water activity, lightness (L\*), redness (a\*), and yellowness (b\*) of dried *Sesbania* flowers significantly decreased ( $p < 0.05$ ). The total phenol content of dried *Sesbania* flowers remained 17 - 24 % compared to the fresh *Sesbania* flowers. In addition, the active ingredients and antioxidant activity of *Sesbania* flowers dried at 70 °C were the highest value ( $p < 0.05$ ). The total phenol and tannin contents of *Sesbania* flowers dried at 70 °C were 366.89 mg gallic acid equivalent, and 714.29 mg tannic acid equivalent/ 100 g (dry basis), followed by *Sesbania* flowers dried at 60 and 50 °C, respectively. In conclusion, *Sesbania* flower has the potential to develop into a health food product due to a high of biological active ingredients and antioxidant activity.

**Keywords:** *Sesbania* Flower; Drying Rate; Phenolic; Antioxidative Properties

## บทนำ

โสน (*Sesbania javaica* Miq.) มีถิ่นกำเนิดในเขตตอนของทวีปเอเชีย และแพร่กระจายจากอินเดียมายังประเทศไทย อินโดนีเซีย พลิปปินส์ และไทย โสนมักพบในพื้นที่ที่มีน้ำขัง ดอกเป็นช่อเชิงลด หรือ เป็นช่อกระฉูก ออกที่ปลายกิ่ง ซอกใบ และซอกกิ่ง กลีบดอกโสนมีลีสเลื่อง [1] ดอกโสน 100 กรัม ให้พลังงาน 54 กิโลแคลอรี่ มีปริมาณโปรตีน 3.6 กรัม ไขมัน 0.4 กรัม คาร์โบไฮเดรต 9.1 กรัม เส้นใย 3.9 กรัม แคลเซียม 51 มิลลิกรัม พอสฟอรัส 56 มิลลิกรัม เทล์ก 8.2 มิลลิกรัม วิตามินเอ 334 ไมโครกรัม ไธอาmine 0.26 มิลลิกรัม ไรโบฟลาวิน 0.40 มิลลิกรัม ในอาชิน 2.8 มิลลิกรัม วิตามินซี 24 มิลลิกรัม [2] นอกจากนี้ในดอกโสนยังพบเบต้าแคโรทีน 34.3 ไมโครกรัม และสารเควอเทนิน ไกลโคไซด์ (Quercetin 3-G-rhamnosylrutinoside) ทำให้ดอกโสนมีคุณสมบัติในการต้านอนุมูลอิสระ และมีฤทธิ์ต้านการก่อ กลไกพันธุ์ในเซลล์เพาะเลี้ยง [3] - [4]

ปัจจุบันผู้บริโภคสนใจอาหารเพื่อสุขภาพมากขึ้น โดยเฉพาะอย่างยิ่งการบริโภคอาหารเพื่อสุขภาพ ที่มีสารต้านอนุมูลอิสระ โดยเฉพาะพืชผักผลไม้ เนื่องจากสารที่พบในพืช (Phytonutrients) เช่น รงค์ตฤณ และสารไฟฟอนอลิก เป็นสารที่เข้าไปทำหน้าที่เป็นสารต้านอนุมูลอิสระ สารประกอบฟีโนอลิกเป็นสารต้านอนุมูลอิสระที่พบมากในพืชผัก มีบทบาทสำคัญ เพราะมีฤทธิ์ต้านแบคทีเรีย ต้านไวรัส ต้านการอักเสบ ต้านการแพ้ มีคุณสมบัติในการถ่ายสารออกซิเดชัน (Peroxidation) ในเยื่อหุ้มเซลล์ โดยการกำจัด

ออกซิเจน เพื่อป้องกันการเป็นโรคต่าง ๆ ชึ้งคุณสมบัติดังกล่าวล้วนพันธุ์กับลักษณะของการเป็นสารต้านอนุมูลอิสระ เนื่องจากอนุมูลอิสระเป็นสาเหตุของการเกิดโรคต่าง ๆ อาทิเช่น โรคมะเร็ง โรคอัลไซเมอร์ โรคหัวใจ รวมทั้งโรคที่เกี่ยวกับหลอดเลือดหัวใจ เป็นต้น สารประกอบฟีโนลิกมีความหลากหลายขึ้นอยู่กับโครงสร้างทางเคมีของสารประกอบฟีโนลิก เช่น สารฟีโนล กรดฟีโนล และโพลีฟีโนล ทำหน้าที่แตกต่างกันไปในพืช อาจทำหน้าที่เป็นสารรักษาดูแล หรือส่งผลทางประสานสัมผัส หรือเป็นสารออกฤทธิ์ทางชีวภาพที่มีประโยชน์ต่อร่างกาย [5] - [8] โดยทั่วไปสารต้านอนุมูลอิสระในพืชผักจะมีปริมาณลดลงในระหว่างกระบวนการให้ความร้อนและการเก็บรักษา เนื่องจากความไม่คงตัวของสารต้านอนุมูลอิสระ [9]

ดอกโอลินมีอายุการเก็บรักษาค่อนข้างสั้น เมื่อนำมาแปรรูปเป็นดอกโอลินทำแห้ง นอกจากจะช่วยยืดอายุการเก็บรักษาของดอกโอลินได้ ยังสามารถนำไปประยุกต์ใช้ประโยชน์เชิงอาหารเพื่อสุขภาพที่สำคัญในการบริโภคและมีประโยชน์ต่อสุขภาพ รวมทั้งเป็นผลิตภัณฑ์ใหม่ในตลาดอาหารเพื่อสุขภาพต่อไป ดังนั้น งานวิจัยนี้มีวัตถุประสงค์เพื่อศึกษาผลของอุณหภูมิในการทำแห้งดอกโอลินต่ออัตราการทำแห้ง คุณภาพทางกายภาพ และกิจกรรมการต้านอนุมูลอิสระของดอกโอลิน โดยศึกษาการทำแห้งดอกโอลินด้วยเตาอบลมร้อนที่อุณหภูมิ 50 60 และ 70 องศาเซลเซียส

## วิธีดำเนินการวิจัย

### 1. การทำแห้งดอกโอลิน

นำดอกโอลินสดที่ได้เตรียมที่จากตลาดห้องถังในจังหวัดพระนครศรีอยุธยา มาทำความสะอาด และคัดเลือกสิ่งปนเปื้อนออก เด็ดช้ำ และนำมาทำแห้งด้วยเตาอบลมร้อนโดยใช้อุณหภูมิที่แตกต่างกัน 3 อุณหภูมิ คือทำแห้งที่อุณหภูมิ 50 60 และ 70 องศาเซลเซียส โดยขั้นตอนนักขขอของดอกโอลินทุก ๆ 20 นาที ตลอดระยะเวลาการทำแห้ง จนกระทั่งได้น้ำหนักคงที่ทำ 3 ชั้วain แต่ละอุณหภูมิ จากนั้นนำมาคำนวณหาอัตราการทำแห้ง และกราฟการทำแห้ง (Drying Curve) ของดอกโอลิน

### 2. การวิเคราะห์ทางด้านกายภาพและเคมี

วิเคราะห์ปริมาณความชื้นตามวิธี Hot-Air Oven [10] และวิเคราะห์ปริมาณน้ำอิสระ (Water Activity,  $A_w$ ) ด้วยเครื่อง AquaLab รุ่น Series 4TE (Decagon, USA) วิเคราะห์ตัวอย่างละ 3 ชั้วain และนำดอกโอลินสดและดอกโอลินอบแห้งมาวิเคราะห์ค่าสีในระบบฮันเตอร์ (Hunter) ด้วยเครื่องวัดสี Colorimeter โดยวัดสีค่า  $L^*$  เป็นค่าความสว่าง ค่า  $a^*$  เป็นค่าสีแดงและเขียว และค่า  $b^*$  เป็นค่าสีเหลืองและน้ำเงิน ก่อนการวัดค่าสีทุกครั้งต้องทำการปรับมาตรฐานเครื่อง แล้วจึงทำการวิเคราะห์ค่าสีของตัวอย่างจำนวน 5 ชั้วain จากนั้นคำนวณเป็นค่าสีที่เปลี่ยนแปลงไป (Total Color Change) ตามสมการที่ (1) [11] เมื่อค่าสี  $L^*_0$ ,  $a^*_0$  และ  $b^*_0$  หมายถึง ค่าสีของดอกโอลินสด และค่าสี  $L^*$ ,  $a^*$  และ  $b^*$  หมายถึง ค่าสีของดอกโอลินที่ทำแห้งที่อุณหภูมิต่าง ๆ

$$\text{Total color change} = \sqrt{(L^*_0 - L^*)^2 + (a^*_0 - a^*)^2 + (b^*_0 - b^*)^2} \quad (1)$$

### การวิเคราะห์สารออกฤทธิ์ทางชีวภาพและกิจกรรมการต้านอนุมูลอิสระ

#### การสกัดตัวอย่าง

สกัดตัวอย่างด้วยวิธี Cold Extraction ดัดแปลงจาก [12] - [13] ดังนี้ ขั้นตัวอย่าง 20 กรัม เดิมจะใช้ต้นความเข้มข้นร้อยละ 80 ปริมาตร 80 มิลลิลิตร บดผสมให้เข้ากันเป็นเวลา 10 นาที กรองและนำส่วนใส่เก็บในที่มีดอุณหภูมิ -18 องศาเซลเซียส ทำการสกัดตัวอย่างละ 3 ชั้น

#### การวิเคราะห์ปริมาณสารประกอบฟีโนลิกทั้งหมด

การวิเคราะห์ปริมาณสารประกอบฟีโนลิกทั้งหมดตามวิธี Folin-Ciocalteu Colorimetric Assays [14] โดยผสมสารสกัดจากตัวอย่าง 0.3 มิลลิลิตร กับสารละลาย Folin-Ciocalteu's 1.5 มิลลิลิตร เดิมสารละลาย  $\text{NaCO}_3$  (ร้อยละ 7.5) 1.2 มิลลิลิตร เขย่าให้สารผสมกัน จากนั้นตั้งทึบไว้ในที่มีด้าน 30 นาที ที่อุณหภูมิท้องแล้วค่าการดูดกลืนแสงที่ความยาวคลื่น 765 นาโนเมตร ด้วยเครื่อง UV-VIS Spectrophotometer วิเคราะห์สารประกอบฟีโนลิกของตัวอย่างเทียบกับสารมาตรฐานกรดแกลลิก รายงานผลเป็นมิลลิกรัมสมมูลย์ของกรดแกลลิกต่อ 100 กรัมของตัวอย่าง (mg Gallic Acid Equivalent (GAE)/ 100 g)

#### การวิเคราะห์ปริมาณแทนนิน

การวิเคราะห์ปริมาณแทนนินตามวิธี Colormetric Assay ดัดแปลงจาก [15] โดยนำสารสกัด 0.1 มิลลิลิตร ผสมกับน้ำกลั่น 7.5 มิลลิลิตร สารละลาย Folin-Ciocalteu's 0.5 มิลลิลิตร และสารละลาย  $\text{Na}_2\text{CO}_3$  (ร้อยละ 35) 1 มิลลิลิตร เขย่าให้เข้ากัน ตั้งทึบไว้ในที่มีด 30 นาที และวัดค่าการดูดกลืนแสงที่ความยาวคลื่น 725 นาโนเมตร ด้วยเครื่อง UV-VIS Spectrophotometer วิเคราะห์ปริมาณสารประกอบแทนนินเทียบกับสารมาตรฐานกรดแทนนิก รายงานผลเป็นมิลลิกรัมสมมูลย์ของกรดแทนนิกต่อ 100 กรัมของตัวอย่าง (mg Tannic Acid Equivalent (TAE)/ 100 g)

#### การวิเคราะห์กิจกรรมสารต้านอนุมูลอิสระ

การวิเคราะห์ความสามารถในการจับอนุมูลอิสระ ด้วยวิธี DPPH ดัดแปลงจาก [12] โดยนำสารสกัด 1 มิลลิลิตร เดิมสารละลาย 2,2-diphenyl-1-picrylhydrazyl (DPPH) ความเข้มข้น 0.6 mM ปริมาตร 4 มิลลิลิตร ผสมให้เข้ากัน และเก็บไว้ในที่มีดเป็นเวลา 30 นาที วัดค่าการดูดกลืนแสงที่ความยาวคลื่น 515 นาโนเมตร นำมาเทียบกับสารมาตรฐานกรดแกลลิก รายงานผลเป็นมิลลิกรัมสมมูลย์ของกรดแกลลิกต่อ 100 กรัมของตัวอย่าง (mg GAE/ 100 g) ส่วนการวิเคราะห์ความสามารถในการจับอนุมูลอิสระ ด้วยวิธี Ferric Reducing Antioxidant Power (FRAP) [14] โดยนำสารสกัดจากตัวอย่าง 1 มิลลิลิตร เดิม Phosphate Buffer ความเข้มข้น 0.2 M ที่ pH 6.6 ปริมาตร 2.5 มิลลิลิตร และสารละลาย Potassium Ferricyanide (ร้อยละ 1) 2.5 มิลลิลิตร นำไปบ่มในอ่างน้ำควบคุมอุณหภูมิที่ 50 องศาเซลเซียส เป็นเวลา 20 นาที เดิมสารละลาย Trichloro-Acetic Acid (ร้อยละ 10) 2.5 มิลลิลิตร จากนั้นปีเปตส่วนผสมมา 2.5 มิลลิลิตร เดิมน้ำกลั่น 2.5 มิลลิลิตร และเดิม  $\text{FeCl}_3$  (ร้อยละ 1) 0.5 มิลลิลิตร ตั้งทึบไว้ในที่มีดที่อุณหภูมิท้องนาน 30 นาที และวัดค่าการดูดกลืนแสงที่ความยาวคลื่น 700 นาโนเมตร ( $A_{700}$ )

#### การวิเคราะห์ทางสถิติ

ข้อมูลแสดงเป็นค่าเฉลี่ย ± ส่วนเบี่ยงเบนมาตรฐาน และนำข้อมูลมาทำการเปรียบเทียบความแตกต่างอย่างมีนัยสำคัญทางสถิติ โดยวิเคราะห์ความแปรปรวน (Analysis of Variance, ANOVA) และเปรียบเทียบค่าเฉลี่ยโดยวิธี Duncan's New Multiple Range Test ที่ระดับความเชื่อมั่นร้อยละ 95

## ผลการวิจัยและการอภิปรายผล

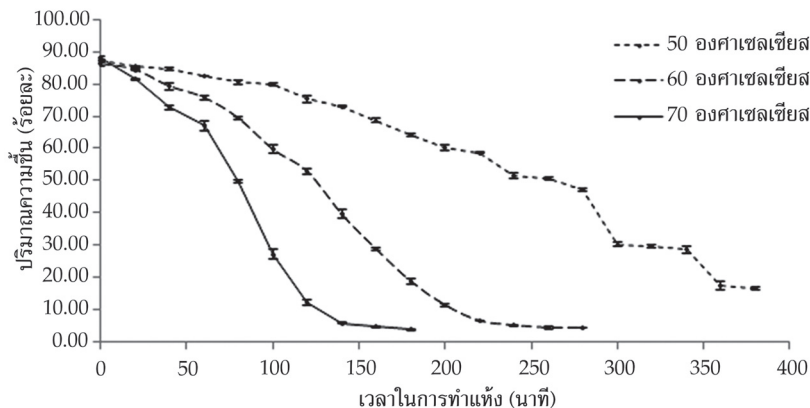
**คุณภาพทางกายภาพ ทางเคมี สารออกฤทธิ์ทางชีวภาพและกิจกรรมการต้านอนุมูลอิสระของดอกโสนสด**

จากการศึกษาคุณภาพทางกายภาพ ทางเคมี สารออกฤทธิ์ทางชีวภาพและกิจกรรมการต้านอนุมูลอิสระของดอกโสนสดแสดงดังตารางที่ 1 พนว่าดอกโสนสดมีปริมาณสารประกอบฟีนอลิก ปริมาณแทนนิน และกิจกรรมการต้านอนุมูลอิสระสูง ในดอกโสนสด 100 กรัม มีปริมาณความชื้น 89.03 กรัม มีปริมาณฟีนอลิกทั้งหมด 58.26 mg GAE/ 100 g (น้ำหนักฐานเปียก) (ตารางที่ 1) ซึ่งมีปริมาณฟีนอลิกทั้งหมดใกล้เคียงกับดอกแคนา (*Sesbania grandiflora*) [16] และมีปริมาณฟีนอลิกทั้งหมดมากกว่าดอกแคนา (*Dolichandrone serrulata* (DC.) Seem) และดอกฟักทอง (*Cucurbita moschata* Decne.) [4] ในดอกโสนยังพบสารเคมีชนิด ที่มีฤทธิ์ต้านการก่อกรายพันธุ์ในเซลล์เพาะเลี้ยง ช่วยหยุดยั้ง การแบ่งตัวของเซลล์มะเร็ง ช่วยรับการอักเสบ และช่วยป้องกันอันตรายของเซลล์ปกติต่อกลุ่มเซลล์ จากการกระบวนการต้านอนุมูลอิสระ [3] นอกจากนี้ยังมีรายงานว่าดอกไม้พื้นบ้านที่รับประทานได้อีกหลายชนิด เช่น ดอกกระเจียวแดง ดอกมะรุม และดอกส้มລມ มีฤทธิ์ในการต้านอนุมูลอิสระ ช่วยเสริมสร้างสุขภาพ ลดการแพร่กระจายของเซลล์มะเร็ง และช่วยในเรื่องของระบบย่อยอาหาร [17] - [18]

ดอกโสนสดมีความสามารถในการจับอนุมูลอิสระ ด้วยวิธี DPPH และความสามารถในการรีดิวช์อนุมูลอิสระ ด้วยวิธี FRAP เท่ากับ 7.79 mg GAE/ 100 g และ 0.58 (ตารางที่ 1) ซึ่งความสามารถในการต้านอนุมูลอิสระของสารสกัดจากพืชนั้นขึ้นอยู่กับกลไกการต้านอนุมูลอิสระ โดยทั่วไปจะนิยมวิเคราะห์ความสามารถในการต้านอนุมูลอิสระของพืชอย่างน้อย 2 วิธี เพื่อประเมินผลกิจกรรมการต้านอนุมูลอิสระ จากสารสกัดจากพืชทั้งหมดได้อย่างถูกต้อง เนื่องจากความซับซ้อนของสารพุกเคมีในพืชชนิดนี้ ๆ [19]

**ตารางที่ 1 คุณภาพทางด้านกายภาพ เคมี สารออกฤทธิ์ทางชีวภาพและกิจกรรมการต้านอนุมูลอิสระของดอกโสนสด**

คุณลักษณะ	ดอกโسنสด
ปริมาณความชื้น (ร้อยละ)	89.03±0.11
ค่า A <sub>w</sub>	0.9949±0.0008
ค่าสี L* (ค่าความสว่าง)	85.37±2.85
a* (ค่าสีแดงและเขียว)	18.84±1.50
b* (ค่าสีเหลืองและน้ำเงิน)	62.62±2.64
ปริมาณฟีนอลิกทั้งหมด (mg GAE/ 100 g) (Wet basis)	58.26±0.05
ปริมาณแทนนิน (mg TAE/ 100 g) (Wet basis)	64.46±0.32
DPPH (mg GAE/ 100 g) (Wet basis)	7.79±0.04
FRAP (A <sub>700</sub> )	0.58±0.00



รูปที่ 1 グラฟการทำแท้ดอกโสนที่อุณหภูมิ 50 60 และ 70 องศาเซลเซียส

#### ผลของอุณหภูมิในการทำแท้ทั้งต่ออัตราการทำแท้ของดอกโสน

จากรูปที่ 1 แสดงกราฟการทำแท้ดอกโสนที่ทำแท้ด้วยเตาอบลมร้อน โดยใช้อุณหภูมิที่แตกต่างกัน 3 อุณหภูมิ คือ 50 60 และ 70 องศาเซลเซียส จันได้น้ำหนักที่คงที่พบว่า เมื่อทำแท้ที่อุณหภูมิสูงขึ้น ทำให้เวลาในการทำแท้ลดลง โดยอุณหภูมิการทำแท้ที่ 70 องศาเซลเซียส ใช้เวลาในการทำแท้หน้อยที่สุด (180 นาที) รองลงมาคือการทำแท้ที่อุณหภูมิ 60 องศาเซลเซียส (280 นาที) และการทำแท้ที่อุณหภูมิ 50 องศาเซลเซียส (380 นาที) ใช้เวลาในการทำแท้นานที่สุด เมื่อทำแท้ดอกโสนน้ำหนักของดอกโสนลดลงมากเรื่อย ๆ จนน้ำหนักคงที่ และพบว่าเมื่อทำแท้ที่อุณหภูมิสูงขึ้น ทำให้อัตราการทำแท้ของดอกโสนเพิ่มขึ้น โดยการทำแท้ดอกโสนที่อุณหภูมิ 50 60 และ 70 องศาเซลเซียส มีอัตราการทำแท้ของดอกโสนเป็น 0.023 0.031 และ 0.049 กรัม/นาที ตามลำดับ

เมื่ออุณหภูมิในการทำแท้ดอกโสนสูงขึ้น มีผลทำให้เวลาในการทำแท้ลดลง แต่อัตราการทำแท้จะมากขึ้น เนื่องจากดอกโสนมีความชื้นเริ่มต้นร้อยละ 86.90 ผิวสัมผัสของดอกโสนจะมีลักษณะเปียกชื้น เกิดการถ่ายเทความร้อนระหว่างตัวกลางลมร้อนกับดอกโสน ทำให้อุณหภูมิพื้นที่ผิวมีค่าใกล้เคียงกับอุณหภูมิกระปาบะเปียกของกระแสลมร้อนใช้เป็นตัวกลาง อัตราการทำแท้คงอยู่ ๆ เพิ่มขึ้น จนถึงช่วงอัตราการทำแท้คงที่ น้ำภายในดอกโสนจะเคลื่อนที่มาที่ผิวน้ำ พลังงานความร้อนที่ดอกโสนได้รับจะใช้ในการระเหยน้ำออกจากดอกโสนอย่างต่อเนื่อง ความชื้นและน้ำหนักเฉลี่ยของดอกโสนจะลดลงเป็นสัดส่วน กับเวลาในการทำแท้ จันการทำแท้มีความเร็วคงที่ อัตราเร็วในการทำแท้เริ่มลดลง ความชื้นในดอกโสนเหลือน้อย จันเพริไปยังผิวน้ำของดอกโสนอย่างไม่ต่อเนื่อง ผิวน้ำของดอกโสนเริ่มแห้ง ทำให้อุณหภูมิของดอกโสนสูงขึ้นเรื่อย ๆ อัตราการทำแท้จะลดลง ความชื้นจะลดลงเรื่อย ๆ จนถึงค่าความชื้นสมดุล น้ำในดอกโสนไม่สามารถระเหยออกได้อีก น้ำหนักของดอกโสนจึงคงที่ ดังนั้นการทำแท้ที่อุณหภูมิสูงนั้น จะเกิดการถ่ายโอนความร้อนและมวลสารในระหว่างการทำแท้ได้ดีกว่าที่อุณหภูมิต่ำ ทำให้อัตราการทำแท้เพิ่มขึ้น [20] ซึ่งสอดคล้องกับการศึกษาการอบแห้งใบเตยด้วยรังสีอินฟราเรดร่วมกับลมร้อนที่อุณหภูมิ 45 - 65 องศาเซลเซียส พบว่าอัตราการอบแห้งจะสูงขึ้นเมื่ออุณหภูมิอบแห้งสูงขึ้น แต่ค่าความลินเปลี่ยนพลังงานจำเพาะลดลง [21]

## ตารางที่ 2 คุณภาพทางด้านกายภาพ และเคมีของดอกโสนที่ทำแห้งที่อุณหภูมิต่าง ๆ

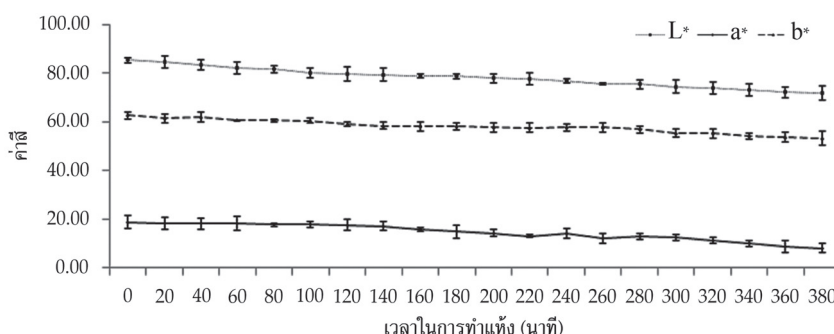
คุณลักษณะ	อุณหภูมิที่ทำแห้งดอกโสน (องศาเซลเซียล)		
	50	60	70
ปริมาณความชื้น (ร้อยละ)	19.29±1.48 <sup>a</sup>	9.16±0.23 <sup>b</sup>	6.88±0.17 <sup>b</sup>
ค่า A <sub>w</sub>	0.6077±0.0078 <sup>a</sup>	0.4215±0.0270 <sup>b</sup>	0.3648±0.0120 <sup>c</sup>
ค่า L* (ค่าความสว่าง)	71.66±2.88 <sup>a</sup>	68.31±3.08 <sup>ab</sup>	67.27±1.31 <sup>b</sup>
ค่า a* (ค่าสีแดงและเขียว) <sup>ns</sup>	8.19±2.77	7.91±2.07	7.56±1.12
ค่า b* (ค่าสีเหลืองและน้ำเงิน)	53.39±1.82 <sup>a</sup>	48.78±2.53 <sup>b</sup>	50.10±3.38 <sup>ab</sup>
Total color change	21.53±2.91 <sup>a</sup>	14.04±2.45 <sup>b</sup>	11.67±1.81 <sup>b</sup>

หมายเหตุ : ค่าเฉลี่ยที่มีตัวอักษรต่างกันในแนวนอน มีความแตกต่างกันอย่างมีนัยสำคัญทางสถิติ ( $p < 0.05$ )

<sup>ns</sup> หมายถึง ไม่มีความแตกต่างกันอย่างมีนัยสำคัญทางสถิติ ( $p > 0.05$ )

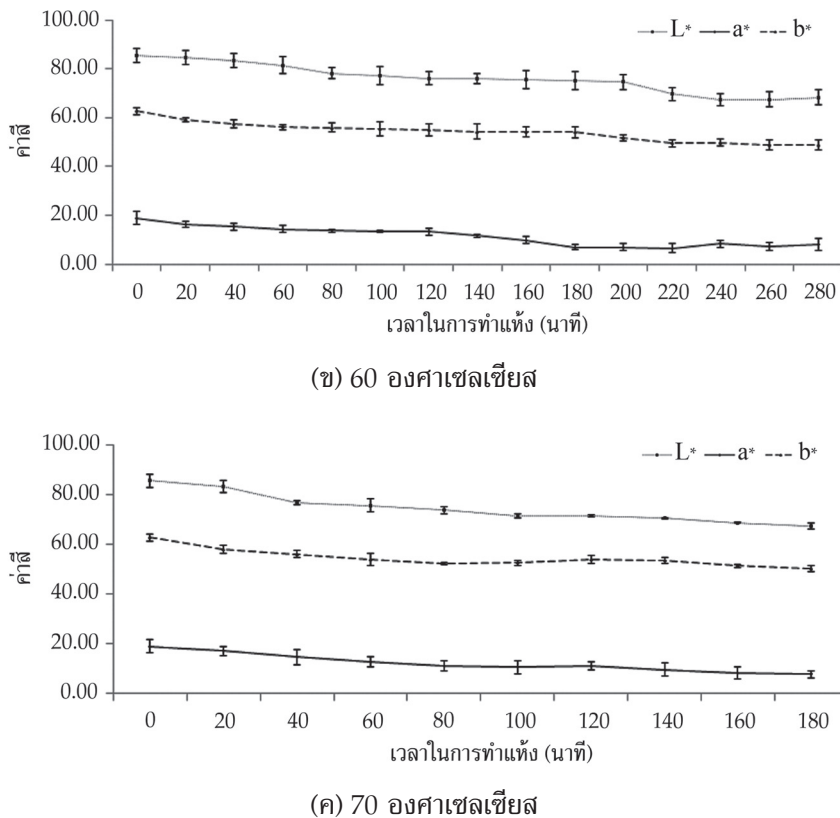
### ผลของอุณหภูมิในการทำแห้งต่อคุณภาพทางเคมีและกายภาพของดอกโสน

จากตารางที่ 2 เมื่อใช้อุณหภูมิในการทำแห้งสูงขึ้นจาก 50 - 70 องศาเซลเซียล จนดอกโสนมีน้ำหนักที่คงที่ ทำให้ปริมาณความชื้นของดอกโสนลดลงจากดอกโสนสดมีความชื้นร้อยละ 89.03 ลดลงเป็นร้อยละ 19.29, 9.16 และ 6.88 ตามลำดับ สอดคล้องกับค่า A<sub>w</sub> ของดอกโสนโดยพบว่า เมื่ออุณหภูมิที่ใช้ในการทำแห้งสูงขึ้นจาก 50 เป็น 70 องศาเซลเซียล ทำให้ค่า A<sub>w</sub> ของดอกโสนลดลงเป็น 0.6077 0.4215 และ 0.3648 ตามลำดับ เทียบกับดอกโสนสดที่มีค่า A<sub>w</sub> เท่ากับ 0.9949 เนื่องจากปริมาณน้ำอิสระจะระเหยได้่ายกว่าน้ำผูกพัน ดังนั้นเมื่อทำแห้งที่อุณหภูมิสูง น้ำอิสระในดอกโสนจึงระเหยได้อย่างรวดเร็ว ระหว่างกระบวนการทำแห้ง ทำให้ปริมาณน้ำอิสระในดอกโสนลดลง นอกจากนี้เมื่อผลิตภัณฑ์มีค่า A<sub>w</sub> ต่ำ จะทำให้สามารถเก็บรักษาผลิตภัณฑ์ไว้ได้นานขึ้น เนื่องจากค่า A<sub>w</sub> หรือปริมาณน้ำอิสระในอาหารที่จุลทรรศ์ใช้ในการเจริญเติบโตและเป็นน้ำที่ใช้ในการเกิดปฏิกิริยาเคมีต่าง ๆ นั้น เป็นปัจจัยที่สำคัญในการควบคุมและป้องกันการเสื่อมเสียของอาหาร



(ก) 50 องศาเซลเซียล

รูปที่ 2 ค่า L\*, a\* และ b\* ของดอกโสนอบแห้งที่อุณหภูมิต่าง ๆ



รวมที่ 2 ค่าสี  $L^*$ ,  $a^*$  และ  $b^*$  ของดอกโสนอบแห้งที่อุณหภูมิต่าง ๆ (ต่อ)

ระยะเวลาในการทำแห้งที่นานขึ้นและอุณหภูมิการทำแห้งที่สูงขึ้นมีผลทำให้ค่าสี  $L^*$ ,  $a^*$  และ  $b^*$  ของดอกโสนอบแห้งลดลงตามรูปที่ 2 โดยค่าสี  $L^*$  (ค่าความสว่าง) ค่าสี  $a^*$  (ค่าสีแดงและเขียว) และค่าสี  $b^*$  (ค่าสีเหลืองและน้ำเงิน) ของดอกโสนที่ทำแห้งที่อุณหภูมิ 50 องศาเซลเซียส มีค่ามากกว่าดอกโสนที่ทำแห้งที่อุณหภูมิ 60 และ 70 องศาเซลเซียส แสดงให้เห็นว่าดอกโสนที่ทำแห้งที่อุณหภูมิสูงและใช้เวลาการทำแห้งนานขึ้น ค่าความสว่างจะลดลง โดยผลตัวแปรที่มีสัดส่วนต่ำกว่าที่ทำแห้งที่อุณหภูมิต่ำกว่า และจากการที่ 2 พ布ว่าค่าสีที่เปลี่ยนแปลงไปของดอกโสนที่ทำแห้งที่อุณหภูมิ 50 60 และ 70 องศาเซลเซียส เทียบกับดอกโสนสดพบว่าอุณหภูมิที่ทำแห้งดอกโสน 50 องศาเซลเซียส มีค่าสีทั้งหมดที่เปลี่ยนแปลงไปมากที่สุดอย่างมีนัยสำคัญทางสถิติ ( $p < 0.05$ ) และดอกโสนทำแห้งที่อุณหภูมิ 60 และ 70 องศาเซลเซียส มีค่าสีที่เปลี่ยนแปลงไปอย่างมีนัยสำคัญทางสถิติ ( $p > 0.05$ ) เนื่องจากสีที่เปลี่ยนแปลงไปของดอกโสนไม่ได้ขึ้นอยู่กับอุณหภูมิที่ใช้ในการทำแห้งเพียงอย่างเดียว แต่ขึ้นอยู่กับระยะเวลาที่ใช้ในการทำแห้งด้วย เมื่อใช้อุณหภูมิต่ำและใช้ระยะเวลาในการทำแห้งดอกโสนมาก จะทำให้สีของดอกโสนมีการเปลี่ยนแปลงมากขึ้น ถ้าอุณหภูมิที่ใช้ในการทำแห้งสูง แต่ระยะเวลาในการทำแห้งดอกโสนน้อย จะทำให้ค่าสีที่เปลี่ยนแปลงทั้งหมดมีค่าน้อยลงได้ ซึ่งสอดคล้องกับการทำแห้งชิง เมื่ออุณหภูมิการทำแห้งเพิ่มขึ้น ค่าความสว่างและค่าสีเหลืองของชิงลดลงอย่างมีนัยสำคัญทางสถิติ ( $p < 0.05$ ) [22] อาจเนื่องมาจากที่อุณหภูมิสูงมีผลให้เร่งการเกิดปฏิกิริยาการเกิดสีน้ำตาลโดยไม่ใช้ออนไซม์ (Non-Enzymatic Browning)

Reaction) เช่น ปฏิกิริยาเมลลาร์ด (Millard Reaction) เป็นต้น [23] และมีรายงานว่าการเปลี่ยนแปลงสีของผลิตภัณฑ์ลำไยอบแห้งจะมากขึ้น เมื่ออุณหภูมิอบแห้งเพิ่มขึ้น [24]

#### ผลของอุณหภูมิในการทำแห้งต่อสมบัติการต้านอนุมูลอิสระของดอกโสน

ปริมาณสารออกฤทธิ์ทางชีวภาพและกิจกรรมการต้านอนุมูลอิสระของดอกโสนทำแห้งที่อุณหภูมิ 50 60 และ 70 องศาเซลเซียส (ตารางที่ 3) พบว่าการทำแห้งมีผลทำให้ปริมาณสารออกฤทธิ์ทางชีวภาพและกิจกรรมการต้านอนุมูลอิสระลดลง โดยอุณหภูมิในการทำแห้งดอกโสนมีผลต่อความสามารถในการจับอนุมูลอิสระ ด้วยวิธี DPPH เมื่อทำแห้งดอกโสนที่อุณหภูมิ 50 - 70 องศาเซลเซียส ค่า DPPH ของดอกโสนอบแห้งสูงขึ้นจาก 90.36 เป็น 93.38 mg GAE/ 100 g (น้ำหนักฐานแห้ง) อย่างไรก็ตามค่า DPPH ของดอกโสนอบแห้งที่อุณหภูมิ 50 และ 60 องศาเซลเซียส มีค่าใกล้เคียงกันคือ 90.36 - 90.73 mg GAE/ 100 g ซึ่งน้อยกว่าดอกโสนอบแห้งที่อุณหภูมิ 70 องศาเซลเซียส เมื่อจากที่อุณหภูมิ 50 และ 60 องศาเซลเซียส ใช้ความร้อนในการอบแห้งต่ำ ทำให้ใช้เวลาในการอบแห้งนานถึง 280 - 380 นาที สารต้านอนุมูลอิสระอาจสลายตัวมากกว่าดอกโسنอบแห้งที่อุณหภูมิ 70 องศาเซลเซียส จึงส่งผลทำให้ดอกโสนอบแห้งที่อุณหภูมิ 70 องศาเซลเซียส มีค่า DPPH มากกว่าดอกโสนอบแห้งที่อุณหภูมิ 50 และ 60 องศาเซลเซียส นอกจากนี้ยังพบว่าเมื่อดอกโสนทำแห้งที่อุณหภูมิสูงขึ้นจาก 50 เป็น 70 องศาเซลเซียส ความสามารถในการต้านอนุมูลอิสระ ด้วยวิธี FRAP เพิ่มขึ้นจาก 1.30 เป็น 2.42 เมื่อจากมีรายงานว่าในดอกโสนมีวิตามินซี 24 มิลลิกรัม/ 100 กรัม [2] ซึ่งเป็นสารต้านอนุมูลอิสระที่ละลายได้ในน้ำ (Hydrophilic Antioxidants) และมีเบต้าแคโรทีนในปริมาณสูงถึง 307 มิลลิกรัม/ กิโลกรัม [4] ซึ่งเป็นสารต้านอนุมูลอิสระที่ละลายได้ในไขมัน (Lipophilic Antioxidants) มีบทบาทในการป้องกันกระบวนการออกซิเดชันของออกซิเจนอะตอมเดียว (Singlet Oxygen) และอนุมูลอิสระเพื่อรักษาชีวิต จึงเป็นสารต้านอนุมูลอิสระที่มีประสิทธิภาพมาก [25] เมื่อวิเคราะห์สมบัติการต้านอนุมูลอิสระด้วยวิธี DPPH และ FRAP จึงแสดงผลว่าดอกโสนแห้งมีฤทธิ์ในการต้านอนุมูลอิสระ

ตารางที่ 3 กิจกรรมการต้านอนุมูลอิสระของดอกโสนทำแห้งที่อุณหภูมิต่าง ๆ (Dry Basis)

คุณลักษณะ	อุณหภูมิที่อบดอกโสน (องศาเซลเซียส)		
	50	60	70
ปริมาณฟินอลิกทั้งหมด (mg GAE/ 100 g)	255.93±1.97 <sup>c</sup>	355.11±1.38 <sup>b</sup>	366.89±0.71 <sup>a</sup>
ปริมาณแทนนิน (mg TAE/ 100 g)	490.19±0.00 <sup>c</sup>	635.91±0.00 <sup>b</sup>	714.29±0.00 <sup>a</sup>
DPPH (mg GAE/ 100 g)	90.36±0.05 <sup>b</sup>	90.73±0.05 <sup>b</sup>	93.38±0.04 <sup>a</sup>
FRAP (A <sub>700</sub> )	1.30±0.01 <sup>c</sup>	2.04±0.02 <sup>b</sup>	2.42±0.02 <sup>a</sup>

หมายเหตุ : ค่าเฉลี่ยที่มีตัวอักษรต่างกันในแนวนอน มีความแตกต่างกันอย่างมีนัยสำคัญทางสถิติ ( $p < 0.05$ )

หลังจากการทำแห้งดอกโสน พบร่วมกับสารต้านอนุมูลอิสระที่มีในดอกโสน พบว่าดอกโสนมีปริมาณสารออกฤทธิ์ทางชีวภาพลดลงเมื่อเทียบกับดอกโสนสด และจากตารางที่ 3 พบร่วมกับสารต้านอนุมูลอิสระที่มีในดอกโสน ทำให้ปริมาณสารออกฤทธิ์ทางชีวภาพ

ของดอกโสนอบแห้งสูงชี้น์ โดยปริมาณสารออกฤทธิ์ทางชีวภาพของดอกโสนที่ทำแห้งที่อุณหภูมิ 70 องศาเซลเซียล มีค่าสูงสุด รองลงมาคือดอกโสนที่ทำแห้งที่อุณหภูมิ 60 องศาเซลเซียล และดอกโสนที่ทำแห้งที่อุณหภูมิ 50 องศาเซลเซียล มีค่าน้อยที่สุดอย่างมีนัยสำคัญทางสถิติที่ระดับความเชื่อมั่นร้อยละ 95 โดยปริมาณฟีนอลิกทั้งหมดคงเหลือเทียบกับดอกโสนสดเป็นร้อยละ 23.99 23.22 และ 16.74 (366.89 355.11 และ 255.93 mg GAE / 100 g, น้ำหนักฐานแห้ง) ตามลำดับ เนื่องจากการทำแห้งดอกโสนที่อุณหภูมิ 70 องศาเซลเซียลนั้น ใช้เวลาในการทำแห้งต้นมากเมื่อเทียบกับการทำแห้งดอกโสนที่อุณหภูมิ 50 องศาเซลเซียล ทำให้สารต้านอนุมูลอิสระลดลงตัวน้อยกว่า งานวิจัยนี้สอดคล้องกับงานวิจัยของ Choi, Y. et al. [26] พบว่า ปริมาณสารฟีนอลิกทั้งหมดและกิจกรรมการต้านอนุมูลอิสระในเห็ดชิตาเกะเพิ่มขึ้น เมื่ออุณหภูมิ และเวลาเพิ่มขึ้น เนื่องจากสารฟีนอลิกบางชนิดในผักผลไม้ถูกสกัดออกมาได้ในระหว่างกระบวนการให้ความร้อน นอกจากนี้ความร้อนอาจทำให้เกิดสารประกอบจากปฏิกริยาเมลาร์ด ซึ่งสามารถทำหน้าที่เป็นสารต้านอนุมูลอิสระที่มีประสิทธิภาพได้ เช่นเดียวกับการศึกษาของ Nicoli, M. C. et al. [27] ในมะเขือเทศ และการศึกษาของ Kusznierekowicz, B. et al. [28] ในน้ำมะพร้าว

จากรายงานที่ 3 ยังพบว่าปริมาณแทนนินของดอกโสนที่ทำแห้งที่อุณหภูมิ 70 องศาเซลเซียล มีค่าสูงที่สุด รองลงมาคือดอกโสนที่ทำแห้งที่อุณหภูมิ 60 องศาเซลเซียล และดอกโสนที่ทำแห้งที่อุณหภูมิ 50 องศาเซลเซียล ( $p < 0.05$ ) โดยมีปริมาณแทนนินเป็น 714.29 635.91 และ 490.19 mg TAE / 100 g (น้ำหนักฐานแห้ง) ตามลำดับ ซึ่งพบว่าปริมาณแทนนินของดอกโสนนี้ใกล้เคียงกับปริมาณแทนนินของแอปเปิล และพริก แต่น้อยกว่าปริมาณแทนนินในดอกกุหลาบ (*Rosa canina*) ชาดำและชาเขียว ซึ่งแทนนินนั้น เป็นโพลีฟีนอลที่ละลายน้ำได้ มีฤทธิ์ในการต้านอนุมูลอิสระ แต่ปริมาณแทนนินที่ความเข้มข้นสูงอาจทำหน้าที่ เป็นสารต้านคุณค่าทางโภชนาการ (Anti-Nutritional) ได้ [29] - [30] นอกจากนี้มีรายงานว่าดอกโสน อบแห้งที่อุณหภูมิ 50 องศาเซลเซียล นาน 360 นาที ด้วยเตาอบลมร้อนมีปริมาณเบต้าแคโรทีนมากกว่า ที่อุณหภูมิ 55 - 70 องศาเซลเซียล เมื่อนำดอกโสนอบแห้งไปเสริมในผลิตภัณฑ์ขนมปังแซนด์วิช ทำให้มีปริมาณเลันไย ค่าความแข็ง และค่าความแน่นเพิ่มขึ้น รวมทั้งได้รับการยอมรับจากผู้บริโภคอีกด้วย [31]

## บทสรุป

ดอกโสนสดมีสารออกฤทธิ์ทางชีวภาพสูง และมีฤทธิ์ในการเป็นสารต้านอนุมูลอิสระ โดยดอกโสน 100 กรัม มีปริมาณสารฟีนอลิกทั้งหมด 58.26 mg GAE และปริมาณแทนนิน 64.46 mg TAE เมื่อนำดอกโสน มาทำแห้งที่อุณหภูมิ 50 60 และ 70 องศาเซลเซียล พบร่วมกับอุณหภูมิในการทำแห้งดอกโسنเพิ่มขึ้น เวลาในการทำแห้งจะลดลง เนื่องจากการทำแห้งที่อุณหภูมิสูงเกิดการถ่ายโอนความร้อนและมวลสาร ในระหว่างการทำแห้งได้ดีกว่าที่อุณหภูมิต่ำ ทำให้อัตราการทำแห้งเพิ่มขึ้นจาก 0.023 เป็น 0.049 กรัม/นาที เมื่อใช้อุณหภูมิในการทำแห้งสูงชี้น์ จะทำให้ปริมาณความชื้นและค่า  $A_w$  ของดอกโสนลดลง และเมื่อเวลา การทำแห้งนานขึ้น ค่าความลว่างจะลดลง ส่วนปริมาณสารออกฤทธิ์ทางชีวภาพและกิจกรรมการต้านอนุมูล อิสระของดอกโสนอบแห้งพบว่า การทำแห้งทำให้ปริมาณสารออกฤทธิ์ทางชีวภาพและกิจกรรมการต้านอนุมูล อิสระของดอกโสนลดลงเมื่อเทียบกับดอกโสนสด อย่างไรก็ตามพบว่าดอกโสนที่ทำแห้งที่อุณหภูมิสูงชี้น์ ทำให้ปริมาณสารออกฤทธิ์ทางชีวภาพและกิจกรรมการต้านอนุมูลอิสระของดอกโสนมากขึ้น (เทียบกับน้ำหนักฐานแห้ง) โดยดอกโสนที่ทำแห้งที่อุณหภูมิ 70 องศาเซลเซียล มีปริมาณสารฟีนอลิกทั้งหมด

ปริมาณแทนนินค่า DPPH และค่า FRAP มากที่สุด ( $p < 0.05$ ) รองลงมาคือดอกโสนที่ทำแห้งที่อุณหภูมิ 60 องศาเซลเซียส และดอกโสนที่ทำแห้งที่อุณหภูมิ 50 องศาเซลเซียส มีค่าน้อยที่สุด ดังนั้นดอกโสนอบแห้ง มีความเหมาะสมสำหรับพัฒนาเป็นผลิตภัณฑ์อาหารเพื่อสุขภาพต่อไป โดยอาจพัฒนาเป็นเครื่องดื่มชา ดอกโสนเพื่อสุขภาพ หรือเลิริมในผลิตภัณฑ์อื่น ๆ เพื่อเป็นประโยชน์ต่อสุขภาพและเป็นการสร้างมูลค่าเพิ่ม ให้แก่ดอกโสนได้

## กิตติกรรมประกาศ

งานวิจัยนี้ได้รับทุนสนับสนุนการวิจัยจากงบประมาณแผ่นดิน มหาวิทยาลัยเทคโนโลยีราชมงคลลุ雎รรณภูมิ ประจำปีงบประมาณ 2560 และขอขอบคุณสาขาวิชาวิทยาศาสตร์และเทคโนโลยีการอาหาร คณะเทคโนโลยี การเกษตรและอุตสาหกรรมเกษตร มหาวิทยาลัยเทคโนโลยีราชมงคลลุ雎รรณภูมิ ที่ได้อธิบายและอนุมัติการ และอุปกรณ์ในการดำเนินงานวิจัย

## References

- [1] Leelasuphapong, N. (2015). Sesbania Flower Chocolate Balls Product Development. **Ramkhamhaeng Research Journal of Sciences and Technology.** Vol. 18, No. 1, pp. 25-36 (in Thai)
  - [2] Nutrition Division, Department of Health. (2001). **Nutritive Values of Thai Foods.** pp. 24. War Veterans Organization Press, Bangkok, Thailand (in Thai)
  - [3] Tangvarasittichai, S., Sriprang, N., Harnroongroj, T., and Changbumrung, S. (2005). Antimutagenic Activity of *Sesbania javanica* Miq. Flower DMSO Extract and its Major Flavonoid Glycoside. **Southeast Asian Journal of Tropical Medicine and Public Health.** Vol. 36, No. 6, pp. 1543-1551
  - [4] Kijparkorn, S., Plaimast, H., and Wangsoonoen, S. (2010). Sano (*Sesbania javanica* Miq.) Flower as a Pigment Source in Egg Yolk of Laying Hens. **Thai Journal of Veterinary Medicine.** Vol. 40, No. 3, pp. 281-287
  - [5] Parr, A. J. and Bolwell, G. P. (2000). Phenols in the Plant and in Man. The Potential for Possible Nutritional Enhancement of the Diet by Modifying the Phenols Content or Profile. **Journal of the Science of Food and Agriculture.** Vol. 80, No. 7, pp. 985-1012
  - [6] Maestri, D. M., Nepote, V., Lamarque, A. L., and Zygaldo, J. A. (2006). Natural Products as Antioxidants. In **Phytochemistry: Advances in Research.** Imperato F., eds. pp. 105-135. Research Signpost, Kerala, India
  - [7] Tesoriere, L., Allegra, M., Gentile, C., and Livrea, M. A. (2009). Betacyanins as Phenol Antioxidants. Chemistry and Mechanistic Aspects of the Lipoperoxyl Radical-Scavenging Activity in Solution and Liposomes. **Free Radical Research.** Vol. 43, No. 8, pp. 706-717.
- DOI: 10.1080/10715760903037681

- [8] Ignat, I., Volf, I., and Popa, V. I. (2011). A Critical Review of Methods for Characterisation of Polyphenolic Compounds in Fruits and Vegetables. **Food Chemistry**. Vol. 126, pp. 1821-1835. DOI: 10.1016/j.foodchem.2010.12.026.
- [9] Murcia M. A., Jiménez A. M., and Martínez-Tomé M. (2009). Vegetables Antioxidant Losses During Industrial Processing and Refrigerated Storage. **Food Research International**. Vol. 42, No. 8, pp. 1046-1052. DOI: 10.1016/j.foodres.2009.04.012
- [10] AOAC. (2000). **Official Methods of Analysis of the Association of the Official Analysis Chemists**. Arlington: Association of Official Analytical Chemists.
- [11] Maskan, M. (2006). Production of Pomegranate (*Punica granatum* L.) Juice Concentrate by Various Heating Methods: Colour Degradation and Kinetics. **Journal of Food Engineering**. Vol. 72, Issue 3, pp. 218-224
- [12] Wu, L. C., Hsu, H. W., Chen, Y. C., Chiu, C. C., Lin, Y. I., and Ho, J. A. A. (2006). Antioxidant and Antiproliferative Activities of Red Pitaya. **Food Chemistry**. Vol. 95, Issue 2, pp. 319-327. DOI: 10.1016/j.foodchem.2005.01.002
- [13] Mahattanatawhee, K., Manthey, J. A., Luzio, G., Talcott, S. T., Goodner, K., and Baldwin, E. A. (2006). Total Antioxidant Activity and Fiber Content of Select Florida-Grown Tropical Fruits. **Journal of Agricultural and Food Chemistry**. Vol. 54, Issue 19, pp. 7355-7363. DOI: 10.1021/jf060566s
- [14] Lim, Y. Y., Lim, T. T., and Tee, J. J. (2007). Antioxidant Properties of Several Tropical Fruits: A Comparative Study. **Food Chemistry**. Vol. 103, Issue 3, pp. 1003-1008
- [15] Tambe, V. D. and Bhambar, R. S. (2014). Estimation of Total Phenol, Tannin, Alkaloid and Flavanoid in *Hibiscus tiliaceus* Linn. Wood Extracts. **Journal of Pharmacognosy and Phytochemistry**. Vol. 2, Issue 4, pp. 41-47
- [16] Munde-Wagh, K. B., Wagh, V. D., Toshniwal, S. S., and Sonawane B. R. (2012). Phytochemical, Antimicrobial Evaluation and Determination of Total Phenolic and Flavonoid Contents of *Sesbania grandiflora* Flower Extract. **International Journal of Pharmacy and Pharmaceutical Sciences**. Vol. 4, Issue 4, pp. 229-232
- [17] Siritrakulsak, P., Chutichudet, P., Chutichudet, B., Plainsirichai, M., and Boontiang, K. (2013). Antioxidant Activity of Fifteen Edible Flowers in Maha Sarakham Province. **Khon Kaen Agricultural Journal**. Vol. 41, Suppl. 1, pp. 607-611
- [18] Gowri, S. and Vasantha, K. (2010). Antioxidant Activity of *Sesbania grandiflora* (Pink Variety) L. Pers. **International Journal of Engineering Science and Technology**. Vol. 2, No. 9, pp. 4350-4356
- [19] Chu, Y. H., Chang, C. L., and Hsu, H. F. (2000). Flavonoid Content of Several Vegetables and Their Antioxidant Activity. **Journal of the Science of Food and Agriculture**. Vol. 80, Issue 5, pp. 561-566

- [20] Yomsungnoen, Y., Waiprib, Y., Sootanan, R., and Tongta, A. (2010). Effects of Temperature and Velocity of Superheated Steam on Moisture Content and Color of Dried Ginger. **Agricultural Science Journal**. Vol. 41, No. 3/1(Suppl.), pp. 429-432 (in Thai)
- [21] Nadee, A., Tirawanichakul, Y., and Tirawanichakul, S. (2012). Drying Kinetics of Pandanus Leaf by Infrared Radiation Combine Hot Air and Hot Air. **Burapha Science Journal**. Vol. 17, No. 2, pp. 130-138 (in Thai)
- [22] Janhiran, A. and Chirnaksorn, S. (2006). Ginger Drying Using Superheated Steam. In **The 3'd Kasetsart University Kamphaeng Saen Campus Annual Conference**. pp. 11-17 (in Thai)
- [23] Jamradloedluk, J., Nathakaranakule, A., Soponronnarit, S., and Prachayawarakorn, S. (2007). Influences of Drying Medium and Temperature on Drying Kinetics and Quality Attributes of Durian Chip. **Journal of Food Engineering**. Vol. 78, Issue 1, pp. 198-205
- [24] Masiri, P. and Namsanguan, Y. (2007). Effect of Temperature on Color Change of Longan without Stone Undergoing Superheated Steam and Hot Air Drying. **Agricultural Science Journal**. Vol. 38, No. 5, pp. 375-378 (in Thai)
- [25] Stahl, W. and Sies, H. (2003). Antioxidant Activity of Carotenoids. **Molecular Aspects of Medicine**. Vol. 24, No. 6, pp. 345-351
- [26] Choi, Y., Lee, S. M., Chun, J., Lee, H. B., and Lee, J. (2006). Influence of Heat Treatment on the Antioxidant Activities and Polyphenolic Compounds of Shiitake (*Lentinus edodes*) Mushroom. **Food Chemistry**. Vol. 99, No. 2, pp. 381-387
- [27] Nicoli, M. C., Anese, M., Parpinel, M. T., Franceschi, S., and Lerici, C. R. (1997). Loss and/or Formation of Antioxidants During Food Processing and Storage. **Cancer Letters**. Vol. 114, Issue 1-2, pp. 71-74. DOI: 10.1016/S0304-3835(97)04628-4
- [28] Kusznierewicz, B., Smiechowska, A., Bartoszek, A., and Namiesni, J. (2008). The Effect of Heating and Fermenting on Antioxidant Properties of White Cabbage. **Food Chemistry**. Vol. 108, Issue 3, pp. 853-861. DOI: 10.1016/j.foodchem.2007.11.049
- [29] Atanassova, M. and Christova-Bagdassarian, V. (2009). Determination of Tannins Content by Titrimetric Method for Comparison of Different Plant Species. **Journal of the University of Chemical Technology and Metallurgy**. Vol. 44, No. 4, pp. 413-415
- [30] Khasnabis, J., Rai, C., and Roy, A. (2015). Determination of Tannin Content by Titrimetric Method from Different Types of Tea. **Journal of Chemical and Pharmaceutical Research**. Vol. 7, No. 6, pp. 238-241
- [31] Panichakornkul, W. (2016). Effects of Drying Temperatures on Quality of Dried Sesbania Flowers (*Sesbania javacica* Miq) and It's Application in Bread. **VRU Research and Development Journal Science and Technology**. Vol. 11, No. 1, pp. 47-55 (in Thai)



# ผลของการเปลี่ยนแปลงอุณหภูมิในรอบวันต่อการเจริญเติบโตและการผลิตทอกซิน Pir ของเชื้อแบคทีเรีย *Vibrio parahaemolyticus* สายพันธุ์ก่อโรค Acute Hepatopancreatic Necrosis Disease (AHPND) Effect of Diurnal Temperature Change on Growth and Pir Toxin Production of *Vibrio parahaemolyticus* Causing Acute Hepatopancreatic Necrosis Disease (AHPND)

นิอร จิรพงศ์ธรากุล<sup>1\*</sup> อรอนิชา รัตนารณ์<sup>2</sup> พงศ์พันธุ์ แพรกหทอง<sup>1,3</sup> และกิตติชัณม์ อุเทนพันธุ์<sup>1</sup>

Received: May, 2018; Accepted: June, 2018

## บทคัดย่อ

การเพาะเลี้ยงกุ้งขาวของประเทศไทยประสบกับปัญหาโรคระบาด Acute Hepatopancreatic Necrosis Disease (AHPND) ตั้งแต่ปี พ.ศ. 2556 เป็นต้นมา ทำให้ผลผลิตกุ้งขาวลดลงเป็นจำนวนมาก โดยสาเหตุของโรค AHPND คือ การติดเชื้อแบคทีเรีย *Vibrio parahaemolyticus* สายพันธุ์ที่มีพลาสมิดและยีนผลิตทอกซิน Photorhabdus Insect-related (Pir) A และ Pir B ซึ่งมีรายงานวิจัยที่แสดงถึงอิทธิพลของสภาวะแวดล้อมในการเลี้ยงต่อการแพร่ระบาดของโรค การวิจัยนี้มุ่งเน้นศึกษารูปแบบการเปลี่ยนแปลงอุณหภูมิของน้ำในบ่อเลี้ยงกุ้งขาวในรอบวัน รวมถึงผลกระทบของการเปลี่ยนแปลงอุณหภูมิในรอบวันต่อการเจริญเติบโตของเชื้อ *V. parahaemolyticus* สายพันธุ์ก่อโรค AHPND จากผลการสำรวจอุณหภูมน้ำในรอบวันในบ่อเลี้ยงกุ้งขาวจังหวัดนครศรีธรรมราช ในปี พ.ศ. 2560 สามารถแบ่งการเปลี่ยนแปลงอุณหภูมิในรอบวันเป็น 3 รูปแบบ ได้แก่ (1) การเปลี่ยนแปลงในช่วงอุณหภูมิปกติ (24 - 30 °C) (2) การเปลี่ยนแปลง

<sup>1</sup> Faculty of Agriculture, Rajamangala University of Technology Srivijaya

<sup>2</sup> Faculty of Science, Prince of Songkla University

<sup>3</sup> Pak Panang Basin Royal Fisheries Development Center

\* Corresponding Author E-mail Address: nim\_nion@hotmail.com

ในช่วงอุณหภูมิต่ำ ( $22 - 27^{\circ}\text{C}$ ) และ (3) การเปลี่ยนแปลงในช่วงอุณหภูมิผันแปร ( $22 - 30^{\circ}\text{C}$ ) และเมื่อเลี้ยงเชื้อ *V. parahaemolyticus* ภายใต้อุณหภูมิต่าง ๆ ทั้ง 3 รูปแบบต่อเนื่องเป็นเวลา 24 ชั่วโมง เพื่อเปรียบเทียบการเจริญเติบโตและอัตราการเจริญจำเพาะพบว่า การเจริญเติบโตของแบคทีเรียไม่มีความแตกต่าง ในขณะที่อัตราการเจริญจำเพาะมีความแตกต่างกัน และช่วงอุณหภูมิผันแปรโดยเฉพาะช่วงที่มีอุณหภูมิแตกต่างกัน  $3^{\circ}\text{C}$  ล่งผลให้แบคทีเรียมีอัตราการเจริญจำเพาะสูงสุด นอกจากนี้ผลการศึกษาโดยตีน รวมถึงทอกซิน Pir A และ Pir B ในน้ำเลี้ยงเชื้อ *V. parahaemolyticus* ที่เลี้ยงภายใต้อุณหภูมิต่าง ๆ ด้วยวิธี SDS-PAGE พบว่าการเปลี่ยนแปลงอุณหภูมิส่งผลต่อการเจริญเติบโต การสร้างสารพิษ และอาจรวมถึงความสามารถในการก่อโรคของเชื้อ *V. parahaemolyticus* สายพันธุ์ก่อโรค AHPND ผลที่ได้ถือเป็นองค์ความรู้สำคัญสำหรับการจัดการระบบการเลี้ยงหรือการจัดการฟาร์มกุ้งเพื่อลดความสูญเสียจากโรค AHPND

**คำสำคัญ :** โรค Acute Hepatopancreatic Necrosis Disease (AHPND); แบคทีเรีย *Vibrio parahaemolyticus*; การเปลี่ยนแปลงอุณหภูมิในรอบวัน; ทอกซิน Photorhabdus insect-related (Pir); อัตราการเจริญจำเพาะ

## Abstract

The culture of white shrimp (*Litopenaeus vannamei*) in Thailand has encountered an acute hepatopancreatic necrosis disease (AHPND) since 2013 resulting in a devastating reduction of white shrimp production. The infection of *Vibrio parahaemolyticus* of which strains carrying plasmids with the genes encoding the Photorhabdus insect-related (Pir) A toxin and Pir B toxin are considered as a cause of this epidemic disease. Recently, a number of environmental factors have been reported to influence the spread of disease. This research work aimed to study the variation patterns of water temperature in white shrimp culturing pond throughout the day and night. The effect of the diurnal temperature change on the growth of AHPND-causing *V. parahaemolyticus* was also determined. After collecting the data of water temperature in white shrimp culturing ponds in 2017, we classified the temperature variation patterns into 3 major groups; (1) normal temperature range ( $24 - 30^{\circ}\text{C}$ ), (2) low temperature range ( $22 - 27^{\circ}\text{C}$ ) and (3) fluctuating temperature range ( $22 - 30^{\circ}\text{C}$ ). These 3 diurnal temperature patterns were set to continually culture *V. parahaemolyticus* strain causing AHPND for 24 h and the comparative analysis of bacterial growth and specific growth rate was performed. The results showed that the bacterial growths were similar while the specific growth rates were different. The fluctuating temperature range especially that of the variation range of  $3^{\circ}\text{C}$  caused the greatest specific growth rate. Moreover, the produced proteins including Pir A and Pir B toxins in the bacterial culture media in 3 temperature patterns were also determined via SDS-PAGE. The obtained results suggested that the temperature change could affect the growth and toxin production as well as involve in

pathogenicity of AHPND-causing *V. parahaemolyticus*. This knowledge leads to the cultural and farm management practices to efficiently reduce losses caused by the AHPND.

**Keywords:** Acute Hepatopancreatic Necrosis Disease (AHPND); *Vibrio parahaemolyticus*; Diurnal Temperature Change, *Photorhabdus* Insect-related (Pir) Toxin, Specific Growth Rate

## บทนำ

ข้อมูลทางวิทยาศาสตร์รวมถึงบทความทางวิชาการต่าง ๆ ในปัจจุบันได้มีการรายงานถึงการเปลี่ยนแปลงภูมิอากาศและอุณหภูมิของโลกร่วมถึงผลกระทบที่น่าจะเกิดขึ้นในหลายมิติ [1] นำไปสู่การพัฒนาและศึกษาถึงผลกระทบต่าง ๆ อย่างจริงจังโดยเฉพาะอย่างยิ่งในด้านการผลิตอาหาร เนื่องจากอาหารเป็นปัจจัยสำคัญของการดำรงชีวิตของประชากรโลก ซึ่งการเพาะเลี้ยงสัตว์น้ำเป็นกิจกรรมหนึ่งที่ได้รับผลกระทบจากการเปลี่ยนแปลงภูมิอากาศ เพราะส่วนใหญ่ยังเป็นต้องเลี้ยงกลางแจ้ง สัมผัสกับลิ่งแวดล้อมโดยตรง ซึ่งปัจจัยลิ่งแวดล้อมถือเป็นปัจจัยที่ก่อให้เกิดความเครียดที่สำคัญ และมีอิทธิพลต่อสัตว์น้ำ โดยมีผลกระทบมากต่อการเจริญเติบโตและสภาวะภูมิคุ้มกันของสัตว์น้ำ

หนึ่งในการเพาะเลี้ยงสัตว์น้ำที่เป็นอาชีวสำคัญของเกษตรกรไทยคือ การเพาะเลี้ยงกุ้งขาว (*Litopenaeus vannamei*) จากสถิติของกรมประมงในปี พ.ศ. 2558 พบว่าปริมาณการเพาะเลี้ยงรวมถึงผลผลิตของกุ้งขาวคิดเป็นมากกว่า 90 % ของกุ้งทั้งหมดที่เลี้ยงในประเทศไทย [2] อย่างไรก็ตาม ในช่วงปี พ.ศ. 2555 - 2556 ได้มีอุบัติการณ์ของโรคสำคัญในกุ้งขาวที่เพาะเลี้ยงในประเทศไทย คือ โรค Acute Hepatopancreatic Necrosis Disease (AHPND) ซึ่งแรกเริ่มให้ชื่อโรคนี้ว่า Early Mortality Syndrome (EMS) จากสภาพของกุ้งที่ตายอย่างรวดเร็ว [3] - [4] โรค AHPND ทำให้เกิดการสูญเสียด้านผลผลิตกุ้ง และผลกระทบต่ออุตสาหกรรมที่เกี่ยวข้องอย่างมาก โดยสาเหตุของโรคนี้เกิดจากกุ้งติดเชื้อแบคทีเรีย *Vibrio parahaemolyticus* สายพันธุ์ที่มีพลาสมิดและยีนผลิตพอกซิน *Photorhabdus* Insect-related (Pir) A และ Pir B หรืออาจเรียกพอกซินนี้ว่า Tox A และ Tox B [3], [5] - [7] ซึ่งในปัจจุบันมีการศึกษาวิจัยที่มุ่งเน้นในการจัดการและควบคุมโรค AHPND ในหลายแง่มุม เช่น การจัดการฟาร์มและบ่อเลี้ยง ระบบบำบัดน้ำเสีย การควบคุมคุณภาพน้ำ การจัดการอาหาร และลูกพันธุ์กุ้งที่มีคุณภาพ [8] - [9] ชนิดและสายพันธุ์ของแบคทีเรียในบ่อเลี้ยงและในตัวกุ้งที่เป็นโรค [10] รวมถึงการพัฒนาการตรวจสอบมาตรฐานตามแบบที่เรียกและพลาสมิดที่เกี่ยวข้องกับการเกิดโรค [5] - [6], [11] ในขณะที่การศึกษาถึงผลกระทบของลิ่งแวดล้อมต่อการเกิดโรค ลักษณะพกพา และชนิด/จำนวนจุลทรรศน์ จะให้ความสำคัญที่คุณภาพน้ำ pH และตะกอนดิน [12] - [13] แต่ผลกระทบของอุณหภูมิโดยเฉพาะการเปลี่ยนแปลงอุณหภูมิขึ้นลงในสภาวะการเลี้ยงกุ้งต่อการเจริญเติบโตและความรุนแรงของเชื้อ *V. parahaemolyticus* ที่ทำให้เกิดโรคนี้ยังมีน้อยมาก แม้ว่าจะมีการรายงานถึงการณ์เปลี่ยนแปลงอุณหภูมิของโลกที่ชัดเจนมาก

Lafferty, K. D. รายงานถึงผลของการเปลี่ยนแปลงอุณหภูมิต่ออุบัติการณ์ของโรคหลายชนิด [14] ซึ่งผลของอุณหภูมิต่อการเกิดโรคอาจเกิดจากผลกระทบของการเปลี่ยนแปลงอุณหภูมิต่อการลดลงของระดับภูมิคุ้มกันในสัตว์น้ำ [15] รวมถึงกระบวนการให้เชื้อ ก่อโรคสร้างโปรตีนที่เกี่ยวข้องกับความรุนแรงต่าง ๆ เช่น เชื้อแบคทีเรีย *Aeromonas* spp. ซึ่งสามารถเจริญได้ระหว่างอุณหภูมิ 4 - 42 °C พนว่าการเปลี่ยนแปลง

ของอุณหภูมิมีผลกระตุ้นการผลิตโปรตีนความรุนแรงของเชื้อ *Aeromonas spp.* [16] นอกจากนี้ Guerreiro, I. et al. ได้แสดงให้เห็นว่าโปรตีนที่เกี่ยวข้องกับความรุนแรงของเชื้อแบคทีเรีย เช่น Serin-metalloprotease, S-layer และ flagellins มีการเปลี่ยนแปลงปริมาณการแสดงออกตามปัจจัย อุณหภูมิ [15] ในขณะที่ผลของอุณหภูมิต่อการเจริญเติบโตและความรุนแรงของเชื้อแบคทีเรียสกุล *Vibrio* ยังจำกัดอยู่ในแต่ละช่วงของการปนเปื้อนในอาหาร โดยเฉพาะอาหารทะเล หรือศึกษาในสายพันธุ์ก่อโรค ที่จะส่งผลต่อสุขภาพของมนุษย์โดยตรง [17] - [20] แต่ยังไม่มีการรายงานถึงผลของอุณหภูมิหรือ การเปลี่ยนแปลงอุณหภูมิต่อเชื้อ *Vibrio spp.* ที่เกี่ยวข้องกับการเพาะเลี้ยงสัตว์น้ำ

จากสภาวะภูมิอากาศทางภาคใต้ในปัจจุบัน พบว่ามีการเปลี่ยนแปลงอุณหภูมิอย่างกะทันหัน อยู่เป็นประจำ และแตกต่างกันข้างซ้ายขวาในแต่ละช่วงฤดู ซึ่งภูมิอากาศในภาคใต้จะแบ่งเป็น 3 ช่วงหลัก ๆ คือ ช่วงฤดูร้อน ที่อากาศร้อนตลอดทั้งวันซึ่งจัดเป็นช่วงอุณหภูมิปกติ ช่วงฤดูฝนที่มีฝนตกตลอดทั้งวัน และมีอุณหภูมิค่อนข้างต่ำในรอบวัน และช่วงที่มีฝนตกสลับกับแดดออก ซึ่งแบบสุดท้ายนี้จะสังเกตได้ว่า อุณหภูมิในรอบวันมีการเปลี่ยนแปลงกะทันหันหรือผันแปรอย่างชัดเจน ดังนั้น การศึกษาร้อนนี้ได้ทำการ สำรวจและเก็บข้อมูลอุณหภูมน้ำในบ่อเลี้ยงกุ้งขาวในรอบวัน ในปี พ.ศ. 2560 เพื่อให้ได้ข้อมูลที่แท้จริง โดยสำรวจในบ่อเลี้ยงกุ้งขาวเขตอ่าวເກອປາກພັນ້ງ และอ่าวເກອຫວາໄທ จังหวัดนครศรีธรรมราช ซึ่งเป็น บริเวณหลักแห่งหนึ่งของการเลี้ยงกุ้งขาวในภาคใต้ และนำข้อมูลอุณหภูมิที่เปลี่ยนแปลงในรอบวันที่แตกต่างกัน 3 รูปแบบ มาทำการออกแบบโปรแกรมกำหนดอุณหภูมิในการเลี้ยงเชื้อ *V. parahaemolyticus* สายพันธุ์ที่ทำให้เกิดโรค AHPND เพื่อศึกษาถึงผลของการเปลี่ยนแปลงอุณหภูมิต่อการเจริญเติบโตของเชื้อ *V. parahaemolyticus* ที่เลี้ยงในหลอดทดลอง (*in vitro*) และติดตามการเจริญเติบโตและอัตราการเจริญ จำเพาะของแบคทีเรีย โดยในการศึกษาร้อนนี้ได้ทำการติดตามแบบ Real-Time คือ วัดค่า Optical Density แบบอัตโนมัติอย่างต่อเนื่องในระหว่างการเลี้ยงโดยไม่ต้องทำการหยุดเครื่องเพื่อเก็บตัวอย่าง มากินคระท์ และสามารถวัดค่าได้ทุก ๆ 10 นาที ซึ่งเป็นเทคโนโลยีใหม่ที่ทำให้การเก็บผลมีความละเอียดสูงขึ้น อีกทั้งยังลดความเสี่ยงต่อการปนเปื้อน (Contamination) ระหว่างการสัมเก็บตัวอย่างมากินคระท์ นอกจากนี้ยังได้ทำการศึกษาโปรดีนในน้ำเลี้ยงของเชื้อ *V. parahaemolyticus* ที่เลี้ยงในช่วงอุณหภูมิที่ได้ จากการเลียนแบบอุณหภูมน้ำในบ่อเลี้ยงจริง โดยวัดปริมาณโปรดีนและศึกษารูปแบบโปรดีนในน้ำเลี้ยง เชื้อแบคทีเรียมีอิสสุกสุดการเลี้ยง ผลที่ได้จากการศึกษานี้จะเติมเต็มองค์ความรู้สำคัญสำหรับการจัดการ ระบบการเลี้ยงหรือการจัดการฟาร์มกุ้งเพื่อลดความสูญเสียจากโรค AHPND

## วัสดุ อุปกรณ์ และวิธีการ

### 1. การเก็บข้อมูลอุณหภูมน้ำในรอบวันในบ่อเลี้ยงกุ้งขาว

การเก็บข้อมูลอุณหภูมน้ำในรอบวันในบ่อเลี้ยงกุ้งขาว โดยเก็บจากบ่อในพื้นที่อ่าวເກອປາກພັນ້ງ และอ่าวເກອຫວາໄທ จังหวัดนครศรีธรรมราช จำนวนพื้นที่ละ 1 บ่อต่อฤดูกาล จำนวน 3 ฤดูกาล คือ ฤดูร้อน ระหว่างเดือนมกราคม - เมษายน จัดเป็นการเปลี่ยนแปลงในช่วงอุณหภูมิปกติ การเปลี่ยนฤดูกาล ระหว่างเดือนพฤษภาคม - สิงหาคม หรือช่วงอุณหภูมิพื้นแปร และฤดูฝนระหว่างเดือน กันยายน - ธันวาคม หรือช่วงอุณหภูมิต่ำ โดยเลือกเก็บข้อมูลอุณหภูมิในน้ำด้วยเครื่องบันทึกข้อมูล อุณหภูมิอัตโนมัติ รุ่น 175 T2 (Testo) กำหนดการบันทึกข้อมูลอากาศและน้ำทุก 10 นาที จากนั้นทอยใน

ระหว่างการเลี้ยงกุ้งขาว โดยเก็บข้อมูลตลอดระยะเวลา 1 รอบการเลี้ยงกุ้ง (80 - 116 วัน) จำนวนเลือกข้อมูลอุณหภูมน้ำในรอบวันที่มีสภาวะอากาศตามข้อกำหนดของแต่ละฤดูกาล (อ้างอิงอุณหภูมิอากาศจากข้อมูลสำรวจที่บันทึกโดยสถานีตรวจอากาศศูนย์อุตุฯ) คือ

- ฤดูร้อน ต้องไม่พบฝนตกและอุณหภูมิอากาศในช่วงระหว่าง 26 ถึงมากกว่า 34 °C
- การเปลี่ยนฤดูร้อนเข้าสู่ฤดูฝน ต้องมีฝนตกในวันนั้น ๆ และอุณหภูมิอากาศระหว่าง 24 ถึงมากกว่า 34 °C
- ฤดูฝน ต้องมีอุณหภูมิอากาศระหว่าง 22 ถึงไม่เกิน 32 °C

โดยในแต่ละฤดูกาลได้ทำการสุ่มเลือกวันตามข้อกำหนดของอุณหภูมิอากาศ จำนวน 20 วันต่อปี โดยนำข้อมูลอุณหภูมน้ำที่มีความซ้ำกันจากการสุ่มวันที่มีสภาวะอากาศตามที่กำหนดข้างต้นในแต่ละฤดูกาล จำนวน 10 วันต่อปี ( $n = 20$ ) มาคำนวณค่าเฉลี่ยของอุณหภูมิในทุกชั่วโมงตั้งแต่เวลา 07.00 - 06.00 น. ของวันรุ่งขึ้น

## 2. การแยกเชื้อแบคทีเรีย *V. parahaemolyticus* สายพันธุ์ก่อโรค AHPND

นำตัวอย่างกุ้งขาวที่แสดงอาการของโรค AHPND โดยมีลักษณะไม่ตอบสนองต่อจิ้งเร้า ตับ (Hepatopancreas) มีสีดีดและหดตัว ไม่มีอาหารในลำไส้ [21] มาแยกแบคทีเรียจากตับ โดยวิธี Streak Plate บนอาหาร Thiosulfate Citrate Bile-Salts Sugar (TCBS, Difco) และนำไปบ่มที่อุณหภูมิ 30 °C เป็นเวลา 18 - 24 ชั่วโมง เมื่อครบเวลาทำการสุ่มเลือกโคลนแบคทีเรียสีเขียวบนรุ่นอาหาร TCBS จำนวน 10 โคลน สายพันธุ์เขียวบนอาหาร Crome (HiCrome™ Vibrio Agar, HiMedia) โดยโคลนที่เข็นบนอาหาร Crome มีสีเขียวปนน้ำเงิน (Bluish-Green) ซึ่งยืนยันเบื้องต้นว่าเชื้อแบคทีเรียที่เลือกมาเป็น *V. parahaemolyticus* หลังจากนั้นนำเข้าแช่ต่ำลงในอาหาร Tryptic Soy Broth (TSB, Difco) ที่เติม 1.5 % (w/v) NaCl (อาหาร TSB<sup>+</sup>) นำไปเลี้ยงโดยขยายด้วยความเร็วรอบ 200 rpm ที่อุณหภูมิ 30 °C เป็นเวลา 18 ชั่วโมง และปั่นให้ยิ่งด้วยความเร็วรอบ 10,000 rpm ที่อุณหภูมิ 4 °C เพื่อแยกอาเจพะ เชลล์แบคทีเรียสำหรับสกัด DNA ซึ่งสกัด DNA โดยใช้ DNAzol® reagent (Invitrogen) หลังจากนั้นตรวจสอบปริมาณและคุณภาพของ DNA ที่สกัดได้ด้วยการวัดค่าการดูดกลืนแสง  $A_{260}$  และ  $A_{260/280}$

ทำการตรวจสอบว่าแบคทีเรียทั้ง 10 โคลนที่สุ่มเลือกมาเป็น *V. parahaemolyticus* สายพันธุ์ก่อโรค AHPND โดยการทำ Multiplex PCR ด้วย Specific Primers ที่จำเพาะต่อเชื้อ *V. parahaemolyticus* พลาสมิด และยืน Pir ตามวิธีตรวจสอบมาตรฐานของกรมประมง (ตรวจสอบเชื้อ *V. parahaemolyticus* สายพันธุ์ EMS/AHPND) โดยมีรายละเอียด Primer และสารในการทำปฏิกิริยา multiplex PCR ดังแสดงในตารางที่ 1 และ 2

ทำการเพิ่มปริมาณ DNA ด้วยเครื่อง T100™ Thermal Cycler (Bio-Rad) โดยโปรแกรมในการทำ PCR อ้างอิงตามมาตรฐานวิธีการตรวจของกรมประมง คือ Initial Denaturation ที่ 94 °C เป็นเวลา 3 นาที ตามด้วยการทำปฏิกิริยาจำนวน 29 รอบ Denaturation ที่อุณหภูมิ 94 °C เวลา 30 วินาที Annealing ที่ 60 °C 30 วินาที และ Extension ที่ 72 °C 30 วินาที และ Final Extension ที่ 72 °C 5 นาที จำนวนนำ PCR Products ที่ได้ไปแยกด้วย 1.5 % (w/v) Agarose Gel Electrophoresis

## 3. การเตรียมเชื้อ *V. parahaemolyticus* สำหรับทดสอบ

เตรียมหัวเชื้อ *V. parahaemolyticus* สายพันธุ์ก่อโรค AHPND จำนวน 1 ໄอโซเลท โดยรีวิมจากเลี้ยงบนอาหาร TSA<sup>+</sup> บ่มที่ 30 °C เป็นเวลา 18 ชั่วโมง และแตะเชื้อ 1 ลูป มาเลี้ยงในอาหาร

TSB<sup>+</sup> ปริมาตร 1 mL เขย่าที่ความเร็วรอบ 200 rpm ที่อุณหภูมิ 30 °C เป็นเวลา 24 ชั่วโมง แล้วขยายเป็น 10 mL ในหลอดเชนติพิวจ์ขนาด 15 mL ด้วยลักษณะการเลี้ยงเช่นเดียวกับวิธีข้างต้น หลังจากนั้นขยายปริมาตรการเลี้ยงโดยนำหัวเข้าบีร์มาตอร์ 2 mL ผสมกับอาหาร TSB<sup>+</sup> 14 mL และน้ำเกลือ 1.5 % (w/v) NaCl 14 mL แล้วนำไปเลี้ยงในเครื่อง RTS-1C Personal Bioreactor (Biosan) สำหรับศึกษาการเจริญเติบโตของเชื้อแบคทีเรียต่อไป

#### 4. การศึกษาการเจริญเติบโตของเชื้อ *V. parahaemolyticus* ที่อุณหภูมิต่าง ๆ

ศึกษาการเจริญเติบโตของเชื้อ *V. parahaemolyticus* โดยเลี้ยงเชื้อแบคทีเรียจากข้อ 3. ในเครื่อง RTS-1C Personal Bioreactor (Biosan) ที่ตั้งโปรแกรมอุณหภูมิ 3 รูปแบบ คือ (1) การเปลี่ยนแปลงในช่วงอุณหภูมิปกติ (2) ช่วงอุณหภูมิต่ำ และ (3) ช่วงอุณหภูมิผันแปร (รูปแบบอุณหภูมิและช่วงการเปลี่ยนแปลง อุณหภูมิ ออกแบบตามข้อมูลอุณหภูมิในรอบวัน) ช่วงโปรแกรมละ 3 ชั่วโมงโดยกำหนดให้เครื่องอ่านค่า Optical Density (แปลผลลับเป็นปริมาณแบคทีเรีย) ทุก ๆ 10 นาทีต่อเนื่องเป็นเวลา 24 ชั่วโมง และแสดงผลเป็นการเจริญเติบโต (Growth Curve) และอัตราการเจริญจำเพาะ (Specific Growth Rate)

ตารางที่ 1 Primer ที่ใช้ในการทำ Multiplex PCR

Primer Name	Primer Sequence (5' to 3')	Target	PCR Product	References
Vp.flaE-79F	5'-GCAGCTGATCAAAACGTTGAGT-3'	<i>V. parahaemolyticus</i>	897 bp	[21]
Vp.flaE-934R	5'-ATTATCGATCGTGCCACTCAC-3'			
TUMSAT-Vp1F	5'-CGCAGATTGCTTTGTGAA-3'	Plasmid (pVA1)	500 bp	[11]
TUMSAT-Vp1R	5'-AGAACGCTGGCCGAAGTGATA-3'			
TUMSAT-Vp3F	5'-GTGTTGCATAATTTGTGCA-3'	Pir toxin	360 bp	[11]
TUMSAT-Vp3R	5'-TTGTACAGAAACCACGACTA-3'			

ตารางที่ 2 สารเคมีในการทำปฏิกิริยา Multiplex PCR

PCR components	Volume ( $\mu$ L)/ Reaction	Final concentration
DNA free water	5.60	
2X KAPA2G Fast Multiplex Mix (Sigma-Aldrich)	10.00	1X (contains 3 mM MgCl <sub>2</sub> )
10 $\mu$ M F/R Mix Primer (Vp.flaE, Vp1, Vp3)	2.40	0.2 $\mu$ M each
DNA template	2.00	
Total	20.00	

## 5. การวิเคราะห์โปรตีนในน้ำเลี้ยงเชื้อ *V. parahaemolyticus*

### 5.1 การเตรียมน้ำเลี้ยงเชื้อ *V. parahaemolyticus*

หลังจากเลี้ยงเชื้อ *V. parahaemolyticus* ในอุณหภูมิทั้ง 3 รูปแบบ โดยมีอัตรา TSB<sup>+</sup> ผสมกับ 1.5 % (w/v) NaCl ในอัตราร่วม 1:1 เป็นชุดควบคุม (Negative Control) เพื่อตรวจสอบ การปนเปื้อนและรูปแบบโปรตีนของอาหารเลี้ยงเป็นเวลา 24 ชั่วโมง แยกเซลล์ออกโดยน้ำเลี้ยงเชื้อ ไปปั่นเหวี่ยงที่ความเร็วรอบ 10,000 rpm ที่อุณหภูมิ 4 °C เป็นเวลา 10 นาที แล้วนำเฉพาะส่วนใส่ที่ได้กรองผ่าน Whatman® filter syringe เมมเบรนขนาดรูพรุน 0.45 μm (GE Healthcare) โดยทำวิธีเดียวกันนี้กับอาหารเลี้ยงเชื้อในชุดควบคุม หลังจากนั้นเก็บน้ำเลี้ยงที่ปลดล็อกเชื้อแบคทีเรียไว้ที่ -20 °C (แบ่งน้ำเลี้ยง (Aliquot) ออกเป็นส่วน ๆ เพื่อหลีกเลี่ยงการ Freeze-Thaw)

### 5.2 การวัดปริมาณโปรตีน

วัดปริมาณโปรตีนในน้ำเลี้ยงเชื้อทุกตัวอย่างรวมถึงอาหารเลี้ยงเชื้อชุดควบคุมด้วยวิธี แบรดฟอร์ด [22] โดยผสมสารละลายแบรดฟอร์ดกับตัวอย่างน้ำเลี้ยง บ่มที่อุณหภูมิห้องนาน 10 นาที จากนั้นนำวัดค่าการดูดกลืนแสงที่ความยาวคลื่น 595 nm คำนวณทบทวนปริมาณโปรตีนในตัวอย่างน้ำเลี้ยง โดยเปรียบเทียบกับกราฟมาตรฐานสารละลาย Bovine Serum Albumin (BSA)

### 5.3 การวิเคราะห์รูปแบบโปรตีนในน้ำเลี้ยงเชื้อ

ทำการวิเคราะห์โปรตีนที่เชื้อ *V. parahaemolyticus* ผลิตและหลังออกมาน้ำเลี้ยงเชื้อ และอาหารเลี้ยงเชื้อชุดควบคุม ด้วยวิธีเพลลิโอลิอะคริลามิดเจลอิเล็กโทรฟอริซึสแบบแปลงสภาพ หรือ Sodium Dodecyl Sulfate-Polyacrylamide Gel Electrophoresis (SDS-PAGE) (ดัดแปลงจากวิธีของ [23]) โดยเตรียมน้ำเลี้ยงเชื้อ *V. parahaemolyticus* และอาหารชุดควบคุม ผสมกับ Sample Buffer ที่มี β-mercaptoethanol เป็นองค์ประกอบ ทำการแยกโปรตีนด้วยเจลที่มีความเข้มข้น 12.5 % และให้กระแสไฟ 100 โวลต์ เป็นเวลาประมาณ 45 นาที (หรือจน Tracking Dye เคลื่อนที่ไปจนถึงขอบล่างของแผ่นเจล) แล้วข้อมูลแบบโปรตีนบนแผ่นเจลด้วยสี Coomassie Brilliant Blue และเปรียบเทียบขนาดของแอบโปรตีนด้วยโปรตีนมาตรฐานที่ทราบน้ำหนักโมเลกุล (Low Molecular Weight Calibration kit for SDS Electrophoresis, GE Healthcare)

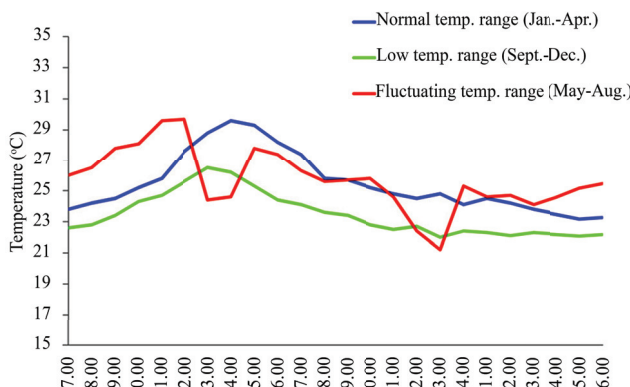
## ผลการวิจัยและอภิปรายผล

### 1. อุณหภูมิของน้ำในบ่อเลี้ยงกุ้งขาวในรอบวัน

การศึกษาการเปลี่ยนแปลงอุณหภูมน้ำในรอบวันในบ่อเลี้ยงกุ้งขาวเขตพื้นที่จังหวัดนครศรีธรรมราช ที่เป็นตัวแทนแต่ละถุกุลจากการกำหนดสภาวะอากาศ (รายละเอียดในวัสดุ อุปกรณ์ และวิธีการ ข้อ 1.) ผู้วิจัยทำการเก็บข้อมูลในช่วงเวลา 07.00 - 06.00 น. ของวันใหม่ เนื่องจากเป็นช่วงเวลาการทำงานของเกษตรกรผู้เลี้ยงกุ้ง ผลการวิจัยแสดงคงให้เห็นว่า อุณหภูมน้ำในบ่อเลี้ยงกุ้งขาวที่เก็บข้อมูลในช่วงถุกุลซึ่งมีสภาวะอากาศปกติมีค่าต่ำสุดที่ 23.2 °C และสูงสุดที่ 29.6 °C (อุณหภูมิน้ำระหว่าง 24 - 30 °C) โดยในช่วงเวลาระหว่าง 07.00 - 14.00 น. ของรอบวันมีอุณหภูมน้ำเพิ่มสูงขึ้นอย่างต่อเนื่องและเพิ่มขึ้นอย่างรวดเร็วในช่วง 11.00 - 14.00 น. หลังจากเวลา 14.00 น. อุณหภูมน้ำจะลดลงอย่างต่อเนื่อง และลดลงต่ำสุดที่อุณหภูมิ 24±1 °C ระหว่างช่วงเวลา 21.00 - 09.00 น. ของวันใหม่

ช่วงอุณหภูมิผันแปรระหว่างเปลี่ยนฤดูกาลจากฤดูร้อนสู่ฤดูฝน มีอุณหภูมน้ำในบ่อเลี้ยงกุ้งขาว ต่ำสุดที่  $21.2^{\circ}\text{C}$  และสูงสุดที่  $29.7^{\circ}\text{C}$  แต่พบการลดลงอย่างรวดเร็วของอุณหภูมน้ำจากฝนตก และอุณหภูมน้ำจะเพิ่มสูงขึ้น  $3 - 4^{\circ}\text{C}$  หลังจากฝนหยุดตก (อุณหภูมน้ำระหว่าง  $22 - 30^{\circ}\text{C}$ ) ในขณะที่ฤดูฝนซึ่งน้ำในบ่อเลี้ยงกุ้งขาวมีอุณหภูมิต่ำจะมีอุณหภูมน้ำต่ำสุดที่  $22.1^{\circ}\text{C}$  และสูงสุดที่  $26.5^{\circ}\text{C}$  (อุณหภูมน้ำระหว่าง  $22 - 27^{\circ}\text{C}$ ) โดยมีรูปแบบการเปลี่ยนแปลงอุณหภูมิในรอบวันใกล้เคียงกับฤดูกาล แต่อุณหภูมน้ำต่ำกว่า  $1 - 3^{\circ}\text{C}$  (รูปที่ 1) ซึ่งจากการเก็บข้อมูลสถิติการเกิดโรค AHPND สังเกตว่าในช่วงการเลี้ยงแต่ละรอบ สภาพอากาศในช่วงเวลาที่มีการพันแพรของอุณหภูมิในรอบวัน จะมีโอกาสพบการแพร่ระบาดของโรค AHPND มากกว่า

แม้ว่าช่วงอุณหภูมิในรอบวันจะใกล้เคียงกัน แต่เป็นที่น่าสังเกตว่ารูปแบบการเปลี่ยนแปลงอุณหภูมิมีความแตกต่างกันค่อนข้างชัดเจน โดยเฉพาะช่วงอุณหภูมิผันแปรที่มีการขึ้นลงมากกว่า 1 ครั้ง ในรอบวันและพบการเปลี่ยนแปลงอุณหภูมิขึ้นลงอย่างฉับพลัน ดังนั้นข้อมูลอุณหภูมิที่ได้จึงถูกนำมาใช้ อ้างอิงในการศึกษาผลของการเปลี่ยนแปลงอุณหภูมิในรอบวัน (เปรียบเทียบในรูปแบบช่วงการเปลี่ยนแปลง อุณหภูมิที่แตกต่างกัน) ต่อการเจริญเติบโตและการผลิตโปรตีนของเชื้อ *V. parahaemolyticus* สายพันธุ์ ก่อโรค AHPND ในห้องปฏิบัติการ

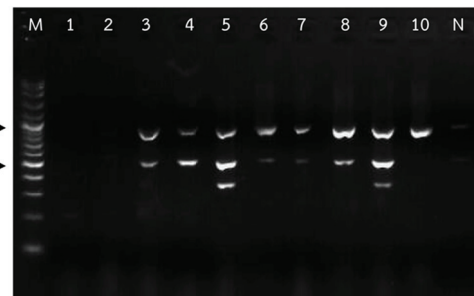


รูปที่ 1 อุณหภูมน้ำในบ่อเลี้ยงกุ้งขาวในรอบวันจากบ่อเลี้ยงกุ้งขาวในจังหวัดนครศรีธรรมราช ในปี พ.ศ. 2560

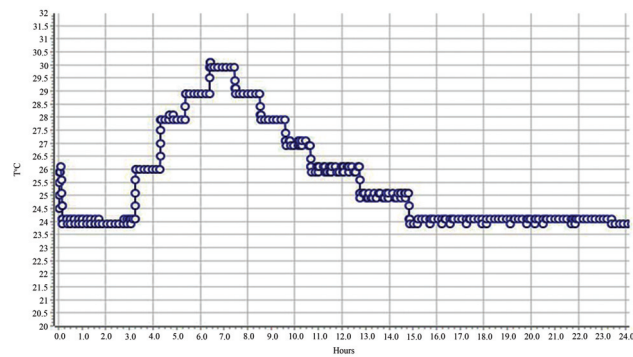
## 2. การตรวจสอบเชื้อ *V. parahaemolyticus* สายพันธุ์ก่อโรค AHPND

ในการตรวจสอบเชื้อ *V. parahaemolyticus* สายพันธุ์ก่อโรค AHPND ด้วยวิธี Multiplex PCR โดยใช้ primer 3 คู่ที่จับตำแหน่งจำเพาะต่างกันและเพิ่มจำนวน DNA ในตำแหน่งต่าง ๆ โดยแยกขนาด 890 bp เกิดจากการเพิ่มจำนวนด้วยการจับจำเพาะของคู่ primer Vp.flaE ซึ่งจำเพาะต่อแบคทีเรีย *V. parahaemolyticus* [21] ในขณะที่แยกขนาด 500 bp เกิดจากการจับจำเพาะของคู่ primer TAMSAT-Vp1 โดยแยกที่ปราศจากแสเดงลิงการมีอยู่ของพลาสมิด pVA1 ซึ่งมีรายงานว่าเป็นพลาสมิดที่เกี่ยวข้องกับโรค AHPND (AHPND-Associated Plasmid) โดยพลาสมิดสามารถส่งผ่านตัวเองไปยังเซลล์อื่น ๆ (Self-Transmissible Plasmid) เนื่องจากมีกลุ่มยืน Conjugative Transfer และ Plasmid Mobilization [24] และแยก DNA ขนาด 360 bp ที่ได้จากการจับจำเพาะของคู่ primer TAMSAT-Vp3 จะแสดงถึงการมีอยู่ของยีน Pir [11] ดังนั้น ผลบวกที่จะแสดงว่าเชื้อ *V. parahaemolyticus* ที่ทดสอบเป็นสายพันธุ์ก่อโรค AHPND จะต้องปราศจากแสเดงลิง DNA ทั้ง 3 แถบข้างต้น

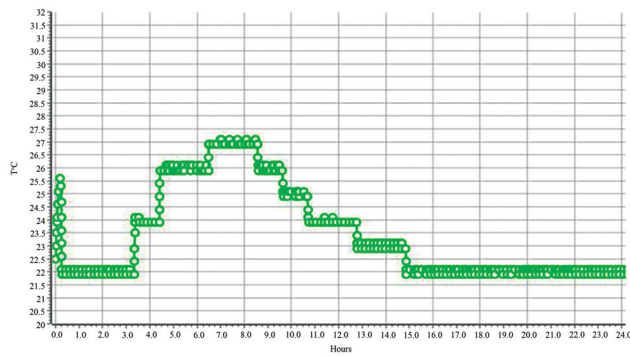
เมื่อตรวจสอบเชื้อ *V. parahaemolyticus* ที่แยกได้จากตับของกุ้งขาวป่วยที่แสดงอาการของโรค AHPND จำนวน 10 ไอโซเลท ด้วยวิธี Multiplex PCR (รูปที่ 2) พบว่ามีเพียง 2 ไอโซเลทที่มีเอน DNA ครบถ้วน 3 แคน คือ ไอโซเลทที่ 5 และ 9 ผู้วิจัยจึงเลือกเชื้อ *V. parahaemolyticus* ไอโซเลทที่ 5 สำหรับศึกษาผลของอุณหภูมิต่อการเจริญเติบโตและการผลิตทอกซินต่อไป



รูปที่ 2 ผลการทำ Agarose Gel Electrophoresis ของการตรวจสอบเชื้อ *V. parahaemolyticus* สายพันธุ์ก่อโรค AHPND ด้วยวิธี Multiplex PCR (M = Molecular Weight Marker (100 bp Plus, Vivantis), 1-10 = DNA ของเชื้อแบคทีเรีย *V. parahaemolyticus* ไอโซเลทที่ 1-10 และ N = Negative Control, ไส้ DEPC-treated H<sub>2</sub>O แทน DNA)

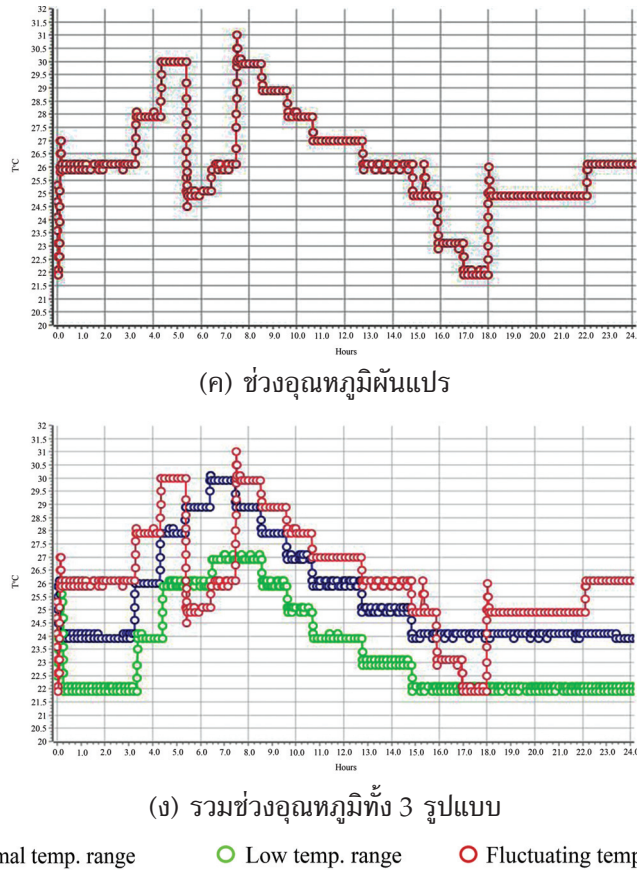


(ก) ช่วงอุณหภูมิปกติ



(ข) ช่วงอุณหภูมิต่ำ

รูปที่ 3 โปรแกรมอุณหภูมิสำหรับเลี้ยงเชื้อ *V. parahaemolyticus* สายพันธุ์ก่อโรค AHPND ที่ออกแบบตามข้อมูลอุณหภูมิในรอบวัน



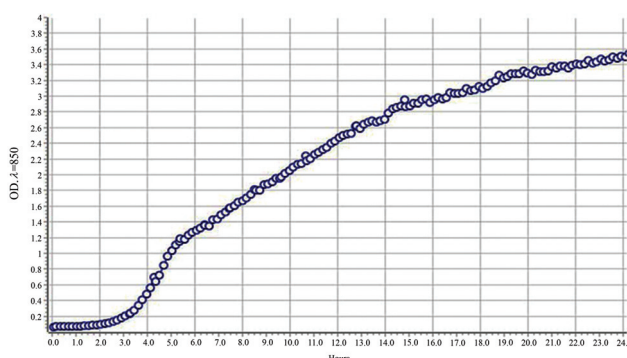
รูปที่ 3 โปรแกรมอุณหภูมิสำหรับเลี้ยงเชื้อ *V. parahaemolyticus* สายพันธุ์ก่อโรค AHPND ที่ออกแบบตามข้อมูลอุณหภูมิในรอบวัน (ต่อ)

3. การเจริญเติบโตของเชื้อ *V. parahaemolyticus* ที่เลี้ยงภายใต้รูปแบบอุณหภูมิต่าง ๆ เมื่อได้ข้อมูลอุณหภูมิในรอบวันจากการเก็บข้อมูลน้ำในบ่อเลี้ยงกุ้งขาว ซึ่งสามารถแบ่งออกได้เป็น 3 รูปแบบ คือ ช่วงอุณหภูมิปกติ ช่วงอุณหภูมิต่ำ และช่วงอุณหภูมิพันแปร (รูปที่ 1) นำมาสร้างโปรแกรมอุณหภูมิในการเลี้ยงเชื้อแบคทีเรีย *V. parahaemolyticus* สายพันธุ์ก่อโรค AHPND โดยใช้เครื่อง RTS-1C Personal Bioreactor (Biosan) ที่สามารถตั้งอุณหภูมิเป็นช่วง ๆ ควบคุมการเขย่า และอ่านค่า Optical Density เพื่อแสดงลักษณะการเจริญเติบโตของแบคทีเรียได้อย่างต่อเนื่อง โดยโปรแกรมอุณหภูมิที่ออกแบบไว้ทั้ง 3 รูปแบบ ดังแสดงในรูปที่ 3 ซึ่งช่วงอุณหภูมิปกติ ( $24 - 30^{\circ}\text{C}$  รูปที่ 3 (ก)) และช่วงอุณหภูมิต่ำ ( $22 - 27^{\circ}\text{C}$  รูปที่ 3 (ข)) จะมีลักษณะใกล้เคียงกันต่างกันเพียงแค่ช่วงอุณหภูมิเท่านั้น ในขณะที่ช่วงอุณหภูมิพันแปร ( $22 - 30^{\circ}\text{C}$  รูปที่ 3 (ค)) จะมีการแก่วงของอุณหภูมิในแต่ละช่วงอย่างชัดเจน โดยในบางช่วงจะมีความแตกต่างของอุณหภูมิเท่ากับ  $3^{\circ}\text{C}$  ผันแปรอย่างรวดเร็ว

ข้อมูลค่า Optical Density ที่วัดทุก ๆ 10 นาที สามารถนำมาสร้างเป็นกราฟการเจริญเติบโตได้ทันที และสามารถคำนวณเป็นอัตราการเจริญจำเพาะได้ โดยคิดเปรียบเทียบความแตกต่างของค่า Optical Density ในช่วงเวลาหนึ่ง พบร่วมกราฟการเจริญเติบโตของ *V. parahaemolyticus* สายพันธุ์

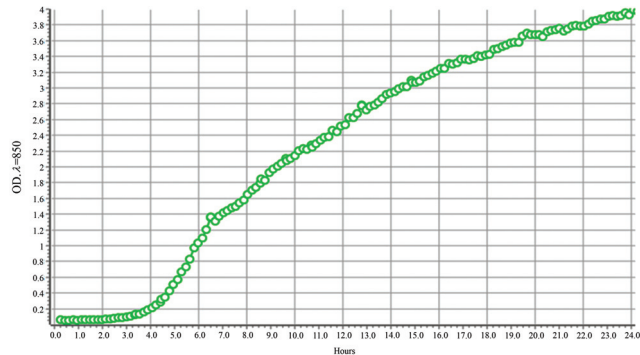
ก่อโรค AHPND ที่เลี้ยงภายใต้อุณหภูมิทั้ง 3 รูปแบบ (รูปที่ 4) มีความใกล้เคียงกันมากโดยแสดงช่วง Lag Phase และ Exponential Phase เมื่อนอกนั้น แต่ระยะเวลาในช่วง Lag Phase มีความแตกต่างกัน โดยแบคทีเรียที่เลี้ยงในช่วงอุณหภูมิต่างจะมีช่วง Lag Phase ที่ยาวที่สุด ในขณะที่ช่วงอุณหภูมิผันแปร มีช่วง Lag Phase สั้นที่สุด ทั้งนี้อาจเนื่องจากอุณหภูมิเริ่มต้นในการเลี้ยง โดยพบว่าที่อุณหภูมิสูงกว่า จะทำให้แบคทีเรียมีช่วง Lag Phase สั้นกว่า สอดคล้องกับการศึกษาการเจริญเติบโตของ *V. parahaemolyticus* และ *V. vulnificus* ที่เลี้ยงในอุณหภูมิต่าง ๆ พนว่าระยะเวลาในช่วง Lag Phase ประพฤตันักอุณหภูมิทั้งนี้เนื่องจากการที่แบคทีเรียเจริญเติบโตในอุณหภูมิต่างจะต้องใช้เวลาในช่วงปรับสภาพหรือ Lag Phase ยาวนานขึ้น [19]

เมื่อพิจารณาอัตราการเจริญจำเพาะของ *V. parahaemolyticus* ที่เลี้ยงภายใต้อุณหภูมิทั้ง 3 รูปแบบ (รูปที่ 5) พนความแตกต่างของgrafอย่างชัดเจน โดยในช่วงอุณหภูมิผันแปรพบอัตราการเจริญจำเพาะสูงสุด 2 ชั่ว钟 ซึ่งช่วงที่มีการเจริญจำเพาะสูงสุดช่วงแรกอยู่ในช่วงระยะเวลาใกล้เคียงกับ การเลี้ยงที่อุณหภูมิอื่น ๆ และเป็นช่วงที่อุณหภูมิมีการขึ้นลง (รูปที่ 3) แต่ในอัตราการเจริญจำเพาะสูงสุด ในช่วงที่ 2 เกิดขึ้นเฉพาะในการเลี้ยงด้วยช่วงอุณหภูมิผันแปรเท่านั้น พนความล้มเหลวที่อุณหภูมิในการเลี้ยง ที่มีการขึ้นลงชันเดียวกัน ซึ่งช่วงที่มีอุณหภูมิแตกต่างกัน 3 °C ส่งผลให้แบคทีเรียมีอัตราการเจริญจำเพาะสูงสุด เป็นที่น่าลังเกตว่าการผันแปรหรือช่วงที่มีการเปลี่ยนแปลงอุณหภูมิจะทำให้มีอัตราการเจริญจำเพาะที่สูงขึ้น ในขณะที่จะไม่พนความแตกต่างเมื่อพิจารณาจากการเจริญเติบโตทั่วไป เนื่องจากการเจริญเติบโตเป็น การวัดค่า Optical Density ของเซลล์แบคทีเรียแสดงถึงปริมาณแบคทีเรียที่สะสมต่อเนื่องไป ไม่สะท้อนถึง ความสามารถในการเจริญเติบโต หรือการแบ่งเซลล์เพิ่มจำนวนได้ [25] ในขณะที่การศึกษาที่ผ่านมา ได้ทำการศึกษาเฉพาะผลของอุณหภูมิโดยอุณหภูมิหนึ่ง ๆ หรือส่วนต่างของอุณหภูมิ ต่อการเจริญเติบโต และอัตราการเจริญจำเพาะของแบคทีเรียเท่านั้น โดยไม่ได้แสดงถึงผลของการเปลี่ยนแปลงอุณหภูมิขึ้นลง ในช่วงการเลี้ยง [26] - [28] การวิจัยครั้นี้จึงเป็นการศึกษาครั้งแรกที่ติดตามผลของการเปลี่ยนแปลงอุณหภูมิ ที่มีการเพิ่มชันหรือลดลงอย่างฉับพลันต่อการเจริญเติบโตแบบ Real-Time ของแบคทีเรีย และผลการวิจัย แสดงอย่างชัดเจนว่าการขึ้น/ลงของอุณหภูมิจะส่งผลกระทบต่ออัตราการเจริญจำเพาะสูงสุดอย่างชัดเจน

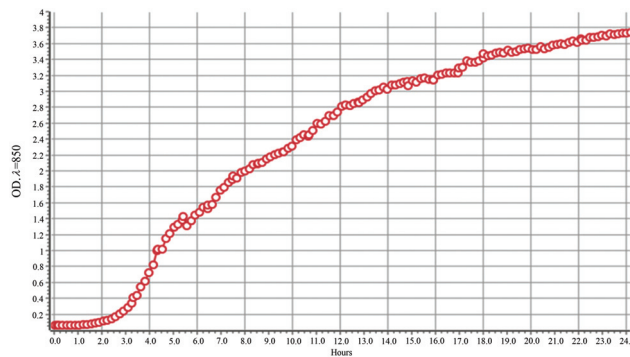


(ก) ช่วงอุณหภูมิปกติ

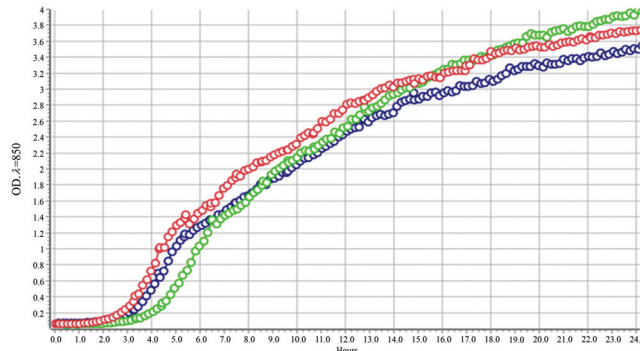
รูปที่ 4 การเจริญเติบโต (Growth Curve) ของเชื้อ *V. parahaemolyticus* สายพันธุ์ก่อโรค AHPND ที่เลี้ยงภายใต้รูปแบบอุณหภูมิต่าง ๆ



(ข) ช่วงอุณหภูมิคงตัว



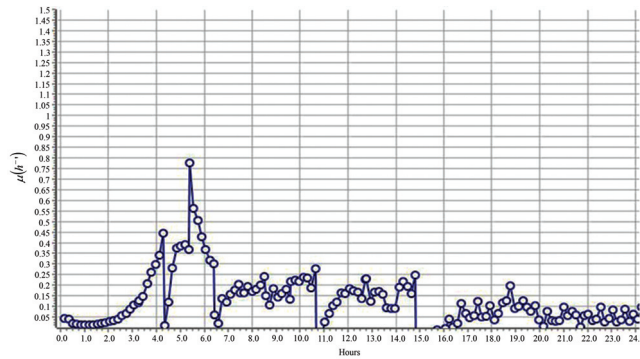
(ค) ช่วงอุณหภูมิผันแปร



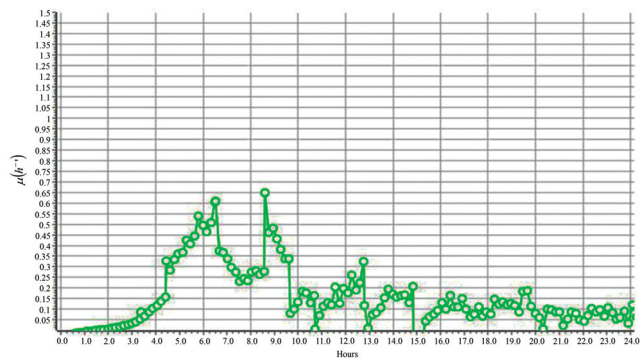
(ง) รวมช่วงอุณหภูมิทั้ง 3 รูปแบบ

○ Normal temp. range      ○ Low temp. range      ○ Fluctuating temp. range

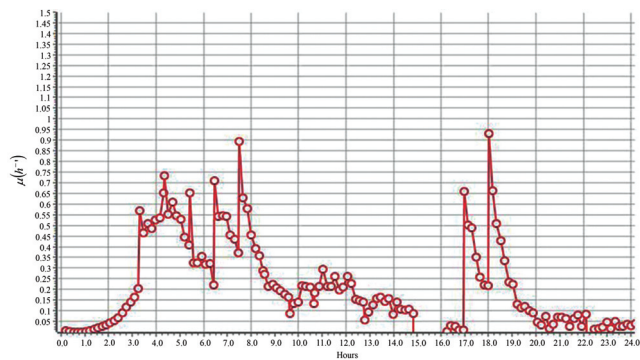
รูปที่ 4 การเจริญเติบโต (Growth Curve) ของเชื้อ *V. parahaemolyticus* สายพันธุ์ก่อโรค AHPND ที่เลี้ยงภายใต้รูปแบบอุณหภูมิต่าง ๆ (ต่อ)



(ก) ช่วงอุณหภูมิปกติ

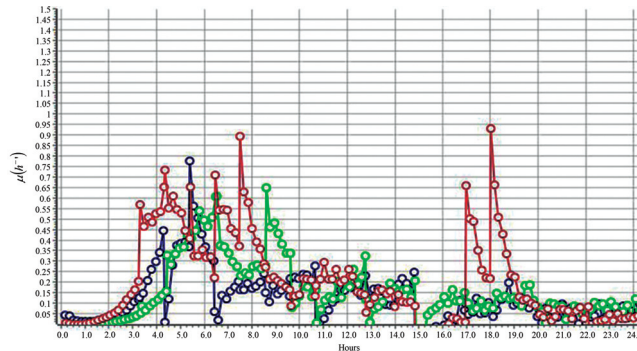


(ข) ช่วงอุณหภูมิต่ำ



(ค) ช่วงอุณหภูมิผันแปร

รูปที่ 5 อัตราการเจริญจำเพาะ (Specific Growth Rate) ของเชื้อ *V. parahaemolyticus* สายพันธุ์ก่อโรค AHPND ที่เลี้ยงภายใต้รูปแบบอุณหภูมิต่าง ๆ



(ง) รวมช่วงอุณหภูมิทั้ง 3 รูปแบบ

○ Normal temp. range      ○ Low temp. range      ○ Fluctuating temp. range

รูปที่ 5 อัตราการเจริญจำเพาะ (Specific Growth Rate) ของเชื้อ *V. parahaemolyticus* สายพันธุ์ก่อโรค AHPND ที่เลี้ยงภายใต้รูปแบบอุณหภูมิต่าง ๆ (ต่อ)

#### 4. การวิเคราะห์โปรตีนในน้ำเลี้ยงเชื้อ *V. parahaemolyticus* สายพันธุ์ก่อโรค AHPND

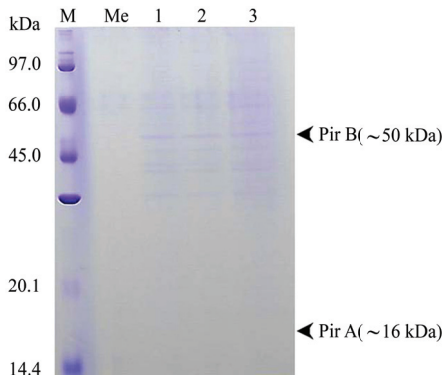
เมื่อนำน้ำเลี้ยงเชื้อแบคทีเรีย *V. parahaemolyticus* สายพันธุ์ก่อโรค AHPND ที่เลี้ยงในอาหารผสม TSA<sup>+</sup> และ 1.5 % (w/v) NaCl ในอัตราส่วน 1:1 ในอุณหภูมิต่าง ๆ ทั้ง 3 รูปแบบ เป็นเวลา 24 ชั่วโมง มาวัดปริมาณโปรตีนพบว่า โปรตีนในน้ำเลี้ยงเชื้อแบคทีเรียที่ช่วงอุณหภูมิผันแปร มีความเข้มข้นมากที่สุด รองลงมาคือ ช่วงอุณหภูมิปกติ และช่วงอุณหภูมิต่ำ ตามลำดับ ในขณะที่อาหาร เลี้ยงเชื้อมีโปรตีนน้อยมาก (ตารางที่ 3) ซึ่งลดคล้องกับผลโปรตีนในเจล SDS-PAGE ซึ่งมีความเข้มของแแกะโปรตีนมากที่สุดในช่องของน้ำเลี้ยงที่ช่วงอุณหภูมิผันแปร และน้อยที่สุดในช่องอาหารเลี้ยงเชื้อ (รูปที่ 6) และคงให้เห็นว่าการที่เชื้อแบคทีเรียมีการเจริญเติบโตสูงขึ้น และมีอัตราการเจริญจำเพาะสูงจะผลิต Extracellular Protein ออกมามาก

ตารางที่ 3 ปริมาณโปรตีนในน้ำเลี้ยงเชื้อ *V. parahaemolyticus* สายพันธุ์ก่อโรค AHPND ที่เลี้ยงภายใต้รูปแบบอุณหภูมิต่าง ๆ

	อาหารเลี้ยงเชื้อ	ช่วงอุณหภูมิปกติ	ช่วงอุณหภูมิต่ำ	ช่วงอุณหภูมิผันแปร
โปรตีน (μg/mL)	0.91±0.16	11.54±0.48	7.77±0.00	26.46±1.86

เมื่อพิจารณาแแกะโปรตีนในน้ำเลี้ยงต่าง ๆ พนแแกะโปรตีนที่มีน้ำหนักโมเลกุลประมาณ 50 kDa ในอาหารที่มีการเลี้ยงเชื้อ *V. parahaemolyticus* สายพันธุ์ก่อโรค AHPND โดยไม่พนในอาหารเลี้ยงเชื้อ ซึ่งน่าจะเป็นทอกซิน Pir B ตรงกับรายงานที่แสดงถึงขนาดของทอกซิน Pir B หรือ Tox B ประมาณ 50 kDa และเป็นโปรตีนหลักที่สามารถตรวจพบในน้ำเลี้ยงหรืออาหารเลี้ยงเชื้อ *V. parahaemolyticus* สายพันธุ์ก่อโรค AHPND ที่มี plasmid ที่มียีน Pir B [5] - [6] ในการศึกษาครั้งนี้พบแแกะโปรตีนขนาด 16 kDa บางมาก โดยมีรายงานว่าแแกะโปรตีนทอกซิน Pir A หรือ Tox A ขนาดประมาณ 16 kDa จะต้องตรวจพบได้ในน้ำเลี้ยงหรืออาหารเลี้ยงเชื้อ *V. parahaemolyticus* สายพันธุ์ก่อโรค AHPND เช่นกัน อย่างไรก็ตาม

Lee, C.-T. et al. ได้ให้ข้อสังเกตว่าในน้ำเลี้ยงเชื้อ *V. parahaemolyticus* สายพันธุ์ก่อโรค AHPND จะตรวจพบโปรตีน Pir B ในปริมาณมากกว่า Pir A มาก [24]



รูปที่ 6 การวิเคราะห์โปรตีนในน้ำเลี้ยงเชื้อแบคทีเรีย *V. parahaemolyticus* สายพันธุ์ก่อโรค AHPND ที่เลี้ยงในอุณหภูมิต่าง ๆ ด้วยวิธี SDS-PAGE แล้วย้อมด้วย Coomassie Brilliant Blue เมื่อ M = Molecular Weight Marker, ME = อาหารเลี้ยงเชื้อชุดควบคุม (อาหาร TSB<sup>+</sup> ผสมกับ 1.5 % (w/v) NaCl ในอัตราส่วน 1:1), ช่องหมายเลข 1, 2 และ 3 = น้ำเลี้ยงเชื้อ *V. parahaemolyticus* ที่เลี้ยงในช่วงอุณหภูมิปกติ ช่วงอุณหภูมิต่ำ และช่วงอุณหภูมิผันแปร ตามลำดับ

การก่อให้เกิดโรคหรืออาการของ AHPND ในกุ้งเกิดจากผลการทำงานของทอกซิน Pir ที่เขื้อแบคทีเรียผลิตและหลังออกมายานอกเซลล์เท่านั้น เนื่องจากเมื่อใช้ Cell-Free Medium ที่มีเพียงทอกซิน Pir ทดสอบกับกุ้งพบว่าสามารถทำให้เกิดอาการของโรค AHPND ได้ [6], [24] โดยกุ้งที่ได้รับทอกซิน Pir A และ B หรือ Pir B และคงอาการของโรค แต่กุ้งที่ได้รับเฉพาะทอกซิน Pir A ไม่แสดงอาการ [24] มีรายงานว่าโปรตีนทอกซินทั้ง 2 ชนิดนี้มีรูปแบบการทำงานคล้ายคลึงกับทอกซิน Cry ที่ผลิตโดยแบคทีเรีย *Bacillus thuringiensis* ซึ่งทำลายเซลล์เป้าหมายด้วยการทำให้เกิด Pore-Forming เนื่องจากโครงสร้างของทอกซิน Pir B คล้ายกับ Domain I และ Domain II และ Pir A คล้ายกับ Domain III ของทอกซิน Cry ซึ่งเข้าจับกับตัวรับ (Receptor) บนเซลล์เป้าหมายเกิดเป็น Complex และทำให้เกิด Pore-Forming ที่เซลล์เป้าหมาย รวมถึงเป็นการส่งสัญญาณ (Signal Transduction Pathway) กระตุนให้เกิดการตายของเซลล์ (Cell Death) [24], [29] ดังนั้น การเปลี่ยนแปลงของอุณหภูมิที่ทำให้การแสดงออกของยีน Pir A และ Pir B รวมถึงการผลิตโปรตีนทอกซิน Pir A และ Pir B เปลี่ยนแปลงไปก็จะส่งผลต่อความรุนแรงในการเกิดโรค AHPND เช่นกัน

## สรุปผลการวิจัย

จากการเก็บข้อมูลอุณหภูมิของน้ำในรอบวันในบ่อเลี้ยงกุ้งขาวตลอดปี พ.ศ. 2560 สามารถแบ่งการเปลี่ยนแปลงอุณหภูมิได้ 3 รูปแบบ คือ (1) ช่วงอุณหภูมิปกติ ( $24 - 30^{\circ}\text{C}$ ) (2) ช่วงอุณหภูมิต่ำ ( $22 - 27^{\circ}\text{C}$ ) และ (3) ช่วงอุณหภูมิผันแปร ( $22 - 30^{\circ}\text{C}$ ) โดยเมื่อนำข้อมูลดังกล่าวมาตั้งโปรแกรมในการเลี้ยงเชื้อแบคทีเรีย

*V. parahaemolyticus* สายพันธุ์ก่อโรค AHPND พบร่วมกับการเจริญเติบโตของแบคทีเรียไม่ต่างกันแต่มีความแตกต่างในระยะเวลาช่วง Lag Phase และรูปแบบของอัตราการเจริญจำเพาะมีความแตกต่างกันโดยเมื่ออุณหภูมิมีความแตกต่าง 3 °C จะทำให้แบคทีเรียมีอัตราการเจริญจำเพาะสูงสุด นอกจากนี้รูปแบบอุณหภูมิในการเลี้ยงที่แตกต่างกันยังส่งผลต่อ Extracellular Protein รวมถึงทอกซิน Pir ที่แบคทีเรียผลิตและหลังจากภายนอกเซลล์ โดยพบว่าการเลี้ยงภายใต้ช่วงอุณหภูมิผันแปรที่มีการขึ้นลงของอุณหภูมิอย่างฉับพลันจะส่งผลให้มีการผลิตโปรตีนสูงสุด โดยสูงกว่าช่วงอุณหภูมิปกติและช่วงอุณหภูมิต่ำคิดเป็น 2 และ 3 เท่า ตามลำดับ ผลการวิจัยครั้งนี้แสดงให้เห็นว่าอุณหภูมิเป็นปัจจัยสำคัญที่ส่งผลต่อการเจริญเติบโตและการผลิตโปรตีนของแบคทีเรีย *V. parahaemolyticus* สายพันธุ์ก่อโรค AHPND เนื่องจากโปรตีนทอกซิน Pir เป็นตัวแปรหลักในการทำให้เกิดโรคหรือความรุนแรงของโรค AHPND ดังนั้น ข้อมูลนี้เป็นข้อมูลพื้นฐานสำคัญที่ช่วยในการจัดการระบบการเลี้ยงหรือการจัดการฟาร์มกุ้งเพื่อลดความสูญเสียจากโรค AHPND

## กิตติกรรมประกาศ

ขอบคุณเกษตรกรผู้เลี้ยงกุ้งขาวในจังหวัดนครศรีธรรมราชที่อนุเคราะห์ให้คณะผู้วิจัยติดตั้งอุปกรณ์และอำนวยความสะดวกในการเก็บข้อมูล โดยส่วนหนึ่งของงานวิจัยนี้เป็นวิทยานิพนธ์ของนายพงศ์พันธุ์แพรอกทอง นักศึกษาปริญญาโท สาขาวิชาเพาะเลี้ยงสัตว์น้ำและการจัดการทรัพยากรีสурс คณะเกษตรศาสตร์มหาวิทยาลัยเทคโนโลยีราชมงคลครุวิชัย

## References

- [1] Karvonen, A., Rintamäki, P., Jokela, J., and Valtonen, E. T. (2010). Increasing Water Temperature and Disease Risks in Aquatic Systems, Climate Change Increases the Risk of Some, but Not All, Diseases. **International Journal for Parasitology**. Vol. 40, Issue 13, pp. 1483-1488. DOI: 10.1016/j.ijpara.2010.04.015
- [2] Fisheries Statistics Analysis and Research Group, Fisheries Development Policy and Strategy Division. (2017). Statistics of Marine Shrimp Culture 2015. **Department of Fisheries Ministry of Agriculture and Cooperatives**. No. 2, pp. 1-46 (in Thai)
- [3] Tran, L., Nunan, L., Redman, R. M., Mohney, L. L., Pantoja, C. R., Fitzsimmons, K., and Lightner, D. V. (2013). Determination of the Infectious Nature of the Agent of Acute Hepatopancreatic Necrosis Syndrome Affecting Penaeid Shrimp. **Diseases of Aquatic Organisms**. Vol. 105, Issue 1, pp. 45-55
- [4] Joshi, J., Srisala, J., Truong, V. H., Chen, I. T., Nuangsaeng, B., Suthienkul, O., Lo, C. F., Flegel, T. W., Sritunyalucksana, K., and Thitamadee, S. (2014). Variation in *Vibrio parahaemolyticus* Isolates from a Single Thai Shrimp Farm Experiencing an Outbreak of Acute Hepatopancreatic Necrosis Disease (AHPND). **Aquaculture**. Vol. 428-429, pp. 297-302. DOI: 10.1016/j.aquaculture.2014.03.030

- [5] Dangtip, S., Sirikharin, R., Sanguanrut, P., Thitamadee, S., Sritunyalucksana, K., Taengchaiyaphum, S., Mavichak, R., Proespraiwong, P., and Flegel, T. W. (2015). AP4 Method for Two-Tube Nested PCR Detection of AHPND Isolates of *Vibrio parahaemolyticus*. **Aquaculture Reports**. Vol. 2, pp. 158-162. DOI: 10.1016/j.aqrep.2015.10.002
- [6] Sirikharin, R., Taengchaiyaphum, S., Sanguanrut, P., Chi, T. D., Mavichak, R., Proespraiwong, P., Nuangsaaeng, B., Thitamadee, S., Flegel, T. W., and Sritunyalucksana, K. (2015). Characterization and PCR Detection of Binary, Pir-Like Toxins from *Vibrio parahaemolyticus* Isolates That Cause Acute Hepatopancreatic Necrosis Disease (AHPND) in Shrimp. **PLOS ONE**. Vol. 10(5). DOI:10.1371/journal.pone.0126987
- [7] Xiao, J., Liu, L., Ke, Y., Li, X., Liu, Y., Pan, Y., Yan, S., and Wang, Y. (2017). Shrimp AHPND-Causing Plasmids Encoding the PirAB Toxins as Mediated by PirAB-Tn903 are Prevalent in Various Vibrio species. **Scientific Reports**. Vol. 7, Article number: 42177. DOI: 10.1038/srep42177
- [8] Boonyawiwat, V., Patanasatienkul, T., Kasornchandra, J., Poolkhet, C., Yaemkasem, S., Hammell, L., and Davidson, J. (2017). Impact of Farm Management on Expression of Early Mortality Syndrome/Acute Hepatopancreatic Necrosis Disease (EMS/AHPND) on Penaeid Shrimp Farms in Thailand. **Journal of Fish Diseases**. Vol. 40, Issue 5, pp. 649-659. DOI: 10.1111/jfd.12545
- [9] Chumpol, S., Kantachote, D., Nitoda, T. and Kanzaki, H. (2017). The Roles of Probiotic Purple Nonsulfur Bacteria to Control Water Quality and Prevent Acute Hepatopancreatic Necrosis Disease (AHPND) for Enhancement Growth with Higher Survival in White Shrimp (*Litopenaeus vannamei*) during Cultivation. **Aquaculture**. Vol. 473, pp. 327-336. DOI: 10.1016/j.aquaculture. 2017.02.033
- [10] Chen, W. -Y., Ng, T. H., Wu, J. -H., Chen, J. -W., and Wang, H. -C. (2017). Microbiome Dynamics in a Shrimp Grow-Out Pond with Possible Outbreak of Acute Hepatopancreatic Necrosis Disease. **Scientific Reports**. Vol. 7, No. 1, Article number: 9395. DOI: 10.1038/s41598-017-09923-6
- [11] Tinwongger, S., Proespraiwong, P., Thawonsuwan, J., Sriwanayos, P., Kongkumnerd, J., Chaweechapak, T., Mavichak, R., Unajak, S., Nozaki, R., Kondo, H., and Hirono, I. (2014). Development of PCR Diagnosis for Shrimp Acute Hepatopancreatic Necrosis Disease (AHPND) Strain of *Vibrio parahaemolyticus*. **Fish Pathology**. Vol. 49, Issue 4, pp. 159-164. DOI: 10.3147/jsfp.49.159
- [12] Thakur, D. P. and Lin, C. K. (2003). Water Quality and Nutrient Budget in Close Shrimp (*Penaeus monodon*) Culture Systems. **Aquaculture Research**. Vol. 27, No. 3, pp. 159-176
- [13] Akazawa, N. and Eguchi, M. (2017). Pond Sludge and Increased pH Cause Early Mortality Syndrome/Acute Hepatopancreatic Necrosis Disease (EMS/AHPND) in Cultured White Shrimp. **Borneo Journal of Marine Science and Aquaculture**. Vol. 1, pp. 92-96

- [14] Lafferty, K. D. (2009). The Ecology of Climate Change and Infectious Diseases. **Ecology**. Vol. 90, Issue 4, pp. 888-900. DOI: 10.1890/08-0079.1
- [15] Guerreiro, I., Pérez-Jiménez, A., Costas, B., and Oliva-Teles, A. (2014). Effect of Temperature and Short Chain Fructooligosaccharides Supplementation on the Hepatic Oxidative Status and Immune Response of Turbot (*Scophthalmus maximus*). **Fish & Shellfish Immunology**. Vol. 40, Issue 2, pp. 570-576. DOI: 10.1016/j.fsi.2014.08.017
- [16] Yu, H. B., Kaur, R., Lim, S. M., Wang, X. H., and Leung, K. Y. (2007). Characterization of Extracellular Proteins Produced by *Aeromonas hydrophila* AH-1. **Proteomics**. Vol. 7, No. 3, pp. 436-449. DOI: 10.1002/pmic.200600396
- [17] Yoon, K. S., Min, K. J., Jung, Y. J., Kwon, K. Y., Lee, J. K., and Oh, S. W. (2008). A Model of the Effect of Temperature on the Growth of Pathogenic and Nonpathogenic *Vibrio parahaemolyticus* Isolated from Oysters in Korea. **Food Microbiology**. Vol. 25, Issue 5, pp. 635-641. DOI: 10.1016/j.fm.2008.04.007
- [18] Chase, E. and Harwood, V. J. (2011). Comparison of the Effects of Environmental Parameters on Growth Rates of *Vibrio vulnificus* Biotypes I, II, and III by Culture and Quantitative PCR Analysis. **Applied and Environmental Microbiology**. Vol. 77, No. 12, pp. 4200-4207. DOI: 10.1128/AEM.00135-11
- [19] Kim, Y. W., Lee, S. H., Hwang, I. G., and Yoon, K. S. (2012). Effect of Temperature on Growth of *Vibrio parahemolyticus* and *Vibrio vulnificus* in Flounder, Salmon Sashimi and Oyster Meat. **International Journal of Environmental Research and Public Health**. Vol. 9, No. 12, pp. 4662-4675. DOI: 10.3390/ijerph9124662
- [20] Mudoh, M. F., Parveen, S., Schwarz, J., Rippen, T., and Chaudhuri, A. (2014). The Effects of Storage Temperature on the Growth of *Vibrio parahaemolyticus* and Organoleptic Properties in Oysters. **Frontiers in Public Health**. Vol. 2, DOI: 10.3389/fpubh.2014.00045
- [21] Tarr, C. L., Patel, J. S., Puhr, N. D., Sowers, E. G., Bopp, C. A., and Strockbine, N. A. (2007). Identification of *Vibrio* Isolates by a Multiplex PCR Assay and rpoB Sequence Determination. **Journal of Clinical Microbiology**. Vol. 45, No. 1, pp. 134-140. DOI: 10.1128/JCM.01544-06
- [22] Bradford, M. M. (1979). A Rapid and Sensitive Method for the Quantitation of Microgram Quantities of Proteins Utilizing the Principle of Protein-Dye Binding. **Analytical Biochemistry**. Vol. 72, Issue 1-2, pp. 248-254
- [23] Laemmli, U. K. (1970). Cleavage of Structural Proteins during Assembly of Head of Bacteriophage T4. **Nature**. Vol. 227, pp. 680-685

- [24] Lee, C. -T., Chen, I. -T., Yang, Y. -T., Ko, T. -P., Huang, Y. -T., Huang, J. -Y., Huang, M. -F., Lin, S. -J., Chen, C. -Y., Lin, S. -S., Lightner, D. V., Wang, H. -C., Wang, A. H., Wang, H. -C., Hor, L. -I., and Lo, C. -F. (2015). The Opportunistic Marine Pathogen *Vibrio parahaemolyticus* Becomes Virulent by Acquiring a Plasmid that Expresses a Deadly Toxin. In **Proceedings of the National Academy of Sciences of the United States of America**. Vol. 112, No. 34, pp. 10798-10803. DOI: 10.1073/pnas.1503129112
- [25] Maier, R. M. (2000). Bacterial Growth. In **Environmental Microbiology**. Maier, R.M., Pepper, I.L. and Gebara C.P., eds. pp. 43-59. Academic Press
- [26] Zwietering, I., De Wit, J. C., Cuppers, H. G. A. M., and Van 't Riet, K. (1994). Modeling of Bacterial Growth with Shifts in Temperature. **Applied and Environmental Microbiology**. Vol. 60, No. 1, pp. 204-213
- [27] Van Derlinden, E., Bernaerts, K., and Van Impe, J. F. (2008). Dynamics of *Escherichia coli* at Elevated Temperatures: Effect of Temperature History and Medium. **Journal of Applied Microbiology**. Vol. 104, No. 2, pp. 438-453. DOI: 10.1111/j.1365-2672.2007.03592.x
- [28] Zotta, T., Guidone, A., Ianniello, R. G., Parente, E., and Ricciardi, A. (2013). Temperature and Respiration Affect the Growth and Stress Resistance of *Lactobacillus plantarum* C17. **Journal of Applied Microbiology**. Vol. 115, No. 3, pp. 848-858. DOI: 10.1111/jam.12285
- [29] Soberón, M., Pardo, L., Muñoz-Garay, C., Sánchez, J., Gómez, I., Porta, H., and Bravo, A. (2010). Pore Formation by Cry Toxins. **Advances in Experimental Medicine and Biology**. Vol. 677, pp. 127-142



# สารสาร มทร.อีสาน

ฉบับวิทยาศาสตร์และเทคโนโลยี

ISSN 1906-215X

ระบบเฝ้าระวังการสูญหายในผู้ป่วยสูงอายุ

## Getting Lost Monitoring System for the Elderly Patients

จักรกฤษ โนบทอง<sup>1</sup> อิ๊ฟชัน หมานะเด็น<sup>1</sup> จินดา คงเจริญ<sup>1\*</sup> ศิริกา พฤฒิคณ์<sup>1</sup> และสุพัตรา พุฒินาวรัตน์<sup>1</sup>

Received: February, 2018; Accepted: May, 2018

### บทคัดย่อ

แนวโน้มของประชากรผู้สูงอายุเพิ่มขึ้น การเข้าสู่วัยสูงอายุย่อมเกิดปัญหาการเจ็บป่วยทั้งโรคทางกายและทางสมอง เช่น โรคอัลไซเมอร์ ซึ่งล้วนผลกระเทบต่อการหลบหลีกทางและจากใจเกิดปัญหาสูญหายของผู้สูงวัยได้ จากปัญหาดังกล่าวมีผลกระเทบต่อการดูแลผู้ป่วยสูงอายุ บทความนี้จึงได้พัฒนาแอปพลิเคชันการเฝ้าระวัง การสูญหายในผู้ป่วยสูงอายุบนโทรศัพท์มือถือระบบปฏิบัติการแอนดรอยด์สำหรับผู้ดูแล โดยใช้ Geo-fence ในกระบวนการกำหนดขอบเขตพื้นที่ในการเฝ้าระวัง ผู้ดูแลสามารถติดตามพิกัดตำแหน่งที่อยู่ปัจจุบันของผู้ป่วย จากอุปกรณ์ GPS ในแอปพลิเคชันและทำงานร่วมกับฐานข้อมูล Firebase ในการบันทึกข้อมูลผู้ป่วยและพิกัดปัจจุบัน โดยระบบจะแจ้งเตือนผ่านโทรศัพท์มือถือให้ผู้ดูแลได้ทันทีกรณีผู้ป่วยออกนอกเขตกำหนด ซึ่งผลการทดสอบระบบในสถานการณ์จำลองพบว่า เมื่อผู้ป่วยออกจากขอบเขตพื้นที่เฝ้าระวัง ระบบสามารถส่งข้อความสั้นและเลียงแจ้งเตือนตามที่ผู้ดูแลกำหนดได้ภายใน 5 วินาที ประโยชน์ของระบบดังกล่าว ช่วยอำนวยความสะดวกในการดูแลผู้ป่วยในเครือญาติ ตลอดจนลดภาระค่าจ้างพยาบาลเฝ้าดูแลผู้ป่วยที่บ้านหรือลับผู้ป่วยไปยังสถานพยาบาล อีกทั้งยังสามารถนำไปประยุกต์ใช้เพื่อป้องกันการสูญหายในคนและลัตัวเวลี่ยงได้

คำสำคัญ : ระบบเฝ้าระวัง; แอปพลิเคชัน; ผู้ป่วยสูงอายุ

<sup>1</sup> Faculty of Science and Industrial Technology, Prince of Songkla University, Surat Thani Campus

\* Corresponding Author E - mail Address: jinda.suv@psu.ac.th

## Abstract

Nowadays aging population groups were increasing rapidly. There could be many problems that the elderly people might face such as illness, physical and mental diseases. One of the major problems was Alzheimer's disease that was misplacing things, having problem with loss of memory and wandering. Those significantly impacted quality of life for caregivers. This research developed the monitoring system for the elderly patients. The development was implemented for smartphones using Android Operating System for caregivers. Geo-fence was used to locate the areas stored in the server and monitor the patient's entry and exit of the fence with GPS technology which identified the current location of the patients in real-time and stored the location in a Firebase database. Moreover, this system will send an alert via smartphones to the caregivers when the patients were outside the virtual fence. The test results in this situation showed that if the patient's entering or exiting the fence, the system can send the short messages and sound to the caregivers within 5 minutes. The advantages of this application were self-care service and reducing the burden on healthcare cost such as employing nurses to take care of the patients at home or sending the patients to healthcare. This system can be applied to other fields related to the monitoring of people and animals.

**Keywords:** Monitoring System; Application; Elderly Patients

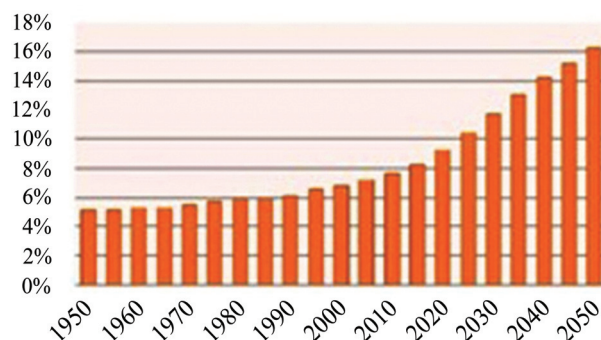
## บทนำ

ในยุคปัจจุบันประชากรมีแนวโน้มอายุยืนยาวขึ้นไปสู่สังคมผู้สูงอายุมากขึ้นเมื่อเทียบกับอดีต เช่น เพิ่มจาก ร้อยละ 7.6 ในปี ค.ศ. 2010 เป็นร้อยละ 9.0 ในปี ค.ศ. 2020 ดังรูปที่ 1 และคาดว่าจะเพิ่มเกือบสองเท่า ประมาณ 16.2 % ในปี ค.ศ. 2050 [1] การเปลี่ยนแปลงเมื่อเข้าสู่วัยสูงอายุย่อมส่งผลให้เกิดปัญหาทั้งโรคทางกายและทางสมอง เช่น โรคอัลไซเมอร์ (Alzheimer's Disease) เป็นภาวะสมองเสื่อม (Dementia) ที่พบบ่อยในผู้สูงอายุมากกว่า 65 ปี เป็นภาวะความพิດปกติของสมองที่เลื่อนถอยลงจากเดิมในเรื่องความสามารถทางความคิดและการแสดงออก [2] ลักษณะอาการเด่นของโรคนี้คือความจำเลื่อนหรือหลงลืมในเรื่องที่เกิดขึ้นในชีวิตประจำวัน เช่น ลืมกินข้าว ลืมชื่อคน จันกระทิ้งลืมบ้านที่อยู่อาศัย เป็นต้น โรคนี้จัดเป็นโรคที่รักษาไม่หายและจัดเป็นอาการป่วยระยะสุดท้าย ซึ่งอาจก่อให้เกิดการได้รับความเสี่ยงที่จะเกิดอันตรายและการสูญหายในผู้ป่วยของครอบครัว

ปัจจุบันระบบเทคโนโลยีสารสนเทศมีความก้าวหน้าและทันสมัย การนำระบบเทคโนโลยีสารสนเทศมาเพื่อสนับสนุนคุณภาพชีวิตของผู้ป่วยสูงอายุ จึงเป็นแนวทางหนึ่งที่ช่วยแก้ปัญหาให้ผู้ป่วยสามารถทำกิจวัตรประจำวันได้อย่างปกติ รวมทั้งอำนวยความสะดวกสำหรับผู้ดูแลผู้ป่วยโดยการนำວัตกรรมการดูแลลุขภาพผ่านโทรศัพท์มือถือและระบบเครือข่ายไร้สายมาใช้เฝ้าระวังผู้ป่วย อย่างเช่น Rajesh, K. M. et al. [3] พัฒนาระบบเฝ้าระวังและแจ้งเตือนในกรณีที่เกิดภาวะฉุกเฉิน โดยมีเซ็นเซอร์ที่เชื่อมต่อกับผู้ป่วยสูงอายุใน

การรับข้อมูลสัญญาณชีพ เช่น อัตราการเต้นหัวใจ อุณหภูมิของร่างกาย คลื่นไฟฟ้าหัวใจ เป็นต้น และมีการประมวลผลและส่งค่าให้กับผู้ใช้สมาร์ทโฟน โดยการส่งข้อความแจ้งเตือนไปยังสมาร์ทโฟนของผู้ดูแล เป็น SMS MMS หรือโทรศัพท์เพื่อให้ผู้ดูแลสามารถเข้ามาดูแลผู้สูงอายุในทันที Cristian, R. et al. [4] ออกแบบและพัฒนาระบบการตรวจเฝ้าระวังในผู้ป่วยสูงอายุและผู้ป่วยโรคเรื้อรังอย่างโรคเบาหวาน โรคความดันโลหิตสูง เป็นต้น นอกจากนี้ยังมีการคุ้มครองสุขภาพผ่านระบบทางไกลโดยใช้การจัดการ ด้านการเดือนภัย และระบบการตรวจสอบติดตามผู้ได้รับการดูแล โดยสัญญาณจะถูกส่งมาที่ศูนย์กลาง ของระบบทันทีเมื่อมีเหตุฉุกเฉินหรือความผิดปกติเกิดขึ้นภายในบ้าน [5] Surasak, W. et al. [6] ได้พัฒนาระบบสนับสนุนการจัดการพฤติกรรมการเดินพลัดหลงในผู้สูงอายุโดยใช้เทคนิคกระแสข้อมูล ภูมิลักษณ์เครื่องวิ่งกับเทคโนโลยีเพื่อสื่อในการระบุตำแหน่ง โดยระบบดังกล่าวได้พัฒนาบนเว็บไซต์ Responsive ซึ่งพึงกันการระบุตำแหน่งผ่านเว็บอาจไม่แม่นยำเท่ากับใน Mobile Application เนื่องด้วยการเปลี่ยนแปลง ข้อมูลพิกัดปัจจุบันในเว็บไม่สามารถตรวจสอบพิกัดได้ตลอดเวลาตามการเคลื่อนที่ของผู้ใช้ ดังนั้นผู้ใช้ จึงมีความจำเป็นต้องคลิกปุ่มอัพเดตพิกัดใหม่ทุกครั้งที่ต้องการทราบพิกัดล่าสุด ซึ่งอาจก่อให้เกิดความล่าช้า ใน การแสดงผลของตำแหน่ง ณ ปัจจุบัน นอกจากนี้งานวิจัยที่ผ่านมาเป็นการติดตามพฤติกรรมของผู้ป่วย เป็นรายบุคคล หากมีผู้ป่วยจำนวนมาก การเฝ้าระวังกลุ่มผู้ป่วยดังกล่าวค่อนข้างลำบาก ซึ่งการจัดการผู้ป่วย ตามโรงพยาบาลหรือสถานพยาบาลมักพบเป็นกลุ่มผู้ป่วย ดังนั้นงานวิจัยนี้จึงสนใจพัฒนาแอปพลิเคชัน บนสมาร์ทโฟนโดยนำพิกัดจากสัญญาณ GPS มาใช้ในการระบุตำแหน่งปัจจุบันได้อย่างถูกต้อง แม่นยำ และรวดเร็ว ตลอดจนผู้ดูแลสามารถติดตามเฝ้าระวังกลุ่มของผู้ป่วยที่มีมากกว่าหนึ่งคนขึ้นไป

Percentage of elderly people in the world



รูปที่ 1 เปอร์เซ็นต์ของประชากรผู้สูงอายุในช่วงปี ค.ศ. 1950 – 2050 [1]

Geo-fence เป็นการกำหนดขอบเขตพื้นที่หรือสร้างรั้วว่าสถานที่ที่ต้องการในรูปแบบวงกลม รูปหลายเหลี่ยม รูปเลี่ยม เหลี่ยม และมีการประยุกต์ใช้งาน Geo-fence ในด้านต่าง ๆ เช่น ด้านการบริหารการจัดการ ใช้ติดตามพิกัดตำแหน่งยานพาหนะในสถานที่ที่กำหนด ด้านการจัดการทรัพยากร่มழบย์ เช่น ทักษิณ กานน พยายามที่จะเข้าไปในเขตที่ห้ามเข้า บัตรประจำตัวพนักงานจะทำการแจ้งเตือนเพื่อความปลอดภัย และด้านการโฆษณา เช่น เมื่อลูกค้าเข้ามาในพื้นที่ที่กำหนด จะมีการแจ้งเตือนเกี่ยวกับโปรโมชั่นต่าง ๆ เป็นต้น การใช้ Geo-fence มีข้อดีคือ สามารถเพิ่มคีย์พารามิเตอร์การรักษาความปลอดภัยในสถานการณ์ต่าง ๆ ส่วนข้อเสียคือ จะต้องได้รับการยินยอม จากผู้ใช้ การใช้งานจึงเพื่อส่งผลให้พลังงานของแบตเตอรี่หมดเร็วและมีข้อจำกัดอยู่ในเขตที่กำหนด [7]

งานวิจัยนี้ได้นำเทคโนโลยี Geo-fence มากำหนดขอบเขตพื้นที่ที่เฝ้าระวังการสูญหายในผู้ป่วยสูงอายุ และมีการส่งัญญาณแจ้งเตือนผู้ดูแลผู้ป่วยในกรณีที่ผู้ป่วยออกนอกเขตที่กำหนด ซึ่งอาจนำไปใช้เพื่อป้องกันความเสี่ยงในการลักหลบของผู้สูงอายุที่ป่วยด้วยโรคอัลไซเมอร์ เป็นต้น ประโยชน์ของระบบดังกล่าวช่วยอำนวยความสะดวกในการดูแลและพัฒนาเองของผู้สูงอายุ ลดอุบัติเหตุและภัยคุกคามที่อาจเกิดขึ้นกับผู้สูงอายุได้ทันท่วงที ลดภาระค่าใช้จ่ายในการจ้างพยาบาลมาดูแลผู้ป่วยที่บ้าน

## วิธีดำเนินการวิจัย

### 1. ศึกษาเทคโนโลยีที่เกี่ยวข้อง

Google Map API เป็น API ที่ช่วยให้สามารถดาวน์โหลดบนแพนท์ของ Google ที่กำหนดได้ สามารถสร้างเว็บและแอปพลิเคชันบนอุปกรณ์เคลื่อนที่ที่น่าสนใจด้วยแพลตฟอร์มการทำแพนท์ที่มีประสิทธิภาพของ Google รวมทั้งฟังก์ชันจากดาวเทียม ภาพ Street View ไฟร์เบส ระดับความสูง เล่นทางการขับขี่ ข้อมูลประชากรในรูปแบบแพนท์ การวิเคราะห์ และฐานข้อมูลเกี่ยวกับสถานที่ต่าง ๆ ซึ่งครอบคลุมพื้นที่ในวงกว้างและแม่นยำ

Firebase เป็นบริการ Backend และแพลตฟอร์มครบวงจรสำหรับนักพัฒนาแอป และโปรแกรมประยุกต์บนเว็บแพลตฟอร์มที่มีเครื่องมือและโครงสร้างพื้นฐานที่ได้รับการออกแบบมาเพื่อช่วยให้นักพัฒนาสามารถผสมผสานและสร้างแอปพลิเคชันที่มีคุณภาพสูงตรงตามความต้องการ

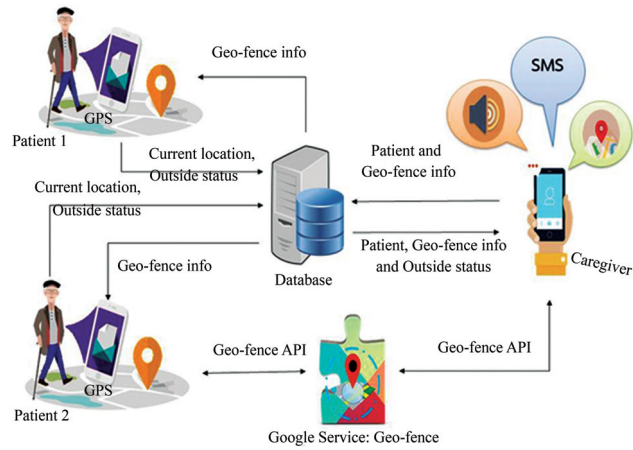
Geocoding คือ กระบวนการเปลี่ยนที่อยู่ในรูปักษณะข้อความเป็นพิกัดทางภูมิศาสตร์แล้ว สามารถใช้คำแนะนำที่นั่นบนแพนท์ที่ผ่านการร้องขอ HTTP การใช้ข้อมูลภายใน Geocoding ใช้เวลาและทรัพยากรสูง ซึ่งต้องมีเครื่องคอมพิวเตอร์ที่จะทำการวนการ Geocode และเก็บผลลัพธ์ไว้ในแฟชั่นของเครื่องเพื่อที่จะได้นำข้อมูลนั้นไปใช้ประโยชน์รูปแบบของ JavaScript Object Notation (JSON) และ XML

### 2. แนวทางการออกแบบและพัฒนาระบบ

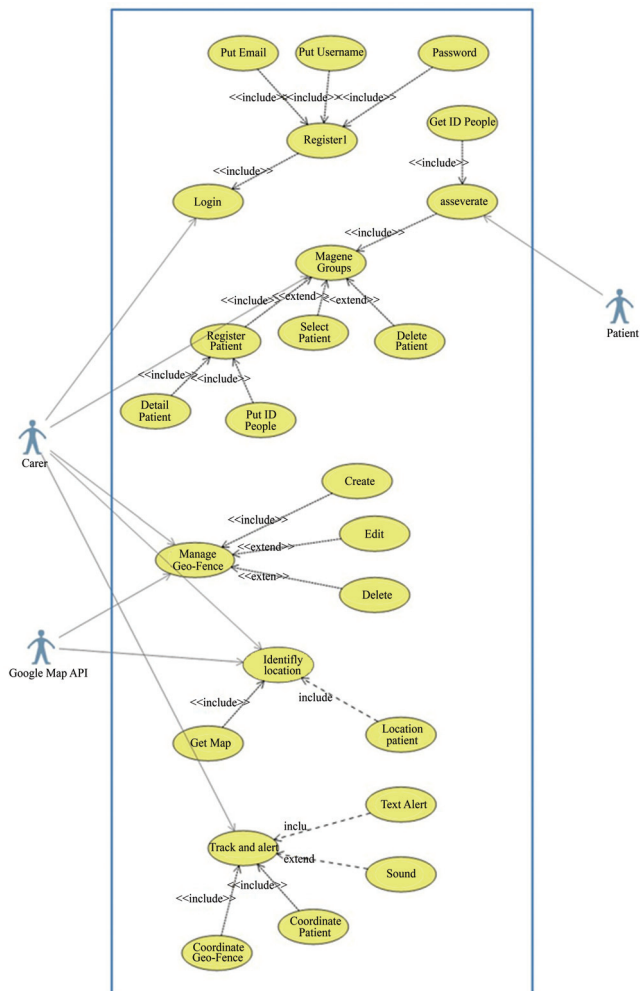
ภาพรวมของระบบ ผู้ดูแลผู้ป่วยสามารถสร้างและกำหนดขอบเขตพื้นที่เฝ้าระวังบันทึกไว้ใน Server และอุปกรณ์ทดสอบระบบ Android ของผู้ป่วยที่ติดตั้งแอปพลิเคชันนี้จะทำการส่งพิกัดตำแหน่งไปบันทึกใน Server จากนั้นระบบตรวจสอบพิกัดตำแหน่งของอุปกรณ์ผู้ป่วยว่าอยู่ในหรือนอกพิกัดของขอบเขตพื้นที่กำหนดไว้ หากพิกัดของอุปกรณ์ผู้ป่วยอยู่นอกขอบเขตพื้นที่กำหนด ระบบจะแจ้งเตือนผ่านแอปพลิเคชันบนมือถืออย่างอัตโนมัติไปยังเครื่องของผู้ดูแลผู้ป่วยในรูปแบบของข้อความลับและเลี้ยง ซึ่งการเฝ้าระวังผู้ป่วยมีประสิทธิภาพมากเมื่อยุ่งยากน้อยจากการโดยระบุตำแหน่งของเป้าหมายด้วย GPS (Global Positioning System) โดยผู้ดูแล 1 คน สามารถดูแลผู้ป่วยได้มากกว่า 1 คน และคงค้างรูปที่ 2

#### การวิเคราะห์และออกแบบระบบ

ระบบเฝ้าระวังการสูญหายในผู้ป่วยสูงอายุมีผู้ใช้งาน 2 กลุ่ม คือ ผู้ดูแลผู้ป่วย และผู้ป่วยโดยพึ่งกันการทำงานของผู้ดูแลสามารถสมัครสมาชิกและเข้าสู่ระบบ จัดการกลุ่มของผู้ป่วย กำหนดขอบเขตพื้นที่ และตรวจสอบตำแหน่งปัจจุบันของผู้ป่วย ส่วนผู้ป่วยสามารถลงทะเบียนเพื่อเชื่อมต่อกับเครื่องผู้ดูแล และระบบแสดงพิกัดปัจจุบันของผู้ป่วยไปยังเครื่องของผู้ดูแล ซึ่งแผนภาพการทำงานของผู้ใช้งานระบบแสดงดังรูปที่ 3



รูปที่ 2 ภาพรวมของระบบ

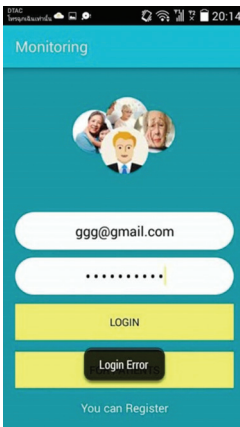


รูปที่ 3 Use Cases Diagram ของระบบ

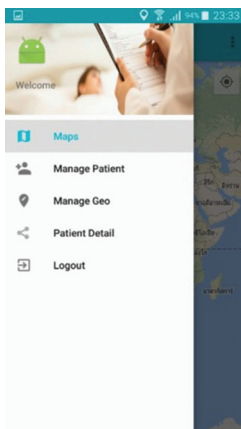
## ผลการวิจัยและการอภิปรายผล

### 1. แอปพลิเคชันในส่วนของผู้ดูแลผู้ป่วย

การสมัครสมาชิกและเข้าสู่ระบบของผู้ดูแลผู้ป่วย ผู้ดูแลสามารถสร้างบัญชีใหม่โดยกรอกข้อมูล Username Email และ Password ซึ่งระบบจะตรวจสอบความถูกต้องของ Email ที่ใช้ หากไม่พบระบบจะให้ผู้ดูแลทำการสมัครสมาชิกได้ ผู้ดูแลสามารถเข้าสู่ระบบโดยใช้ Email และ Password ที่สร้างไว้ จากนั้นระบบนำข้อมูลไปตรวจสอบ หากข้อมูลที่กรอกไม่ถูกต้องระบบจะแสดง Error ให้ผู้ดูแลได้แก้ไข (รูปที่ 4) เมื่อเข้าสู่ระบบ เมนูหลักแสดงดังรูปที่ 5

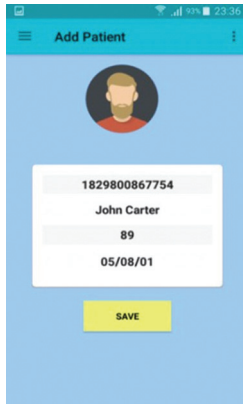


รูปที่ 4 การเข้าสู่ระบบพิคพลาด

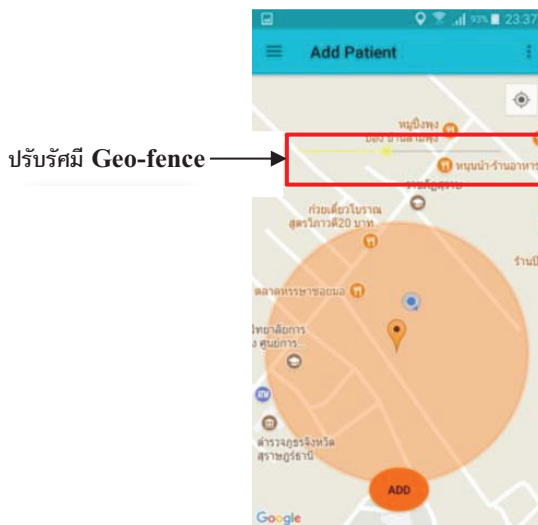


รูปที่ 5 เมนูหลักของระบบ

การจัดการกลุ่มของผู้ป่วย ระบบให้ผู้ดูแลสามารถลงทะเบียนผู้ป่วย โดยใช้เลขบัตรประจำตัวประชาชนเป็นคีย์หลัก (Primary Key) ตลอดจนผู้ดูแลสามารถจัดการ (เพิ่ม ลบ หรือแก้ไข) ข้อมูลส่วนตัวของกลุ่มผู้ป่วย (รูปที่ 6) โดยผู้ดูแล 1 คน สามารถจัดการผู้ป่วยได้มากกว่า 1 คนขึ้นไป



รูปที่ 6 การจัดการกลุ่มผู้ป่วย



รูปที่ 7 การสร้าง Geo-fence

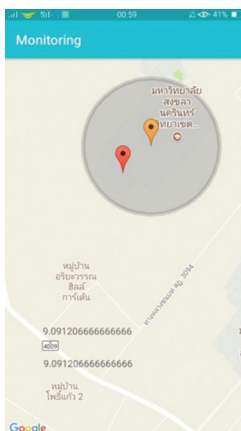
```

  {
    "prefectures": {
      "Alert": {
        "Patient": {
          "GeoId": "1829800867754",
          "GeoLat": "9.087176724791",
          "GeoLang": "99.36508879711",
          "GeoRadius": 100,
          "GeoStatus": 1,
          "UserID": "1X5DRW1BqyfzQd0tr6ALxR7"
        }
      },
      "Geo-fence": {
        "Patient": {
          "GeoId": "1829800867754",
          "GeoLat": "9.087176724791",
          "GeoLang": "99.36508879711",
          "GeoRadius": 100,
          "GeoStatus": 1,
          "UserID": "1829800867754"
        }
      }
    }
  }
  
```

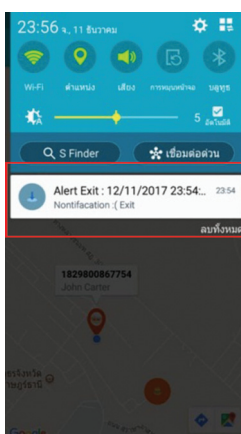
รูปที่ 8 การจัดเก็บข้อมูล

การกำหนดขอบเขตพื้นที่ ผู้ดูแลสามารถเลือกตำแหน่งในแผนที่เพื่อที่จะสร้าง Geo-fence โดยระบบเรียกใช้ Google Map API รับพิกัดตำแหน่งที่จะกำหนดจุดศูนย์กลางในการสร้างขอบเขตพื้นที่ และเรียกใช้การกำหนดขอบเขตพื้นที่แบบวงกลม ตลอดจนผู้ดูแลสามารถปรับศูนย์กลางในการสร้าง Geo-fence ไว้เป็นขอบเขตในการเฝ้าระวังการสูญหายของผู้ป่วย (รูปที่ 7) และนำเข้าค่าพิกัด ค่ารัศมีของ ขอบเขตพื้นที่ล่วงไปเก็บไว้ในฐานข้อมูล (รูปที่ 8)

การตรวจสอบตำแหน่งของผู้ป่วย และแจ้งเตือนเมื่อผู้ป่วยออกนอกพื้นที่ที่กำหนด ระบบสามารถ ตรวจสอบพิกัดของผู้ป่วยกับพิกัดขอบเขตพื้นที่ที่กำหนดไว้ (รูปที่ 9) โดยใช้บริการ Google Map API เพื่อทำการแสดง Map ในระบบ พร้อมทั้งโหลดข้อมูลขอบเขตพื้นที่และพิกัดตำแหน่งทั้งหมดในฐานข้อมูล ตลอดจนแสดงข้อมูลบน Map ของผู้ดูแล และตรวจสอบพิกัดของผู้ป่วยเข้าหรือออกของขอบเขตพื้นที่ รูปที่ 10 แสดงการแจ้งเตือนด้วยข้อความที่ล่วงไปยังผู้ดูแลในกรณีที่ผู้ป่วยออกนอกขอบเขตพื้นที่



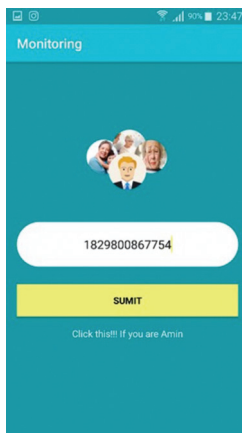
รูปที่ 9 ตรวจสอบพิกัดผู้ป่วยกับขอบเขต



รูปที่ 10 การแจ้งเตือน



รูปที่ 11 การเข้าใช้งานระบบของผู้ป่วย



รูปที่ 12 การลงทะเบียนเพื่อเชื่อมต่อกับเครื่องผู้ดูแล



รูปที่ 13 ตำแหน่งของผู้ป่วยคล้ายเคลื่อนเมื่อยืนที่อับสัญญาณ

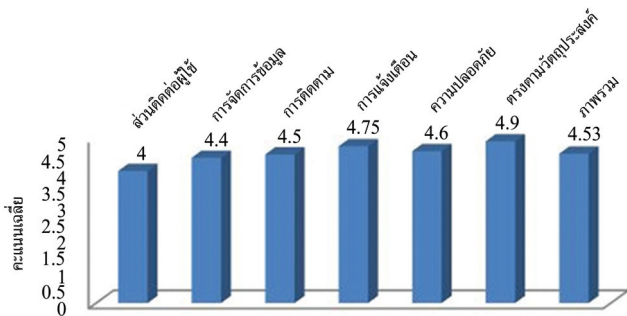
## 2. การพัฒนาในส่วนของผู้ป่วย

การเข้าใช้งานระบบในเครื่องของผู้ป่วยหน้าทักษะแสดงดังรูปที่ 11 โดยผู้ดูแลสามารถกรอกเลขประจำตัวประชาชนของผู้ป่วยที่ตรงกับที่ลงทะเบียนไว้ (รูปที่ 12) เพื่อให้ข้อมูลเข้ามายังเครื่องของผู้ดูแลจากนั้นระบบแสดงพิกัดปัจจุบันของผู้ป่วยไปให้กับเครื่องของผู้ดูแล

## 3. ผลการทดสอบระบบ

ผลการทดสอบประสิทธิภาพของระบบเฝ้าระวังการสูญหายในผู้ป่วยในสถานการณ์จำลองเมื่อกำหนดขอบเขตระยะห่าง 3 เมตร ในบริเวณพื้นที่โล่ง จำนวน 10 ครั้ง พบร่วมเวลาที่ใช้ในการแจ้งเตือนเฉลี่ย 5 วินาทีเมื่ออุปกรณ์ออกเขต ซึ่งระบบแสดงผลการเคลื่อนที่ของผู้ป่วยในหน้าจอของผู้ดูแลได้แบบเรียลไทม์ โดยมีอัตราการส่งและรับข้อมูล 1 วินาทีต่อ 1 ข้อมูล ในที่นี้ออกจากพิกัดละติจูด (Latitude) และลองจิจูด (Longitude) แล้วความเสถียรของอินเทอร์เน็ตก็เป็นปัจจัยหนึ่งที่สำคัญที่ทำให้ระบบไม่สามารถทำงานได้อย่างเต็มประสิทธิภาพพัฒนาในส่วนของการแจ้งเตือนและติดตามแบบเรียล - ไทม์ ผลการทดสอบระบบในอาคารที่อับสัญญาณอินเทอร์เน็ตและสัญญาณ GPS พบร่วมการแสดงตำแหน่งของผู้ป่วยในแอปพลิเคชันนั้นจะคลาดเคลื่อนไปจากตำแหน่งปัจจุบัน (รูปที่ 13) การที่ระบบไม่สามารถทำงานได้เต็มประสิทธิภาพเนื่องจากมีวัตถุมากกีดกันการส่งสัญญาณระหว่างตัวอุปกรณ์กับดาวเทียม ซึ่งเป็นข้อจำกัดของการระบุตำแหน่งที่ตั้ง โดยระบบนี้มีข้อจำกัดเรื่องอินเทอร์เน็ตในการส่งข้อมูลของจุดพิกัดของผู้ป่วยและการส่งแจ้งเตือนไปยังผู้ดูแล หากมีสัญญาณอินเทอร์เน็ตที่ไม่มีประสิทธิภาพอาจทำให้การค้นหาพิกัดของผู้ป่วยและการแจ้งเตือนเกิดความล่าช้าทำให้ผู้ดูแลนั้นไม่สามารถรู้ได้ในทันท่วงที นอกจากนี้แอปพลิเคชันจำเป็นต้องเปิดใช้งานตลอดเวลาเพื่อทราบจุดพิกัดของผู้ป่วย โดยงานวิจัยนี้ได้กำหนดขอบเขตระยะทางที่ใกล้เมื่อผู้ป่วยเดินอุปกรณ์ที่กำหนด ผู้ดูแลจะทราบจากการแจ้งเตือน การเข้าถึงผู้ป่วยอยู่ไม่ไกล การช่วยเหลือสามารถทำได้อย่างทันท่วงที ซึ่งเป็นการป้องกันก่อนสูญหาย หากกำหนดขอบเขตระยะทางใกล้กว่าที่ผู้ดูแลจะทราบผู้ป่วยอาจเดินหลงทางไปที่ห่างไกล การช่วยเหลือไม่ทันการณ์ อาจเพชญูกับผู้ป่วยสูญหายต่อไปได้

ผลการประเมินความพึงพอใจของผู้ใช้งานระบบ คือ บุคคลทั่วไป และนักศึกษา จำนวน 20 คน โดยสุ่มตัวอย่างแบบเจาะจงคนที่บ้านมีผู้สูงอายุในการดูแลเป็นตัวแทนของผู้ดูแลในประเด็นต่าง ๆ 6 ประเด็นดังนี้ 1) ความเหมาะสมของ การใช้งานล้วนติดต่อผู้ใช้ 2) ความสามารถในการตอบสนองของแอปพลิเคชันในส่วนการจัดการข้อมูล 3) ความสามารถฯ ในส่วนการติดตาม 4) ความสามารถฯ ในส่วนการแจ้งเตือน 5) ความปลอดภัยของข้อมูลในผู้ใช้งานแอปพลิเคชัน 6) การใช้งานแอปพลิเคชันตรงตามวัตถุประสงค์ เครื่องมือที่ใช้ในการเก็บรวบรวมข้อมูล คือ แบบสอบถาม มีลักษณะเป็นแบบมาตราส่วนประมาณค่า (Rating Scale) ตามวิธีของลิคิร์ท (Likert) และการแปลผลคะแนนเฉลี่ย 5 ระดับ [8] มีดังนี้ 4.51 - 5.00 พึงพอใจระดับมากที่สุด 3.51 - 4.50 พึงพอใจระดับมาก 2.51 - 3.50 พึงพอใจระดับปานกลาง 1.51 - 2.50 พึงพอใจระดับน้อย และ 1.00 - 1.50 พึงพอใจระดับน้อยที่สุด



รูปที่ 14 ผลการประเมินของผู้ใช้งานระบบ

จากรูปที่ 14 พบร่วมกันว่า ผู้ใช้งานมีความพึงพอใจโดยรวมต่อระบบอยู่ในระดับมากที่สุด (ค่าเฉลี่ยเท่ากับ 4.53) โดยการใช้งานแอปพลิเคชันตรงตามวัตถุประสงค์ ผู้ใช้งานมีความพึงพอใจในระดับมากที่สุด เป็นลำดับแรก (ค่าเฉลี่ยเท่ากับ 4.90) รองลงมาคือ การตอบสนองของแอปพลิเคชันในส่วนการแจ้งเตือน ให้กับผู้ดูแล (ค่าเฉลี่ยเท่ากับ 4.75) และประเด็นที่ผู้ใช้งานพึงพอใจเป็นลำดับสุดท้าย คือ ความเหมาะสม ของการใช้งานส่วนติดต่อผู้ใช้

## บทสรุป

ระบบเฝ้าระวังการสูญหายในผู้ป่วยสูงอายุมีความสามารถในการตรวจสอบพิกัดของผู้ป่วยกับขอบเขตพื้นที่ที่กำหนด และมีการแจ้งเตือนให้กับผู้ดูแลในกรณีที่ผู้ป่วยได้ออกนอกเขตได้จริง ผลการทดสอบพบว่า ผู้ใช้งานระบบมีความพึงพอใจโดยรวมอยู่ในระดับมากที่สุด และเวลาเฉลี่ยที่ใช้ในการแจ้งเตือนไม่ล่าช้า ระบบที่พัฒนาขึ้นมาได้นำเทคโนโลยี Geo-fence มาประยุกต์ใช้ในการกำหนดขอบเขตพื้นที่เฝ้าระวัง ซึ่ง Geo-fence ยังสามารถนำไปประยุกต์ใช้ในการตรวจสอบความเคลื่อนไหวของผู้ใช้งานข้อมูลจากความเสี่ยงภัยพิบัติต่าง ๆ เช่น แผ่นดินไหว น้ำท่วม พายุ เป็นต้น โดยผู้ใช้งานสร้างรั้วเมื่อแนวทางภัยคุกคามในการกำหนดขอบเขตพื้นที่ที่มีความเสี่ยงต่อการเกิดภัยพิบัติเก็บไว้ในเซิร์ฟเวอร์พร้อมทั้งตรวจสอบการเข้าออก จากขอบเขตของผู้ใช้ [9] ตลอดจนระบบตั้งกล่าวยังสามารถนำไปประยุกต์ใช้ในการป้องกันการสูญหาย ในสัตว์เสี่ยง รถยนต์และจักรยานยนต์ เป็นต้น ข้อเสนอแนะในงานวิจัยครั้งต่อไปคืออุปกรณ์ที่ใช้ของผู้ป่วย สำหรับงานวิจัยนี้อาจมีขนาดใหญ่ พกพายาก ในอนาคตควรพัฒนาให้เป็นอุปกรณ์ขนาดเล็ก พกพาง่าย และไม่เป็นลิ้งที่น่ารำคาญ อย่างเช่น กำไลข้อมือ ตลอดจนควรนำระบบตั้งกล่าวไปทดสอบใช้จริงกับผู้ป่วย สูงอายุในโรงพยาบาลหรือตามบ้าน

## กิตติกรรมประกาศ

ขอขอบพระคุณคณะวิทยาศาสตร์และเทคโนโลยีอุตสาหกรรม และกองทุนวิจัย มหาวิทยาลัยสงขลานครินทร์ วิทยาเขตสุราษฎร์ธานี ที่ให้ทุนอุดหนุนโครงการวิจัยนี้

## References

- [1] Saisakul, C., Anthony, S. A., Atkins, and Hongnian, Y. (2010). Perception of Smart Home Technologies to Assist Elderly People. In **Proceedings of the 4<sup>th</sup> International Conference on Software, Knowledge, Information Management and Applications (SKIMA 2010)**. Paro, Bhutan, pp. 90-97
- [2] Tancharoenrat, A. (2010). Alzheimer Disease. **Journal of Education Naresuan University**. Vol. 12, No. 2, pp. 169-182
- [3] Rajesh, K. M., Goutham, P., Vivek, J., Galla, M., and Athul, A. T. (2014). Smartphone Based Continuous Monitoring System for Home-bound Elders and Patients. In **2014 International Conference on Communication and Signal Processing**. pp. 1173-1177. DOI: 10.1109/ICCSP.2014.6950039
- [4] Cristian, R., Hariton, C., Gladiola, A., Razvan-Alin, C., and Felix, A. (2011). An Integrated System for Wireless Monitoring of Chronic Patients and Elderly People. In **15<sup>th</sup> International Conference on System Theory, Control and Computing (ICSTCC)**. pp. 1-4
- [5] Rodríguez, M. J., María, T. A., Francisco, G., Gómez, E. J., Andrés, M., and Dopico, A. (1995). A Home Telecare Management System. **Journal of Telemedicine and Telecare**. Vol. 1, Issue 2, pp. 86-94. DOI: 10.1177/1357633X9500100204
- [6] Surasak, W., Korawat, T., and Watsawee, S. (2015). I'm Wandering: A Prototype Wandering Management System Using Geo-Stream Technique. **Industrial Technology Lampang Rajabhat University Journal**. Vol. 8, No. 2, pp. 112-121
- [7] Reclus, F. and Drouard, K. (2009). Geofencing for Fleet & Freight Management. In **2009 9<sup>th</sup> International Conference on Intelligent Transport Systems Telecommunications, (ITST)**. pp. 353-356. DOI: 10.1109/ITST.2009.-5399328
- [8] Boonchom Srisa Ard. (2013). **Statistical Methods for Research**. 5<sup>th</sup> edition. Bangkok: Suweeriyasan.
- [9] Akira, S. and Ushio, I. (2016). **Using Geofencing for a Disaster Information System**. Graduate School of Engineering Tokyo Denki University Tokyo, Japan.



# วารสาร มทร.อีสาน

ฉบับวิทยาศาสตร์และเทคโนโลยี

ISSN 1906-215X

การกำจัดความชุ่นและปริมาณสารคาร์บอนอินทรีย์ละลายน้ำผิวดินของระบบการผลิตประปาเทศบาลตาลสุม จังหวัดอุบลราชธานี

## Removal of Turbidity and Dissolved Organic Carbon in Surface Water of Water Treatment Plant of Tansum Municipality, Ubon Ratchathani

อมรรัตน์ วงศ์กลม<sup>1\*</sup>

Received: February, 2018; Accepted: June, 2018

### บทคัดย่อ

การวิจัยครั้งนี้มีวัตถุประสงค์เพื่อศึกษาคุณภาพน้ำทางกายภาพและทางเคมีของน้ำผิวดินจากแม่น้ำມูลและน้ำประปาของระบบการผลิตน้ำประปาเทศบาลตาลสุม อำเภอตาลสุม จังหวัดอุบลราชธานี เก็บตัวอย่าง 2 ช่วง คือ ช่วงฤดูแล้ง (เดือนกุมภาพันธ์ 2559) และช่วงฤดูน้ำท拉ก (เดือนมิถุนายน กรกฎาคม และตุลาคม 2559) ศึกษาปัจจัยที่มีผลต่อการกำจัดความชุ่นและสารคาร์บอนอินทรีย์ละลาย ได้แก่ ชนิดและปริมาณสารสร้างตะกอน ความแรงไออกอนและค่าความเป็นกรดด่างของน้ำผิวดิน จากการศึกษาพบว่า คุณภาพน้ำทางกายภาพและทางเคมีของน้ำมีค่าอยู่ในเกณฑ์มาตรฐานคุณภาพน้ำ ยกเว้นน้ำผิวดินที่เก็บในช่วงฤดูน้ำท拉กจะมีความชุ่นสูงเกินค่ามาตรฐานคุณภาพน้ำจากการศึกษาปัจจัยที่มีผลต่อการกำจัดความชุ่นและปริมาณสารคาร์บอนอินทรีย์ละลายในน้ำผิวดินโดยอาศัยกระบวนการสร้างและรวมตะกอนใช้สารสร้างตะกอน 4 ชนิด ได้แก่ เพอริกลอลอไรด์ เพอร์ลชัลเฟต อะลูมิเนียมชัลเฟต และโพลีอะลูมิเนียมคลอไรด์ ทดสอบโดยใช้เครื่องจาร์เทสต์ด้วยการกวานเร็ว 100 รอบต่อนาที เป็นเวลา 10 นาที กว้างช้า 30 รอบต่อนาที เป็นเวลา 20 นาที และตกตะกอนเป็นเวลา 60 นาที พบรากการใช้ชนิดและปริมาณสารสร้างตะกอนและระดับ pH ที่เหมาะสมจะสามารถกำจัดความชุ่นและปริมาณสารคาร์บอนอินทรีย์ละลายในน้ำผิวดินได้

<sup>1</sup> Faculty of Science, Ubon Ratchathani Rajabhat University

\* Corresponding Author E - mail Address: amornrat\_dekarnkon@hotmail.com

ในขณะที่ความแรงไฮดรอกซิลของน้ำจะมีผลต่อการกำจัดความชุ่นและสารคาร์บอนอินทรีย์ละลายน้ำผิวดิน ในสภาวะที่ไม่มีการเติมปูนขาวเพียงเล็กน้อย การเติม  $\text{FeCl}_3$  20 mg/L  $\text{FeSO}_4$  10 mg/L Alum 20 mg/L และ  $\text{PACl}$  20 mg/L ในน้ำผิวดินและควบคุม pH เท่ากับ 7 จะมีประสิทธิภาพการกำจัดความชุ่นสูงถึงร้อยละ 93.72 50.27 93.92 และ 96.36 ตามลำดับ และมีประสิทธิภาพการกำจัดสารคาร์บอนอินทรีย์ละลายน้ำผิวดินอยู่ในเกณฑ์มาตรฐานคุณภาพน้ำของการประปาส่วนภูมิภาค

**คำสำคัญ :** ความชุ่น; สารคาร์บอนอินทรีย์ละลายน้ำผิวดิน

## Abstract

The objective of this research was to study physical and chemical qualities of surface water from Moon river, and tap water from Water Treatment Plant of Tansum Municipality, Ubon Ratchathani. Samples were collected in two periods including in the dry season (February 2016) and rainy season (June, July, and October 2016). The effects of coagulants types and concentrations, pH and ionic strength on removal of turbidity and dissolved organic carbon content in surface water were studied. It was found that surface water from Moon river, and tap water from Water Treatment Plant were in the range of water quality except surface water collected in the rainy season. The effects on removal of turbidity and dissolved organic carbon content in surface water by chemical precipitation process were studied. The coagulants used in these experiments were ferric chloride, ferrous sulfate, aluminium sulphate and polyaluminium chloride. The jar test was used with 100 rpm rapid mixing for 10 minutes, follow by slow mixing 30 rpm for 20 minutes and setting for 60 minutes. It was found that the use of optimized type and concentration of coagulants and pH levels were affected on removal of turbidity and dissolved organic carbon content in surface water while the ionic strength was affected in the condition without a little amount of lime. The addition of  $\text{FeCl}_3$  20 mg/L,  $\text{FeSO}_4$  10 mg/L, Alum 20 mg/L and  $\text{PACl}$  20 mg/L at pH 7 could be high efficiency removal of turbidity and total organic carbon content in surface water. The percentages of removal of turbidity were 93.72, 50.27, 93.92 and 96.36, respectively. The percentages of removal of dissolved organic carbon were 79.54, 61.95, 79.02 and 79.32, respectively. Turbidity and dissolved organic carbon were in the quality of tap water by Provincial Waterworks Authority.

**Keywords:** Turbidity; Dissolved Organic Carbon; Surface Water

## บทนำ

ประเทศไทยบาลatal สุม อำเภอตาลสุม จังหวัดอุบลราชธานี มีระบบการผลิตน้ำประปาที่ใช้น้ำผิวดินจากแม่น้ำมูลมาผ่านกระบวนการสร้างและรวมตะกอน แต่การใช้น้ำดินจากแหล่งน้ำผิวดินมักพบปัญหาต่าง ๆ เช่น การปนเปื้อนของสารอินทรีย์ และความชุ่นในน้ำอาจมาจากสภาพพื้นที่หรือสภาพของถดถอยที่ส่งผลทำให้ดัชนีคุณภาพของน้ำเกิดการเปลี่ยนแปลงได้ เช่น ความชุ่นของน้ำหรือการเจือจางขององค์ประกอบของสารอินทรีย์ในน้ำ ซึ่งการเปลี่ยนสภาพขององค์ประกอบของน้ำอาจส่งผลต่อปริมาณการใช้สารเคมีสำหรับผลิตน้ำประปา เช่น การเติมสารเคมีเพื่อช่วยในการสร้างและการรวมตะกอน การใช้สารที่เป็นกรดและเบสสำหรับปรับสภาพของค่าความเป็นกรด – ด่าง การใช้สารคลอรินเพื่อใช้ในกระบวนการฆ่าเชื้อโรค [1]-[2] การเติมปริมาณสารเคมีมากไปหรือน้อยไปอาจส่งผลกระทบต่อค่าใช้จ่ายในการลงทุนเพื่อผลิตน้ำประปา และประสิทธิภาพการผลิตน้ำประปา นอกจากนี้การใช้สารเคมีบางชนิดอาจทำให้มีปริมาณของตะกอนมากขึ้น และยากต่อการกำจัดตะกอนหรืออาจใช้พื้นที่ในการบำบัดเพิ่มขึ้น

สำหรับกระบวนการสร้างและการรวมตะกอน น้ำดินที่สูบน้ำแล้วจะนำมาผสมกับสารเคมี เช่น สารสร้างตะกอน (สารลัม) และปูนขาวเพื่อปรับปรุงคุณภาพน้ำดิน สารลัมจะช่วยให้มีการรวมตะกอนส่วนสารละลายปูนขาวจะช่วยปรับความเป็นค่ารวมทั้งยังการเจริญเติบโตของตะไคร่น้ำหรือสาหร่ายในน้ำ ลิ่งที่ควรให้ความสำคัญคือ การศึกษาประสิทธิภาพของการรวมตะกอนกับปริมาณสารเคมีที่ใช้ในการรวมตะกอน การเติมสารเคมีช่วยสร้างตะกอนและกำจัดสารอินทรีย์ในกระบวนการรวมตะกอนอาจส่งผลให้สารอินทรีย์ที่เกิดปฏิกิริยา กับคลอรินในกระบวนการฆ่าเชื้อโรคได้ แล้วทำให้เกิดสารไตรไฮโลเมธาน (Trihalomethanes, THMs) ขึ้น ซึ่งสารที่เกิดขึ้นเป็นสารก่อมะเร็งที่เป็นอันตรายต่อผู้อุบัติภัย [2]-[3] ปัจจัยที่มีผลต่อกระบวนการเกิดสารกลุ่ม THMs ได้แก่ ความเข้มข้นของสารอินทรีย์ธรรมชาติในน้ำ ปริมาณคลอริน ระยะเวลาในการทำปฏิกิริยาทางเคมีระหว่างสารอินทรีย์ธรรมชาติในน้ำกับคลอรินค่าความเป็นกรด – ด่างของน้ำ อุณหภูมิของน้ำและปริมาณความเข้มข้นของ碧水ไมค์ซึ่งส่งผลโดยตรงต่อการเกิดสารประกอบกลุ่ม THMs [4] การป้องกันการเกิดสารกลุ่ม THMs สามารถทำได้หลายวิธีด้วยกัน เช่น การเปลี่ยนแหล่งน้ำที่มีสารอินทรีย์ในปริมาณน้อย การเลือกสารเคมีในการฆ่าเชื้อโรคชนิดอื่น เช่น การใช้อโซนหรือแสงอุลตราไวโอลেตในการฆ่าเชื้อโรคแทนคลอริน แต่อย่างไรก็ตามการฆ่าเชื้อโรคด้วยคลอรินก็ยังเป็นที่นิยมอย่างกว้างขวาง เนื่องจากคลอรินสามารถฆ่าเชื้อแบคทีเรียหรือไวรัสในน้ำได้และง่ายต่อการควบคุมดูแลระบบประปา ดังนั้นการจัดการที่ต้นเหตุคือ การกำจัดสารอินทรีย์ธรรมชาติในน้ำจึงง่ายกว่าการเปลี่ยนแปลงระบบสารเคมี การกำจัดสารอินทรีย์สามารถทำได้โดยการสร้างและการรวมตะกอน [5] - [6] การเกิดออกซิเดชันทางเคมี และการกรองโดยผ่านเยื่อบาง [7] การกรองโดยผ่านเยื่อบางเป็นวิธีที่สามารถบำบัดสารอินทรีย์ได้ดี แต่ค่าใช้จ่ายในการบำบัดค่อนข้างสูง จึงจำเป็นอย่างยิ่งที่ต้องมีการบำบัดน้ำในขั้นต้น ก่อนนำมาผ่านแผ่นเยื่อบางเพื่อยืดอายุการใช้งานของแผ่นเยื่อบาง และเป็นการลดต้นทุนในการผลิตน้ำสะอาด การกำจัดหรือการลดปริมาณสารอินทรีย์ธรรมชาติในน้ำด้วยกระบวนการสร้างและรวมตะกอนโดยใช้สารประกอบของโลหะหรือเกลือของโลหะที่ละลายน้ำแล้วได้ประจุบวก เมื่อรวมตัวกับสารอินทรีย์ธรรมชาติในน้ำที่แตกตัวให้ประจุลบเกิดเป็นสารประกอบเชิงช้อนซึ่งเป็นของแข็งแยกตัวออกจากน้ำ [8] - [10] ก่อนที่จะทำการฆ่าเชื้อโรคด้วยคลอรินต่อไป ซึ่งวิธีการนี้จะเป็นวิธีการที่ง่าย สะดวกต่อการจัดการและค่าใช้จ่ายในการบำบัดต่ำ โครงการวิจัยนี้จึงมุ่งศึกษาคุณภาพน้ำ

ทางกายภาพและทางเคมี [11] ศึกษาปัจจัยที่มีผลต่อการกำจัดความชุ่นและปริมาณสารคาร์บอนอินทรีย์ละลายน้ำผิวดินด้วยกระบวนการสร้างและรวมตะกอนโดยใช้วิธี Jar test [12] ได้แก่ ชนิดและปริมาณสารสร้างตะกอน ความแรงไออ่อนและระดับความเป็นกรด - ด่างของน้ำผิวดิน [13] - [15] เพื่อใช้ในการดำเนินระบบการผลิตน้ำประปาของประปาเทศบาลตากสุม อำเภอตากสุม จังหวัดอุบลราชธานี

## วิธีดำเนินงานวิจัย

1. เก็บตัวอย่างน้ำผิวดินจากแม่น้ำมูลที่ใช้ในการผลิตน้ำประปา และน้ำประปาของการประปาเทศบาลตากสุม อำเภอตากสุม จังหวัดอุบลราชธานี 2 ช่วง คือ ช่วงฤดูแล้ง (เดือนกุมภาพันธ์ 2559) และช่วงฤดูน้ำทลาก (เดือนมิถุนายน กรกฎาคม และเดือนตุลาคม 2559) เพื่อวิเคราะห์คุณสมบัติทางกายภาพ และทางเคมีบางประการ

เก็บตัวอย่างน้ำผิวดินจากแม่น้ำมูลโดยใช้แรงดันจากปั๊มน้ำในเดือนกรกฎาคม 2559 (รูปที่ 1) เก็บไปเลี้ยงพลาสติกขนาด 20 ลิตร จำนวน 10 ถุง เพื่อทดสอบการกำจัดความชุ่นและสารคาร์บอนอินทรีย์ละลายน้ำด้วยกระบวนการสร้างและรวมตะกอน โดยเก็บรักษาตัวอย่างภายใต้อุณหภูมิ 4 °C ดำเนินการทำ Jar test ภายใน 24 วัน สำหรับวิเคราะห์ความชุ่น และภายใน 7 วัน สำหรับการวิเคราะห์สารคาร์บอนอินทรีย์ละลายน้ำ ดำเนินการทดลองส่วนละ 5 ชั้น



รูปที่ 1 ท่อสูบน้ำผิวดินจากแม่น้ำมูลเข้าสู่ระบบการผลิตน้ำประปา

2. วิเคราะห์คุณภาพน้ำทางกายภาพ ได้แก่ ความชุ่น และวิเคราะห์ทางเคมี ได้แก่ ความเป็นกรด - ด่าง ค่าความเป็นด่าง ค่าความเป็นกรด ความกระด้างทั้งหมด คลอไรด์ ชัลเฟต ในเตรต ฟอสเฟต เหล็ก แมงกานิส สังกะสี และตะกั่ว [11] ของน้ำผิวดินและน้ำประปา โดยดำเนินการทดลอง 5 น้ำ

3. ศึกษาปัจจัยที่มีผลต่อการกำจัดความชุ่นและปริมาณสารคาร์บอนอินทรีย์ละลายน้ำ (DOC) ในน้ำผิวดินโดยอาศัยกระบวนการสร้างและรวมตะกอน โดยใช้เครื่อง Jar test

3.1 ชนิดและปริมาณสารสร้างตะกอน สารสร้างตะกอนที่ใช้ ได้แก่ อะลูมิเนียมชัลเฟต ( $\text{Alum} ; \text{Al}_2(\text{SO}_4)_3 \cdot 18 \text{ H}_2\text{O}$ ) เฟอร์ริกคลอไรด์ ( $\text{FeCl}_3$ ) เฟอร์รัสชัลเฟต ( $\text{FeSO}_4$ ) และพอลิอะลูมิเนียม

คลอไรด์ (PACl, Polyaluminium chloride 18 %  $\text{Al}_2\text{O}_3$ ) เช็มชั้น 10 20 40 60 80 และ 100 mg/L [16] - [17] โดยใช้การกวนเร็ว 100 รอบต่อนาที เป็นเวลา 10 นาที และกวนช้า 30 รอบต่อนาที เป็นเวลา 20 นาที [12]

3.2 ความแรงไฮอ่อน โดยใช้สารละลายน้ำเดี่ยมคลอไรด์ (NaCl) เช็มชั้น 0.01 0.02 0.04 0.06 0.08 และ 0.1 mol/L เพื่อทดสอบกับสารสร้างตะกอนที่ให้ผลการตกรดต่อไปนี้

3.3 ความเป็นกรด - ด่าง โดยปรับสภาพน้ำผิวดินให้มี pH 4 7 และ 10 [17] เพื่อทดสอบกับสารสร้างตะกอนที่ให้ผลการตกรดต่อไปนี้

## ผลการวิจัย

### 1. ผลการศึกษาคุณภาพน้ำทางกายภาพและทางเคมีของน้ำผิวดินและน้ำประปา

จากการที่ 1 และ 2 เป็นผลการศึกษาคุณภาพน้ำทางกายภาพและทางเคมีของน้ำผิวดินจากแม่น้ำมูลที่ใช้ในการผลิตน้ำประปาและน้ำประปางของการประปาเทศบาลตากสุม อำเภอตากสุม จังหวัดอุบลราชธานี ตามมาตรฐานคุณภาพน้ำผิวดิน และคุณภาพน้ำประปางของการประปาส่วนภูมิภาค พบร่วมกับค่าความเป็นกรด ค่าความเป็นด่าง บริมาณคลอไรด์ บริมาณชัลเฟต บริมาณไนเตรท บริมาณฟอลเฟต ค่าความกระด้างทั้งหมด มีค่าอยู่ในเกณฑ์มาตรฐานคุณภาพน้ำในแหล่งน้ำผิวดิน ประเภทที่ 2 (แหล่งน้ำที่ได้รับน้ำทึบจากกิจกรรมบางประเภท และสามารถเป็นประโยชน์เพื่อการอุปโภคและบริโภคโดยต้องผ่านการฆ่าเชื้อโรคตามปกติก่อน และผ่านกระบวนการปรับปรุงคุณภาพน้ำทั่วไปก่อน การอนุรักษ์สัตว์น้ำ การประมง การว่ายน้ำ และกีฬาทางน้ำ) และมาตรฐานคุณภาพน้ำของการประปาส่วนภูมิภาคส่วนค่าความเป็นกรด - ด่าง ความชุ่น และโลหะหนัก จะมีค่าเกินเกณฑ์มาตรฐานคุณภาพน้ำในแหล่งน้ำผิวดินและมาตรฐานคุณภาพน้ำของการประปาส่วนภูมิภาคในช่วงฤดูน้ำหลาก ทั้งนี้เนื่องจากในช่วงฤดูน้ำหลากจะเกิดการพัดพาເօາະตະກອນท้องน้ำและสารอินทรีย์มาก จึงทำให้เกิดปัญหาการปนเปื้อนของสารอินทรีย์และความชุ่นในน้ำ และล่งผลต่อค่า pH ที่เปลี่ยนแปลงไป ดังนั้น การเปลี่ยนแปลงสภาพพื้นที่หรือสภาพของฤดูกาลจะล่งผลทำให้ดัชนีคุณภาพของน้ำเกิดการเปลี่ยนแปลงได้ และล่งผลต่อปริมาณการใช้สารเคมีเพื่อการผลิตน้ำประปา

ตารางที่ 1 คุณภาพน้ำทางกายภาพและทางเคมีของน้ำผิวดินที่ใช้ผลิตน้ำประปางของการประปาเทศบาลตากสุม อำเภอตากสุม จังหวัดอุบลราชธานี

ปัจจัยบ่งชี้คุณภาพน้ำ	มาตรฐานคุณภาพน้ำ ในแหล่งน้ำผิวดิน	ปริมาณที่ตรวจได้			
		กม/g	มิถุนายน	กรกฎาคม	ตุลาคม
ค่าความเป็นกรด (mg/L)	ไม่ระบุ	9.88	12.41	5.13	8.00
ค่าความเป็นด่าง (mg/l as $\text{CaCO}_3$ )	ไม่ระบุ	42.05	46.65	28.08	32.13
คลอไรด์ (mg/L)	ไม่ระบุ	1.73	2.18	1.16	16.73
ชัลเฟต (mg/L)	ไม่ระบุ	0.658	0.324	2.965	4.177

**ตารางที่ 1 คุณภาพน้ำทางกายภาพและทางเคมีของน้ำผิวดินที่ใช้ผลิตน้ำประปาของประเทศไทย  
ตากสุม อำเภอตากสุม จังหวัดอุบลราชธานี (ต่อ)**

ปัจจัยบ่งชี้คุณภาพน้ำ	มาตรฐานคุณภาพน้ำ ในแหล่งน้ำผิวดิน	ปริมาณที่ตรวจได้			
		กุมภาพันธ์	มิถุนายน	กรกฎาคม	ตุลาคม
ในต่ำ (mg/L)	ไม่เกิน 5.0 mg/L	0.287	0.330	0.432	0.309
ฟอสเฟต (mg/L)	ไม่ระบุ	0.018	0.021	0.008	0.036
ความกระด้างทั้งหมด (mg/l as CaCO <sub>3</sub> )	ไม่ระบุ	58.33	44.86	27.02	31.95
ค่าความเป็นกรด - ด่าง	5 - 9	6.620	6.450	6.550	6.670
ความชุ่น (NTU)	ไม่เกิน 5 NTU	1.66	0.62	4.56	14.80
เหล็ก (Fe, mg/L)	ไม่ระบุ	0.213	0.470	0.808	0.834
แมงกานิส (Mn, mg/L)	ไม่เกิน 1.00 mg/L	0.033	0.210	n.d.	n.d.
สังกะสี (Zn, mg/L)	ไม่เกิน 1.00 mg/L	0.203	0.117	1.762	1.173
ตะกั่ว (Pb, mg/L)	ไม่เกิน 0.05 mg/L	0.038	0.050	0.067	0.017

**ตารางที่ 2 คุณภาพน้ำทางกายภาพและทางเคมีของน้ำประปาของประเทศไทย  
ตากสุม อำเภอตากสุม จังหวัดอุบลราชธานี**

ปัจจัยบ่งชี้คุณภาพน้ำ	มาตรฐานคุณภาพน้ำ ประจำ	ปริมาณที่ตรวจได้			
		กุมภาพันธ์	มิถุนายน	กรกฎาคม	ตุลาคม
ค่าความเป็นกรด (mg/L)	ไม่ระบุ	3.850	3.940	8.930	3.720
ค่าความเป็นด่าง (mg/l as CaCO <sub>3</sub> )	ไม่ระบุ	20.43	21.24	10.15	18.87
คลอรอไรด์ (mg/L)	ไม่เกิน 250 mg/L	1.67	2.58	1.42	17.78
ขัลไฟต์ (mg/L)	ไม่เกิน 250 mg/L	4.66	5.66	4.54	5.71
ในต่ำ (mg/L)	ไม่เกิน 50 mg/L	0.170	0.241	0.176	0.075
ฟอสเฟต (mg/L)	ไม่ระบุ	0.0056	0.0081	0.0029	0.0340
ความกระด้างทั้งหมด (mg/l as CaCO <sub>3</sub> )	ไม่เกิน 300 mg/L	58.74	82.69	41.62	54.37
ค่าความเป็นกรด - ด่าง	6.5 - 8.5	6.150	5.170	5.450	6.580
ความชุ่น (NTU)	ไม่เกิน 4 NTU	0.89	0.86	0.62	0.76
เหล็ก (Fe, mg/L)	ไม่เกิน 0.30 mg/L	0.185	0.067	0.283	0.886
แมงกานิส (Mn, mg/L)	ไม่เกิน 0.30 mg/L	0.028	0.230	0.023	n.d.
สังกะสี (Zn, mg/L)	ไม่เกิน 3.0 mg/L	0.127	0.327	0.093	0.075
ตะกั่ว (Pb, mg/L)	ไม่เกิน 0.01 mg/L	0.038	0.033	0.094	0.034

หมายเหตุ: มาตรฐานคุณภาพน้ำประปาของการประปาส่วนภูมิภาคตามคำแนะนำขององค์การอนามัยโลก (WHO) ปี 2011

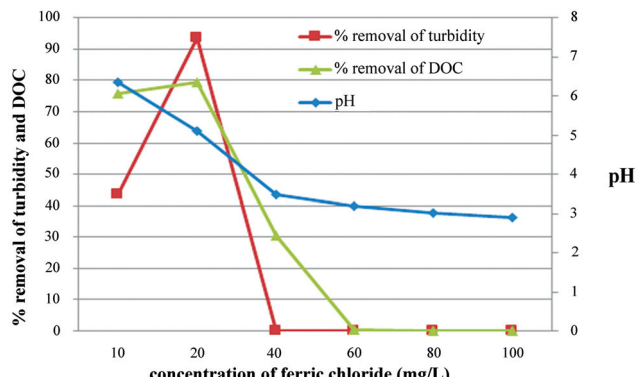
## 2. ผลของชนิดและปริมาณสารสร้างตะกอนต่อการกำจัดความชุ่นและปริมาณ DOC

จากการนำน้ำผิวดินมาทดสอบกรณีไม่เติมปูนขาวร่วมกับการเติม  $\text{FeCl}_3$  พบว่า เมื่อเติม  $\text{FeCl}_3$  ลงไปในน้ำผิวดิน (ความชุ่น 14.80 NTU, pH 6.67) ที่ระดับความเข้มข้น 10 - 100 mg/L จะทำให้ค่า pH ของน้ำผิวดิน (pH 6.67) มีค่า pH ต่ำลงถึง 2.90 ซึ่งการเติม  $\text{FeCl}_3$  20 mg/L สามารถกำจัดความชุ่นและปริมาณ DOC ได้ดีที่สุด โดยมีประสิทธิภาพการกำจัดความชุ่นร้อยละ 93.72 (0.93 NTU) และประสิทธิภาพการกำจัด DOC ร้อยละ 79.54 (5.50 mg/L) ในขณะที่เมื่อเพิ่มความเข้มข้นของ  $\text{FeCl}_3$  เป็น 40 - 100 mg/L จะมีประสิทธิภาพการกำจัดความชุ่นและประสิทธิภาพการกำจัด DOC ลดลง (ความชุ่น 14.2 - 16.5 NTU, DOC 18.72 - 37.79 mg/L) ดังแสดงในรูปที่ 2 (ก) ซึ่งที่ระดับความเข้มข้น 40 - 100 mg/L จะเป็นระดับความเข้มข้นที่มากเกินพอกองการกำจัดความชุ่น และ DOC ตัวอย่างน้ำผิวดินจะมีลักษณะคลุมล้มของ  $\text{FeCl}_3$  และได้ตะกอนลึกล้ำแดง จากการทดลองนี้ จึงเลือกใช้ความเข้มข้นของ  $\text{FeCl}_3$  20 mg/L เพื่อทำการทดสอบต่อไป

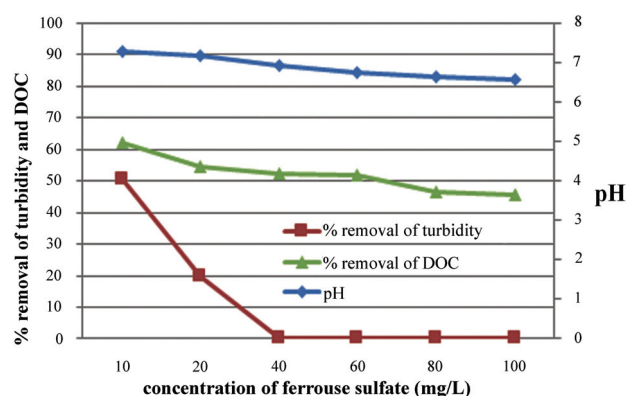
การเติม  $\text{FeSO}_4$  10 - 100 mg/L ลงในน้ำผิวดินในสภาวะที่ไม่มีการเติมปูนขาวจะทำให้ค่า pH ของน้ำผิวดิน (pH 6.67) มีค่า pH ต่ำลงถึง 6.55 ซึ่งการเติม  $\text{FeSO}_4$  10 mg/L สามารถกำจัดความชุ่นและปริมาณ DOC ได้ดีที่สุด โดยมีประสิทธิภาพการกำจัดความชุ่นร้อยละ 50.27 (7.36 NTU) และ มีประสิทธิภาพการกำจัด DOC ร้อยละ 61.95 (10.23 mg/L) เมื่อเพิ่มความเข้มข้นของ  $\text{FeSO}_4$  20 - 100 mg/L จะทำให้ประสิทธิภาพการกำจัดความชุ่นและ DOC ลดลง (ความชุ่น 11.9 - 29.5 NTU, DOC 12.20 - 14.61 mg/L) ดังแสดงในรูปที่ 2 (ข) ซึ่งที่ระดับความเข้มข้นของ  $\text{FeSO}_4$  เป็น 20 - 100 mg/L เป็นระดับความเข้มข้นมากเกินพอกองการกำจัดความชุ่นและ DOC จะทำให้ตัวอย่างน้ำมีลักษณะคลุมล้มของ  $\text{FeSO}_4$  จากการทดลองนี้จึงเลือกใช้  $\text{FeSO}_4$  10 mg/L เพื่อทำการทดสอบต่อไป

การเติม  $\text{Al}_2(\text{SO}_4)_3 \cdot 18 \text{ H}_2\text{O}$  (Alum) 10 - 100 mg/L ลงในน้ำผิวดินในสภาวะที่ไม่มีการเติมปูนขาวจะทำให้ค่า pH ของน้ำผิวดิน (pH 6.67) มีค่า pH ต่ำลงถึง 4.25 ซึ่งการเติม Alum 20 mg/L สามารถกำจัดความชุ่นและปริมาณ DOC ได้ดีที่สุด โดยมีประสิทธิภาพการกำจัดความชุ่นร้อยละ 93.92 (0.90 NTU) และมีประสิทธิภาพการกำจัด DOC ร้อยละ 79.02 (5.64 mg/L) เมื่อเพิ่มความเข้มข้นของ Alum 40 - 100 mg/L จะทำให้ประสิทธิภาพการกำจัดความชุ่นลดลงเพียงเล็กน้อย (ความชุ่น 2.8 - 3.58 NTU, DOC 5.71 - 5.82 mg/L) คือ ร้อยละ 75.81 - 81.09 และ 78.35 - 78.76 ดังแสดงในรูปที่ 2 (ค) จากการทดลองนี้จึงเลือกใช้ Alum 20 mg/L เพื่อทำการทดสอบต่อไป

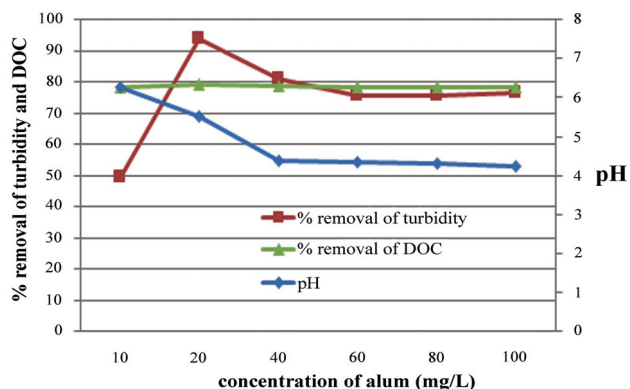
การเติม  $\text{PACl}$  10 - 100 mg/L ลงในน้ำผิวดินในสภาวะที่ไม่มีการเติมปูนขาวจะทำให้ค่า pH ของน้ำผิวดิน (pH 6.67) มีค่า pH ต่ำลงที่ pH 5.13 ซึ่งการเติม  $\text{PACl}$  10 - 40 mg/L จะมีประสิทธิภาพการกำจัดความชุ่นร้อยละ 78.72 - 96.36 (ความชุ่น 0.548 - 3.15 NTU) และมีประสิทธิภาพการกำจัดสารคาร์บอนอินทรีย์ล้ำลายร้อยละ 73.70 - 79.32 (DOC 5.56 - 7.07 mg/L) และที่ระดับความเข้มข้น 20 mg/L จะมีประสิทธิภาพการกำจัดความชุ่นและ DOC สูงที่สุด คือ ร้อยละ 96.36 (0.548 NTU) และ ร้อยละ 79.32 (5.56 mg/L) ตามลำดับ ในขณะที่เมื่อเพิ่มความเข้มข้นของ  $\text{PACl}$  60 - 100 mg/L จะทำให้ประสิทธิภาพการกำจัดความชุ่นและ DOC ลดลงเพียงเล็กน้อยร้อยละ 64.40 - 70.21 (4.41 - 5.27 NTU) และร้อยละ 58.37 - 72.47 ดังแสดงในรูปที่ 2 (ง) จากการทดลองนี้จึงเลือกใช้  $\text{PACl}$  20 mg/L เพื่อทำการทดสอบต่อไป



(n)  $\text{FeCl}_3$

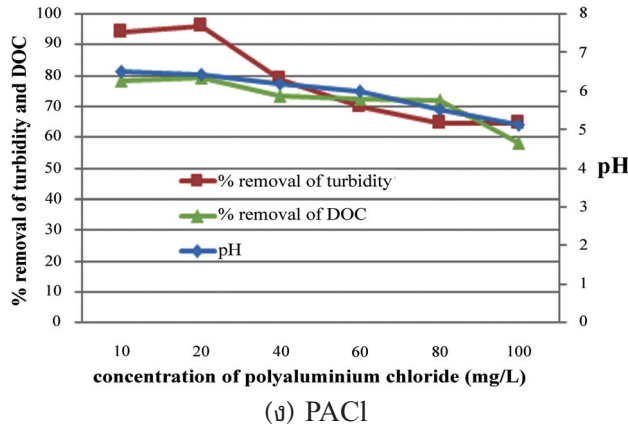


(y)  $\text{FeSO}_4$



(ค) Alum

รูปที่ 2 ผลของชนิดและปริมาณสารล้างตะกอนต่อการกำจัดความชุ่นและปริมาณ DOC ในน้ำผิวดิน  
จากแม่น้ำมูล

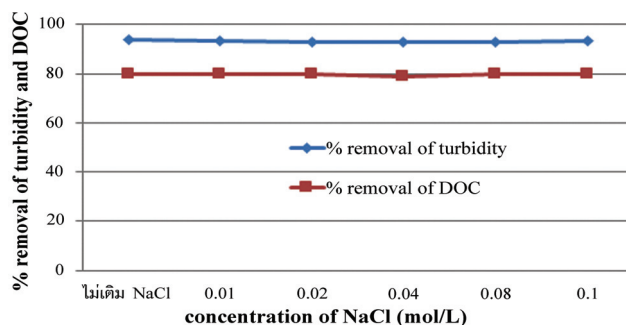


(ง) PACl

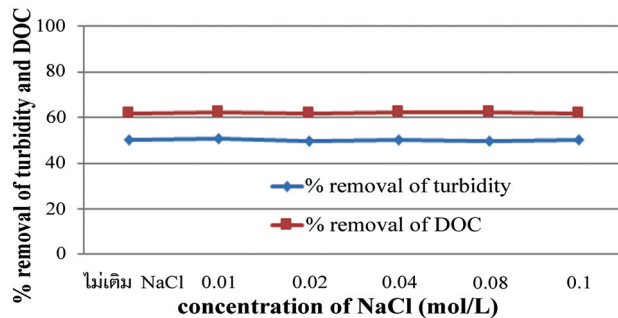
รูปที่ 2 ผลของชนิดและปริมาณสารสร้างตะกอนต่อการกำจัดความชุ่นและปริมาณ DOC ในน้ำผิวดินจากแม่น้ำมูล (ต่อ)

### 3. ผลของความแรงไอօนต่อการกำจัดความชุ่นและปริมาณ DOC

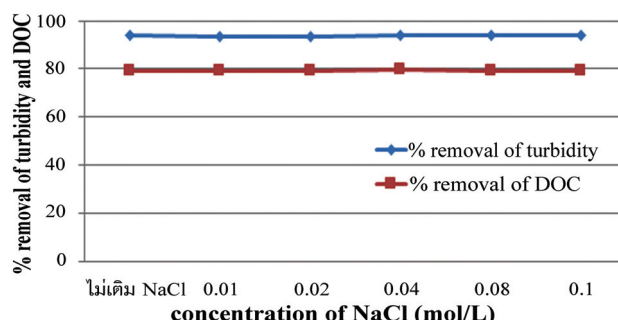
การศึกษาครั้งนี้จะปรับให้น้ำผิวดินมีความแรงไอօนด้วยสารละลายนาโนโซเดียมคลอไรด์ NaCl 0.01 – 0.1 mol/L เพื่อทดสอบกับสารสร้างตะกอนแต่ละชนิดที่ระดับความเข้มข้นที่ให้ผลการตกรอกตะกอนดีที่สุดและสามารถลดความชุ่นและปริมาณ DOC ในน้ำผิวดินได้สูงที่สุด จากรูปที่ 3 และคงให้เห็นว่า การเติม  $\text{FeCl}_3$  20 mg/L (รูปที่ 3 (ก))  $\text{FeSO}_4$  10 mg/L (รูปที่ 3 (ข)) Alum 20 mg/L (รูปที่ 3 (ค)) และ PACl 20 mg/L (รูปที่ 3 (ง)) ในน้ำผิวดินที่ปรับให้มีความแรงประจุด้วยสารละลายนาโนโซเดียมคลอไรด์ NaCl 0.01 – 0.1 mol/L จะมีผลต่อประสิทธิภาพการกำจัดความชุ่นและ DOC ในน้ำผิวดินที่ผ่านกระบวนการสร้างและรวมตะกอนในสภาวะที่ไม่มีการเติมปูนขาว เพียงเล็กน้อย โดยมีประสิทธิภาพการกำจัดความชุ่นร้อยละ 92.64 – 93.72, 49.67 – 50.68, 93.38 – 94.19 และ 96.09 – 96.36 ตามลำดับ และมีประสิทธิภาพการกำจัด DOC ร้อยละ 79.02 – 79.91, 61.57 – 62.54, 78.95 – 79.62 และ 79.06 – 79.84 ตามลำดับ โดยที่ความชุ่นของน้ำผิวดินอยู่ในเกณฑ์มาตรฐานคุณภาพน้ำของการประปาส่วนภูมิภาค กำหนดให้ค่าความชุ่นของน้ำไม่เกิน 4 NTU ยกเว้น การเติม  $\text{FeSO}_4$  10 mg/L ทำให้ความชุ่นมีค่าเกินเกณฑ์มาตรฐานคุณภาพน้ำของการประปาส่วนภูมิภาค

(ก)  $\text{FeCl}_3$  20 mg/L

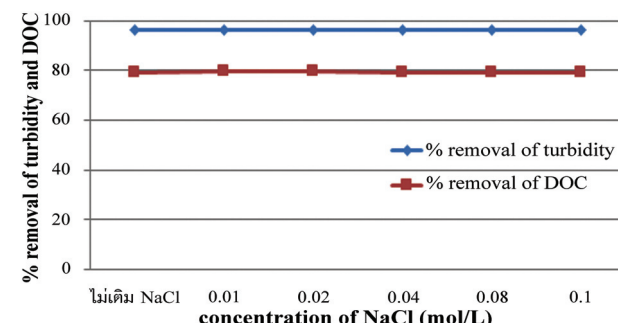
รูปที่ 3 ผลของความแรงไอօนต่อการกำจัดความชุ่นและปริมาณ DOC เมื่อทดสอบกับสารสร้างตะกอนที่ระดับความเข้มข้นที่ให้ผลการตกรอกตะกอนดีที่สุด



(บ)  $\text{FeSO}_4$  10 mg/L



(ค) Alum 20 mg/L



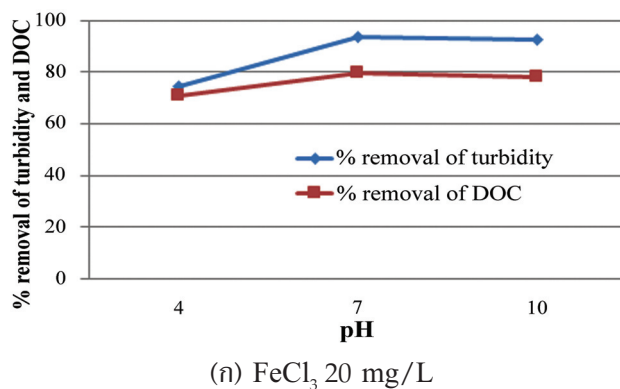
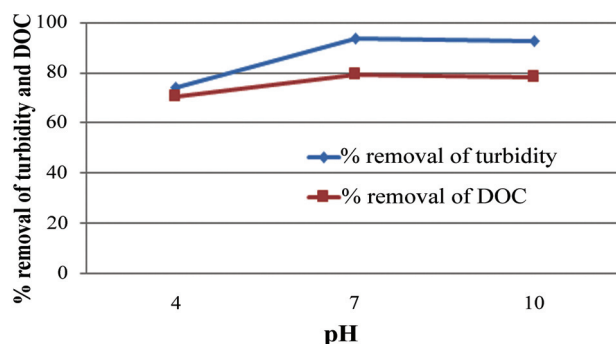
(ง)  $\text{PACl}$  20 mg/L

รูปที่ 3 ผลของความแรงไออกอนต่อการกำจัดความชุ่นและปริมาณ DOC เมื่อทดสอบกับสารสร้างตะกอนที่ระดับความเข้มข้นที่ให้ผลการทดลองดีที่สุด (ต่อ)

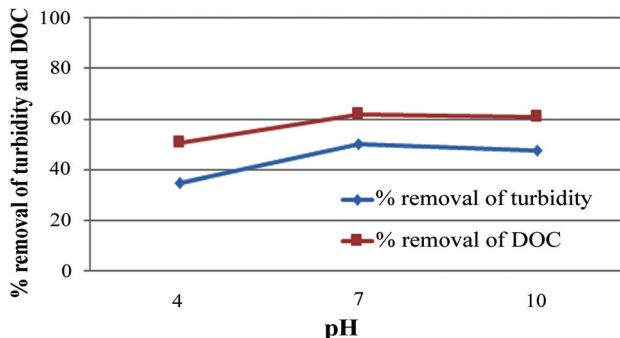
#### 4. ผลของความเป็นกรด - ด่างต่อการกำจัดความชุ่นและปริมาณ DOC

การศึกษาผลของค่าความเป็นกรด - ด่างต่อการลดค่าความชุ่นและปริมาณ DOC โดยปรับสภาพน้ำผิวดินให้มี pH 4 7 และ 10 เพื่อทดสอบกับสารสร้างตะกอนที่ระดับความเข้มข้นที่ให้ผลการทดลองดีที่สุด จากรูปที่ 4 แสดงให้เห็นว่า การเติม  $\text{FeCl}_3$  20 mg/L (ก)  $\text{FeSO}_4$  10 mg/L (บ) Alum 20 mg/L (ค) และ  $\text{PACl}$  20 mg/L (ง) ในน้ำผิวดินที่ปรับ pH 7 จะมีประสิทธิภาพการกำจัดความชุ่นและปริมาณ DOC ในน้ำผิวดินที่ผ่านกระบวนการสร้างและรวมตะกอนในลักษณะที่ไม่มีการเติมปูนขาว

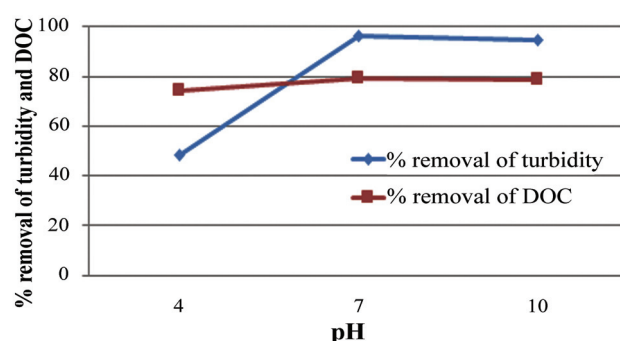
ได้สูงที่สุด ในขณะที่เมื่อความคุณ pH ของน้ำผิวดินที่ pH 4 และ 10 จะทำให้ประสิทธิภาพการกำจัดความชุ่น และ DOC ลดลงโดยการใช้  $\text{FeCl}_3$  20 mg/L  $\text{FeSO}_4$  10 mg/L Alum 20 mg/L และ  $\text{PACl}$  20 mg/L จะมีประสิทธิภาพการกำจัดความชุ่นสูงถึงร้อยละ 93.72, 50.27, 93.92 และ 96.36 ตามลำดับ และ มีประสิทธิภาพการกำจัด DOC สูงถึงร้อยละ 79.54, 61.95, 79.02 และ 79.32 ตามลำดับ โดยที่ความชุ่น ของน้ำผิวดินอยู่ในเกณฑ์มาตรฐานคุณภาพน้ำของการประปาส่วนภูมิภาค กำหนดให้ค่าความชุ่นของน้ำ ไม่เกิน 4 NTU ยกเว้น การเติม  $\text{FeSO}_4$  10 mg/L ทำให้ความชุ่นมีค่าเกินเกณฑ์มาตรฐานคุณภาพน้ำ ของการประปาส่วนภูมิภาค

(ก)  $\text{FeCl}_3$  20 mg/L(ข)  $\text{FeSO}_4$  10 mg/L

รูปที่ 4 ผลของความเป็นกรด - ด่างต่อการกำจัดความชุ่นและปริมาณ DOC เมื่อทดสอบกับสารสร้างตะกอนที่ระดับความเข้มข้นที่ให้ผลการทดสอบดีที่สุด



(ค) Alum 20 mg/L



(ง) PACl 20 mg/L

รูปที่ 4 ผลของการกำจัดความ浑浊 - ด่างต่อการกำจัดความชื้นและปริมาณ DOC เมื่อทดสอบกับสารสร้างตะกอนที่ระดับความเข้มข้นที่ให้ผลการทดลองดีที่สุด (ต่อ)

## การอภิปรายผล

จากการนำน้ำผิวดินมาทดสอบกรณ์ไม่เติมปูนขาวโดยมีการเติม  $\text{FeCl}_3$  20 mg/L สามารถกำจัดความชื้นและปริมาณ DOC ได้ดีที่สุด โดยมีประสิทธิภาพการกำจัดความชื้นร้อยละ 93.72 ซึ่งทำให้ความชื้นของน้ำมีค่าอยู่ในเกณฑ์มาตรฐานคุณภาพน้ำของการประปาส่วนภูมิภาค (ต้องไม่เกิน 4 NTU) และประสิทธิภาพการกำจัด DOC ร้อยละ 79.54 ในขณะที่เมื่อเพิ่มความเข้มข้นของ  $\text{FeCl}_3$  จะมีประสิทธิภาพการกำจัดความชื้นและประสิทธิภาพการกำจัด DOC ลดลง โดยการเพิ่มความเข้มข้นของ  $\text{FeCl}_3$  หากเกินพอ (40 mg/L) จะทำให้ตัวอย่างน้ำในระบบบำบัดมีน้ำตาลแดงของ  $\text{FeCl}_3$  และเกิดตะกอนลึกล้ำจนตัวอยู่ใต้ห้องน้ำ สอดคล้องกับงานวิจัยของ Rizzo, L. et al. [9] ได้ทำการศึกษาผลของ  $\text{FeCl}_3$  ในการบำบัดความชื้นและสารอินทรีย์พบว่า เมื่อเพิ่มปริมาณ  $\text{FeCl}_3$  ระหว่าง 10 - 60 mg/L จะมีประสิทธิภาพในการกำจัดความชื้นและสารอินทรีย์เพิ่มขึ้น แต่เมื่อเพิ่มความเข้มข้นสูงขึ้นประสิทธิภาพการกำจัดจะลดลง

การเติม  $\text{FeSO}_4$  10 - 100 mg/L ลงในน้ำผิวดินในสภาวะที่ไม่มีการเติมปูนขาวจะทำให้ค่า pH ของน้ำผิวดิน ( $\text{pH}$  6.67) มีค่า  $\text{pH}$  ต่ำลงถึง 6.55 ซึ่งการเติม  $\text{FeSO}_4$  10 mg/L สามารถกำจัดความชื้นและปริมาณ DOC ได้ดีที่สุด โดยสามารถลดความชื้นได้ 7.36 NTU ซึ่งมีค่าเกินเกณฑ์มาตรฐานคุณภาพน้ำ

ของการประปาส่วนภูมิภาค ซึ่งกำหนดให้ค่าความชุ่นของน้ำไม่เกิน 4 NTU และมีปริมาณ DOC 10.23 mg/L ในขณะที่เมื่อเพิ่มความเข้มข้นของ  $\text{FeSO}_4$  เป็น 20 - 100 mg/L จะทำให้ความชุ่น (11.9 - 29.5 NTU) และปริมาณ DOC เพิ่มขึ้น (DOC 9.370 - 12.20 mg/L) ดังแสดงในรูปที่ 2 (ข) ซึ่งที่ระดับความเข้มข้นของ  $\text{FeSO}_4$  เป็น 20 - 100 mg/L เป็นระดับความเข้มข้นมากเกินพอกของการกำจัดความชุ่นและ DOC จะทำให้ตัวอย่างน้ำมีลักษณะคล้ายกับ FeSO<sub>4</sub> จากการทดลองนี้จึงเลือกใช้  $\text{FeSO}_4$  10 mg/L เพื่อทำการทดลองต่อไป

จากการนำผู้ดินมาทดสอบกรณีไม่เติมปูนขาวโดยมีการเติม Alum 20 mg/L สามารถกำจัดความชุ่นและปริมาณ DOC ได้ดีที่สุด โดยมีประสิทธิภาพการกำจัดความชุ่นร้อยละ 93.92 และมีประสิทธิภาพการกำจัด DOC ร้อยละ 79.02 สอดคล้องกับผลการวิจัยของ Qin, J. et al. [8] ได้ทำการศึกษากระบวนการ Coagulation เพื่อบำบัดสารอินทรีย์ธรรมชาติ (Natural Organic Matter, NOM) ในน้ำของประเทศสิงคโปร์พบว่า เมื่อเพิ่มปริมาณ Alum ในการทำ Jar test ประสิทธิภาพในการบำบัดความชุ่นและสารอินทรีย์เพิ่มขึ้น เมื่อเพิ่มความเข้มข้นของ Alum เป็น 40 - 100 mg/L จะทำให้ประสิทธิภาพการกำจัดความชุ่นและ DOC ลดลงเพียงเล็กน้อย โดยความชุ่นและปริมาณ DOC มีค่าอยู่ในเกณฑ์มาตรฐานคุณภาพน้ำของการประปาส่วนภูมิภาค (ต้องไม่เกิน 4 NTU) สอดคล้องกับงานวิจัยของ Gregor, J. E. et.al. [13] พบว่า ความชุ่นมีค่าลดลงและเริ่มคงที่เมื่อเพิ่มความเข้มข้นของ Alum เนื่องจากในการเพิ่ม Alum ในช่วงแรกเป็นกลไกแบบการ (Sweep Coagulation) คือ เมื่อถึงจุดที่สารสร้างตะกอน (Coagulant) เพียงพอในการห่อหุ้มอนุภาคคลอลลอยด์แล้วการเติม Coagulant เพิ่มขึ้นอีกจะไม่ทำให้ความชุ่นของน้ำเปลี่ยนแปลง

จากการนำผู้ดินมาทดสอบกรณีไม่เติมปูนขาวโดยมีการเติม PACl 20 mg/L จะมีประสิทธิภาพการกำจัดความชุ่นและ DOC สูงที่สุด คือ ร้อยละ 96.36 และ 79.32 ตามลำดับ ในขณะที่เมื่อเพิ่มความเข้มข้นของ PACl 60 - 100 mg/L จะทำให้ประสิทธิภาพการกำจัดความชุ่นและ DOC ลดลง คือ ร้อยละ 64.60 - 78.72 และ 58.37 - 73.70 ตามลำดับ ซึ่งมีค่าความชุ่นและ DOC ระหว่าง 4.41 - 5.27 NTU และ 7.40 - 11.19 mg/L ตามลำดับ โดยความชุ่นที่ได้มีค่าเกินเกณฑ์มาตรฐานคุณภาพน้ำประปาของ การประปาส่วนภูมิภาคที่ระบุไว้ว่าความชุ่นต้องไม่เกิน 4 NTU ซึ่งสอดคล้องกับงานวิจัยของ Zhonglian, Y. et al. [14] ได้ทำการศึกษาการบำบัดความชุ่นและสารอินทรีย์โดยกระบวนการ Coagulation ด้วย PACl และ Alum กรณีศึกษาแม่น้ำเหลือง ประเทศไทยพบว่า ทั้ง PACl และ Alum มีประสิทธิภาพในการบำบัดความชุ่นได้ดีกว่าสารอินทรีย์ในรูป DOC

จากการศึกษาประสิทธิภาพการกำจัดความชุ่นในน้ำดินของสารสร้างตะกอนทั้ง 4 ชนิด ได้แก่  $\text{FeCl}_3$ ,  $\text{FeSO}_4$ , Alum และ PACl พบร่วม ช่วงความชุ่นของน้ำดินระหว่าง 10 - 20 NTU สารสร้างตะกอนทั้ง 4 ชนิด มีประสิทธิภาพในการกำจัดความชุ่นและ DOC ร้อยละ 50.27 - 96.36 และ 61.95 - 79.54 ตามลำดับ ซึ่งการใช้ Alum และ PACl จะมีประสิทธิภาพการกำจัดความชุ่นและ DOC ได้ดีที่สุดและใกล้เคียงกัน แต่การใช้ Alum จะมีต้นทุนการบำบัดต่ำกว่าการใช้ PACl ที่ระดับความเข้มข้น 20 mg/L ส่วน  $\text{FeCl}_3$  จะไม่ค่อยนิยมใช้เนื่องจากเมื่อใช้ระดับความเข้มข้นมากเกินพอก็ทำให้น้ำที่ได้จากการบำบัดมีลักษณะคล้ายกับ FeCl<sub>3</sub> ดังที่แสดงในรูปที่ 2 (ข) ซึ่งสอดคล้องกับงานวิจัยของ Yupaporn, A. et al. [17] ได้ทำการศึกษาประสิทธิภาพการกำจัดความชุ่นและสารคราบนอนิทรีย์ลักษณะในน้ำผิดนิโดยใช้สารสร้างตะกอนของการประปาส่วนภูมิภาค ซึ่งสอดคล้องกับงานวิจัยของ Yupaporn, A. et al. [17] ได้ทำการศึกษาประสิทธิภาพการกำจัดความชุ่นและสารคราบนอนิทรีย์ลักษณะในน้ำผิดนิโดยใช้สารสร้างตะกอน

3 ชนิด ได้แก่ FeCl<sub>3</sub>, Alum และ PACl ที่ช่วงความเข้มข้น 10 - 90 mg/L พบว่า สารสร้างตะกอนทั้ง 3 ชนิด จะมีประสิทธิภาพการกำจัดความชุ่นและ DOC 49.87 - 95.93 % และ 53.41 - 71.59 % ตามลำดับ โดยกระบวนการผลิตน้ำประปาที่อาศัยสารสร้างตะกอนจะสามารถลดค่าความชุ่นและ DOC ได้สูงกว่ากระบวนการผลิตน้ำประปาแบบเดิมของคึกการบริหารส่วนตำบลล่าง จังหวัดอุบลราชธานี ซึ่งไม่มีการเติมปูนขาวช่วยเพิ่มความเป็นค่าต่างให้กับน้ำผิวดินในระบบการผลิตน้ำประปา

ในน้ำผิวดินที่ปรับให้มีความแรงประจุด้วยสารละลายนาCl 0.01 - 0.1 mol/L จะไม่มีผลหรือมีผลน้อยมากต่อประสิทธิภาพการกำจัดความชุ่นและปริมาณ DOC ที่ผ่านกระบวนการสร้างและรวมตะกอนในสภาวะที่ไม่มีการเติมปูนขาว โดยการเติม FeCl<sub>3</sub> 20 mg/L จะทำให้ความชุ่นและ DOC เปลี่ยนแปลงอยู่ระหว่าง 1.012 - 1.091 NTU และ 5.40 - 5.64 mg/L การเติม FeSO<sub>4</sub> 10 mg/L จะทำให้ความชุ่นและ DOC เปลี่ยนแปลงอยู่ระหว่าง 7.30 - 7.45 NTU และ 10.07 - 10.33 mg/L การเติม Al<sub>2</sub>SO<sub>4</sub> 20 mg/L จะทำให้ความชุ่นและ DOC เปลี่ยนแปลงอยู่ระหว่าง 0.88 - 0.98 NTU และ 5.48 - 5.66 mg/L และการเติม PACl 20 mg/L จะทำให้ความชุ่นและ DOC เปลี่ยนแปลงอยู่ระหว่าง 0.56 - 0.59 NTU และ 5.42 - 5.63 mg/L โดยที่ความชุ่นของน้ำผิวดินอยู่ในเกณฑ์มาตรฐานคุณภาพน้ำประปาของการประปาส่วนภูมิภาค กำหนดให้ค่าความชุ่นของน้ำไม่เกิน 4 NTU ยกเว้นการเติม FeSO<sub>4</sub> 10 mg/L ทำให้ความชุ่นมีค่าเกินเกณฑ์มาตรฐานคุณภาพน้ำของการประปาส่วนภูมิภาค

การเติม FeCl<sub>3</sub> 20 mg/L (ความชุ่น 0.93 NTU, DOC 5.5 mg/L) Alum 20 mg/L (ความชุ่น 0.90 NTU, DOC 5.64 mg/L) และ PACl 20 mg/L (ความชุ่น 0.55 NTU, DOC 5.56 mg/L) ในน้ำผิวดินที่ปรับ pH 7 จะมีประสิทธิภาพการกำจัดความชุ่นและปริมาณ DOC โดยที่ความชุ่นของน้ำผิวดินอยู่ในเกณฑ์มาตรฐานคุณภาพน้ำของการประปาส่วนภูมิภาค กำหนดให้ค่าความชุ่นของน้ำไม่เกิน 4 NTU ยกเว้นการเติม FeSO<sub>4</sub> 10 mg/L ทำให้ความชุ่นมีค่าเกินเกณฑ์มาตรฐานคุณภาพน้ำของการประปาส่วนภูมิภาคคือ มีค่าความชุ่น 7.36 NTU และ DOC 10.23 mg/L ซึ่งสอดคล้องกับงานวิจัยของ Yupaporn, A. et al. [17] ได้ทำการศึกษาประสิทธิภาพการกำจัดความชุ่นและสารคาร์บอนอินทรีย์ในน้ำผิวดินโดยควบคุม pH เริ่มต้นของน้ำผิวดินที่ pH 4 - 7 และ 10 พบว่า กระบวนการกรอกตะกอนด้วยสารสร้างตะกอนชนิด FeCl<sub>3</sub>, Alum และ PACl ควรมีค่า pH เป็นกลางหรือเป็นกรดเล็กน้อย เนื่องจาก pH จะเป็นตัวกำหนดการแตกตัวเป็นไอออนของสารสร้างตะกอนในน้ำที่ pH เป็นกลางหรือกรดอ่อน สารสร้างตะกอนมักจะแตกตัวให้ไอออนประจุบวกมาก ซึ่งช่วยให้ประสิทธิภาพในการทำลายเสลียรภาพอนุภาคคลออลอยด์สูงและน้ำไม่คร้มเมื่อ pH สูงหรือเป็นด่าง เพราะจะได้ไอออนที่มีประจุลบมากเกินไป ซึ่งไม่มีผลในการทำลายเสลียรภาพของคลออลอยด์ (มีประจุเทียมอนุภาคคลออลอยด์) นอกจากนี้ pH ที่เหมาะสมของสารสร้างตะกอนทั้ง 4 ชนิด ยังใกล้เคียงกับค่า pH เหลี่ยของน้ำผิวดิน ซึ่งจะเป็นผลดีในทางปฏิบัติ เนื่องจากไม่จำเป็นต้องใช้สารเคมีในการปรับ pH ของน้ำผิวดิน และเป็นการประหยัดค่าใช้จ่ายในการกำจัดความชุ่นและสารคาร์บอนอินทรีย์ละลายนโดยอาศัยกระบวนการสร้างและรวมตะกอนในระบบการผลิตน้ำประปา

## สรุป

การใช้ชนิดและปริมาณสารสร้างตะกอนและระดับ pH ที่เหมาะสมจะมีผลต่อประสิทธิภาพการกำจัดความชุ่นและ DOC ในน้ำผิวดิน ในขณะที่ความแรงไอออนของน้ำจะมีผลต่อประสิทธิภาพการกำจัดความชุ่นและ

DOC ที่ผ่านกระบวนการสร้างและรวมตะกอนในสภาวะที่ไม่มีการเติมปูนขาวเพียงเล็กน้อย โดยการเติม  $\text{FeCl}_3$  20 mg/L  $\text{FeSO}_4$  10 mg/L Alum 20 mg/L และ  $\text{PACl}$  20 mg/L ที่ระดับ pH 7 จะทำให้มีประสิทธิภาพกำจัดความชุ่นและ DOC ได้สูงที่สุด คือ ร้อยละ 93.72 และ 79.54 ( $\text{FeCl}_3$  20 mg/L) ร้อยละ 50.27 และ 61.95 ( $\text{FeSO}_4$  10 mg/L) ร้อยละ 93.92 และ 79.02 (Alum 20 mg/L) 96.36 และ 79.32 ( $\text{PACl}$  20 mg/L) ตามลำดับ

## กิตติกรรมประกาศ

ขอขอบคุณ สำนักงานคณะกรรมการวิจัยแห่งชาติ และมหาวิทยาลัยราชภัฏอุบลราชธานี ที่ให้ทุนสนับสนุน การวิจัยประจำปีงบประมาณ 2559

## References

- [1] Tokmak, B., Capar, G., Dilek, R. B., and Yetis, U. (2003). Trihalomethanes and Associated Potential Cancer Risks in the Water Supply in Ankara, Turkey. **Environmental Research.** Vol. 96, Issue 3, pp. 345-352. DOI: 10.1016/j.envres.2003.11.005
- [2] Wang, G. S., Deng, Y. C., and Lin, T. F. (2007). Cancer Risk Assessment from Trihalomethanes in Drinking Water. **Science of the Total Environment.** Vol. 387, Issue 1-3, pp. 86-95. DOI: 10.1016/j.scitotenv.2007.07.029
- [3] Ottawa, Ontario. (2006). **Trihalomethanes, Guidelines for Canadian Drinking Water Quality: Guideline Technical Document.** Federal-Provincial-Territorial Committee on health and the Environment, Health Canada
- [4] Duong, H. A., Berg, M., Pha, H. V., Gallard, H., Giger, W., and Gunten, U. (2003). Trihalomethanes Formation by Chlorination of Ammonium and Bromide-Containing Groundwater in Water Supplies of Hanoi, Vietnam. **Water Research.** Vol. 37, Issue 13, pp. 3242-3252. DOI: 10.1016/S0043-1354(03)00138-6
- [5] Abbas, H. S., Abdul-Fattah, M. A., and Saadi, D. A. N. (2009). Natural Organic Matter Removal from Tigris River Water in Baghdad, Iraq. **Desalination.** Vol. 245, Issue 1-3, pp. 155-168. DOI: 10.1016/j.desal.2008.06.017
- [6] Amuda, O. S. and Amoo, I. A. (2006). Coagulation/Flocculation Process in the Treatment of Abattoir Wastewater. **Desalination.** Vol. 196, Issue 1-3, pp. 22-31. DOI: 10.1016/j.desal.2005.10.039
- [7] Zularisam, A. W., Ismail, A. F., and Razman, S. (2006). Behaviours of Natural Organic Matter in Membrane Filtration for Surface Water Treatment-Arevue. **Desalination.** Vol. 194, Issue 1-3, pp. 211-231. DOI: 10.1016/j.desal.2005.10.030

- [8] Qin, J., Maungm, H. O., Kiran, A. K., Frans, K., and Peter, M. (2006). Impact of Coagulation pH on Enhanced Removal of Natural Organic Matter in Treatment of Reservoir Water. **Separation and Purification Technology**. Vol. 49, Issue 3, pp. 295-298. DOI: 10.1016/j.seppur.2005.09.016
- [9] Rizzo, L., Belgiornom, V., Gallo, M., and Merric, S. (2005). Removal of THM Precursors form a High-Alkaline Surface Water by Enhanced Coagulation and Behavior of THMFP Toxicity on *D. Magma*. **Desalination**. Vol. 176, Issue 1-3, pp. 177-188. DOI: 10.1016/j.desal.2004.10.020
- [10] Sharp E. L., Jarvis P., Parsons S. A. and Jefferson B. (2006). Impact of fractional character on the coagulation of NOM. **Colloids and Surfaces A: Physicochemical and Engineering Aspects**. Vol. 286, Issue 1-3, pp. 104-111. DOI: 10.1016/j.colsurfa.2006.03.009
- [11] APHA AWWA, WPCP. (2005). **Collection and Preservation of Samples**. In Standard Methods for the Examination of Water and Wastewater, 19<sup>th</sup> ed. Edited by M.A.H. Franson American Public Health Association, Washington, D.C
- [12] Wongklom, A. (2016). Total Hardness Removal of Groundwater by Chemical Precipitation Process. **SNRU Journal of Science and Technology**. Vol. 8, No. 2, pp. 216-223
- [13] Gregor, J. E., Nokesm, C. J., and Fenton, E. (1997). **Optimising Natural Organic Matter Removal from Low Turbidity Waters by Controlled pH Adjustment of Aluminium Coagulation**. Institute of Environmental Science and Research Limited, Christchurch, New Zealand. 2949-2957
- [14] Zhonglian, Y., Baoyu, G., and Qinyan, Y. (2010). Coagulation Performance and Residual Aluminum Speciation of  $\text{Al}_2(\text{SO}_4)_3$  and Polyaluminum Chloride (PAC) in Yellow River Water Treatment. **Chemical Engineering Journal**. Vol. 165, pp. 122-132
- [15] Kabsch-Korbutowicz M. (2005). Effect of Al Coagulation Type on Natural Organic Matter Removal Efficiency in Coagulation/Ultrafiltration Process. **Desalination**. Vol. 185, Issue 1-3, pp. 327-333. DOI: 10.1016/j.desal.2005.02.083
- [16] Musikavong, C., Suraphong, W., Tana, F. M., and Prasert, P. (2005). Reduction of Organic Matter and Trihalomethane Formation Potential in Reclaimed Water from Treat Industrial Estate Wastewater by Coagulation. **Journal of Hazardous Materials**. Vol. 127, Issue 1-3, pp. 48-57. DOI: 10.1016/j.jhazmat.2005.06.042
- [17] Yupaporn, A., Teerawan, B., and Nanthaphorn, S. (2011). **Improvement of Coagulation-Flocculation Process for Water Supply System of Samrong Sub District Administrative Organization at Samrong District, Ubon Ratchathani Province**. (Research Report). Ubon Ratchathani Rajabhat University. (in Thai).



การประมาณค่าของแข็งแขวนลอยทั้งหมดในลำน้ำพุงด้วยข้อมูลการตรวจวัดฝนทั่วโลก

## Estimation of Total Suspended Solids in Pung River using Global Precipitation Measurement Data

ประวิทย์ อ่วงอารีย์<sup>1\*</sup> ชฎาพร พรมสาชาติ<sup>1</sup> ทิติยา วงศ์สีดา<sup>1</sup> และณัฐพัชร์ บัวทองจันทร์<sup>1</sup>

Received: February 2018; Accepted: March, 2018

### บทคัดย่อ

บทความวิจัยนี้มีวัตถุประสงค์ในการศึกษาความเป็นไปได้ของการประมาณค่าของแข็งแขวนลอยทั้งหมด (TSS) ในลำน้ำพุงด้วยข้อมูลการตรวจวัดฝนทั่วโลก (GPM) โดยทำการวิเคราะห์การเปลี่ยนแปลงปริมาณของแข็งแขวนลอยทั้งหมดตามความยาวลำน้ำ วิเคราะห์ความล้มเหลวของข้อมูลจีพีเอ็มกับปริมาณของแข็งแขวนลอยด้วยการวิเคราะห์สหสัมพันธ์ และสร้างตัวแบบการประมาณค่าของแข็งแขวนลอยทั้งหมดในลำน้ำพุงด้วยการจัดการข้อมูลวิธีกลุ่ม (GMDH) เพื่อประเมินประสิทธิภาพของตัวแบบที่ใช้ข้อมูลจีพีเอ็มเป็นตัวแปรนำเข้า ผลการศึกษาพบว่าค่าของแข็งแขวนลอยทั้งหมดมีการเปลี่ยนแปลงตามความยาวลำน้ำ โดยบริเวณต้นน้ำพบปริมาณของแข็งแขวนลอยต่ำกว่าบริเวณปลายน้ำ นอกจากนี้ข้อมูลจีพีเอ็มมีราย 3 7 และ 14 วัน มีความล้มเหลวของตัวแบบการประมาณค่าของแข็งแขวนลอยทั้งหมดในระดับปานกลาง และพบว่าการใช้ข้อมูลจีพีเอ็มเป็นตัวแปรนำเข้าของตัวแบบการประมาณค่าของแข็งแขวนลอยทั้งหมดในลำน้ำพุงมีประสิทธิภาพปานกลาง โดยให้ค่าประมาณและค่าข้อมูลจริงไปในทิศทางเดียวกันและมีค่าสัมประสิทธิ์การตัดสินใจของ การทดสอบอยู่ระหว่าง 0.41 - 0.89

คำสำคัญ : ของแข็งแขวนลอย; ตัวแบบคอมพิวเตอร์; ลำน้ำ; การจัดการข้อมูลวิธีกลุ่ม; จีเอ็มดีเอช

<sup>1</sup> Faculty of Science and Technology, Sakon Nakhon Rajabhat University

\* Corresponding Author E - mail Address: prawit@snru.ac.th

## Abstract

The object of this research was investigated the possibility of using Global Precipitation Measurement Data (GPM) for estimating total suspended solids (TSS) in Pung River. The longitudinal change of TSS and the correlations between GPM data and TSS were examined. Moreover, the estimating models of TSS, which use GPM data as input data were developed, by using a Group Method of Data Handling (GMDH). The results indicated that the TSS levels in Pung River change along the length of the channel, the upstream location had TSS value lower than the end of the river. Intermediate level of relationship between 3-days, 7-days, and 14-days of GPM precipitation and TSS values were disclosed. The TSS models using GPM data as input data had moderate efficiency; the estimated values and the actual values varied in the same way. The validated models had the coefficient of determination of 0.41 - 0.89.

**Keywords:** Suspended Solids; Computational Model; Channel; Group Method of Data Handling; GMDH

## บทนำ

ลำน้ำพุงเป็นลำน้ำหลักในลุ่มน้ำพุงอันมีต้นกำเนิดของสายน้ำในพื้นที่อำเภอคุดบาง จังหวัดสกลนคร ซึ่งมี สภาพพื้นที่เป็นที่ราบลุ่มคลื่น ลับบกบกเทือกเขา ลำน้ำพุงจึงมีความลาดชันสูงในช่วงต้นน้ำ และเป็นที่ตั้ง ของเขื่อนน้ำพุงในการกักเก็บน้ำและผลิตไฟฟ้า และทอดตัวผ่านพื้นที่อำเภอภูพาน อำเภอเต่างอย อำเภอ โคงศรีสุพรรณ และอำเภอเมืองสกลนคร จังหวัดสกลนคร ก่อนที่ไหลสู่ทะเลสาบทองหาร รวมความยาว ตลอดลำน้ำกว่า 64 กิโลเมตร ลำน้ำพุงจึงเป็นดั้งสายเลือดหลักที่หล่อเลี้ยงให้ความชุ่มชื้นแก่จังหวัด สกลนครตอนล่าง และยังเป็นต้นน้ำสำคัญที่เต้มเติมทะเลสาบทองหาร ซึ่งเป็นทะเลสาบน้ำจืดใหญ่ที่สุด เป็นลำดับสองของประเทศไทยและมีพื้นที่กว่า 77,000 ไร่ ทะเลสาบทองหารจึงเป็นแหล่งน้ำสำคัญ ในการหล่อเลี้ยงเมืองสกลนครและยังเป็นแหล่งรองรับน้ำท้องทากเพียงแห่งเดียวของเมืองสกลนคร จึงสำคัญต่อทั้งวิถีชีวิตและสภาพลิ่งแวดล้อมของท้องถิ่น

อย่างไรก็ตามลำน้ำพุงมีแนวพาดผ่านเทือกเขาภูพานลงสู่บริเวณที่ราบเชิงเขา โดยมีเปลี่ยนแปลง ระดับความสูงการไหลจาก 300 เมตร (ร.ท.ก.) สู่ระดับ 190 เมตร (ร.ท.ก.) อย่างรวดเร็วภายในระยะทาง เพียง 12 กิโลเมตร กระแสน้ำในลำน้ำตอนต้นจึงมีความเร็วสูงและมักเกิดการกัดเซาะดินชายคลิ่ง ล่งผลให้เกิด ปริมาณของแข็งแχวนลอยในลำน้ำเพิ่มสูงขึ้น นอกจากนี้การใช้ที่ดินป่าจุบันได้ใช้ประโยชน์ที่ดินในบริเวณ ลุ่มน้ำนี้มีอย่างหลากหลาย ทั้งเป็นพื้นที่เพาะปลูกพืช เลี้ยงลักษ์ อุปกรณ์ พานิชกรรม ป่าเลื่อมโกร猛 และป่าอนุรักษ์ ซึ่งต่างเป็นกิจกรรมของมนุษย์ที่ส่งผลกระทบต่อคุณภาพลิ่งแวดล้อมในหลายประเด็น [1] โดยเฉพาะอย่างยิ่งการเพิ่มขึ้นของปริมาณตะกอนในแม่น้ำ เนื่องจากการใช้ที่ดินในลักษณะพื้นดินโล่ง ล่งผลให้เกิดการกัดกร่อน [2] รวมทั้งการบุกเบิกผ้าทางที่ดินซึ่งทำให้เกิดการเปลี่ยนแปลงสภาพจากป่า

ที่มีพื้นที่ป่าคลุมเป็นพื้นที่การใช้ประโยชน์ของมนุษย์ ล้วนผลต่อปริมาณตะกอนแขวนลอยที่เกิดจากการกัดกร่อนหน้าดินได้ เช่นกัน [3] นอกจากนี้การใช้ที่ดินเพื่อการเกษตรจะทำการเพาะปลูกยังคงเป็นสาเหตุหลักของปริมาณตะกอนในลำน้ำ [4] การกัดพายุฝนหรือถurmรุสมุยังล้วนเสริมผลให้เกิดตะกอนจากการใช้ดินที่เปิดโล่งและพัสดุพากอนไปยังแหล่งน้ำได้ [5] การเปลี่ยนแปลงภูมิอากาศโดยยังอาจล้วนผลให้ปริมาณฝนที่ตกในพื้นที่มีแนวโน้มสูงขึ้น จึงล้วนผลให้มีการกัดเซาะหน้าดินมากขึ้นตามปริมาณน้ำที่มากขึ้น เกิดการพัดพาของแข็งแขวนลอยจากหน้าดินในพื้นที่เกษตรกรรมหรือพื้นที่ป่าเลื่อมโรมลงสู่ลำน้ำพุ และไหลพัดพาลงสู่ทะเลสาบทหนองหาร นำไปสู่การกัดกร่อนและการหักดิบแม่น้ำและตีนเขินในทะเลสาบทหนองหาร ก่อให้เกิดผลกระทบทั้งทางตรงและทางอ้อมต่อการใช้ประโยชน์ของชุมชนท้องถิ่นโดยรอบทะเลสาบทหนองหาร

การวิจัยนี้เล็งเห็นความสำคัญของทะเลสาบทหนองหารซึ่งเป็นแหล่งน้ำสำคัญในท้องถิ่นและกำลังประสบปัญหาการตื้นเขินที่ทวีความรุนแรงขึ้น ล้วนผลให้ประชาชื่นในท้องถิ่นได้รับผลกระทบทั้งทางตรงและทางอ้อมอย่างหลีกเลี่ยงไม่ได้ จึงทำการศึกษาความเป็นไปได้ในการใช้ข้อมูลปริมาณฝนที่ได้จากการข้อมูลการตรวจวัดฝนทั่วโลก (Global Precipitation Measurement: GPM) เพื่อประมาณค่าปริมาณของแข็งแขวนลอยทั้งหมด (Total Suspended Solids: TSS) ในลำน้ำพุ โดยทำการสร้างตัวแบบทางคอมพิวเตอร์ (Computational Model) เพื่อเผยแพร่ความล้มเหลวระหว่างตัวแปรทั้ง 2 ด้วยการจัดการข้อมูลวิธีกลุ่ม (Group Method of Data Handling) หรือจีเอ็มดีเอช (GMDH) ซึ่งเป็นวิธีการทำงานเหมือนข้อมูลวิธีการหนึ่ง โดยคาดหวังว่าผลที่ได้จะสามารถนำไปใช้เป็นข้อมูลพื้นฐานสำหรับการประมาณค่าของแข็งแขวนลอยทั้งหมดในลำน้ำพุ และนำไปสู่การทำนายปริมาณตะกอนที่ไหลลงสู่หนองหารได้อย่างมีประสิทธิภาพ แม่นยำและสามารถแก้ไขปัญหาการตื้นเขินของทะเลสาบทหนองหารได้ต่อไปในอนาคต

## การตรวจวัดฝน

ข้อมูลปริมาณน้ำฝนเป็นข้อมูลทางอุทก - อุตุนิยมวิทยาที่มีการตรวจวัดและใช้งานในการศึกษาต่าง ๆ อย่างกว้างขวาง เนื่องจากปริมาณน้ำฝนเป็นความชุ่มชื้นหลักที่หล่อเลี้ยงมนุษยชาติตามตั้งแต่อดีตอย่างไร้ความสามารถปริมาณฝนที่มากเกินความต้องการก็อาจล้วนผลประโยชน์ต่อชีวิตและทรัพย์สินให้เช่นกัน ฝนจึงเป็นตัวแปรที่สำคัญในการศึกษาหรือทำนายค่าทางอุทก-อุตุนิยมวิทยาที่มักถูกนำมาใช้งานอยู่เสมอ

การตรวจวัดปริมาณฝนมีการพัฒนามาอย่างยาวนานโดยในปัจจุบันมีวิธีการที่เป็นที่นิยม 3 วิธีการได้แก่

1. การตรวจวัดปริมาณน้ำฝนภาคพื้นดิน วิธีการนี้เป็นวิธีการดั้งเดิมและพื้นฐานที่สุด โดยมีวิธีการที่นิยมใช้งาน เช่น การใช้มาตรวัดน้ำฝน (Rain Gauges) ดิสโตรอมิเตอร์ (Disdrometer) และเรดาร์ภาคพื้นดิน (Ground Radar) เป็นต้น เมวาริการนี้จะถูกใช้อย่างยาวนานแต่ยังเป็นที่นิยมใช้งานในปัจจุบันเนื่องจากให้ผลที่แม่นยำ อีกทั้งยังมีการพัฒนารูปแบบการวัดให้มีความแม่นยำสูงขึ้นอยู่แล้ว เช่น การพัฒนามาตรวัดฝนขนาด 100 ตารางเมตร [6] หรือการพัฒนากลุ่มมาตรวัดฝนที่ควบคุมคุณภาพด้วยการล็อกสาระยะไกลแบบเชื่อมต่อด้วยคลื่นไมโครเวฟ [7] เป็นต้น

2. การตรวจวัดด้วยข้อมูลดาวเทียม วิธีการนี้เป็นวิธีการโดยอ้อมโดยใช้ข้อมูลการตรวจวัดจากดาวเทียมที่โครงการในระดับต่ำทักษะรูปแบบ เช่น การถ่ายภาพช่วงคลื่นมองเห็นด้วยตา (Visible) การถ่ายภาพแบบอินฟราเรด หรือการตรวจวัดด้วยคลื่นไมโครเวฟ เป็นต้น [8] ซึ่งวิธีการเหล่านี้มีได้วัด

ปริมาณน้ำฝนที่ตกลงพื้นโลกโดยตรงແຕ່ໃຊ້ວິທີການคำนวนและประมาณค่าจากข้อมูลที่ได้รับจากดาวเทียม ວິທີການນີ້ຂຶ້ອດີຄືສາມາດໃຫ້ຂໍ້ມູລເຂົ້າພັນທີ່ໄດ້ດີກ່າວການตรวจວັດຝານດ້ວຍສະຖານິການພື້ນແລະຢັງສາມາດແສດງຝານເຂົ້າພັນທີ່ໄດ້ອັກດ້ວຍ ປັຈຸບັນມີຮະບນຂໍ້ມູລຝານດ້ວຍເຖິງທີ່ເປັນທີ່ນີ້ມີໃໝ່ໃໝ່ງານ ເຊັ່ນ GPM TMPA 3B42 PERSIANN-CDR ແລະ RRFA-S ເປັນຕົ້ນ [9] - [11]

ການตรวจວັດຝານທີ່ໂລກທ່ອງຈີ່ເອັມ (Global Precipitation Measurement: GPM) ເປັນຮະບນການตรวจວັດຝານດ້ວຍຂໍ້ມູລດ້ວຍເຖິງແບບໄກລ້ວເລົາຈິງ (Near Real Time) ໂດຍພັດນາມາຈຳກົງການການตรวจວັດຝານໃນກຸມຝາກເຂດຮ້ອນ (Tropical Rainfall Measuring Mission) ທ່ອງທ່ານເອັມເອັມ (TRMM) ທີ່ປົງປົກຕິການການตรวจວັດຝານດ້ວຍຂໍ້ມູລດ້ວຍເຖິງໃນເຂດກຸມຝາກເຂດຮ້ອນຕັ້ງແຕ່ປີ ດ.ສ. 1997 - 2015 ຮະບນຈີ່ເພື່ອເອັມນີ້ປະກອບດ້ວຍ ດາວເທີມລ້າງຈ່າຍທີ່ພາກຮຽມໜາຕົວງໂຄຈົກຕ່າງໆ ໄດ້ແກ່ ສທຣູອມເຣິກາສຫພາພູໂຮປ ຜູ້ປຸ່ນ ຝັ້ງເຄສ ແລະອິນເຕີຍ ຈຶ່ງສາມາດປະການກ່າວຝານໄດ້ອ່ານມີປະລິທິກາພິນທຸກກຸມຝາກທີ່ໂລກຕັ້ງແຕ່ລະຕິຈຸດ 60° ເຫຊນ ຄື່ງ 60° ໄດ້ ອ່າງໄຮກ້ຕາມຮະບນນີ້ມີການເທີມລໍາຄັງຊື່ງເປັນພຸລືດິຈຸກການຮ່ວມມືຮ່ວມມືການວິທີການການບິນແລະອວກາສແທ່ງຫາຕິສທຣູອມເຣິກາ (NASA) ແລະອົງກໍາວິຈິຍແລະພັດນາການສໍາວັດຈວກາສຄູ່ປຸ່ນ (JAXA) ອື່ນ ດາວເທີມຈີ່ເພື່ອມໍລັກ (GPM Core Satellite) ຜົ່ງໄດ້ຕິດຕັ້ງອຸປະກຣນັ້ນສູງສໍາຮັບການປະການກ່າວຝານ 2 ຊົນດ ໄດ້ແກ່ ເຄຣືອງຈັບກາພດ້ວຍໄມໂຄຣເວີຟ (Microwave Imager) ແລະເຮົດວຽກການຈັບຝານແບບສອງຄວາມຄື (Dual-Frequency Precipitation Radar) [12] ຈຶ່ງນັ້ນວ່າ ດາວເທີມນີ້ເປັນດາວເທີມການກ່າວຝານທີ່ມີປະລິທິກາພິນທຸກກຸມຝາກທີ່

3. ການตรวจວັດຝານດ້ວຍແບບຈຳລອງຝານ ວິທີການນີ້ເປັນການປະການກ່າວຝານຈົດຕຸນິຍົມວິທີກາຕ່າງໆ ແລະກຳນົດດ້ວຍຕົວແບບຈຳລອງທາງຄົນຕາສຕຣີທີ່ອົງວິທີກາທາງສົດຕິ ຄວາມນໍາຈະເປັນ ແລະທຸກໆກົງທາງອຸທກ - ອຸທຸນິຍົມວິທີກາ ວິທີການນີ້ອີກຈາກສາມາດນັບກົດປະກິມານຝານທັງເຂົ້າພັນທີ່ແລະເຂົ້າພັນທີ່ໃນທຸກກຸມຝາກທີ່ໂລກ ປັຈຸບັນມີແບບຈຳລອງທີ່ເປັນທີ່ຍົມຮັບ ໄດ້ແກ່ ແບບຈຳລອງຈີ່ເຊື້ອມ (General Circulation Model: GCM) ແລະແບບຈຳລອງການແຍກແຍະວິເຄຣະ໌ (Reanalysis Model) ອ່າງໄຮກ້ຕາມຂໍ້ມູລຈາກແບບຈຳລອງຝານຍັງມີສາມາດໃຫ້ຂໍ້ມູລໃນເວລາຈິງທີ່ໄກລ້ວເຄີຍເວລາຈິງ ເນື່ອຈາກຕ້ອງອາຄີກການຮັບຮັນຂໍ້ມູລ ອີກທີ່ຕ້ອງໃຫ້ເວລາໃນການກຳນົດດ້ວຍການປັບປຸງແກ້ຂໍ້ມູລເປັນຮະຍະເວລານານ ທັນນີ້ທີ່ໄປແລ້ວຂໍ້ມູລຝານຈົດຕຸນິຍົມວິທີກາຈະໃຫ້ເວລາປະການ 120 ວັນໃນການປະການກ່າວຝານ

ບທການວິຈິຍນີ້ໄດ້ເລືອກໃຫ້ການວັດຝານທີ່ໂລກ ເນື່ອຈາກເປັນຮະບນການກ່າວຝານທີ່ສາມາດໃຫ້ຂໍ້ມູລໄດ້ໃນທຸກກຸມຝາກທີ່ໂລກແບບໄກລ້ວເຄີຍເວລາຈິງ ມີຄວາມລະເອີດຂອງການປະການກ່າວຝານເຂົ້າພັນທີ່ລະເອີດຄື່ງ 0.1 ອົກສາ ແລະໃຫ້ຂໍ້ມູລຝານເຂົ້າພັນທີ່ອັນແມ່ນຍໍາແລະເປັນທີ່ຍົມຮັບອ່າງກວ້າງຂ້ວາງ

## ການຈັດການຂໍ້ມູລວິທີກາກລຸ່ມ

ການຈັດການຂໍ້ມູລວິທີກາກລຸ່ມທ່ອງຈີ່ເອັມດີເອັບ (Group Method of Data Handling: GMDH) ເປັນທີ່ໃນວິທີກາທີ່ເກີດຕິກັນຂໍ້ມູລ (Data Mining) ດ້ວຍຄອມພິວເຕອົງ ນິຍາມໃຫ້ທາຄວາມລັມພັນອົງຮ່ວມມືກ່າວຝານ ຄວາມລັມພັນອົງແບບໄມ່ເປັນເລັ້ນຕຽງ ໂດຍມີຟັງກ້ານພື້ນຖານໃນການແສດງການປະການກ່າວຝານທີ່ກ່າວຝານທີ່

$$y = a_0 + \sum_{i=1}^m a_i f_i \quad (1)$$

ฟังก์ชันพื้นฐานของจีเอ็มดีເອ່ນມີຄວາມຍົດຫຸ່ນຈຶງສາມາຮັນໄປປະຢູກຕີໃຫ້ກັບເຄືອຂ່າຍປະສາທ (Artificial Neural Networks) ໄດ້ອ່ານຸ່ມປະສິທິກາພ ແລະ ຮູ້ຈັກກັນໃນຊື່ເຄືອຂ່າຍແບບພຖ້າມ (Polynomial Neural Networks) ທີ່ວິເວັນເອັນ (PNN) [13] ໂດຍມີຝັກົງທີ່ເປັນທີ່ນິຍົມແລະ ຮູ້ຈັກກັນອ່າງກວ້າງຂ້ວາງ ໄດ້ແກ່ ພັກົງທີ່ພຖ້າມຂອງໂຄມໂກຣອົກ-ກາບອົກ (Kolmogorov-Gabor Polynomial) [14] ດັ່ງສົມຜະກິດ (2)

$$y = a_0 + \sum_{i=1}^n a_i x_i + \sum_{i=1}^n \sum_{j=1}^n a_{ij} x_i x_j + \sum_{i=1}^n \sum_{j=1}^n \sum_{k=1}^n a_{ijk} x_i x_j x_k + \dots \quad (2)$$

## ວິທີດຳເນີນການວິຈີ

### 1. ພັກົງທີ່ຄຶກຂາ

ການວິຈີນີ້ມີພັກົງທີ່ຄຶກຂາບຮົວເວນລຸ່ມນໍ້າພຸ່ງຂ່າວທັງໝົດເຂົ້ານໍ້າພຸ່ງຈົນລົງທະເລສາບທັນອ່າຫາ ໂດຍມີພັກົງທີ່ປະມານ 778 ຕາຮາງກີໂລເມຕຣ ລຸ່ມນໍ້ານີ້ມີຄວາມລາດເອີ້ນໄປທາງທີ່ຕະວັນອອກແລະຕະວັນອອກເຈິ່ງເຫຼືອ ແລະເຂື່ອມຕ່ອກບັນແນ້າໂທີ່ນຳຜ່ານລຸ່ມນໍ້າກໍ່າ ລຸ່ມນໍ້າພຸ່ງເປັນລຸ່ມນໍ້າຂັນດາເລີກມີລຳນໍ້າພຸ່ງທີ່ມີຄວາມຍາວປະມານ 64 ກີໂລເມຕຣ ເປັນລຳນໍ້າສາຍທັກ ມີຈຸດກຳນົດຈາກເທົກເຂາງກູພານແລະໄທລມາທາງທີ່ຕະວັນອອກແລະ ຕະວັນອອກເຈິ່ງເຫຼືອ ກ່ອນທີ່ຈະໄທລ້ອນໄປທາງທີ່ເຫັນອ່ານຸ່ທະເລສາບທັນອ່າຫາບົວເກອເມື່ອສົກລັນຄຽງ ຈັງຫວັດສົກລັນຄຽງ ດັ່ງແສດງໃນຮູບທີ່ 1 (ເລັ້ນປະປະສົດຂອນເບົດລຸ່ມນໍ້າພຸ່ງ) ບົວເກອເມື່ອສົກລັນຄຽງ ເປັນບົວເກອເມື່ອສົກລັນຄຽງທີ່ມີຄວາມລາດຂັ້ນຂອງການໄທລສູງລົງຮ້ອຍລະ 1 ສ່ວນໃຫ້ກະແນ້ນໄໝໃນລຳນໍ້າພຸ່ງມີຄວາມເຮົວ ການໄທລຄ່ອນຂ້າງສູງ ແລະຈາກກ່ອໄທເກີດການກັດເຂະໜ້າດິນກລາຍເປັນຂອງແບ່ງແຂວນລອຍພັດພາລົງສູງທ້າຍນໍ້າ ສໍາຫັບຂ່າວກລາງນໍ້າແລະທ້າຍນໍ້ານັ້ນ ລຳນໍ້າພຸ່ງໄດ້ທອດຕັ້ງຜ່ານບົວເກອເມື່ອສົກລັນຄຽງທີ່ຈະໄທລສູງສູງທ້າຍນໍ້າ ຂໍ້ວັນຕົ້ນນັ້ນໂດຍມີຄວາມຂັ້ນເຂົ້າພື້ນເພື່ອການປັບປຸງແບ່ງແຂວນລອຍພັດພາລົງສູງທ້າຍນໍ້າ ແລະມີລັກສະນະລຳນໍ້າເປັນແບບທາງນໍ້າໂຄັ້ງຕັດຊື່ປັບປຸງທີ່ຈະໄທລສູງສູງທ້າຍນໍ້າ ຂອງລຳນໍ້າທີ່ມັກພົນເນື່ອມີການປັບປຸງແບ່ງແຂວນລອຍພັດພາລົງສູງທ້າຍນໍ້າ ນອກຈາກນີ້ລຳນໍ້າພຸ່ງຂ່າວນີ້ມີລັກສະນະການໃຊ້ທີ່ດິນເປັນການໃຊ້ເພື່ອການເກືອກຮັດແລະທີ່ດິນກຣກຮັດ ດັ່ງນັ້ນຈຶ່ງອານຸມົດເກີດການກັດເຂະໜ້າດິນກລາຍເປັນຂອງແບ່ງແຂວນລອຍລຸ່ມສູ່ລຳນໍ້າພຸ່ງໄດ້ເຂົ້າເຖິງກັນ

### 2. ຂັ້ນຕອນການຄຶກຂາ

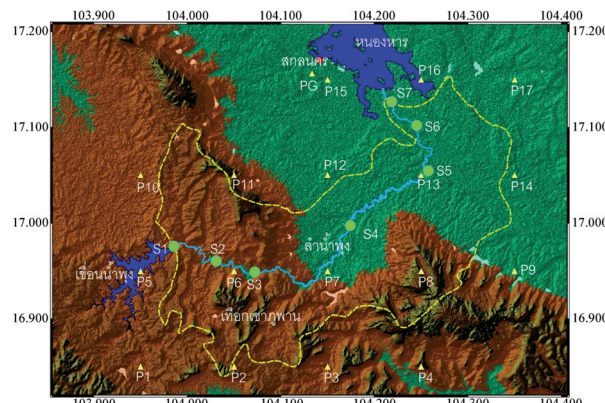
ການວິຈີນີ້ມີຈຸດມຸ່ງຫມາຍໃນການຄຶກຂາຄວາມເປັນໄປໄດ້ຂອງການປະມານຄ່າຂອງແບ່ງແຂວນລອຍທັງໝົດໃນລຳນໍ້າພຸ່ງດ້ວຍຂໍ້ອມມູລັຟນ ຈຶ່ງເລືອກໃຫ້ຂໍ້ອມມູລັຟນຈາກຮະບນຈີ່ປີເອັມແບບໄກລ້າເວລາຈົງ 18 ຂ້ວໂມງ (GPM IMERG Late-Run) ເນື່ອຈາກສາມາຮັນບ່ານອົກປະມານຟັນເຂົ້າພື້ນທີ່ໄດ້ດີກ່າວການໃຊ້ຂໍ້ອມມູລັຟນຈາກສຕານີ່ມາຕຽວດັບແບບຈຸດເຕີຍວ (Single Point Station) ແລະສາມາຮັນໃຫ້ຂໍ້ອມມູລັຟນໄດ້ໄກລ້າເຕີຍງເວລາຈົງ ຂຶ້ນໄດ້ດຳເນີນການຄຶກຂາຄອບຄລຸມທັກຄູແລ້ວແລະຄູຟັນເປັນຮະບະເວລາ 6 ເດືອນ ດັ່ງແຕ່ເດືອນມິນາມັດ - ກັນຍານພ.ສ. 2560 ຂຶ້ນໄດ້ດຳເນີນການຄຶກຂາ 4 ຂັ້ນຕອນດັ່ງນີ້

2.1 ຄຶກຂາລັກສະນະການປັບປຸງແບ່ງແຂວນປັບປຸງປົກປະກິດການປັບປຸງທັງໝົດຕາມຄວາມຍາວລຳນໍ້າພຸ່ງເພື່ອວິເຄາະທີ່ບົວເກອເມື່ອສົກລັນຄຽງທີ່ກ່ອໄທເກີດການປັບປຸງແບ່ງແຂວນປັບປຸງປົກປະກິດການປັບປຸງທັງໝົດໃນລຳນໍ້າພຸ່ງ ໂດຍທຳການເກີດຕັ້ງວ່າຍ່າງນໍ້າແບບຈັງຈຶ່ງຈາກລຳນໍ້າພຸ່ງໃນບົວເກອເມື່ອສົກລັນຄຽງທີ່ມີລະພານພາດຜ່ານລຳນໍ້າພຸ່ງຈຳນວນ 6 ສຕານີ່ (ສຕານີ່ S2 - S7) ແລະຈາກບົວເກອເມື່ອສົກລັນຄຽງທີ່ 1 ສຕານີ່ (ສຕານີ່ S1) ດັ່ງແສດງໃນຮູບທີ່ 1 ຖືກ 14 ວັນ ແລະທຳການວິເຄາະທີ່ປະມານຂອງແບ່ງແຂວນລອຍທັງໝົດດ້ວຍວິທີ່ການອົບແນ້ງທີ່ອຸນທະນີ 103 - 105 ອົງຄາເຊີລເຊີຍສເປັນເວລາ 1 ຂ້ວໂມງ [15]

2.2 ศึกษาความสัมพันธ์ระหว่างข้อมูลจีพีเอ็มและข้อมูลฟันจากมาตรการวัดฟันของกรมอุตุนิยมวิทยา โดยทำการเปรียบเทียบความแตกต่างและความสัมพันธ์ของข้อมูลฟันระหว่างสถานีตรวจวัดฟันที่อยู่ใกล้ๆกันข้อมูลของจีพีเอ็มมากที่สุด ได้แก่ สถานีอุตุนิยมวิทยาสกลนคร (สถานี PG) และจุด P15 สำหรับข้อมูลจากจีพีเอ็ม ดังรูปที่ 1

2.3 ศึกษาความสัมพันธ์ระหว่างข้อมูลจีพีเอ็มและปริมาณของแข็งแχวนลอยทั้งหมดด้วยการวิเคราะห์ความสัมพันธ์เชิงเส้นอย่างง่ายระหว่างตัวแปรทั้งสองเพื่อแสดงทิศทางและระดับความสัมพันธ์ที่มีต่อ กัน

2.4 สร้างตัวแบบความสัมพันธ์ระหว่างข้อมูลจีพีเอ็มและปริมาณของแข็งแχวนลอยทั้งหมด ในลำน้ำพุงด้วยการจัดการข้อมูลวิถีกลุ่มแบบเครือข่ายประสาท (GMDH Neural Network) ด้วยซอฟต์แวร์ GMDH Shell DS รุ่น 3.8.3 โดยออกแบบให้มีชั้นการคำนวณ (Layer) เท่ากับ 5 ชั้น แต่ละชั้นมีจำนวนโหนด (Node) เท่ากับ 10 โหนด ซึ่งการสร้างตัวแบบความสัมพันธ์สำหรับประมาณค่าปริมาณของแข็งแχวนลอยทั้งหมดคลอดทั้งความยาวลำน้ำตั้งแต่สถานี S2 - S7 นี้ ใช้ข้อมูลจีพีเอ็มที่ครอบคลุมพื้นที่ศึกษาทั้งจำนวน 17 จุด (จุด P1 - P17) ดังรูปที่ 1 ข้อมูลที่ถูกใช้เป็นตัวแปรนำเข้าเป็นข้อมูลจีพีเอ็มราย 1 ชั่วโมง และ 14 วัน ของทั้ง 17 จุด โดยข้อมูลเหล่านี้จำนวนร้อยละ 60 ถูกสุ่มเป็นข้อมูลสำหรับการเรียนรู้ในการสร้างตัวแบบ และข้อมูลที่เหลืออีกร้อยละ 40 ถูกใช้เป็นข้อมูลทดสอบความแม่นยำของตัวแบบ



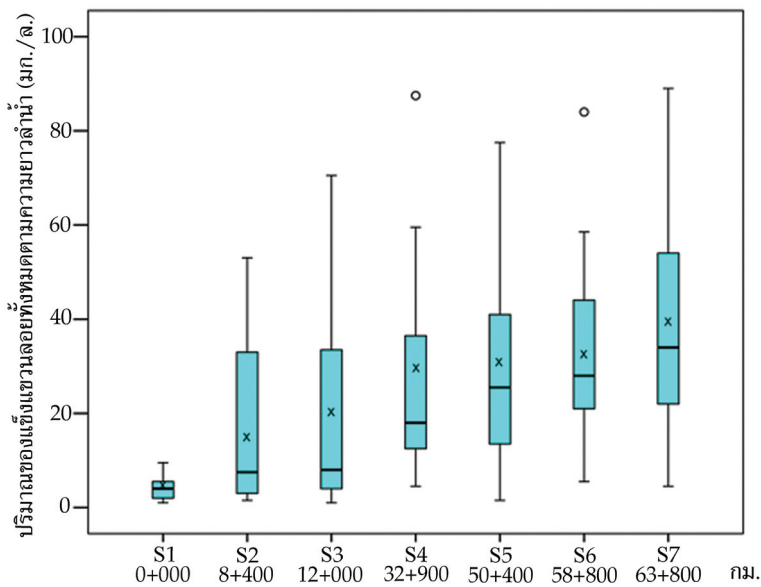
- ▲ คือ ตำแหน่งข้อมูลฟัน (จุด P1 - P17 เป็นตำแหน่งข้อมูลฟันจากจีพีเอ็ม และสถานี PG เป็นข้อมูลฟันจากสถานีตรวจวัดฟันภาคพื้นของกรมอุตุนิยมวิทยา)
- คือ ตำแหน่งเก็บตัวอย่างน้ำเพื่อตรวจวัดปริมาณของแข็งแχวนลอยทั้งหมด (TSS) ในลำน้ำพุง รูปที่ 1 บริเวณพื้นที่ศึกษา ตำแหน่งข้อมูลฟัน และตำแหน่งการเก็บตัวอย่างน้ำ

## ผลการวิจัยและอภิปรายผล

### 1. การเปลี่ยนแปลงปริมาณของแข็งแχวนลอยตามความยาวลำน้ำพุง

จากการเก็บตัวอย่างน้ำในลำน้ำพุงทุก 14 วัน ตั้งแต่วันที่ 25 มีนาคม - 23 กันยายน พ.ศ. 2560 จำนวน 13 ครั้ง ณ บริเวณสถานี S1 - S7 ดังรูปที่ 1 (ยกเว้นวันที่ 29 กรกฎาคม พ.ศ. 2560 เนื่องจากเกิดเหตุการณ์น้ำท่วมจังหวัดสกลนครจึงไม่สามารถเก็บตัวอย่างน้ำได้) พบว่าค่าเฉลี่ยของปริมาณของแข็งแχวนลอย

ทั้งหมดบริเวณสถานี S1 – S7 มีค่าเท่ากับ 4.3 15.8 20.5 29.0 29.8 32.5 และ 39.4 มก./ล. ตามลำดับ โดยสามารถแสดงปริมาณของแข็งแχวนลอยทั้งหมดเทียบกับความยาวลำน้ำพุ่งได้ดังรูปที่ 2 ซึ่งลักษณะได้ว่า ปริมาณของแข็งแχวนลอยทั้งหมดต้นน้ำจะมีค่าน้อยกว่าบริเวณปลายน้ำ และมีแนวโน้มเพิ่มขึ้นตามความยาวลำน้ำ



รูปที่ 2 ปริมาณของแข็งแχวนลอยทั้งหมดตามความยาวลำน้ำพุ่ง

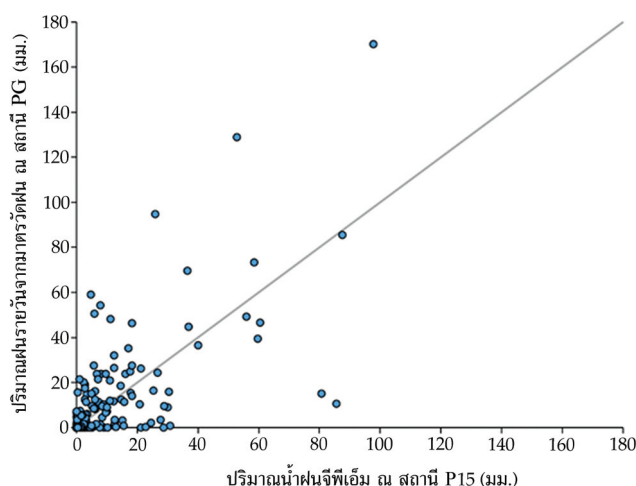
นอกจากนี้พบว่าการเปลี่ยนแปลงปริมาณของแข็งแχวนลอยทั้งหมดจากสถานีหนึ่งไปยังสถานีหนึ่งมีค่าเฉลี่ยเท่ากับ 11.5 4.7 8.5 0.8 2.7 และ 6.9 มก./ล. ตามลำดับ และเมื่อเทียบกับระยะทางการไหลของน้ำ พบว่ามีอัตราการเปลี่ยนแปลงปริมาณของแข็งแχวนลอยทั้งหมดเท่ากับ 1.36 1.31 0.41 0.04 0.32 และ 1.38 มก./ล.-กม. ดังตารางที่ 1 ซึ่งพบว่าช่วงการไหลจากสถานี S3 ไปยัง S6 มีการอัตราการเปลี่ยนแปลงปริมาณของแข็งแχวนลอยทั้งหมดเพิ่มขึ้นค่อนข้างต่ำ โดยเฉพาะอย่างยิ่ง ช่วงสถานี S4 ไปยัง S5 ที่มีอัตราการเปลี่ยนแปลงเพิ่มขึ้นอย่างมากเพียง 0.04 มก./ล.-กม. ทั้งนี้อาจเป็นผลอันเนื่องมาจากการไหลของลำน้ำพุ่งช่วงดังกล่าวมีลักษณะการไหลของลำน้ำเป็นแบบทางน้ำโค้งๆ (Meandering Channel) ซึ่งมักเกิดขึ้นในลำน้ำที่มีการไหลจากบริเวณที่สูงสู่บริเวณที่ราบอย่างรวดเร็ว จึงเกิดการตัวดของกระแสน้ำเพื่อสลายพลังงานและรักษาเสถียรภาพการไหล ลักษณะทางน้ำแบบนี้มักเกิดในบริเวณช่วงกลางน้ำหรือท้ายน้ำ และมักเกิดการทับคลุมของตะกอนบริเวณโค้งน้ำด้านหนึ่งและเกิดการกัดเซาะบริเวณโค้งน้ำอีกด้านหนึ่ง เนื่องจากความเร็วการไหลในหน้าดักการไหลเดียวกันมีความแตกต่างกันสูง [16] ด้วยเหตุนี้ปริมาณของแข็งแχวนลอยทั้งหมดในลำน้ำช่วงนี้มีอัตราการเปลี่ยนแปลงต่ำ เพื่อคงสภาพการกัดเซาะและทับคลุมของตะกอนและของแข็งแχวนลอยไปพร้อมกัน ซึ่งแตกต่างกับช่วงต้นน้ำ (สถานี S1 – S3) ที่มีลักษณะของลำน้ำเป็นแบบการไหลลัดเลาะตามช่องเขาและร่องน้ำ และช่วงท้ายน้ำ (สถานี S6 – S7) ที่มีลักษณะของลำน้ำค่อนข้างตรง จึงทำให้ตะกอนและของแข็งแχวนลอยในลำน้ำทั้ง 2 ช่วงนี้เกิดการตกตะกอนและทับคลุมได้น้อย ล่งผลให้อัตราการเปลี่ยนแปลงของแข็งแχวนลอยมีการเพิ่มขึ้นสูงกว่าบริเวณการลำน้ำแบบโค้งๆ

ตารางที่ 1 การเปลี่ยนแปลงและอัตราการเปลี่ยนแปลงปริมาณของแข็งแχวนลอยทั้งหมดตามระยะทาง

พารามิเตอร์	สถานีต้นทาง, สถานีปลายทาง					
	S1, S2	S2, S3	S3, S4	S4, S5	S5, S6	S6, S7
ระยะทาง (กม.)	8.4	3.6	20.9	17.5	8.4	5.0
การเปลี่ยนแปลง (มก./ล.)	11.5	4.7	8.5	0.8	2.7	6.9
อัตราการเปลี่ยนแปลง (มก./ล.-กม.)	1.36	1.31	0.41	0.04	0.32	1.38

## 2. ความสัมพันธ์ระหว่างข้อมูลจีพีเอ็มและข้อมูลฝนรายวัน

ข้อมูลฝนที่ถูกเลือกใช้ในการประมาณค่าปริมาณของแข็งแχวนลอยทั้งหมดในลำน้ำพุง สำหรับการศึกษานี้คือข้อมูลฝนจากระบบจีพีเอ็มแบบใกล้เวลาจริง 18 ชั่วโมง ซึ่งเป็นข้อมูลฝนรายวัน เชิงพื้นที่แบบความละเอียด 0.1 องศา การวิจัยนี้จึงทำการเปรียบเทียบข้อมูลฝนนี้กับปริมาณฝนรายวันที่ตรวจวัดด้วยมาตรวัดฝน โดยทำการเปรียบเทียบข้อมูลจีพีเอ็มจุดที่ P15 กับข้อมูลฝนรายวันของสถานีอุตุนิยมวิทยาสกลนคร (จุด PG) เนื่องจากห่าง 2 มีตำแหน่งที่ตั้งอยู่ในบริเวณใกล้เคียงกัน ดังรูปที่ 1 ผลการเปรียบเทียบพบว่าข้อมูลทั้งสองมีความแตกต่างกันมากโดยจุดความสัมพันธ์ของข้อมูลทั้งสองไม่อยู่ในแนวเส้นเชิงความล้มพันธ์แบบ 1 ต่อ 1 ดังรูปที่ 3 แสดงให้เห็นว่าข้อมูลทั้งสองมีความคลาดเคลื่อนไปจากกันสูง ทั้งนี้อาจเป็นผลเนื่องมาจากการข้อมูลฝนจากระบบจีพีเอ็มเป็นข้อมูลแบบใกล้เวลาจริงซึ่งอาจมีการคลาดเคลื่อนเล็กน้อยเมื่อเทียบกับข้อมูลแบบเสร็จสมบูรณ์ (Final Run) [17] นอกจากนี้แม้สถานีอุตุนิยมวิทยาสกลนครจะตั้งอยู่บริเวณเดียวกันจุดข้อมูลฝนของจีพีเอ็มจุดที่ P15 แต่ทั้งสองมีระยะทางห่างกันถึง 2 กิโลเมตร จึงอาจทำให้ข้อมูลฝนมีความคลาดเคลื่อนไปจากกันได้ อย่างไรก็ตามเมื่อวิเคราะห์ความล้มพันธ์ด้วยสหสัมพันธ์เพียร์สันโปรดักส์โมเมนต์ พบว่าข้อมูลทั้งสองมีลักษณะเชิงเส้นที่มีความสัมพันธ์เท่ากัน 0.69 ซึ่งแสดงว่าข้อมูลทั้งสองมีความสัมพันธ์กันปานกลาง [18] อย่างมีนัยสำคัญทางสถิติที่ระดับ 0.05



รูปที่ 3 ความสัมพันธ์ระหว่างข้อมูลจีพีเอ็มและฝนที่ตรวจวัดด้วยมาตรวัดฝน

### 3. ความสัมพันธ์ระหว่างข้อมูลจีพีเอ็มและปริมาณของแข็งแχวนลอยทั้งหมด

จากการวิเคราะห์ความสัมพันธ์ระหว่างข้อมูลจีพีเอ็มราย 1 3 7 และ 14 วัน และปริมาณของแข็งแχวนลอยทั้งหมดด้วยการวิเคราะห์สหสัมพันธ์เพียร์สันโปรดักส์ไมเมนต์ พบว่าค่าสัมประสิทธิ์สหสัมพันธ์ระหว่างปริมาณของแข็งแχวนลอยทั้งหมดในลำน้ำพุ่งของสถานี S2 - S7 กับข้อมูลจีพีเอ็มเฉลี่ยราย 1 3 7 และ 14 วัน มีค่าพิสัยล้มบูรณาในช่วง 0.026 - 0.21, 0.11 - 0.45, 0.26 - 0.43 และ 0.31 - 0.57 ตามลำดับ ดังแสดงในตารางที่ 2 ซึ่งจะสังเกตได้ว่าปริมาณของแข็งแχวนลอยทั้งหมดมีความสัมพันธ์กับข้อมูลจีพีเอ็มราย 1 วันในระดับต่ำ และมีความสัมพันธ์สูงขึ้นกับข้อมูลจีพีเอ็มราย 3 7 และ 14 วัน โดยเฉพาะอย่างยิ่งความสัมพันธ์ของข้อมูลจีพีเอ็มราย 7 และ 14 วัน มีค่าสัมประสิทธิ์สหสัมพันธ์มากกว่าความสัมพันธ์ของข้อมูลจีพีเอ็มราย 1 วันอย่างชัดเจน ทั้งนี้อาจเป็นผลอันเนื่องมาจากการน้ำฝนที่ตกลงสู่พื้นที่รับน้ำต้องใช้ระยะเวลารวมตัว (Time of Concentration) ระยะหนึ่งก่อนที่พัดพาของแข็งแχวนลอยลงสู่ลำน้ำ ดังนั้นปริมาณฝนราย 1 วัน จึงมีความสัมพันธ์กับปริมาณของแข็งแχวนลอยทั้งหมดในระดับต่ำกว่าข้อมูลฝนระยะเวลาอื่น เนื่องจากการไหลรวมตัวของน้ำหลากจากบริเวณพื้นที่รับน้ำลงสู่ลำน้ำมีระยะเวลาอันอยกว่าคานเวลาอื่น นอกจากนี้เมื่อพิจารณาทิศทางความสัมพันธ์ยังพบว่า ข้อมูลจีพีเอ็มราย 1 วัน เป็นตัวแปรเดียวที่ให้ค่าสัมประสิทธิ์สหสัมพันธ์ติดลบ ซึ่งแสดงให้เห็นว่าปริมาณฝนที่เพิ่มขึ้นส่งอิทธิพลให้ปริมาณของแข็งแχวนลอยทั้งหมดในลำน้ำลดลงทั้งนี้อาจเป็นผลอันเนื่องมาจากการฝนที่ตกในระยะ 1 วัน มีระยะเวลารวมตัวต่ำจึงมีช่วงระยะเวลาของการไหลลงสู่ลำน้ำอย่างจำกัด เมื่อเทียบกับน้ำหลากที่เกิดจากฝนที่มีระยะเวลารวมตัวที่สูงกว่า การกัดเซาะและพัดพาของแข็งแχวนลอยจึงเกิดเพียงเล็กน้อย ปริมาณของแข็งแχวนลอยของน้ำหลากที่เกิดจากฝนราย 1 วัน จึงมีความเข้มข้นต่ำกว่าความเข้มข้นของแข็งแχวนลอยในลำน้ำ และเกิดการเจือจางให้ปริมาณของแข็งแχวนลอยในลำน้ำมีค่าลดน้อยลง ส่งผลให้ค่าสัมประสิทธิ์สหสัมพันธ์ความสัมพันธ์ข้อมูลจีพีเอ็มราย 1 วันติดลบ โดยเฉพาะอย่างยิ่งในช่วงกลางน้ำและท้ายน้ำที่มักมีปริมาณของแข็งแχวนลอยทั้งหมดในลำน้ำสูง

ตารางที่ 2 สัมประสิทธิ์สหสัมพันธ์ของข้อมูลจีพีเอ็มเฉลี่ยและปริมาณของแข็งแχวนลอย ณ สถานีต่าง ๆ

ระยะเวลาฝนรวม	สถานี S2	สถานี S3	สถานี S4	สถานี S5	สถานี S6	สถานี S7
1 วัน	0.17	0.19	-0.026	-0.20	-0.21	-0.14
3 วัน	0.45	0.42	0.27	0.11	0.12	0.16
7 วัน	0.33	0.29	0.26	0.34	0.43	0.35
14 วัน	0.50	0.57*	0.40	0.38	0.31	0.39

\* มีนัยสำคัญทางสถิติที่ระดับ 0.05

### 4. การสร้างตัวแบบการประมาณค่าของแข็งแχวนลอยทั้งหมดด้วยข้อมูลจีพีเอ็ม

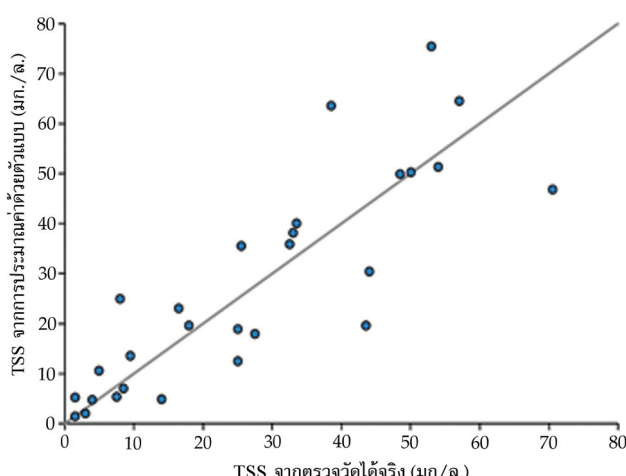
จากข้อมูลจีพีเอ็มราย 1 3 7 และ 14 วัน และข้อมูลปริมาณของแข็งแχวนลอยทั้งหมดในลำน้ำพุ่งสามารถนำมาสร้างเป็นตัวแบบสำหรับการประมาณค่าปริมาณของแข็งแχวนลอยทั้งหมดในลำน้ำพุ่ง ณ สถานีต่าง ๆ จำนวน 6 ตัวแบบ ได้แก่ ตัวแบบของสถานี S2 S3 S4 S5 S6 และ S7 โดยในชั้นตัวแบบเรียนรู้ (Model Learning) ตัวแบบของสถานี S2 - S7 มีค่าสัมประสิทธิ์การตัดสินใจ ( $R^2$ )

อยู่ในระดับสูงมาก ซึ่งมีค่าเท่ากับ 1.00 0.99 1.00 0.99 0.94 และ 0.99 ตามลำดับ โดยมีค่าคลาดเคลื่อนสัมบูรณ์เฉลี่ย (MAE) ต่ำเพียง 0.00 0.21 0.00 1.56 4.85 และ 0.02 mg./l. ตามลำดับ และเมื่อทดสอบตัวแบบด้วยข้อมูลที่ตัวแบบไม่เคยพบมาก่อน พบว่าตัวแบบสามารถประมาณค่าของแข็งแχวนลอยทั้งหมดในลำน้ำพุงได้ใกล้เคียงกับข้อมูลจริงในระดับปานกลางค่อนไปทางสูง โดยมีค่าสัมประสิทธิ์การตัดสินใจของการทดสอบตัวแบบของสถานี S2 - S7 เท่ากับ 0.72 0.73 0.89 0.41 0.68 และ 0.72 ตามลำดับ และมีค่าคลาดเคลื่อนสัมบูรณ์เฉลี่ยเท่ากับ 6.28 10.57 7.47 9.04 6.35 และ 9.75 mg./l. ตามลำดับ ดังแสดงในตารางที่ 3

นอกจากนี้การทดสอบแบบตัวแบบทั้ง 6 ตัวแบบ ด้วยแผนภูมิการกระจายข้อมูลจริง (Actual Data) และค่าท่านาย (Prediction Data) จากตัวแบบพบว่าข้อมูลผันจากระบบที่เอ็ม มีศักยภาพในการใช้ประมาณค่าของแข็งแχวนลอยทั้งหมดในลำน้ำพุงได้ในระดับปานกลาง โดยค่าจากการท่านายและข้อมูลจริงมีแนวโน้มทิศทางไปในทางเดียวกัน แต่มีกระจายตัวออกห่างจากเส้นคาดหวังความล้มเหลว 1 ต่อ 1 (เส้นทึบ) โดยเฉพาะอย่างยิ่งข้อมูลที่มีค่าสูงจะมีแนวโน้มความคลาดเคลื่อนสูงกว่าข้อมูลที่มีค่าต่ำ ดังแสดงในรูปที่ 4 ดังนั้นจึงอาจมีตัวแปรอื่นส่งอิทธิพลต่อปริมาณค่าของแข็งแχวนลอยทั้งหมดในลำน้ำพุงที่มิได้ใช้นำเข้ามาเป็นตัวแปรในการศึกษานี้ เช่น อัตราการไหล ความเร็วน้ำ ขนาดของอนุภาค ความชื้นในดิน และการใช้ประโยชน์ที่ดิน เป็นต้น

ตารางที่ 3 ประสิทธิภาพตัวแบบการประมาณค่าของแข็งแχวนลอยทั้งหมดในลำน้ำพุง ณ สถานีต่าง ๆ

พารามิเตอร์	ตัวแบบการประมาณค่าของแข็งแχวนลอยทั้งหมดในลำน้ำพุง ณ สถานี					
	S2	S3	S4	S5	S6	S7
R <sup>2</sup> ตัวแบบเรียนรู้	1.00	0.99	1.00	0.99	0.94	0.99
MAE ตัวแบบเรียนรู้ (mg./l.)	0.00	0.21	0.00	1.56	4.85	0.02
R <sup>2</sup> ทดสอบตัวแบบ	0.72	0.73	0.89	0.41	0.68	0.72
MAE ทดสอบตัวแบบ (mg./l.)	6.28	10.57	7.47	9.04	6.35	9.75



รูปที่ 4 แผนภูมิการกระจายข้อมูลจริงและค่าท่านายจากตัวแบบ

## สรุป

ปริมาณของแข็งแχวนลอยทั้งหมดในลำน้ำพุงช่วงต่าง ๆ มีความแตกต่างกัน ในช่วงต้นน้ำบริเวณเชื่อมน้ำพุงมีปริมาณของแข็งแχวนลอยทั้งหมดต่ำ แต่เมื่อถึงลำน้ำพุงไหลผ่านเทือกเขาภูพานลงสู่บริเวณที่ราบเชิงเขา พบว่าปริมาณของแข็งแχวนลอยทั้งหมดมีแนวโน้มสูงขึ้นโดยเฉลี่ยว่ายังยิ่งช่วงบริเวณที่ไหลผ่านเทือกเขาและบริเวณท้ายน้ำมีอัตราการเพิ่มขึ้นของปริมาณของแข็งแχวนลอยทั้งหมดสูงกว่าช่วงกลางน้ำ ทั้งนี้อาจเป็นผลเนื่องมาจากการเปลี่ยนแปลงปริมาณของแข็งแχวนลอยทั้งหมดตามลำน้ำพุง (ช่วงสถานี S4 - S5) มีลักษณะลำน้ำเป็นแบบโค้งตัวดั๊ด ส่งผลให้เกิดการกัดเซาะและทับถมตะกอนไปพร้อมกัน ซึ่งแตกต่างกับช่วงต้นน้ำที่ลำน้ำทัดตัวลัดเลาะไปตามช่องเขาและท้ายน้ำที่ลำน้ำค่อนข้างตรง ลำน้ำในช่วงต้นน้ำและท้ายน้ำจึงมีการตกร่องน้ำอย่างมากกว่าช่วงกลางน้ำ การเปลี่ยนแปลงปริมาณของแข็งแχวนลอยทั้งหมดสูงกว่าช่วงกลางน้ำ

นอกจากนี้พบว่าข้อมูลจีพีเอ็มรายวันและข้อมูลฝนจากมาตรการวัดฝนรายวันมีความลับพันธ์กันในระดับปานกลาง อีกทั้งยังพบว่าความลับพันธ์ระหว่างข้อมูลจีพีเอ็มราย 3 7 และ 14 วันกับปริมาณของแข็งแχวนลอยทั้งหมดอยู่ในระดับปานกลางเช่นกัน อย่างไรก็ตามความลับพันธ์ระหว่างข้อมูลจีพีเอ็มราย 1 วันนั้นมีความลับพันธ์กันต่ำ

การสร้างตัวแบบการประมาณค่าของแข็งแχวนลอยทั้งหมดในลำน้ำพุงด้วยข้อมูลจีพีเอ็ม ดำเนินการต่อไปนี้ บนลำน้ำพุง พบว่าตัวแบบที่ได้มีความสามารถในการประมาณค่าของแข็งแχวนลอยทั้งหมดได้ถูกต้องในระดับปานกลาง โดยมีค่าสัมประสิทธิ์การตัดสินใจ ( $R^2$ ) การทดสอบอยู่ระหว่าง 0.41 - 0.89 และมีค่าคลาดเคลื่อนสัมบูรณ์เฉลี่ยอยู่ระหว่าง 6.28 - 10.57 มก./ล. ดังนั้นข้อมูลฝนจากระบบจีพีเอ็มจึงมีประสิทธิภาพเพียงพอต่อการนำมาใช้เป็นตัวแปรนำเข้าในการประมาณค่าปริมาณของแข็งแχวนลอยทั้งหมดในลำน้ำพุง อย่างไรก็ตามควรมีการพิจารณาเพิ่มเติมจำนวนตัวอย่างให้มากขึ้น เพื่อให้ตัวแบบมีปริมาณข้อมูลในการเรียนรู้หลากหลายรูปแบบมากขึ้น และสามารถปรับปรุงตัวเองให้มีประสิทธิภาพในการตอบสนองต่อข้อมูลที่ไม่เคยพบ ซึ่งจะช่วยให้การประมาณค่าของแข็งแχวนลอยทั้งหมดในลำน้ำพุงมีความแม่นยำมากขึ้น รวมทั้งพิจารณาการใช้ตัวแปรอื่นเข้ามาร่วมในการสร้างตัวแบบ เช่น อัตราการไหล ความเรื้อรังของน้ำ ความชื้นในดิน และการใช้ประโยชน์ที่ดิน เป็นต้น เพื่อให้ตัวแบบมีความครอบคลุมไปยังตัวแปรที่อาจมีอิทธิพลต่อปริมาณของแข็งแχวนลอยทั้งหมดในลำน้ำ

## กิตติกรรมประกาศ

การวิจัยนี้ได้รับการสนับสนุนทุนวิจัยจากศูนย์หนอหารศึกษา มหาวิทยาลัยราชภัฏลพบุรี และได้รับการสนับสนุนข้อมูลปริมาณน้ำฝนจากการมอเตอร์นิยมวิทยา และขอขอบพระคุณสาขาวิทยาศาสตร์สิ่งแวดล้อม คณะวิทยาศาสตร์และเทคโนโลยี มหาวิทยาลัยราชภัฏลพบุรี ที่สนับสนุนการใช้ห้องปฏิบัติในการดำเนินการวิจัย

## References

- [1] Camacho, C. and Pérez-Barahona, A. (2015). Land use Dynamics and the Environment. **Journal of Economic Dynamics and Control**. Vol. 52, pp. 96-118. DOI: 10.1016/j.jedc.2014.11.013
- [2] Bussi, G., Dadson, S. J., Prudhomme, C., and Whitehead, P. G. (2016). Modelling the Future Impacts of Climate and Land-Use Change on Suspended Sediment Transport in the River Thames (UK). **Journal of Hydrology**. Vol. 542, pp. 357-372. DOI: 10.1016/j.jhydrol.2016.09.010
- [3] van Maren, D. S., Oost, A. P., Wang, Z. B., and Vos, P. C. (2016). The Effect of Land Reclamations and Sediment Extraction on the Suspended Sediment Concentration in the Ems Estuary. **Marine Geology**. Vol. 376, pp. 147-157. DOI: 10.1016/j.margeo.2016.03.007
- [4] Tiecher, T., Minella, J. P. G., Caner, L., Evrard, O., Zafar, M., Capoane, V., Le Gall, M., and Santos, D. (2017). Quantifying Land use Contributions to Suspended Sediment in a Large Cultivated Catchment of Southern Brazil (Guaporé River, Rio Grande do Sul). **Agriculture, Ecosystems and Environment**. Vol. 237, pp. 95-108. DOI: 10.1016/j.agee.2016.12.004
- [5] Abbott, S., Julian, J. P., Kamarinas, I., Meitzen, K. M., Fuller, I. C., McColl, S. T., and Dymond, J. R. (2017). State-Shifting at the Edge of Resilience: River Suspended Sediment Responses to Land use Change and Extreme Storms. **Geomorphology**. Vol. 305, pp. 49-60. DOI: 10.1016/j.geomorph.2017.09.004
- [6] Grimaldi, S., Petroselli, A., Baldini, L., and Gorgucci, E. (2018). Description and Preliminary Results of a 100 Square Meter Rain Gauge. **Journal of Hydrology**. Vol. 556, pp. 827-834. DOI: 10.1016/j.jhydrol.2015.09.076
- [7] Bianchi, B., Rieckermann, J., and Berne, A. (2013). Quality Control of Rain Gauge Measurements Using Telecommunication Microwave Links. **Journal of Hydrology**. Vol. 492, pp. 15-23. DOI: 10.1016/j.jhydrol.2013.03.042
- [8] Islam, T., Hu, Y., Kokhanovsky, A., and Wang, J. (2018). **Remote Sensing of Aerosols, Clouds, and Precipitation**. Chapter 11 - Measurement of Precipitation from Satellite Radiometers (Visible, Infrared, and Microwave): Physical Basis, Methods, and Limitations Atul K. Varma, pp. 223-248. 1<sup>st</sup> Edition. Elsevier.
- [9] Gado, T. A., Hsu, K., and Sorooshian, S. (2017). Rainfall Frequency Analysis for Ungauged sites Using Satellite Precipitation Products. **Journal of Hydrology**. Vol. 554, pp. 646-655. DOI: 10.1016/j.jhydrol.2017.09.043
- [10] Darand, M., Amanollahi, J., and Zandkarimi, S. (2017). Evaluation of the Performance of TRMM Multi-Satellite Precipitation Analysis (TMPA) Estimation Over Iran. **Atmospheric Research**. Vol. 190, pp. 121-127. DOI: 10.1016/j.atmosres.2017.02.011

- [11] Tan, M. L. and Santo, H. (2018). Comparison of GPM IMERG, TMPA 3B42 and PERSIANN-CDR Satellite Precipitation Products Over Malaysia. **Atmospheric Research**. Vol. 202, pp. 63-76. DOI: 10.1016/j.atmosres.2017.11.006
- [12] Tapiador, F. J., Turk, F. J., Petersen, W., Hou, A. Y., García-Ortega, E., Machado, L. A. T., Angelis, C., Salio, P., Kidd, C., Huffman, G., and de Castro, M. (2012). Global Precipitation Measurement: Methods, Datasets and Applications. **Atmospheric Research**. Vol. 104, pp. 70-97. DOI: 10.1016/j.atmosres.2011.10.021
- [13] Dorn, M., Braga, A. L. S., Llanos, C. H., and Coelho, L. S. (2012). A GMDH Polynomial Neural Network-Based Method to Predict Approximate Three - Dimensional Structures of Polypeptides. **Expert Systems with Applications**. Vol. 39, Issue 15, pp. 12268-12279. DOI: 10.1016/j.eswa.2012.04.046
- [14] Schmidhuber, J. (2015). **Deep Learning in Neural Networks: An Overview**. Neural Networks, Vol. 61, pp. 85-117
- [15] Rice, E. W. and American Public Health Association (Eds.). (2012). **Standard Methods for the Examination of Water and Wastewater** (22. ed). Washington, DC: American Public Health Association
- [16] Nelson, J. M. and Smith, J. D. (1989). **Flow in Meandering Channels with Natural Topography**. In Ikeda, S. and Parker G. (Eds.), River Meandering. American Geophysical Union
- [17] Wang, Z., Zhong, R., Lai, C., and Chen, J. (2017). Evaluation of the GPM IMERG Satellite-Based Precipitation Products and the Hydrological Utility. **Atmospheric Research**. Vol. 196, pp. 151-163. DOI: 10.1016/j.atmosres.2017.06.020
- [18] Hinkle, D. E., Wiersma, W., and Jurs, S. G. (2002). **Applied Statistics for the Behavioral Sciences** (5 edition). Boston: Houghton Mifflin



# สารสาร มทร.อีสาน

ฉบับวิทยาศาสตร์และเทคโนโลยี

ISSN 1906-215X

สมบัติทางกายภาพของผ้ายกเดนิมนคร

## Physical Properties of Yok Denim Nakhon Fabric

จุฑามาศ ชุนไชยการ<sup>1</sup> สาคร ชลสาคร<sup>1\*</sup> และรัตนพล มงคลรัตนสิทธิ์<sup>2</sup>

Received: March, 2018; Accepted: June, 2018

### บทคัดย่อ

การวิจัยครั้งนี้มีวัตถุประสงค์เพื่อพัฒนารูปแบบการทดสอบผ้ายกเดนิมนครด้วยเส้นด้ายพุ่ง 3 ชนิด เส้นด้ายที่ยอมให้มีเอกลักษณ์ ทดสอบบนสมบัติทางกายภาพของผ้ายกเดนิมนคร โดยวางแผนการทดลองแบบสุ่มบูรณา (Completely Randomized Design, CRD) มีปัจจัยในการทดลอง คือ ชนิดของเส้นด้าย ได้แก่ ผ้ายอลิเยลเตอร์ และผ้ายอลเมเรยอน การพัฒนารูปแบบการทดสอบผ้ายกเดนิมนครด้วยลวดลายดอกพิกุลและวิธีการทดสอบสมบัติทางกายภาพ ด้วยมาตรฐานการทดสอบ ASTM และ AATCC ผลการพัฒนารูปแบบการทดสอบผ้ายกเดนิมนครพบว่า เส้นด้ายพุ่งทั้ง 3 ชนิด สามารถใช้ทดสอบผ้าเดนิมเป็นผ้ายกเดนิมนคร ชนิดใหม่ ที่มีเอกลักษณ์ คิลปะความเป็นไทย มีสมบัติเด่นในด้านความแข็งแรง และผลิตได้รวดเร็ว ผลการทดสอบบนสมบัติทางกายภาพพบว่า เส้นด้ายพอยลิเยลเตอร์ มีขนาด ความแข็งแรงต่อแรงดึงขาด และความไม่สม่ำเสมอมากที่สุด 1104.70 ดีเนียร์ 1.87 กรัมต่อต่ำมีเนียร์ และร้อยละ 11.20 ตามลำดับ ผ้ายกเดนิมนครพอยลิเยลเตอร์ มีความแข็งแรงของผ้าทดสอบต่อแรงดึงขาดในแนวเส้นด้ายพุ่ง น้ำหนัก และความหนามากที่สุด 861.49 นิวตัน 424.51 กรัมต่อตารางเมตร และ 1.60 มิลลิเมตร ตามลำดับ ผลการทดสอบจำนวนเส้นด้ายต่อห่วง ความยาวในแนวเส้นด้ายพุ่งพบว่า ผ้ายกเดนิมนครผ้าย มีจำนวนเส้นด้ายมากที่สุด 44 เส้นต่อตารางนิว ผลการทดสอบความแข็งแรงของผ้าทดสอบต่อแรงดึงขาดของผ้าทั้ง 3 ชนิด พบว่าเส้นด้ายทั้งแนวด้ายยืนและด้ายพุ่ง มีค่าเฉลี่ยมากกว่า 125 นิวตัน และผลการทดสอบความคงทนของเส้นต่อการซักล้างและการทดสอบสี ผ้าขาวพบว่า ผ้าทั้ง 3 ชนิด มีสีซึดจากลงเล็กน้อยและสีตกติดน้อยอยู่ในระดับ 4.5

คำสำคัญ : ผ้าห่อ; ผ้าเดนิม; ผ้ายกเดนิม; สมบัติทางกายภาพ

<sup>1</sup> Faculty of Home Economics Technology, Rajamangala University of Technology Thunyaburi

<sup>2</sup> Faculty of Industrial Textiles and Fashion Design, Rajamangala University of Technology Phra Nakhon

\* Corresponding Author E - mail Address: sakorn\_c@rmutt.ac.th

## Abstract

The objectives of this study were to develop weaving process of yoknakhon fabric with three types of weft indigo dyed yarns and test their physical properties. In the experiment, Completely Randomized Design (CRD) was factor and the following three types of yarns: cotton, polyester, and cotton rayon blend were used in the weaving process development with dokpikul pattern. The testing of the physical properties of the end product was then carried out by means of ASTM and AATCC standard testing. From the development of the weaving style of the city, it was found that the three types of yarn could be used to weave the denim city cloth. This new style cloth was unique, having Thai art properties with prominent strength. And the production was fast. From the physical properties test, it was found that the polyester yarn had the most tensile strength and yarn evenness of 1104.70 denier, 1.87 gram per denier and 11.20 percent respectively whereas the yok denim nakhon polyester fabric had the maximum tensile strength in weft range length and thickness of 861.49 newton, 424.51 gram per square meter, and 1.60 millimeter respectively. Concerning the test of the yarn number of count in the weft direction, it was found that yok denim nakhon cotton fabric had the largest yarn number of 44 threads per square inch. From the test of weaving tensile strength in warp and weft direction of the three fabrics, it was found that the average strength was more than 125 newton. In relation to color fastness to washing and color staining, the color fade and the color shade of the three fabrics appeared to be at the slight level of 4.5.

**Keywords:** Weave; Denim Fabric; Yok Nakhon Fabric; Physical Properties

## บทนำ

ผ้ายกนคร เป็นศิลปะการทอพื้นบ้านที่มีลักษณะการผสมผสานด้วยคุณค่าและประโยชน์ใช้สอย และมีเอกลักษณ์ชัดเจน องค์ประกอบสำคัญของผ้ายกนคร คือ ความคิด ฝีมือ ความเรียบง่าย และความงามบนพื้นฐานของธรรมชาติลิขแลดล้อม ลังคอม ขนบธรรมเนียมประเพณีและความเชื่อ ผ้ายกนครถือเป็นศิลปะพื้นบ้านของจังหวัดนครศรีธรรมราช มีความเก่าแก่และมีความประณีตงดงาม [1] การทอผ้าเป็นงานที่ต้องใช้เวลามากในการผลิต มีกรรมวิธีที่เป็นเอกลักษณ์สามารถถ่ายทอดศิลปะ และความรู้สึกลงไปบนผืนผ้าได้ ผ้าทอจะสะท้อนให้เห็นคุณค่า การทอผ้าเป็นหัตถกรรมและศิลปะที่ได้ผสมผสานกับวิถีชีวิต เดิมที่ผ้ายกนครผลิตเพื่อใช้สอยในครัวเรือน แต่ปัจจุบันได้พัฒนามาเป็นการผลิตเพื่อจำหน่ายทำให้เกิดรายได้ มีการใช้เทคโนโลยีมาช่วยเพื่อเพิ่มความรวดเร็วในการผลิต ล่งผลให้คุณค่าด้านศิลปะลดน้อยลงไป เนื่องจากผู้ผลิตคำนึงถึงผลผลิตมากกว่าฝีมือและความภาพ จนทำให้ขาดการท่านบ้ำรุ่งสู่เสริม นอกเหนือจากการส่งเสริมหรือสืบทอดศิลปะการทอผ้า และกรรมวิธีการทอที่ยากไข้เวลานาน ทำให้ผู้ที่คิดว่าจะได้รายได้ไม่คุ้มกับความเหนื่อยและความพยายาม ผู้ทอที่เหลือส่วนใหญ่จึงเป็นผู้สูงอายุ ส่วนคนในวัยที่นุ่มล้ำ นักจะหันไปประกอบอาชีพอื่น

ที่มีรายได้ดีกว่าอีกปัญหาหนึ่งก็คือ การขาดการสนับสนุน และส่งเสริมจากหน่วยงานที่เกี่ยวข้อง [2] และเพื่อไม่ให้ผู้ยกร่างกฎหมายหรือการลีบ์ทอดคิลประการทอผ้ายกครัวต้องสูญเสีย ควรพัฒนารูปแบบการทอหรือลดลายการทอให้มีความทันสมัยมากขึ้น และสามารถเพิ่มโอกาสหรือต่อยอดให้กับกลุ่มทอผ้าอีกด้วย

ผ้าเดนิม เป็นวัสดุดูบหลักในการผลิตเครื่องแต่งกายที่เป็นเอกลักษณ์ มียอดจำหน่ายเฉลี่ย 1,000 ล้านบาทต่อปี สามารถผลิตเป็นยีนส์ที่สวยงามได้ง่าย อิทธิพลของด้านผลิตภัณฑ์มีผลต่อพฤติกรรมการซื้อกางเกงยีนส์ของผู้บริโภคมาก จะเห็นได้ว่าส่วนของปัจจัยด้านผลิตภัณฑ์ที่มีอิทธิพลมากที่สุด คือ มีความทันสมัยอยู่เสมอ ทุกยุค ทุกสมัย ส่วนของปัจจัยด้านผลิตภัณฑ์ที่มีอิทธิพลมาก คือ การเก็บยีนส์ สามารถสวมใส่ได้หลายโอกาส รองลงมาคือ เนื้อผ้ามีคุณภาพดี ทนทานใช้ได้นาน รูปทรงกางเกงที่ทันสมัยในการออกแบบและการทอนน้ำ ผ้าเดนิมมีโครงสร้างที่แตกต่างกันออกไปเล็กแต่ละลายผ้าและความหนาแน่นของเนื้อผ้าที่ต้องการ เช่น ลายสอง ลายตัวนิ้ว ลายลูกฟูก และลายก้างปลา เป็นต้น ผ้าเดนิมที่มีเนื้อหนาเกิดจากการทอด้วยเส้นด้ายที่มีขนาดใหญ่ ผ้าจะมีความแข็งแรง ทนทาน ส่วนผ้าเดนิมที่มีเนื้อบาง เกิดจากการทอด้วยเส้นด้ายขนาดเล็ก ผ้าจะมีความแข็งแรง ทนทาน น้อยกว่า นอกจากนี้ในด้านการตัดเย็บผ้าเดนิม ยังมีรูปแบบเฉพาะตัว คือ เป็นการตัดเย็บโดยใช้เส้นด้ายขนาดใหญ่ ที่มีความเหนียวเป็นพิเศษ ใช้ฝีเข็มแบบตะเข็บคู่ รวมทั้งใช้ชิปและกระดุมที่ทำจากโลหะ ผ้าเดนิมที่ตัดเย็บเสร็จแล้ว สามารถนำไปผ่านการตอกแต่งเพิ่มเติมเพื่อให้เกิดความสวยงามและน่าใช้ที่มากยิ่งขึ้น เช่น การซักล้าง ช่วยให้ลีซีดจากลงและเห็นรอยตะเข็บได้ชัดเจนขึ้นหรือทำการตอกแต่งให้ผ้านุ่มนิ่มขึ้น เป็นต้น [3] ซึ่งความนิยมของผ้าเดนิมสำหรับคนไทยยังคงมีมากขึ้นอยู่กับลักษณะรูปแบบ ลวดลาย และลีสัน ในการผลิตผ้าเดนิม ส่วนใหญ่ใช้เส้นด้ายผ้า และส่วนเด็กซึ่ง ส่งผลให้การพัฒนาผลิตภัณฑ์ผ้าเดนิมมีลักษณะรูปแบบ ลวดลายน้อยมาก ผู้ผลิตไม่ได้คำนึงถึงรูปแบบที่มีความทันสมัย แต่คำนึงถึงยอดในผลผลิต จนทำให้ผู้บริโภคเกลือกใช้ผ้าเดนิมน้อยลง [4] ความมีการพัฒนารูปแบบการทอผ้าเดนิมที่มีความทันสมัย เนื้อผ้ามีคุณภาพดี ทนทานต่อการใช้งานได้ดี และสามารถสวมใส่ได้หลายโอกาส

ลิ้งทองที่ได้จำเป็นต้องมีการศึกษาสมบัติให้ตรงความต้องการและเหมาะสมต่อการใช้งานในการนำลิ้งทองมาผลิตเป็นเสื้อผ้านั้น อย่างน้อยต้องมีความแข็งแรงและความหนาที่เพียงพอ เนื่องจากในการใช้งานของลิ้งทองนั้น ต้องทนต่อแรงดึงขาด แรงนีกขาด และความคงทนของเส้นต่อการซักล้าง ซึ่งการทดสอบสมบัติทางภาษาพหุชนชาติของลิ้งทองนี้มีหลายประการ เช่น การทดสอบเส้นด้าย สามารถทดสอบหากันขาด ความแข็งแรง และความไม่สั่นสะเทือน และในการทดสอบผืนผ้า สามารถทำการทดสอบความแข็งแรงต่อแรงดึงขาด ความแข็งแรงต่อแรงฉีกขาด น้ำหนัก จำนวนเส้นด้ายต่อหน่วยความยาว ความหนา และความคงทนของเส้นต่อการซักล้าง เป็นต้น [5] ความจำเป็นในการทดสอบสมบัติของลิ้งทอง ก่อนการใช้งานนั้นมีความจำเป็นอย่างยิ่ง เพื่อให้ลิ้งทองมีสมบัติที่เหมาะสมและสมเหตุสมผลต่อการใช้งานในชีวิตประจำวัน นอกจากนี้การทดสอบลิ้งทองจะสามารถตอบสนองความต้องการของผู้บริโภคที่ต้องการลิ้งทองที่มีคุณภาพสูง ช่วยลดความเสี่ยง ปกป้องผลประโยชน์ทั้งของผู้ผลิต ผู้บริโภค สร้างจุดขายให้กับลินค้า เพิ่มความได้เปรียบในการแข่งขันทางการตลาด สร้างความเชื่อมั่นในความปลอดภัย ตลอดจนเป็นการกระตุ้นให้ผู้ประกอบการมีความมุ่งมั่นที่จะพัฒนาลินค้าให้มีคุณภาพ [6] และเมื่อมีการผลิตผืนผ้าชนิดใหม่เกิดขึ้น ควรนำผืนผ้าไปทดสอบสมบัติทางภาษาพหุชนชาติ เพื่อให้เหมาะสมต่อการใช้งาน

ดังนั้น การศึกษาสมบัติทางภาษาพหุชนชาติของผ้ายกเดนิมในคร โดยเริ่มจากการพัฒนารูปแบบการทอด้วยเส้นด้ายทุ่ง 3 ชนิด คือ ผ้าย พอลิเอสเตอร์ และผ้ายพลเมเรยอน เส้นด้ายที่ย้อมให้มีสีคลื่นสีอินดิโก

มาทอเป็นผ้ายกนครด้วยลวดลายดอกพิกุล ที่สามารถห่อได้เร็วขึ้นและทันสมัย สืบทอดคุณค่าด้านศิลปะของผ้ายกนครด้วยเล็บด้ายที่ใช้ผลิตผ้าเดนิม และทดสอบสมบัติทางกายภาพของผ้ายกเดนิมนคร จนกลายเป็นผืนผ้าชนิดใหม่ที่มีลวดลายผ้ายกนครและมีการผสมผสานเล็บด้ายที่ใช้ผลิตผ้าเดนิมเพื่อเพิ่มจุดเด่นให้กับผ้า เช่น ผินผ้านมีความแข็งแรง หนา ทนต่อแรงดึงขาด แรงฉีกขาด และมีความคงทนของลีด่อ การซักล้าง ที่เหมาะสมสำหรับการนำมาพัฒนารูปแบบผ้าเดนิมที่มีความทันสมัย ให้แก่ผู้บริโภค ควรค่าแก่การศึกษาอนุรักษ์ สืบทอดศิลปหัตถกรรมไทย และสามารถเพิ่มโอกาสหรือต่อยอดให้กับกลุ่มทอผ้า ลั่นผลิตภัณฑ์ผืนผ้ายกเดนิมนครเข้าสู่ระบบโรงงานอุตสาหกรรมสิ่งทอและเครื่องนุ่งห่ม หรือทำเป็นผลิตภัณฑ์ เคหะสิ่งทอได้เช่นกัน เพื่อสนับสนุนผลิตภัณฑ์ใหม่ ๆ ให้แก่ผู้บริโภคสู่แนวคิดการพัฒนาเป็นผ้า เเดนิมที่มี ความร่วมสมัย

## วัสดุ อุปกรณ์ และวิธีการ

การวิจัยนี้วางแผนการทดลองแบบสุ่มบูรณา (Completely Randomized Design (CRD)) โดยมีปัจจัยในการทดลอง คือ ชนิดของเล็บด้ายประกอบด้วย เล็บด้าย 3 ชนิด คือ ฝ้าย พอลิเอสเตอร์ และผ้ายผลม เ雷ยอน เพื่อใช้เป็นเล็บด้ายพุ่งในการห่อผ้า และมี Control คือ ผ้าเดนิมและเล็บด้ายที่ใช้ในการห่อผ้าเดนิม และผ้ายกนครด้วยเดิมและเล็บด้ายที่ใช้ในการห่อผ้ายกนครด้วยเดิม

### 1. วัสดุและอุปกรณ์

1.1 วัตถุดิบ คือ เล็บด้ายยืนใช้เล็บด้ายฝ้ายเบอร์ 1042.60 ดีเนียร์ และเล็บด้ายพุ่ง จำนวน 3 ชนิด คือ ฝ้ายเบอร์ 1042.60 ดีเนียร์ พอลิเอสเตอร์เบอร์ 1104.70 ดีเนียร์ และฝ้ายผลม雷ยอน เบอร์ 1069.30 ดีเนียร์ ทั้งเล็บด้ายยืนและเล็บด้ายพุ่งที่ย้อมให้มีเฉดสีอินดิโก จากบริษัท ก้องเกียรติ เท็กซ์ไทล์ จำกัด ซึ่งเล็บด้ายยืนที่ใช้ห่อผ้าทุกชนิดเป็นเล็บด้ายชนิดเดียวกัน ส่วนเล็บด้ายพุ่งในผ้าเดนิม แบบด้วยเดิม ใช้เล็บด้ายฝ้ายเบอร์ 536.40 ดีเนียร์ และเล็บด้ายพุ่งในผ้ายกนครแบบด้วยเดิมใช้เล็บด้าย雷ยอนเบอร์ 271.90 ดีเนียร์

1.2 อุปกรณ์ห่อผ้า คือ ใน ระวัง หลักกัน ทึม ตีนทึม เชยกดอก เชาหยียบ ลูกพัม ลูกกะทยก ลูกตุ้ง ผัง นัด ตรนกระลวย และดาวเก การทำห่อผ้ายกเดนิมนคร ใช้เครื่องห่อผ้าแบบกีร์คุก 4 ตะกอ หน้าผากว้าง 42 นิ้ว โดยกลุ่มห่อผ้าบ้านทำเนียบ ตำบลควนพัง อำเภอร่อนพินูลย์ จังหวัดนครศรีธรรมราช

### 2. การเตรียมเล็บด้าย

#### 2.1 การเตรียมเล็บด้ายยืน

- 2.1.1 เล็บด้ายยืนใช้เล็บด้ายฝ้ายเบอร์ 1042.60 ดีเนียร์ เล็บด้ายที่ย้อมให้มีเฉดสีอินดิโก จากบริษัท ก้องเกียรติ เท็กซ์ไทล์ จำกัด
- 2.1.2 กรองเล็บด้ายยืนให้อยู่ในหลอดด้ายพร้อมใช้งาน จำนวน 76 หลอด
- 2.1.3 เดินเล็บด้าย เพื่อให้เล็บด้ายจากหลอดมาเรียงต่อกัน และพร้อมสำหรับนำเล็บด้ายไปห่อ
- 2.1.4 สอดฟันหัว นำเล็บด้ายยืนแต่ละเล็บด้ายสอดเข้าไปในช่องระหว่างฟันหัวหรือฟิม เพื่อใช้ในการห่อ โดยบังคับให้เล็บด้ายยืนอยู่ท่ากันตามระยะที่ต้องการ
- 2.1.5 ห่อเล็บด้าย เพื่อให้ได้เล็บด้ายยืนจากหลอดมาเรียงต่อกัน

2.2.6 คัดลายเล็บด้วยยีน และเก็บตะกอ สำหรับการแยกเล็บด้วยยีนให้ขึ้นลงขัดกับ  
เล็บด้วยพุ่ง เพื่อให้เห็นถึงลวดลายที่ชัดเจนขึ้น

2.2.7 ขึ้นเล็บด้วยยีน จำนวน 55 หลา

### 2.3 การเตรียมเล็บด้วยพุ่ง

2.3.1 เล็บด้วยพุ่งใช้เล็บด้วยจำนวน 3 ชนิด คือ ฝ้ายเบอร์ 1042.60 ดีเนียร์  
โพลิเอสเตอร์เบอร์ 1104.70 ดีเนียร์ และฝ้ายผสมเรยอนเบอร์ 1069.30 ดีเนียร์  
เล็บด้วยที่ย้อมให้มีเฉดสีนินดigo จากบริษัท ก้องเกียรติ เท็กซ์ไทร์ จำกัด

2.3.2 กรองเล็บด้วยพุ่ง 3 ชนิด ให้อยู่ในหลอดด้วยพร้อมไข้งาน จำนวน 60 หลอด

### 3. การห่อผ้ายกเดนิมนคร

3.1 ทอลวดลายดอกพิกุล โดยกดเครื่องแยกหมู่ต่อกัน เล็บด้วยยีนชุดที่ 1 จะถูกแยกออก  
และเกิดช่องว่างสอดกระสายด้วยเล็บด้วยพุ่งผ่าน สลับตะกอชุดที่ 1 ยกตะกอชุดที่ 2 สอดกระสายเล็บด้วยพุ่ง<sup>กลับทำสลับกันไปเรื่อย ๆ</sup>

3.2 กระบวนการพื้นที่ (ฟีม) เมื่อสอดกระสายเล็บด้วยพุ่งกลับก็จะกระบวนการพื้นที่ เพื่อให้เล็บด้วยพุ่ง<sup>แนบติดจะกันได้เนื้อผ้าที่แน่นหนา</sup>

3.3 เก็บหรือม้วนผ้า เมื่อห่อผ้าได้พอดีมาณแล้วจะทำการม้วนผ้าเก็บในแกนม้วนผ้า<sup>โดยผ่อนแกนเล็บด้วยยีนให้คลายออกและปรับความตึงหย่อนใหม่ให้พอดีเหมาะสมก่อน</sup>

3.4 ห่อผ้ายกเดนิมนคร จำนวน 3 ผืน คือ ผ้ายกเดนิมนครฝ้าย ผ้ายกเดนิมครพรโพลิเอสเตอร์<sup>และผ้ายกเดนิมนครฝ้ายผสมเรยอน</sup>

### 4. การทดสอบสมบัติทางกายภาพของผ้ายกเดนิมนคร

#### 4.1 สมบัติทางกายภาพเล็บด้วย

4.1.1 การทดสอบขนาดเล็บด้วย ตามมาตรฐาน ASTM D 1907 : 2001 ด้วยเครื่อง<sup>ทดสอบขนาดเล็บด้วย (SDL Atlas Wrap Reel Electronic)</sup>

4.1.2 การทดสอบความแข็งแรงต่อแรงดึงขาดของเล็บด้วย ตามมาตรฐาน ASTM  
D 2256 : 2002 ด้วยเครื่องทดสอบความแข็งแรงต่อแรงดึงขาดของเล็บด้วย<sup>(Uster Tensorapid) รุ่น 3 V 6.1</sup>

4.1.3 การทดสอบความไม่สม่ำเสมอของเล็บด้วย ตามมาตรฐาน ASTM D 1425 :  
1996 ด้วยเครื่องทดสอบความไม่สม่ำเสมอของเล็บด้วย (Uster Evenness  
Tester) รุ่น 3 V 2.50

#### 4.2 สมบัติทางกายภาพผืนผ้า

4.2.1 การทดสอบความแข็งแรงของผ้าทอต่อแรงดึงขาด ตามมาตรฐาน ASTM D  
5034 : 2009 ด้วยเครื่องทดสอบความแข็งแรงของผ้าทอต่อแรงดึงขาด<sup>(Tensile Testing Machine) ยี่ห้อ Instron รุ่น Model 5566</sup>

4.2.2 การทดสอบความแข็งแรงของผ้าทอต่อแรงฉีกขาด ตามมาตรฐาน ASTM D  
1424 : 2009 ด้วยเครื่องทดสอบความแข็งแรงของผ้าทอต่อแรงฉีกขาด<sup>(Elmendorf Tester)</sup>

- 4.2.3 การทดสอบน้ำหนักผืนผ้า ตามมาตรฐาน ASTM D 3776 : 2009 OPTION C ด้วยเครื่องทดสอบน้ำหนักผืนผ้า (Sample Cutter)
- 4.2.4 การทดสอบจำนวนเส้นด้ายต่อหน่วยความยาว ตามมาตรฐาน ASTM D 3775 : 2008 ด้วยเครื่องทดสอบจำนวนเส้นด้ายต่อหน่วยความยาว (Pick Counter)
- 4.2.5 การทดสอบความหนาของผ้า ตามมาตรฐาน BASED ON ASTM D 1777 : 1996 (2007) ด้วยเครื่องทดสอบความหนาของผ้า (Cloth Thickness Gauge) รุ่น Model TH-103

#### 4.3 สมบัติความคงทนของสีต่อการซักล้าง

นำผ้ายกเดนิมนครที่ถอดจากเส้นด้าย 3 ชนิด มาทดสอบความคงทนของสีต่อการซักล้าง ตามมาตรฐานการทดสอบ AATCC TM 61 : 2010 Method 1A (อุณหภูมิ 40 องศาเซลเซียส, 10 Stainless Steel Balls, เวลา 45 นาที) ด้วยเครื่องทดสอบความคงทนของสีต่อการซักล้าง (Launder-Ometer Atlas)

#### 5. การวิเคราะห์ข้อมูล

นำผ้ายกเดนิมนครที่ถอดจากเส้นด้าย 3 ชนิด คือ ผ้ายกเดนิมครผ้าย ผ้ายกเดนิมคร พอลิเอสเตอร์ ผ้ายกเดนิมครผ้ายพสมเรยอน มาวิเคราะห์สมบัติทางกายภาพ ตามมาตรฐานการทดสอบของ ASTM และ AATCC และเปรียบเทียบความแตกต่างของค่าเฉลี่ยสมบัติทางกายภาพของผ้ายกเดนิมครโดยวิธี Duncan, s New Multiple Range Test (Duncan)

### ผลการวิจัย

#### 1. ผลการพัฒนารูปแบบการทดสอบผ้ายกเดนิมนคร

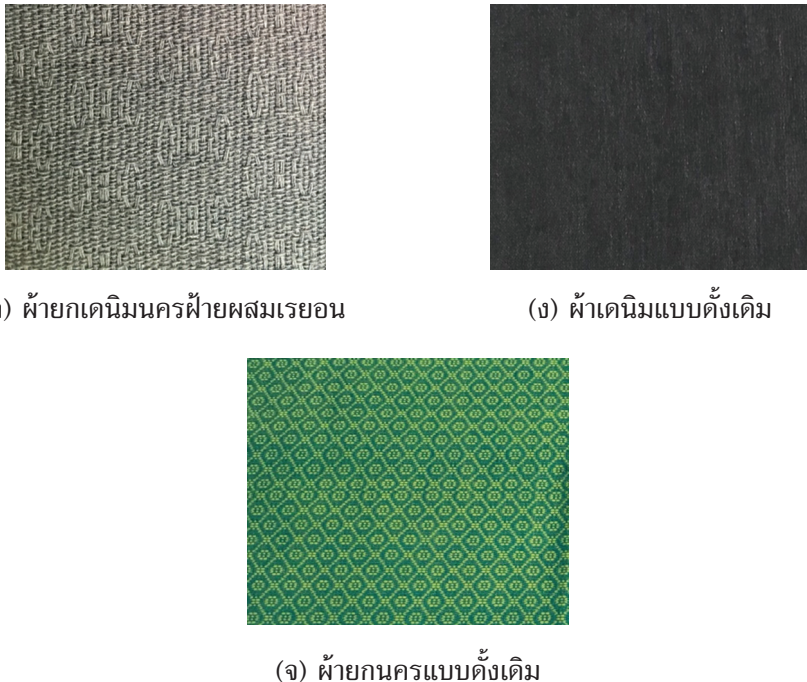


(ก) ผ้ายกเดนิมนครผ้าย



(ข) ผ้ายกเดนิมนครพอลิเอสเตอร์

รูปที่ 1 ลักษณะลวดลายของผ้ายกเดนิมนคร



รูปที่ 1 ลักษณะลวดลายของผ้ายกเดนิมนคร (ต่อ)

จากรูปที่ 1 ผลการศึกษาผ้ายกเดนิมนครพบว่า ผ้ายกเดนิมครพร้อมสเตอร์ (ข) มีการพัฒนารูปแบบการทอผ้ายกเดนิมครมากที่สุด คือ มีลักษณะลวดลายดอกพิกุลขนาดใหญ่และยกดอกกันสูงขึ้น เนื่องจากลวดลายผ้าทอยกดออกที่ใช้เส้นด้ายพุ่งที่มีขนาดใหญ่กว่าเยื่อมทำให้ลวดลายที่เกิดจากเส้นด้ายพุ่ง ที่ล้อยบนผืนผ้ามากกว่า เนื้อผ้ามีความหนามาก และมีความละเอียด ประณีตในการทอ รองลงมาคือ ผ้ายกเดนิมครผ้าย (ก) และผ้ายผลสมเรยอน (ค) มีลักษณะลวดลายดอกพิกุลขนาดปานกลาง และเนื้อผ้ามีความหนา เมื่อเปรียบเทียบผ้าเดนิม (ง) และผ้ายกนครแบบดั้งเดิม (จ) พบร่วมกันว่า ผ้ายกเดนิมคร พอลิเอสเตอร์ (ข) มีการพัฒnarูปแบบการทอผ้ายกเดนิมครที่เด่นชัดมากกว่า มีการผสมผสานการพัฒนารูปแบบการทอด้วยลวดลายดอกพิกุลที่เหมาะสมและชัดเจน

## 2. ผลการทดสอบสมบัติทางกายภาพของผ้ายกเดนิมนคร

2.1 เส้นด้ายของผ้ายกเดนิมนคร การทดสอบขนาดเส้นด้าย การทดสอบความแข็งแรง ต่อแรร์ดีงขาดของเส้นด้าย และการทดสอบความไม่สม่ำเสมอของเส้นด้าย ได้ผลดังแสดงในตารางที่ 1

จากการที่ 1 ขนาดเส้นด้ายพุ่งของผ้ายกเดนิมครพบว่า เส้นด้ายพอลิเอสเตอร์มีขนาดใหญ่ที่สุด โดยมีค่าเฉลี่ย 1104.70 ดีเนียร์ รองลงมาคือ เส้นด้ายผ้ายผลสมเรยอนมีขนาด 1069.30 ดีเนียร์ ซึ่งพบว่า เส้นด้ายทั้ง 3 ชนิด จัดอยู่ในกลุ่มของเส้นด้ายที่มีขนาดที่ใหญ่ Teeraprasert, S. [7] กล่าวไว้ว่า เส้นด้ายที่มีขนาดใหญ่จะมีขนาดตั้งแต่ 280 - 600 ดีเนียร์ เส้นด้ายที่มีขนาดกลางมีขนาดตั้งแต่ 100 - 180 ดีเนียร์ และเส้นด้ายที่มีขนาดเล็กมีขนาดตั้งแต่ 50 - 90 ดีเนียร์ เมื่อเปรียบเทียบกับเส้นด้ายผ้าเดนิมและเส้นด้ายผ้ายกนครพบว่า เส้นด้ายพุ่งทั้ง 3 ชนิด มีขนาดใหญ่กว่า 2 - 3 เท่า โดยขนาดเส้นด้าย มีความแตกต่างกันอย่างมีนัยสำคัญทางสถิติที่ระดับความเชื่อมั่นร้อยละ 95

### ตารางที่ 1 ค่าเฉลี่ยสมบัติทางกายภาพของเล็บด้วยผ้ายกเดนิมคร

ชนิดของเล็บด้วยพู่ง	ขนาด (ดีเนียร์)*	ความแข็งแรงต่อแรงดึงขาด (กรัมต่อดีเนียร์)*	ความไม่สม่ำเสมอ (ร้อยละ) **
ผ้าย	1042.60 <sup>c</sup>	1.46 <sup>ab</sup>	9.14
พอลิเอลเตอร์	1104.70 <sup>a</sup>	1.87 <sup>a</sup>	11.20
ผ้ายผลมเรยอน	1069.30 <sup>b</sup>	1.12 <sup>b</sup>	8.58
เล็บด้วยผ้าเดนิม (Control)	536.40	1.49	10.52
เล็บด้วยผ้ายกนคร (Control)	271.90	4.35	8.02

หมายเหตุ : \* ตัวอักษรที่ต่างกันในแนวตั้ง แสดงว่ามีค่าแตกต่างกันอย่างมีนัยสำคัญทางสถิติ ( $p < 0.05$ )

ในด้านความแข็งแรงต่อแรงดึงขาดของเล็บด้วยพู่งว่า เล็บด้วยพอลิเอลเตอร์มีความแข็งแรงต่อแรงดึงขาดมากที่สุด โดยมีค่าเฉลี่ย 1.87 กรัมต่อดีเนียร์ รองลงมาคือ เล็บด้วยผ้ายมีความแข็งแรงต่อแรงดึงขาด 1.46 กรัมต่อดีเนียร์ ซึ่งพบว่าเล็บด้วยพู่งทั้ง 3 ชนิด จัดอยู่ในกลุ่มของเล็บด้วยที่มีความแข็งแรงต่อแรงดึงขาดสูง เมื่อเปรียบเทียบกับเล็บด้วยผ้าเดนิมพบว่า เล็บด้วยพู่งทั้ง 3 ชนิด จัดอยู่ในกลุ่มของเล็บด้วยที่มีความแข็งแรงต่อแรงดึงขาดสูงเหมือนกัน และเปรียบเทียบกับเล็บด้วยผ้ายกนครพบว่า เล็บด้วยพู่งทั้ง 3 ชนิด จัดอยู่ในกลุ่มของเล็บด้วยที่มีความแข็งแรงต่อแรงดึงขาดสูงกว่า โดยความแข็งแรงต่อแรงดึงขาดของเล็บด้วยเล็บด้วยพอลิเอลเตอร์กับเล็บด้วยผ้ายผลมเรยอนแตกต่างกัน ในขณะที่เล็บด้วยผ้าย เล็บด้วยพอลิเอลเตอร์ และเล็บด้วยผ้ายผลมเรยอนไม่แตกต่างกัน

ในด้านความไม่สม่ำเสมอของเล็บด้วยพู่งว่า เล็บด้วยพอลิเอลเตอร์มีความไม่สม่ำเสมอมากที่สุด โดยมีร้อยละ 11.20 รองลงมาคือ เล็บด้วยผ้ายร้อยละ 9.14 ซึ่งพบว่าเล็บด้วยพู่งทั้ง 3 ชนิด มีปั๊บปุ่มเกิดการเปลี่ยนแปลงของขนาดในเล็บด้วยจนพื้นผิวไม่สม่ำเสมอ Hattayanananont, A. [8] กล่าวไว้ว่า ความไม่สม่ำเสมอและความไม่ลุ่มบูรรณ์แบบของเล็บด้วย อาจกำหนดได้จากขนาดการเปลี่ยนแปลงในเล็บด้วย ซึ่งเกิดขึ้นได้จากการวนการผลิต เมื่อเปรียบเทียบกับเล็บด้วยผ้าเดนิมและผ้ายกนครพบว่า เล็บด้วยพู่ง 3 ชนิด พบร่วมกับความไม่สม่ำเสมอของเล็บด้วยไม่แตกต่างกันอย่างมีนัยสำคัญทางสถิติที่ระดับความเชื่อมั่นร้อยละ 95

2.2 ผืนผ้าของผ้ายกเดนิมคร การทดสอบความแข็งแรงของผ้าห่อต่อแรงดึงขาด และการทดสอบความแข็งแรงของผ้าห่อต่อแรงฉีกขาด ได้ผลดังแสดงในตารางที่ 2

จากการที่ 2 ความแข็งแรงของผ้าห่อต่อแรงดึงขาดในแนวเล็บด้วยยีนพบว่า ผ้ายกเดนิมครผ้ายมีค่าเฉลี่ยมากที่สุด 597.80 นิวตัน รองลงมาคือ ผ้ายกเดนิมครพอลิเอลเตอร์โดยมีค่าเฉลี่ย 581.63 นิวตัน และความแข็งแรงของผ้าห่อต่อแรงดึงขาดในแนวเล็บด้วยพู่งพบว่า ผ้ายกเดนิมครพอลิเอลเตอร์มีค่าเฉลี่ยมากที่สุด 861.49 นิวตัน รองลงมาคือ ผ้ายกเดนิมครผ้ายโดยมีค่าเฉลี่ย 635.59 นิวตัน ซึ่งพบว่าผ้าห้อง 3 ชนิด จัดอยู่ในเล็บด้วยที่มีความแข็งแรงของผ้าห่อต่อแรงดึงขาดในแนวยีนและแนวพู่งสูง เมื่อเปรียบเทียบซึ่งจะเห็นได้ว่า ผ้าห้อง 3 ชนิด ค่าความแข็งแรงของผ้าห่อต่อแรงดึงขาดของเล็บด้วยแนวยีนและแนวพู่งมีค่าน้อยกว่าผ้าเดนิม และผ้าห้อง 3 ชนิด ค่าความแข็งแรงของผ้าห่อต่อแรงดึงขาดของเล็บด้วยแนวยีนและแนวพู่งมีค่าเท่ากับผ้ายกนคร และผ้าห้อง 3 ชนิด มีค่า

ความแข็งแรงของผ้าทอต่อแรงดึงขาดทึบเล้นด้วยแนวเย็บและแนวพุ่งแตกต่างกันอย่างมีนัยสำคัญทางสถิติที่ระดับความเชื่อมั่นร้อยละ 95

### ตารางที่ 2 ค่าเฉลี่ยความแข็งแรงของผ้ายกเดนิมนคร

ชนิดของผ้า	ความแข็งแรงของผ้าทอ		ความแข็งแรงของผ้าทอ	
	ต่อแรงดึงขาด		ต่อแรงฉีกขาด	
	เล้นด้วยแนวเย็บ	เล้นด้วยแนวพุ่ง	เล้นด้วยแนวเย็บ	เล้นด้วยแนวพุ่ง
	(นิวตัน) *	(นิวตัน) *	(นิวตัน) **	(นิวตัน) **
ผ้ายกเดนิมคราฟต์	597.80 <sup>a</sup>	635.59 <sup>b</sup>	>125	>125
ผ้ายกเดนิมคราฟต์อลิอีสเตอร์	581.63 <sup>b</sup>	861.49 <sup>a</sup>	>125	>125
ผ้ายกเดนิมคราฟต์อลิอีสเตอร์	576.64 <sup>b</sup>	547.33 <sup>c</sup>	>125	>125
ผ้าเดนิม (Control)	760.35	792.42	45.31	60.80
ผ้ายกนคร (Control)	551.30	814.22	29.81	61.59

หมายเหตุ : \* ตัวอักษรที่ต่างกันในแนวตั้ง แสดงว่ามีค่าแตกต่างกันอย่างมีนัยสำคัญทางสถิติ ( $p < 0.05$ )

ในด้านความแข็งแรงของผ้าทอต่อแรงฉีกขาดพบว่า ผ้ายกเดนิมคราฟต์อลิอีสเตอร์ และผ้ายกน้ำหนัก 3 ชนิด มีค่าความแข็งแรงของผ้าทอต่อแรงฉีกขาดในแนวด้ายเย็บและแนวด้ายพุ่งมากที่สุด โดยมีค่าเฉลี่ยมากกว่า 125 นิวตัน ซึ่งพบว่าผ้าทั้ง 3 ชนิด มีความแข็งแรงของผ้าทอต่อแรงฉีกขาดในแนวด้ายเย็บและแนวด้ายพุ่งสูง เมื่อเปรียบเทียบผ้ากับเดนิมและผ้ายกน้ำหนักพบว่า ผ้าทั้ง 3 ชนิด มีค่าความแข็งแรงของผ้าทอต่อแรงฉีกขาดในแนวด้ายเย็บและแนวด้ายพุ่งมากกว่า และมีค่าความแข็งแรงของผ้าทอต่อแรงดึงขาดในแนวด้ายเย็บและแนวด้ายพุ่งไม่แตกต่างกันอย่างมีนัยสำคัญทางสถิติที่ระดับความเชื่อมั่นร้อยละ 95

นอกจากนี้สุมบัติในด้านน้ำหนักผ้า จำนวนเล้นด้วยต่อหน่วยความยาว และความหนาผ้าได้ผลดังแสดงในตารางที่ 3

### ตารางที่ 3 ค่าเฉลี่ยสุมบัติทางกายภาพของผ้ายกเดนิมนคร

ชนิดของผ้า	น้ำหนัก (กรัมต่อ ตารางเมตร)*	ความหนา (มิลลิเมตร)**	จำนวนเล้นด้วยต่อหน่วยความยาว	
			เล้นด้วยแนวเย็บ (เล้นต่อตารางนิ้ว)**	เล้นด้วยแนวพุ่ง (เล้นต่อตารางนิ้ว)**
ผ้ายกเดนิมคราฟต์	413.16 <sup>ab</sup>	1.55	41	44
ผ้ายกเดนิมคราฟต์อลิอีสเตอร์	424.51 <sup>a</sup>	1.60	42	41
ผ้ายกเดนิมคราฟต์อลิอีสเตอร์	412.39 <sup>b</sup>	1.46	41	39
ผ้าเดนิม (Control)	346.78	0.65	93	57
ผ้ายกน้ำหนัก (Control)	206.35	0.76	63	95

หมายเหตุ : \* ตัวอักษรที่ต่างกันในแนวตั้ง แสดงว่ามีค่าแตกต่างกันอย่างมีนัยสำคัญทางสถิติ ( $p < 0.05$ )

จากตารางที่ 3 น้ำหนักผ้าพบว่า ผ้ายกเดนิมนครพอลิเอลเตอร์มีน้ำหนักมากที่สุด คือ มีค่าเฉลี่ย 424.51 กรัมต่อตารางเมตร รองลงมาคือ ผ้ายกเดนิมนครผ้ายมีค่าเฉลี่ย 413.16 กรัมต่อตารางเมตร ซึ่งพบว่าผ้าทั้ง 3 ชนิด จดอยู่ในกลุ่มของผ้าที่มีน้ำหนักมาก Teeraprasert, S. [7] กล่าวไว้ว่า ผ้าที่น้ำหนักมาก คือ ผ้าที่มีน้ำหนักมากกว่า 475 กรัมต่อตารางเมตร ผ้าที่มีน้ำหนัก คือ ผ้าที่มีน้ำหนักตั้งแต่ 300 - 375 กรัม ต่อตารางเมตร ผ้าที่มีน้ำหนักปานกลาง คือ ผ้าที่มีน้ำหนักตั้งแต่ 170 - 240 กรัมต่อตารางเมตร ผ้าที่มีน้ำหนักเบา คือ ผ้าที่มีน้ำหนักตั้งแต่ 70 - 100 กรัมต่อตารางเมตร เมื่อเปรียบเทียบกับผ้าเดนิม พบร่วมกัน 3 ชนิด มีน้ำหนักมากกว่า ในขณะที่เมื่อเปรียบเทียบกับผ้ายกนครพอลิเอลเตอร์ กับผ้ายกเดนิมครผ้ายผสมเรยอนแตกต่างกัน ในขณะที่น้ำหนักของผ้ายกเดนิมนครพอลิเอลเตอร์ และผ้ายกเดนิมนครผ้ายผสมเรยอนไม่แตกต่างกัน

ในด้านความหนานผ้าพบว่า ผ้ายกเดนิมนครพอลิเอลเตอร์มีความหนานมากที่สุด คือ มีค่าเฉลี่ย 1.60 มิลลิเมตร รองลงมาคือ ผ้ายกเดนิมนครผ้ายมีความหนาน 1.55 มิลลิเมตร ซึ่งพบว่าผ้าทั้ง 3 ชนิด จดอยู่ในกลุ่มผ้ามีความหนานมาก Teeraprasert, S. [7] กล่าวไว้ว่า ผ้าที่มีความหนานมาก มีความหนานตั้งแต่ 0.47 มิลลิเมตร ผ้าที่มีความหนานปานกลาง มีความหนานตั้งแต่ 0.23 - 0.46 มิลลิเมตร ผ้าที่มีความหนานน้อย มีความหนานตั้งแต่ 0.20 มิลลิเมตร เมื่อเปรียบเทียบกับผ้าเดนิมและผ้ายกนครพอลิเอลเตอร์ ผ้าทั้ง 3 ชนิด มีความหนานมากกว่า 2 เท่า และมีความหนานไม่แตกต่างกันอย่างมีนัยสำคัญทางสถิติที่ระดับความเชื่อมั่นร้อยละ 95

ในด้านจำนวนเล็บด้ายต่อหน่วยความยาวในแนวเส้นด้ายยืนพบร่วม ผ้ายกเดนิมนครพอลิเอลเตอร์ มีค่าเฉลี่ยมากที่สุด 42 เล็บต่อตารางนิ้ว รองลงมาคือ ผ้ายกเดนิมนครผ้ายและผ้ายกเดนิมนครผ้ายผสมเรยอน โดยมีค่าเฉลี่ย 41 เล็บต่อตารางนิ้ว และจำนวนเล็บด้ายต่อหน่วยความยาวในแนวเส้นด้ายพุ่ง พบร่วม ผ้ายกเดนิมนครผ้าย มีค่าเฉลี่ยมากที่สุด 44 เล็บต่อตารางนิ้ว รองลงมาคือ ผ้ายกเดนิมนครพอลิเอลเตอร์ โดยมีค่าเฉลี่ย 41 เล็บต่อตารางนิ้ว ซึ่งพบว่าผ้าทั้ง 3 ชนิด มีจำนวนเล็บด้ายต่อหน่วยความยาวในเส้นด้ายทั้งแนวยืนและแนวพุ่งมีจำนวนเล็บด้ายต่อตารางนิ้วน้อย เมื่อเปรียบเทียบกับผ้าเดนิมและผ้ายกนครพอลิเอลเตอร์ ผ้าทั้ง 3 ชนิด มีจำนวนเล็บด้ายต่อหน่วยความยาวในเส้นด้ายทั้งแนวยืนและแนวพุ่งมากกว่า และผ้าทั้ง 3 ชนิด พบร่วมมีจำนวนเล็บด้ายต่อหน่วยความยาวในเส้นด้ายทั้งแนวยืนและแนวพุ่งไม่แตกต่างกันอย่างมีนัยสำคัญทางสถิติที่ระดับความเชื่อมั่นร้อยละ 95

2.3 ความคงทนของลีต่อการซักล้างของผ้ายกเดนิมนคร การทดสอบความคงทนของลีต่อการซักล้าง ได้ผลดังแสดงในตารางที่ 4

#### ตารางที่ 4 ค่าเฉลี่ยความคงทนของลีต่อการซักล้างของผ้ายกเดนิมนคร

ชนิดของผืนผ้า	สีเปลี่ยน จากเดิม (ระดับ) <sup>ns</sup>	สีตกติดผ้าขาว (ระดับ)					
		Acetate <sup>ns</sup>	Cotton <sup>ns</sup>	Nylon <sup>ns</sup>	Polyester <sup>ns</sup>	Acrylic <sup>ns</sup>	Wool <sup>ns</sup>
ผ้ายกเดนิมนครผ้าย	4.5	4.5	4.5	4.5	4.5	4.5	4.5
ผ้ายกเดนิมนครพอลิเอลเตอร์	4.5	4.5	4.5	4.5	4.5	4.5	4.5
ผ้ายกเดนิมนครผ้ายผสมเรยอน	4.5	4.5	4.5	4.5	4.5	4.5	4.5

หมายเหตุ : \* ตัวอักษรที่ต่างกันในแนวตั้ง แสดงว่ามีค่าแตกต่างกันอย่างมีนัยสำคัญทางสถิติ ( $p < 0.05$ )

จากการที่ 4 ความคงทนของสีต่อการซักล้างพบว่า ผ้ายกเดนิมนครผ้าย พอลิเอสเตอร์ และผ้ายพสมเรยอน มีการเปลี่ยนแปลงของสีอยู่ในระดับ 4.5 คือ มีสีซีดจากลงเล็กน้อย ชี้ Teeraprasert, S. [7] กล่าวไว้ว่า ในการเปลี่ยนแปลงระดับของสี ระดับ 5 หมายถึง สีไม่เปลี่ยน ระดับ 4 หมายถึง สีเปลี่ยนเล็กน้อย ระดับ 3 หมายถึง สีเปลี่ยนปานกลาง ระดับ 2 หมายถึง สีเปลี่ยนมาก ระดับ 1 หมายถึง สีเปลี่ยนมากที่สุด

ในด้านการทดสอบสีบนผ้าขาวพบว่า อะซิเตท (Acetate) ผ้าย (Cotton) ในลอน (NYLON) พอลิเอสเตอร์ (Polyester) อะคริลิค (Acrylic) และขนสัตว์ (Wool) ในผ้ายกเดนิมนครผ้าย พอลิเอสเตอร์ ผ้ายพสมเรยอน มีสีติดติดของสีบนผ้าขาวอยู่ในระดับ 4.5 คือ มีสีติดติดน้อย Teeraprasert, S. [7] กล่าวไว้ว่า การทดสอบของสีบนผ้าขาว ระดับ 5 หมายถึง สีไม่ตก ระดับ 4 หมายถึง สีติดติดน้อย ระดับ 3 หมายถึง สีติดปานกลาง ระดับ 2 หมายถึง สีติดติดมาก ระดับ 1 หมายถึง สีติดติดมากที่สุด และพบว่าผ้าทั้ง 3 ชนิด มีการเปลี่ยนแปลงของสีและสีติดติดบนผ้าขาวไม่แตกต่างกันอย่างมีนัยสำคัญทางสถิติที่ระดับความเชื่อมั่นร้อยละ 95

## การอภิปรายผล

### การพัฒนารูปแบบการทดสอบผ้ายกนกร

การพัฒนารูปแบบการทดสอบผ้ายกนกรด้วยเส้นด้ายพุ่ง 3 ชนิด จะได้ผ้ายกเดนิมนครที่ทอจากเส้นด้าย 3 ชนิด คือ ผ้ายกเดนิมนครผ้าย พอลิเอสเตอร์ และผ้ายพสมเรยอน ทดสอบโดยวัดลายดอกพิกุล ที่มีความประณีต เอกลักษณ์เฉพาะของห้องคลินิค สีบทด้วยภูมิปัญญาตั้งแต่โบราณ ทำให้เกิดโครงสร้างใหม่ ที่มีลวดลายยกนูนลุ่งขึ้นบนผ้า เนื่องจากเมื่อนำผ้ายกนกรมาพัฒนารูปแบบการทดสอบด้วยเส้นด้ายที่ผลิตผ้ายกเดนิมซึ่งมีขนาดใหญ่ จะเห็นได้ว่าทั้ง 3 ชนิด ที่มีความแตกต่างกันนั้น ผ้าที่ทอด้วยเส้นด้ายพอลิเอสเตอร์ ให้สมบัติด้านความแข็งแรงและกายภาพที่สูงกว่าผ้าจากเส้นด้ายผ้ายและผ้ายพสมเรยอน ชี้สอดคล้องกับ Jankedlaed, M. [9] เส้นไนโอลิเอสเตอร์มีความเหนียวเท่ากับ 4.5 - 5.0 กรัมต่อเดนิเยอร์ เส้นไนผ้าย มีความเหนียวเท่ากับ 3.0 - 5.0 กรัมต่อเดนิเยอร์ และเส้นไนเรยอนมีความเหนียวเท่ากับ 2 กรัมต่อเดนิเยอร์ ส่งผลให้สมบัติของผ้ายกเดนิมพอลิเอสเตอร์มีค่าสมบัติความแข็งแรงต่อแรงดึงขาดสูงกว่าผ้าชนิดอื่น แม้ว่าเส้นด้ายที่ใช้มีขนาดใกล้เคียงกัน จึงเกิดการผสมผสานผ้าทอรูปแบบใหม่เกิดขึ้น โดยทั่วไปผ้ายกเดนิม มีโครงสร้างที่แตกต่างกันแล้วแต่ลายผ้าและความหนาแน่นของเนื้อผ้าที่ต้องการ เช่น ลายสอง ลายตุ่น ลายลูกฟูก และลายก้ามปลา [3] ลักษณะลวดลายของผ้าจะเรียนเหมือนกันทั้งผืน และผลการศึกษา ผ้ายกนกร ผ้ายกนกรมีลักษณะเป็นผ้าที่มีลายนูนเด่นกว่าส่วนที่เป็นพื้นผ้า การทอยกดอกจะแทรกอยู่ในเนื้อผ้าลายขัดเกิดเป็นผ้ายกดอกที่มีลายขัดอยู่ในตัว [2] จึงส่งผลให้ผ้ามีน้ำหนักที่หนักมาก มีความหนา เป็น 2 เท่า กว่าผ้ายกเดนิมและผ้ายกนกรแบบดังเดิม เนื่องจากใช้เส้นด้ายที่มีขนาดใหญ่ในการทอ เพื่อให้ เทคนลวดลายดอกพิกุลที่ขัดเจนขึ้น ดังนั้น เทมาะสมสำหรับการนำมาพัฒนารูปแบบผ้ายกเดนิมที่มีความทันสมัย ให้แก่ผู้บริโภค สามารถนำมารักษาในรูปแบบการผลิตเป็นการเงยยืนลู่ระบบอุตสาหกรรมไทย และในด้านของกลุ่มทองผ้า สามารถนำมาพัฒนาในการสร้างอาชีพ เพื่อเพิ่มรายได้ ต่อยอดในส่วนของการพัฒนาลวดลายของผ้าได้เพื่อให้ผ้ายกเดนิมครั้นนี้มีลวดลายที่หลากหลายและสามารถเพิ่มทางเลือกให้แก่ผู้บริโภคต่อไป อนุรักษ์ภูมิปัญญาการทอผ้าพื้นเมือง และสืบทอดภูมิปัญญาท้องถิ่นให้คงอยู่สืบต่อไป

### การทดสอบสมบัติทางกายภาพของผ้ายกเดนิมนคร

เล่นด้วยของผ้ายกเดนิมนคร เล่นด้วยทั้ง 3 ชนิด เป็นเล่นด้วยที่มีขนาดใหญ่ถึง 2 เท่า ของเล่นด้วยผ้าเดนิมและเล่นด้วยผ้ายกนคร ความแข็งแรงต่อแรงดึงขาดของเล่นด้วยสูง Vonkglam, S. [10] กล่าวไว้ว่า ความแข็งแรงของเล่นด้วย ความทนทานต่อแรงดึงของเล่นด้วยเดียว (Single Yam Strength) หรือ ความทนทานต่อแรงดึงของเส้นด้ายเป็นกลุ่ม (Lea Strength) การใช้งานเส้นด้วยที่มีความแข็งแรงต่ำ จะถูกนำไปใช้งานที่ทนทานต่อแรงดึงน้อย การใช้งานเส้นด้วยที่มีความแข็งแรงสูง จะถูกนำไปใช้งานที่ทนทานต่อแรงดึงสูง และการใช้งานเส้นด้วยที่มีความแข็งแรงสูงมาก จะถูกนำไปใช้งานที่ทนทานต่อแรงดึงสูงมาก จึงเหมาะสมสำหรับการนำมายกพลิตเป็นผ้าเดนิม เพราะมีเนื้อทนาเกิดจากการหดด้วยเล่นด้วยที่มีขนาดใหญ่ จะทำให้มีความแข็งแรง และทนทาน

ผ้าของผ้ายกเดนิมนคร ผ้าทั้ง 3 ชนิด มีค่าความแข็งแรงของผ้าหดต่อแรงดึงขาด ความแข็งแรงของผ้าหดต่อฉีกขาดสูง จึงทำให้ผ้าหดมีความแข็งแรงสูง Sonthisombat, A. [11] กล่าวไว้ว่า การทดสอบความแข็งแรงของผ้าหดต่อแรงดึงขาด คือ ผ้าขันตัวอย่างที่มีค่าความคงทนต่อแรงดึงสูง จะมีความแข็งแรงมากกว่าผ้าขันตัวอย่างที่มีค่าความคงทนต่อแรงดึงต่ำ และการทดสอบความแข็งแรงของผ้าหดตัวนแรงฉีกขาด คือ ผ้าขันตัวอย่างที่มีค่าความคงทนต่อการฉีกขาดสูง จะมีความแข็งแรงมากกว่าผ้าขันตัวอย่างที่มีค่าความคงทนต่อการฉีกขาดต่ำ ผ้ามีน้ำหนักที่น้ำหนักมาก มีความหนาเป็น 2 เท่า ของผ้าเดนิมและผ้ายกนคร เกิดจากมีลวดลายที่ยกฐานสูงขึ้น ส่งผลมาจากการเส้นด้วยที่มีขนาดใหญ่ และมีจำนวนเส้นด้วยต่อหน่วยความยาวในเส้นด้วยทั้งแนวยืนและแนวพุ่งมีจำนวนเส้นด้วยต่อตารางนิวตันอยู่ สูงผลให้ผิวลัมพ์ผัสค่อนข้างหยาบ Chonsakorn, S. [12] กล่าวไว้ว่า จำนวนเส้นด้วยบนผืนผ้าส่วนใหญ่ เมื่อเปรียบเทียบจำนวนเส้นด้วยยืนจะมากกว่าเส้นด้วยพุ่งอีกทั้งเส้นด้วยยืนมีขนาดเล็กกว่าเส้นด้วยพุ่ง ซึ่งทั้งจำนวนของเส้นด้วยยืนและเส้นด้วยพุ่งต่อตารางนิวตันมีน้อย เส้นด้วยจึงมีขนาดค่อนข้างใหญ่ สูงผลทำให้ผิวสัมผัสค่อนข้างหยาบ เนื่องจากเกิดการขัดกันของเส้นด้วยพุ่งและเส้นด้วยยืน

ความคงทนของลีด่อการซักล้างของผ้ายกเดนิมนคร ผ้าทั้ง 3 ชนิด ลีเบลี่นจากเดิมอยู่ที่ระดับ 4.5 คือ ลีเบลี่นน้อย และลีดกติดผ้าขาว อะซิเตท (Acetate) ผ้าย (Cotton) ในลอน (Nylon) พอลิเอสเทอร์ (Polyester) อะคริลิก (Acrylic) และขนสัตว์ (Wool) อยู่ในระดับ 4.5 คือ ลีดกติดน้อย การซักล้างเป็นการเพิ่มเอกลักษณ์ของผ้าเดนิมอีกด้านหนึ่งด้วย เพื่อช่วยให้ลีดซีดจากลงและเห็นรอยตะเข็บได้ชัดเจนขึ้นหรือทำการตอกแต่งให้ผ้านุ่มขึ้น เมื่อเปรียบเทียบกับผ้าเดนิมพบว่า มีการเปลี่ยนของลีดและลีดกติดบนผ้าขาวอยู่ในระดับที่ดีกว่า และผ้าที่พัฒนาขึ้นมีการซีดจากและลีดกันน้อยกว่าผ้าเดนิม แสดงว่า เส้นด้วยผ่านการย้อมลีดมีความคงทนต่อการซักดี แต่อย่างไรก็ตาม การซีดจากเนื่องจากการซักล้าง เป็นการเพิ่มเอกลักษณ์ให้กับผ้าเดนิม ทำให้เห็นรอยตะเข็บได้ชัดเจน ผ้ามีความนุ่มนวลขึ้น ดังนั้นจะเห็นได้ว่า ผ้าที่หยอดกับเส้นด้วยย้อมลีดทั้ง 3 ชนิดนี้ จึงอาจไม่หยอดกับเส้นด้วยแบบผ้าเย็บล็อทชัดเจน แต่มีข้อดีคือ ได้ผ้าที่มีสมบัติความคงทนต่อการซักล้างดี ไม่เกิดปัญหาลีดกติดเป็นผ้าที่ซึกร่วมกันได้ง่าย

ดังนั้น การพัฒนารูปแบบการหดผ้ายกนคร จึงเหมาะสมสำหรับการนำมาพัฒนารูปแบบผ้าเดนิม ที่มีความทันสมัยให้แก่ผู้บริโภค และการทดสอบสมบัติทางกายภาพของผ้ายกเดนิมคร ทั้ง 3 ชนิด มีคุณสมบัติเด่น มีความแข็งแรงของผ้าหดต่อแรงดึงขาดและแรงฉีกขาดสูง มีน้ำหนักมาก มีความคงทนของลีดต่อการซักล้าง การเปลี่ยนของลีดกันน้อย และลีดกติดบนผ้าขาวน้อย แสดงว่าเส้นด้วยผ่านการย้อมลีด มีความคงทนต่อการซักดี จึงมีคุณค่าทางด้าน การศึกษาอนุรักษ์ สืบทอดศิลปหัตถกรรมไทย สามารถ

เพิ่มโอกาสหรือต่อยอดให้กับกลุ่มทอผ้า เพื่อส่งเสริมผลิตภัณฑ์ผ้ายกเดนิมนครเข้าสู่ระบบโรงงานอุตสาหกรรมลี๊งทอและเครื่องนุ่งห่ม หรือทำเป็นผลิตภัณฑ์เคหะลี๊งทอได้ต่อไป

## บทสรุป

จากการพัฒนารูปแบบการทอผ้ายกครั้ดวยเส้นด้ายพุ่ง 3 ชนิด มาทอด้วยลวดลายผ้ายกเดนิม เป็นผ้าชนิดใหม่ที่มีเอกลักษณ์ของการทอผ้ายกคร แล้วมีความละเอียดประณีตในการทอ ส่งผลให้ผลิตได้รวดเร็วขึ้น และเป็นการลี๊งทอคิลปะการทอผ้ายกคร แล้วอีกทั้งยังช่วยพัฒนารูปแบบผ้าเดนิม และลวดลายเพิ่มมากขึ้น เพื่อเพิ่มทางเลือกให้แก่ผู้บริโภค ซึ่งผลการทดลองสมบัติทางกายภาพของผ้ายกเดนิมครั้งที่ 3 ชนิด มีความแข็งแรงของผ้าทอต่อแรงดึงขนาด และแรงฉีกขาดสูง มีน้ำหนักมาก มีความหนาเป็น 2 เท่า ของผ้าเดนิมและผ้ายกครแบบดั้งเดิม ความคงทนของสีต่อการซักล้าง การเปลี่ยนของลี๊กน้อยและลี๊กดีดบนผ้าขาวน้อย จึงเหมาะสมสำหรับตัดกระโปรง สุทธิ เลือคลุม เสื้อแจ็คเก็ต กางเกงยีนส์ และผลิตภัณฑ์เคหะลี๊งทอ

### ข้อเสนอแนะ

ข้อเสนอแนะจากผลการวิจัย จากการศึกษาสมบัติทางกายภาพของผ้ายกเดนิมครพบว่า ผ้ายกเดนิมครสามารถนำไปพัฒนาเป็นการเก็บยีนส์ในรูปแบบที่ทันสมัยขึ้น ควรนำผ้ายกเดนิมครไปพัฒนาในการสร้างอาชีพ เพื่อเพิ่มรายได้ให้แก่กลุ่มทอผ้า เพื่อนำรุกษ์ภูมิปัญญาการทอผ้าพื้นเมือง และสืบทอดภูมิปัญญาท้องถิ่นให้คงอยู่ลี๊บต่อไป

ข้อเสนอแนะในการทำวิจัยครั้งต่อไป การทอผ้ายกเดนิมคร ควรได้การสนับสนุนจากหน่วยงานราชการ หรือหน่วยงานท้องถิ่น ให้มีส่วนร่วมอนุรักษ์การพัฒนาเป็นผ้าที่มีความร่วมสมัย และควรมีการพัฒนากระบวนการทำการทอสู่ระบบอุตสาหกรรมลี๊งทอและเครื่องนุ่งห่ม เพื่อสนับสนุนให้ผ้ายกเดนิมคร มีกำลังการผลิตที่สูงขึ้น

## กิตติกรรมประกาศ

การวิจัยครั้งนี้สำเร็จลุล่วงด้วยดี ขอขอบพระคุณความอนุเคราะห์และความช่วยเหลืออย่างดียิ่งจาก บริษัท กองเกียรติ เท็กซ์ไทร์ จำกัด ให้ความอนุเคราะห์เลี้นด้วย กลุ่มทอผ้าบ้านทำเนียง จังหวัดครัวเรือนราช ให้ความอนุเคราะห์ในการทอผ้ายกเดนิมคร และสถาบันพัฒนาอุตสาหกรรมลี๊งทอ ให้ความอนุเคราะห์ ในการทดสอบสมบัติทางกายภาพ

## References

- [1] Wongpatham, W. (2001). **Opinions of Lecturers in Rajabhat Institute Nakhon Si Thammarat Toward the Pha - Yok Muang Nakhon.** Master of Home Economics Major Field Home Economics Department of Home Economics Kasetsart University

- [2] The Faculty of Textile Industry. Rajamangala University of Technology Krungthep. (2012). **Textile of Thailand : An intellectual Heritage.** Bangkok: A.P. Graphic Design & Printing Co., Ltd.
- [3] Choopong, A. (2005). **Factors Affecting Jeans Buying Behavior of Consumers in Bangkok Metropolitan Area.** Master Degree in Marketing Faculty of Business Administration Srinakharinwirot University
- [4] Promjinda, V. (2001). **A Study of Consumer Behavior on Jeans in Bangkok Metropolis.** Master of Organizational Management and Administration Faculty of Business Administration Dhurakij Pundit University
- [5] Khongyai, T. (2011). **A Study on Properties of Plain Cotton Woven Fabric After Wash by Front load and Top Washing Machine.** Master of Engineering Textile Engineering Rajamangala University of Technology Thanyaburi
- [6] Intertek. (2014). **Testing.** Access (18 December 2017). Available (<http://www.intertek.co.th/testing/>)
- [7] Teeraprasert, S. (2014). **Material Testing.** Access (5 December 2017). Available ([http://www.textiles.rmutk.ac.th/images/textile\\_raw\\_material\\_control/textile\\_raw\\_material\\_control.pdf](http://www.textiles.rmutk.ac.th/images/textile_raw_material_control/textile_raw_material_control.pdf))
- [8] Hattayananont, A., Soyraya, B., and Theeramongkol, P. (2013). **Development of Textile in SLUB Yarn Fabric from Textile Material Waste.** Research from Faculty of Home Economics Rajamangala University of Technology Phra Nakhon
- [9] Jankedlaed, M. (1998). **Basic Science of Textile.** Bangkok: The Thai Home Economics Association Under the Royal Patronage of Her Majesty the Queen.
- [10] Vonkglam, S. (2010). **A Study of Properties of Knitted Fabric Made from Silk and Polyester Twisted Yarn.** Master of Engineering Textile Engineering Rajamangala University of Technology Thanyaburi
- [11] Sonthisombat, A. (2012). **Textile Chemical Processing.** Pathum Thani: Faculty of Engineering Rajamangala Institute of Technology.
- [12] Chonsakorn, S. (2012). **Textile Structure and Accessory Analysis.** Access (5 December 2017). Available (<https://www.het.rmutt.ac.th/?p=5909>)



# วารสาร มทร.อีสาน

ฉบับวิทยาศาสตร์และเทคโนโลยี

ISSN 1906-215X

การเปรียบเทียบประสิทธิภาพระหว่างเทคนิคการพยากรณ์สำหรับตัวแบบของตัวแปรเดียวกับข้อมูลที่มีฤดูกาล

## Comparison of the Efficiency of Forecasting Techniques for Univariate Models with Seasonal Data

กฤตาพร พัชรสุภา<sup>1\*</sup>

Received: May, 2018; Accepted: June, 2018

### บทคัดย่อ

งานวิจัยนี้นำเสนอการเปรียบเทียบประสิทธิภาพระหว่างเทคนิคการพยากรณ์สำหรับตัวแบบของตัวแปรเดียว (Univariate Model) กับข้อมูลที่มีฤดูกาล (Seasonal Data) ซึ่งได้แก่ เทคนิค naïve อีฟลำทัวบข้อมูลอนุกรมเวลาที่มีฤดูกาล (Seasonal Naïve Forecasting: SNF) เทคนิคค่าเฉลี่ยเคลื่อนที่แบบถ่วงน้ำหนัก (Weighted Moving Average: WMA) และเทคนิคปรับเรียนเกอกซ์โพเนนเชียลของวินเทอร์ (Winters' Exponential Smoothing: WES) มาสร้างเป็นตัวแบบในการพยากรณ์ราคาขายของข้าวโพดเลี้ยงสัตว์ในจังหวัดตาก โดยใช้ข้อมูลราคาขายของข้าวโพดเลี้ยงสัตว์ตั้งแต่เดือนมกราคม พ.ศ. 2554 ถึง ธันวาคม พ.ศ. 2559 จากสำนักงานเกษตรจังหวัดตาก และวัดประสิทธิภาพความถูกต้องของผลการพยากรณ์ด้วยค่าน้อยที่สุด จากร้อยละของค่าสัมบูรณ์ของค่าคลาดเคลื่อนโดยเฉลี่ย (Mean Absolute Percentage Error: MAPE) ค่าลัมบูรณ์ของค่าคลาดเคลื่อนโดยเฉลี่ย (Mean Absolute Deviation: MAD) และค่าคลาดเคลื่อนกำลังสองโดยเฉลี่ย (Mean Squared Deviation: MSD) ผลการวิจัยพบว่าจากเทคนิคการพยากรณ์ทั้งหมด ที่ได้ศึกษา เทคนิค naïve อีฟลำทัวบข้อมูลอนุกรมเวลาที่มีฤดูกาล (SNF) ให้ความถูกต้องของผลพยากรณ์สูงที่สุด ลำดับถัดมา คือ เทคนิคค่าเฉลี่ยเคลื่อนที่แบบถ่วงน้ำหนัก (WMA) และเทคนิคปรับเรียนเกอกซ์โพเนนเชียลของวินเทอร์ (WES) ให้ความถูกต้องของผลพยากรณ์น้อยที่สุด

คำสำคัญ : การพยากรณ์; ตัวแบบของตัวแปรเดียว; ข้อมูลที่มีฤดูกาล; ค่าฝังก์ชันลสลัมพันธ์แบบออโต

<sup>1</sup> Faculty of Business Administration and Liberal Arts, Rajamangala University of Technology Lanna, Tak

\* Corresponding Author E - mail Address: phucharasupa@hotmail.com

## Abstract

The objective of this research was to compare the efficiency of three forecasting techniques for univariate models with seasonal data. The three techniques: Seasonal Naïve Forecasting (SNF), Weighted Moving Average (WMA), and Winters' Exponential Smoothing (WES) were used to construct forecasting models for the price of field corn in Tak province. The data gathered from Tak Provincial Agricultural Extension Office during January 2011 to December 2016. The forecast accuracies were compared by minimizing the Mean Absolute Percentage Error (MAPE), the Mean Absolute Deviation (MAD), and the Mean Squared Deviation (MSD). Research finding indicated that among forecasting techniques had been studied, the most efficient technique was the Seasonal Naïve Forecasting (SNF), the Weighted Moving Average (WMA), and Winters' Exponential Smoothing (WES), respectively.

**Keywords:** Forecasting; Univariate Model; Seasonal Data; Autocorrelation Function

## บทนำ

ปัจจุบันประเทศไทยอยู่ในยุคเศรษฐกิจดิจิทัล (Digital Economy) ที่มีเป้าหมายที่สำคัญ คือ เปลี่ยนรูปภาคเกษตรกรรม อุดสาหกรรม และบริการตั้งเดิมของไทย โดยใช้เทคโนโลยีสารสนเทศ และเทคโนโลยี การสื่อสารและโทรคมนาคม มาช่วยพัฒนาธุรกิจหรืออุตสาหกรรมประเภทต่าง ๆ อย่างกว้างขวาง เพื่อเพิ่มศักยภาพการแข่งขันในระดับสากล [1] แต่ภาคเกษตรกรรมซึ่งเป็นรากฐานของประเทศไทยและเป็นอาชีพหลักของคนไทยตั้งแต่ต้นเดิมมาจนถึงปัจจุบัน มักประสบปัญหาราคาขายของผลผลิตตกต่ำอยู่เสมอ ดังนั้น การนำวิธีการพยากรณ์ซึ่งเป็นวิธีการทำนายหรือการประมาณค่าในช่วงเวลาหนึ่งล่วงหน้า จากข้อมูลที่เกี่ยวข้องที่มีอยู่หรือข้อมูลในอดีต [2] จึงเป็นประโยชน์อย่างยิ่งต่อการวางแผนและตัดสินใจในการดำเนินงานทางด้านเกษตรกรรม โดยเฉพาะในเรื่องการวางแผนการเพาะปลูกของเกษตรกร

ข้าวโพดเลี้ยงสัตว์เป็นพืชเศรษฐกิจที่สำคัญอีกด้วยหนึ่งของประเทศไทย และมีส่วนช่วยส่งเสริม การผลิตปศุสัตว์ในประเทศไทยเป็นอย่างมาก ซึ่งประเทศไทยสามารถผลิตได้ 4,058,000 ตัน ในปี พ.ศ. 2559 ทำให้ติดหนึ่งในลิบของประเทศไทยที่มีการส่งออกข้าวโพดเลี้ยงสัตว์มากที่สุดในระดับโลก จากผลผลิตทั้งหมด 1,039,064,000 ตัน [3] และจังหวัดตากก็เป็นแหล่งผลิตที่ใหญ่ติดลำดับหนึ่งในท้าของประเทศไทย ที่สามารถผลิตข้าวโพดเลี้ยงสัตว์ได้ถึง 349,920 ตัน ในปี พ.ศ. 2559 [3] ข้าวโพดเลี้ยงสัตว์เป็นพืชเศรษฐกิจอันดับต้น ๆ ที่สร้างรายได้ให้กับกลุ่มเกษตรกรผู้ปลูกพืชไว้ในจังหวัดตาก จึงถือเป็นพืชเศรษฐกิจที่สำคัญมาก ตัวหนึ่งของจังหวัดตาก [4] ด้วยเช่นกัน และจังหวัดตากก็ประสบปัญหาราคาขายต่ำกว่ามาตรฐานของเมล็ดข้าวโพดเลี้ยงสัตว์ต่ำกว่า 10% ต่อปี ตามที่รายงานโดยกรมวิชาการเกษตร [5] - [7] หากมีตัวแบบการพยากรณ์ราคาขายของข้าวโพดเลี้ยงสัตว์ในจังหวัดตากที่ดี สามารถทำนายหรือประมาณการราคาขายต่ำกว่า 10% ต่อปี ตามที่รายงานโดยกรมวิชาการเกษตร [5] - [7] หากมีตัวแบบการพยากรณ์ราคาขายของข้าวโพดเลี้ยงสัตว์ได้แม่นยำมากขึ้น ซึ่งเป็นสารสนเทศที่มีประโยชน์ต่อการวางแผนและตัดสินใจในการดำเนินการเพาะปลูกและการวางแผนการขาย เพื่อให้ผลิตผลที่มีคุณภาพและได้ราคาขาย

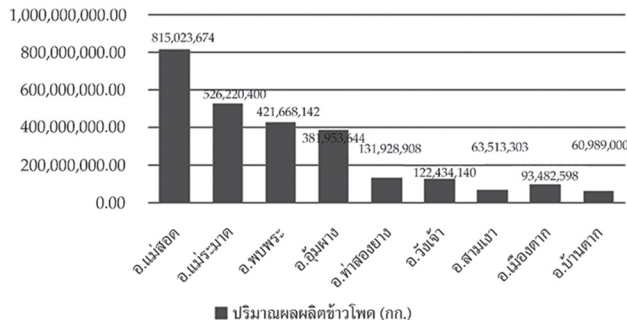
ที่ดีขึ้นเป็นที่น่าพอใจ แก่เกษตรกรผู้ปลูกข้าวโพดเลี้ยงสัตว์ในจังหวัดตาก และยังเป็นสารสนเทศให้แก่หน่วยงานที่เกี่ยวข้องทั้งในระดับองค์กร จังหวัด และประเทศ ซึ่งสามารถนำไปบริหารจัดการพื้นที่เพาะปลูกในระดับจังหวัดและภูมิภาค เพื่อให้เกิดความสมดุลระหว่างกำลังการผลิตและตลาดที่ร่องรับ รวมทั้งยังสามารถเป็นต้นแบบให้กับการพยากรณ์ราคาขายของข้าวโพดเลี้ยงสัตว์ในพื้นที่อื่น ๆ ได้อีกด้วย

ดังนั้น งานวิจัยนี้ทำการเปรียบเทียบประสิทธิภาพของเทคนิคการพยากรณ์ ทางด้านการพยากรณ์เชิงปริมาณ (Quantitative Forecasting) ประเภทตัวแบบของตัวแปรเดียว (Univariate Model) โดยการวิเคราะห์อนุกรมเวลา (Time Series Analysis) ที่มีคุณภาพ (Seasonal Variation) เนื่องจากเทคนิคเหล่านี้สามารถประมวลผลได้รวดเร็ว มีการคำนวณที่ไม่ยุ่งยาก และใช้สถิติของข้อมูลย้อนหลังอย่างน้อย 1 - 3 ปี จึงสามารถให้ผลการพยากรณ์ได้ทันเหตุการณ์มี 3 เทคนิค ได้แก่ เทคนิค naïf สำหรับข้อมูลอนุกรมเวลาที่มีคุณภาพ (SNF) [2] ค่าเฉลี่ยเคลื่อนที่แบบถ่วงน้ำหนัก (WMA) [8] และเทคนิคปรับเรียนเอกซ์โพเนนเชียลของวินเทอร์ (WES) [2], [9] มาสร้างเป็นตัวแบบในการพยากรณ์ราคาขายของข้าวโพดเลี้ยงสัตว์ในจังหวัดตาก ด้วยข้อมูลราคาขายเมล็ดของข้าวโพดเลี้ยงสัตว์รุ่น 1 และรุ่น 2 ที่มีความชันไม่เกิน 14.5 % ใน 9 อำเภอของจังหวัดตาก ได้แก่ อำเภอแม่สอด อำเภอแม่รำมาด อำเภอพونพระ อำเภออุ่มผา อำเภอท่าสองยาง อำเภอวังเจ้า อำเภอเมืองตาก อำเภอสามเงา และอำเภอบ้านตาก ตั้งแต่เดือนมกราคม พ.ศ. 2554 ถึง ธันวาคม พ.ศ. 2559 ซึ่งได้มาจากสำนักงานเกษตรจังหวัดตาก และวัดประสิทธิภาพความถูกต้องของผลการพยากรณ์ โดยวิธีร้อยละของค่าสัมบูรณ์ของค่าคลาดเคลื่อนโดยเฉลี่ย (MAPE) [2], [10] วิธีค่าสัมบูรณ์ของค่าคลาดเคลื่อนโดยเฉลี่ย (MAD) [9], [11] และวิธีค่าคลาดเคลื่อนกำลังสองโดยเฉลี่ย (MSD) [11] เพื่อหาเทคนิคการพยากรณ์ที่มีประสิทธิภาพดีที่สุด

## วิธีการทดลอง

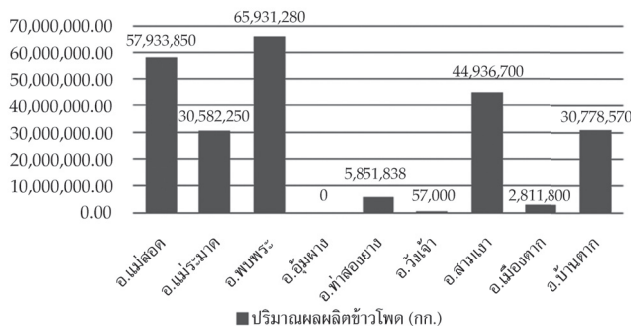
ประเทศไทยสามารถปลูกข้าวโพดเลี้ยงสัตว์ได้ 2 รุ่น คือ ข้าวโพดเลี้ยงสัตว์รุ่น 1 จะเริ่มทำการเพาะปลูกตั้งแต่ 1 มีนาคม - 31 ตุลาคม และข้าวโพดเลี้ยงสัตว์รุ่น 2 จะเริ่มเพาะปลูกตั้งแต่ 1 พฤศจิกายน - 28 กุมภาพันธ์ ของปีถัดไป ส่วนใหญ่นิยมปลูกข้าวโพดเลี้ยงสัตว์พันธุ์ลูกผสม ซึ่งมีอายุเก็บเกี่ยวประมาณ 100 - 120 วัน สำหรับคุณภาพเก็บเกี่ยวผลผลิตของข้าวโพดเลี้ยงสัตว์รุ่น 1 จะเริ่มตั้งแต่ 1 กรกฎาคม - 28 กุมภาพันธ์ ของปีถัดไป และข้าวโพดเลี้ยงสัตว์รุ่น 2 จะเริ่มตั้งแต่ 1 มีนาคม - 30 มิถุนายน จังหวัดตากมีการปลูกข้าวโพดเลี้ยงสัตว์ทั้งสองรุ่นและมีปริมาณผลผลิตของข้าวโพดเลี้ยงสัตว์รุ่น 1 และรุ่น 2 ตั้งแต่ปีแรกไปปีที่ 1 และ 2 ซึ่งจะเห็นได้ว่าปริมาณผลผลิตของข้าวโพดเลี้ยงสัตว์รุ่น 1 ที่น้อยกว่ารุ่น 2 ลังเกตได้จากปริมาณผลผลิตของข้าวโพดเลี้ยงสัตว์รุ่น 1 ที่น้อยกว่ารุ่น 2 ลังเกตได้จากปริมาณผลผลิตของข้าวโพดเลี้ยงสัตว์รุ่น 2 ที่มากกว่ารุ่น 1 อยู่ที่ 421,668,142 กิโลกรัม และราคากลางๆ ของข้าวโพดเลี้ยงสัตว์รุ่น 2 โดยส่วนใหญ่จะสูงกว่ารุ่น 1 เล็กน้อย ตามรูปที่ 3 และ 4 ลังเกตได้จากการขายของข้าวโพดเลี้ยงสัตว์รุ่น 2 ในอำเภอพองพระ อำเภอท่าสองยาง อำเภอวังเจ้า อำเภอสามเงา อำเภอเมืองตาก และอำเภอบ้านตาก มีราคาขายต่อ กิโลกรัม ที่สูงกว่า ดังนี้ 5.46 5.86 6.25 7.06 7.17 และ 6.85 บาท ตามลำดับ ซึ่งราคาขายของข้าวโพดเลี้ยงสัตว์รุ่น 1 ใน 6 อำเภอดังกล่าวมีราคาขายต่อ กิโลกรัม ที่ต่ำกว่า ดังนี้ 5.00 5.83 5.53 6.67 6.86 และ 6.44 บาท ตามลำดับ เนื่องจากข้าวโพดเลี้ยงสัตว์รุ่น 2 มีช่วงเก็บเกี่ยวผลผลิตอยู่ในฤดูแล้งทำให้ข้าวโพดมีความชื้นน้อยจึงขายได้ราคาดีกว่า

ปริมาณผลผลิตข้าวโพดเลี้ยงลักษณะรุ่น 1 ในจังหวัดตาก (ปี 2554 - 2559)



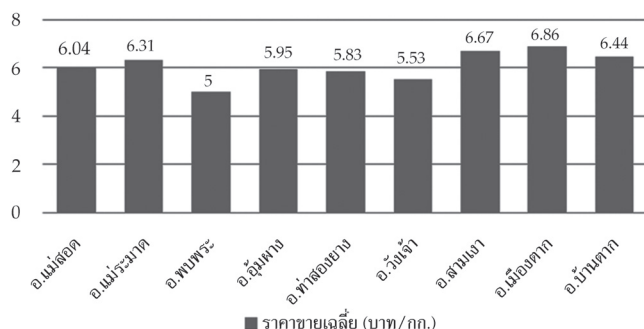
รูปที่ 1 กราฟแสดงปริมาณผลผลิตของข้าวโพดเลี้ยงลักษณะรุ่น 1 ในจังหวัดตาก (พ.ศ. 2554 - 2559)

ปริมาณผลผลิตข้าวโพดเลี้ยงลักษณะรุ่น 2 ในจังหวัดตาก (ปี 2554 - 2559)



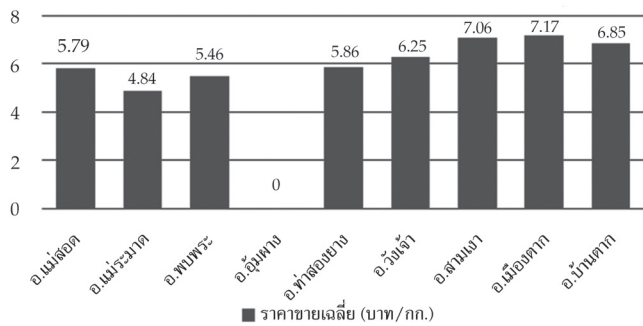
รูปที่ 2 กราฟแสดงปริมาณผลผลิตของข้าวโพดเลี้ยงลักษณะรุ่น 2 ในจังหวัดตาก (พ.ศ. 2554 - 2559)

ราคาขายเฉลี่ยข้าวโพดเลี้ยงลักษณะรุ่น 1 ในจังหวัดตาก (ปี 2554 - 2559)



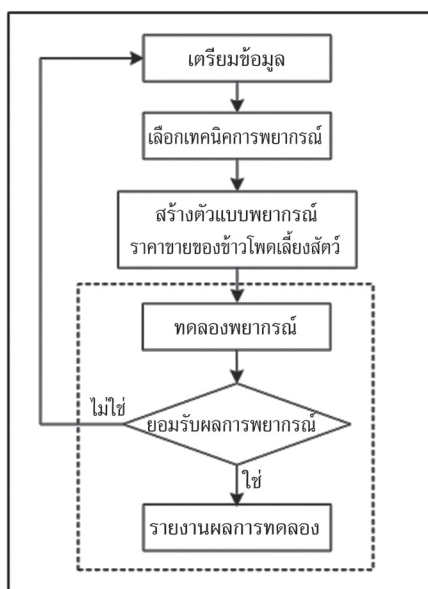
รูปที่ 3 กราฟแสดงราคาขายเฉลี่ยของข้าวโพดเลี้ยงลักษณะรุ่น 1 ในจังหวัดตาก (พ.ศ. 2554 - 2559)

ราคาขายเฉลี่ยข้าวโพดเลี้ยงสัตว์รุ่น 2 ในจังหวัดตาก (ปี 2554 - 2559)



รูปที่ 4 กราฟแสดงราคาขายเฉลี่ยของข้าวโพดเลี้ยงสัตว์รุ่น 2 ในจังหวัดตาก (พ.ศ. 2554 - 2559)

จากการสังเกตข้อมูล ผู้วิจัยพบว่าราคาขายของข้าวโพดเลี้ยงสัตว์รุ่น 1 และรุ่น 2 ในแต่ละอำเภอ ของจังหวัดตากไม่เท่ากัน และปริมาณผลผลิตของข้าวโพดเลี้ยงสัตว์ที่มีมากขึ้นหรือน้อยลงก็ไม่ได้เป็นปัจจัย ล้วนให้ราคาขายลดลงหรือสูงขึ้น เช่น กรณีอำเภอแม่สอดมีปริมาณผลผลิตข้าวโพดเลี้ยงสัตว์รุ่น 1 มากที่สุด คือ 815,023,674 กิโลกรัม แต่มีราคาขาย คือ 6.04 บาทต่อกิโลกรัม ซึ่งไม่ได้เป็นราคาขายที่ต่ำที่สุด ดังแสดงในรูปที่ 1 และ 3 และเมื่อปริมาณผลผลิตข้าวโพดเลี้ยงสัตว์รุ่น 2 ใน อำเภอแม่สอดน้อยลง คือ 57,933,850 กิโลกรัม แต่ราคาขายก็ไม่ได้สูงขึ้น กลับลดลงคือ 5.79 บาทต่อกิโลกรัม ดังแสดงในรูปที่ 2 และ 4 เป็นต้น ดังนั้น เพื่อให้การประมาณราคาขายของข้าวโพดเลี้ยงสัตว์ล่วงหน้ามีประสิทธิภาพ จึงนำเทคนิคการพยากรณ์โดยใช้ตัวแบบของตัวแปรเดียวเข้ามาช่วยในการนำราคาขายของข้าวโพด เลี้ยงสัตว์ โดยมีขั้นตอนดำเนินงานดังแสดงในรูปที่ 5



รูปที่ 5 ขั้นตอนการดำเนินงานในการพยากรณ์ราคาขายของข้าวโพดเลี้ยงสัตว์

ขั้นตอนดำเนินงานในการพยากรณ์ราคายาของข้าวโพดเลี้ยงสัตว์ที่แสดงในรูปที่ 5 มีขั้นตอนหลัก 4 ขั้นตอน ดังนี้

### 1. การเตรียมข้อมูล (Data Preparation)

ข้อมูลที่นำมาใช้ในการทดลองเพื่อเปรียบเทียบประสิทธิภาพของเทคนิคการพยากรณ์โดยใช้ตัวแบบของตัวแปรเดียวสำหรับข้อมูลที่มีคุณภาพ เป็นข้อมูลราคายาเมล็ดของข้าวโพดเลี้ยงสัตว์รุ่น 1 และรุ่น 2 ที่มีความชันไม่เกิน 14.5 % ใน 9 อำเภอของจังหวัดตาก ได้แก่ อำเภอแม่สอด อำเภอแม่ระมาด อำเภอพับพระ อำเภออุ่มผาง อำเภอท่าสองยาง อำเภอวังเจ้า อำเภอเมืองตาก อำเภอสามเงา และอำเภอบ้านตาก ซึ่งข้อมูลเหล่านี้ได้มาจากสำนักงานเกษตรจังหวัดตาก ย้อนหลังจำนวน 6 ปี ตั้งแต่ปี พ.ศ. 2554 - 2559 เป็นข้อมูลอุปกรณ์รายเดือนจำนวน 72 เดือน จากพื้นที่ 9 อำเภอ ข้อมูลทั้งหมดจะถูกตรวจสอบความถูกต้อง (Accuracy) และความสมบูรณ์ครบถ้วน (Completeness) จากนั้นแบ่งข้อมูลออกเป็น 2 กลุ่ม ได้แก่ ข้อมูลตั้งแต่ปี พ.ศ. 2554 - 2558 ของแต่ละอำเภอเป็นข้อมูลฝึกสอน (Training Data) และข้อมูลในปี พ.ศ. 2559 ของแต่ละอำเภอเป็นข้อมูลทดสอบ (Test Data) เพื่อประเมินความคลาดเคลื่อนของผลการพยากรณ์

### 2. การเลือกเทคนิคการพยากรณ์ (Model Selection)

การเลือกเทคนิคการพยากรณ์ที่เหมาะสมกับข้อมูลจะช่วยลดความผิดพลาดในการพยากรณ์ลงได้ ดังนั้น จึงทำการวิเคราะห์รูปแบบของข้อมูลด้วยค่าฟังก์ชันสหสมัยพันธ์แบบออโต (Autocorrelation Function: ACF or Correlogram) [2] ของราคายาข้าวโพดเลี้ยงสัตว์รุ่นของแต่ละอำเภอในจังหวัดตาก ราคายาข้าวโพดเลี้ยงสัตว์รุ่นได้มาจากราคายาข้าวโพดเลี้ยงสัตว์รุ่น 1 หรือรุ่น 2 ที่มีข่ายอยู่ในเดือนนั้นของปีที่พิจารณา และสำหรับบางเดือนที่มีผลผลิตของข้าวโพดเลี้ยงสัตว์ทั้งรุ่น 1 และรุ่น 2 ออกมากขยับร่วมกัน จะใช้ค่าเฉลี่ยของราคายาข้าวโพดเลี้ยงสัตว์รุ่น 1 และรุ่น 2 เป็นตัวแทนของราคายาข้าวโพดเลี้ยงสัตว์ในเดือนนั้นของปีที่พิจารณา โดยใช้ความล้มพันธ์ของตัวแปรในช่วงเวลาปัจจุบันกับช่วงเวลา ก่อนหน้า (Lag Time) ตั้งแต่หนึ่งช่วงเวลาขึ้นไปดังสมการที่ (1)

$$r_k = \frac{\sum_{t=k+1}^n (A_t - \bar{A})(A_{t-k} - \bar{A})}{\sum_{t=1}^n (A_t - \bar{A})^2} \quad (1)$$

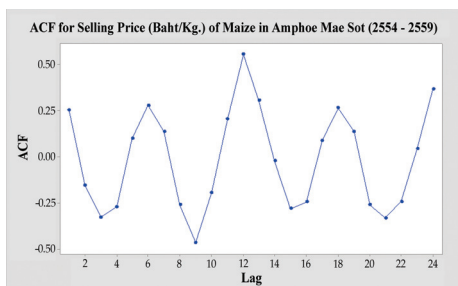
โดยที่

- |           |   |
|-----------|---|
| $r_k$     | = ค่าล้มประสิทธิ์ค่าฟังก์ชันสหสมัยพันธ์แบบออโต้ลำดับที่ $k$ |
| $\bar{A}$ | = ค่าเฉลี่ยของค่า $A$                                       |
| $A_t$     | = ค่า $A$ ณ เวลาที่ $t$                                     |
| $A_{t-k}$ | = ค่า $A$ ช่วงก่อนหน้า $k$ หรือช่วงที่ $t-k$                |
| $A$       | = ราคายาของข้าวโพดเลี้ยงสัตว์รุ่น                           |

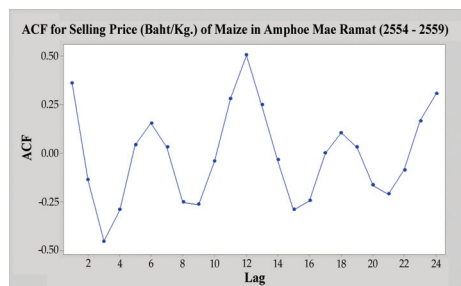
จากนั้นแสดงค่าล้มประสิทธิ์สหสมัยพันธ์แบบออโต้ในรูปแบบกราฟด้วยโปรแกรมมินิแท็บ (Minitab) รุ่น 18 ได้ดังรูปที่ 6 โดยแกน  $y$  (แกนตั้ง) แสดงขนาดความล้มพันธ์ที่เป็นไปได้ตั้งแต่ -1 ถึง +1 ส่วนแกน  $x$  (แกนนอน) แสดงช่วงเวลา (Lag Time) การตรวจสอบอุปกรณ์เวลาว่ามีการสูญเสียข้อมูลคงที่ หรือมีคุณภาพหรือไม่ จะพิจารณาจากค่าฟังก์ชันสหสมัยพันธ์แบบออโต้ที่แสดงในกราฟตั้งแต่ช่วงเวลาที่ 1 - 24 (ลำดับสุดท้าย) ได้ดังนี้ 1) ข้อมูลมีการสูญเสียจากค่าฟังก์ชันสหสมัยพันธ์แบบออโต้

ทุกค่าจะมีค่าใกล้คูนย์ 2) ข้อมูลมีแนวโน้ม สังเกตจากค่าฟังก์ชันสหสมัยพัฒน์แบบօโตในลำดับต้นจะมีค่าสูง หรือใกล้ 1 หรือแตกต่างจากคูนย์มาก และจะค่อยๆ ลดลงเข้าหาคูนย์เมื่อลำดับเพิ่มขึ้น 3) เป็นข้อมูลคงที่ สังเกตจากค่าสัมประสิทธิ์สหสมัยพัฒน์แบบօโตในลำดับต้น ( $r_1, r_2$ ) จะมีค่าสูง และค่าฟังก์ชันสหสมัยพัฒน์แบบօโตในลำดับต่อมา ( $r_3, r_4, \dots$ ) จะลดลงเท่ากับคูนย์อย่างรวดเร็ว และ 4) ข้อมูลมีคุณภาพ สังเกตจากค่าฟังก์ชันสหสมัยพัฒน์แบบօโต ( $r$ ) จะมีค่ามากในลำดับที่มีการเคลื่อนไหวของคุณภาพ เช่น ถ้าเป็นอนุกรมรายเดือนค่า  $r$  จะมากในลำดับที่หารด้วย 12 ลงตัว ถ้าเป็นอนุกรมรายไตรมาสค่า  $r$  จะมากในลำดับที่หารด้วย 4 ลงตัว [2]

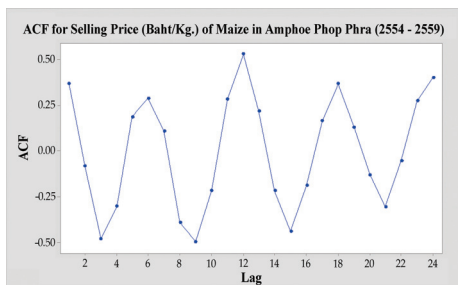
เมื่อพิจารณากราฟแสดงความลับพัฒน์ระหว่างค่าฟังก์ชันสหสมัยพัฒน์แบบօโตสำหรับราคาขายของข้าวโพดเลี้ยงสัตว์รวมรุ่นใน 9 อำเภอของจังหวัดตาก กับช่วงเวลา (Lag Time) ในรูปที่ 6 พบว่า ข้อมูลอนุกรมเวลาข้างต้นมีคุณภาพแบบรายเดือน เนื่องจากค่าฟังก์ชันสหสมัยพัฒน์แบบօโตจะมีค่ามากในลำดับที่เป็นคุณภาพและในลำดับที่หารด้วย 12 ลงตัว แต่ไม่มีการสูง ไม่มีแนวโน้ม และไม่เป็นข้อมูลที่



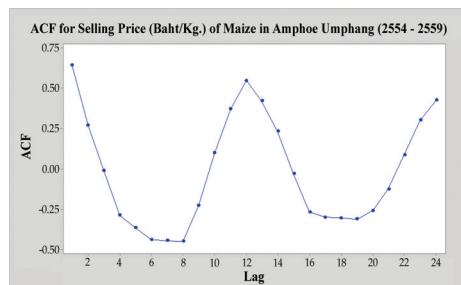
(ก) อำเภอแม่สอด



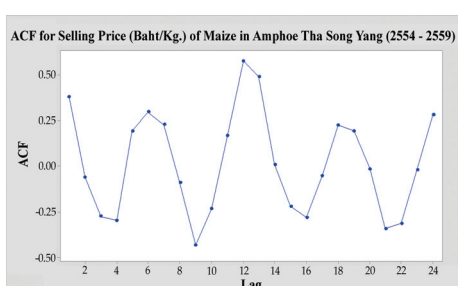
(ข) อำเภอแม่รำมาด



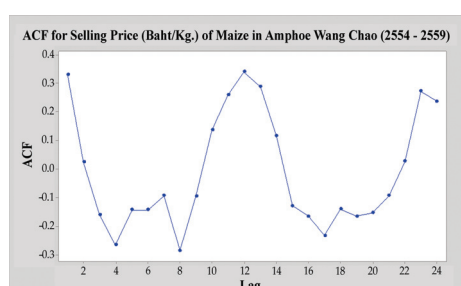
(ค) อำเภอพอพะ



(ง) อำเภออุ้มผาง

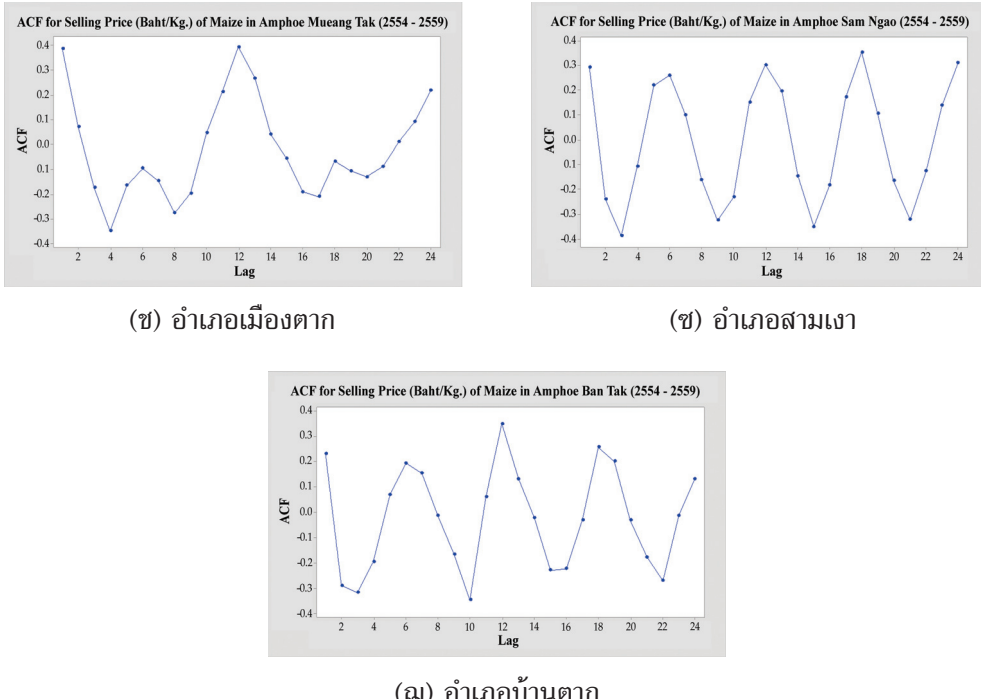


(จ) อำเภอท่าสองยาง



(ฉ) อำเภอวังเจ้า

รูปที่ 6 กราฟแสดงความลับพัฒน์ระหว่างค่าฟังก์ชันสหสมัยพัฒน์แบบօโตสำหรับราคาขายของข้าวโพดเลี้ยงสัตว์รวมรุ่นใน 9 อำเภอของจังหวัดตาก กับช่วงเวลา (Lag Time)



รูปที่ 6 กราฟแสดงความลับพันธ์ระหว่างค่าฟังก์ชันสหลัมพันธ์แบบออโต้สำหรับราคายield ของข้าวโพดเลี้ยงสัตว์รวมรุ่นใน 9 อำเภอของจังหวัดตาก กับช่วงเวลา (Lag Time) (ต่อ)

เพื่อเป็นการยืนยันว่าข้อมูลอนุกรมเวลาชุดนี้มีถูกกาลแบบรายเดือน จึงทดสอบค่าฟังก์ชันสหลัมพันธ์แบบออโต้ในลำดับที่ 12 หารลงตัว คือ ลำดับที่ 12 และ 24 โดยใช้กฎหัวแม่มือ ณ ระดับความเชื่อมั่น 95 % สามารถทดสอบค่าฟังก์ชันสหลัมพันธ์แบบออโต้ [2] ได้ดังนี้

กำหนด  $H_0 : \rho_k = 0$  (ค่าฟังก์ชันสหลัมพันธ์แบบออโต้ลำดับที่  $k$  ไมแตกต่างจาก 0)

$H_1 : \rho_k \neq 0$  (ค่าฟังก์ชันสหลัมพันธ์แบบออโต้ลำดับที่  $k$  แตกต่างจาก 0)

โดยที่  $k = 12$  และ  $24$

ขอบเขตการตัดสินใจจะปฏิเสธ  $H_0$  ถ้าค่าฟังก์ชันสหลัมพันธ์แบบออโต้ ( $r$ ) ในลำดับ 12 และ 24 อยู่นอกช่วงของ  $0 \pm 2/\sqrt{72} = 0 \pm 0.235702$  นั่นคือ ปฏิเสธ  $H_0$  โดยที่  $\rho_k \neq 0$  ถ้า  $r_k < -0.235702$  หรือ  $r_k > 0.235702$  ซึ่งหมายความว่าข้อมูลราคาขายน้ำมันของข้าวโพดเลี้ยงสัตว์มีลักษณะถูกกาลแบบรายเดือนนั้นเอง

เมื่อเปรียบเทียบค่าขอบเขตการตัดสินใจกับค่าฟังก์ชันสหลัมพันธ์แบบออโต้  $r_{12}$  และ  $r_{24}$  ของอำเภอเมืองสอด อำเภอเมืองรำ อำเภอพบพระ อำเภออุ่มผาง อำเภอท่าสองยาง อำเภอวังเจ้า และ อำเภอสามเงา รวมถึงค่าฟังก์ชันสหลัมพันธ์แบบออโต้  $r_{12}$  ของอำเภอเมืองตาก และอำเภอบ้านตาก ในตารางที่ 1 พบร่วมว่าที่ค่าฟังก์ชันสหลัมพันธ์แบบออโต้เหล่านี้ตกลอยู่นอกขอบเขตของการยอมรับ  $H_0$

จึงสามารถปฏิเสธ  $H_0$  ได้ มีเพียงแต่อำเภอเมืองตาก และอำเภอบ้านตาก ที่มีค่าฟังก์ชันสหสมัยพันธ์แบบออโต  $r_{24}$  อยู่ในขอบเขตของการยอมรับ  $H_0$  ดังนั้น เพื่อให้แน่ใจว่าราคายาของข้าวโพดเลี้ยงลัตต์วันที่ 1 และวันที่ 2 ในอำเภอเมืองตาก และอำเภอบ้านตาก อยู่ในขอบเขตของการยอมรับ  $H_0$  ทั้งคู่ จึงแยกพิจารณาค่าฟังก์ชันสหสมัยพันธ์แบบออโตของราคายาของข้าวโพดเลี้ยงลัตต์วันที่ 1 และวันที่ 2 ออกจากกันพบว่าค่าฟังก์ชันสหสมัยพันธ์แบบออโตของราคายาของข้าวโพดเลี้ยงลัตต์วันที่ 1 ในอำเภอเมืองตาก และอำเภอบ้านตาก อยู่นอกขอบเขตของการยอมรับ  $H_0$  จึงสามารถปฏิเสธ  $H_0$  ได้ มีเพียงแต่ค่าฟังก์ชันสหสมัยพันธ์แบบออโตของราคายาของข้าวโพดเลี้ยงลัตต์วันที่ 2 ในอำเภอเมืองตากและอำเภอบ้านตากเท่านั้น ที่อยู่ในขอบเขตของการยอมรับ  $H_0$  เนื่องจากการเพาะปลูกข้าวโพดเลี้ยงลัตต์วันที่ 2 ในเขตพื้นที่ทั้งสองไม่ปกติ เช่น อำเภอเมืองตาก มีการงดเว้นการปลูกในบางปี และอำเภอบ้านตาก มีช่วงเวลาของการเพาะปลูกไม่สม่ำเสมอ

ดังนั้น จึงสรุปได้ว่าข้อมูลราคายาของข้าวโพดเลี้ยงลัตต์รวมรุ่นทั้ง 7 อำเภอในจังหวัดตากได้แก่ อำเภอแม่สอด อำเภอแม่รرماد อำเภอพบพระ อำเภออุ้มผาง อำเภอท่าสองยาง อำเภอวังเจ้า และอำเภอสามเงา เป็นอนุกรรมเวลาที่มีคุณภาพแบบรายเดือน เว้นแต่อำเภอเมืองตากและอำเภอบ้านตากเท่านั้น ที่เป็นอนุกรรมเวลาที่มีคุณภาพแบบรายเดือนเฉพาะข้อมูลราคายาของข้าวโพดเลี้ยงลัตต์วันที่ 1 ซึ่งจะเห็นได้ว่า ข้อมูลราคายาของข้าวโพดเลี้ยงลัตต์ในจังหวัดตากโดยล้วนใหญ่เป็นอนุกรรมเวลาที่มีคุณภาพแบบรายเดือน และไม่มีแนวโน้ม

ตารางที่ 1 ค่าฟังก์ชันสหสมัยพันธ์แบบออโตของราคายาของข้าวโพดเลี้ยงลัตต์รวมรุ่นใน 9 อำเภอของจังหวัดตาก

Lag Time	Autocorrelation ณ Lag Time ต่อ ๆ กัน									
	อำเภอ แม่สอด	อำเภอ แม่รرماد	อำเภอ พบพระ	อำเภอ อุ้มผาง	อำเภอ ท่าสองยาง	อำเภอ วังเจ้า	อำเภอ เมืองตาก	อำเภอ สามเงา	อำเภอ บ้านตาก	
1	0.249856	0.360441	0.366517	0.637893	0.378169	0.329111	0.385916	0.292527	0.22991	
2	-0.158802	-0.13727	-0.084019	0.267575	-0.062863	0.022636	0.069027	-0.23932	-0.289433	
3	-0.331059	-0.45327	-0.481328	-0.013333	-0.276876	-0.160746	-0.174676	-0.388427	-0.318071	
4	-0.274902	-0.29042	-0.304925	-0.288788	-0.298097	-0.266434	-0.349292	-0.109177	-0.195717	
5	0.095105	0.041531	0.186691	-0.365725	0.190557	-0.144619	-0.166381	0.219131	0.068137	
6	0.27611	0.154523	0.288683	-0.438669	0.294199	-0.143516	-0.096063	0.259413	0.191418	
7	0.135117	0.030165	0.108716	-0.444641	0.225673	-0.094136	-0.147318	0.098346	0.151321	
8	-0.264617	-0.25263	-0.392054	-0.450613	-0.091791	-0.286039	-0.277317	-0.162212	-0.015522	
9	-0.468843	-0.2642	-0.497755	-0.228008	-0.432762	-0.095493	-0.196671	-0.326117	-0.166606	
10	-0.197456	-0.0403	-0.216052	0.096408	-0.234296	0.134922	0.044622	-0.232254	-0.34775	
11	0.200917	0.28042	0.283853	0.366332	0.165457	0.257502	0.211565	0.150809	0.05765	
12	0.553527	0.504529	0.530409	0.544408	0.574299	0.338132	0.392743	0.301465	0.346881	
13	0.30534	0.247484	0.218583	0.417113	0.488684	0.286868	0.266647	0.194639	0.1296	

## ตารางที่ 1 ค่าพังก์ชันสหลัมพันธ์แบบออโตของราคาขายของข้าวโพดเลี้ยงสัตว์รวมรุ่นใน 9 อำเภอของจังหวัดตาก (ต่อ)

Lag Time	Autocorrelation ณ Lag Time ต่าง ๆ									
	อำเภอแม่สอด	อำเภอแม่รำมาด	อำเภอพบพระ	อำเภออุ้มผาง	อำเภอท่าสองยาง	อำเภอวังเจ้า	อำเภอเมืองตาก	อำเภอสามเงา	อำเภอห้างตาก	
14	-0.024706	-0.03507	-0.218219	0.229966	0.00726	0.113828	0.038938	-0.146309	-0.024711	
15	-0.283532	-0.29153	-0.44103	-0.031091	-0.221988	-0.12948	-0.057699	-0.351069	-0.230407	
16	-0.247891	-0.2445	-0.190533	-0.267478	-0.282012	-0.16591	-0.190711	-0.182045	-0.224544	
17	0.085464	-0.00027	0.164086	-0.299637	-0.053671	-0.234231	-0.210103	0.170305	-0.031073	
18	0.262632	0.104258	0.367011	-0.305609	0.222897	-0.141468	-0.067236	0.352164	0.255014	
19	0.13357	0.029925	0.129128	-0.311581	0.191596	-0.165669	-0.106226	0.105742	0.199249	
20	-0.264113	-0.16508	-0.131455	-0.259178	-0.016931	-0.155058	-0.131622	-0.166131	-0.032838	
21	-0.334415	-0.2109	-0.306194	-0.126805	-0.343052	-0.093977	-0.089097	-0.322846	-0.178211	
22	-0.246133	-0.0873	-0.054171	0.085249	-0.315288	0.025253	0.01078	-0.127726	-0.270841	
23	0.039647	0.165073	0.27472	0.298944	-0.021018	0.270565	0.091613	0.137583	-0.014369	
24	0.365787	0.304143	0.400949	0.421634	0.280563	0.236212	0.217914	0.308654	0.129335	

จากการวิเคราะห์รูปแบบของข้อมูลด้วยค่าสัมประสิทธิ์สหลัมพันธ์แบบออโต พบร่วมกับข้อมูลราคาขายของข้าวโพดเลี้ยงสัตว์ในจังหวัดตากโดยล้วนใหญ่เป็นอนุกรมเวลาที่มีฤดูกาลแบบรายเดือนที่ไม่มีแนวโน้ม และมีจำนวนข้อมูลที่ใช้ในการฝึกสอน (Training Data) ทั้งสิ้น 60 เดือน เริ่มต้นแต่เมกราคม พ.ศ. 2554 ถึงธันวาคม พ.ศ. 2558 เพื่อใช้ในการสร้างตัวแบบพยากรณ์ราคาขายของข้าวโพดเลี้ยงสัตว์ล่วงหน้า 12 เดือน ของอำเภอต่าง ๆ ในจังหวัดตาก ซึ่งเป็นการพยากรณ์ระยะกลาง (Medium-Term Forecasting) ดังนั้น จึงสามารถใช้เทคนิคนาอยีฟลำทระับข้อมูลอนุกรมเวลาที่มีฤดูกาล (SNF) เทคนิคค่าเฉลี่ยเคลื่อนที่แบบถ่วงน้ำหนัก (WMA) และเทคนิควิธีปรับเรียนเก็งซีพีແນนเขียลของวินเทอร์ (WES) มาสร้างตัวแบบในการพยากรณ์ราคาขายของข้าวโพดเลี้ยงสัตว์ที่มีฤดูกาลได้ ซึ่งทั้ง 3 เทคนิคนี้มีลักษณะที่คล้ายกัน คือ ให้ความสำคัญหรือให้น้ำหนักกับข้อมูลปัจจุบันหรือข้อมูลล่าสุดมากที่สุดในการพยากรณ์ จึงสามารถให้ผลการพยากรณ์ที่ลอดคล้องกับเหตุการณ์จริงในปัจจุบันได้

### 3. การสร้างตัวแบบพยากรณ์ราคาขายของข้าวโพดเลี้ยงสัตว์ (Model Construction)

การพยากรณ์ราคาขายของข้าวโพดเลี้ยงสัตว์เป็นการพยากรณ์เชิงปริมาณ (Quantitative Forecasting) โดยการวิเคราะห์อนุกรมเวลา (Time Series Analysis) ที่มีฤดูกาล (Seasonal Variation) และงานวิจัยนี้สนใจศึกษากลุ่มเทคนิคการพยากรณ์โดยใช้ตัวแบบของตัวแปรเดียว (Univariate Model) ซึ่งมีอยู่ 3 เทคนิค ได้แก่ เทคนิคนาอยีฟลำทระับข้อมูลอนุกรมเวลาที่มีฤดูกาล (SNF) ค่าเฉลี่ยเคลื่อนที่แบบถ่วงน้ำหนัก (WMA) และเทคนิคปรับเรียนเก็งซีพีແນนเขียลของวินเทอร์ (WES) มาสร้างเป็นตัวแบบในการพยากรณ์ราคาขายของข้าวโพดเลี้ยงสัตว์ในจังหวัดตากด้วยข้อมูลฝึกสอน ดังนี้

3.1 การสร้างตัวแบบด้วยเทคนิคนาอยีฟลำทระับข้อมูลอนุกรมเวลาที่มีฤดูกาล (Seasonal Naïve Forecasting: SNF) เทคนิคนาอยีฟลำทระับข้อมูลอนุกรมเวลาที่มีฤดูกาลสามารถแบ่งได้เป็นเทคนิคนาอยีฟ

สำหรับข้อมูลอนุกรมเวลาที่มีคุณภาพแบบรายไตรมาส และเทคนิค naïf สำหรับข้อมูลอนุกรมเวลาที่มีคุณภาพแบบรายเดือน งานวิจัยนี้จะใช้เทคนิค naïf สำหรับข้อมูลอนุกรมเวลาที่มีคุณภาพแบบรายเดือน เนื่องจากผลการวิเคราะห์ที่ค่า F-stat ชั้นสุดล้มพันธ์แบบอโตของราคาขายของข้าวโพดเลี้ยงสัตว์ฯ ในหัวข้อที่ (2) การเลือกเทคนิคการพยากรณ์ (Model Selection) ของวิธีการทดลอง แสดงให้เห็นว่าราคาขายของข้าวโพดเลี้ยงสัตว์ในจังหวัดตากโดยส่วนใหญ่เป็นอนุกรมเวลาที่มีคุณภาพแบบรายเดือน ดังนั้น เทคนิคนี้ จะเริ่มพยากรณ์ได้ในช่วงเวลาที่ 13 (หรือ  $t = 13$ ) และสามารถพยากรณ์ล่วงหน้าได้ 12 เดือนจากข้อมูลจริงค่าล่าสุด [2] ดังสมการที่ (2)

$$F_{t+1} = A_{t-11} \quad (2)$$

โดยที่

$$F_{t+1} = \text{ค่าพยากรณ์ราคาขายข้าวโพดในเดือน } t+1 \text{ เมื่อ } t \text{ คือ ช่วงเวลาตั้งแต่ } 12 \text{ เป็นต้นไป}$$

$$A_{t-11} = \text{ค่าราคาขายข้าวโพดจริงในเดือนเดียวกันของปีที่แล้ว}$$

3.2 การสร้างตัวแบบด้วยเทคนิคค่าเฉลี่ยเคลื่อนที่แบบถ่วงน้ำหนัก (Weighted Moving Average: WMA) เทคนิคค่าเฉลี่ยเคลื่อนที่แบบถ่วงน้ำหนักเป็นวิธีการพยากรณ์ที่ให้น้ำหนัก (Weight) กับข้อมูลปัจจุบันมากกว่าข้อมูลในอดีตที่ใกล้ออกไปตามลำดับ ทำให้ได้ค่าพยากรณ์ตอบสนองต่อการเปลี่ยนแปลงของข้อมูลได้อย่างรวดเร็วและมีค่าใกล้เคียงกับค่าข้อมูลจริงในปัจจุบันมากขึ้น [8] สามารถคำนวณได้ตามสมการที่ (3)

$$F_{t+1} = \frac{\sum_{i=1}^n i A_{t-n+i}}{\sum_{i=1}^n i} \quad (3)$$

โดยที่

$$F_{t+1} = \text{ค่าพยากรณ์ราคาขายข้าวโพดในเดือน } t+1 \text{ เมื่อ } t \text{ คือ ช่วงเวลาที่ } t \text{ เคลื่อนที่ } n \text{ ตามเดือน}$$

$$A_t = \text{ค่าจริงในช่วงเวลา } t$$

$$n = \text{ขนาดของช่วงเวลาในการเคลื่อนที่}$$

$$i = \text{ช่วงเวลาในการเคลื่อนที่}$$

เพื่อให้ได้จำนวนช่วงเวลา (หรือ  $n$ ) ในการเคลื่อนที่ที่เหมาะสมที่สุด จึงทดลองสร้างตัวแบบของเทคนิคค่าเฉลี่ยเคลื่อนที่แบบถ่วงน้ำหนักจากสมการที่ (3) โดยกำหนดขนาดของช่วงเวลาในการเคลื่อนที่ดังนี้  $n = 2, n = 4, n = 6, n = 8, n = 10$  และ  $n = 12$  ด้วยข้อมูลฝึกสอนตั้งแต่เมษายน พ.ศ. 2554 - ธันวาคม พ.ศ. 2558 ได้ผลการทดลองดังแสดงในตารางที่ 2

## ตารางที่ 2 ประสิทธิภาพในการพยากรณ์เทคนิคค่าเฉลี่ยเคลื่อนที่แบบถ่วงน้ำหนักเมื่อกำหนดขนาดของช่วงเวลาในการเคลื่อนที่เป็น $n$ ที่มีขนาดต่าง ๆ กัน

อำเภอ	มกราคม พ.ศ. 2554 ถึงธันวาคม พ.ศ. 2558																	
	$n = 2$			$n = 4$			$n = 6$			$n = 8$			$n = 10$			$n = 12$		
	MAPE	MAD	MSD	MAPE	MAD	MSD	MAPE	MAD	MSD	MAPE	MAD	MSD	MAPE	MAD	MSD	MAPE	MAD	MSD
แม่สอด	11.36	0.69	1.28	10.20	0.62	0.92	10.16	0.62	0.88	8.76	0.56	0.76	7.65	0.50	0.68	<u>7.35</u>	0.48	0.68
แม่รำมาด	9.87	0.57	0.88	10.65	0.62	0.82	10.96	0.64	0.80	10.17	0.62	0.73	9.14	0.57	0.63	<u>8.91</u>	0.55	0.63
พบพระ	14.49	0.73	0.95	14.25	0.72	0.84	14.31	0.72	0.78	13.86	0.70	0.74	13.12	0.68	0.70	<u>12.80</u>	0.66	0.68
อุ้มผาง	<u>2.54</u>	0.15	0.09	3.20	0.20	0.10	3.84	0.24	0.11	4.37	0.27	0.12	4.54	0.28	0.13	4.51	0.27	0.13
ท่าสองยาง	<u>6.51</u>	0.37	0.38	7.62	0.44	0.38	7.98	0.46	0.38	8.16	0.47	0.40	7.71	0.45	0.37	7.63	0.45	0.38
วังเจ้า	5.30	0.31	0.53	4.96	0.28	0.37	4.77	0.26	0.35	4.73	0.26	0.34	3.41	0.20	0.23	<u>2.89</u>	0.16	0.10
เมืองภาค	<u>6.62</u>	0.42	0.49	7.57	0.48	0.53	8.00	0.51	0.55	8.43	0.53	0.58	8.01	0.51	0.52	7.82	0.49	0.50
สามเงา	8.69	0.62	0.89	8.79	0.64	0.79	8.50	0.62	0.73	8.51	0.62	0.74	8.49	0.62	0.75	<u>8.28</u>	0.61	0.72
ขันดาก	9.19	0.60	0.67	9.04	0.58	0.58	9.00	0.57	0.57	9.03	0.57	0.57	8.96	0.56	0.57	<u>8.51</u>	0.52	0.52

ตารางที่ 2 แสดงให้เห็นประสิทธิภาพความถูกต้องของผลการพยากรณ์ในช่วง  $n$  มีขนาดต่าง ๆ ของเทคนิคค่าเฉลี่ยเคลื่อนที่แบบถ่วงน้ำหนักด้วยข้อมูลฝึกสอน พบว่าขนาดของช่วงเวลาในการเคลื่อนที่ที่เหมาะสมสำหรับน้ำไปสร้างตัวแบบ คือ  $n = 2$  เมื่อต้องการพยากรณ์ราคาขายของข้าวโพดเฉลี่ยลักษณะที่ในอำเภออุ้มผาง อำเภอท่าสองยาง และอำเภอเมืองภาค และ  $n = 12$  เมื่อต้องการพยากรณ์ราคาขายของข้าวโพดเฉลี่ยลักษณะในอำเภอแม่สอด อำเภอแม่รำมาด อำเภอพบพระ อำเภอวังเจ้า อำเภอสามเงา และอำเภอขันดาก

3.3 การสร้างตัวแบบด้วยเทคนิคปรับเรียนเอกสารซีโนแรมเมอร์ (Winters' Exponential Smoothing: WES) เทคนิคปรับเรียนเอกสารซีโนแรมเมอร์เป็นวิธีการพยากรณ์สำหรับข้อมูลอนุกรมเวลาที่มีฤดูกาลและมีแนวโน้มประกอบอยู่ วิธีนี้เหมาะสมกับการพยากรณ์ระยะลั้นไม่เกิน 1 ปี จนถึงระยะกลาง 1-3 ปี ข้อมูลที่จะนำมาคำนวณควรเป็นข้อมูลรายเดือนหรือรายไตรมาส และควรมีข้อมูลอย่างน้อย 36 ข้อมูลสำหรับรายเดือน และ 12 ข้อมูลสำหรับรายไตรมาส เทคนิคนี้ประกอบด้วยพารามิเตอร์ที่ใช้ในการปรับเรียน 3 ค่า ได้แก่ สัมประสิทธิ์ในการปรับเรียน ( $\alpha$ ) สัมประสิทธิ์ในการปรับแนวโน้ม ( $\beta$ ) และสัมประสิทธิ์ในการปรับฤดูกาล ( $\gamma$ ) สัมประสิทธิ์ทั้ง 3 ค่านี้ จะมีค่าอยู่ระหว่าง 0 - 1 สำหรับเทคนิคของวินเทอร์มี 2 ตัวแบบ ดังสมการที่ (4) และ (5) [2], [9] ได้แก่

1) ตัวแบบฤดูกาลเชิงคูณ (Multiplicative Seasonal Model) สมการที่ใช้ในการพยากรณ์ คือ

$$F_{t+p} = (S_t + T_t p) l_{t-L+p} \quad (4)$$

2) ตัวแบบฤดูกาลเชิงบวก (Additive Seasonal Method) สมการที่ใช้ในการพยากรณ์ คือ

$$F_{t+p} = S_t + T_t + l_{t-L+p} \quad (5)$$

โดยที่

$$\begin{aligned}
 F_{t+p} &= \text{ค่าพยากรณ์สำหรับ } p \text{ ช่วงล่วงหน้า} \\
 p &= \text{จำนวนช่วงที่ต้องการพยากรณ์ล่วงหน้า} \\
 L &= \text{ช่วงของฤดูกาลใน 1 ปี เช่น } L = 12 \\
 S_t &= \text{ค่าปรับเรียน} = \alpha \frac{A_t}{l_{t-L}} - [(1-\alpha)(S_{t-1} + T_{t-1})] \\
 T_t &= \text{ตัวประมาณค่าแนวโน้ม} = \beta(S_t - S_{t-1}) + (1-\beta)T_{t-1} \\
 l_t &= \text{ตัวประมาณค่าฤดูกาล} = \gamma \frac{A_t}{S_t} + (1-\gamma)l_{t-L} \\
 A_t &= \text{ข้อมูลจริงในช่วงเวลา } t
 \end{aligned}$$

ตัวแบบฤดูกาลเชิงคูณ (Multiplicative Seasonal Model) เหมาะสมกับการพยากรณ์อนุกรมเวลาที่มีฤดูกาลที่อาจจะเพิ่มขึ้นหรือลดลงตามเวลาที่เปลี่ยนแปลงไป ในขณะที่ตัวแบบฤดูกาลเชิงบวก (Additive Seasonal Method) เหมาะสมกับการพยากรณ์อนุกรมเวลาที่มีฤดูกาลคงที่ [12] สำหรับงานวิจัยนี้เลือกใช้ตัวแบบฤดูกาลเชิงบวกของวินเทอร์ เนื่องจากข้อมูลราคาขายของข้าวโพดเลี้ยงสัตว์ ในจังหวัดตากที่เป็นอนุกรมเวลาที่มีฤดูกาลแบบรายเดือน เป็นฤดูกาลคงที่เมื่อเวลาเปลี่ยนแปลงไป และไม่มีแนวโน้มเกิดขึ้น จากผลการวิเคราะห์ค่าลัมประลิทธิสหสัมพันธ์แบบอโตของราคาขายของข้าวโพด เลี้ยงสัตว์ฯ ในหัวข้อที่ (2) การเลือกเทคนิคการพยากรณ์ (Model Selection) ของวิธีการทดลองดังนั้น จึงได้ตัวแบบที่ใช้ในการพยากรณ์ดังสมการที่ (6) ร่วมกับค่าลัมประลิทธิในการปรับเรียน ( $\alpha$ ) และค่าลัมประลิทธิในการปรับฤดูกาล ( $\gamma$ ) ที่แสดงในตารางที่ 3 ซึ่งให้ผลการพยากรณ์ที่ดีที่สุดจากการทดลองพยากรณ์ด้วยข้อมูลฝึกสอนตั้งแต่กรกฎาคม พ.ศ. 2554 – ธันวาคม พ.ศ. 2558 โดยโปรแกรมมินิแท็บ (Minitab) รุ่น 18

$$F_{t+1} = S_t + l_{t-1} \quad (6)$$

ตารางที่ 3 ค่าลัมประลิทธิในการปรับเรียน ( $\alpha$ ) และค่าลัมประลิทธิในการปรับฤดูกาล ( $\gamma$ ) ที่เหมาะสมต่อการพยากรณ์

จำพวก		แม่สอด	แม่รرماد	พบพระ	อุ้มผาง	ท่าสองยาง	วังเจ้า	เมืองตาก	สามเงา	บ้านตาก
ลัมประลิทธิ	การปรับเรียน ( $\alpha$ )	0.3	0.1	0.6	0.9	0.9	0.6	0.8	0.6	0.4
	การปรับฤดูกาล ( $\gamma$ )	0.1	0.1	0.1	0.1	0.1	0.1	0.1	0.1	0.1
เครื่องมือ	MAPE	9.06	9.52	9.84	2.81	6.41	8.21	6.71	8.87	7.87
วัดค่าค่าคลาด	MAD	0.57	0.54	0.51	0.17	0.37	0.49	0.44	0.61	0.50
เคลื่อน	MSD	0.77	0.50	0.53	0.07	0.34	0.50	0.38	0.66	0.41

ดังนั้น ในขั้นตอนการสร้างตัวแบบพยากรณ์ราคายาของข้าวโพดเลี้ยงสัตว์นี้ จะได้ตัวแบบสำหรับการพยากรณ์ 3 สมการ ได้แก่ สมการที่ (2) จากเทคนิค naïve สำหรับข้อมูลอนุกรมเวลาที่มีถูกากล (SNF) สมการที่ (3) จากเทคนิค่าเฉลี่ยเคลื่อนที่แบบถ่วงน้ำหนัก (WMA) โดยมี  $n = 2$  เมื่อต้องการพยากรณ์ราคายาของข้าวโพดเลี้ยงสัตว์ในวันถัดไป อัตราเฉลี่ยเคลื่อนที่  $n = 12$  เมื่อต้องการพยากรณ์ราคายาของข้าวโพดเลี้ยงสัตว์ในวันถัดไป เมื่อต้องการพยากรณ์ราคายาของข้าวโพดเลี้ยงสัตว์ในวันถัดไป อัตราเฉลี่ยเคลื่อนที่  $n = 6$  และสมการที่ (6) จากเทคนิคปรับเรียนรู้ (EKF) สำหรับข้อมูลของวินเทอร์ (WES) โดยมีค่าล้มประลิทธิ์ในการปรับเรียนรู้ ( $\alpha$ ) และค่าล้มประลิทธิ์ในการปรับถูกากล ( $\gamma$ ) ตามตารางที่ 3

#### 4. การทดลองพยากรณ์ (Model Extrapolation)

สำหรับขั้นตอนการทดลองพยากรณ์นี้ จะนำตัวแบบทั้ง 3 สมการ จากหัวข้อที่ (3) การสร้างตัวแบบพยากรณ์ราคายาของข้าวโพดเลี้ยงสัตว์ (Model Construction) ของวิธีการทดลอง มาพยากรณ์ด้วยข้อมูลทดสอบ (Test Data) ซึ่งเป็นข้อมูลราคายาของข้าวโพดเลี้ยงสัตว์รวมรุ่นในปี พ.ศ. 2559 ของทั้ง 9 อำเภอในจังหวัดตาก และประเมินประลิทธิ์ภาพความถูกต้องของผลการพยากรณ์ด้วยค่าคลาดเคลื่อน (Error) ถ้าผลการพยากรณ์ไม่ถูกยอมรับในขั้นตอนนี้ ก็จะต้องย้อนกระบวนการกลับไปตรวจสอบใหม่ตั้งแต่ขั้นตอนการเตรียมข้อมูล แต่ถ้ายอมรับผลการพยากรณ์ก็จะเข้าสู่กระบวนการรายงานผลการทดลองต่อไป

การประเมินประลิทธิ์ภาพความถูกต้องของผลการพยากรณ์ จะพิจารณาจากค่าคลาดเคลื่อนของผลการพยากรณ์ โดยการเปรียบเทียบค่าพยากรณ์ที่คำนวณได้กับข้อมูลจริงที่ช่วงเวลา  $t$  หากค่าพยากรณ์จากตัวแบบของเทคนิคใดให้ค่าคลาดเคลื่อนน้อยที่สุด แสดงว่าตัวแบบและเทคนิคนั้นมีความเหมาะสมต่อการพยากรณ์ หรือการพยากรณ์มีความแม่นยำสูงสุดนั่นเอง งานวิจัยนี้ใช้วิธีวัดค่าคลาดเคลื่อนของการพยากรณ์ 3 วิธี ดังสมการที่ (7) – (9) ได้แก่

วิธีร้อยละของค่าล้มบูรณาภรณ์ของค่าคลาดเคลื่อนโดยเฉลี่ย (MAPE) [2], [10]

$$MAPE(\%) = 100 / n \sum_{t=1}^n |(A_t - F_t) / A_t| \quad (7)$$

วิธีค่าล้มบูรณาภรณ์ของค่าคลาดเคลื่อนโดยเฉลี่ย (MAD) [9], [11]

$$MAD = \frac{1}{n} \sum_{t=1}^n |A_t - F_t| \quad (8)$$

วิธีค่าคลาดเคลื่อนกำลังสองโดยเฉลี่ย (MSD) [11]

$$MSD = \frac{1}{n} \sum_{t=1}^n (A_t - F_t)^2 \quad (9)$$

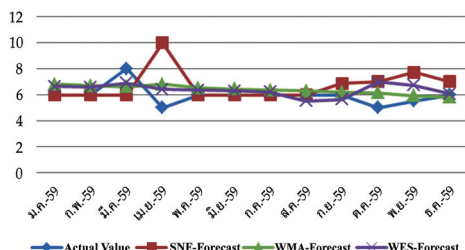
โดยที่

$F_t$  = ค่าพยากรณ์ในเดือน  $t$  เมื่อ  $t$  คือ ช่วงเวลาที่เคลื่อนที่ตามเดือน

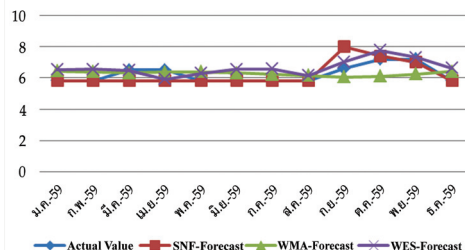
$A_t$  = ค่าจริงในเดือน  $t$

$n$  = จำนวนช่วงเวลาที่ใช้ในการคำนวณ

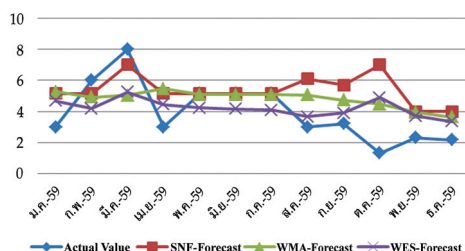
ผลการพยากรณ์ราคาขายของข้าวโพดเลี้ยงสัตว์รวมรุ่น ปี พ.ศ. 2559 ของทั้ง 9 อำเภอในจังหวัดตาก ด้วยเทคนิค naïve สำหรับข้อมูลอนุกรมเวลาที่มีคุณภาพ (SNF) เทคนิคค่าเฉลี่ยเคลื่อนที่แบบถ่วงน้ำหนัก (WMA) และเทคนิคปรับเรียนรู้เชิงโน้มูลของวินเทอร์ (WES) แสดงในรูปแบบกราฟในรูปที่ 7 และผลการวัดประสิทธิภาพความถูกต้องของการพยากรณ์จากทั้ง 3 เทคนิค ด้วยร้อยละของค่าลัมบูรันของค่าคลาดเคลื่อนโดยเฉลี่ย (MAPE) ค่าลัมบูรันของค่าคลาดเคลื่อนโดยเฉลี่ย (MAD) และค่าคลาดเคลื่อนกำลังสองโดยเฉลี่ย (MSD) แสดงในตารางที่ 4



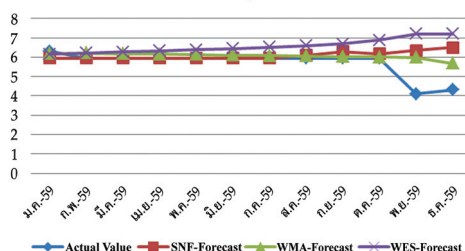
(ก) อำเภอแม่สอด



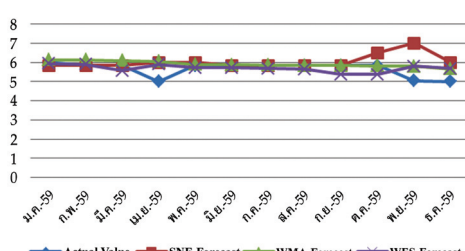
(ข) อำเภอแม่รำมาด



(ค) อำเภอพบพระ

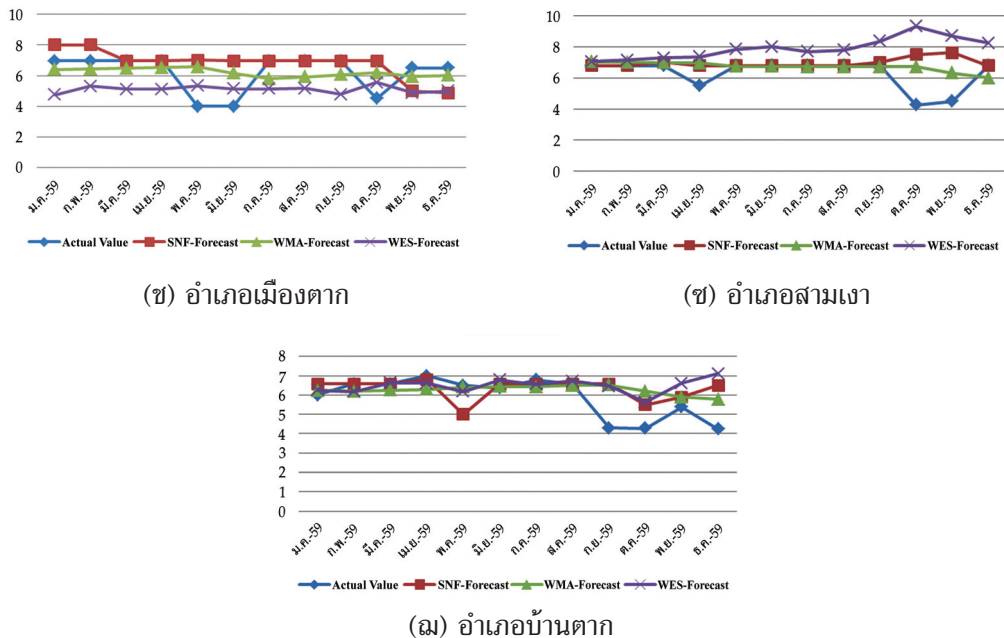


(ง) อำเภออยุ่มพาง



(จ) อำเภอท่าล่องย่าง

รูปที่ 7 กราฟพยากรณ์ราคาขายของข้าวโพดเลี้ยงสัตว์รวมรุ่นใน 9 อำเภอของจังหวัดตาก ปี พ.ศ. 2559 ด้วยเทคนิค naïve สำหรับข้อมูลอนุกรมเวลาที่มีคุณภาพ เทคนิคค่าเฉลี่ยเคลื่อนที่แบบถ่วงน้ำหนัก และเทคนิคปรับเรียนรู้เชิงโน้มูลของวินเทอร์



รูปที่ 7 กราฟพยากรณ์ราคาขายของข้าวโพดเลี้ยงสัตว์รวมรุ่นใน 9 อำเภอของจังหวัดตาก ปี พ.ศ. 2559 ด้วยเทคนิค naïve ฟล่าหัวข้อมูลอนุกรรมเวลาที่มีคุณภาพ เทคนิคค่าเฉลี่ยเคลื่อนที่แบบถ่วงน้ำหนัก และเทคนิคปรับเรียนเอกสารซีพีແນນเขียลของวินเทอร์ (ต่อ)

กราฟในรูปที่ 7 แสดงให้เห็นว่าผลการพยากรณ์ราคาขายของข้าวโพดเลี้ยงสัตว์รวมรุ่นของอำเภอส่วนใหญ่ในจังหวัดตาก จากทั้ง 3 เทคนิคให้ค่าใกล้เคียงข้อมูลจริง แต่มีบางพื้นที่ที่บางเทคนิคให้ผลการพยากรณ์ที่แตกต่างจากข้อมูลจริงมาก ได้แก่ เทคนิคปรับเรียนเอกสารซีพีແນนเขียลของวินเทอร์ (WES) ที่ให้ผลพยากรณ์ในอำเภอพบทะ อำเภอสามเงา อำเภอวังเจ้า และอำเภอเมืองตาก เทคนิค naïve ฟล่าหัวข้อมูลอนุกรรมเวลาที่มีคุณภาพ (SNF) ที่ให้ผลพยากรณ์ในอำเภอพบทะและอำเภอเมืองตาก และเทคนิคค่าเฉลี่ยเคลื่อนที่แบบถ่วงน้ำหนัก (WMA) ที่ให้ผลพยากรณ์ในอำเภอพบทะและอำเภอเมืองตาก สังเกตต่อไปได้ว่า ในอำเภอสามเงาและอำเภอวังเจ้ามีเทคนิคการพยากรณ์อื่นที่ให้ผลการพยากรณ์ที่ดี แต่ในอำเภอพบทะและอำเภอเมืองตากมีผลพยากรณ์จากทั้ง 3 เทคนิค ที่ค่อนข้างแตกต่างจากข้อมูลจริงมาก ล่าหัวข้อมูลประนีของอำเภอพบทะ เนื่องจากในปี พ.ศ. 2559 อำเภอพบทะประสบปัญหาราคาขายของข้าวโพดเลี้ยงสัตว์ตกต่ำมาก [5] และกรณีของอำเภอเมืองตาก เนื่องจากการเพาะปลูกข้าวโพดเลี้ยงสัตว์รุ่น 2 มีการงดเว้นการเพาะปลูกในบางปี และพบว่าเทคนิคที่ให้ผลการพยากรณ์โดยล้วนใหญ่ใกล้เคียงกับข้อมูลจริงมากที่สุด คือ เทคนิคค่าเฉลี่ยเคลื่อนที่แบบถ่วงน้ำหนัก (WMA)

ข้อมูลประสถิติอีกความถูกต้องของผลการพยากรณ์ราคาขายของข้าวโพดเลี้ยงสัตว์รวมรุ่นในปี พ.ศ. 2559 ในตารางที่ 4 แสดงให้เห็นถึงความเหมาะสมของเทคนิคการพยากรณ์ราคาขายของข้าวโพดเลี้ยงสัตว์ในแต่ละอำเภอของจังหวัดตากที่แตกต่างกัน ดังนี้ ในอำเภอแม่สอด อำเภออุ้มพาง อำเภอท่าสองยาง อำเภอเมืองตาก อำเภอสามเงา และอำเภอบ้านตาก ควรใช้เทคนิคค่าเฉลี่ยเคลื่อนที่แบบถ่วงน้ำหนัก (WMA) และในอำเภอพบทะควรใช้เทคนิคปรับเรียนเอกสารซีพีແນนเขียลของวินเทอร์ (WES)

โดยสังเกตจากค่าร้อยละของค่าสัมบูรณ์ของค่าคลาดเคลื่อนโดยเฉลี่ย (MAPE) ค่าสัมบูรณ์ของค่าคลาดเคลื่อนโดยเฉลี่ย (MAD) และค่าคลาดเคลื่อนกำลังสองโดยเฉลี่ย (MSD) ที่มีค่าน้อยที่สุด

ตารางที่ 4 ประสิทธิภาพความถูกต้องของผลการพยากรณ์ราคาขายของข้าวโพดเลี้ยงสัตว์รวมรุ่น ในปี พ.ศ. 2559

เทคนิคการพยากรณ์	เครื่องมือวัด ค่าคลาดเคลื่อน	อั้นgeo แม่สอด	อั้นgeo แม่รำมาด	อั้นgeo พบพระ	อั้นgeo อุ้มพะ	อั้นgeo ห่าสองยาง	อั้นgeo วังเจ้า	อั้นgeo เมืองตาก	อั้นgeo สามเงา	อั้นgeo บ้านตาก
นาฬิกาสำหรับข้อมูลอนุกรมเวลาที่มีคุณภาพ (SNF)	MAPE	19.87	<u>3.97</u>	<u>79.09</u>	10.25	7.94	10.04	23.46	14.61	15.51
	MAD	1.1	0.26	1.75	0.46	0.41	0.43	1.24	0.67	0.75
	MSD	3.32	0.25	5.47	0.84	0.52	0.63	2.67	1.84	1.23
ค่าเฉลี่ยเคลื่อนที่แบบถ่วงน้ำหนัก (WMA)	MAPE	12.16	8.55	59.79	5.47	5.19	14.24	23.14	12.60	14.72
	MAD	0.70	0.54	1.57	0.24	0.28	0.65	1.14	0.63	0.71
	MSD	0.73	0.36	3.56	0.32	0.16	0.68	2.57	1.03	1.02
ปรับเรียงเบอกซ์พินเน-เชียลของวินเซอร์ (WES)	MAPE	12.97	8.60	<u>55.11</u>	18.78	6.60	27.80	27.06	<u>30.59</u>	17.21
	MAD	0.73	0.52	1.51	0.91	0.35	1.56	1.61	1.66	0.82
	MSD	0.84	0.33	2.99	1.74	0.20	3.03	2.89	4.67	1.42

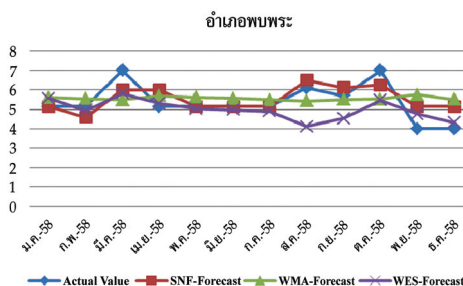
สำหรับเทคนิคที่มีความแม่นยำในการพยากรณ์มากที่สุดและน้อยที่สุด คือ เทคนิคนาฬิกาสำหรับข้อมูลอนุกรมเวลาที่มีคุณภาพ (SNF) โดยอั้นgeoแม่รำมาดมีผลการพยากรณ์ดีที่สุด สังเกตจากค่าร้อยละของค่าสัมบูรณ์ของค่าคลาดเคลื่อนโดยเฉลี่ย (MAPE) ที่ได้ 3.97 % ค่าสัมบูรณ์ของค่าคลาดเคลื่อนโดยเฉลี่ย (MAD) ที่ได้ 0.26 และค่าคลาดเคลื่อนกำลังสองโดยเฉลี่ย (MSD) ที่ได้ 0.25 ซึ่งมีความสอดคล้องไปในทำนองเดียวกัน คือ มีค่าน้อยที่สุด เนื่องจากราคาขายของข้าวโพดเลี้ยงสัตว์ในอั้นgeoแม่รำมาดในปี พ.ศ. 2558 กับ พ.ศ. 2559 มีการเคลื่อนไหวของราคากิโลกรัมค่อนข้างมาก แต่สำหรับอั้นgeoพบพระ มีผลการพยากรณ์แย่ที่สุด สังเกตจากค่าร้อยละของค่าสัมบูรณ์ของค่าคลาดเคลื่อนโดยเฉลี่ย (MAPE) ที่ได้ 79.09 % ค่าสัมบูรณ์ของค่าคลาดเคลื่อนโดยเฉลี่ย (MAD) ที่ได้ 1.75 และค่าคลาดเคลื่อนกำลังสองโดยเฉลี่ย (MSD) ที่ได้ 5.47 ซึ่งมีความสอดคล้องไปในทำนองเดียวกัน คือ มีค่ามากที่สุด เนื่องจากในปี พ.ศ. 2559 อั้นgeoพบพระประสบปัญหาราคาขายของข้าวโพดเลี้ยงสัตว์ตกต่ำมาก [5] ทำให้ราคาขายของข้าวโพดเลี้ยงสัตว์ค่อนข้างแตกต่างจากปีที่ผ่านมา

จากราฟพยากรณ์ราคาขายของข้าวโพดเลี้ยงสัตว์รวมรุ่นในปี พ.ศ. 2559 ในรูปที่ 7 และประสิทธิภาพความถูกต้องของผลการพยากรณ์ในตารางที่ 4 ของอั้นgeoพบพระ แสดงให้เห็นถึงความผิดปกติของการพยากรณ์ที่คลาดเคลื่อนจากข้อมูลจริงมาก เนื่องจากข้อมูลราคาขายของข้าวโพดเลี้ยงสัตว์ในอั้นgeoพบพระ ในปี พ.ศ. 2559 ไม่ปกติจากการที่ราคาขายตกต่ำมาก ดังนั้น จึงต้องย้อนกระบวนการกลับไปปรับกลุ่มข้อมูลสำหรับทดสอบพยากรณ์ใหม่ในอั้นgeoพบพระ ดังนี้ ให้ข้อมูลตั้งแต่ปี พ.ศ. 2554 - 2557 เป็นข้อมูลฝึกสอน (Training Data) และให้ข้อมูลในปี พ.ศ. 2558 เป็นข้อมูลทดสอบ (Test Data) ความคลาดเคลื่อนของผลการพยากรณ์ ซึ่งค่าขนาดของช่วงเวลาในการเคลื่อนที่ ( $n$ ) ค่าสัมประสิทธิ์ในการปรับเรียน ( $\alpha$ ) และค่าสัมประสิทธิ์ในการปรับคุณภาพ ( $\gamma$ ) ยังคงสามารถใช้ค่าเดิมได้ คือ 12.06 และ

0.1 ตามลำดับ ได้ผลการพยากรณ์สำหรับราคาขายของข้าวโพดเลี้ยงสัตว์รวมรุ่นในปี พ.ศ. 2558 ของอำเภอพบพระ แสดงในรูปที่ 8 และประสิทธิภาพความถูกต้องของผลการพยากรณ์ราคาขายของข้าวโพดเลี้ยงสัตว์รวมรุ่นในปี พ.ศ. 2558 ของอำเภอพบพระ แสดงในตารางที่ 5 จากผลการทดลองพยากรณ์ใหม่ พบฯที่ 3 เทคนิคให้ผลการพยากรณ์ใกล้เคียงกับข้อมูลจริงมากขึ้น โดยมีเทคนิคนาอีฟสำหรับข้อมูลอนุกรมเวลาที่มีถูกต้อง (SNF) ให้ผลการพยากรณ์แม่นยำที่สุด

ตารางที่ 5 ประสิทธิภาพความถูกต้องของผลการพยากรณ์ราคาขายของข้าวโพดเลี้ยงสัตว์รวมรุ่น ในปี พ.ศ. 2558 ของอำเภอพบพระ

เทคนิคการพยากรณ์	เครื่องมือวัดค่าคาดเคลื่อน		
	MAPE	MAD	MSD
นาอีฟสำหรับข้อมูลอนุกรมเวลาที่มีถูกต้อง (SNF)	10.29	0.52	0.46
ค่าเฉลี่ยเคลื่อนที่แบบถ่วงน้ำหนัก (WMA)	15.83	0.81	0.96
ปรับเรียนเอกซ์โพแนลเชียลของวินเทอร์ (WES)	12.04	0.69	0.84



รูปที่ 8 กราฟพยากรณ์ราคาขายของข้าวโพดเลี้ยงสัตว์รวมรุ่นในอำเภอพบพระปี พ.ศ. 2558

## ผลการทดลองและวิจารณ์ผล

จากผลการทดลองพยากรณ์ในหัวข้อที่ (4) การทดลองพยากรณ์ (Model Extrapolation) ของวิธีการทดลอง แสดงให้เห็นถึงประสิทธิภาพการพยากรณ์ของเทคนิคนาอีฟสำหรับข้อมูลอนุกรมเวลาที่มีถูกต้อง (SNF) เทคนิคค่าเฉลี่ยเคลื่อนที่แบบถ่วงน้ำหนัก (WMA) และเทคนิคปรับเรียนเอกซ์โพแนลเชียลของวินเทอร์ (WES) ซึ่งสามารถสรุปเทคนิคการพยากรณ์ที่มีประสิทธิภาพดีที่สุดหรือที่เหมาะสมต่อการพยากรณ์ราคาขายของข้าวโพดเลี้ยงสัตว์ใน 9 อำเภอของจังหวัดตาก ได้ดังตารางที่ 6

ตารางที่ 6 เทคนิคการพยากรณ์ที่มีความเหมาะสมต่อการพยากรณ์ราคาขายของข้าวโพดเลี้ยงสัตว์ในอำเภอต่าง ๆ ของจังหวัดตากที่พบมากที่สุด คือ เทคนิคค่าเฉลี่ยเคลื่อนที่แบบถ่วงน้ำหนัก (WMA) พบถึง 6 อำเภอ ได้แก่ อำเภอแม่สอด อำเภออุ่มพาง อำเภอท่าสองยาง อำเภอเมืองตาก อำเภอสามเงา และอำเภอบ้านตาก เทคนิคการพยากรณ์ที่พบร่องลงมา คือ เทคนิคนาอีฟสำหรับข้อมูลอนุกรมเวลาที่มีถูกต้อง (SNF) พบใน 3 อำเภอ ได้แก่ อำเภอแม่รماดา อำเภอพบพระ และอำเภอวังเจ้า แต่สำหรับเทคนิคปรับเรียนเอกซ์โพแนลเชียล

ของวินเทอร์ (WES) ถึงแม้ในบางอำเภอจะมีผลการวัดประสิทธิภาพความถูกต้องของการพยากรณ์ที่ดี เช่น อำเภอเมืองระมาดและอำเภอท่าสองยาง แต่ในอำเภอทั้งสองนี้ยังมีเทคนิคการพยากรณ์อื่นที่ให้ผลประสิทธิภาพความถูกต้องของการพยากรณ์ที่ดีกว่าเทคนิคปรับเรียนเอกสารซึ่งออกแบบเชี่ยวชาญวินเทอร์ (WES)

#### ตารางที่ 6 เทคนิคการพยากรณ์ที่เหมาะสมต่อการพยากรณ์ราคาขายของข้าวโพดเลี้ยงสัตว์ใน 9 อำเภอ ของจังหวัดตาก

เทคนิคการพยากรณ์	อำเภอ แม่สอด	อำเภอ เมืองระมาด	อำเภอ พบพระ	อำเภอ อุ้มพาง	อำเภอ ท่าสองยาง	อำเภอ วังเจ้า	อำเภอ เมืองตาก	อำเภอ สามเงา	อำเภอ บ้านตาก
นาฬิกสำหรับข้อมูลอนุกรม เวลาที่มีคุณภาพ (SNF)	✓	✓				✓			
ค่าเฉลี่ยเคลื่อนที่แบบ ถ่วงน้ำหนัก (WMA)	✓			✓	✓		✓	✓	✓
ปรับเรียนเอกสารซึ่งออกแบบเชี่ยว ชาญวินเทอร์ (WES)									

หมายเหตุ สัญลักษณ์ ✓ แสดงเทคนิคการพยากรณ์ที่มีประสิทธิภาพดีที่สุดสำหรับอำเภอนั้น

ถึงแม้ทั้ง 3 เทคนิคการพยากรณ์จะอยู่ในกลุ่มการพยากรณ์ประเภทเดียวกันและทดลองพยากรณ์กับข้อมูลชุดเดียวกัน แต่จากการทดลองแสดงให้เห็นว่าข้อมูลราคาขายของข้าวโพดเลี้ยงสัตว์ในแต่ละอำเภอ มีความเหมาะสมกับเทคนิคการพยากรณ์ที่แตกต่างกัน ดังนี้

- ข้อมูลราคาขายของข้าวโพดเลี้ยงสัตว์ในอำเภอเมืองระมาด อำเภอพบพระ และอำเภอวังเจ้า ของปีล่าสุดกับปีที่ต้องการพยากรณ์มีลักษณะการเคลื่อนไหวของข้อมูลที่คล้ายกันและในบริเวณที่ใกล้เคียงกัน ดังนั้น เทคนิคนาฬิกสำหรับข้อมูลอนุกรมเวลาที่มีคุณภาพ (SNF) จึงให้ผลการพยากรณ์ที่ดีที่สุดกับกลุ่มข้อมูลนี้

- ข้อมูลราคาขายของข้าวโพดเลี้ยงสัตว์ในอำเภอแม่สอด อำเภออุ้มพาง อำเภอท่าสองยาง อำเภอเมืองตาก อำเภอสามเงา และอำเภอบ้านตาก ของปีที่ต้องการพยากรณ์มีลักษณะการเคลื่อนไหวใกล้เคียงกับข้อมูลในปีล่าสุดมากกว่าข้อมูลในอดีตที่ใกล้ออกไปตามลำดับ ดังนั้น เทคนิคค่าเฉลี่ยเคลื่อนที่แบบถ่วงน้ำหนัก (WMA) จึงให้ผลการพยากรณ์ที่ดีที่สุดกับกลุ่มข้อมูลนี้

- สำหรับเทคนิคปรับเรียนเอกสารซึ่งออกแบบเชี่ยวชาญวินเทอร์ (WES) แม้ในอำเภอเมืองระมาด และอำเภอท่าสองยาง จะได้ผลการวัดประสิทธิภาพความถูกต้องของการพยากรณ์ที่ดี แต่ก็ยังมีเทคนิคการพยากรณ์อื่นที่ให้ประสิทธิภาพที่ดีกว่า และในกรณีของอำเภอสามเงา ซึ่งเห็นได้ชัดเจนจากค่าร้อยละของค่าล้มบูรณาของค่าคลาดเคลื่อนโดยเฉลี่ย (MAPE) ที่ได้ 30.59 % ค่าล้มบูรณาของค่าคลาดเคลื่อนโดยเฉลี่ย (MAD) ที่ได้ 1.66 และค่าคลาดเคลื่อนกำลังสองโดยเฉลี่ย (MSD) ที่ได้ 4.67 ซึ่งมีความลอดคล้องไปในทำนองเดียวกัน คือ มีค่ามากที่สุด ดังนั้น เทคนิคปรับเรียนเอกสารซึ่งออกแบบเชี่ยวชาญวินเทอร์ (WES) จึงไม่เหมาะสมที่จะใช้ในการพยากรณ์ เนื่องจากลักษณะข้อมูลราคาขายของข้าวโพดเลี้ยงสัตว์ในอำเภอสามเงา มีการเปลี่ยนแปลงชื้นลงราคาย่ำงวดเร็ว จึงทำให้มีค่าคลาดเคลื่อนมากที่สุด

## สรุปการวิจัย

งานวิจัยนี้ทำการเปรียบเทียบประสิทธิภาพระหว่างเทคนิคการพยากรณ์สำหรับตัวแบบของตัวแปรเดียวกับข้อมูลที่มีถูกต้อง 3 เทคนิค ได้แก่ เทคนิค naïve สำหรับข้อมูลอนุกรมเวลาที่มีถูกต้อง (SNF) ค่าเฉลี่ยเคลื่อนที่แบบถ่วงน้ำหนัก (WMA) และเทคนิคปรับเรียนเอกสารชี้โพแนวเชิงลึกของวินเทอร์ (WES) มาสร้างเป็นตัวแบบในการพยากรณ์ราคาขายของข้าวโพดเลี้ยงสัตว์ใน 9 อำเภอของจังหวัดตาก โดยใช้ข้อมูลราคาขายของข้าวโพดเลี้ยงสัตว์ที่ได้จากสำนักงานเกษตรจังหวัดตาก ตั้งแต่ปี พ.ศ. 2554 – 2558 เพื่อพยากรณ์ปี พ.ศ. 2559 ยกเว้นในกรณีของอำเภอพับพระที่ใช้ข้อมูลตั้งแต่ปี พ.ศ. 2554 – 2557 เพื่อพยากรณ์ปี พ.ศ. 2558 จากการวิเคราะห์รูปแบบข้อมูลด้วยค่าฟังก์ชันสหสมัยพันธ์แบบอโต พบร่วมกับข้อมูลราคาขายของข้าวโพดเลี้ยงสัตว์รวมรุ่นทั้ง 7 อำเภอในจังหวัดตาก ได้แก่ อำเภอแม่สอด อำเภอแม่รำมาด อำเภอพับพระ อำเภออุ้มพาง อำเภอท่าสองยาง อำเภอวังเจ้า และอำเภอสามเงา เป็นอนุกรมเวลาที่มีถูกต้องแบบรายเดือน เว้นแต่อำเภอเมืองตากและอำเภอบ้านตากเท่านั้น ที่เป็นอนุกรมเวลาที่มีถูกต้องแบบรายเดือนเฉพาะข้อมูลราคาขายของข้าวโพดเลี้ยงสัตว์รุ่น 1 ซึ่งจะเห็นได้ว่าข้อมูลราคาขายของข้าวโพดเลี้ยงสัตว์ในจังหวัดตากโดยส่วนใหญ่เป็นอนุกรมเวลาที่มีถูกต้องแบบรายเดือนที่ไม่มีแนวโน้มกิดขึ้น และวัดประสิทธิภาพความถูกต้องของผลการพยากรณ์ด้วยร้อยละของค่าลัมบูร์น์ของค่าคลาดเคลื่อนโดยเฉลี่ย (MAPE) ค่าลัมบูร์น์ของค่าคลาดเคลื่อนโดยเฉลี่ย (MAD) และค่าคลาดเคลื่อนกำลังสองโดยเฉลี่ย (MSD)

ผลการวิจัยพบว่า เทคนิค naïve สำหรับข้อมูลอนุกรมเวลาที่มีถูกต้อง (SNF) และเทคนิคค่าเฉลี่ยเคลื่อนที่แบบถ่วงน้ำหนัก (WMA) มีประสิทธิภาพในการพยากรณ์ข้อมูลที่มีถูกต้องดีกว่าเทคนิคปรับเรียนเอกสารชี้โพแนวเชิงลึกของวินเทอร์ (WES) โดยที่เทคนิค naïve สำหรับข้อมูลอนุกรมเวลาที่มีถูกต้อง (SNF) ให้ผลการพยากรณ์แม่นยำที่สุด เนื่องจากให้ผลการพยากรณ์ที่มีค่าความคลาดเคลื่อนต่ำที่สุด เมื่อเปรียบเทียบกับเทคนิคทุกด้วยในทุกอำเภอแล้ว และเทคนิคค่าเฉลี่ยเคลื่อนที่แบบถ่วงน้ำหนัก (WMA) เป็นเทคนิคที่ให้ผลการพยากรณ์โดยส่วนใหญ่ใกล้เคียงกับข้อมูลจริงมากที่สุด เนื่องจากมีหลายอำเภอที่เทคนิคนี้สามารถให้ผลการพยากรณ์ที่มีค่าความคลาดเคลื่อนต่ำที่สุด ได้แก่ อำเภอแม่สอด อำเภออุ้มพาง อำเภอท่าสองยาง อำเภอเมืองตาก อำเภอสามเงา และอำเภอบ้านตาก

และในงานวิจัยนี้ ยังได้ตัวแบบที่เหมาะสมสำหรับการพยากรณ์ราคาขายของข้าวโพดเลี้ยงสัตว์ ใน 9 อำเภอของจังหวัดตาก จากเทคนิคการพยากรณ์ทั้ง 3 ได้แก่ สมการที่ (2) จากเทคนิค naïve สำหรับข้อมูลอนุกรมเวลาที่มีถูกต้อง (SNF), สมการที่ (3) จากเทคนิคค่าเฉลี่ยเคลื่อนที่แบบถ่วงน้ำหนัก (WMA) โดยให้  $n = 2$  เมื่อต้องการพยากรณ์ราคาขายของข้าวโพดเลี้ยงสัตว์ในอำเภออุ้มพาง อำเภอท่าสองยาง และอำเภอเมืองตาก และให้  $n = 12$  เมื่อต้องการพยากรณ์ราคาขายของข้าวโพดเลี้ยงสัตว์ในอำเภอแม่สอด อำเภอแม่รำมาด อำเภอพับพระ อำเภอวังเจ้า อำเภอสามเงา และอำเภอบ้านตาก และ สมการที่ (6) จากเทคนิคปรับเรียนเอกสารชี้โพแนวเชิงลึกของวินเทอร์ (WES) โดยมีค่าลัมป์ประสิทธิ์ในการปรับเรียน ( $\alpha$ ) และค่าลัมป์ประสิทธิ์ในการปรับถูกต้อง ( $\gamma$ ) ตามตารางที่ 3

## กิตติกรรมประกาศ

ขอขอบพระคุณสำนักงานเกษตรจังหวัดตาก ที่อนุเคราะห์ข้อมูลราคาขายของข้าวโพดเลี้ยงสัตว์รุ่น 1 และรุ่น 2 ในเขตพื้นที่จังหวัดตาก และขอขอบพระคุณนางสาวกรรณิกา เครือทัน หัวหน้าศูนย์ภาษา

มหาวิทยาลัยเทคโนโลยีราชมงคลล้านนา ตาก ที่กรุณาช่วยให้คำแนะนำ ตรวจสอบ และแก้ไข บทคัดย่อ ทั้งภาษาไทยและภาษาอังกฤษ

## References

- [1] The Secretariat of The House of Representatives. (2015). **Digital Economy**. Access (4 April 2018). Available ([http://library2.parliament.go.th/ejournal/content\\_af/2558/mar2558-2.pdf](http://library2.parliament.go.th/ejournal/content_af/2558/mar2558-2.pdf)) (in Thai)
- [2] Niruttikul, N. (2016). **Sales Forecasting**. 8<sup>th</sup> ed. Bangkok : Kasetsart University Press (in Thai)
- [3] Office of Agricultural Economics. (2017). **Agricultural Statistics of Thailand 2016**. Access (4 April 2018). Available ([http://www.oae.go.th/public\\_stat.html](http://www.oae.go.th/public_stat.html)) (in Thai)
- [4] Tak Provincial Agriculture and Cooperatives Office. (2017). **Development plan of Agriculture and Cooperatives in Tak province (2017-2021)**. Access (4 April 2018). Available (<http://www.tak.doae.go.th/index.html>) (in Thai)
- [5] Thairath Online. (2016). **The dramatically lower field corn price in Tak province**. Access (4 April 2018). Available (<https://www.thairath.co.th/content/712893>) (in Thai)
- [6] National Famers Council. (2016). **Annual Report 2016**. Access (4 April 2018). Available ([http://www.nfctak.com/images/file\\_document/F00027.pdf](http://www.nfctak.com/images/file_document/F00027.pdf)) (in Thai)
- [7] National Famers Council. (2013). **Annual Report 2013**. Access (4 April 2018). Available ([http://www.nfctak.com/images/file\\_document/F00026.pdf](http://www.nfctak.com/images/file_document/F00026.pdf)) (in Thai)
- [8] Thongkhajorn, S. (2013). **Appropriate Forecasting Technique, A Case Study of Steel Pipe Factory for Automobile Industry**. M. Eng. Thesis, Industrial Management Engineer King Mongkut's University of Technology North Bangkok (in Thai)
- [9] Theeraviriya, C. (2017). A Comparison of the Forecasting Method for Electric Energy Demand in Nakhonphanom Province. **Naresuan University Journal: Science and Technology**. Vol. 25, No. 4, pp. 124-137 (in Thai)
- [10] Chuentawat, R. Ruangudomsakul, C. Kerdprasop, N. and Kerdprasop, K. (2016). Time Series Analysis of Electrical Distribution Units to Find a Suitable Forecasting Model with R Language. **RMUTI Journal Science and Technology**. Vol. 9, No. 3, pp. 25-41 (in Thai)
- [11] Schunn, C. D., & Wallach, D. (2005). **Evaluating Goodness-of-Fit in Comparison of Models to Data**. In W. Tack (Ed.), Psychologie der Kognition: Reden und Vorträge anlässlich der Emeritierung von Werner Tack (pp. 115-135). Saarbrueken, Germany : University of Saarland Press.
- [12] Keerativibool, W. (2015). Forecasting Model for the Export Values of Canned Food through Customs Department in Southern Thailand. **RMUTI Journal Science and Technology**. Vol. 8, No. 3, pp. 72-89 (in Thai)



การพัฒนาเศรษฐกิจฐานขีวภาพ: การเปลี่ยนวัสดุเหลือใช้ของข้าว อ้อย และปาล์มน้ำมันเป็นผลิตภัณฑ์ที่มีมูลค่าเพิ่ม

## Development of the Bio-Based Economy: Conversion of Rice, Sugar Cane and Oil Palm Residues to Value-Added Products

อาทิตย์ อศวสุข<sup>1\*</sup> นิภาวรรณ เป็งกลาง<sup>1</sup> พัสรารภรณ์ กิจศิริ<sup>1</sup> รัชดาวรรณ ตามกลาง<sup>1</sup> และธิติพร วัฒนกุล<sup>2</sup>

Received: January, 2018; Accepted: February, 2018

### บทคัดย่อ

ประเทศไทย 4.0 เป็นโมเดลทางเศรษฐกิจที่มุ่งเน้นแนวคิดเรื่องการขับเคลื่อนที่คนส่วนใหญ่มีส่วนร่วม อย่างเท่าเทียมและทั่วถึง การขับเคลื่อนผ่านการสร้างและยกระดับผลิตภัณฑ์ และการขับเคลื่อนที่เป็นมิตร กับลิ่งแวงคล้อมอย่างยั่งยืนเพื่อเพิ่มขีดความสามารถในการแข่งขันและการพัฒนาเศรษฐกิจของประเทศไทย ได้ไม่เด่นนี้เศรษฐกิจฐานขีวภาพสามารถสร้างตลาดใหม่สำหรับผู้ผลิตทางการเกษตร เพิ่มนวัตกรรม ในการผลิตในประเทศ และการดันการเติบโตทางเศรษฐกิจที่ยั่งยืน บทความนี้จะเน้นถึงการเปลี่ยนวัสดุ เหลือใช้ทางการเกษตร (ได้แก่ ข้าว อ้อย ปาล์มน้ำมัน) เป็นผลิตภัณฑ์ที่มีมูลค่าเพิ่ม (เช่น สารเติมแต่ง ในอาหาร เครื่องสำอาง พลังงาน สารเคมี วัสดุ และยา) การเปลี่ยนแปลงหลักเกี่ยวกับการประรูป วัสดุเหลือใช้ทางการเกษตรด้วยกระบวนการทางความร้อน ชีวเคมี และเคมี บทความนี้ไม่เพียงแต่แสดง ศักยภาพในการพัฒนาเทคโนโลยีเพื่อการเปลี่ยนวัสดุเหลือใช้ทางการเกษตรเท่านั้น แต่ยังเป็นแนวทาง ในการทำให้สามารถดึงประเทศไทยออกจากภัยด้วยรายได้ปานกลาง และพัฒนาเป็นประเทศที่มีรายได้สูง

คำสำคัญ : เศรษฐกิจฐานขีวภาพ; วัสดุเหลือใช้ทางการเกษตร; ผลิตภัณฑ์ที่มีมูลค่าเพิ่ม; ประเทศไทย 4.0

<sup>1</sup> Innovative Materials for Energy and Environment Research Group, Faculty of Sciences and Liberal Arts, Rajamangala University of Technology Isan, Nakhon Ratchasima

<sup>2</sup> Department of Science Service, Ministry of Science and Technology, 75/7 Rama VI Road, Ratchathewi, Bangkok 10400

\* Corresponding Author E - mail Address: ausavasukhi@gmail.com

## Abstract

Thailand 4.0 is an economic model that focuses on the concept of inclusive, productive and green growth engine to enhance the country's competitiveness and economic development. Under the model, the bio-based economy can generate new markets for agricultural producers, boost innovation in domestic manufacturing, and stimulate sustainable economic growth. This article focuses on the conversion of agricultural residues (i.e., rice, sugar cane and oil palm residues) into value-added products (e.g., food additive, cosmetic, energy, chemicals, materials and pharmaceutical products). The key conversion involved in the processing of agricultural residues are thermochemical, biochemical and chemical process. This paper would provide not only a potential to develop a technology for agricultural residues conversion, but also a guide for pulling Thailand out of the middle-income trap and developing it as a high-income country.

**Keywords:** Bio-Based Economy; Agricultural Residues; Value Added Products; Thailand 4.0

## บทนำ

การพัฒนาเศรษฐกิจและอุตสาหกรรมของประเทศไทยนั้นมีการพัฒนามาอย่างต่อเนื่อง โดยในยุคแรกเน้นการพัฒนาประเทศด้วยการล่งเสริมการพัฒนาทางด้านการเกษตร เนื่องจากประเทศไทยเป็นประเทศที่มีความอุดมสมบูรณ์ทางด้านทรัพยากรธรรมชาติ และความหลากหลายทางชีวภาพ การพัฒนาในลำดับต่อมา มีการนำเทคโนโลยีเข้ามาช่วยในการบวนการผลิต มีการพัฒนาทางด้านอุตสาหกรรมเบา และอุตสาหกรรมหนัก เช่น อุตสาหกรรมยานยนต์ อุตสาหกรรมอิเล็กทรอนิกส์ อุตสาหกรรมการแปรรูปอาหาร ซึ่งเป็นอุตสาหกรรมที่ประเทศไทยมีศักยภาพในการผลิต และเป็นอุตสาหกรรมที่สามารถสร้างมูลค่าเพิ่มทางเศรษฐกิจ ซึ่งถ้าหากไม่มีการพัฒนาต่อยอดด้วยเทคโนโลยี และนวัตกรรมใหม่ อุตสาหกรรมกลุ่มนี้จะถึงจุดอิ่มตัว และมีความสามารถในการเติบโตที่ต่ำ (First S-Curve) แม้ว่าประเทศไทยจะมีการพัฒนาทางด้านเศรษฐกิจ และอุตสาหกรรมมาอย่างต่อเนื่อง อย่างไรก็ตามการพัฒนาดังกล่าวยังไม่สามารถทำให้ประเทศไทยก้าวข้ามผ่านกับดักประเพณีได้ปานกลาง (Middle Income Trap) กับดักความไม่เท่าเทียม (Inequality Trap) และกับดักความไม่สมดุลของการพัฒนา (Imbalance Trap) ปัจจุบันรัฐบาลจึงได้มุ่งนโยบายประเทศไทย 4.0 (Thailand 4.0) [1] ซึ่งเป็นเศรษฐกิจที่ขับเคลื่อนด้วยเทคโนโลยี ความคิดสร้างสรรค์ และนวัตกรรม แนวทางหนึ่งของการพัฒนาดังกล่าวทำให้เกิดการพัฒนาอุตสาหกรรมอนาคต (New S-Curve) ได้แก่ อุตสาหกรรมหุ่นยนต์ (Robotics) อุตสาหกรรมการบิน และโลจิสติกส์ (Aviation and Logistics) อุตสาหกรรมดิจิทัล (Digital) อุตสาหกรรมการแพทย์ครบวงจร (Medical Hub) และอุตสาหกรรมเชื้อเพลิงชีวภาพและเคมีชีวภาพ (Biofuels and Biochemical) [2] ซึ่งในบทความนี้จะเน้นการพัฒนาเศรษฐกิจฐานชีวภาพ (Bio-Based Economy) เพื่อเป็นเครื่องมือขับเคลื่อนในการพัฒนาเศรษฐกิจของประเทศไทย โดยใช้การพัฒนาที่เป็นฐานเดิมจากการพัฒนาทางด้านการเกษตร ทั้งนี้การพัฒนา

เศรษฐกิจฐานชีวภาพจะมุ่งเน้นการส่งเสริมการใช้ผลผลิตทางการเกษตรในด้านใหม่ ๆ เพื่อสร้างมูลค่าเพิ่ม เน้นการเสริมสร้างประสิทธิภาพทางการผลิตและศักยภาพของภาคเกษตรกรรม และการก่อตั้ง อุตสาหกรรมใหม่ ๆ ด้ังนั้นในบทความนี้จะเน้นการนำเสนอวิจัยที่สนับสนุนการพัฒนาเศรษฐกิจ ฐานชีวภาพ โดยนำเสนอองานวิจัยที่เกี่ยวข้องกับการแปรรูปวัสดุเหลือใช้ทางการเกษตรที่ประเทศไทยมี ศักยภาพในการผลิต ได้แก่ ข้าว อ้อย และปาล์มน้ำมันให้เป็นผลิตภัณฑ์อุตสาหกรรมที่มีมูลค่าสูงมากขึ้น (Value-Added Products) โดยมุ่งหวังว่าทบทวนนี้จะเป็นแนวทางให้เกิดการสร้างองค์ความรู้ทางด้าน วิทยาศาสตร์ เทคโนโลยี และนวัตกรรมเพื่อเพิ่มขีดความสามารถในการแข่งขันของประเทศไทย เพื่อทำให้เกิด การพัฒนาทางด้านเศรษฐกิจเพื่อแก้ไขปัญหาทางด้านความเหลื่อมล้ำในด้านต่าง ๆ โดยเฉพาะอย่างยิ่ง การยกระดับคุณภาพชีวิตของเกษตรกรไทยผ่านการพัฒนาทางด้านเศรษฐกิจฐานชีวภาพ

### ศักยภาพของข้าว อ้อย และปาล์มน้ำมันในการพัฒนาเศรษฐกิจฐานชีวภาพ

เกษตรกรรมยังคงมีบทบาทสำคัญต่อการพัฒนาเศรษฐกิจ และอุตสาหกรรมของประเทศไทย เนื่องจากเป็น พื้นฐานทางเศรษฐกิจที่สำคัญในการสร้างรายได้ให้กับเกษตรกรซึ่งเป็นคนส่วนใหญ่ของประเทศไทย โดยจาก ข้อมูลสถิติการเกษตรของประเทศไทย ปี พ.ศ. 2559 [3] พบว่าพืชเศรษฐกิจที่ประเทศไทยมีศักยภาพ 在การผลิตได้แก่ อ้อย ข้าว และปาล์มน้ำมัน โดยมีผลผลิตต่อปีดังแสดงในตารางที่ 1

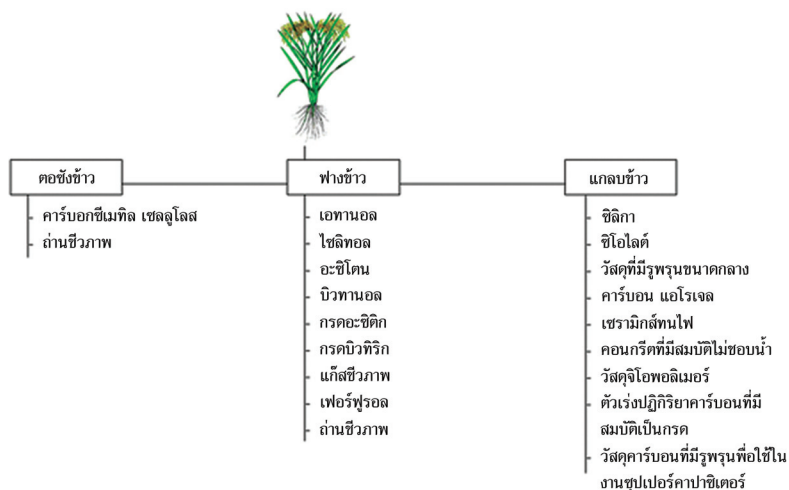
ตารางที่ 1 ผลผลิตของข้าว อ้อย และปาล์มน้ำมัน [3]

ปี	ผลผลิต (1,000 ตัน)		
	ข้าว	อ้อย	ปาล์มน้ำมัน
2555	38,102	98,400	11,312
2556	36,762	100,096	12,435
2557	31,617	103,697	12,473
2558	27,421	106,333	12,047
2559	31,944	94,064	10,997
เฉลี่ย	33,169	100,518	11,853

ผลผลิตทางการเกษตรดังกล่าวส่วนหนึ่งล้วนออกไปยังต่างประเทศสร้างมูลค่าทางเศรษฐกิจให้กับ ประเทศไทยเป็นหลัก อย่างไรก็ตามในการแปรรูปผลผลิตทางการเกษตรจะมีวัสดุเหลือใช้ เกิดขึ้นจำนวนมากนั่นเองด้วย กระบวนการแปรรูปวัสดุเหลือใช้ทางการเกษตรให้เป็นผลิตภัณฑ์ที่มีมูลค่าเพิ่มขึ้น สามารถทำได้หลาย方法วิธี โดยเฉพาะอย่างยิ่งการประยุกต์ใช้เทคโนโลยีทางความร้อน ชีวเคมี และเคมี เป็นวิธีที่ได้รับความสนใจเป็นอย่างมาก เช่น กระบวนการไฟโรไลซีส (Pyrolysis) การหมัก การสกัด การสังเคราะห์ และการตัดแปรสมบัติของวัสดุของสารตั้งต้น เพื่อผลิตเป็นพลังงานทางเลือก สารเคมี สารเติมแต่ง ตัวเร่งปฏิกิริยา และตัวคุณภาพ

## การเปลี่ยนวัสดุเหลือใช้ของข้าวเป็นผลิตภัณฑ์ที่มีมูลค่าเพิ่ม

กระบวนการแปรรูปข้าวเพื่อการค้านั้น จะได้ส่วนเหลือใช้ ได้แก่ ตอซังข้าว พ芳ข้าว และแกلنข้าวอกรมา (รูปที่ 1) จากรายงานการสำรวจของกรมพัฒนาที่ดิน [4] พบว่า ในแต่ละปีมีปริมาณตอซังข้าว และ芳ข้าว ที่ได้หลังจากการเก็บเกี่ยวข้าวปีละ 50 - 60 ล้านตัน ตอซังข้าวและ芳ข้าวนี้ถือเป็นวัตถุดินที่มีมูลค่าต่ำ และไม่คุ้มค่าในการนำไปใช้ประโยชน์ต่อมา กานัก ตอซังข้าวมักถูกกำจัดโดยการเผา ซึ่งการเผาทิ้งนั้นจะส่งผลกระทบต่อ การเปลี่ยนแปลงสมบัติของดินทั้งทางด้านกายภาพ เคมี และชีวภาพ รวมถึงมลพิษทางอากาศที่เกิดจากการเผาไหม้ นอกจากนี้ยังอาจกำจัดตอซังข้าวโดยการไถกลบลงในดินเพื่อให้เกิดการย่อยสลายแล้วกลับเป็น แหล่งของอินทรีย์วัตถุและธาตุอาหารพืช หรือนำมาใช้เป็นอาหารสัตว์ ส่วน芳ข้าวนิยมนำมาแปรรูป โดยการอัดเป็นก้อน เพื่อทำเป็นอาหารสัตว์ หรือหมักเป็นปุ๋ย การแปรรูปโดยวิธีนี้ ไม่ได้เป็นการเพิ่มมูลค่า แก่ของเหลือใช้ดังกล่าวมากนัก จากการวิจัยองค์ประกอบของตอซังข้าว และ芳ข้าวพบว่า มีส่วนประกอบ ของเซลลูโลส เอเมิร์เซลลูโลส และลิกนินเป็นส่วนประกอบ [5] หากนำมาปรับสภาพด้วยสารเคมีและ/หรือ วิธีทางชีวภาพจะสามารถนำมาเปลี่ยนเป็นสารเคมีและพลังงานทดแทน



รูปที่ 1 การเปลี่ยนวัสดุเหลือใช้ของข้าวเป็นผลิตภัณฑ์ที่มีมูลค่าเพิ่ม

### การเปลี่ยนวัสดุเหลือใช้ตอซังข้าวเป็นผลิตภัณฑ์ที่มีมูลค่าเพิ่ม

จากการศึกษาทางวิจัยพบว่า มีการนำตอซังข้าว (Rice Stubble) มาเปลี่ยนเป็นสารบอกซีเมทิล เซลลูโลส (Carboxymethyl Cellulose) [6] โดยนำตัวอย่างตอซังที่ผ่านการล้าง และปรับสภาพด้วย สารละลายนโซเดียมไฮดรอกไซด์ (NaOH) และสารละลายนโซเดียมไฮโปคลอไรต์ (NaOCl) มาทำให้บวม ด้วยการแช่ในสารละลายนโซเดียมไฮดรอกไซด์กับไออกโซโซพรพานอล (Isopropanol) และนำมาราบปูนกริยา กับกรดคลอโรอะซิติก (Chloroacetic Acid) ที่อุณหภูมิท้องเป็นเวลา 30 นาที จากนั้นให้อุณหภูมิที่ 50 องศาเซลเซียส เป็นเวลา 180 นาที และผลิตภัณฑ์ที่เตรียมได้จะถูกนำมาใช้สำหรับการผลิตฟิล์ม ในไอบอร์เพลย์ม (Biopolymer Film) โดยการเติมพลาสติกเชโรร์ (Plasticizer) เพื่อปรับปรุงสมบัติของฟิล์ม จากการทดลองพบว่า สามารถใช้สารบอกซีเมทิล เซลลูโลสที่ผลิตจากตอซังข้าวทดแทนสารบอกซีเมทิล

เซลลูโลสเกรดการค้าได้มากกว่า 50 เบอร์เซ็นต์ โดยที่ฟล์มไม่มีการเปลี่ยนแปลงสมบัติเชิงกล มากไปกว่านั้น ยังสามารถนำต่อชั้นข้าวมาใช้ในการผลิตถ่านชีวภาพ (Biochar) [7] โดยการเผาในถังขนาด 200 ลิตร ที่ถูกออกแบบให้ต่อชั้นข้าวเกิดการสลายตัวด้วยความร้อนโดยไม่ใช้ออกซิเจนหรือใช้น้ำยามากที่เรียกว่า กระบวนการไฟโรไรซีส และสามารถนำต้านชีวภาพที่เตรียมได้เนماใช้เป็นวัสดุในการอุ่นน้ำ

#### การเปลี่ยนวัสดุเหลือใช้ฟางข้าวเป็นผลิตภัณฑ์ที่มีมูลค่าเพิ่ม

ส่วนฟางข้าว (Rice Straw) นิยมนำมาปรับรูปเพื่อเพิ่มมูลค่าโดยผ่านกระบวนการหมักให้ได้ ผลิตภัณฑ์เป็นอ Ethanol และไชลิโอล [8] โดยจะนำฟางข้าวมาหั่น ล้างทำความสะอาด และทำให้แห้ง จากนั้นจะนำมารับสภาพด้วยกรดชัลฟิวริกเพื่อไฮโดรไลซ์เอมิเซลลูโลส และกำจัดลิกนิน หลังจากปรับสภาพด้วยกรดจะนำมาปั่นเที่ยง กากที่ได้จะถูกนำไปล้าง อบ และบด ส่วนของเหลวจะถูกนำไปประ夷เพื่อเพิ่มความเข้มข้น และนำมาผ่านกระบวนการดีทอกซิฟิเคชัน (Detoxification) ไฮโดรไลซ์ด้วยเอนไซม์ (Enzymatic Hydrolysis) และกระบวนการหมักอย่างต่อเนื่อง (Continuous Co-Fermentation) โดยในขั้นตอนการหมักนั้น *S. cerevisiae* NCIM 3090 จะให้อทานอความเข้มข้นสูงที่สุดที่ 66.4 กรัมต่อลิตร ในขณะที่ *C. tropicalis* NCIM 3119 จะให้ไชลิโอลความเข้มข้นสูงที่สุดที่ 9.9 กรัมต่อลิตร สำหรับในกรณีของการผลิตอะซิโนน บิวทานอล อทานอล กรดอะซิติก และกรดบิวทิริก [9] จะนำฟางข้าวมาปรับสภาพด้วยตัวทำละลายอินทรีย์ (Organosolv Pretreatment) ก่อนที่จะนำมาไฮโดรไลซ์ด้วยเอนไซม์ และหมักโดยใช้ *Clostridium acetobutylicum* ซึ่งการนำฟางข้าวที่ปรับสภาพที่อุณหภูมิ 180 องศาเซลเซียส เป็นเวลา 30 นาที ใช้สารป้อนของแข็งจำนวน 5 เบอร์เซ็นต์โดยน้ำหนักจะให้ผลิตภัณฑ์เป็นกลูโคสจำนวน 46.2 เบอร์เซ็นต์ ซึ่งเมื่อผ่านการหมักจะให้บิวทานอล 80.3 อะซิโนน 21.1 อทานอล 22.5 กรดอะซิติก 18.6 และกรดบิวทิริก 19.3 กรัมต่อกิโลกรัมของฟางข้าว หากไปกว่านั้นยังมีการศึกษาการเปลี่ยนฟางข้าว เป็นแก๊สชีวภาพ [10] โดยใช้ถังหมักชีวภาพ (Bioreactor) ขนาด 300 ลูกบาศก์เมตร ซึ่งพบว่าสามารถผลิตแก๊สชีวภาพได้ 323 ลูกบาศก์เมตรต่อตันของฟางข้าวแห้ง หากไปกว่านั้นยังสามารถนำฟางข้าวมาเปลี่ยนเป็นเพนโตส (Pentose) และนำมาทำปฏิกิริยาไซโคลดี้ไฮเดรชัน (Cyclodehydration) เป็นเฟอร์ฟูรอล (Furfural) [11] โดยใช้กรดชัลฟิวริกเจือจางเป็นตัวเร่งปฏิกิริยา โดยให้ปริมาณเฟอร์ฟูรอล 71 กรัมต่อกิโลกรัมของฟางข้าวแห้ง นอกจากนี้ยังมีการศึกษาการนำฟางข้าวไปใช้ในการผลิตถ่านชีวภาพ (Biochar) [7] โดยผ่านกระบวนการไฟโรไรซีสเป็นเดียวกันในกรณีของการผลิตถ่านชีวภาพโดยใช้ต่อชั้นข้าว

#### การเปลี่ยนวัสดุเหลือใช้แกลบข้าวเป็นผลิตภัณฑ์ที่มีมูลค่าเพิ่ม

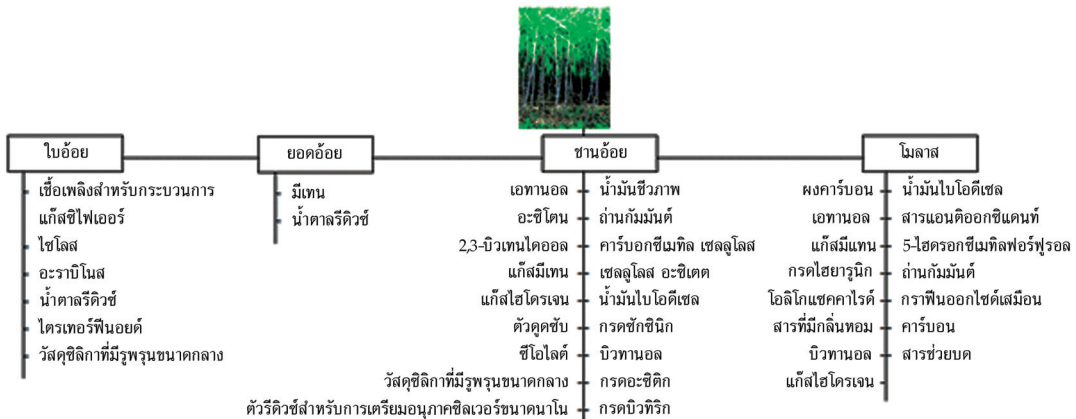
แกลบข้าว (Rice Husk) เป็นผลิตภัณฑ์พอลอยได้อีกประเภทหนึ่งซึ่งได้จากการลอกเปลือกข้าว มีองค์ประกอบส่วนใหญ่เป็นชิลิกามากกว่า 60 เบอร์เซ็นต์ และมีการบอนในช่วง 10 - 40 เบอร์เซ็นต์ และมีแร่ธาตุอื่น ๆ อิกเล็กน้อย [12] โดยปกติแกลบข้าวจะถูกนำมาใช้เป็นวัสดุปรับปรุงดิน ใช้ในฟาร์มเลี้ยงสัตว์ นอกจากราคาต้นน้ำแล้วยังถูกนำมาใช้เป็นเชื้อเพลิงสำหรับผลิตพลังงาน [13] การพัฒนาแกลบข้าวให้เป็นผลิตภัณฑ์ที่มีมูลค่าเพิ่มสามารถทำได้โดยการศึกษาการลังเคราะห์ชิลิกาที่มีความบริสุทธิ์สูง [14] โดยใช้กระบวนการปรับสภาพทางเคมี เช่น การปรับสภาพด้วยกรดชัลฟิวริก และของเหลวไอออนิก (Ionic Liquid) ซึ่งจะทำให้ได้ชิลิกาที่มีความบริสุทธิ์สูงถึง 99.6 และ 99.5 เบอร์เซ็นต์ หากไปกว่านั้นในกรณีที่มีการปรับสภาพด้วยของเหลวไอออนิกสามารถเพิ่มพื้นที่ผิว และปริมาตรรูพรุนเป็น 1.9 และ 2.4 เท่า ตามลำดับ รวมถึงยังสามารถนำแกลบข้าวมาสักดิ์ให้เป็นชิลิกาเพื่อใช้เตรียมชีโอลาย特 [15] - [16] และวัสดุที่มีรูพรุนขนาดกลาง (Mesoporous Material) [17] - [19] และสามารถนำแกลบข้าวไปเตรียมเป็นคาร์บอน

แอโรเจลที่มีรูพรุนสูง (Highly Porous Carbon Aerogel) [20] โดยนำแกลบข้าวไปทำการไฟโรไลซ์ที่อุณหภูมิ 700 องศาเซลเซียส เป็นเวลา 6 ชั่วโมง และนำเอ้าแกลบข้าวที่ได้ไปสักด้วยสารละลายโซเดียมไฮดรอกไซด์ และนำมาสังเคราะห์เป็นพอลิเมอร์แอโรเจลโดยใช้วิธีการพอลิเมอไรเซชันแบบโซล-เจล (Sol-Gel Polymerization) ในไข่ของตัวท่าละลายที่มีด้วย จากนั้นพอลิเมอร์คอมโพลิเต็มแอโรเจลจะถูกเปลี่ยนเป็นคาร์บอน/ชิลิกา และคาร์บอน/ชิลิกา/ชิลิกอนการวินด์โดยการไฟโรไลซ์ที่อุณหภูมิ 800 องศาเซลเซียส และการรับอเทอร์มัลรีดักชัน (Carbothermal Reduction) ที่อุณหภูมิ 1,500 องศาเซลเซียส ตามลำดับรวมถึงสามารถนำแกลบข้าวมาใช้ในอุตสาหกรรมเซรามิกส์ทนไฟ (Refractory Ceramic) [21] โดยนำแกลบข้าวมาเผาที่อุณหภูมิต่ำกว่า 650 องศาเซลเซียส จนได้ชิลิกา และนำชิลิกาที่เตรียมได้นี้มาใช้ทดแทนแร่เกาลิน (Kaolin) รวมถึงการใช้เอ้าแกลบข้าวมาเคลือบบนผิวของคอนกรีตเพื่อเพิ่มสมบัติไม่ชอบน้ำ (Superhydrophobic) [22] โดยนำเอ้าแกลบมาทำปฏิกิริยา กับสารประกอบไฮเลน ( $1H,1H,2H,2H$ -perfluorodecyl triethoxy silane) และนำมาจีดเคลือบที่ผิวของคอนกรีต คอนกรีตที่เตรียมได้จะมีมุมล้มผัส (Contact Angle) 152.3 องศา ทำให้สามารถป้องกันผิวของคอนกรีตไม่ให้ถูกกัดกร่อนโดยน้ำ ทำให้สามารถยึดอายุคอนกรีตได้ นอกจากนี้ยังอาจใช้เอ้าแกลบร่วมกับกากตะกอนที่ได้จากการบำบัดน้ำเสีย (Water Treatment Sludge) สำหรับใช้เตรียมวัสดุจิโอพอลิเมอร์ [23] โดยเอ้าแกลบจะมีองค์ประกอบหลักเป็นชิลิกา 89.51 เปอร์เซ็นต์ ในขณะที่หากตะกอนที่ได้จากการบำบัดน้ำเสียจะมีองค์ประกอบเป็นชิลิกา และอلومินาในปริมาณ 34.92 และ 34.11 เปอร์เซ็นต์ ซึ่งสารทั้งสองนี้จะช่วยปรับอัตราส่วนของชิลิกาต่ออلومินาให้เหมาะสมเพื่อใช้ทดแทนเมตาเกาลิน (Metakaolin) ในการเตรียมวัสดุจิโอพอลิเมอร์ สำหรับกรณีของการเตรียมเป็นวัสดุคุาร์บอนสามารถทำได้โดยนำแกลบข้าวมาผสมกับฟีโนลและพส์กับกรดชัลฟิวเริก จากนั้นนำมาให้ความร้อน และทำการบ่อนเนชัน (Carbonation) ที่อุณหภูมิ 240 องศาเซลเซียส เป็นเวลา 2 ชั่วโมง จะได้ตัวเร่งปฏิกิริยา คาวบอนที่มีสมบัติเป็นครดสำหรับการร่างปฏิกิริยาการผลิตใบโอดีเซล [24] หรือการนำแกลบข้าวมาไฟโรไลซ์ที่อุณหภูมิ 800 องศาเซลเซียส และนำมาสักด้วยโซเดียมไฮดรอกไซด์เพื่อเตรียมเป็นวัสดุคุาร์บอนที่มีรูพรุนเพื่อใช้ในงานชุปเปอร์คาปิเตอร์ (Supercapacitor) [25]

จากการศึกษางานวิจัยที่เกี่ยวข้องกับการเปลี่ยนวัสดุเหลือใช้ของข้าว ได้แก่ ตอขังข้าว พบฯ สามารถนำมาเปลี่ยนเป็นผลิตภัณฑ์ที่มีมูลค่าเพิ่ม คือ かるบออกซิเมทิล เซลลูโลส และถ่านชีวภาพ ในขณะที่การเปลี่ยนฟางข้าวเป็นผลิตภัณฑ์ที่มีมูลค่าเพิ่ม สามารถทำได้โดยการผลิตเป็น.ethanol ชิลิโอล อะซิโติน บิวานอล กรดอะซิติก กรดบิทิริก แก๊สชีวภาพ เฟอร์ฟูรอล และถ่านชีวภาพ มากไปกว่านั้นยังมีการศึกษาการเปลี่ยนแกลบข้าวเป็นผลิตภัณฑ์ที่มีมูลค่าเพิ่มโดยการนำมาผลิตเป็นชิลิกา ชีโอลิเต วัสดุที่มีรูพรุนขนาดกลาง คาวบอน แอโรเจล เซรามิกส์ทนไฟ คอนกรีตที่มีสมบัติไม่ชอบน้ำ วัสดุจิโอพอลิเมอร์ ตัวเร่งปฏิกิริยา คาวบอนที่มีสมบัติเป็นครด และวัสดุคุาร์บอนที่มีรูพรุนเพื่อใช้ในงานชุปเปอร์คาปิเตอร์ (รูปที่ 1)

#### การเปลี่ยนวัสดุเหลือใช้ของอ้อยเป็นผลิตภัณฑ์ที่มีมูลค่าเพิ่ม

อ้อยเป็นพืชเศรษฐกิจหลักสำคัญของประเทศไทย ซึ่งรัฐบาลปัจจุบันให้การสนับสนุนเพื่อพัฒนาอุตสาหกรรม 4.0 จากการศึกษาพบว่าในอุตสาหกรรมอ้อยและน้ำตาลให้วัสดุเหลือใช้เป็น ใบอ้อย ยอดอ้อย ชานอ้อย และโมลัส (Molasses) หรือกากน้ำตาล (รูปที่ 2) จึงมีความพยายามที่จะนำวัสดุเหลือใช้มาสร้างมูลค่าเพิ่มให้แก่อุตสาหกรรม



รูปที่ 2 การเปลี่ยนวัสดุเหลือใช้ของอ้อยเป็นผลิตภัณฑ์ที่มีมูลค่าเพิ่ม

### การเปลี่ยนวัสดุเหลือใช้ในอ้อยเป็นผลิตภัณฑ์ที่มีมูลค่าเพิ่ม

ตัวอย่างการนำในอ้อย (Sugarcane Leaf) มาสร้างมูลค่าเพิ่ม ได้แก่ การนำมาใช้เป็นเชื้อเพลิงสำหรับกระบวนการแก๊สไฟฟ้อร์ (Gasifier) [26] ซึ่งในการศึกษานี้นอกจากจะใช้อ้อยแล้วยังสามารถใช้ชานอ้อยเป็นเชื้อเพลิงได้อีกด้วย นอกจากนี้ยังมีการศึกษาการเปลี่ยนในอ้อยเป็นน้ำตาล [27] โดยใช้กระบวนการไออกซิโตรไลซ์ด้วยกรดชัลฟิวริกโดยดำเนินการในภาชนะลังเคราะห์ความดันสูง (Autoclave) ที่อุณหภูมิ 122 องศาเซลเซียส เป็นเวลา 15 นาที ได้ผลิตภัณฑ์เป็นไอกซิโลส 17 กรัมต่อลิตร กลูโคส 3 กรัมต่อลิตร และอะราบินอส (Arabinose) 2 กรัมต่อลิตรจากในอ้อยจำนวน 100 กรัมต่อลิตร นอกจากนี้ยังมีการเปลี่ยนในอ้อยเป็นน้ำตาลรีดิวช์ (Reducing Sugar) [28] โดยการนำไปอุ่นมาปรับสภาพด้วยเกลืออนินทรีย์ เช่น โซเดียมคลอไรด์ ซิงค์คลอไรด์ และไอร์โธน(III) คลอไรด์ภายใต้การระคุนด้วยไมโครเวฟ ซึ่งการใช้เกลือไอร์โธน(III) คลอไรด์ความเข้มข้น 2 มิลลาร์ การระคุนด้วยไมโครเวฟที่กำลัง 700 วัตต์ เป็นเวลา 3.5 นาที เมื่อผ่านกระบวนการย่อยสลายด้วยเอนไซม์จะให้ปริมาณน้ำตาลรีดิวช์สูงสุดที่ 0.406 กรัมต่อกิโลกรัม ของในอ้อย หรืออาจนำมาผลิตเป็นไลโปฟิลิกโมเลกุล (Lipophilic Molecule) หรือแวกซ์ [29] โดยการสกัดในอ้อยด้วยการนึนไก่โดยใช้ในสภาพวิถลุตยังไวด์ (Supercritical Fluid) โดยสารที่สกัดได้จะมีปริมาณอัลเดียต และนอร์มัล-พอลิโคชานอล (*n*-Policosanol) ต่อ แต่มีปริมาณไตรเทอฟิโนยด์ (Triterpenoids) สูงถึง 169 มิลลิกรัมต่อกิโลกรัมของแวกซ์ ซึ่งสามารถนำไปใช้ในทางการแพทย์ได้ ในขณะที่การนำเปลี่ยนอ้อยมาสกัดด้วยวิธีการนึนจะให้สารประกอบเป็นอัลเดียต และนอร์มัล-พอลิโคชานอลในปริมาณสูง และการนำชานอ้อยมาสกัดด้วยวิธีการเดียวกันจะให้สารประกอบเอกสาร์ (Ester) ในปริมาณ 37 มิลลิกรัมต่อกิโลกรัมของแวกซ์ ซึ่งสามารถนำไปใช้เป็นเครื่องสำอาง น้ำมันหล่อลื่น พลาสติไซเซอร์ เป็นต้น นอกจากนี้ยังมีการนำในอ้อยมาใช้เตรียมเป็นวัสดุซึ่ลิกาที่มีรูพรุนขนาดกลาง [30] โดยการนำไปอ้อยไปเผาที่อุณหภูมิ 650 องศาเซลเซียส เมื่อนำมาวิเคราะห์พบว่ามีปริมาณซิลิกา 80.14 เปอร์เซ็นต์ แคลเซียมออกไซด์ 6.06 เปอร์เซ็นต์ แมกนีเซียมออกไซด์ 5.02 เปอร์เซ็นต์ และแร่ธาตุอื่น ๆ อีกเล็กน้อย เล้าใบอ้อยที่เตรียมได้จะถูกนำมาใช้เป็นสารตั้งต้นในการลังเคราะห์วัสดุซึลิกาที่มีรูพรุนขนาดกลาง และนำมาปรับปรุงให้มีหมุนฟังก์ชันที่เป็นเบลท์พันผ้าเพื่อใช้เป็นตัวคุดขับนิกเกิล(II)

### การเปลี่ยนวัสดุเหลือใช้ยอดอ้อยเป็นผลิตภัณฑ์ที่มีมูลค่าเพิ่ม

ในกรณีของการศึกษาการนำยอดอ้อย (Sugarcane Top) มาสร้างมูลค่าเพิ่มทำได้โดยการศึกษากระบวนการผลิตแก๊สเมธานโดยให้เกิดการย่อยสลายทางชีวภาพ และเพิ่มประสิทธิภาพโดยการเพิ่มกระบวนการใบโบไฮเทน (Biohythane) [31] ในกระบวนการผลิต โดยจะออกแบบให้เป็นถังปฏิกิริยาน้ำดูด ถังที่ 1 จะทำการเปลี่ยนยอดอ้อยที่ผ่านการย่อยสลายทางชีวภาพให้เป็นสารอินทรีย์ที่มีลักษณะเป็นกรด (Acidogenesis) โดยจะให้แก๊สไฮโดรเจน และคาร์บอนไดออกไซด์เป็นผลิตภัณฑ์ กากที่เหลือจะถูกส่งผ่านมาอยู่ในถังที่ 2 เพื่อผลิตเป็นเมธาน (Methanogenesis) และแก๊สคาร์บอนไดออกไซด์เพิ่มขึ้น ซึ่งการทำงานร่วมกันของกระบวนการต่าง ๆ เหล่านี้จะสามารถเพิ่มปริมาณแก๊สที่ผลิตไดถึง 37.7 เปอร์เซ็นต์ นอกจากนี้ยังมีการศึกษาการผลิตน้ำตาลเพื่อใช้สำหรับการเตรียมmethanol [32] โดยการผลิตน้ำตาลทำได้โดยการปรับสภาพยอดอ้อยด้วยโซเดียมไฮดรอกไซด์ภายใต้การกระตุ้นด้วยไมโครเวฟ และเมื่อนำมาย่อยสลายด้วยเอนไซม์ จะได้ผลิตภัณฑ์เป็นน้ำตาลรีดิวช์ 0.376 กรัมต่อกรัม

### การเปลี่ยนวัสดุเหลือใช้ขานอ้อยเป็นผลิตภัณฑ์ที่มีมูลค่าเพิ่ม

ปัจจุบันขานอ้อย (Sugarcane Bagasse) ถูกนำไปใช้เป็นเชื้อเพลิงเพื่อผลิตไฟฟ้า และการผลิตไอน้ำเพื่อใช้ในโรงงานน้ำตาล การเปลี่ยนวัสดุเหลือใช้ขานอ้อยวิธีการนี้เป็นการเพิ่มมูลค่าให้กับขานอ้อย ไม่มากนัก มีงานวิจัยที่นำเสนอในมหาวิทยาลัยศึกษาการเปลี่ยนขานอ้อยเป็นผลิตภัณฑ์ที่มีมูลค่าเพิ่ม เช่น การผลิตน้ำมันชีวภาพ (Bio-Oil) [33] จากการนำขานอ้อยมาปรับสภาพด้วยกรด หรือเบส หรือทั้งกรดและเบส ก่อนที่จะนำมาผ่านกระบวนการให้ความร้อนที่อุณหภูมิ 350 - 450 องศาเซลเซียส ภายใต้บรรยากาศของไฮเดรย์ หรือออกซิเจนผสมไฮเดรย์ โดยการปรับสภาพด้วยกรดไฮดรคลอริกความเข้มข้น 2 โมลาร์ อุณหภูมิ 122 องศาเซลเซียส และนำมายังความร้อนที่อุณหภูมิ 350 องศาเซลเซียส ภายใต้บรรยากาศของไฮเดรย์ ให้น้ำมันชีวภาพความเข้มข้น 31 เปอร์เซ็นต์โดยน้ำหนักต่อน้ำหนัก ซึ่งมีค่าสูงกว่าการใช้ขานอ้อยที่ไม่ผ่านการปรับสภาพมาให้ความร้อนเพียงขั้นตอนเดียวซึ่งให้น้ำมันชีวภาพความเข้มข้น 18 เปอร์เซ็นต์โดยน้ำหนักต่อน้ำหนัก อีกวิธีการหนึ่งสำหรับการผลิตน้ำมันชีวภาพคือการนำขานอ้อยมาทำการไฟโรไลซีส และกระตุ้นด้วยการบอนไดออกไซด์ [34] โดยให้ผลิตภัณฑ์เป็นถ่าน (Char) น้ำมันชีวภาพ และแก๊สในปริมาณ 25.90 41.11 และ 32.99 เปอร์เซ็นต์ ตามลำดับ โดยการกระตุ้นด้วยการบอนไดออกไซด์จะทำให้ได้ถ่านกัมมันต์ที่มีพื้นที่ผิวสูงกว่า 900 ตารางเมตรต่อกรัม นอกจากนี้ยังมีการศึกษาการนำขานอ้อยมาใช้ในการผลิตคาร์บอนซีเมทิล เซลลูโลส [35] โดยนำขานอ้อยมาผ่านกระบวนการระเบิดด้วยไอน้ำ (Steam Explosion Process) ที่อุณหภูมิ 187.15 องศาเซลเซียส อัตราส่วนของโซเดียมไฮดรอกไซด์ต่อขานอ้อยเท่ากับ 39 เปอร์เซ็นต์น้ำหนักต่อน้ำหนัก เซลลูโลสที่เตรียมได้จะถูกนำมาทำให้บริสุทธิ์ และนำมาทำปฏิกิริยา กับกรดโมโนคลอรออะซิติกที่อุณหภูมิ 57.85 องศาเซลเซียส และเวลาในการทำปฏิกิริยา 4.01 ชั่วโมง ได้องค์การแทนที่ 1.085 นอกจากนี้ยังมีการศึกษาการนำขานอ้อยมาใช้เตรียมเซลลูโลส อะซิเตต (Cellulose Acetate; CA) [36] โดยการปรับสภาพขานอ้อยด้วยกรดซัลฟิวริก และโซเดียมไฮดรอกไซด์ จากนั้นนำมาผ่านขั้นตอนการทำคิเลทติง (Chelating) ด้วยอีดีทีเอ (Ethylenediaminetetraacetic Acid; EDTA) และฟอก (Bleaching) ด้วยไฮดรเจนเปอร์ออกไซด์เพื่อให้ได้เซลลูโลส จากนั้นทำปฏิกิริยาอะเซทิลเลชัน (Acetylation) ด้วยอะซิติกแคนอนไฮดริด (Acetic Anhydride) โดยมีองค์การแทนที่เท่ากับ 2.52 การผลิตน้ำมันใบโอดิเซลเป็นอีกหนึ่งความพยายามที่จะเพิ่มมูลค่าให้กับขานอ้อย [37] โดยนำผลิตภัณฑ์ที่เกิดขึ้นจากการไฮดรอลิกสานอ้อยมาผ่านกระบวนการหมักโดยใช้ยีสต์ *Trichosporon* sp., (RW) ซึ่งสามารถ

ผลิตภัณฑ์ได้ โดยมีองค์ประกอบส่วนใหญ่เป็นกรดไฮเดอเริก รวมถึงกรดปาร์มิติก ลิโนเลอิก และกรดสเตียริก ซึ่งน้ำมันที่ผลิตได้มีค่าซีเทนในช่วง 52.39 – 59.57 ซึ่งสามารถนำมาใช้เป็นน้ำมันใบโอลีฟได้ อีกความพิเศษของน้ำมันนี้คือการเปลี่ยนชานอ้อยเป็นผลิตภัณฑ์ที่มีมูลค่าเพิ่ม ได้แก่ การเปลี่ยนชานอ้อยเป็นกรดซัคคินิก (Succinic Acid) ซึ่งใช้เป็นสารตั้งต้นในอุตสาหกรรมเคมี [38] โดยนำชานอ้อยมาปรับสภาพด้วยกรดซัลฟิวริก และโซเดียมไฮดรอกไซด์ และนำมาผ่านการไฮโดรไลซ์โดยใช้ออนไซด์หลายชนิด จะได้น้ำตาลรีดิวช์ ซึ่งประกอบด้วย กลูโคส ไซโลส โดยใช้กลุ่มเอนไซม์ที่มีอัตราส่วนเหมาะสม ได้แก่ เซลลูแลส (Cellulase) ไซลานาส (Xylanase) เบต้า-กลูแคนาส ( $\beta$ -Glucanase) และเพกตินาส (Pectinase) ทำให้มีเปอร์เซ็นต์การไฮโดรไลซ์ของชานอ้อยที่ได้รับการปรับสภาพแล้วสูงถึง 88.5 เปอร์เซ็นต์ และใช้แบคทีเรียชนิด *Succinogenes* CCTCC M2012036 สำหรับการเปลี่ยนน้ำตาลรีดิวช์เป็นกรดซัคคินิกซึ่งมีเปอร์เซ็นต์ผลผลิตเท่ากับ 80.5 เปอร์เซ็นต์ การศึกษาการเตรียมบิวทานอลจากการหมักชานอ้อยเป็นอีกหนึ่งตัวอย่างที่น่าสนใจ [39] โดยนอกจากจะได้บิวทานอลเป็นผลิตภัณฑ์หลักแล้วยังได้ผลิตภัณฑ์เป็นกรดอะซิติก กรดบิวทิริก เอทานอล และอะซิโตนด้วย อีกงานวิจัยหนึ่งที่มีการศึกษาการเตรียม 2,3-บิวเทนไดออล (2,3-Butanediol) [40] จากชานอ้อยที่ถูกปรับสภาพด้วยสารละลายซึ่งประกอบด้วย โซเดียมคาร์บอนเนต โซเดียมซัลไฟต์ และนำมาไฮโดรไลซ์ด้วยเอนไซม์ ผลิตภัณฑ์ที่ได้จะถูกนำไปใช้สำหรับเป็นแหล่งคาร์บอนสำหรับการผลิต 2,3-บิวเทนไดออลโดยใช้แบคทีเรียชนิด *Enterobacter aerogenes* หากไปกว่านั้นยังมีการศึกษากระบวนการหมักเพื่อเปลี่ยนชานอ้อยเป็นผลิตภัณฑ์ที่มีมูลค่าเพิ่ม โดยการนำชานอ้อยมาผ่านกระบวนการไฮโซเนชัน (Ozonation) [41] เพื่อผลิตส่วนของเหลว (Liquid Fraction) ซึ่งหมายความว่าสำหรับการผลิตแก๊สเมทีน และไฮโดรเจน ด้วยกระบวนการย่อยสลายแบบไม่ใช้ออกซิเจน และส่วนของแข็ง (Solid Fraction) จะนำมาผ่านกระบวนการไฮโดรไลซ์ด้วยเอนไซม์สำหรับการผลิตเอทานอล หากไปกว่านั้นยังมีงานวิจัยที่ศึกษาการนำชานอ้อยมาใช้เป็นตัวคูดชับแมงกานีส(II) ไอออน [42] โดยสามารถเตรียมชานอ้อยเพื่อเป็นตัวคูดชับจากการนำชานอ้อยมาต้มในน้ำเดือด และล้างหลาย ๆ ครั้งเพื่อกำจัดลิ่วเจือปนและสารที่สามารถละลายออกมากได้ เช่นสารไฮฟี จำกันน้ำมารอบ และปรับสภาพด้วยกรดไฮดรคลอริก นำมาล้าง และอบจะได้ตัวคูดชับที่มีส่วนบดเท่ากัน นอกจากนี้ยังอาจเตรียมตัวคูดชับโดยการนำชานอ้อยที่ผ่านการปรับสภาพแล้วมาผ่านกระบวนการระเบิดด้วยไอน้ำ และเตรียมตัวคูดชับจากการเผาที่อุณหภูมิ 700 องศาเซลเซียส เป็นเวลา 4 ชั่วโมง [43] ตัวคูดชับที่เตรียมได้ถูกนำไปใช้ในการคูดชับกลีเซอรอลเพื่อปรับปรุงคุณภาพน้ำมันใบโอลีฟ นอกจากนี้ยังมีการใช้ชิลิกาที่เป็นส่วนประกอบในชานอ้อยสำหรับลังเคราะห์ไฮโอลิต [44] – [45] และวัสดุชิลิกาที่มีรูพรุนขนาดกลาง [46] ตัวอย่างงานวิจัยที่มีการใช้วัสดุเหลือใช้จากอุตสาหกรรมการผลิตอ้อยมาใช้ในอุตสาหกรรมหนึ่งคือการนำชานอ้อยไปใช้เป็นสารช่วยลังเคราะห์อนุภาคชิลเวอร์ขนาดนาโน (Silver Nanoparticles) [47] โดยชานอ้อยจะถูกสกัดด้วยน้ำร้อน และสารผลมระหว่างโกลูอีน/เอทานอล จำกันน้ำมารักษาต่อตัวโดยโซเดียมไฮดรอกไซด์ สารสกัดที่ได้จะทำหน้าที่เป็นตัวรีดิวช์ (Reducing Agents) และสารรักษาเสถียรภาพ (Stabilizing Agents) เมื่อได้สารสกัดแล้ว จะนำสารละลายได้แอมมีนชิลเวอร์(I) ( $[Ag(NH_3)_2]^+$ ) มาเติมลงในสารสกัดจากชานอ้อย และนำมาระคุนด้วยคลีนไมโครเวฟโดยอนุภาคของชิลเวอร์จะมีขนาดเล็กกว่าคุณย์กลางที่ 18 – 28 นาโนเมตร มีลักษณะเป็นชั้นกลม และถูกห่อหุ้มด้วยสารสกัดจากชานอ้อย (Bagasse Extract) และอนุภาคชิลเวอร์นี้จะถูกนำมาใช้ในเคราะห์ชิลเวอีน (Cystein) ในตัวอย่างเชร์ร์ม (Serum)

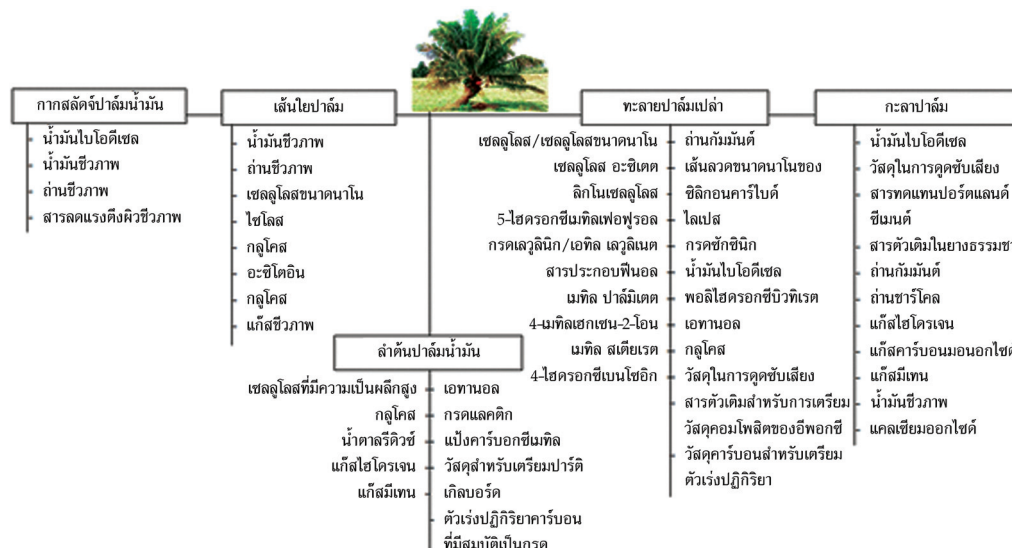
### การเปลี่ยนวัสดุเหลือใช้โมลาสเป็นผลิตภัณฑ์ที่มีมูลค่าเพิ่ม

ตัวอย่างงานวิจัยที่ศึกษาการเปลี่ยนโมลาส (Molasses) เป็นผลิตภัณฑ์ที่มีมูลค่าเพิ่ม ได้แก่ การนำโมลาสมาผ่านกระบวนการหมักเพื่อผลิตเอทานอล [48] - [49] เช่นเดียวกับในกรณีของการวนการเปลี่ยนสารชีวภาพที่เป็นวัสดุเหลือใช้จากการเกษตรอื่น ๆ รวมถึงสามารถนำโมลาสมาผ่านกระบวนการหมักโดยใช้ลักษณะกรรมแบบเบ็ดนิ่งแบบไม่ใช้ออกซิเจนแบบ 2 ขั้นตอน (Two-Stage Fixed-Bed Anaerobic Reactor) ในการผลิตแก๊สเมทีน [50] หรือสามารถนำโมลาส และ/หรือน้ำหมักข้าวโพด (Corn Steep Liquor) มาผ่านกระบวนการหมักโดยใช้ *Streptococcus zooepidemicus* ในการผลิตกรดไฮยาลูโรนิก (Hyaluronic acid) [51] ซึ่งเป็นสารที่เป็นส่วนประกอบในผลิตภัณฑ์เครื่องสำอาง น้ำตาเทียม และยารักษาอาการข้อเข่าเลื่อน หรือนำโมลาสมาผ่านกระบวนการหมักโดยใช้ *Leuconostoc mesenteroides* MTCC 10508 ใน การผลิตโอลิโกแซคคาไรด์ (Oligosaccharides) [52] นอกจากนี้ยังสามารถนำโมลาส และภาชนะจากหัวบีท (Sugar Beet Molasses) มาหมักโดยใช้ *Kluyveromyces marxianus* เพื่อใช้สำหรับการผลิตสารที่มีกลิ่นหอม (Aroma Compounds) [53] การนำโมลาสมาหมักโดยใช้ *Clostridium beijerinckii* TISTR 1461 เพื่อใช้สำหรับการผลิตบิวทานอล [54] รวมถึงการนำโมลาสมาหมักโดยใช้ *Bacillus coagulans* เพื่อใช้สำหรับการผลิตแก๊สไฮโดรเจน [55] หากไปกว่านั้นยังมีการศึกษาการผลิตในโอดีเซลจากปฏิกริยาเอสเทอราฟิโคชันโดยตรงของชีวมวลแห้งของ *Cunninghamella echinulate* โดยใช้โมลาสเป็นสารตั้งต้นของการหมักในขั้นตอนแรก ส่วนในขั้นตอนที่สองกากของ *Cunninghamella echinulate* จะถูกใช้ในการหมักเพื่อผลิตไฮโดรเจนโดย *Clostridium acetobutylicum* ATCC 824 และในขั้นตอนที่สาม กากของ *Clostridium* ซึ่งมีกรดอินทรีย์ที่ระบุเทียบกับจากุใน การผลิตเมทีน [56] นอกจากนี้ยังมีงานวิจัยที่ศึกษาการนำโมลาสมากัดด้วยคาร์บอนไดออกไซด์ในสภาวะวิกฤติยังไง ร่วมกับกระบวนการกลั่นเพื่อเตรียมสารแอนติออกซิเดนต์ (Antioxidants) ในกลุ่มอนุพันธ์ฟลาโวนอยด์ (Flavonoid Derivatives) [57] หากไปกว่านั้นโมลาสยังถูกนำมาผ่านการเร่งปฏิกริยาด้วยระบบการเร่งแบบ 2 ขั้นตอน ซึ่งประกอบด้วยการใช้กรดลิวอิส (Lewis Acid) ได้แก่ ซิงค์คลอไรด์ ( $ZnCl_2$ ) และอลูมิเนียมคลอไรด์ ( $AlCl_3$ ) และการใช้กรดเบรนส์เตด (Bronsted Acid) ได้แก่ กรดไฮโดรคลอริก (HCl) สำหรับการผลิต 5-ไฮดรอกซีเมทิลฟูรฟูรอล (5-Hydroxymethylfurfural; HMF) [58] ในกรณีของการนำโมลาสมามาใช้เตรียมวัสดุ かる์บอน มีงานวิจัยที่ศึกษาการนำโมลาสมามาใช้เตรียมกัมมันต์โดยการนำโมลาสมามาผ่านกระบวนการคาร์บอนในเชื้อ แลและกระบวนการด้วยโพแทสเซียมไฮดรอกไซด์ โดยถ่านกัมมันต์ที่เตรียมได้จะมีรูปรุนทดนาดเล็กมีพื้นที่ผิว 2,202 ตารางเมตรต่อกรัม ซึ่งสามารถนำมาใช้ในการดูดซับแก๊สเมทีนที่อุณหภูมิระหว่าง 20 - 100 องศาเซลเซียส [59] นอกจากนี้ยังมีความพยายามเตรียมวัสดุเมื่อนคอมโพลิทขนาดนาโนของพาลีโกลิกอิด-กราฟีน (Palygorskite-Graphene Like Nanocomposite) ซึ่งเตรียมจากโมลาส และใช้เคลือบพาลีโกลิกอิด (Palygorskite Clay) เป็นแม่แบบ (Template) [60] วัสดุคาร์บอนที่เตรียมได้นี้จะถูกนำมาปรับสภาพด้วยกรดเพื่อกำจัดคาร์บอนที่ไม่เป็นระเบียบ (Disorder Carbon) ที่เกิดขึ้นภายใต้การเคลือบ ผลิตภัณฑ์ที่ได้จะเรียกว่า กราฟีนออกไซด์เมื่อนคาร์บอน (Graphene Oxide-Like Carbon) ซึ่งจะถูกนำมาใช้เป็นชั้นแอโนได้สำหรับการผลิตลิเทียมแบตเตอรี่ มากไปกว่านั้นโมลาสยังถูกนำไปใช้เป็นสารช่วยบด (Grinding Aid) สำหรับผลิตปอร์ตแลนด์ซีเมนต์ [61] รวมถึงการนำโมลาสไปใช้ในการผลิตผงคาร์บอน [62] โดยการนำโมลาสมามาผ่านกระบวนการคาร์บอนในเชื้อที่อุณหภูมิ 400 องศาเซลเซียส เป็นเวลา 5 ชั่วโมง จากนั้นนำสารที่ได้มาบดเพื่อนำไปใช้เป็นสารเสริมแรง (Reinforcing Filler) ในยาง

จากการศึกษางานวิจัยที่เกี่ยวข้องกับการเปลี่ยนวัสดุเหลือใช้ของอ้อย ได้แก่ ในอ้อย พบว่าสามารถนำมาเปลี่ยนเป็นผลิตภัณฑ์ที่มีมูลค่าเพิ่ม คือ เชื้อเพลิงสำหรับกระบวนการแก๊สชีฟเฟอร์ ไฮโลส อะราบิโนส น้ำตาลรีดิวช์ ไตรเทอร์พินอยด์ และวัสดุชิลิกาที่มีรูปรุนขนาดกลาง ในขณะที่การศึกษางานวิจัยสำหรับการเปลี่ยนยอดอ้อยเป็นผลิตภัณฑ์ที่มีมูลค่าเพิ่ม คือ การศึกษาการเปลี่ยนเป็นมีเทน และน้ำตาลรีดิวช์ ส่วนในกรณีของการศึกษางานวิจัยสำหรับการเปลี่ยนชานอ้อย ได้แก่ การศึกษาการเปลี่ยนเป็นน้ำมันเชื้อเพลิง ถ่านกัมมันต์ คาร์บออกซีเมทิล เซลลูโลส เซลลูโลส อะซิเตต น้ำมันใบโอดีเซล กรดซักซินิก บิวทานอล กรดอะซิติก กรดบิวทิริก เอทานอล อะซิโตน 2,3-บิวเทนไดออล แก๊สมีเทน แก๊สไฮโดรเจน ตัวคุดชับชีโอลีต วัสดุชิลิกาที่มีรูปรุนขนาดกลาง และตัวรีดิวช์สำหรับการเตรียมอนุภาชนะเรื่องขนาดนาโนมากไปกว่าันนี้ยังมีการศึกษาการเปลี่ยนโมล่าสเป็นผลิตภัณฑ์ที่มีมูลค่าเพิ่ม ได้แก่ น้ำมันใบโอดีเซล สารแอนติออกซิเดนท์ 5-ไฮดรอกซีเมทิลเฟอร์ฟูโรล ถ่านกัมมันต์ กราฟีนออกไซด์สมேอ่นคาร์บอน สารช่วยลด ผงคาร์บอน เอทานอล แก๊สมีเทน กรดไฮยาลูโรนิก โอลิโกแซคคาไรด์ สารที่มีกลิ่นหอม บิวทานอล และแก๊สไฮโดรเจน

### การเปลี่ยนวัสดุเหลือใช้ของปาล์มน้ำมันเป็นผลิตภัณฑ์ที่มีมูลค่าเพิ่ม

ปาล์มน้ำมันเป็นพืชที่มีศักยภาพในการผลิตน้ำมันต่อพื้นที่สูงเมื่อเทียบกับพืชน้ำมันชนิดอื่น [3] ดังนั้นทำให้มีพื้นที่ปลูกปาล์มน้ำมันเพิ่มมากขึ้น อย่างไรก็ตามอุตสาหกรรมปาล์มน้ำมันของไทยในปัจจุบันมีภาวะที่ค่อนข้างผันผวน ดังนั้นจึงจำเป็นที่จะต้องพัฒนาส่วนเหลือใช้ของปาล์มน้ำมันเพื่อการสร้างมูลค่าเพิ่มให้กับวัสดุเหล่านี้จากการศึกษาพบว่าวัสดุเหลือใช้จากปาล์มน้ำมัน คือ กะลาปาล์มส่วนใหญ่จะนำไปใช้เป็นเชื้อเพลิง หะลายปาล์มเปล่านำไปใช้ทำปุ๋ย ชัลลัดจีชีสำหรับผสมอาหารสัตว์ และใช้เป็นวัสดุดิบในการผลิตแก๊สเชื้อเพลิง และถังไปปาล์ม ใช้เป็นเชื้อเพลิงในการผลิตพลังงานไฟฟ้าและพลังงานความร้อนเพื่อใช้ในกระบวนการผลิตน้ำมันปาล์มดินซึ่งเป็นการลดการซื้อพลังงานจากภายนอกได้



รูปที่ 3 การเปลี่ยนวัสดุเหลือใช้ของปาล์มน้ำมันเป็นผลิตภัณฑ์ที่มีมูลค่าเพิ่ม

### การเปลี่ยนวัสดุเหลือใช้ทะลายปาล์มเปล่าเป็นผลิตภัณฑ์ที่มีมูลค่าเพิ่ม

สำหรับในกรณีที่มีการศึกษาการเปลี่ยนทะลายปาล์มเปล่า (Oil Palm Empty Fruit Bunch) เป็นผลิตภัณฑ์ที่มีมูลค่าสูงขึ้นทำได้โดยการนำทะลายปาล์มเปล่ามาผลิตเป็นล้านก้อนมันโดยใช้กระบวนการไฟโรไอลีซ สและกระตุนด้วยการบอนไดออกไซด์ [63] รวมถึงศึกษาการเตรียมเลี้นลวดขนาดนาโนของซิลิกอนคาร์บิด (SiC Nanowires) จากการไฟโรไอลีซทะลายปาล์มน้ำมันเปล่า และแทรกซึม (Infiltration) ด้วยเตตระเอทธิล ออร์โทซิลิกेट (Tetraethyl Orthosilicate) [64] สำหรับการใช้กระบวนการหมักเพื่อการเปลี่ยนทะลายปาล์มเปล่าเป็นผลิตภัณฑ์ที่มีมูลค่าเพิ่ม ได้แก่ การผลิตไลเปส (Lipase) โดยใช้การหมักด้วย *Trichoderma strains* [65] หากไปกว่านั้นยังมีการศึกษาระบวนการหมักโดยใช้ *A. succinogenes* ATCC 55618 ร่วมกับการทำให้เกิดแซกคาโรต (Saccharification) เพื่อใช้ในการเตรียมกรดซัคชินิก [66] การหมักโดยใช้ *Mucor plumbeus* เพื่อใช้สำหรับการผลิตน้ำมันชีวภาพ (Microbial Oil) ซึ่งสามารถนำไปใช้เป็นสารป้อนในการผลิตน้ำมันใบโอดีเซลได้ [67] การหมักโดยใช้ *Bacillus megaterium* R11 เพื่อใช้ในการเปลี่ยนเป็นโพลีไฮดรอกซีบิทิเรต (Polyhydroxybutyrate) [68] นอกจากนี้ยังมีการศึกษาการนำทะลายปาล์มเปล่ามาผ่านกระบวนการไฮโดรเจล แล้วกระบวนการหมักเพื่อผลิตเอทานอล [69] รวมถึงมีงานวิจัยที่นำทะลายปาล์มเปล่ามาใช้เตรียมน้ำตาลกลูโคสโดยผ่านกระบวนการปรับสภาพด้วยกรดเปอร์อะซิติก (Peracetic Acid) และอัลคาไลน์ เปอร์ออกไซด์ (Alkaline Peroxide) เพื่อกำจัดลิโนน และส่วนที่เหลือจะนำมาผ่านกระบวนการย่อยสลายด้วยเอนไซม์ โดยสามารถให้ปริมาณกลูโคสถึง 629.8 กรัมต่อกิโลกรัมของทะลายปาล์มเปล่า [70] นอกจากนี้ยังมีการศึกษาการนำเส้นใยที่ได้จากทะลายปาล์มเปล่ามาใช้เป็นวัสดุในการดูดซับเลี้ยง [71] รวมถึงมีการศึกษาการนำทะลายปาล์มเปล่ามาเตรียมเป็นสารตัวเดิมขนาดนาโนสำหรับใช้ในการเตรียมวัสดุคอมโพลิทของอีพอกซี่ (Epoxy Nanocomposites) โดยวัสดุที่เตรียมได้จะมีสมบัติทางความร้อนที่ดีเมื่อมีการเดิมสารตัวเดิมจากทะลายปาล์มเปล่าจำนวน 3 เปอร์เซ็นต์ เนื่องจากมีการกระจายตัวที่ดี [72] นอกจากนี้ยังมีความพยายามที่จะนำทะลายปาล์มเปล่ามาเตรียมเป็นเซลลูโลลสโดยการไฮโซเลต (Isolate) ด้วยกรดไฮโดรคลอริก เซลลูโลลสที่เตรียมได้จะถูกนำมาใช้เป็นวัสดุเสริมแรงเพื่อเตรียมพิล์มคอมโพลิตไฮโดรเจนเพื่อใช้สำหรับการกำจัดแคเดเมียมในสารละลายน้ำ [73] หากไปกว่านั้นยังมีงานวิจัยที่ศึกษาการเตรียมเซลลูโลลสจากทะลายปาล์มเปล่าโดยเตรียมผ่านภาชนะลังเคราะห์ความดันสูง (Autoclave) และอุลตราโซนิก (Ultrasonication) จากนั้นนำเซลลูโลลสที่เตรียมได้มาใช้เตรียมวัสดุคอมโพลิทกับพอลิโพริลีน [74] รวมถึงมีการศึกษาการนำทะลายปาล์มเปล่ามาผ่านกระบวนการทำเยื่อ (Pulping Process) และนำมาเตรียมเป็นผลึกเซลลูโลลสขนาดนาโน (Nanocrystalline Cellulose) โดยใช้อุลตราโซนิกช่วยในการไฮโดรเจลศักดิ์สิทธิ์ โดยวัสดุที่เตรียมได้จะมีความเป็นผลึกสูง มีเสถียรภาพทางความร้อน [75] ซึ่งสามารถนำไปใช้เป็นสารตัวเดิมในยา และการขนส่งยา วัสดุที่แทนกระดูก และการซ่อมฟัน ปรับปรุงสมบัติของกระดาย สารเสริมแรงในวัสดุคอมโพลิตพอลิเมอร์ สารตัวเดิมในอาหารและยา และแอโรเจล รวมถึงมีการเตรียมเซลลูโลลส อะซิเตต (Cellulose Acetate) โดยใช้ปฏิกิริยาอะเซทิเลชันแบบวิธีพันธ์ (Heterogeneous Acetylation) โดยไม่ต้องผ่านกระบวนการไฮโดรเจล ขั้นตอนประกอบด้วย การกระตุนด้วยกรดอะซิติก และตามด้วยการกระตุนด้วยกรดแกลเชียล อะซิติก (Glacial Acetic) โดยเซลลูโลลส อะซิเตตที่เตรียมได้มีอัตราการแทนที่เท่ากับ 2.52 [76] หากไปกว่านั้นยังมีการศึกษาการเพิ่มมูลค่าเพิ่มของทะลายปาล์มโดยใช้กระบวนการของเหลวไออกอนิก เช่น การผลิตสารประกอบลิกโนเซลลูโลลส (Lignocellulosic Compounds) โดยการปรับสภาพด้วยของเหลวไออกอนิก

(Ionic Liquid) ซึ่งประกอบด้วย 1-บิวทิล-3-เมทิล-อะมิดาไฮเดรียม คลอไรต์ (1-Butyl-3-methyl-imidazolium chloride) และการปรับสภาพด้วยเบส สารที่เตรียมได้จะประกอบด้วย เซลลูโลส เอมิเซลลูโลส และลิกนิน ที่มีน้ำหนักโมเลกุล 1,869, 1,736 และ 2,695 กรัมต่้อมล ตามลำดับ [77] การเปลี่ยนทะลายปาล์มเปล่า เป็น 5-ไฮดรอกซีเมทิลเพอฟูโรอล กรดเลวูลินิก (Levulinic Acid) และเอทิล เลวูลิโนต (Ethyl Levulinate) โดยในสภาวะของเหลวไอโอนิกที่มีสมบัติเป็นกรด (Acidic Ionic Liquid) ซึ่งประกอบไปด้วย อินเดียม ไตรคลอไรต์ (Indium Trichloride) และของเหลวไอโอนิก 1-เมทิลอะมิดาไฮเดรียม ไฮโดรเจน ชัลเฟต (1-Methylimidazolium hydrogen sulfate) [78] นอกจากนี้ยังมีการศึกษาการเปลี่ยนทะลายปาล์มเปล่า ให้เป็นสารประกอบฟีนอล เช่น ฟีนอล กัวอีคอล (Guaiacol) คาเทชอล (Catechol) ไซริงโอล (Syringol) ผ่านกระบวนการไฮโดรเทอร์มัล แล้วโซลโวเทอร์มัล [79] รวมถึงมีการศึกษาการเปลี่ยนทะลายปาล์มเปล่า ด้วยกระบวนการทางเคมีความร้อนเพื่อเปลี่ยนเป็นของเหลวโดยตรง (Direct Thermochemical Liquefaction) [80] โดยดำเนินการภายใต้สภาวะวิกฤติยังไง และสภาวะวิกฤตของ (Sub-Critical) ของตัวทำละลายนอร์มัล-โดเดกาน (n-Dodecane) หรือเตตราลิน (Tetralin) หรือของผสมดังกล่าว ที่อุณหภูมิ 400 และ 450 องศาเซลเซียส โดยมีการเติมสารไอร์ออนออกไซด์ ( $\text{Fe}_3\text{O}_4$ ) และไฮโดรเจน ในระบบ พบว่าให้ผลิตภัณฑ์ของเหลวเป็นเมทิล ปาล์มิเตต (Methyl Palmitate) 4-เมทิลเอกเซน-2-โอน (4-Methylhexan-2-one) เมทิล สเตียเรต (Methyl Stearate) และอื่น ๆ นอกจากนี้ยังได้ผลิตภัณฑ์ เป็นของแข็งซึ่งเมื่อนำมาไปผ่านกระบวนการความร้อนสามารถนำมาใช้เป็นตัวดูดซับแก๊ส คาร์บอนไดออกไซด์ได้อย่างมีประสิทธิภาพ นอกจากนี้ยังมีการศึกษาการเปลี่ยนทะลายปาล์มเปล่าด้วย กระบวนการทางความร้อน ผ่านการทำให้บริสุทธิ์ และไอโซเลตเพื่อเตรียมเป็นกรด 4-ไฮดรอกซีเบนโซอิก (4-Hydroxybenzoic acid) [81] รวมถึงมีการศึกษาการนำทะลายปาล์มเปล่ามาปรับสภาพด้วยความร้อน และกระตุ้นด้วยกรดฟอสฟอโริกเพื่อเตรียมเป็นวัสดุคุาร์บอน และวัสดุคุาร์บอนที่เตรียมได้นั้นนำมาใช้เป็น วัสดุรองรับในการเตรียมตัวเร่งปฏิกิริยาคอปเปอร์(II) ออกไซด์ ( $\text{CuO}$ ) เพื่อใช้สำหรับการกำจัดกรดในตริก ออกไซด์ (Nitric Oxide; NO) [82] และยังมีการนำทะลายปาล์มเปล่ามาผ่านกระบวนการแก๊สชิฟิเคชัน (Gasification) ภายใต้อากาศ 5 เปลอร์เซนต์ ในอีเดรียมให้ผลิตภัณฑ์เป็นแก๊สไฮโดรเจน かる์บอนมอนอกไซด์ かる์บอนไดออกไซด์ และมีเทน โดยการใช้แคลลิเซียมออกไซด์เป็นตัวเร่งปฏิกิริยาจะให้ผลิตภัณฑ์เป็น ไฮโดรเจนในปริมาณที่เพิ่มขึ้น ลดปริมาณแก๊สคาร์บอนไดออกไซด์ [83]

#### การเปลี่ยนวัสดุเหลือใช้จากการผลัดปาล์มน้ำมันเป็นผลิตภัณฑ์ที่มีมูลค่าเพิ่ม

สำหรับในกรณีที่มีการศึกษาการเปลี่ยนสภาพผลัดปาล์มน้ำมัน (Palm Oil Sludge) เป็นผลิตภัณฑ์ ที่มีมูลค่าสูงขึ้นสามารถทำได้โดยศึกษาการเปลี่ยนสภาพผลัดปาล์มน้ำมันเป็นน้ำมันใบโอดีเซล โดยการนำ ล่วงที่สักดิได้ของผลัดปาล์มน้ำมันมาทำปฏิกิริยา กับเมทานอล ผ่านปฏิกิริยาเอสเทอราฟิเคชัน (Esterification) และทรานส์อีสเทอราฟิเคชัน (Transesterification) โดยใช้อัลัม (Alum) และ โพแทสเซียมไฮดรอกไซด์เป็นตัวเร่งปฏิกิริยาตามลำดับ [84] รวมถึงมีการใช้อ่อนไข่มีเป็นตัวเร่งปฏิกิริยา [85] มากไปกว่านั้นยังมีการศึกษาการเปลี่ยนสภาพผลัดปาล์มน้ำมันที่ถูกปรับสภาพเป็นน้ำมันเชื้อเพลิง และถ่านเชื้อเพลิง โดยใช้กระบวนการไฟโรไลซีส [86] รวมถึงมีการทำไฟโรไลซีสแบบข้าเพื่อใช้เตรียมถ่านเชื้อเพลิงสำหรับ นำมายาใช้ในการดูดซับตะกั่ว โดยภายหลังจากการไฟโรไลซีสถ่านเชื้อเพลิงจะถูกนำมาโซนิเคต (Sonicate) ในน้ำร้อนเพื่อกำจัดแร่ธาตุตุกค้าง และน้ำมัน [87] นอกจากนี้ยังมีการศึกษาการนำกาลลัดปาล์มน้ำมัน มาใช้เตรียมสารลดแรงดึงดูดพิวช์ว้าฟ (Biosurfactant) โดยใช้กระบวนการหมัก [88]

### การเปลี่ยนวัสดุเหลือใช้กลาป้าล์มเป็นผลิตภัณฑ์ที่มีมูลค่าเพิ่ม

ปัจจุบันกลาป้าล์ม (Palm Kernel Shell) ส่วนใหญ่ถูกนำไปใช้เป็นเชื้อเพลิงชีวมวลเพื่อใช้ในการผลิตกระแสไฟฟ้า อีกแนวทางหนึ่งของการศึกษาฯวิจัยและพัฒนาเพื่อเปลี่ยนกลาป้าล์มเป็นผลิตภัณฑ์ที่มีมูลค่าเพิ่ม ได้แก่ การศึกษาการนำกลาป้าล์มมาใช้เป็นส่วนผสมในคอนกรีตเพื่อเตรียมคอนกรีตที่ช่วยในการดูดซับเสียง [89] รวมถึงการศึกษาการนำกลาป้าล์มมาใช้ในการเตรียมคอนกรีตมวลเบา [90] และการศึกษาการนำกลาป้าล์มมาผสมกับเคลือบและนำมาให้ความร้อนที่อุณหภูมิ 800 องศาเซลเซียส และนำสารที่เกิดขึ้นมาใช้ทดแทนปอร์ตแลนด์ซิเมนต์ (Portland Cement) [91] นอกจากนี้ยังมีการศึกษาการนำกลาป้าล์มมาใช้เป็นสารตัวเติมในยางธรรมชาติ โดยใช้ 3-อะมิโนไพริลิตรามิโทกซิไซเลน (3-Aminopropyltrimethoxysilane) เป็นสารคลัปปิ้ง (Coupling Agent) [92] หากไปกว่านั้นยังมีการศึกษาการนำกลาป้าล์มมาผ่านกระบวนการกระตุ้นด้วยความร้อนที่อุณหภูมิ 850 องศาเซลเซียส เป็นเวลา 1 ชั่วโมง ภายใต้บรรยายกาศของแก๊สคาร์บอนไดออกไซด์เพื่อเตรียมเป็นถ่านกัมมันต์สำหรับใช้ในการดูดซับแก๊สคาร์บอนไดออกไซด์ [93] นอกจากนี้ยังมีการศึกษาการนำกลาป้าล์มมาใช้เตรียมถ่านชาร์โคล (Charcoal) โดยการใช้ไมโครเวฟในการกระตุ้นในการทำкар์บอนไซเด็กซ์ [94] รวมถึงมีการศึกษาการนำกลาป้าล์มมาเตรียมเป็นถ่านกัมมันต์โดยใช้การกระตุ้นด้วยชิ้นค็อกล้อร์ด และนำถ่านกัมมันต์ที่เตรียมได้มาใช้เป็นตัวดูดซับชิ้นค์ไออกอน [95] หากไปกว่านั้นยังมีการศึกษาการนำกลาป้าล์มมาผ่านกระบวนการแก๊สชิฟิเคชันในช่วงอุณหภูมิ 600 - 700 องศาเซลเซียส เพื่อผลิตแก๊สไฮโดรเจน ควรบอนมอนอกไซด์ คาร์บอนไดออกไซด์ และมีเทน [96] นอกจากนี้ยังมีการศึกษาการผลิตน้ำมันชีวภาพผ่านกระบวนการไฟโรไลซีสที่อุณหภูมิ 550 องศาเซลเซียส โดยใช้ตั้งปฏิกิริยานิendifluuidized Bed Reactor) [97] รวมถึงมีการศึกษาการนำกลาป้าล์มมาผ่านกระบวนการแก๊สชิฟิเคชันสำหรับการผลิตแก๊สไฮโดรเจน และควรบอนมอนอกไซด์ ถ่านชีวภาพที่เกิดขึ้นภายหลังจากการทำแก๊สชิฟิเคชันจะถูกนำมาให้ความร้อนที่อุณหภูมิ 800 องศาเซลเซียส เป็นเวลา 2 ชั่วโมง ภายใต้ความดันบรรยายกาศ ผลิตภัณฑ์ที่เกิดขึ้นนี้จะมีแคลเซียมออกไซด์เป็นส่วนประกอบหลัก และสามารถนำผลิตภัณฑ์นี้มาใช้เป็นตัวเร่งปฏิกิริยาทรานส์เอลส์เทอเริฟิเคชันของน้ำมันเมล็ดดอกทานตะวันกับ methane ได้อย่างมีประสิทธิภาพ [98]

### การเปลี่ยนวัสดุเหลือใช้เล็นไยป้าล์มเป็นผลิตภัณฑ์ที่มีมูลค่าเพิ่ม

เล็นไยป้าล์ม (Oil Palm Mesocarp Fibre) เป็นวัสดุเหลือใช้อีกส่วนหนึ่งที่นิยมใช้เป็นเชื้อเพลิงสำหรับการผลิตไอน้ำ แนวทางหนึ่งของการนำเทคโนโลยีมาใช้เพื่อเปลี่ยนเล็นไยป้าล์มเป็นผลิตภัณฑ์ที่มีมูลค่าเพิ่ม ได้แก่ การไฟโรไลซีสเล็นไยป้าล์มเป็นน้ำมันชีวภาพโดยใช้ตัวเร่งปฏิกิริยาซีโอไลต์ (Zeolite) ที่เตรียมจากถ่านป้าล์มน้ำมัน (Oil Palm Ash) ผสมกับเกลือ แร่และสปายได้สภาวะไฮโดรเทอร์มัล (Hydrothermal) [99] รวมถึงศึกษาการนำเล็นไยป้าล์มมาผ่านกระบวนการไฟโรไลซีสเพื่อผลิตเป็นน้ำมันชีวภาพ และถ่านชีวภาพ โดยดำเนินการในตั้งปฏิกิริยานิendifixed-Bed Reactor) [100] หากไปกว่านั้นยังมีการศึกษาการนำเล็นไยป้าล์มมาใช้เตรียมเซลลูโลสนาโนใน (Cellulose Nanowhiskers) โดยใช้การไฮโดรไลซีสด้วยกรดชัลฟิวริก ตามด้วยไมโครฟลูอิดไซเดชัน (Microfluidization) และนำไปผลิตในฟิล์มแบบเพื่อใช้เตรียมวัสดุคอมโพลิต โดยเซลลูโลสนาโนที่เตรียมได้จากเล็นไยป้าล์มจะช่วยเพิ่มเบอร์เช่นต์การยืดตัว (Elongation) ของวัสดุคอมโพลิต [101] รวมถึงการศึกษาการเตรียมไฮโลสและกลูโคเจนจากเล็นไยป้าล์ม โดยการนำเล恩ไยป้าล์มมาผ่านกระบวนการไฮโดรเทอร์มัลเพื่อปรับสภาพรวมถึงการปรับสภาพเชิงกลโดยใช้นอลมิลลิง (Ball Milling) การปรับสภาพด้วยเบส และไฮโดรไลซีส

ด้วยเอนไซม์ [102] มากไปกว่านั้นยังมีการศึกษาการนำเลี้นไบปาล์มมาปรับสภาพด้วยกระบวนการไฮโดรเทอร์มัล และการย่อยสลายด้วยเอนไซม์ จากนั้นนำมาหมักโดยใช้ Escherichia Coli เพื่อให้เกิดผลิตภัณฑ์เป็น อะซิโตอิน (Acetoin) [103] รวมถึงการนำเลี้นไบปาล์มมาขึ้นการเตรียมกลูโคสผ่านกระบวนการอัดด้วยน้ำร้อน (Hot Compressed Water) และเวท ดิสก์ มิลลิ่ง (Wet Disk Milling) จากนั้นนำมาผ่านกระบวนการไฮโดรไลซ์โดยใช้เอนไซม์ [104] นอกจากนี้ยังมีการศึกษาการนำเลี้นไบปาล์มมาปรับสภาพด้วยกระบวนการทางชีวภาพโดยการใช้เห็ดห่านรرم (Oyster Mushroom) และนำมาย่อยสลายโดยไม่ใช้ อกซิเจนร่วมกับมูลสัตว์ (Cattle Manure) ร่วมกับน้ำทึ้งจากการผลิตปาล์มน้ำมัน (Palm Oil Mill Effluent) เพื่อใช้สำหรับการผลิตแก๊สชีวภาพ [105]

#### การเปลี่ยนวัสดุเหลือใช้ลำต้นปาล์มน้ำมันเป็นผลิตภัณฑ์มีมูลค่าเพิ่ม

นอกจากนี้ยังมีการศึกษาการเปลี่ยนลำต้นปาล์มน้ำมัน (Oil Palm Trunk) ให้เป็นผลิตภัณฑ์ที่มี มูลค่าสูงขึ้นโดยการนำลำต้นปาล์มน้ำมันมาปรับสภาพด้วยตัวทำละลายยูเทกติกเชิงลึก (Deep Eutectic Solvents) ซึ่งประกอบด้วยเอทิลแอมโมเนียม คลอไรด์ (Ethylammonium Chloride) และเอทิลีน ไกลคอล (Ethylene Glycol) เพื่อจำจัดลิกนิน และเซลลูโลสเพื่อเตรียมเป็นเซลลูโลสที่มีความเป็นผลึกสูง จากนั้นจะนำมายืดด้วยเอนไซม์เพื่อผลิตกลูโคส [106] รวมไปถึงมีการศึกษาการนำลำต้นปาล์มน้ำมัน มาปรับสภาพในระบบชัลไฟต์ (Sulfite Pretreatment to Overcome Recalcitrance of Lignocellulose; SPORL) ก่อนที่จะนำมาไฮโดรไลซ์ด้วยเอนไซม์เพื่อผลิตกลูโคส [107] นอกจากนี้ยังมีการศึกษาการนำ ลำต้นปาล์มน้ำมันมาปรับสภาพด้วยแคลเซียมไฮดรอกไซด์ และนำมายืดด้วยเอนไซม์เพื่อให้ได้ น้ำตาลรีดิวซ์ และนำมายใช้ในการผลิตแก๊สไฮโดรเจนโดย *Thermoanaerobacterium thermosaccharolyticum* KKU19 และนำทึ้งที่มีสมบัติเป็นกรด (Acidic Effluent) ที่ได้หลังจากการหมักให้เกิดไฮโดรเจนจะถูกนำ มาใช้เป็นสารบ้อนเพื่อใช้ในการผลิตแก๊สเมทีน [108] รวมถึงมีการศึกษาการนำลำต้นปาล์มน้ำมันมาปรับ สภาพด้วยกรดเจือจาง (Dilute Acid Pretreatment) ก่อนขั้นตอนการทำให้เกิดแซคคาไรด์ด้วยเอนไซม์ (Enzymatic Saccharification) เพื่อใช้สำหรับการผลิตเอทานอล [109] และการนำลำต้นปาล์มน้ำมัน มาผ่านกระบวนการปรับสภาพทางความร้อน การย่อยสลายด้วยเอนไซม์ และการหมักเพื่อเตรียมเป็น กรดแลคติก (Lactic Acid) [110] มากไปกว่านั้นยังมีการศึกษาการเปลี่ยนลำต้นปาล์มน้ำมันเพื่อใช้ ในการผลิตแก๊สสัปเคราะห์ผ่านกระบวนการสตีมแก๊สชิฟิเคชัน (Steam Gasification) [111] และศึกษา การนำลำต้นปาล์มน้ำมันมาเตรียมเป็นเซลลูโลสที่เป็นผลึกขนาดนาโน (Cellulose Nanocrystal) โดยใช้ กระบวนการไฮโดรเทอร์มัลด้วยกรด (Acid Hydrothermal) [112] รวมถึงการศึกษาการเตรียมเซลลูโลส ที่เป็นผลึกขนาดนาโนจากลำต้นปาล์มน้ำมันโดยวิธีที่ปราศจากคลอรีน (Total Chlorine Free Method) โดยนำลำต้นปาล์มน้ำมันมาไฮโดรไลซ์ด้วยน้ำ (Water Pre-Hydrolysis) จากนั้นนำมาผ่านขั้นตอน การทำเยื่อด้วยโซดา (Soda Pulping) แขวนกรดชัลฟิวเรก และฟอกขาวด้วยโอโซน (Ozone Bleaching) [113] ในกรณีของ การศึกษาการนำลำต้นปาล์มน้ำมันมาใช้เตรียมวัสดุมีการศึกษาการนำลำต้นปาล์มน้ำมัน มาปรับสภาพด้วยน้ำร้อน (Hot Water) และโซเดียมไฮดรอกไซด์ และนำผลิตภัณฑ์ที่ได้มาใช้เป็น ปาร์ติเกลอบอร์ด (Particleboard) โดยใช้ยูเรีย ฟอร์มัลด์ไฮด์ [114] นอกจากนี้ยังสามารถเตรียม ปาร์ติเกลอบอร์ดโดยใช้แป้งคาร์บอเน็มทิล (Carboxymethyl starch) ที่เตรียมได้จากการปรับสภาพ ทางเคมีของลำต้นปาล์มน้ำมัน [115] รวมถึงการเตรียมแป้งจากลำต้นปาล์มน้ำมันด้วยการสกัดด้วยโซเดียม เมตาไบซัลไฟต์ (Sodium Metabisulfite;  $\text{Na}_2\text{S}_2\text{O}_5$ ) ร่วมกับการเติมกรดแลคติก [116] มากไปกว่านั้น

ยังมีการศึกษาการเตรียมตัวเร่งปฏิกิริยาการบอนที่มีสมบัติเป็นกรดจากลำต้นปาล์มน้ำมันโดยผ่านกระบวนการการบอร์นเข้าชนที่อุณหภูมิ 400 องศาเซลเซียส และนำมาเติมแต่งหมู่ฟังก์ชันที่เป็นกรดโดยการทำปฏิกิริยากับกรดซัลฟิวริก นอกจากนี้ยังมีการเติมแต่งตำแหน่งกรดโดยการฝังตัวด้วยกรดฟอลฟอทังลติก (Phosphotungstic Acid) ตัวเร่งปฏิกิริยาที่เตรียมได้จะถูกนำมาศึกษาปฏิกิริยาการผลิตน้ำมันใบโอดีเซล [117]

จากการศึกษางานวิจัยที่เกี่ยวข้องกับการเปลี่ยนวัสดุเหลือใช้ของปาล์มน้ำมัน ได้แก่ การสังเคราะห์ปาล์มน้ำมันพบว่าสามารถนำมาเปลี่ยนเป็นผลิตภัณฑ์ที่มีมูลค่าเพิ่ม คือ น้ำมันใบโอดีเซล น้ำมันชีวภาพ ถ่านชีวภาพ สารลดแรงตึงผิวชีวภาพ ล้วนในกรณีของการเปลี่ยนเล่นไปปาล์มน้ำมันเป็นผลิตภัณฑ์ที่มีมูลค่าเพิ่ม สามารถทำได้โดยการผลิตเป็นน้ำมันชีวภาพ ถ่านชีวภาพ เชลลูลอลิสขนาดนาโน ไฮโลส กลูโคส อะซิโตอิน กลูโคส และแก๊สชีวภาพ ในขณะที่การศึกษางานวิจัยสำหรับการเปลี่ยนลำต้นปาล์มน้ำมันเป็นผลิตภัณฑ์ที่มีมูลค่าเพิ่ม คือ การศึกษาการเปลี่ยนเป็นเอทานอล กรรมแคลคติก แบ้งค์บอชเมทิล วัสดุสำหรับเตรียมปาร์ติเกลบอร์ด ตัวเร่งปฏิกิริยาการบอนที่มีสมบัติเป็นกรด เชลลูลอลิสที่มีความเป็นผลิกสูง กลูโคส น้ำตาลรีดิวช์ แก๊สไฮโดรเจน และแก๊สมีเทน ล้วนในกรณีของการศึกษางานวิจัยสำหรับการเปลี่ยนทะลายปาล์มน้ำมัน เป็นต้น ได้แก่ การศึกษาการเปลี่ยนเป็นถ่านกัมมันต์ เลี้นลวดขนาดนาโนของชิลกอนคาร์บิบดี ไลเพลส กรดซัคชินิก น้ำมันใบโอดีเซล พอลิไครอฟิลิกวิทิเรต เอทานอล กลูโคส วัสดุในการคุ้ดชับเลี้ยง สารตัวเติมสำหรับการเตรียมวัสดุคอมโพลิตของอีพอกซี่ วัสดุการบอนสำหรับเตรียมตัวเร่งปฏิกิริยา เชลลูลอลิส/เชลลูลอลิสขนาดนาโน เชลลูลอลิส อะซิเตต ลิกโนเซลลูลอลิส 5-ไฮดรอกซีเมทิลเฟอร์ออล กรด酇ูลินิก/เอทิล 酇ูลินेट สารประกอบฟีนอล เมทิล ปาล์มิเตต 4-เมทิลเอกเซน-2-โอน เมทิล สเตียเรต และ 4-ไฮดรอกซีเบนโซอิก มากไปกว่าหนึ่งมีการศึกษาการเปลี่ยนกะลาปาล์มน้ำมันเป็นผลิตภัณฑ์ที่มีมูลค่าเพิ่ม ได้แก่ น้ำมันใบโอดีเซล วัสดุในการคุ้ดชับเลี้ยง สารทดแทนปอร์ตแลนด์ซีเมนต์ สารตัวเติมในยางธรรมชาติ ถ่านกัมมันต์ ถ่านcharcoal แก๊สไฮโดรเจน แก๊สมีเทน น้ำมันชีวภาพ และแคลเซียมออกไซด์ (รูปที่ 3)

## สรุป

ในบทความวิชาการนี้ได้นำเสนองานวิจัยที่เกี่ยวข้องกับการเปลี่ยนวัสดุเหลือใช้ทางการเกษตรของพืชเศรษฐกิจที่สำคัญของประเทศไทย ได้แก่ ข้าว อ้อย และปาล์มน้ำมันเป็นผลิตภัณฑ์ที่มีมูลค่าเพิ่มขึ้น เพื่อเป็นเครื่องมือขับเคลื่อนเศรษฐกิจของประเทศไทยผ่านการพัฒนาเศรษฐกิจฐานชีวภาพ กระบวนการเปลี่ยนวัสดุเหลือใช้ทางการเกษตรเหล่านี้ใช้กระบวนการทางความร้อน กระบวนการทางชีวเคมี และกระบวนการทางเคมี โดยการพัฒนาเทคโนโลยีในด้านต่าง ๆ เพื่อเปลี่ยนวัสดุเหลือใช้ทางการเกษตรเป็นผลิตภัณฑ์ที่มีมูลค่าเพิ่มจำเป็นที่จะต้องได้รับการสนับสนุนจากรัฐบาล รวมถึงเป็นโจทย์ที่ท้าทายความรู้ ความสามารถของนักวิจัย เพื่อให้สามารถนำวัสดุเหลือใช้ทางการเกษตรที่เป็นทรัพยากรของประเทศไทยใช้เพื่อการพัฒนาอย่างยั่งยืน ให้เพิ่มขีดความสามารถในการแข่งขันของประเทศไทย ทำให้เกิดการพัฒนาทางด้านเศรษฐกิจเพื่อแก้ไขปัญหาความเหลื่อมล้ำในด้านต่าง ๆ โดยเฉพาะอย่างยิ่งการยกระดับคุณภาพชีวิตของเกษตรกรไทยผ่านการพัฒนาทางด้านเศรษฐกิจฐานชีวภาพ

## References

- [1] Division of Research Administration and Educational Quality Assurance, University of Phayao. (2016). **Blueprint Thailand 4.0 Model Drive of Thailand Towards Wealth, Stability and Sustainable.** Access (10 February 2018). Available (<http://www.libarts.up.ac.th/v2/img/Thailand-4.0.pdf>) (in Thai)
- [2] Ministry of Industry. (2016). **20-Year Development Strategy for Thailand Industry 4.0 (2017-2036).** Access (10 February 2018). Available ([http://www.oie.go.th/sites/default/files/attachments/industry\\_plan/thailandindustrialdevelopmentstrategy4.0.pdf](http://www.oie.go.th/sites/default/files/attachments/industry_plan/thailandindustrialdevelopmentstrategy4.0.pdf)) (in Thai)
- [3] Office of Agricultural Economics. (2017). **Agricultural Statistics of Thailand 2016.** Access (10 February 2018). Available (<http://www.oae.go.th/assets/portals/1/files/ebook/yearbook59.pdf>)
- [4] Kulruengsup, N. (2013). Study on Influence of Burning-No Burning of Rice Stubble Before Harvesting on Yield Per Rai, Outgoing and Income of Farmers. **Journal of Agricultural Economics.** Vol. 59, pp. 2-4 (in Thai)
- [5] Department of Alternative Energy Development and Efficiency, Ministry of Energy. (2012). **Feasibility Study for the Commercial Production of Cellulosic Ethanol.** Access (10 February 2018). Available (<http://webkc.dede.go.th/testmax/sites/default/files/Final%20Report.pdf>)
- [6] Rodsamran, P. and Sothornvit, R. (2017). Rice Stubble as a New Biopolymer Source to Produce Carboxymethyl Cellulose-Blended Films. **Carbohydrate Polymers.** Vol. 171, pp. 94-101. DOI: 10.1016/j.carbpol.2017.05.003
- [7] Tansatit, T., Rotchanamekha, S., and Thepwong, R. (2016). Biochar Production from Stubble and Rice Straw for Water Holding in Soil. In **The 1<sup>st</sup> National RMUTR Conference.** RMUTR: Nakhonpathom. (in Thai)
- [8] Zahed, O., Jouzani, G. S., Abbasalizadeh, S., Khodaiyan, F., and Tabatabaei, M. (2016). Continuous Co-Production of Ethanol and Xylitol from Rice Straw Hydrolysate in a Membrane Bioreactor. **Folia Microbiologica.** Vol. 61, Issue 3, pp. 179-189. DOI: 10.1007/s12223-015-0420-0
- [9] Amiri, H., Karimi, K., and Zilouei, H. (2014). Organosolv Pretreatment of Rice Straw for Efficient Acetone, Butanol, and Ethanol Production. **Bioresource Technology.** Vol. 152, pp. 450-456. DOI: 10.1016/j.biortech.2013.11.038
- [10] Zhou, J., Yang, J., Yu, Q., Yong, X., Xie, X., Zhang, L., Wei, P., and Jia, H. (2017). Different Organic Loading Rates on the Biogas Production During the Anaerobic Digestion of Rice Straw: A pilot study. **Bioresource Technology.** Vol. 244, Part 1, pp. 865-871. DOI: 10.1016/j.biortech.2017.07.146
- [11] Sashikala, M. and Ong, H. K. (2007). Synthesis and Identification of Furfural from Rice Straw. **Journal of Tropical Agriculture and Food Science.** Vol. 35, Issue 1, pp. 165-172

- [12] Shen, Y., Zhao, P., and Shao, Q. (2014). Porous Silica and Carbon Derived Materials from Rice Husk Pyrolysis Char. **Microporous and Mesoporous Materials**. Vol. 188, pp. 46-76. DOI: 10.1016/j.micromeso.2014.01.005
- [13] Yoomun, P. (2013). Analysis the Potential of Bio-Energy from Residual Biomasses in Lampang Province. Case study: Mae-Tha District. **Industrial Technology Lampang Rajabhat University Journal**. Vol. 6, No. 2, pp. 35-45 (in Thai)
- [14] Lee, J. H., Kwon, J. H., Lee, J. -W., Lee, H. -S., Chang, J. H., and Sang, B. -I. (2017). Preparation of High Purity Silica Originated from Rice Husks by Chemically Removing Metallic Impurities. **Journal of Industrial and Engineering Chemistry**. Vol. 50, pp. 79-85. DOI: 10.1016/j.jiec.2017.01.033
- [15] Khoshbin, R. and Karimzadeh, R. (2017). The Beneficial use of Ultrasound in Free Template Synthesis of Nanostructured ZSM-5 Zeolite from Rice Husk ash used in Catalytic Cracking of Light Naphtha: Effect of Irradiation Power. **Advanced Powder Technology**. Vol. 28, Issue3, pp. 973-982. DOI: 10.1016/j.apt.2017.01.001
- [16] Khoshbin, R. and Karimzadeh, R. (2017). Synthesis of Mesoporous ZSM-5 from Rice Husk ash with Ultrasound Assisted Alkali-Treatment Method used in Catalytic Cracking of Light Naphtha. **Advanced Powder Technology**. Vol. 28, Issue 8, pp. 1888-1897. DOI: 10.1016/j.apt.2017.04.024
- [17] Suyanta and Kuncaka, A. (2011). Utilization of Rice Husk as Raw Material in Synthesis of Mesoporous Silicates MCM-41. **Indonesian Journal of chemistry**. Vol. 11, Issue 3, pp. 279-284
- [18] Srivastava, V. C., Mall, I. D., and Mishra, I. M. (2006). Characterization of Mesoporous Rice Husk Ash (RHA) and Adsorption Kinetics of Metal Ions from Aqueous Solution onto RHA. **Journal of Hazardous Materials**. Vol. B134, Issue 1-3, pp. 257-267. DOI: 10.1016/j.jhazmat.2005.11.052
- [19] Boonpoke, A., Chiarakorn, S., Laosiripojana, N., and Chidthaisong A. (2016). Enhancement of Carbon Dioxide Capture by Amine-Modified Rice Husk Mesoporous Material. **Environmental Progress & Sustainable Energy**. Vol. 35, Issue 6, pp. 1716-1723. DOI: 10.1002/ep.12423
- [20] Ghafoorian, N. S., Bahramian, A. R., and Seraji, M. M. (2015). Investigation of the Effect of Rice Husk Derived Si/SiC on the Morphology and Thermal Stability of Carbon Composite Aerogels. **Materials and Design**. Vol. 86, pp. 279-288. DOI: 10.1016/j.matdes.2015.07.093
- [21] Sobrosa, F. Z., Stochero, N. P., Marangon, E., and Tier, M. D. (2017). Development of Refractory Ceramics from Residual Silica Derived from Rice Husk Ash. **Ceramics International**. Vol. 43, Issue 9, pp. 7142-7146. DOI: 10.1016/j.ceramint.2017.02.147
- [22] Husni, H., Nazari, M. R., Yee, H. M., Rohim, R., Yusuff, A., Ariff, M. A. M., Ahmad, N. N. R., Leo, C. P., and Junaidi, M. U. M. (2017). Superhydrophobic Rice Husk ash Coating on Concrete. **Construction and Building Materials**. Vol. 144, pp. 385-391. DOI: 10.1016/j.conbuildmat.2017.03.078

- [23] Geraldo, R. H., Fernandes, L. F. R., and Camarini, G. (2017). Water Treatment Sludge and Rice Husk Ash to Sustainable Geopolymer Production. **Journal of Cleaner Production**. Vol. 149, pp. 146-155. DOI: 10.1016/j.jclepro.2017.02.076
- [24] Guo, M. -L., Yin, X. -Y. and Huang, J. (2017). Preparation of Novel Carbonaceous Solid Acids from Rice Husk and Phenol. **Materials Letters**. Vol. 196, pp. 23-25. DOI: 10.1016/j.matlet.2017.03.025
- [25] Zhang, W., Lin, N., Liu, D., Xu, J., Sha, J., Yin, J., Tan, X., Yang, H., Lu, H., and Lin, H. (2017). Direct Carbonization of Rice Husk to Prepare Porous Carbon for Supercapacitor Applications. **Energy**. Vol. 128, pp. 618-625. DOI: 10.1016/j.energy.2017.04.065
- [26] Jorapur, R. and Rajvanshi, A. K. (1997). Sugarcane Leaf-Bagasse Gasifiers for Industrial Heating Applications. **Biomass and Bioenergy**. Vol. 13, Issue 3, pp. 141-146. DOI: 10.1016/S0961-9534(97)00014-7
- [27] Boochapun, S., Lamamorphanth, W., and Kamwilaisak, K. (2014). The Acid Hydrolysis of Sugarcane Leaves as a Biofeedstock for Bioethanol Production. **Advanced Materials Research**. Vols. 931-932, pp. 194-199
- [28] Moodley, P. and Gueguim Kana, E. B. (2017). Microwave-Assisted Inorganic Salt Pretreatment of Sugarcane Leaf Waste: Effect on Physiochemical Structure and Enzymatic Saccharification. **Bioresource Technology**. Vol. 235, pp. 35-42. DOI: 10.1016/j.biortech.2017.03.031
- [29] Attard, T. M., McElroy, C.Rob, Rezende, C. A., Polikarpov, I., Clark, J. H., and Hunt, A. J. (2015). Sugarcane Waste as a Valuable Source of Lipophilic Molecules. **Industrial Crops and Products**. Vol. 76, pp. 95-103. DOI: 10.1016/j.indcrop.2015.05.077
- [30] Arumugam, A. and Ponnusami, V. (2013). Modified SBA-15 Synthesized Using Sugarcane Leaf Ash for Nickel Adsorption. **Indian Journal of Chemical Technology**. Vol. 20, pp. 101-105
- [31] Kumari, S. and Das, D. (2016). Biologically Pretreated Sugarcane Top as a Potential Raw Material for the Enhancement of Gaseous Energy Recovery by Two Stage Biohythane Process. **Bioresource Technology**. Vol. 218, pp. 1090-1097. DOI: 10.1016/j.biortech.2016.07.070
- [32] Maurya, D. P., Vats, S., Rai, S., and Negi, S. (2013). Optimization of Enzymatic Saccharification of Microwave Pretreated Sugarcane Tops Through Response Surface Methodology for Biofuel. **Indian Journal of Experimental Biology**. Vol. 51, pp. 992-996
- [33] Cunha, J. A., Pereira, M. M., Valente, L. M. M., de la Piscina, P. R., Homs, N., and Santos, M. R. L. (2011). Waste Biomass to Liquids: Low Temperature Conversion of Sugarcane Bagasse to Bio-Oil. The Effect of Combined Hydrolysis Treatments. **Biomass and Bioenergy**. Vol. 35, Issue 5, pp. 2106-2116. DOI: 10.1016/j.biombioe.2011.02.019
- [34] Goncalves, G. C., Pereira, N. C., and Veit, M. T. (2016). Production of Bio-Oil and Activated Carbon from Sugarcane Bagasse and Molasses. **Biomass and Bioenergy**. Vol. 85, pp. 178-186. DOI: 10.1016/j.biombioe.2015.12.013

- [35] Golbaghi, L., Khamforoush, M., and Hatami, T. (2017). Carboxymethyl Cellulose Production from Sugarcane Bagasse with Steam Explosion Pulping: Experimental, Modeling, and Optimization. **Carbohydrate Polymers**. Vol. 174, pp. 780-788. DOI: 10.1016/j.carbpol.2017.06.123
- [36] Candido, R. G., Godoy, G. G., and Goncalves, A. R. (2017). Characterization and Application of Cellulose Acetate Synthesized from Sugarcane Bagasse. **Carbohydrate Polymers**. Vol. 167, pp. 280-289. DOI: 10.1016/j.carbpol.2017.03.057
- [37] Brar, K. K., Sarma, A. K., Aslam, M. Polikarpov, I., and Chadha, B. S. (2017). Potential of Oleaginous Yeast *Trichosporon* sp., for Conversion of Sugarcane Bagasse Hydrolysate Into Biodiesel. **Bioresource Technology**. Vol. 242, pp. 161-168. DOI: 10.1016/j.biortech.2017.03.155
- [38] Chen, P., Tao, S., and Zheng, P. (2016). Efficient and Repeated Production of Succinic Acid by Turning Sugarcane Bagasse Into Sugar and Support. **Bioresource Technology**. Vol. 211, pp. 406-413. DOI: 10.1016/j.biortech.2016.03.108
- [39] Phachan, N., Fiala, K., and Apirakakorn, J. (2017). Isolation of Cellulolytic Clostridia and Their Performance for One-Step Butanol Production from Sugarcane Bagasse. **Energy Procedia**. Vol. 138, pp. 163-168. DOI: 10.1016/j.egypro.2017.10.144
- [40] Um, J., Kim, D. G., Jung, M. -Y., Saratale, G. D., and Oh, M. -K. (2017). Metabolic Engineering of *Enterobacter aerogenes* for 2,3-butanediol Production from Sugarcane Bagasse Hydrolysate. **Bioresource Technology**. Vol. 245, Part B, pp. 1567-1574. DOI: 10.1016/j.biortech.2017.05.166
- [41] Adarme, O. F. H., Baeta, B. E. L., Lima, D. R. S., Gurgel, L. V. A., and de Aquino, F. (2017). Methane and Hydrogen Production from Anaerobic Digestion of Soluble Fraction Obtained by Sugarcane Bagasse Ozonation. **Industrial Crops and Products**. Vol. 109, pp. 288-299. DOI: 10.1016/j.indcrop.2017.08.040
- [42] Esfandiar, N., Naserneja, B., and Ebadi, T. (2014). Removal of Mn(II) from Groundwater by Sugarcane Bagasse and Activated Carbon (A Comparative Study): Application of Response Surface Methodology (RSM). **Journal of Industrial and Engineering Chemistry**. Vol. 20, Issue 5, pp. 3726-3736. DOI: 10.1016/j.jiec.2013.12.072
- [43] Alves, M. J., Cavalcanti, I. V., de Resende, M. M., Cardoso, V. L., and Reis, M. H. (2016). Biodiesel Dry Purification with Sugarcane Bagasse. **Industrial Crops and Products**. Vol. 89, pp. 119-127. DOI: 10.1016/j.indcrop.2016.05.005
- [44] Moises, M. P., da Silva, C. T. P., Meneguin, J. G., Girotto, E. M., and Radovanovic, E. (2013). Synthesis of Zeolite NaA from Sugarcane Bagasse Ash. **Materials Letters**. Vol. 108, pp. 243-246. DOI: 10.1016/j.matlet.2013.06.086
- [45] Thuadaij, P. and Mukda, P. (2016). Synthesis and Characterization of Zeolite Derived from Buriram Sugarcane Bagasse Ash and Narathiwat Kaolinite. **SNRU Journal of Science and Technology**. Vol. 8, No. 3, pp. 320-326

- [46] Norsuraya, S., Fazlena, H., and Norhasyimi, R. (2016). Sugarcane Bagasse as a Renewable Source of Silica to Synthesize Santa Barbara Amorphous-15 (SBA-15). **Procedia Engineering**. Vol. 148, pp. 839-846. DOI: 10.1016/j.proeng.2016.06.627
- [47] Shen, Z., Han, G., Liu, C. Wang, X., and Sun, R. (2016). Green Synthesis of Silver Nanoparticles with Bagasse for Colorimetric Detection of Cysteine in Serum Samples. **Journal of Alloys and Compounds**. Vol. 686, pp. 82-89. DOI: 10.1016/j.jallcom.2016.05.348
- [48] Silalertruksa, T., Gheewala, S. H., and Pongpat, P. (2015). Sustainability Assessment of Sugarcane Biorefinery and Molasses Ethanol Production in Thailand Using Eco-Efficiency Indicator. **Applied Energy**. Vol. 160, pp. 603-609. DOI: 10.1016/j.apenergy.2015.08.087
- [49] Khatiwada, D., Venkata, B. K., Silveira, S., and Johnson, F. X. (2016). Energy and GHG Balances of Ethanol Production from Cane Molasses in Indonesia. **Applied Energy**. Vol. 164, pp. 756-768. DOI: 10.1016/j.apenergy.2015.11.032
- [50] Meng, X., Yuan, X., Ren, J., Wang, X., Zhu, W., and Cui, Z. (2017). Methane Production and Characteristics of the Microbial Community in a Two-Stage Fixed-Bed Anaerobic Reactor Using Molasses. **Bioresource Technology**. Vol. 241, pp. 1050-1059. DOI: 10.1016/j.biortech.2017.05.181
- [51] Amado, I. R., Vazquez, J. A., Pastrana, L., and Teixeira, J. A. (2017). Microbial Production of Hyaluronic Acid from Agro-industrial by-products: Molasses and Corn Steep Liquor. **Biochemical Engineering Journal**. Vol. 117, Part A, pp. 181-187. DOI: 10.1016/j.bej.2016.09.017
- [52] Sharma, M., Patel, S. N., Lata, K., Singh, U., Krishania, M., Sangwan, R. S., and Singh, S. P. (2016). A Novel Approach of Integrated Bioprocessing of Cane Molasses for Production of Prebiotic and Functional Bioproducts. **Bioresource Technology**. Vol. 219, pp. 311-318. DOI: 10.1016/j.biortech.2016.07.131
- [53] Martinez, O., Sanchez, A., Font, X., and Barrena, R. (2017). Valorization of Sugarcane Bagasse and Sugar Beet Molasses Using *Kluyveromyces marxianus* for Producing Value-Added Aroma Compounds Via Solid-State Fermentation. **Journal of Cleaner Production**. Vol. 158, pp. 8-17. DOI: 10.1016/j.jclepro.2017.04.155
- [54] Wechgama, K., Laopaiboon, L., and Laopaiboon, P. (2017). Enhancement of Batch Butanol Production from Sugarcane Molasses Using Nitrogen Supplementation Integrated with Gas Stripping for Product Recovery. **Industrial Crops and Products**. Vol. 95, pp. 216-226. DOI: 10.1016/j.indcrop.2016.10.012
- [55] Glinwong, C., Lertsriwong, S., and Chulalaksananukul, W. (2017). Hydrogen Producer Isolated from Agricultural Wastewater and Molasses. **Energy Procedia**. Vol. 138, pp. 140-144. DOI: 10.1016/j.egypro.2017.10.081

- [56] Abd-Alla, M. H., Bagy, M. M. K., Morsy, F. M., and Hassan, E. A. (2017). Enhancement of Biodiesel, Hydrogen and Methane Generation from Molasses by *Cunninghamella echinulata* and Anaerobic Bacteria Through Sequential Three-Stage Fermentation. **Energy**. Vol. 78, pp. 543-554. DOI: 10.1016/j.energy.2014.10.041
- [57] Guan, Y., Tang, Q., Fu, X., Yu, S., Wu, S., and Chen, M. (2014). Preparation of Antioxidants from Sugarcane Molasses. **Food Chemistry**. Vol. 152, pp. 552-557. DOI: 10.1016/j.foodchem.2013.12.016
- [58] Gomes, G. R., Rampon, D. S., and Ramos, L. P. (2017). Production of 5-(hydroxymethyl)-furfural from Water-Soluble Carbohydrates and Sugarcane Molasses. **Applied Catalysis A: General**. Vol. 545, pp. 127-133. DOI: 10.1016/j.apcata.2017.07.049
- [59] Srenscek-Nazzal, J., Kaminska, W., Michalkiewicz, B., and Koren Z. C. (2013). Production, Characterization and Methane Storage Potential of KOH-Activated Carbon from Sugarcane Molasses. **Industrial Crops and Products**. Vol. 47, pp. 153-159. DOI: 10.1016/j.indcrop.2013.03.004
- [60] Alvarez, E. D., Laffita, Y. M., Montoro, L. A., Mohallem, N. D. S., Cabrera, H., Pérez, G. M., Frutis, M. A., and Cappe, E. P. (2015). Electrical, Thermal and Electrochemical Properties of Disordered Carbon Prepared from Palygorskite and Cane Molasses. **Journal of Solid State Chemistry**. Vol. 246, pp. 404-411. DOI: 10.1016/j.jssc.2016.09.024
- [61] Li, H., Jiang, Z., Yang, X., Yu, L., Zhang, G., and Wu, J. (2015). Sustainable Resource Opportunity for Cane Molasses: use of Cane Molasses as a Grinding Aid in the Production of Portland cement. **Journal of Cleaner Production**. Vol. 93, pp. 56-64. DOI: 10.1016/j.jclepro.2015.01.027
- [62] Saowapark, T., Plao-le, S., Chaichana, E., and Jaturapiree, A. (2017). Role of Eco-Friendly Molasses Carbon Powder as a Filler in Natural Rubber Vulcanizates. **Materials Today: Proceedings**. Vol. 4, Issue 5, pp. 6450-6457. DOI: 10.1016/j.matpr.2017.06.152
- [63] Osman, N. B., Shamsuddin, N., and Uemura, Y. (2016). Activated Carbon of Oil Palm Empty Fruit Bunch (EFB): Core and shaggy. **Procedia Engineering**. Vol. 148, pp. 758-764. DOI: 10.1016/j.proeng.2016.06.610
- [64] Chiew, Y. L. and Cheong, K. Y. (2012). Growth of SiC Nanowires Using Oil Palm Empty Fruit Bunch Fibres Infiltrated with Tetraethyl Orthosilicate. **Physica E: Low-Dimensional Systems and Nanostructures**. Vol. 44, Issue 10, pp. 2041-2049. DOI: 10.1016/j.physe.2012.06.008
- [65] Musa, H., Han, P. C., Kasim, F. H. and Gopinath, S. C. B. (2017). Turning Oil Palm Empty Fruit Bunch Waste Into Substrate for Optimal Lipase Secretion on Solid State Fermentation by *Trichoderma* Strains. **Process Biochemistry**. Vol. 63, pp. 35-41. DOI: 10.1016/j.procbio.2017.09.002

- [66] Akhtar, J. and Idris, A. (2017). Oil Palm Empty Fruit Bunches a Promising Substrate for Succinic Acid Production Via Simultaneous Saccharification and Fermentation. **Renewable Energy**. Vol. 114, Part B, pp. 917-923. DOI: 10.1016/j.renene.2017.07.113
- [67] Ahmad, F. B., Zhang, Z., Doherty, W. O. S., Te'o, V. S. J., and O'Hara, I. M. (2017). Improved Microbial Oil Production from Oil Palm Empty Fruit Bunch by *Mucor plumbeus*. **Fuel**. Vol. 194, pp. 180-187. DOI: 10.1016/j.fuel.2017.01.013
- [68] Zhang, Y., Sun, W., Wang, H., and Geng, A. (2013). Polyhydroxybutyrate Production from Oil Palm Empty Fruit Bunch Using *Bacillus megaterium* R11. **Bioresource Technology**. Vol. 147, pp. 307-314. DOI: 10.1016/j.biortech.2013.08.029
- [69] Duangwang, S. and Sangwichien, C. (2015). Utilization of Oil Palm Empty Fruit Bunch Hydrolysate for Ethanol Production by Baker's Yeast and Loog-Pang. **Energy Procedia**. Vol. 79, pp. 157-162. DOI: 10.1016/j.egypro.2015.11.455
- [70] Palamae, S., Dechatiwongse, P., Choorit, W., Chisti, Y., and Prasertsan, P. (2017). Cellulose and Hemicellulose Recovery from Oil Palm Empty Fruit Bunch (EFB) Fibers and Production of Sugars from the Fibers. **Carbohydrate Polymers**. Vol. 155, pp. 491-497. DOI: 10.1016/j.carbpol.2016.09.004
- [71] Or, K. H., Putra, A., and Selamat, M. Z. (2017). Oil Palm Empty Fruit Bunch Fibres as Sustainable Acoustic Absorber. **Applied Acoustics**. Vol. 119, pp. 9-16. DOI: 10.1016/j.apacoust.2016.12.002
- [72] Saba, N., Jawaid, M., Paridah, M. T., and Alothman, O. (2017). Physical, Structural and Thermomechanical Properties of Nano Oil Palm Empty Fruit Bunch Filler Based Epoxy Nanocomposites. **Industrial Crops & Products**. Vol. 108, pp. 840-843. DOI: 10.1016/j.indcrop.2017.07.048
- [73] Rahmi, Lelifajri, Julinawati, and Shabrina. (2017). Preparation of Chitosan Composite Film Reinforced with Cellulose Isolated from Oil Palm Empty Fruit Bunch and Application in Cadmium Ions Removal from Aqueous Solutions. **Carbohydrate Polymers**. Vol. 170, pp. 226-233. DOI: 10.1016/j.carbpol.2017.04.084
- [74] Abdullah, M. A., Nazir, M. S., Raza, M. R., Wahjoedi, B. A., and Yussof, A. W. (2016). Autoclave and Ultra-Sonication Treatments of Oil Palm Empty Fruit Bunch Fibers for Cellulose Extraction and Its Polypropylene Composite Properties. **Journal of Cleaner Production**. Vol. 126, pp. 686-697. DOI: 10.1016/j.jclepro.2016.03.107
- [75] Azrina, Z. A. Z., Beg, M. D. H., Rosli, M. Y., Ramli, R., Junadi, N., and Alam, A. K. M. M. (2017). Spherical Nanocrystalline Cellulose (NCC) from Oil Palm Empty Fruitbunch Pulp Via Ultrasound Assisted Hydrolysis. **Carbohydrate Polymers**. Vol. 162, pp. 115-120. DOI: 10.1016/j.carbpol.2017.01.035

- [76] Daud, W. R. W. and Djuned, F. M. (2015). Cellulose Acetate from Oil Palm Empty Fruit Bunch Via a One Step Heterogeneous Acetylation. **Carbohydrate Polymers**. Vol. 132, pp. 252-260. DOI: 10.1016/j.carbpol.2015.06.011
- [77] Mohtar, S. S., Busu, T. N. Z. T. M., Noor, A. M. M. N., Shaari, N., and Mat, H. (2017). An Ionic Liquid Treatment and Fractionation of Cellulose, Hemicellulose and Lignin from Oil Palm Empty Fruit Bunch. **Carbohydrate Polymers**. Vol. 166, pp. 291-299. DOI: 10.1016/j.carbpol.2017.02.102
- [78] Tiong, Y. W., Yap, C. L., Gan, S., and Yap, W. S. P. (2017). One-Pot Conversion of Oil Palm Empty Fruit Bunch and Mesocarp Fiber Biomass to Levulinic Acid and Upgrading to Ethyl Levulinate Via Indium Trichloride-Lonic Liquids. **Journal of Cleaner Production**. Vol. 168, pp. 1251-1261. DOI: 10.1016/j.jclepro.2017.09.050
- [79] Lee, H. -S., Lee, H., Ha, J. -M., Kim, J., and Suh, D. J. (2015). Production of Aromatic Compounds from Oil Palm Empty Fruit Bunchesby Hydro- and Solvothermolysis. **Industrial Crops and Products**. Vol. 76, pp. 104-111. DOI: 10.1016/j.indcrop.2015.05.083
- [80] Koriakin, A., Moon, S., Kim, D. -W., and Lee, C. -H. (2017). Liquefaction of Oil Palm Empty Fruit Bunch Using Sub- and Supercritical Tetralin, *n*-dodecane, and Their Mixture. **Fuel**. Vol. 208, pp. 184-192. DOI: 10.1016/j.fuel.2017.07.010
- [81] Rasmussen, H., Mogensen, K. H., Jeppesen, M. D., Sorensen, H. R., and Meyer, A. S. (2016). 4-Hydroxybenzoic acid from hydrothermal pretreatment of oil palm empty fruit bunches - Its origin and influence on biomass conversion. **Biomass and Bioenergy**. Vol. 93, pp. 209-216
- [82] Ahmad, N., Ibrahim, N., Ali, U. F. M., Yusuf, S. Y., and Ridwan, F. M. (2016). Carbon-Supported CuO Catalyst Prepared from Oil Palm Empty Fruit Bunch (EFB) for Low-Temperature NO removal. **Procedia Engineering**. Vol. 148, pp. 823-829. DOI: 10.1016/j.proeng.2016.06.623
- [83] Ismail, K., Yarmo, M. A. Taufiq-Yap, Y. H., and Ahmad, A. (2012). The Effect of Particle Size of CaO and MgO as Catalysts for Gasification of Oil Palm Empty Fruit Bunch to Produce Hydrogen. **International Journal of Hydrogen Energy**. Vol. 37, pp. 3639-3644. DOI: 10.1016/j.ijhydene.2011.05.100
- [84] Abdullah, Sianipar, R. N. R., Ariyani, D., and Nata, I. F. (2017). Conversion of Palm Oil Sludge to Biodiesel Using Alum and KOH as Catalysts. **Sustainable Environment Research**. Vol. 27, Issue 6, pp. 291-295. DOI: 10.1016/j.serj.2017.07.002
- [85] Nasaruddin, R. R., Alam, M. Z., and Jami, M. S. (2014). Evaluation of Solvent System for the Enzymatic Synthesis of Ethanol-Based Biodiesel from Sludge Palm Oil (SPO). **Bioresource Technology**. Vol. 154, pp. 155-161. DOI: 10.1016/j.biortech.2013.11.095

- [86] Thangalazhy-Gopakumar, S., Al-Nadheri, W. M. A., Jegarajan, D., Sahu, J. N., Mubarak, N. M., and Nizamuddin, S. (2015). Utilization of Palm Oil Sludge Through Pyrolysis for Bio-Oil and Bio-Char Production. **Bioresource Technology**. Vol. 178, pp. 65-69. DOI: 10.1016/j.biortech.2014.09.068
- [87] Lee, X. J., Lee, L. Y., Hiew, B. Y. Z., Gan, S., Thangalazhy-Gopakumar, S., and Ng, H. K. (2017). Multistage Optimizations of Slow Pyrolysis Synthesis of Biochar from Palm Oil Sludge for Adsorption of Lead. **Bioresource Technology**. Vol. 245, Part A, pp. 944-953. DOI: 10.1016/j.biortech.2017.08.175
- [88] Nawawi, W. M. F. W., Jamal, P., and Alam, M. Z. (2010). Utilization of Sludge Palm Oil as a Novel Substrate for Biosurfactant Production. **Bioresource Technology**. Vol. 101, Issue 23, pp. 9241-9247. DOI: 10.1016/j.biortech.2010.07.024
- [89] Khankhaje, E., Salim, M. R., Mirza, J., Salmiati, Hussin, M. W., Khan, R., and Rafieizonooz, M. (2017). Properties of Quiet Pervious Concrete Containing Oil Palm Kernel Shell and Cockleshell. **Applied Acoustics**. Vol. 122, pp. 113-120. DOI: 10.1016/j.apacoust.2017.02.014
- [90] Gibigaye, M., Godonou, G. F., Katte, R., and Degan, G. (2017). Structured Mixture Proportioning for Oil Palm Kernel Shell Concrete. **Case Studies in Construction Materials**. Vol. 6, pp. 219-224. DOI: 10.1016/j.cscm.2017.04.004
- [91] Bediako, M., Gawu, S. K., Adjaottor, A. A., Ankrah, J. S., and Atiemo, E. (2016). Analysis of Co-Fired Clay and Palm Kernel Shells as a Cementitious Material in Ghana. **Case Studies in Construction Materials**. Vol. 5, pp. 46-52. DOI: 10.1016/j.cscm.2016.06.001
- [92] Daud, S. Ismail, H. and Bakar, A. A. (2016). The Effect of 3-aminopropyltrimethoxysilane (AMEO) as a Coupling Agent on Curing and Mechanical Properties of Natural Rubber/Palm Kernel Shell Powder Composites. **Procedia Chemistry**. Vol. 19, pp. 327-334. DOI: 10.1016/j.proche.2016.03.019
- [93] Rashidi, N. A. and Yusap, S. (2017). Potential of Palm Kernel Shell as Activated Carbon Precursors Through Single Stage Activation Technique for Carbon Dioxide Adsorption. **Journal of Cleaner Production**. Vol. 168, pp. 474-486. DOI: 10.1016/j.jclepro.2017.09.045
- [94] Zainal, N. H., Aziz, A. A., Idris, J., Mamat, R., Hassan, M. A., Bahrin, E. K. and Abd-Aziz, S. (2017). Microwave-Assisted Pre-Carbonisation of Palm Kernel Shell Produced Charcoal with High Heating Value and Low Gaseous Emission. **Journal of Cleaner Production**. Vol. 142, pp. 2945-2949. DOI: 10.1016/j.jclepro.2016.10.176
- [95] Karri, R. R. and Sahu, J. N. (2018). Modeling and Optimization by Particle Swarm Embedded Neural Network for Adsorption of Zinc(II) by Palm Kernel Shell Based Activated Carbon from Aqueous Environment. **Journal of Environmental Management**. Vol. 206, pp. 178-191. DOI: 10.1016/j.jenvman.2017.10.026

- [96] Hussain, M., Tufa, L. D., Azlan, R. N. A. R., Yusup, S. and Zabiri, H. (2016). Steady State Simulation Studies of Gasification System Using Palm Kernel Shell. **Procedia Engineering**. Vol. 148, pp. 1015-1021. DOI: 10.1016/j.proeng.2016.06.523
- [97] Asadullah, M., Rasid, N. S. A., Kadir, S. A. S. A. and Azdarpour, A. (2013). Production and Detailed Characterization of Bio-Oil from Fast Pyrolysis of Palm Kernel Shell. **Biomass and Bioenergy**. Vol. 59, pp. 316-324. DOI: 10.1016/j.biombioe.2013.08.037
- [98] Bazargan, A., Kostic, M. D., Stamenkovic, O. S., Veljkovic, V. B., and McKay, G. (2015). A Calcium Oxide-Based Catalyst Derived from Palm Kernel Shell Gasification Residues for Biodiesel Production. **Fuel**. Vol. 150, pp. 519-525. DOI: 10.1016/j.fuel.2015.02.046
- [99] Khanday, W. A., Kabir, G. and Hameed, B. H. (2016). Catalytic Pyrolysis of Oil Palm Mesocarp Fibre on a Zeolite Derived from Low-Cost Oil Palm Ash. **Energy Conversion and Management**. Vol. 127, pp. 265-272. DOI: 10.1016/j.enconman.2016.08.093
- [100] Kabir, G., Din, A. T. M. and Hameed, B. H. (2017). Pyrolysis of Oil Palm Mesocarp Fiber and Palm Frond in a Slow-Heating Fixed-Bed Reactor: A Comparative Study. **Bioresource Technology**. Vol. 241, pp. 563-572. DOI: 10.1016/j.biortech.2017.05.180
- [101] de Campos, A., de Sena Neto, A. R., Rodrigues, V. B., Luchesi, B. R., Moreira, F. K. V., Correa, A. C., Mattoso, L. H. C., and Marconcini, J. M. (2017). Bionanocomposites Produced from Cassava Starch and Oil Palm Mesocarp Cellulose Nanowhiskers. **Carbohydrate Polymers**. Vol. 175, pp. 330-336. DOI: 10.1016/j.carbpol.2017.07.080
- [102] Zakaria, M. R., Hirata, S., and Hassan, M. A. (2014). Combined Pretreatment Using Alkaline Hydrothermal and Ball Milling to Enhance Enzymatic Hydrolysis of Oil Palm Mesocarp Fiber. **Bioresource Technology**. Vol. 169, pp. 236-243. DOI: 10.1016/j.biortech.2014.06.095
- [103] YuSoff, M. Z. M., Akita, H., Hassan, M. A., Fujimoto, S., Yoshida, M., Nakashima, N., and Hoshino, T. (2017). Production of Acetoin from Hydrothermally Pretreated Oil Mesocarp Fiber Using Metabolically Engineered *Escherichia coli* in a Bioreactor System. **Bioresource Technology**. Vol. 245, Part A, pp. 1040-1048. DOI: 10.1016/j.biortech.2017.08.131
- [104] Zakaria, M. R., Norrrahim, M. N. F., Hirata, S., and Hassan, M. A. (2015). Hydrothermal and Wet Disk Milling Pretreatment for High Conversion of Biosugars from Oil Palm Mesocarp Fiber. **Bioresource Technology**. Vol. 181, pp. 263-269. DOI: 10.1016/j.biortech.2015.01.072
- [105] Saidu, M., Yuzir, A., Salim, M. R., Salmiati, Azman, S., and Abdullah, N. (2014). Biological Pre-Treated Oil Palm Mesocarp Fibre with Cattle Manure for Biogas Production by Anaerobic Digestion During Acclimatization Phase. **International Biodeterioration & Biodegradation**. Vol. 95, Part A, pp. 189-194. DOI: 10.1016/j.ibiod.2014.06.014
- [106] Zulkifli, S., Abdulmalek, E., and Rahman, M. B. A. (2017). Pretreatment of Oil Palm Trunk in Deep Eutectic Solvent and Optimization of Enzymatic Hydrolysis of Pretreated Oil Palm Trunk. **Renewable Energy**. Vol. 107, pp. 36-41. DOI: 10.1016/j.renene.2017.01.037

- [107] Noparat, P., Prasertsan, P., O-Thong, S., and Pan, X. (2017). Sulfite Pretreatment to Overcome Recalcitrance of Lignocellulose for Enzymatic Hydrolysis of Oil Palm Trunk. **Energy Procedia**. Vol. 138, pp. 1122-1127. DOI: 10.1016/j.egypro.2017.10.209
- [108] Sitthikitpanya, S., Reungsang, A., Prasertsan, P., and Khanal, S. K. (2017). Two-Stage Thermophilic Bio-Hydrogen and Methane Production from Oil Palm Trunk Hydrolysate Using *Thermoanaerobacterium thermosaccharolyticum* KKU19. **International Journal of Hydrogen Energy**. Vol. 42, Issue 47, pp. 28222-28232. DOI: 10.1016/j.ijhydene.2017.09.136
- [109] Noparat, P., Prasertsan, P., O-Thong, S., and Pan, X. (2015). Dilute Acid Pretreatment of Oil Palm Trunk Biomass at High Temperature for Enzymatic Hydrolysis. **Energy Procedia**. Vol. 79, pp. 924-929. DOI: 10.1016/j.egypro.2015.11.588
- [110] Eom, I. -Y., Oh, Y. -H., Park, S. J., Lee, S. -H., and Yu, J. -H. (2015). Fermentative L-Lactic Acid Production from Pretreated whole Slurry of Oil Palm Trunk Treated by Hydrothermolysis and Subsequent Enzymatic Hydrolysis. **Bioresource Technology**. Vol. 185, pp. 143-149. DOI: 10.1016/j.biortech.2015.02.060
- [111] Nipattummakul, N., Ahmed, I. I., Kerdsuwan, S., and Gupta, A. K. (2012). Steam Gasification of Oil Palm trunk Waste for Clean Syngas Production. **Applied Energy**. Vol. 92, pp. 778-782. DOI: 10.1016/j.apenergy.2011.08.026
- [112] Lamaming, J., Hashim, R., Sulaiman, O., Leh, C. P., Sugimoto, T., and Nordin, N. A. (2015). Cellulose Nanocrystals Isolated from Oil Palm Trunk. **Carbohydrate Polymers**. Vol. 127, pp. 202-208. DOI: 10.1016/j.carbpol.2015.03.043
- [113] Lamaming, J., Hashim, R., Leh, C. P., and Sulaiman, O. (2017). Properties of Cellulose Nanocrystals from Oil Palm Trunk Isolated by Total Chlorine Free Method. **Carbohydrate Polymers**. Vol. 156. pp. 409-416. DOI: 10.1016/j.carbpol.2016.09.053
- [114] Jumhuri, N., Hashim, R., Sulaiman, O., Nadhari, W. N. A. W., Salleh, K. M., Khalid, I., Saharudin, N. Z., and Razali, M. Z. (2014). Effect of Treated Particles on the Properties of Particleboard Made from Oil Palm Trunk. **Materials and Design**. Vol. 64, pp. 769-774. DOI: 10.1016/j.matdes.2014.08.053
- [115] Selamat, M. E., Sulaiman, O., Hashim, R., Hiziroglu, S., Nadhari, W. N. A. W., Sulaiman, N. S. and Razali, M. Z. (2014). Measurement of Some Particleboard Properties Bonded with Modified Carboxymethyl Starch of Oil Palm Trunk. **Measurement**. Vol. 53, pp. 251-259
- [116] Tay, P. W., H'ng, P. S., Chin, K. L., Wong, L. J., and Luqman, A. C. (2013). Effects of Steeping Variables and Substrate Mesh Size on Starch Yield Extracted from Oil Palm Trunk. **Industrial Crops and Products**. Vol. 44, pp. 240-245. DOI: 10.1016/j.measurement.2014.04.001
- [117] Ezebor, F., Khairuddean, M. Abdullah, A. Z., and Boey, P. L. (2014). Oil Palm Trunk and Sugarcane Bagasse Derived Heterogeneous Acid Catalysts for Production of Fatty Acid Methyl Esters. **Energy**. Vol. 70, pp. 493-503. DOI: 10.1016/j.energy.2014.04.024

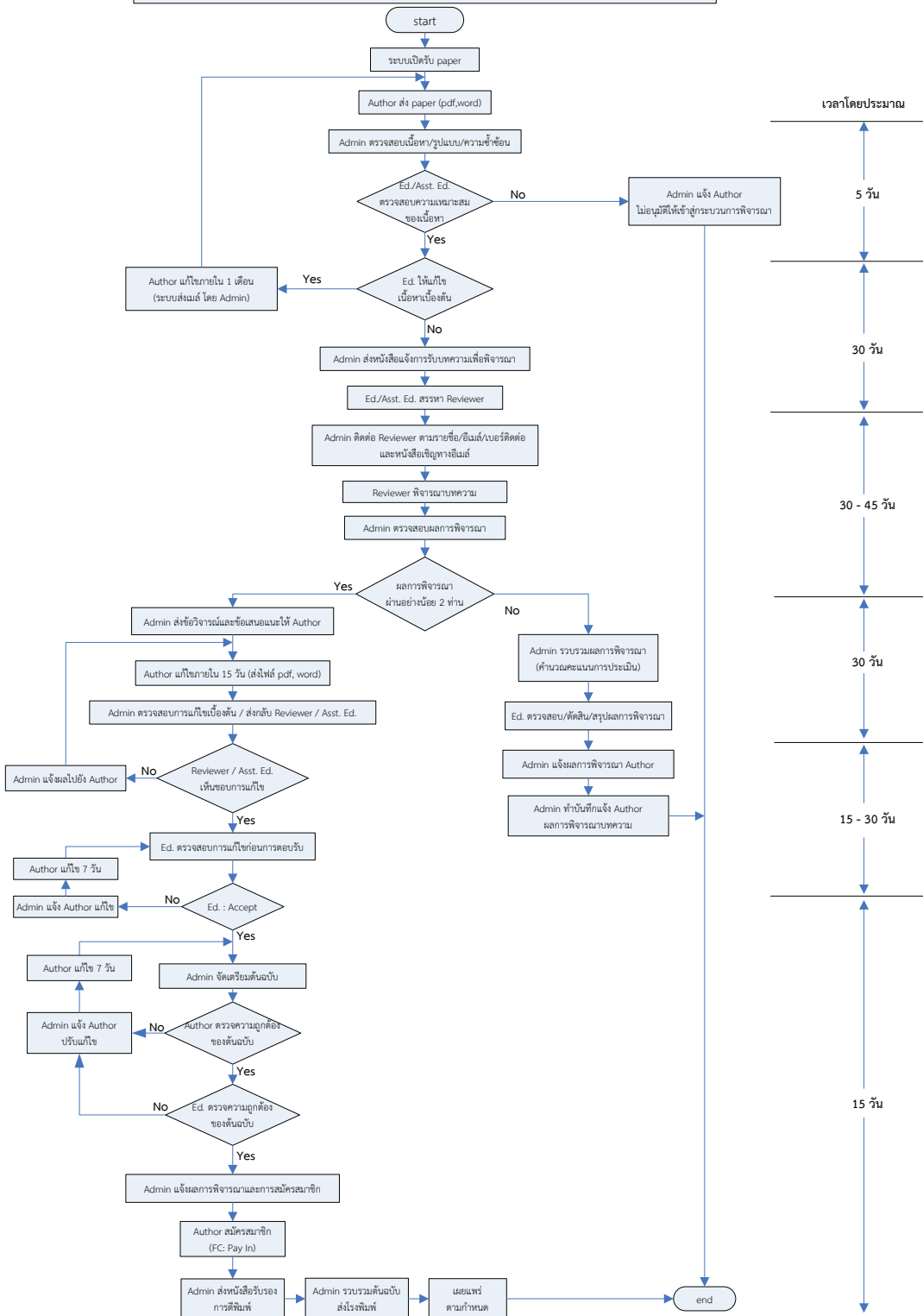


คำแนะนำสำหรับผู้เขียน



**RMUTI**  
ราชมงคลอีสาน

**ผังการดำเนินงานการสาร มหาวิทยาลัยและเทคโนโลยี**



**สารสาร มทร.อีสาน**  
**RMUTI JOURNAL**

**1. ประเภทของบทความที่ตีพิมพ์**

1.1 บทความวิจัย (Research Article) เป็นบทความที่ได้จากการวิจัย

1.2 บทความวิชาการ (Academic Article) เป็นบทความที่มีลักษณะดังนี้

1. เป็นบทความจากการทบทวนเอกสาร ซึ่งเป็นผลมาจากการวิจัยหลาย ๆ ครั้ง ถือเป็นบทความที่มีความสำคัญเป็นอย่างยิ่ง

2. เป็นบทความนำเสนอกระบวนการในการพัฒนาผลิตภัณฑ์ การทดสอบภาคสนาม รวมไปถึงเทคนิคการวิเคราะห์ใหม่ ๆ

3. เป็นบทความที่มาจากการประสบการณ์ หรือความชำนาญของผู้เขียน

4. เป็นบทความเกี่ยวกับนโยบายด้านต่าง ๆ ของหน่วยงาน

**2. รูปแบบการพิมพ์บทความ**

การตั้งค่าหน้ากระดาษ

- ระยะขอบ

ขอบบน (Top Margin) 2.54 ซม. ขอบล่าง (Bottom Margin) 2.54 ซม.

ขอบขวา (Right Margin) 2.54 ซม. ขอบซ้าย (Left Margin) 3.17 ซม.

- ระยะห่างบรรทัด 1 เท่า

- รูปแบบตัวอักษร บทความภาษาไทยใช้ TH SarabunPSK

บทความภาษาอังกฤษใช้ Times New Roman

- การย่อหน้า 7 ตัวอักษร พิมพ์ตัวที่ 8

- จำนวนหน้า 8 - 12 หน้า หากเกินจำนวนคิดค่าใช้จ่ายหน้าละ 400 บาท (แต่ไม่ควรเกิน 15 หน้า)

- ชื่อบทความ ภาษาไทย ขนาดตัวอักษร 20 ตัวหนา

ภาษาอังกฤษ ขนาดตัวอักษร 18 ตัวหนา

- ชื่อผู้เขียน กรณีบทความภาษาไทย ขนาดตัวอักษร 16 และจัดชิดซ้าย

กรณีบทความภาษาอังกฤษ ขนาดตัวอักษร 14 และจัดชิดซ้าย

- ตัวเลขยก (ต่อท้ายนามสกุล) ขนาดตัวอักษร 14

- ที่อยู่ บทความภาษาไทยหรือบทความภาษาอังกฤษ เขียนในรูปแบบภาษาอังกฤษเท่านั้น  
ขนาดตัวอักษร 10

- ชื่อหัวเรื่องหลักในบทความ เช่น “บทคัดย่อ” “คำสำคัญ” “วิธีดำเนินการ” “ผลการวิจัย”

“สรุปผลการวิจัย” “กิจกรรมประการ” “เอกสารอ้างอิง” จัดชิดซ้ายหน้ากระดาษ

กรณีบทความภาษาไทย ขนาดตัวอักษร 18 ตัวหนา

กรณีบทความภาษาอังกฤษ ขนาดตัวอักษร 16 ตัวหนา

- ชื่อหัวเรื่องรอง จัดขึดซ้ายหน้ากระดาษ
 

กรณีบพความภาษาไทย	ขนาดตัวอักษร 14 ตัวหนา
กรณีบพความภาษาอังกฤษ	ขนาดตัวอักษร 10 ตัวหนา
- เนื้อหาในส่วนต่าง ๆ และคำสำคัญ
 

กรณีบพความภาษาไทย	ขนาดตัวอักษร 14
กรณีบพความภาษาอังกฤษ	ขนาดตัวอักษร 10
- ชื่อตาราง
 

กรณีบพความภาษาไทย ข้อความ “ตารางที่ x” ใช้ขนาดตัวอักษร 14 ตัวหนา วางด้านบน ชิดซ้ายหน้ากระดาษ ตามด้วยชื่อตารางที่เป็นตัวอักษรขนาด 14 ไม่หนา

กรณีบพความภาษาอังกฤษ ข้อความ “Table x” ใช้ขนาดตัวอักษร 10 ตัวหนา วางด้านบน ชิดซ้ายหน้ากระดาษ ตามด้วยชื่อตารางที่เป็นตัวอักษรขนาด 10 ไม่หนา
- ชื่อรูปภาพ
 

กรณีบพความภาษาไทย ข้อความ “รูปที่ x” ใช้ขนาดตัวอักษร 14 ตัวหนา วางด้านล่างจัดชิดซ้ายหน้ากระดาษ ตามด้วยคำชื่อรูปที่เป็นตัวอักษรขนาด 14 ไม่หนา

กรณีบพความภาษาอังกฤษ ข้อความ “Figure x” ใช้ขนาดตัวอักษร 14 ตัวหนา วางด้านล่างจัดชิดซ้ายหน้ากระดาษ ตามด้วยคำชื่อรูปที่เป็นตัวอักษรขนาด 14 ไม่หนา

### 3. ส่วนประกอบของบทความแต่ละประเภท

#### 3.1 บทความวิจัย จะประกอบไปด้วย

##### ก. ส่วนปก

1. ชื่อหัวความ (Title) ภาษาไทยและภาษาอังกฤษ ควรกระหัตดัด ไม่ยาวเกินไป ชื่อเรื่องต้องมีทั้งภาษาไทยและภาษาอังกฤษ

2. ชื่อผู้เขียน (Authors) ชื่อเต็ม – นามสกุลเต็ม ของผู้เขียนทุกคน โดยให้รายละเอียด ต้นลั่งกัดของผู้เขียนไว้ที่บรรทัดล่างสุดของหน้าแรก พร้อมทั้งระบุชื่อผู้เขียนประสานงาน (Corresponding Author) ด้วยการระบุ E-mail address ที่สามารถติดต่อได้ และให้เครื่องหมายดอกจันทร์ตัวยก กำกับไว้ต่อท้ายนามสกุล และตัวเลขยก ให้เขียนไว้ต่อท้ายนามสกุล เพื่อระบุที่อยู่ของผู้เขียน

3. บทคัดย่อ (Abstract) ควรสั้น ตรงประเด็น ครอบคลุมสาระสำคัญของการศึกษา ประกอบไปด้วยเนื้อหา ได้แก่ วัตถุประสงค์ วิธีการ ผลการวิจัย และการอภิปรายผล เป็นต้น โดยเขียนลงใน 1 ย่อหน้า ถ้าหากความเป็นภาษาไทย จะต้องมีบทคัดย่อภาษาไทย 1 ย่อหน้า และภาษาอังกฤษ 1 ย่อหน้า โดยให้ภาษาไทยขึ้นก่อน เนื้อความในบทคัดย่อภาษาไทยและภาษาอังกฤษต้องมีความหมายเดียวกัน ความยาวของบทคัดย่อภาษาอังกฤษ กำหนดให้มีความยาวได้ไม่เกิน 300 คำ

4. คำสำคัญ (Key words) ภาษาไทยและภาษาอังกฤษที่มีความหมายตรงกัน เป็นการกำหนดคำสำคัญที่สามารถนำไปใช้เป็นคำสืบค้นในระบบฐานข้อมูล กำหนดให้มีคำสำคัญได้อย่างน้อย 3 คำ แต่ไม่เกิน 5 คำ

**หมายเหตุ : เนื้อหาล่วงปีจะต้องเขียนให้อยู่ในกระดาษจำนวน 1 หน้า เท่านั้น**

## ข. ส่วนเนื้อหา

1. บทนำ (**Introduction**) เพื่ออธิบายถึงความสำคัญของปัญหา และวัตถุประสงค์ของการวิจัย รวมถึงการทบทวนวรรณกรรม และเอกสารที่เกี่ยวข้อง

2. วัสดุ อุปกรณ์ และวิธีการ (**Materials and Methods**) / วิธีดำเนินการวิจัย (**Research Methodology**) อธิบายเครื่องมือและวิธีการดำเนินการวิจัยให้ชัดเจน

3. ผลการวิจัย (**Results**) เสนอผลการทดลองอย่างชัดเจน ตรงประเด็น ควรมีรูปภาพ และ/หรือ ตารางประกอบการอธิบายผลในตารางและรูปภาพ ต้องไม่เข้าข้องกัน รูปภาพและตารางของบทความที่เป็นภาษาไทย ให้บรรยายเป็นภาษาไทย รูปภาพและตารางของบทความที่เป็นภาษาอังกฤษ ให้บรรยายเป็นภาษาอังกฤษ

4. การอภิปรายผล (**Discussion**) เป็นการอภิปรายผลการวิจัย เพื่อให้ผู้อ่านมีความเห็นคล้ายตาม เพื่อเปรียบเทียบกับผลการวิจัยของผู้อื่น พร้อมทั้งเสนอแนวทางที่จะนำไปใช้ประโยชน์ผลการวิจัย และการอภิปรายผล (**Results and Discussion**) อาจนำมาเขียนตอนเดียวกันได้

5. บทสรุป (**Conclusion**) สรุปประเด็น และสาระสำคัญของการวิจัย

6. กิตติกรรมประกาศ (**Acknowledgements**) เพื่อแสดงความขอบคุณแก่ผู้ให้ความช่วยเหลือในการวิจัย อาจมีหรือไม่มีก็ได้

7. เอกสารอ้างอิง (**References**) เป็นรายการเอกสารที่ถูกอ้างไว้ในส่วนของเนื้อเรื่อง เพื่อใช้เป็นหลักในการค้นคว้าวิจัย จำนวนเอกสารที่นำมาอ้างอิงตอนท้ายต้องมีจำนวนตรงกับที่ถูกอ้างอิงไว้ ในส่วนของเนื้อเรื่องที่ปรากฏในบทความเท่านั้น การจัดเรียงให้เรียงตามลำดับการอ้างอิงในเนื้อหา โดยให้ยึดถือรูปแบบการเขียนเอกสารอ้างอิงตามที่ทางวารสาร มทร.อีสาน กำหนด และต้องเขียนในรูปแบบภาษาอังกฤษเท่านั้น

## 3.2 บทความวิชาการ จะประกอบไปด้วย

### ก. ส่วนปก

มีส่วนประกอบเหมือนบทความวิจัย และเขียนให้อยู่ในกระดาษ จำนวน 1 หน้า เท่านั้น

### ข. ส่วนเนื้อหา

1. บทนำ (**Introduction**) เป็นส่วนของที่มาของมูลเหตุของการเขียนบทความ

2. วิธีการศึกษา/วิธีดำเนินการ (**Method**) (ถ้ามี) เป็นการอธิบายวิธีการศึกษา หรือ การดำเนินการตามประเภทของบทความวิชาการ

3. ผลการศึกษา/ผลการดำเนินการ (**Results**) เป็นการเสนอผลอย่างชัดเจน ตามประเด็นโดยลำดับตามทัวร์ที่ศึกษาหรือดำเนินการ

4. สรุป (**Conclusion**) สรุปประเด็น และสาระสำคัญที่ได้จากการศึกษา

5. เอกสารอ้างอิง (**References**) ใช้รูปแบบที่วารสารกำหนด รายการการอ้างอิง ต้องเขียนในรูปแบบภาษาอังกฤษเท่านั้น

#### 4. การอ้างอิงเอกสารในเนื้อเรื่องของบทความ (In-text Citations)

การอ้างอิงเอกสารในเนื้อเรื่องใช้ ระบบตัวเลข (Numerical System) เท่านั้น โดยรายการอ้างอิงเอกสารให้จัดซิดช้ายหน้ากระดาษ หมายเลขลำดับของเอกสารอ้างอิงในเครื่องหมายวงเล็บกรอบสีเหลี่ยม ตัวอย่างเช่น [1] เป็นต้น หากเป็นการอ้างอิงเอกสารหลายฉบับในเวลาเดียวกัน ให้ใส่หมายเลขอ้างอิงเรียงตามลำดับ จากน้อยไปมาก เช่น [1] - [3] หรือ [1] - [2], [5] เป็นต้น

##### การเขียนรายการเอกสารอ้างอิง (Reference list)

###### 1) หนังสือ

[X] ผู้แต่ง./.(ปีที่พิมพ์).//ชื่อหนังสือ./.ครั้งที่พิมพ์(ถ้ามี).//เมืองที่พิมพ์:/./สำนักพิมพ์.  
ตัวอย่างเช่น

- [1] Herren, Ray V. (1994). **The Science of Animal Agriculture**. Albany, N.Y. : Delmar Publishers.

###### 2) หนังสือแปล

[X] ผู้แต่ง./.(ปีที่พิมพ์).//ชื่อเรื่องของหนังสือแปล//แปลจาก(ชื่อเรื่องในภาษาเดิม).//โดย/  
ชื่อผู้แปล./.ครั้งที่พิมพ์(ถ้ามี).//เมืองที่พิมพ์:/./สำนักพิมพ์  
ตัวอย่างเช่น

- [2] Grmek, Mirko D. (1990). **History of AIDS : Emerging and Origin of a Modern Pandemic**.  
Translated by Russell C. Maulitz, and Jacalyn Duffin. Princeton, N.J.: University Press

###### 3) บทความหรือบทในหนังสือ

[X] ผู้เขียนบทความ./.(ปีที่พิมพ์).//ชื่อบทความ./ชื่อเรื่อง./.ชื่อบรรณาธิการหรือผู้ร่วมรวม(ถ้ามี).//  
หน้า/เลขหน้า./.สถานที่พิมพ์:/./สำนักพิมพ์

ตัวอย่างเช่น

- [3] McTaggart, J. M. E. (1993). The Unreality of Time. **Philosophy of Time**. Robin Le Poidevin, and Murray MacBeath, eds. pp. 23-34. Oxford : Oxford University Press

###### 4) บทความในหนังสือรายงานประชุมทางวิชาการ/สัมมนาทางวิชาการ

[X] ผู้เขียนบทความ./.(ปีที่พิมพ์).//ชื่อบทความ./ชื่อบรรณาธิการ(ถ้ามี).//ชื่อเรื่องรายงาน  
การประชุม./.หน้า/เลขหน้า./.สถานที่พิมพ์:/./สำนักพิมพ์

ตัวอย่างเช่น

- [4] Beales, P. F. (1980). The Status of Malaria in Southeast Asia. **Proceedings of the Third Asian Congress of Pediatrics**. Aree Valyasevi, and Vidhaya Mekanandha, eds. pp. 52-58. Bangkok : Bangkok Medical Publisher

### 5) วารสาร

[X] ผู้เขียนบทความ./.(ปีที่พิมพ์).//ชื่อบทความ./.ชื่อวารสาร./.ปีที่./.ฉบับที่./.หน้า/เลขหน้า  
ตัวอย่างเช่น

- [5] Vitsanusat, A. and Phachirarat, S. (2015). Measurement of Radon in Drinking Water at Amphur Meaung, Khonkhaen Province with Ionization chamber. **RMUTI Journal Science and Technology**. Vol. 8, No. 2, pp. 12-20

### 6) บทความในหนังสือพิมพ์

[X] ชื่อผู้เขียน./.(ปี./วัน./เดือน).//ชื่อบทความ./ใน/ชื่อหนังสือพิมพ์./หน้า/เลขหน้า  
ตัวอย่างเช่น

- [6] Vitud Muntarbhorn. (1994. 21. March). **The Sale of Children as a Global Dilemma**. Bangkok Post. p. 4

### 7) บทความในสารานุกรม

[X] ชื่อผู้เขียนบทความ./.(ปีที่พิมพ์).//ชื่อบทความ./ใน/ชื่อสารานุกรม./เล่มที่:/หน้า/เลขหน้า-เลขหน้า  
ตัวอย่างเช่น

- [7] Morrow, Blaine Victor. (1993). Standards for CD-Rom Retrieval. **Encyclopedia of Library and Information Science**. Vol. 51, pp. 380-389

### 8) วิทยานิพนธ์

[X] ผู้เขียนวิทยานิพนธ์./.(ปีที่พิมพ์).//ชื่อวิทยานิพนธ์./ระดับวิทยานิพนธ์/ชื่อสาขา/คณะ/  
มหาวิทยาลัย  
ตัวอย่างเช่น

- [8] Phillips, O. C., Jr. (1962). **The Indfluence of Ovid on Lucan's Bellum Civil**. Ph.D.  
Dissertation University of Chicago

### 9) สื่ออิเล็กทรอนิกส์ (สื่ออิเล็กทรอนิกส์) : www

[X] ผู้เขียน./.ปี./.ชื่อบทความ./.ชื่อวารสารหรือนิตยสาร./.ปีที่(เดือนหรือฉบับที่):/เลขหน้า(ถ้ามี).//  
เข้าถึงเมื่อ (วัน เดือน ปีที่ค้นข้อมูล)/เข้าถึงได้จาก (ที่อยู่ของบทความหรือสื่ออิเล็กทรอนิกส์ URL)  
ตัวอย่างเช่น

- [9] Department of the Environment and Heritage. (1999). **Guide to Department and Agency Libraries**. Access (17 November 2000). Available (<http://www.erin.gov.au/library/guide.html>)

### 10) ผู้แต่งเป็นหน่วยงาน

[X] ชื่อหน่วยงาน./.(ปีที่พิมพ์).//ชื่อหนังสือ/เล่มที่(ถ้ามี).//ครั้งที่พิมพ์(ถ้ามี).//เมืองที่พิมพ์:/  
สำนักพิมพ์

ตัวอย่างเช่น

- [10] มหาวิทยาลัยสงขลานครินทร์. (2552). รายงานประจำปี 2551. ลงชื่อ : มหาวิทยาลัยสงขลานครินทร์

### 11) มีเฉพาะชื่อบรรณा�ธิการเป็นผู้ร่วบรวม

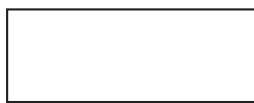
[X] ชื่อบรรณा�ธิการ หรือผู้ร่วบรวม หรือผู้เรียนเรียง./.(ปีที่พิมพ์)/.ชื่อหนังสือ./.เล่มที่ (ถ้ามี)/.ครั้งที่พิมพ์(ถ้ามี)/.เมืองที่พิมพ์/:/สำนักพิมพ์

ตัวอย่างเช่น

[11] เรืองวิทย์ ลิ่มปนาท. (2543). ห้องลิน - อินเดีย. ชลบุรี : ภาควิชาประวัติศาสตร์ คณะมนุษยศาสตร์ และสังคมศาสตร์ มหาวิทยาลัยบูรพา

## 5. รูปแบบการใส่รูปภาพในเนื้อหาบทความ

- 1) ชื่อรูปภาพห้ามขึ้นต้นด้วยคำว่า “แสดง”
- 2) รูปภาพที่แสดงต้องมีคำอธิบายอยู่ในเนื้อหาบทความที่มีการระบุถึงรูปภาพนั้น ๆ
- 3) คำอธิบายรูปภาพ ให้เขียนไว้ใต้รูปภาพแต่ละรูปภาพ โดยจัดรูปภาพไว้กึ่งกลางหน้ากระดาษ และคำอธิบายจัดขึ้นด้านซ้ายหน้ากระดาษ
- 4) ไฟล์ของรูปภาพต้องเป็นไฟล์ที่มีนามสกุล .jpg, .png, .tiff หรือ .eps เท่านั้น ความละเอียดไม่ต่ำกว่า 300 dpi
- 5) ลายเส้นที่ปรากฏบนรูปภาพต้องมีความคมชัด กรณีที่เป็นรูปกราฟ ต้องระบุชื่อแกนต่าง ๆ ให้ครบถ้วน
- 6) กรณีที่มีรูปภาพอยู่อย่างเดียว ควรจัดให้รูปภาพอยู่ทึ่งหมดอยู่ในหน้าเดียวกัน สำหรับบทความภาษาไทย ให้เขียนคำบรรยายใต้ชื่อรูปอย่างแต่ละรูป และกำหนดลำดับของรูปภาพด้วยตัวอักษร ตัวอย่างเช่น



(ก) รูปอย่างที่ 1

(ข) รูปอย่างที่ 2

รูปที่ 1 ตัวอย่างการเขียนคำอธิบายรูปภาพ

สำหรับบทความภาษาอังกฤษ ให้ใช้อักษร (a), (b),... แทนการกำหนดครูปภาพอย่าง

7) หลีกเลี่ยงการใช้รูปภาพสีหากไม่จำเป็น ทางวารสารอนุญาตให้มีการใช้รูปที่เป็นภาพสี ในแต่ละบทความได้ไม่เกิน 2 รูปต่อบทความ หากเกินทางวารสารขอคิดคำใช้จ่าย รูปละ 50 บาท กรณีที่เป็นกราฟ ควรกำหนดลักษณะเล่นที่แตกต่างกัน เพื่อให้สามารถเข้าใจได้ เมื่อมีการจัดพิมพ์ แบบขาว - ดำ

8) ขนาดของรูปต้องไม่ใหญ่เกินกว่าความกว้างของหน้ากระดาษที่กำหนดไว้

## 6. รูปแบบการใส่ตารางในเนื้อหาบทความ

- 1) ชื่อตารางห้ามขึ้นต้นด้วยคำว่า “แสดง”
- 2) ตารางที่แสดงต้องมีคำอธิบายอยู่ในเนื้อหาบทความที่มีการระบุถึงตารางนั้น ๆ
- 3) คำอธิบายตาราง ให้เขียนไว้ด้านบนของตาราง โดยจัดคำอธิบายไว้ชิดขอบด้านซ้ายของหน้ากระดาษ และตารางอยู่กึ่งกลางหน้ากระดาษ
- 4) ขนาดของตารางต้องไม่ใหญ่เกินกว่าความกว้างของหน้ากระดาษที่กำหนดไว้

## 7. รูปแบบการใส่สมการในเนื้อหาบทความ

- 1) จัดตำแหน่งของสมการไว้กึ่งกลางหน้ากระดาษ
- 2) พิมพ์สมการด้วยโปรแกรม MathType โดยใช้รูปแบบตัวอักษร Time New Roman ขนาด 10
- 3) ระบุเลขลำดับสมการโดยเขียนไว้ในวงเล็บ จัดตำแหน่งเลขสมการซิดขวาของหน้ากระดาษ เช่น

$$y = ax + b \quad (1)$$

- 4) ทุกสมการต้องมีการอ้างถึงในเนื้อหา ให้ระบุเลขและเขียนไว้ในวงเล็บ เช่นเดียวกับที่ปรากฏในสมการ

## 8. การดำเนินงานของกองบรรณาธิการ

- 1) กองบรรณาธิการจะพิจารณาทบทวนความเห็นของต้นเกี่ยวกับความถูกต้องของรูปแบบทั่วไป บทความที่ไม่ดำเนินการตามรูปแบบที่กำหนดจะไม่รับเข้าสู่กระบวนการพิจารณาโดยผู้ทรงคุณวุฒิ และจะถูกกลับเพื่อทำการแก้ไข
- 2) เจ้าของบทความที่ผ่านการพิจารณาให้ตีพิมพ์ลงในวารสาร จะต้องสมัครสมาชิกวารสาร มทร.อีสาน อย่างน้อย 1 ปี เพื่อเป็นการยืนยันการตีพิมพ์บทความลงในวารสาร
- 3) เมื่อบทความผ่านการพิจารณาให้ตีพิมพ์ลงในวารสาร และผู้เขียนได้ดำเนินการ และจัดเตรียมเอกสารต่าง ๆ อย่างถูกต้อง ครบถ้วนตามข้อกำหนดของวารสารเป็นที่เรียบร้อยแล้ว ผู้เขียนจะได้รับหนังสือรับรองการตีพิมพ์บทความเพื่อเป็นการยืนยัน
- 4) หากทางวารสารตรวจสอบว่าบทความที่ถูกส่งเข้ามา มีการคัดลอก หรือเผยแพร่ในที่อื่น ๆ ก่อนหน้า หรือมีการดำเนินการใด ๆ อันเป็นการกระทำที่ผิดจรรยาบรรณของนักวิจัย ทางวารสาร จะดำเนินการทำหนังสือแจ้งไปยังหน่วยงานต้นสังกัด และระงับการพิจารณาและรับบทความจากผู้เขียน บทความนั้นเป็นระยะเวลาอย่างน้อย 5 ปี



หมายเลขอสมाचิก  
.....  
(สำหรับเจ้าหน้าที่)

แบบฟอร์มการสั่งบทความ  
วารสาร มทร.อีสาน ฉบับวิทยาศาสตร์และเทคโนโลยี

วันที่.....

ข้าพเจ้า (นาย/นาง/นางสาว) .....

ระดับการศึกษาสูงสุด ..... ตำแหน่งทางวิชาการ .....

หน่วยงาน .....

ที่อยู่ที่สามารถติดต่อได้ลักษณะ.....

โทรศัพท์..... โทรสาร..... โนมาย.....

e-mail.....

ขอส่ง  บทความวิจัย  บทความวิชาการ  บทความจากวิทยานิพนธ์/สารนิพนธ์

ชื่อบทความ (ภาษาไทย) .....

.....  
(ภาษาอังกฤษ) .....

ชื่อผู้เขียนร่วม

1. .....
2. .....
3. .....
4. .....

สาขาหลักของบทความ (กรุณาเลือก)

วิศวกรรมศาสตร์ ENG  เกษตรศาสตร์ AGR  สหวิทยาการวิทยาศาสตร์และเทคโนโลยีสิทธิ IG

สาขาวงของบทความ (สามารถเลือกได้มากกว่า 1 ช้อ)

- |  |  |  |
|--|--|--|
| <input type="checkbox"/> ไฟฟ้า             | <input type="checkbox"/> อิเล็กทรอนิกส์      | <input type="checkbox"/> คอมพิวเตอร์       |
| <input type="checkbox"/> สื่อสาร-โทรคมนาคม | <input type="checkbox"/> สัตวศาสตร์          | <input type="checkbox"/> ศิลปะและการออกแบบ |
| <input type="checkbox"/> วัสดุและโลหะ      | <input type="checkbox"/> โยธา-สำรวจ          | <input type="checkbox"/> ลิ้งแวดล้อม       |
| <input type="checkbox"/> พลังงาน           | <input type="checkbox"/> สถาปัตยกรรม         | <input type="checkbox"/> พืชไร่            |
| <input type="checkbox"/> พิชสวน            | <input type="checkbox"/> วิทยาศาสตร์การอาหาร | <input type="checkbox"/> ICT               |
| <input type="checkbox"/> อุตสาหการ         | <input type="checkbox"/> เคมี                | <input type="checkbox"/> คณิตศาสตร์        |
| <input type="checkbox"/> สสติประยุกต์      | <input type="checkbox"/> เครื่องกล           | <input type="checkbox"/> โภชนาศาสตร์       |
| <input type="checkbox"/> พลิกก์            | <input type="checkbox"/> อื่น ๆ .....        |  |

ขอเสนอชื่อผู้ทรงคุณวุฒิที่มีความเชี่ยวชาญในสาขาวิชาที่เกี่ยวข้อง

1. ชื่อ-สกุล ..... ตำแหน่งทางวิชาการ.....

คุณวุฒิ..... สาขาวิชาที่เชี่ยวชาญ.....

หน่วยงานที่สังกัด.....

ที่อยู่สำหรับล่งเอกสาร.....

หมายเลขอรหัสพท..... Email.....

2. ชื่อ-สกุล ..... ตำแหน่งทางวิชาการ.....

คุณวุฒิ..... สาขาวิชาที่เชี่ยวชาญ.....

หน่วยงานที่สังกัด.....

ที่อยู่สำหรับล่งเอกสาร.....

หมายเลขอรหัสพท..... Email.....

#### หมายเหตุ

1. ผู้ทรงคุณวุฒิต้องมีตำแหน่งทางวิชาการ ระดับ พศ. ขึ้นไป หรือจบการศึกษาระดับปริญญาเอก และต้องไม่สังกัดหน่วยงานเดียวกับผู้ประพันธ์

2. กองบรรณาธิการขอสงวนสิทธิ์ในการเป็นผู้พิจารณาคัดเลือกผู้ทรงคุณวุฒิเพื่อพิจารณาผลงานทางวิชาการ

3. เจ้าของบทความที่ผ่านการพิจารณาให้ตีพิมพ์ลงในวารสาร จะต้องสมัครสมาชิกวารสาร มทร.อีสาน อย่างน้อย 1 ปี เพื่อเป็นการยืนยันการตีพิมพ์บทความลงในวารสาร

ข้าพเจ้าได้รับทราบและยินดีปฏิบัติตามเงื่อนไขและข้อกำหนดดัง ฯ ในแบบฟอร์มแบบท้าย ซึ่งมีรายละเอียดอยู่ใน “คำแนะนำผู้เขียน” ที่ทางกองบรรณาธิการ วารสาร มทร.อีสาน ได้กำหนดขึ้น และยินดีให้กองบรรณาธิการมีสิทธิ์ที่จะไม่รับพิจารณา หากไม่ติดรูปแบบตามที่กำหนด ยินยอมให้มีสิทธิ์ในการเลือกสรรหาผู้กลั่นกรองโดยอิสระเพื่อพิจารณาต้นฉบับที่ข้าพเจ้า (และผู้แต่งร่วม) ล่งมา ยินยอมให้กองบรรณาธิการสามารถตรวจสอบแก้ไขต้นฉบับดังกล่าวได้ตามที่เห็นสมควร และข้าพเจ้า “ขอรับรองว่า บทความนี้ไม่เคยลงตีพิมพ์ในวารสารใดมาก่อน ไม่อุยร์ร่าห่วงการพิจารณาจากวารสารอื่น และยินยอมว่าบทความที่ตีพิมพ์ลงในวารสารวิชาการมหาวิทยาลัยเทคโนโลยีราชมงคลอีสาน ถือเป็นลิขสิทธิ์ของมหาวิทยาลัยเทคโนโลยีราชมงคลอีสาน”

หากข้าพเจ้ามีความประสงค์ในการขอยกเลิกการพิจารณาบทความหลังจากวันที่ได้รับหนังสือยืนยันการรับบทความ ข้าพเจ้ายินดีรับผิดชอบค่าใช้จ่ายในการดำเนินงานที่มหาวิทยาลัยฯ ดำเนินการตามกระบวนการของวารสาร มทร.อีสาน ตามที่จ่ายจริง

ลงชื่อ.....

(.....)



หนังสือรับรองการตีพิมพ์บрошีร์  
วารสาร มทร.อีสาน ฉบับวิทยาศาสตร์และเทคโนโลยี  
มหาวิทยาลัยเทคโนโลยีราชมงคลอีสาน

ขอรับรองว่าบрошีร์.....

เรื่อง .....  
.....

โดย .....  
.....

ได้ผ่านการประเมินจากคณะกรรมการผู้ทรงคุณวุฒิ  
และตีพิมพ์ในวารสาร มทร.อีสาน  
ปีที่ ..... ฉบับที่ .....(.....-..... พ.ศ. ....)

(.....)

บรรณาธิการ วารสาร มทร.อีสาน ฉบับวิทยาศาสตร์และเทคโนโลยี  
มหาวิทยาลัยเทคโนโลยีราชมงคลอีสาน



ใบสมัครสมาชิก  
วารสาร มทร.อีสาน ฉบับวิทยาศาสตร์และเทคโนโลยี  
มหาวิทยาลัยเทคโนโลยีราชมงคลอีสาน

หมายเลขอسمายิก

.....  
(สำหรับเจ้าหน้าที่)

วันที่ล้มมัคร.....

ข้าพเจ้า (นาย/นาง/นางสาว).....

ที่อยู่ (สำหรับส่งวารสาร).....

รหัสไปรษณีย์..... โทรศัพท์.....

โทรศัพท์.....

ออกใบเสร็จในนาม ชื่อ.....

ชื่อ.....

ที่อยู่.....

มีความประสงค์เป็นสมาชิก

วารสารวิชาการ มหาวิทยาลัยเทคโนโลยีราชมงคลอีสาน (1 ปี 3 ฉบับ 1000 บาท/ปี)

โดย  สมัครเป็นสมาชิกใหม่ จำนวน ..... ปี เริ่มตั้งแต่ปีที่ ..... ฉบับที่ .....

ต่ออายุสมาชิก จำนวน ..... ปี เริ่มตั้งแต่ปีที่ ..... ฉบับที่ .....

พร้อมกันนี้ได้ส่งค่าสมาชิก จำนวน ..... บาท

(ด้วยอักษร).....

ซึ่งไดโอนเงินผ่านทางบัญชี ธนาคารกรุงไทย สาขา.เทคโนโลยีราชมงคลอีสาน ชื่อบัญชี “วารสาร มทร.อีสาน”

บัญชีออมทรัพย์ เลขที่ 986-4-38484-8

หมายเหตุ กรุณาล่งหลักฐานการจ่ายเงินและใบสมัครสมาชิก มายังสถาบันวิจัยและพัฒนาที่ E-mail : rmuti.journal@gmail.com พร้อมเขียนชื่อ-นามสกุล ให้ชัดเจน การสมัครสมาชิกจะมีผลสมบูรณ์ เมื่อทางวารสารได้มีการตรวจสอบเอกสารต่าง ๆ อย่างถูกต้องแล้วเท่านั้น

ลงชื่อ..... ผู้สมัคร  
(.....)



หนังสืออิยันการชำริตพิมพ์  
วารสาร มทร.อีสาน ฉบับวิทยาศาสตร์และเทคโนโลยี  
มหาวิทยาลัยเทคโนโลยีราชมงคลอีสาน

ข้าพเจ้า (นาย/นาง/นางสาว).....

ลังกัดหน่วยงาน .....

มีความประสงค์ขอชำริตพิมพ์วารสาร มทร.อีสาน เรื่อง .....

เป็นค่าใช้จ่ายในการพิมพ์ที่เกินจากข้อกำหนดของวารสาร มทร.อีสาน

- จำนวนหน้า ..... หน้า หน้าละ 400 บาท คิดเป็นเงิน ..... บาท  
 จำนวนรูปเลี่ย ..... รูป รูปละ 50 บาท คิดเป็นเงิน ..... บาท

รวมเป็นเงินทั้งสิ้น ..... บาท (.....) โดยชำระเงิน  
ผ่านทางบัญชีวารสาร มทร.อีสาน ธนาคารกรุงไทย สาขา.เทคโนโลยีราชมงคลอีสาน ชื่อบัญชี “วารสาร  
มทร.อีสาน” บัญชีออมทรัพย์ เลขที่ 986-4-38484-8

หมายเหตุ กรุณาร่วมหลักฐานการชำระเงินและหนังสืออิยันการชำริตพิมพ์ マイยองสถาบันวิจัยและพัฒนาที่  
E-mail : rmuti.journal@gmail.com พร้อมเขียนชื่อ-นามสกุล ให้ชัดเจน ข้อมูลจะมีผลสมบูรณ์  
เมื่อทางวารสารได้มีการตรวจสอบเอกสารต่าง ๆ อย่างถูกต้องแล้วเท่านั้น

ลงชื่อ..... ผู้เขียนบทความ  
(.....)



หนังสือยืนยันการถอนบทความ  
วารสาร มทร.อีสาน ฉบับวิทยาศาสตร์และเทคโนโลยี  
มหาวิทยาลัยเทคโนโลยีราชมงคลอีสาน

ข้าพเจ้า (นาย/นาง/นางสาว).....

ลังกัดหน่วยงาน .....

มีความประสงค์ขอถอนการพิจารณาบทความเรื่อง .....

ที่ได้ส่งเข้ามายังวารสาร มทร.อีสาน เมื่อวันที่ ..... และยินยอม

รับผิดชอบค่าใช้จ่ายในการดำเนินการตามกระบวนการของวารสาร มทร.อีสาน เป็นจำนวนเงิน ..... บาท

(.....) โดยชำระเงินผ่านทางบัญชีวารสาร มทร.อีสาน

ธนาคารกรุงไทย สาขา.เทคโนโลยีราชมงคลอีสาน ชื่อบัญชี “วารสาร มทร.อีสาน” บัญชีออมทรัพย์  
เลขที่ 986-4-38484-8

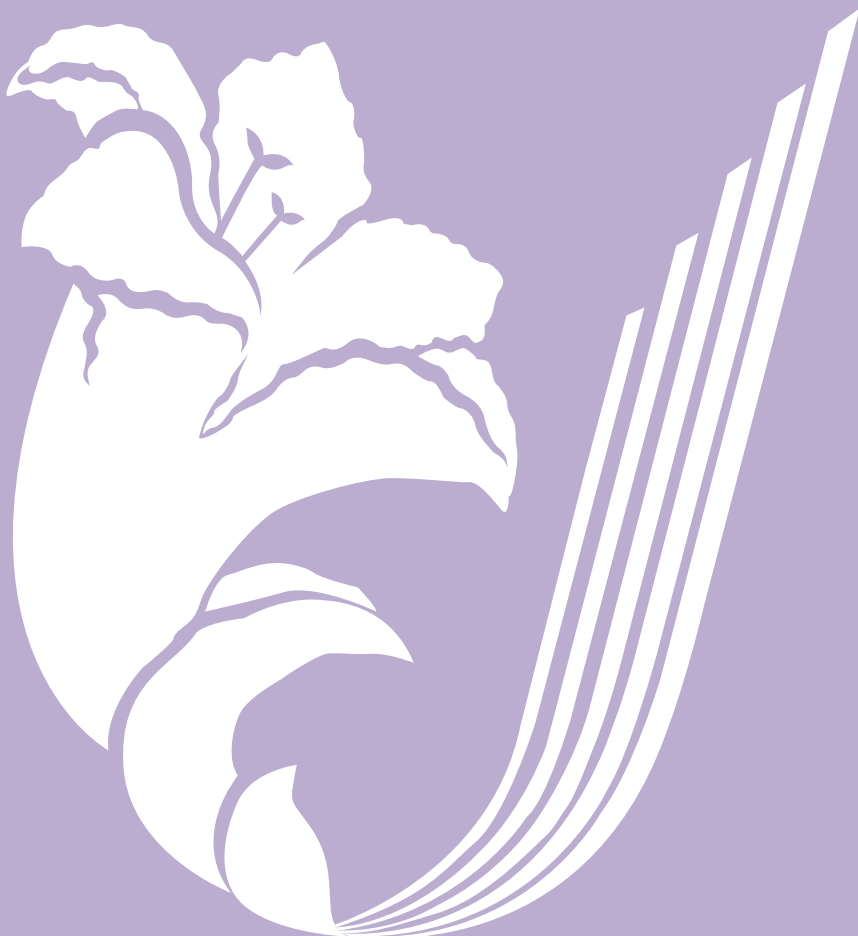
หมายเหตุ กรุณاسل่หลักษณะการชำระเงินและหนังสือยืนยันการถอนบทความ มายังสถาบันวิจัยและพัฒนาที่

E-mail : rmuti.journal@gmail.com พร้อมเชียนชื่อ-นามสกุล ให้ชัดเจน ข้อมูลการชำระเงิน

จะมีผลสมบูรณ์ เมื่อทางวารสารได้มีการตรวจสอบเอกสารต่าง ๆ อย่างถูกต้องแล้วเท่านั้น

ลงชื่อ.....ผู้ถอนบทความ

(.....)



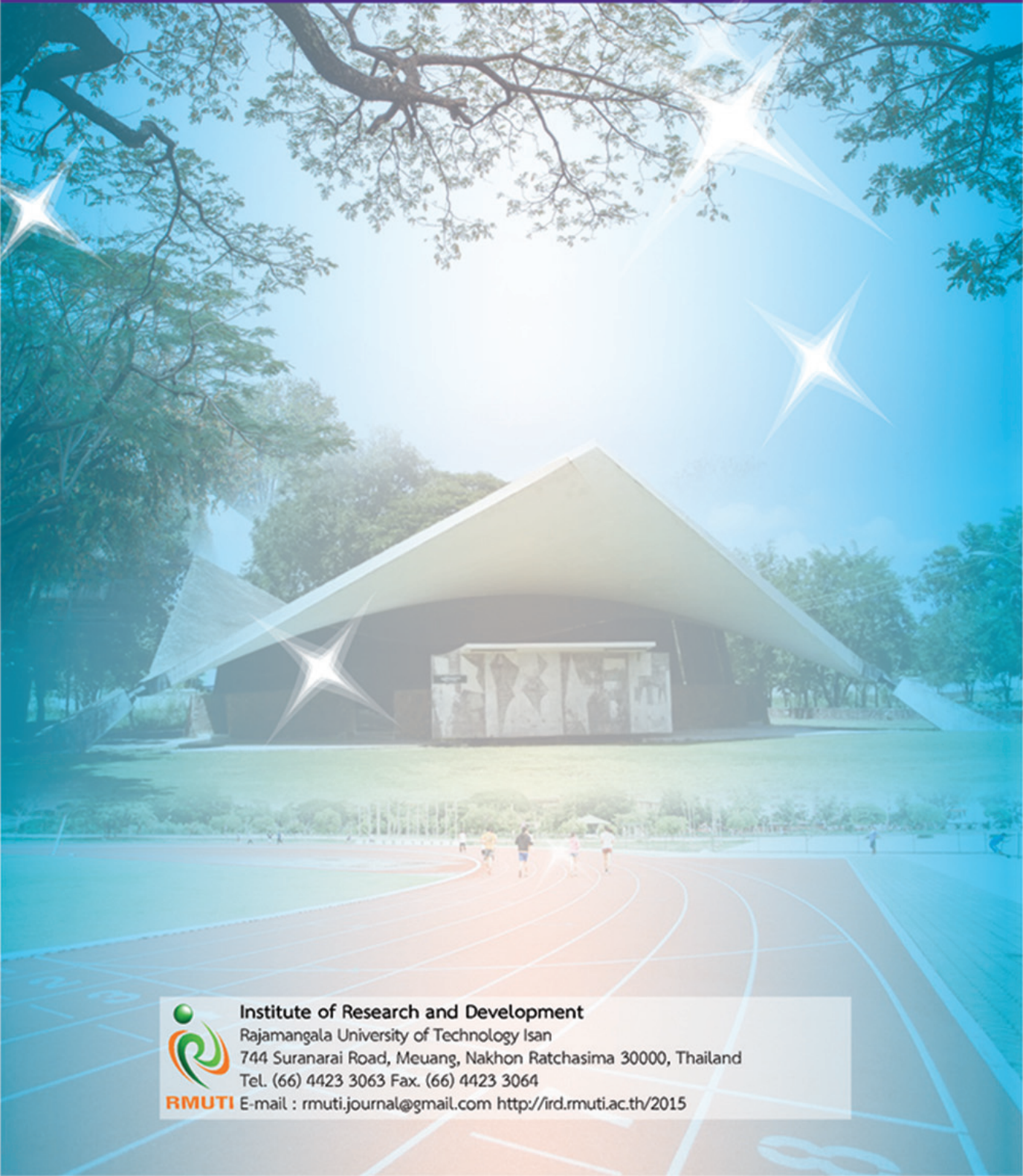
**RMUTI**  
ราชมงคลอีสาน



# RMUTI JOURNAL

## Science and Technology

Vol. 11 No. 3 September - December 2018



Institute of Research and Development

Rajamangala University of Technology Isan

744 Suranaree Road, Muang, Nakhon Ratchasima 30000, Thailand

Tel. (66) 4423 3063 Fax. (66) 4423 3064

RMUTI E-mail : [rmuti.journal@gmail.com](mailto:rmuti.journal@gmail.com) <http://ird.rmuti.ac.th/2015>